

Rapport de diagnostic archéologique

Bléré

ZAC de Sublaines-Bois Gaulpied - Phase 1

Vol.2 (Annexes et Inventaires)

Sous la direction de
JÉRÉMIE LIAGRE

MAI 2019

Rapport de diagnostic archéologique

Bléré

ZAC de Sublaines-Bois Gaulpied - Phase 1

Volume 2 : Annexes et Inventaires

Sous la direction de

JÉRÉMIE LIAGRE

MAI 2019

avec

Grégory SILBERSTEIN (Sadil)
Christophe LEBRUN (Sadil)

Valérie DELOZE (Inrap - UMR 6566)
Roland IRRIBARRIA (UMR 8215)
Samuel BEDECARRAT (UMR 7324)
Francesca DI NAPOLI (Inrap)
Laureline CINCON (Auto-entrepreneur)
Philippe HUSI (UMR 7324)
Murielle TROUBADY (Auto-entrepreneur)

et Laure-Anne MILLET-RICHARD (Musée du Grand-Pressigny, Cd37), Fiona KILDEA (Inrap), Boris ROBIN (Auto-entrepreneur) et Michaël BEIGNEUX (Archives 37)

Diagnostic archéologique réalisé du 16 juillet au 22 novembre 2018

Référence bibliographique

LIAGRE 2019 : LIAGRE (J.) (dir.) - *ZAC de Sublaines-Bois Gaulpied - Phase 1*. Rapport de diagnostic archéologique. Tours : Conseil départemental d'Indre-et-Loire ; Orléans : SRA Centre, 2019.

Crédits photographiques : équipe de fouille sauf mention contraire.

Le rapport d'opération archéologique est considéré comme un document administratif.

En vertu de l'article L. 523-11 / al. 4 du code du patrimoine, les règles de communication du rapport de fouille sont donc celles applicables aux documents administratifs.

L'utilisation des données du rapport de fouille est régie par les dispositions du code de la propriété intellectuelle concernant la propriété littéraire et artistique. Les prises de notes et les clichés sont autorisés pour un usage exclusivement privé et non destiné à une utilisation collective (article L. 122-5 du code de la propriété intellectuelle). Toute reproduction du texte accompagnée ou non de clichés, cartes ou schémas, n'est possible que dans le cadre de courtes citations, avec les références exactes et complètes de l'auteur de l'ouvrage.

Toute utilisation des données du rapport à des fins lucratives est interdite en vertu de l'article 10 de la loi modifiée du 17 juillet 1978 relative à l'amélioration des relations entre l'administration et le public. Le non respect de ces règles constitue un délit de contrefaçon puni par l'article 425 du code pénal.

Loi n° 78-753 du 17 juillet 1978, article 10 : « les documents administratifs sont communiqués sous réserve des droits de la propriété littéraire et artistique. L'exercice du droit à la documentation (...) exclut, pour des bénéficiaires ou des tiers, la possibilité de reproduire, de diffuser ou d'utiliser à des fins commerciales les documents communiqués ».


Imprimé par

Conseil départemental d'Indre-et-Loire - Direction de la logistique interne - Service de l'imprimerie
Zone du Papillon rue de l'Aviation
37210 Parçay Meslay

Copyright

© Conseil départemental d'Indre-et-Loire - Direction des archives et de l'archéologie - Service de l'archéologie du département d'Indre-et-Loire

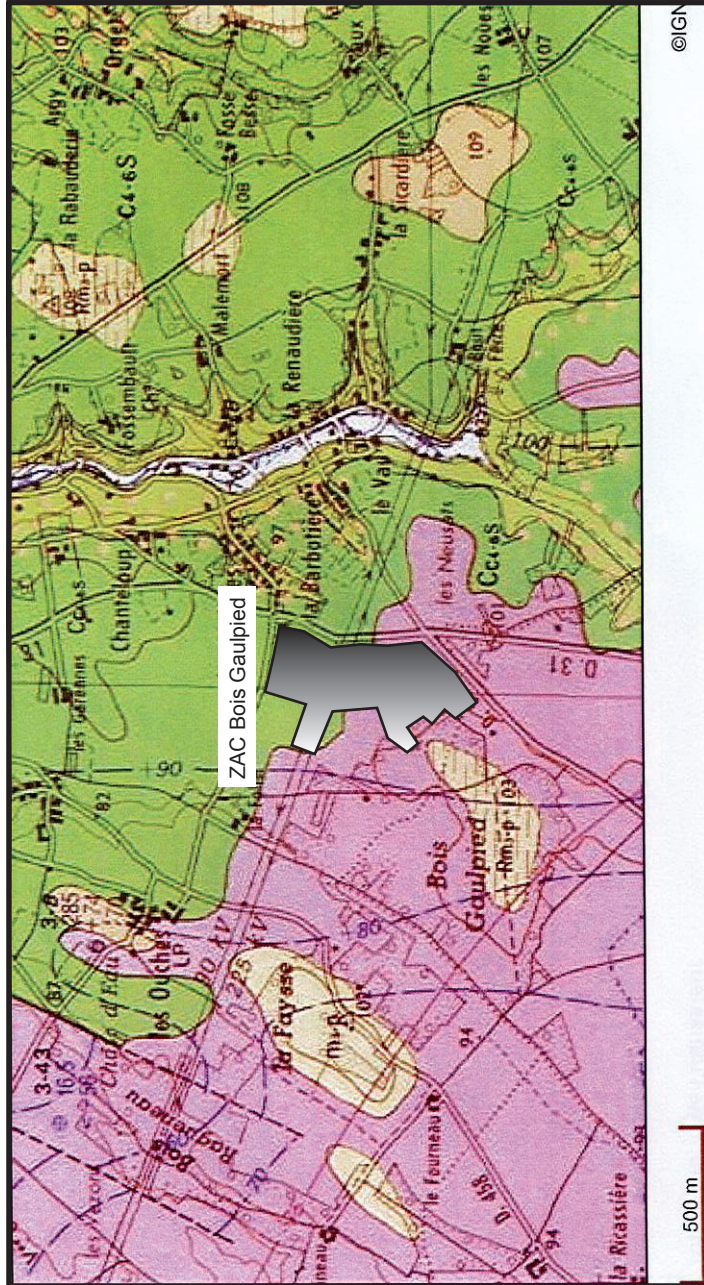
SOMMAIRE

ANNEXES	3
 RAPPORTS D'ANALYSES	5
Annexe 1 - Étude géomorphologique (V. DELOZE / INRAP)	7
Annexe 2 - Étude de mobilier céramique (R. IRRIBARRIA / ARCHÉOPOURTOUS)	34
Annexe 3 - Étude de mobilier céramique (F. DI NAPOLI / INRAP)	51
Annexe 4 - Étude anthropologique (S. BEDECARRATS / UMR 7324)	54
Annexe 5 - Étude du mobilier lithique (J. LIAGRE / SADIL)	57
Annexe 6 - DATATIONS RADIOCARBONE (CIRAM)	89
INVENTAIRES	111
Annexe 7 - Inventaire des unités stratigraphiques	113
Annexe 8 - Inventaire des faits	179
Annexe 9 - Inventaire du mobilier céramique	211
Annexe 10 - Inventaire du mobilier terre cuite	218
Annexe 11 - Inventaire de la faune	221
Annexe 12 - Inventaire du métal	222
Annexe 13 - Inventaire de la monnaie	225
Annexe 14 - Inventaire du verre	226
Annexe 15 - Inventaire du mobilier lithique	227
Annexe 16 - Inventaire des os humains	251
Annexe 17 - Inventaire mobilier divers	252
Annexe 18 - Inventaire mobilier des caisses	253
Annexe 19 - Inventaire mobilier des prélèvements	254
Annexe 20 - Inventaire des photographies	256
Annexe 21 - Liste des documents graphiques	289

III.

ANNEXES

RAPPORTS D'ANALYSES



Légende

- Fz = Alluvions actuelles et subactuelles
- LP = Limons de plateaux
- RM3-p = Complexe résiduel à sables grossiers argileux et graviers dominants, parfois colluvionné
- m3-p = Sables et graviers continentaux post-helvétiques
- eF = Argiles, sables et grès ferrugineux
- e7 = Calcaire lacustre de Touraine (Ludien)
- CC4-6S = Colluvions de versant alimentées par le Sénonien
- C4-6 B = Craie blanche à silex du Sénonien
- C4-6 S = Formations argilo-siliceuses du Sénonien

DAO : V. Deloze. 07/09/18.

Figure 1 : carte géologique des alentours du diagnostic archéologique de Bléré « ZAC de Bois Gaulpied » (Données BRGM : Rasplus et al, 1982).

RAPPORT DE SPÉCIALISTE : BLERE «ZAC DE BOIS GAULPIED»

APPROCHE GÉOLOGIQUE

VALÉRIE DELOZE (INRAP LE MANS ET CREA AH - UMR 6566)

1. Cadre géographique et hydrographique.

Le diagnostic archéologique de la « ZAC de Bois Gaulpied » a été réalisé à environ 3 km au sud de la commune de Bléré (37), le long de la RD58 et au nord du tracé de l'A85.

Il se développe sur le plateau d'interfluve, compris entre les vallées de l'Indre au sud et du Cher au nord, à des altitudes voisines de +100 m NGF. Cette portion de plateau de la Champagne tourangelle est relativement plane, avec toutefois quelques petites ondulations locales et de petites dépressions subcirculaires localisées.

Le réseau hydrographique local se limite à la présence au nord-est du site du petit bassin versant du Vaugerin et à la présence de quelques petites vallées sèches. Le ruisseau le Vaugerin s'écoule du sud vers le nord en direction de la vallée du Cher qui traverse le plateau d'est en ouest.

2. Cadre géologique d'après les données cartographiques.

2. 1. Le substrat.

Une grande partie de l'emprise du diagnostic ([figure 1](#)) est représentée par un substrat noté (e7) correspondant au Calcaire lacustre de Touraine (Ludien), mais dont les faciès sont variés et lenticulaires, avec des limites floues et des passages latéraux de faciès (argiles vertes, marnes, calcaires pulvérulents, calcaires en plaquettes, calcaires bréchiques, calcaires noduleux, meulière rubanée ou compactes, ...).

Au nord de l'emprise, le plateau laisse plutôt affleurer les Formations argilo-siliceuses du Sénonien (C4-6S) reposant directement sur le Turonien ou la craie de Blois. Il s'agit d'argiles blanches ou verdâtres à passées lenticulaires de spongolithes, contenant des silex gris, blonds à cortex blanc, non usés. La formation est faiblement altérée à l'affleurement, avec silicification des fossiles et des argiles, mais aussi imprégnation ferrugineuse, et silex ayant subi une cryoclastie quaternaire (Rasplus et al, 1982).

Enfin, à l'ouest de Bois Gaulpied sont signalés de petits épandages de Sables argileux et graviers continentaux post-helvétiques (m3-p), dont la teinte varie du gris ou beige au rouge-orangé et dont l'épaisseur dépasse rarement 3 m. Ils sont le résultat d'un épandage détritique de type fluviatile pouvant se situer à la fin du Miocène

2. 2. Les formations superficielles quaternaires.

Au niveau de l'emprise archéologique, il n'est cartographié aucune formation superficielle quaternaire. Mais aux alentours, quatre types différents sont identifiés :

- les alluvions actuelles et subactuelles (Fz), plutôt de nature argilo-limoneuse et carbonatées, qui sont accumulées dans la petite vallée du Vaugerin située à l'est de l'emprise.
- les limons de plateaux (LP), épais de 0,5 à 1,5 m, sont plutôt fins, de teinte brune (parfois grise et orangée), avec une teneur en argile variable et parfois élevée. Mais leurs affleurements sont assez éloignés de l'emprise.
- les colluvions de versant (CC4-6S), alimentées par les formations argilo-siliceuses du Sénonien, sont principalement cantonnées sur les versants dominant les vallées.

- enfin, le complexe résiduel (Rm3-p) à sables grossiers argileux et graviers dominants (complexe parfois colluvionné) présente une épaisseur variant de quelques décimètres à 2-3 m et on les retrouve à proximité des affleurements dont ils dérivent (m3-p) par remaniement colluvial et lavage. C'est le cas en particulier du petit épandage cartographié à la hauteur de la petite forêt de « Bois Gaulpied ».

3. Les observations de terrain.

3. 1. Méthodologie.

Les observations ont été réalisées lors de quatre interventions échelonnées tout au long du diagnostic archéologique en fonction des besoins et des questionnements des archéologues. Un total de 38 logs géologiques ponctuels (notés de Log 1 à Log 38) a été relevé sur l'emprise, au niveau des tranchées 15, 16, 18, 21, 22, 23, 24, 26, 29, 32, 34, 37, 38, 39, 40, 41, 42, 50, 57, 59, 65, 66, 67, 68, 70, 74, 75 et 76. Ils ont contribué à :

- identifier les différentes couches sédimentaires observées, les corrélérer et retracer leur mode de mise en place,
- caractériser les différents types de substrat géologique rencontrés,
- interpréter les différentes anomalies d'origine géologique mises en évidence,
- replacer les découvertes de vestiges archéologiques dans la stratigraphie.

Les profondeurs de ces Logs sont comprises, selon les sondages, entre 0,5 m (Log 11) et 2 m (Log 13). Leurs altitudes de surface sont très variables de +91,34 m NGF (en Log 15 au centre de la bordure Est de l'emprise) à +99,27 m NGF (en Log 33 au plus près de la partie boisée au sud de l'emprise). Ces altitudes dessinent donc un versant dont la pente descend d'environ 8 m depuis la partie boisée au sud (Log 33) en direction du Log 15, soit du sud-ouest vers le nord-est. Mais on note aussi des pentes secondaires un peu moins marquées : d'ouest (Log 12) en est (Log 15), du nord (Log 13) vers le sud (Log 2), et enfin, du sud (Log 24) vers le nord (Log 18).

3. 2. Description des stratigraphies à limon argileux brun-rouge.

- La tranchée 57.

Elle a permis de relever trois logs géologiques notés de Log 21 à Log 23 (figure 2) selon un axe d'orientation sud-ouest/nord-est et sur une longueur de 135 m. Il y a été mis en évidence six niveaux sédimentaires distincts d'épaisseur variable (0,94 à 1,20 m) et inégalement répartis :

- couche 1 = 25 à 30 cm de terre végétale limono-argileuse brun-gris.
- couche 2 = 14 cm de limon argileux brun-gris, seulement rencontré au niveau du Log 21.
- couche 3 = 27 à 29 cm de limon argileux un peu sableux de teinte brune à rouge-orangé et contenant parfois de rares granules calcaires (et un galet calcaire en Log 22), couche présente dans les logs 22 et 23.
- couche 4 = 24 cm d'argile limoneuse brune compacte, observée seulement en Log 22.
- couche 5 = 10 à 20 cm d'argile plastique brune de décarbonatation contenant parfois quelques précipitations ferromanganiques.

- couche 6 = il s'agit du toit du substrat calcaire plus ou moins altéré, qui a été atteint à 0,64 m de profondeur en Log 23 (minimum) et à 1,01 m en Log 22 (maximum). Le profil de ce toit est donc irrégulier et non plan.

- Le Log 1 (tranchée 18).

Le Log 1 isolé (figure 2), relevé dans la moitié nord du diagnostic (cf. plan), a révélé un substrat de type marno-calcaire bariolé (vert-blanc-ocre) à une profondeur de 1,32 m. Ce dernier (couche 5) est coiffé d'une couverture de formations superficielles comprenant du bas vers le haut : 38 cm d'argile compacte bariolée ocre-brun-lie de vin (couche 4), 24 cm d'argile limoneux brun-rouge à nombreux fragments calcaires et siliceux (couche 3), 35 cm de limon argileux brun-rouge à rares fragments calcaires (couche 2) et enfin, 35 cm de terre végétale limono-argileuse brun-gris à quelques graviers calcaires et de petits fragments de terre cuite architecturale (couche 1).

- La tranchée 65.

Cette tranchée a fait l'objet de deux relevés géologiques Log 32 et Log 38 (figure 2) espacés d'un peu plus de 130 m. Du haut vers le bas, il a été observé la succession lithologique suivante :

- couche 1 = 24 à 27 cm de terre végétale limono-argileuse brun-gris.

- couche 2 = 23 cm de limon argileux brun, uniquement présent en Log 32.

- couche 3 = 20 cm de limon argileux brun-rouge, absent en Log 32.

- couche 4 = 10 cm de limon très argileux rougeâtre, absent en Log 32.

- couche 5 = 10 cm de nombreux granules siliceux dans une matrice argile-limoneuse brune (décarbonatation ?).

- couche 4 = toit de substrat calcaire de faciès plutôt franc, apparu à des profondeurs variant de 0,54 à 0,6 m.

- Les Logs 34, 35, 36 et 37.

Ces quatre logs ont été relevés respectivement dans les tranchées 74, 70, 67 et 66 (figure 2), c'est-à-dire plutôt dans le quart sud-ouest de l'emprise au niveau d'une deuxième nappe de limon argileux brun-rouge (cf. plan masse), après celle repérée un peu plus au sud-est autour des Log 21 à 23 (voir tranchée 57 ci-dessus). Ces quatre logs ont montré une stratigraphie assez similaire, avec à la base le toit du substrat calcaire assez dur, de teinte blanche parfois rosé (couche 5), apparu à des profondeurs variables de 0,34 m en Log 37 à 0,96 m en Log 35. Au niveau des Log 35 et 36, il est coiffé par 14 cm d'argile limoneuse brun-rouge très foncé, couche 4 absente des deux autres logs. Au-dessus, le Log 36 se compose de 29 cm de limon très argileux brun-rouge compact, parfois à petite composante sableuse (couche 3), niveau basal de la nappe de limon brun-rouge que l'on ne retrouve pas sur les autres logs. En revanche, les quatre Logs ont tous révélé la présence de 14 à 50 cm de limon argileux brun-rouge, parfois un peu sableux (couche 2). Enfin, la stratigraphie s'achève par 20 à 33 cm de terre végétale limono-argileuse brun-gris (couche 1).

Conclusion.

Ces différents relevés ont donc mis en évidence deux nappes de limon argileux brun-rouge localisées plutôt dans le quart sud-ouest de l'emprise du diagnostic, ainsi qu'une petite occurrence ponctuelle au niveau du Log 1 (extrémité sud de la tranchée 18). Ils sont plutôt conservés, à des

altitudes comprises entre +90 et +100 m NGF, sur la pente descendant depuis le Bois Gaulpied en direction du nord-est. L'épaisseur totale de ces limons argileux de teinte brun-rouge atteint 0,50 à 0,60 m, et ils sont compris entre les limons sommitaux coiffés de l'horizon de sol actuel, et le substrat calcaire, de faciès plutôt franc à légèrement altéré, auquel se superpose généralement un horizon d'argile plastique de décarbonatation.

L'observation détaillée des Logs a ponctuellement mis en évidence deux niveaux distincts : un niveau sommital plutôt limono-argileux et un niveau basal plutôt argilo-limoneux. Ces limons ne sont donc pas strictement d'origine éolienne. Leur composition fortement argileuse serait plutôt la conséquence d'un apport par remaniement/colluvionnement des matériaux à dominante argileuse de l'horizon de décarbonatation coiffant le substrat calcaire. Ils sont en outre parfois associés à une petite composante détritique – associant granules calcaires et granules siliceux, mais aussi un peu de sables - qui confirmerait l'hypothèse d'une origine majoritairement colluviale et scindée en deux phases. Ces nappes de limons brun-rouge ont donc plutôt des lambeaux de colluvions, où se mêlent une fraction limoneuse d'origine éolienne, une fraction argileuse provenant des argiles de décarbonatation par remaniement et une petite fraction détritique d'origine colluviale.

3. 3. Les logs de la tranchée 32.

Dans le quart nord-ouest de l'emprise, au niveau de l'extension vers l'ouest, il a été relevé sur une longueur voisine de 20 m, cinq logs notés de Log 7 à Log 11, espacés de 3,5 à 5,4 m (**figure 3**). Sur une faible profondeur n'excédant pas 0,7 m, il a été observé quatre couches géologiques distinctes, du haut vers le bas :

- couche 1 = 23 à 31 cm de terre végétale limono-argileuse brun-gris à débit prismatique et quelques graviers calcaires.
- couche 2 = 14 à 25 cm de limon argileux à débit prismatique, à petits fragments de terre cuite architecturale et quelques graviers calcaires.
- couche 3 = 15 à 20 cm d'argile limoneuse compacte brun-orangé à quelques petits fragments calcaires (observé seulement au niveau des Logs 8 et 9).
- couche 4 = 6 à 12 cm d'abondants granules calcaires et siliceux, et concrétions ferromanganiques emballés dans une matrice argilo-limoneuse brun-orangé (Logs 7, 10 et 11).

3. 4. Les structures ou anomalies en creux des tranchées 21 et 29.

- La tranchée 21 (cf. plan) a fait l'objet de trois relevés géologiques ponctuels notés Log 2, Log 4 et Log 5 (**figure 3**) dont la profondeur est comprise entre 0,56 à 1,05 m, révélant au total sept couches sédimentaires distinctes. A la base du Log 2, le substrat marno-calcaire blanchâtre (couche 7) a été rencontré à 0,8 m de profondeur, alors qu'au niveau du Log 4, c'est plutôt un faciès d'argile collante brun-jaune à fragments grossiers de silex et de calcaires (couche 6) qui apparaît. Le substrat marno-calcaire est recouvert au sud-sud-ouest par 24 à 30 cm d'argile compacte brune à points ferromanganiques (couche 5), correspondant à l'horizon de décarbonatation. A l'autre extrémité, se développent plutôt d'abondants granules détritiques de silex et de calcaire contenus dans une matrice argileuse brun-jaune (couche 4). Au niveau du Log 4, cette couche grossière dessine une poche - un temps confondue avec une structure archéologique - dont le cœur est comblé par un limon argileux brun à quelques fragments calcaires (couche 3), couche retrouvée aussi en Log 2 sur

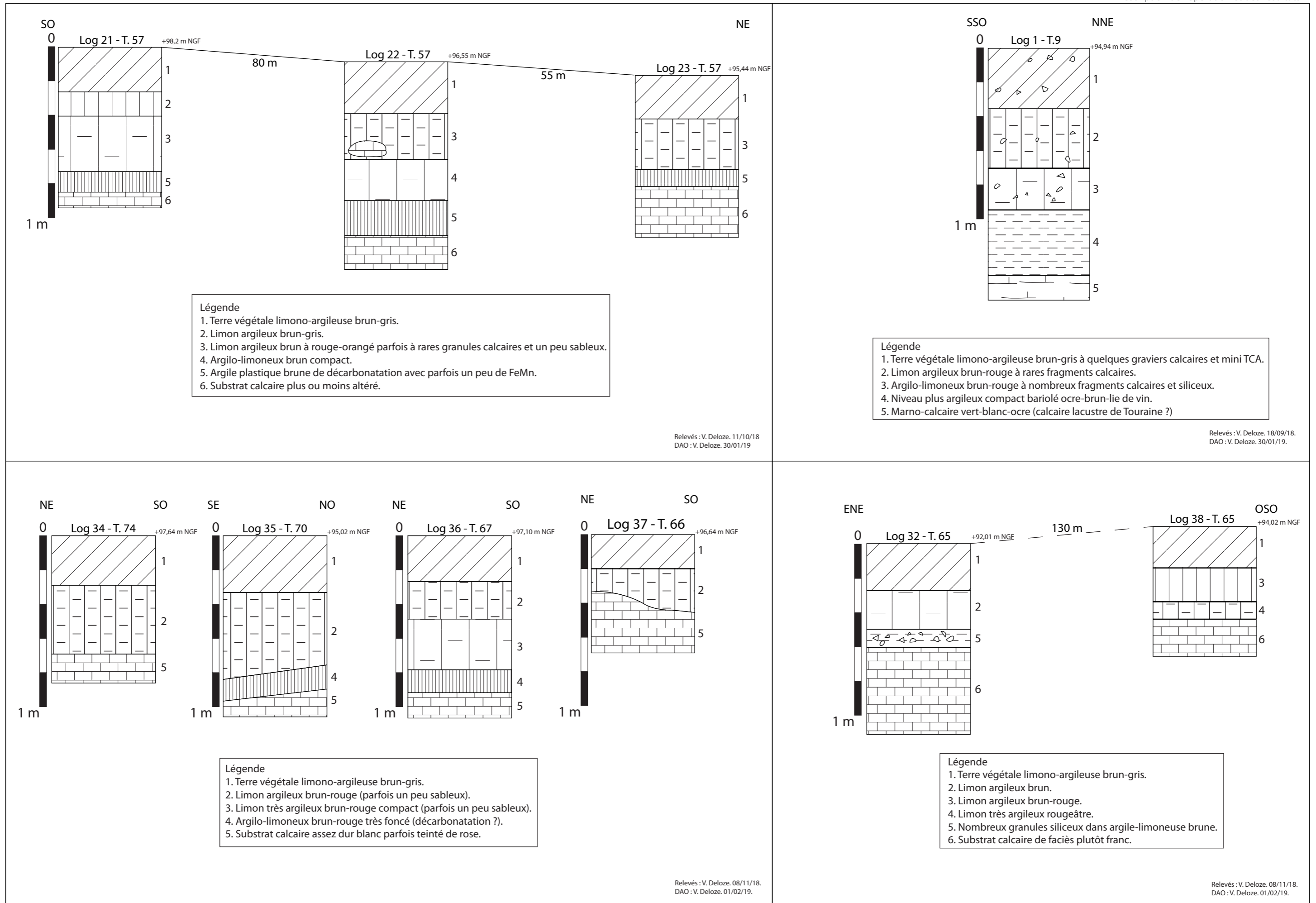


Figure 2 : logs géologiques à limon argileux brun-rouge - Diagnostic archéologique de Bléré (37) «ZAC Bois Gaulpied».

30 cm d'épaisseur. Il est plus probable qu'il s'agisse d'une figure de type cryoturbation/géliturbation, consécutive aux alternances gel/dégel. A l'autre bout de la tranchée, le Log 5 a plutôt révélé 25 cm de limon peu argileux brun-jaune à quelques fragments de charbons de bois (couche 2). Enfin, la stratigraphie s'achève par un horizon de 25 à 32 cm de terre végétale limono-argileuse brun-gris à quelques graviers calcaires (couche 1).

- La coupe Log 12, relevée sous le décapage dans la tranchée 29 (figure 4), présente aussi deux structures en creux côte à côte, similaires à celle évoquée ci-dessus, à la différence qu'elles apparaissent dans un substrat de type calcaire altéré en plaquettes (couche 4). Celle la plus à l'est montre à sa base une petite injection de granules jaunes et d'éléments calcaires blancs plus abondants (couche 3), qui confirme bien leur origine géologique. Les deux structures apparaissent tapissées à leur base d'abondants petits granules détritiques emballés dans une matrice argileuse brun-rouge (couche 2) ; elles sont ensuite comblées au final, par une argile compacte brun-rouge très homogène (couche 1), correspondant à l'horizon de décarbonatation.

3. 5. Les stratigraphies associées à la présence de concrétions/nodules ferrugineux.

Sur une hauteur de 0,74 m, le Log 14 (figure 4) a permis de relever dans la tranchée 22 la stratigraphie suivante :

au sommet, 27 cm de terre végétale limono-argileuse brun-gris (couche 1), puis 20 cm de limon argileux brun à quelques micro-granules siliceux et calcaires (couche 2) et 14 cm d'argile limoneuse brun-orangé (couche 3), et enfin, à la base, le toit d'une formation composée de nombreux petits granules calcaires et siliceux (couche 4), qui a révélé en outre la présence d'une concrétion ferrugineuse de taille conséquente (figure 7 ; photo 1).

Le Log 16 (tranchée 23) situé à proximité de F.166 (figure 6) et le Log 17 (tranchée 24) relevé à côté de F.167 (figure 6) présentent tous deux une stratigraphie assez similaire. En Log 16, le substrat apparaît sous un faciès argileux compacte de teinte bariolée (couche 6) coiffé d'un lit irrégulier de granules détritiques siliceux et calcaires (couche 5) associés à des concrétions ferromanganiques (figure 7 ; photo 2). En revanche, le Log 17 a révélé un substrat à faciès argileux plastique brun-jaune à granules épars et petits nodules ferromanganiques (couche 4), auquel se superpose une argile limoneuse brun-orangé compacte à nombreux granules siliceux et calcaires associés aussi à des nodules ferromanganiques (couche 3). Ces deux logs partagent une stratigraphie sommitale constituée à la base de 8 à 35 cm de limon argileux brun clair à brun-jaune (couche 2), et au sommet de 26 à 31 cm de terre végétale limono-argileuse brun-gris (couche 1).

Les structures F.166 et F.167 sont des fosses de forme polylobée et la présence de minerai de fer en place dans la stratigraphie aux alentours suggérerait l'hypothèse d'une éventuelle activité d'extraction de ce minerai, activité localisée dans la moitié nord de l'emprise au niveau des tranchées 22, 23 et 24. Au sud de l'emprise, seule la tranchée 39 a révélé la présence d'une grande fosse de diamètre 3 m x 8 m, pour une profondeur d'environ 30 à 40 cm, associée à des concrétions ferrugineuses et creusée dans un substrat très argileux rouge/lie-de-vin. Elle aussi pourrait correspondre à une éventuelle structure d'extraction du minerai de fer (F.537).

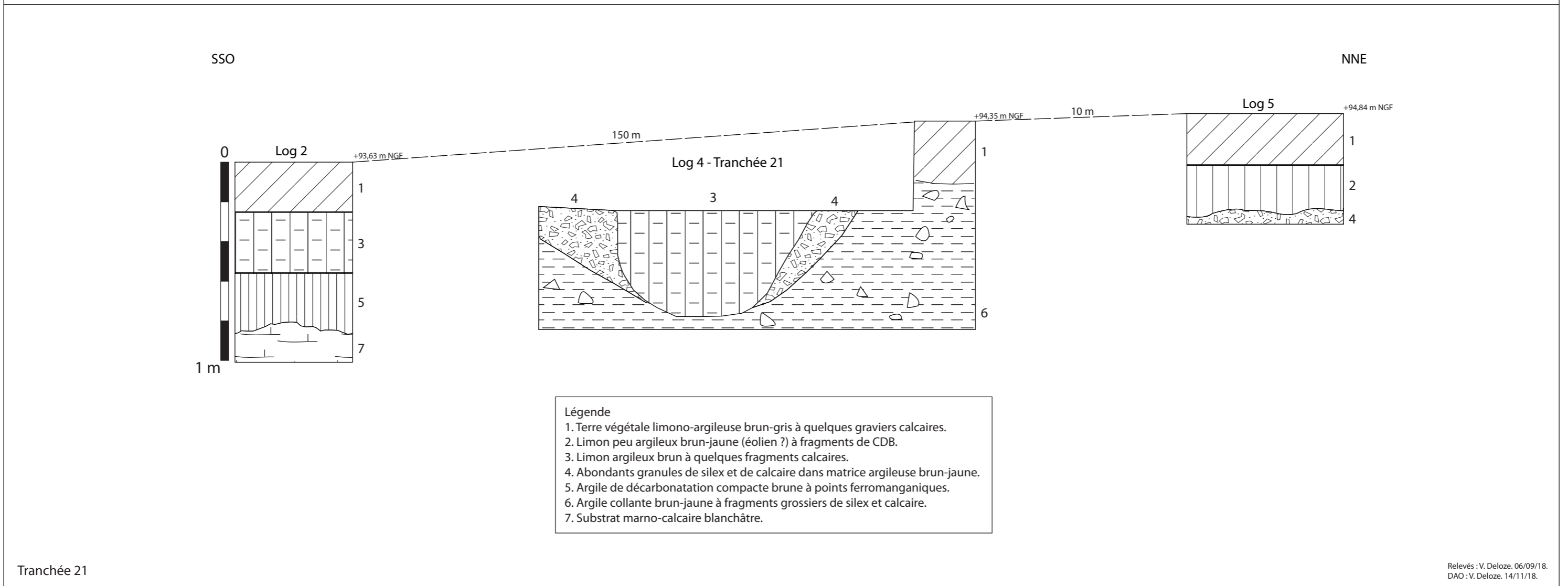
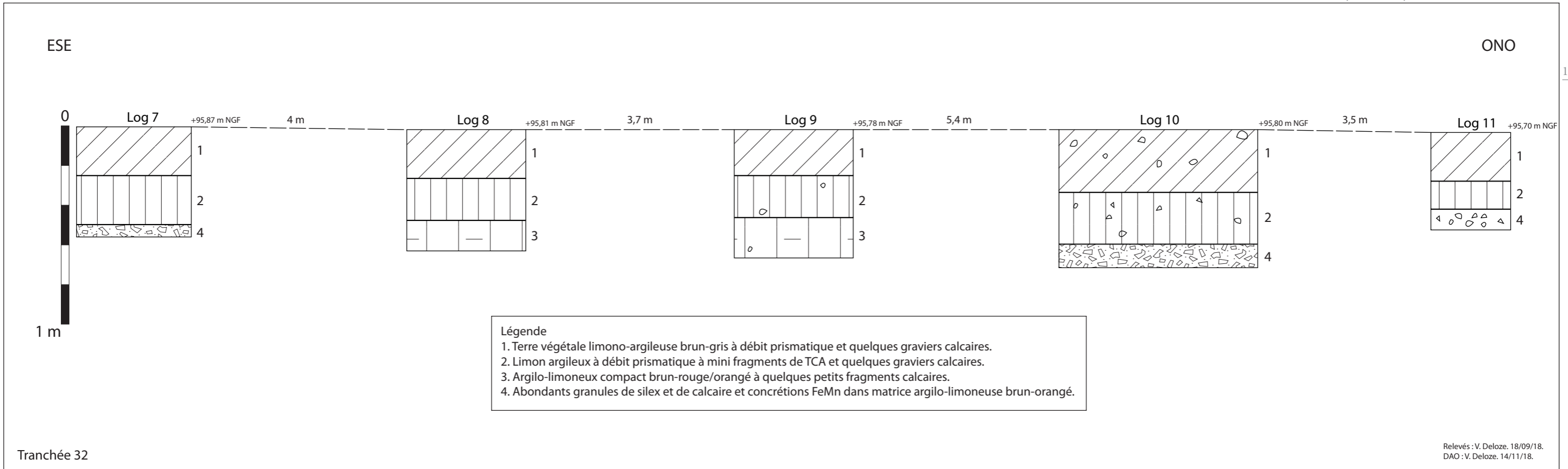


Figure 3 : logs géologiques des tranchées 21 et 32 - Diagnostic archéologique de Bléré (37) «ZAC Bois Gaulpied».

3. 6. Les stratigraphies au niveau des « marnières ».

- Le Log 13 (F.221, tranchée 87).

Ce log profond d'environ 2 m (figure 6) a été réalisé au niveau d'une anomalie topographique en creux repérée entre les tranchées 5 et 6 dans la moitié nord de l'emprise. Interprétée dans un premier temps comme une éventuelle doline d'origine karstique, elle a finalement révélé du bas vers le haut, le comblement suivant au-dessus du substrat calcaire un peu altéré (couche 8) auquel se superpose un mince lit de graviers (couche 7) :

- couche 6 = 21 cm d'argile grise à charbons de bois et quelques silex anguleux. Une datation C14 sur un charbon de bois issu de cette US 967 a permis de la dater vers 936-996 AD (59,90%).
- couche 5 = 22 cm d'argile limoneuse brun-rouge assez compact,
- couche 4 = 41 cm de limon brun-gris plus foncé meuble à quelques graviers siliceux et calcaires plus grossiers, (+ un silex thermofracté Paléolithique/Néolithique).
- couche 3 = 42 cm de limon brun-gris à quelques petits graviers et charbons de bois,
- couche 2 = 24 cm de limon brun-gris compact à quelques graviers,
- couche 1 = 24 cm de terre végétale limoneuse brun-gris.

Aucun vestige archéologique n'a été découvert dans cette stratigraphie qui s'est avéré correspondre plutôt au comblement assez récent d'une marnière, et donc comparable à ceux des autres marnières mises en évidence sur l'emprise du diagnostic.

- Le Log 20 (F.238, tranchée 40).

Il s'agit de la bordure nord de la marnière notée F.238 (figure 6), dont le comblement est représenté à cet endroit par un limon beige à quelques graviers calcaires (couche 2) s'épaississant vers le sud. Il est coiffé de l'horizon de sol actuel (couche 1) de nature limono-argileuse brun-gris foncé. Le substrat apparaît ici sous un faciès particulier où des passées argileuses de couleur rouge/lie de vin (couche 3) se développent au sein du substrat calcaire blanc (couche 4).

3. 7. Les stratigraphies associées à des découvertes archéologiques.

- Log 25 (tranchée 50).

Il a été relevé dans la tranchée 50 (figure 5) dans une zone où a été mise au jour une couche 2 (correspondant à l'US 496) contenant un abondant mobilier archéologique de démolition (terres cuites architecturales principalement) contenu dans 22 cm de limon argileux brun à éléments calcaires en plaquettes. Elle apparaît immédiatement sous la terre végétale limono-argileuse brun-gris foncé à débit prismatique (couche 1) épaisse ici de 20 cm. Et elle se superpose à 12 cm d'argile limoneuse à granules calcaires et pseudomycélium dans le réseau racinaire (3) coiffant le toit du substrat calcaire altéré (4).

Sur l'emprise (cf. plan général), il a été récolté un total de 318 silex (Faits-ISO-décapage des tranchées) dont 110 silex fortement patinés, ainsi qu'une hache polie en silex (Tranchée 13). La zone la plus dense en silex se situe dans la moitié nord de l'emprise, à cheval sur les tranchées 6 à 13, mais aussi de manière éparse dans les tranchées 1, 3, 4, 5, 14, 15, 16, 17, 20, 21, 32, 33, 34, 37, 38, 41, 49, 50, 59, 60, 61, 63, 64, 65, 70, 71, 77 et 87. Les Logs 19, 24 et 26 caractérisent la stratigraphie au niveau de quelques artefacts lithiques.

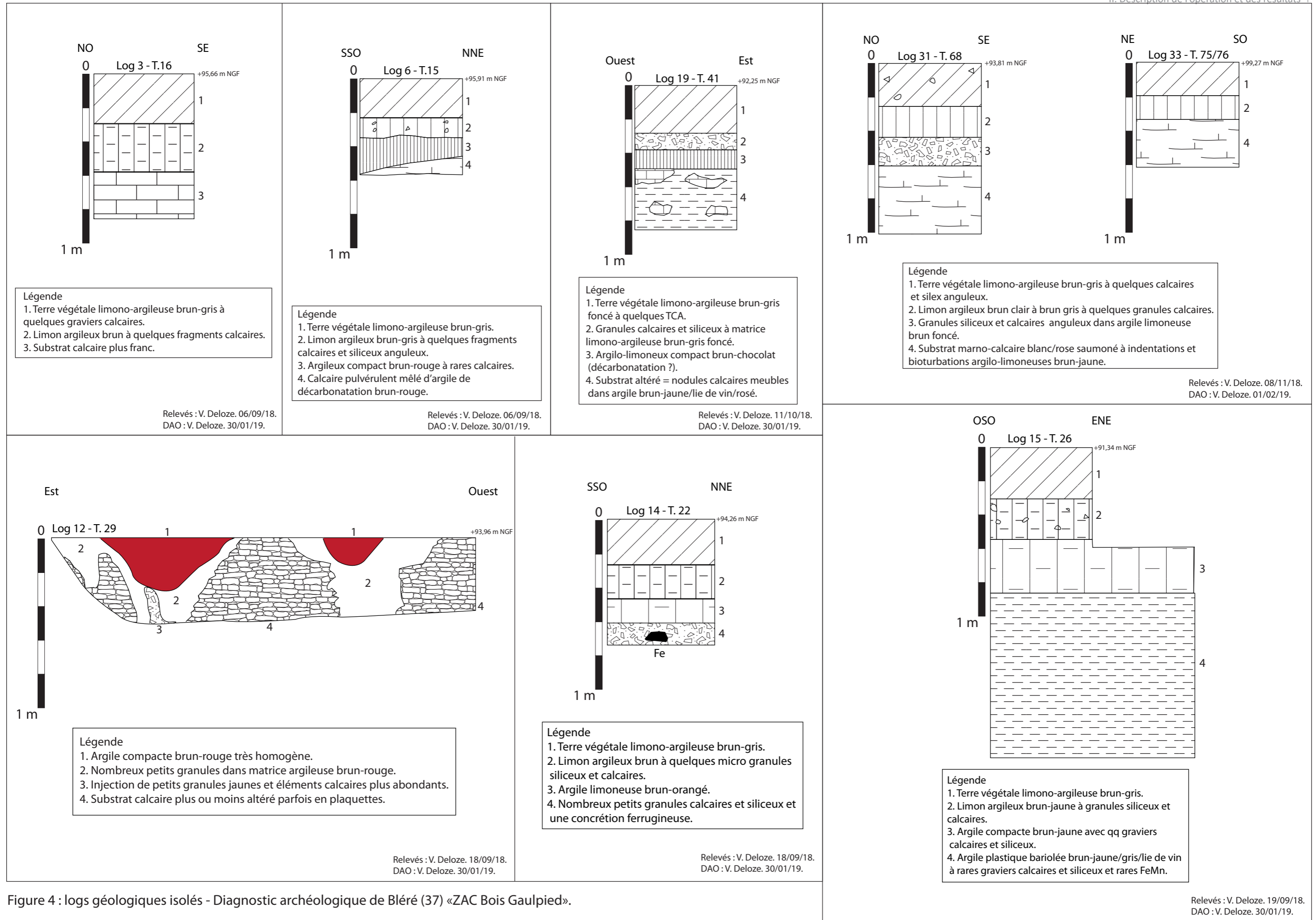


Figure 4 : logs géologiques isolés - Diagnostic archéologique de Bléré (37) «ZAC Bois Gaulpiéd».

- Log 19 (tranchée 41).

Ce log (figure 4) a été relevé au niveau d'un élargissement de la tranchée 41 en direction de la tranchée 77, là où ont été découvertes des structures datées de La Tène moyenne. Il témoigne aussi de la stratigraphie – peu épaisse - rencontrée à proximité des silex mis au jour aux extrémités nord des tranchées 41 et 77. Il y a été observé à la base un substrat altéré représenté par des nodules calcaires meubles emballés dans une matrice argileuse de teinte brun-jaune/lie de vin/rosé (couche 4), coiffé d'une argile limoneuse compacte décarbonatation de teinte brun-chocolat (couche 3), épaisse d'une dizaine de centimètres. Au sommet, la stratigraphie se compose de 10 cm de granules calcaires et siliceux dans une matrice limono-argileuse brun-gris foncé (couche 2) et de 28 cm de terre végétale limono-argileuse brun-gris foncé à quelques fragments de terre cuite architecturale (couche 1).

- Log 24 et 26 (tranchée 38).

Ces deux logs sont espacés de 90 m (figure 6) et caractérisent l'extrémité sud-sud-est de la tranchée 38. A cet endroit, la stratigraphie, un peu plus épaisse qu'en Log 19, se compose du haut vers le bas de :

- couche 1 = 26 à 30 cm de terre végétale limono-argileuse brun-gris à quelques granules calcaires.
- couche 2 = 34 à 42 cm de limon argileux brun à rares granules calcaires et siliceux dans la moitié inférieure et à points d'oxydation ferromanganique.
- couche 3 = 12 cm d'abondants granules calcaires dans une matrice argilo-limoneuse plastique brun-chocolat.
- couche 4 = toit du substrat à nodules calcaires blancs mêlés de passées jaunes et d'argile blanc/lie de vin/rosé.

C'est au niveau du Log 26 qu'ont été mis au jour des artefacts lithiques notés Iso 88 et Iso 89, précisément à l'interface entre les couches 3 et 4, vers 0,63 m de profondeur. Il s'agit d'un nucléus à éclats sur déchet de taille très opportuniste et d'un outil a posteriori sur éclat d'entretien style raclette, à l'attribution chronologique ubiquiste et polyculturelle (Préhistoire-Protohistorique ?).

3. 8. Les autres logs isolés.

Les derniers Logs décrits ci-dessous ont été relevés un peu partout sur l'emprise en divers endroits pour souligner les variations de stratigraphie rencontrées, les différents types de substrat observés, les épaisseurs variables de formations superficielles, d'un bout à l'autre de la zone à diagnostiquer.

- Log 3 (tranchée 16).

Il a été relevé à proximité d'une marnière à l'extrémité sud de la tranchée 16 (figure 4). Le toit du substrat calcaire assez franc (couche 3) a été atteint à 0,58 m de profondeur, sous 0,28 m de limon argileux brun à quelques fragments calcaires (couche 2) et 0,30 m de terre végétale limono-argileuse brun-gris à quelques graviers calcaires (couche 1).

- Log 6 (tranchée 15).

Dans cette partie de la tranchée 15, le substrat (figure 4) est apparu plutôt sous un faciès de calcaire pulvérulent mêlé d'argile de décarbonatation brun-rouge (couche 4), recouvert par 10

à 20 cm d'argile compacte brun-rouge à rares calcaires (couche 3). Au sommet, sont rencontrés successivement 12 cm de limon argileux brun-gris à quelques fragments calcaires et siliceux anguleux (couche 2) et 23 cm de terre végétale limono-argileuse brun-gris (couche 1).

- Log 15 (tranchée 26).

Il s'agit de la stratigraphie observée dans la tranchée 26 à proximité du grand fossé F. 176 (figure 4). Dans ce secteur, il n'a pas été rencontré le toit du substrat calcaire, mais plutôt une argile plastique bariolée (teinte brun-jaune/gris/lie de vin) à rares graviers calcaires et siliceux et à rares points d'oxydation ferromanganique (couche 4) apparue à 0,86 m de profondeur. Elle est surmontée par 32 cm d'argile compacte brun-jaune avec quelques graviers calcaires et siliceux (couche 3), 24 cm de limon argileux brun-jaune à granules siliceux et calcaires (couche 2) et enfin, 30 cm de terre végétale limono-argileuse brun-gris (couche 1).

- Log 18 (tranchée 34).

Dans la tranchée 34, ce log caractérise une zone de l'emprise (figure 6) où le recouvrement superficiel se limite à la présence de la terre végétale limono-argileuse brun-gris contenant quelques granules siliceux et calcaires (couche 1), épaisse ici de 30 cm, reposant sur 4 niveaux à majorité argileuse, comprenant du haut vers le bas :

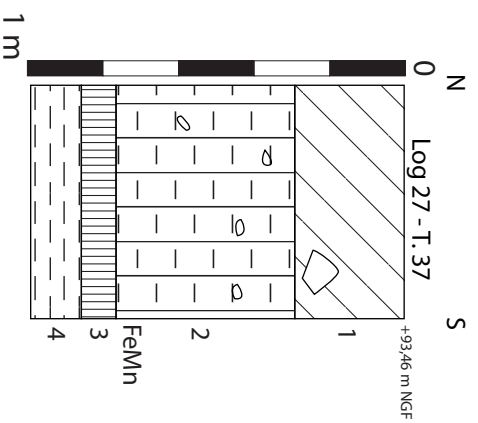
- couche 2 = 50 cm d'argile plastique brun-jaune.
- couche 3 = 8 cm d'argile grise.
- couche 4 = 23 cm d'argile blanc-rouge.
- couche 5 = 18 cm d'argile calcaire de teinte rouge-blanc.

- Log 27 (tranchée 37).

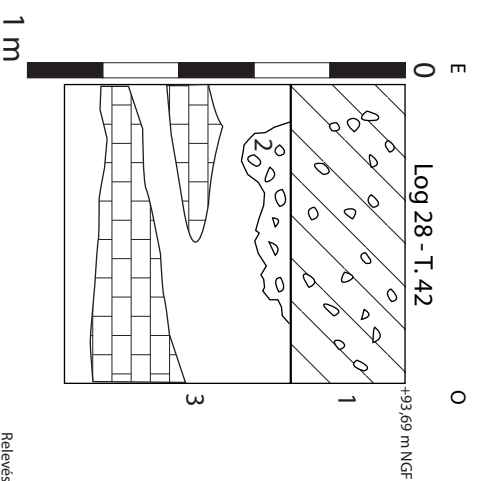
Ce Log de la tranchée 37 (figure 5) présente une stratigraphie très similaire à celles observées au niveau des Log 24 et 26, avec à la base un substrat calcaire rosé, plus ou moins argilo-marneux, de teinte lie-de-vin à jaunâtre (couche 4). Il est coiffé par un horizon d'argile plastique de décarbonatation brun-rougeâtre (couche 3), épais de 9 cm, niveau imperméable qui a induit le développement d'oxydations ferromanganiques à la base de la couche sus-jacente (2), de nature limono-argileuse compacte, de teinte brune et à granules siliceux et calcaires. Cette stratigraphie s'achève par 29 cm de terre végétale limono-argileuse brun-gris à meulière (couche 1).

- Log 28 (tranchée 42).

Ce profil (figure 5) relevé dans la tranchée 42 n'a révélé sous la terre végétale limono-argileuse brun-gris à nombreux graviers calcaires (couche 1) que des niveaux appartenant au substrat géologique. Ainsi, se développe une petite poche de calcaire pulvérulent gris-clair et granules calcaires (2) dont l'origine est à rechercher du côté des phénomènes d'altération, affectant le substrat calcaire constitué d'alternance de bancs rosés plus durs et de bancs de calcaire pulvérulent (couche 3). La zone se caractérise donc par un substrat plutôt marno-calcaire grisâtre, les petites poches irrégulières apparaissant sous l'horizon de sol actuel, lui donnant en outre un aspect marbré. Dans ce secteur, la stratigraphie s'est avérée suffisamment carbonatée pour permettre la conservation de coquilles d'escargots dans le remplissage du fossé F. 26

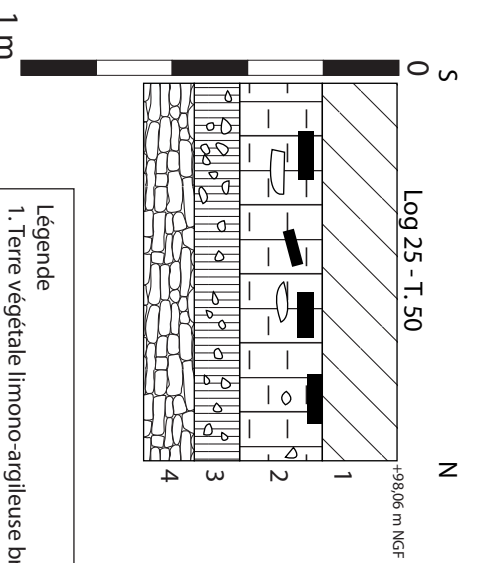


- Légende**
1. Terre végétale limono-argileuse brun-gris avec meulière.
 2. Limon argileux btun compact à granules siliceux et calcaire. Points FeMn à la base.
 3. Argile plastique brun-rougeâtre.
 4. Substrat calcaire rosé, argilo-manneux, de teinte lie-de-vin à jaunâtre.



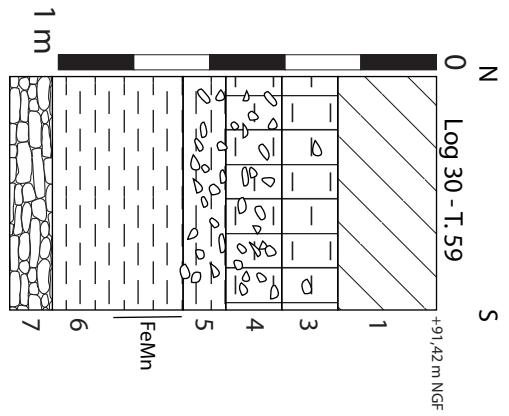
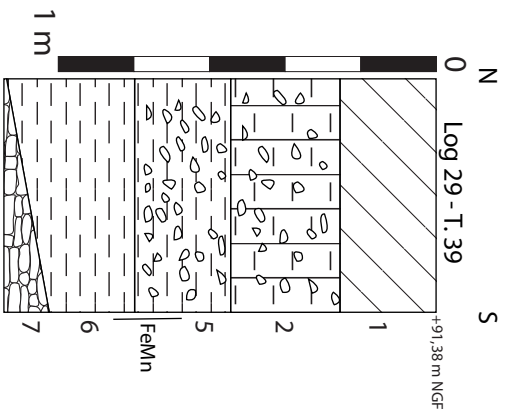
- Légende**
1. Terre végétale limono-argileuse brun-gris à nombreux graviers calcaires.
 2. Poche de calcaire pulvérulent gris-clair et granules calcaires (altération).
 3. Substrat calcaire avec alternance de bancs rosés plus durs et de calcaire pulvérulent.

Reliés : V. Deloize, 12/10/18.
DAO : V. Deloize, 30/01/19.



- Légende**
1. Terre végétale limono-argileuse brun-gris foncé à débit prismatique.
 2. Limon argileux brun à TCA et éléments calcaires en plaquettes.
 3. Argile limoneuse à granules calcaires et pseudomycélium dans le réseau racinaire.
 4. Substrat calcaire altéré.

Reliés : V. Deloize, 12/10/18.
DAO : V. Deloize, 30/01/19.



- Légende**
1. Terre végétale limono-argileuse brun-gris à nombreux graviers calc. et silex.
 2. Limon argileux gris à nombreux granules calcaires.
 3. Limon argileux brun à rares granules calcaires et siliceux.
 4. Granules calcaires et siliceux dans limon argileux brun.
 5. Argiles gris-ocre ou beige clair à granules calcaires et siliceux abondants.
 6. Argile plastique bariolée, parfois à FeMn.
 7. Calcaire pulvérulent gris-blanc.

Reliés : V. Deloize, 12/10/18.
DAO : V. Deloize, 30/01/19.

Figure 5 : autres logs géologiques isolés - Diagnostic archéologique de Bléré (37) «ZAC Bois Gaupied».

- Log 29 (tranchée 39) et Log 30 (tranchée 59).

Ces deux logs (figure 5) ont été relevés dans deux tranchées distinctes éloignées seulement d'une quarantaine de mètres. Le substrat calcaire y a été atteint à environ 1 m de profondeur sous un faciès calcaire plutôt pulvérulent gris-blanc (couche 7). Il est coiffé par deux niveaux à dominante argileuse : 20 à 35 cm d'argile plastique bariolée, parfois à points d'oxydation ferromanganique (couche 6), et 11 à 24 cm d'argiles gris-ocre ou beige clair à granules calcaires et siliceux abondants (couche 5). Au-dessus, le Log 30 montre 15 cm de granules calcaires et siliceux dans un limon argileux brun (couche 4) auquel se superposent 15 cm de limon argileux brun à rares granules calcaires et siliceux (couche 3). Le Log 29 se compose en revanche de 29 cm de limon argileux gris à nombreux granules calcaires (couche 2). Enfin, les deux logs sont coiffés au sommet par 25 cm de terre végétale limono-argileuse brun-gris à nombreux graviers calcaires et siliceux (couche 1).

- Log 31 (tranchée 68) et Log 33 (tranchée 75/76).

Ils se caractérisent tous deux par un faible recouvrement superficiel au-dessus du substrat (figure 4) apparaissant ici sous un faciès marno-calcaire blanc/rose saumoné à indentations et bioturbations argilo-limoneuses brun-jaune (couche 4).

En Log 31, ce substrat est recouvert par 17 cm de granules siliceux et calcaires anguleux emballés dans une matrice argilo-limoneuse brun foncé (couche 3), alors qu'en Log 33, il est coiffé directement par 18 cm de limon argileux brun clair à brun gris à quelques granules calcaires (couche 2). Les deux stratigraphies s'achèvent par 20 à 25 cm de terre végétale limono-argileuse brun-gris à quelques calcaires et silex anguleux (couche 1).

4. Corrélations et interprétations.

4. 1. Méthodologie.

Ces 38 relevés géologiques ponctuels ont abouti à la conception d'un tableau de corrélations stratigraphiques (tableau 1) entre les différentes couches sédimentaires mises en évidence, y compris les divers faciès du substrat basal. Au final, il a ainsi pu être défini seize niveaux sédimentaires distincts, notés de niveau A à niveau P, sur l'ensemble de l'emprise.

4. 2. Les différents faciès du substrat.

Le substrat calcaire, de faciès dur et franc (niveau P), a été rencontré sur les Logs 3, 32, 34, 35, 36, 37 et 38 (tableau 1), c'est-à-dire plutôt dans le quart sud-ouest de l'emprise. Il s'agit, d'après les données cartographiques, du Calcaire lacustre de Touraine (e7) daté du Ludien. Mais nos observations sur le terrain ont permis aussi de le rencontrer par ailleurs, comme dans la tranchée 48 où le calcaire dur apparaît immédiatement sous la terre végétale (niveau A) sous la forme d'une bande large de 2 à 3 m d'axe OSO/ENE. Dans la tranchée 42, ce sont cinq bandes parallèles subaffleurantes de calcaire dur qui ont été mis en évidence sous la terre végétale. Et certaines d'entre elles ont révélé un calcaire assez diaclasé verticalement, ce qui lui donne un aspect moutonné.

En cartographie, ce calcaire dur dessine globalement sur l'emprise deux lignes nord-ouest/sud-est (équivalent US 333 ?). A une certaine période, elles devaient peut-être constituer, en quelque sorte, de petits reliefs émergeant : ainsi, les fosses d'extraction dans la partie sud du

Tableau 1 : tableau de corrélations stratigraphiques entre les couches sédimentaires mises au jour sur le diagnostic de Bléré "ZAC Bois Gaulpied".

Log 1	Log 2/4/5	Log 3	Log 6	Log 7 à 11	Log 12	Log 13	Log 14	Log 15	Log 16	Log 17	Log 18	Log 19	Log 20	Log 21 à 23	Log 24/26	Log 25	Log 27	Log 28	Log 29	Log 30	Log 31	Log 32/38	Log 33	Log 34	Log 35	Log 36	Log 37	Description géologique
1	1	1	1	1		1	1	1	1	1		1	1	1	1	1	1	1	1	1	1	1	1	1	1	1	1	Terre végétale limono-argileuse brun-gris = niveau A
			2			2 à 4																						Limons argileux brun-gris à graviers siliceux et calcaire = B
																												Limons argileux brun à TCA et éléments calcaires en plaquettes = C
																												Limons argileux brun à brun-jaune à qq calcaires = D
																												Limons argileux brun un peu orangé, sableux à qq calcaires = E
																												Limons argileux brun-rouge à rares calcaires = F
																												Argile limoneuse brun-rouge à nbx calcaires et silex = G
																												Argile compacte brun-rouge homogène = H
																												Argile compacte brun-rouge/brun-jaune à calcaires/silex = I
																												Argile grise à quelques silex anguleux = J
																												Nbx granules calcaires et siliceux, concrétions de Fer = K
																												Marno-silico-calcaire de teinte bariolé = L
																												Injection de granules jaunes et abondants calcaires = M
																												Calcaire pulvérulent mêlé d'argile brun-rouge = N
																												Calcaire plus ou moins altéré en plaquettes = O
																												Calcaire franc = P

diagnostic correspondent exactement aux délimitations du calcaire émergeant US 333 équivalent du regroupement des niveaux P et O). Enfin, l'ensemble des structures agricoles quelles soient protohistoriques ou médiévales semble aussi se projeter dans ces deux grandes zones.

Dans d'autres secteurs (cf. Logs 12, 13, 21 à 23 et 25), le calcaire lacustre de Touraine (e7) daté du Ludien apparaît plutôt sous un faciès plus ou moins altéré en plaquettes (niveau O - équivalent à US 121 et US 333). En revanche, au niveau des Logs 6, 18, 19, 20, 24-26, 28, 29 et 30, il s'agit plutôt de calcaires pulvérulents mêlé de passées argileuses de teinte plutôt brun-rouge (niveau N - équivalent à US 121). Ceci est conforme aux données géologiques locales puisque le Calcaire lacustre de Touraine (e7 = Ludien) est décrit (Rasplus et al, 1982) sous des faciès variés et lenticulaires, des limites floues et aussi des passages latéraux de faciès (argiles vertes, marnes, calcaires pulvérulents, calcaires en plaquettes, calcaires bréchiques, calcaires noduleux, meulière rubanées ou compactes, ...).

En deux endroits (Log 12 et Log 28), il a été observé en outre des injections ou des poches argileuses à granules détritiques (niveau M), dessinant des structures en creux à remplissage argileux mêlé d'éléments plus ou moins grossiers. Si elles ont un temps pu être interprétées comme d'éventuelles structures d'origine anthropiques, il semble plutôt qu'il s'agisse de figures dues aux phénomènes de gel (géliturbation, cryoclastie...).

Outre les faciès à dominante calcaire évoqués ci-dessus, il a été rencontré parfois (Log 1, 2/4/5, 15, 16, 18, 27, 29, 30, 31 et 33), un substrat majoritairement marno-argilo-calcaire avec des teintes bariolées (niveau L), ce qui est aussi conforme avec les variations latérales de faciès au sein même du Calcaire lacustre de Touraine.

4. 3. Les niveaux d'altération plus ou moins remaniés.

Les Logs 7 à 11, 13, 14 et 16 ont révélé la présence d'une couche argileuse dominée par la présence d'abondants granules détritiques de nature calcaire et siliceuse parfois mêlés de concrétions ferrugineuses (niveau K) ; elle pourrait correspondre à l'un des faciès des formations résiduelles argilo-siliceuses du Sénonien (C4-6S), parfois associées à des imprégnations ferrugineuses (Rasplus et al, 1982).

Au-dessus, quatre niveaux à dominante argileuse, homogène ou contenant des éléments grossiers, ont été répertoriés :

- une argile grise à quelques silex anguleux (niveau J), observée très ponctuellement sur les Logs 13 et 18,
- une argile compacte brun-rouge à brun-jaune à nombreux éléments calcaires et siliceux (niveau I) sur les Logs 2/4/5, 6, 7 à 11, 12, 13, 15, 17, 18, 25, 29, 30 et 32/38,
- une argile compacte brun-rouge homogène (niveau H) sur les Logs 1, 2/4/5, 12, 14, 19, 21 à 23, 27, 35 et 36,
- une argile limoneuse brun-rouge contenant de nombreux granules calcaires et siliceux (niveau G) sur les Logs 1, 2/4/5, 17, 19, 21 à 23, 24/26, 31, 32/38 et 36.

Les niveaux I et J correspondraient à deux des faciès argileux de teinte variable et contenant des silex, qui se rattache aux formations argilo-siliceuses du Sénonien (C4-6S).

Les niveaux G et H pourraient être interprétés comme deux faciès distincts de l'horizon de décarbonatation, résultant de la dissolution du Calcaire lacustre de Touraine, l'un très homogène (niveau H) et l'autre mêlé d'éléments détritiques siliceux grossiers (niveau I).

En revanche, le niveau G auquel aurait été incorporée une portion de sédiments à dominante limoneuse, impliquerait éventuellement que nous soyons plutôt en présence d'un mélange remanié d'argiles de décarbonatation et de limons superficiels sus-jacents, c'est-à-dire les premiers indices de colluvionnement dans le secteur.

Les argiles à silex abondants contiennent des accidents siliceux mêlés à une fraction fine résiduelle, surtout argileuse, souvent polluée aussi par une fraction silicatée fine riche en sable (issue des formations tertiaires sableuses par remaniement ?). Ces formations argilo-siliceuses proviennent surtout de la décarbonatation des craies sous-jacentes (appartenant plutôt au Sénonien dans ce secteur) et elles peuvent atteindre plus de 50 m d'épaisseur au fond de certaines poches dans la craie sous-jacente (Campy, Macaire 2003).

Pour ce qui est des argiles homogènes sans accidents siliceux, on parlera plutôt d'argiles de décarbonatation, qui se forment aux dépens d'une roche calcaire sous une couverture détritique perméable, ici plutôt limoneuse (niveaux A à F). Au contact couverture/calcaire s'individualise un horizon argileux d'épaisseur décimétrique qui épouse la forme des poches de dissolution (Campy, Macaire 2003). Il se compose de minéraux argileux de néoformation et de minéraux résiduels du calcaire et leur formation dépend de l'activité karstique (circulation souterraine de l'eau).

4. 4. La couverture de formations superficielles.

Les formations sus-jacentes au substrat géologique (niveaux L à P) et à ces différents faciès d'altération (niveaux G à K) constituent la couverture de formations superficielles à granulométrie limoneuse dominante, avec six niveaux distincts noté de niveau A à niveau F, et assez inégalement répartis sur l'emprise.

Au niveau des Logs 1, 21 à 23, 32/38, 34, 35, 36 et 37, il a été observé un limon argileux brun-rouge à quelques éléments calcaires détritiques (niveau F) atteignant une épaisseur maximale de 0,5 m (Log 35). Les premières observations sur le terrain nous avaient fait émettre l'hypothèse de deux nappes de limons d'origine éolienne dans cette partie de l'emprise (cf. les deux nappes identifiées en cartographie dans le quart sud-ouest). Mais la présence conjointe au sein de ce niveau de granules calcaires colluviés (probablement arrachés au substrat) et d'une portion non négligeable de sédiments de nature argileuse (provenant vraisemblablement du remaniement des argiles d'altération sous-jacente) pencherait plutôt en faveur de dépôts majoritairement d'origine colluviale. La teinte brun-rougeâtre de ce niveau pourrait souligner l'enrichissement par illuviation d'oxydes de fer et d'aluminium dans les sédiments, c'est-à-dire un éventuel horizon B de sol remanié. Ce niveau F est l'équivalent de l'US 711 définie par l'équipe archéologique et qui a livré des tessons et des silex de datations diverses, ce qui confirmerait la prédominance des phénomènes de colluvionnement pour la mise en place de ce niveau.

Dans la nappe de limon brun-rouge la plus à l'ouest, ce niveau a livré deux tessons (gallo-romain et moderne), mais aussi quatre silex dont les datations sont les suivantes :

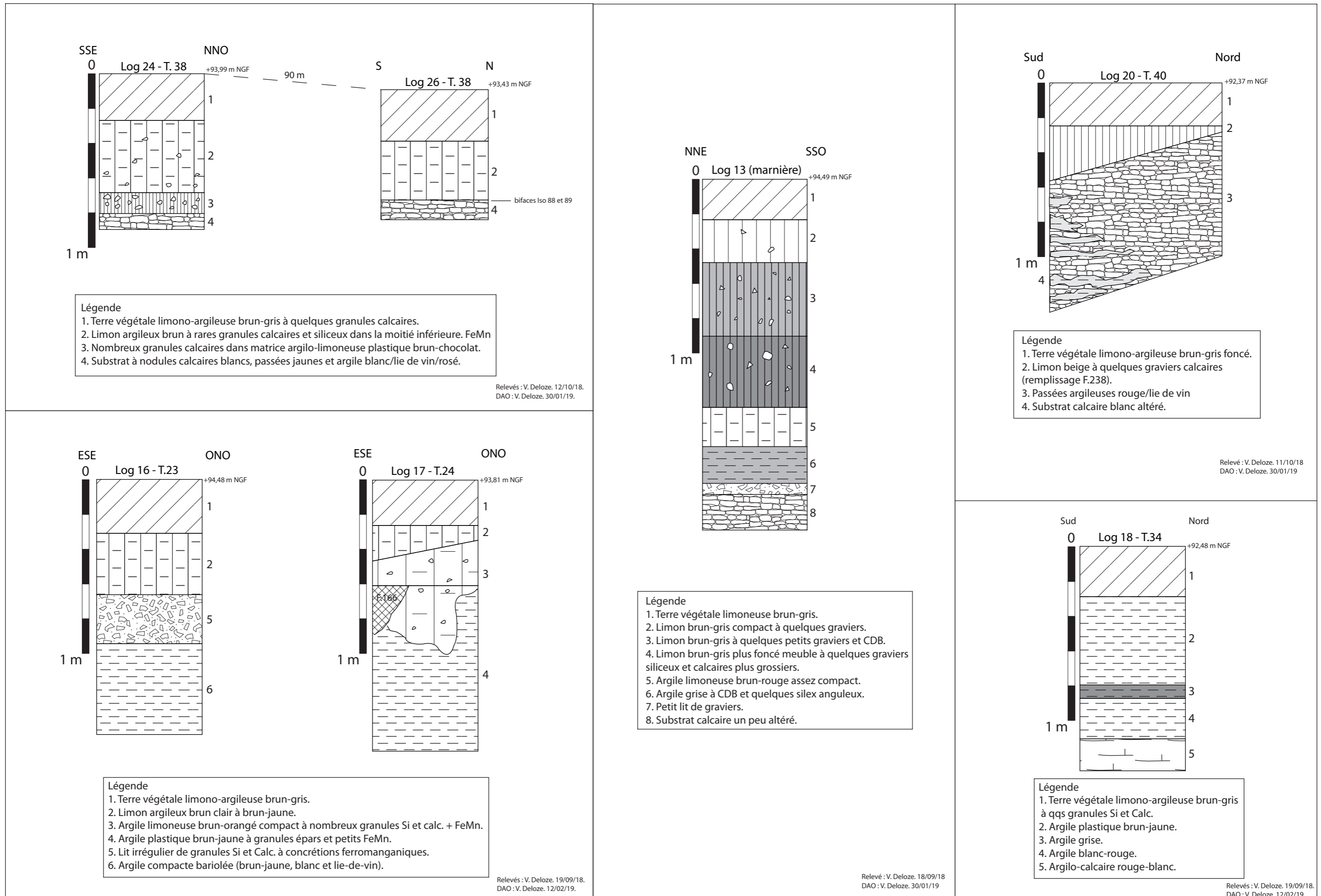


Figure 6 : Tr 38 et autres logs géologiques isolés - Diagnostic archéologique de Bléré (37) «ZAC Bois Gaulpied».

- ISO 117 : Paléolithique supérieur,
- ISO 122 : pré-protolithorique,
- ISO 126 : Paléolithique supérieur/ Néolithique,
- ISO 127 : Paléolithique moyen /Néolithique.

Et dans l'autre nappe de limon brun-rouge au sud de l'emprise, ont été découverts quatre fragments de céramique (ISO 98 = La Tène finale/gallo-romain ; ISO 99 = La Tène moyenne ; ISO 102 = gallo-romain ? ; ISO 103 = Bronze moyen), ainsi que trois silex (ISO 104 = Paléolithique supérieur/ Néolithique ; ISO 105 = Néolithique ; ISO 135 = pré-protolithorique).

Un limon argileux de teinte brune un peu orangée, à petite composante sableuse et à quelques éléments calcaires détritiques (niveau E), a ponctuellement été observé au niveau des Logs 2/4/5 et Log 30. Ce niveau se cantonne donc plutôt au centre de la moitié est de l'emprise. La composante sableuse qu'il recèle pourrait être issue du remaniement de la fraction sableuse des Sables argileux et graviers continentaux post-helvétiques (m3-p), épandage détritique de type fluviatile datant de la fin du Miocène et cartographié à l'ouest de Bois Gaulpied. Il pourrait donc s'agir d'un petit épandage de dépôts (RM3-p) c'est-à-dire le Complexe résiduel à sables grossiers argileux et graviers dominants, parfois colluvionné (Rasplus et al, 1982), et dérivant de celui cartographié dans la forêt de Bois Gaulpied. Il s'agit donc là aussi de sédiments d'origine colluviale se distinguant de la phase précédente par l'incorporation de sables détritiques.

Au-dessus, les limons argileux de teinte brune à brun-jaune et contenant quelques graviers calcaires (niveau D) sont nettement plus ubiquistes sur l'emprise, puisque leur présence a été constaté sur les Logs 2/4/5, 3, 7 à 11, 14, 15, 16, 17, 24/26, 27, 30, 31, 32/38 et 33. Relativement peu épais (0,47 m au maximum), ils incorporent vraisemblablement une petite part de sédiments d'origine éolienne, issus des limons de plateau (LP), bien qu'aucun épandage de ces derniers ne sont cartographiés sur l'emprise. Seule une analyse plus détaillée de ces sédiments permettrait néanmoins de le confirmer ou de l'infirmer. La présence de petits graviers calcaires détritiques au sein de ce niveau confirmerait leur origine plutôt colluviale.

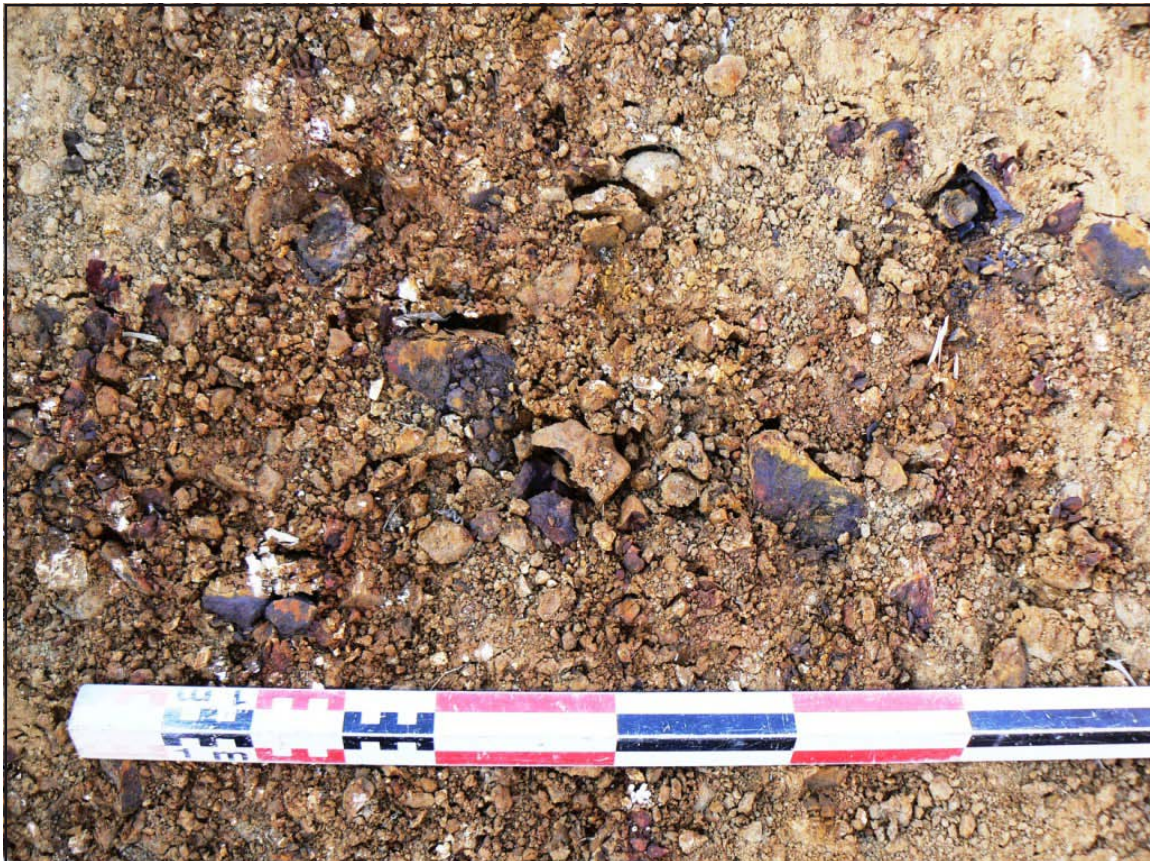
Rencontré uniquement sur le Log 25, le limon argileux brun à fragments de terre cuite architecturale et éléments calcaires en plaquettes (niveau C) constitue un probable niveau de démolition (équivalent US 496) qu'il faut mettre en relation avec l'occupation anthropique mise en évidence à proximité du Log 25 dans la tranchée 50.

Au-dessus, il a parfois été observé un limon argileux brun-gris à graviers siliceux et calcaires (niveau B) en particulier sur les Logs 6, 13, 20, 21 à 23 et 29. Il s'agit très probablement des limons de plateau les plus récents, d'origine mixte éolo-colluviale, comblant en particulier les structures creuses de type marnières rencontrés en plusieurs points sur l'emprise (cf. Log 13). Les datations de ces marnières ne sont pas aisées, car sur la base de datations C14, plusieurs périodes sont envisageables : il y a deux dates, mérovingien ou carolingien, mais jamais antérieure à l'époque gallo-romaine, du côté des céramiques découvertes. Leurs sont associées beaucoup de silex résiduels plus anciens, dont les datations vont jusqu'au Paléolithique moyen. Ces mélanges d'artefacts divers soulignent et confirment donc leur comblement plutôt par des sédiments d'origine éolo-colluviale, remaniant de facto les mobiliers qu'ils contiennent.



Clichés : V. Deloze.

Photo 1 = Minerai observé dans la couche 4 du Log 14.



Clichés : V. Deloze.

Photo 2 = Minerai observé dans la couche 4 du Log 14.

Figure 7 : clichés photographiques de minerai - Diagnostic archéologique de Bléré (37) «ZAC Bois Gaulpied».

Enfin, sur toute l'emprise, la stratigraphie s'achève par la terre végétale limono-argileuse brun-gris (niveau A) qui correspond à l'horizon de sol actuel, développé au sommet des stratigraphies quel que soit le niveau sous-jacent (faciès du substrat et de ces argiles d'altération, ou bien faciès de la couverture limoneuse superficielle).

5. Conclusion.

Les observations géologiques menées sur l'emprise de la future « ZAC de Bois Gaulpied » à Bléré, ont permis de relever 38 logs géologiques lors de la campagne de diagnostic archéologique du SADIL. Leur étude détaillée ont permis de mieux cerner le contexte stratigraphique local, depuis les différents faciès du substrat géologique et ces différents horizons d'altération, plus ou moins remaniés, jusqu'aux diverses nappes de formations superficielles. Enfin, leur mise en parallèle avec les diverses découvertes archéologiques mises au jour dans les tranchées de diagnostic ont permis de poser quelques jalons chronologiques.

BIBLIOGRAPHIE ET CARTOGRAPHIE

- Campy, Macaire 2003 : CAMPY (M.), MACAIRE (J.-J.) - Géologie de la surface : érosion, transfert et stockage dans les environnements continentaux. Ed. Dunod, Paris, 2ème édition, 2003, 440 p.

- Foucault, Raoult 2010 : FOUCAULT (A.), RAOULT (J.-F.) - Dictionnaire de géologie. Ed. Dunod, Paris, 7ème édition, 1992, 352 p.

- Mathieu, Lozet 2011 : MATHIEU (C.), LOZET (J.) – Dictionnaire encyclopédique de science du sol. Ed. Tec et Doc. Lavoisier, Londres/Paris/New-York, 2011, 733 p.

- Rasplus et al, 1982 : RASPLUS (L.), MACAIRE (J.-J.), ALCAYDE (G.) - Carte géologique de la France à 1/50 000, feuille de Bléré « Entre Indre et Cher » (488). Editions du BRGM, Orléans, 1982, une carte et une notice de 27 p.

RAPPORT DE SPÉCIALISTE : LA CÉRAMIQUE NÉOLITHIQUE ET PROTOHISTORIQUE DE BLÉRÉ «ZAC DE BOIS GAULPIED» (37)

ROLAND IRRIBARRIA (UMR 8215 TRAJECTOIRES / ASSOC. ACHEOLOGIE POUR TOUS)

Le diagnostic de la phase 1 de la ZAC du Bois Gaulpied a fourni à nouveau un lot de céramiques néolithiques et protohistoriques inédit. Comme la plupart des opérations de Sublaines sur la même ZAC avait nécessité notre intervention en tant que céramologue, néolithicien, le service archéologique du CG 37 (SADIL) a fait appel à notre service pour assurer la continuité du même type d'étude sur le secteur mitoyen.

Méthode :

Toute la difficulté de l'analyse des vestiges céramiques provenant d'un diagnostic réside dans l'attribution la plus précise possible pouvant donner des arguments pour la prescription. Aussi compte tenu de la fragmentation importante des tessons en contexte d'habitat, il ne faut pas espérer obtenir des résultats par la simple typologie. Il y a en effet peu d'éléments de formes et de décors présents dans ce type de lot et celui-ci n'échappe pas à la règle. Il faut donc faire appel aux éléments discriminants de la technologie en se basant dans un premier temps sur ceux qui sont lisibles sur les quelques éléments typologiques présents, et datables. On peut ensuite extrapoler ces caractères à tous les simples tessons semblables provenant d'autres structures ou isolations. Cet exercice permet ensuite d'avoir une vue d'ensemble sur les différentes occupations du site.

Il se trouve que ce lot comporte trois vases archéologiquement complets, ce qui pose question dans un contexte où la fragmentation est extrême. Ce problème sera interprété au fur et à mesure de l'analyse.

Le premier travail, du reste assez long, a consisté à recoller tous les tessons disponibles. Il s'agit ici des effets normaux, dus à la méthode d'investigation par tranchées réalisées à la pelle mécanique qui écrase et morcelle les tessons existants. Il a donc fallu retrouver les recollages de toutes les cassures fraîches. Seuls les trois vases complets ont permis des recollages sur cassures anciennes.

L'analyse technologique :

Elle consiste à passer tous les tessons sous la loupe binoculaire pour déterminer les différents caractères. En effet, la vision à l'œil nu ne permet pas d'identifier avec certitude les différents minéraux composant les pâtes.

L'analyse a été simplifiée en trois grands critères, qui suffisent à la détermination de types, dans ce premier temps du diagnostic :

1 – fréquence en % et description des composants :

Ces derniers apparaissent dans le tableau en abréviations : « ch » : chamotte, « qu » : quartz roulé, « mic » : mica en paillettes de couleur or ou argent, « oxfer » : nodules d'oxyde de fer. Il existe un cas de dégraissant végétal (brindilles).

2 – les traitements de surface :

Ils se composent de plusieurs types de traitements : « lis » : lissage simple au doigt, « lis soigné » : lissage poussé laissant apparaître une surface totalement uniforme, « lis. mm » : soit le lissage réalisé en humectant les doigts dans un liquide avant de procéder au lissage humide des surfaces, souvent préalablement grattées, « pol mat » : polissage à l'aide d'un objet dur : pointe d'andouiller de cervidé, galet, estèque en os ou en bois. L'aspect « mat » dépend des argiles employées, car le même procédé sur des argiles différentes peut provoquer une brillance plus ou moins prononcée (fig.1).

3 – Les épaisseurs des parois :

Elles sont exprimées en millimètres, elles permettent de déterminer l'appartenance probable des tessons à des vases des catégories fonctionnelles : vases fins de petite taille (5 mm), pots à cuire (entre 6 et 8 mm), grands vases à provisions (8 à 12 mm). Ces valeurs tiennent compte à la fois de l'expérience acquise sur d'autres séries, des différentes expérimentations que nous avons mené, et surtout de la référence aux vases plus complets, présents dans ce lot.

4 – les types de cuisson :

Plutôt que de procéder à une description des successions de colorations des tranches des tessons, il nous a paru plus efficace, d'après notre expérience de passer directement à l'interprétation de ces successions de colorations. En effet toute cuisson commence toujours dans une atmosphère réductrice du fait de la captation de l'oxygène par le combustible.

Ce n'est qu'une fois que la température de cuisson est atteinte (entre 600 et 800 °) que les potiers retirent les céramiques de la fournaie (« fin ox 1 »), soit laissent les vases refroidir dans le foyer (« fin ox 2 »). La pellicule de surface s'oxyde alors plus ou moins selon le temps laissé sur le foyer avant refroidissement. Dans quelques cas, il existe un stade d'enfumage à la fin de la cuisson qui provoque une teinte noire soutenue mais qui n'affecte qu'une pellicule très superficielle des tessons (« -enf » du tableau).

Ces données couplées aux quelques cas présents, où la typologie des vases est connue permet d'avoir un aperçu global de la production et des différentes chaînes opératoires utilisées lors de chaque occupation.

A - la production céramique du Bronze moyen

Etant donné qu'il s'agit de l'occupation principale, elle sera traitée en priorité.

La vaisselle fine :

Elle se caractérise par plusieurs critères :

- la finesse des parois (environ 5 mm)
- un pourcentage toujours élevé de dégraissant (autour de 20 %)
- une composition complexe avec ajout de chamotte à une pâte argileuse qui semble contenir naturellement du quartz roulé, du mica et des nodules d'oxyde de fer qui révèle une extraction dans un milieu humide.
- un lissage soigné des surfaces
- une cuisson à fin oxydante dont les effets (couleur chaude affectant l'épaisseur des tranches sur plus d'un millimètre) sont masqués par une opération d'enfumage postérieure

Ces caractères se retrouvent sur la coupelle à bord renflé et arrondi (vase 1, fig. 3), mais également sur la petite urne biconique décorée (vase 2, fig. 2), et sur le petit bord renflé vase 4, fig. 2). Ils existent également sur l'autre exemplaire d'urne décorée (vase 5, fig. 3) de la tr. 59, et également sur de simples tessons (F 87, tr. 11), dans la tr. 59 encore, les isos 12 et 103.

Bois Gaulpied phase 1

tranchée	fait, iso	US	lot	pds gr	nombre	décor	dégraissant		trait surf	ép.	cuisson		datation	état
							%	composition	en mm		en mm			
2	F 28	811	lot 132	4	1 bord			20	ch-qu-mic-ox	lis soigné	5	fin ox 2-enf	Br moyen	fig 3 v 1
3			lot 224	4	3 tess	non	20/30	qu-mic-oxfer	lis	6	fin ox 2	Br moyen		
4	F 42	45	lot 100	6	1 tesson			20	ch-qu-mic-ox	lis	7	fin ox 2	Br moyen	
5	iso 11	2	lot 103	13	1 tesson	non		10	qu-mic-oxfer	desq	6 à 7	réd	Néo moyen	desqu.
5	iso 14	2	lot 122	13	2 tessons	non		20	ch-qu-mic-ox	lis	9	fin ox 2	Br moyen	
5	iso 15	2	lot 5	1	1 tess	non		20	qu-mic-oxfer	lis	6	fin ox 2	Br moyen	
5	iso 15	2	lot 5	29	5 fragm torchis	non		30	qu-oxfer	?		ox	Br moyen ?	
5		2	lot 128	26	11 tess	non	20/30	qu-oxfer	lis	7	fin ox 2	Br moyen		
5	F 50	58	lot 140	1	1 petit tesson	non	?						proto	concrétions
5	F 62	69	lot 123	24	1 tesson	non		20	qu-oxfer	?	8	réd	Néo moyen ?	desqu.
9	iso 34	2	lot 156	1432	1 vase entier	non		20	qu-oxfer-cha	lis soigné	6 à 10	fin ox 2	Br moyen	fig 2 v1
9	iso 37	2	lot 150	27	1 tesson	non		10	qu-oxfer	?	7	fin ox 2	Br moyen ?	concrétions
9	iso 38	2	lot 126	54	7 tess = 1 vase	non		10	qu-oxfer-cha	lis	6 à 7	fin ox 2	Br moyen	cf is 37
9	iso 62	2	lot 138	11	1 tesson	ligne double incisée		10	qu-oxfer-cha	lis	6 à 7	fin ox 2	Br moyen	cf iso 37-38
9	arg brun	2	lot 129	39	10 tess	hachures incis.	20/30	qu-oxfer-cha	lis soigné	7	fin ox 2-enf	Br moyen	fig 2 v 2	
9	arg brun	2	lot 129	1	1 bord	bord souligné	20/30	qu-oxfer-cha	lis soigné	7	fin ox 2-enf	Br moyen	fig 2 V 4	
11		2	lot 101	15	1 tesson	non		20	qu-oxfer-cha	lis	7	fin ox 2-enf	Br moyen	
11		2	lot 101	14	1 tesson	non		20	qu-oxfer-cha	lis	9	fin ox 2-enf	Br moyen	
11	iso 50	2	lot 137	6	2 tessons	non		20	qu-oxfer	lis	5	fin ox 2	Br moyen	
11		1	lot 25	11	1 tesson		20/30	qu-oxfer	lis ?	8	fin ox 2 - enf ?	Br moyen		
11	F 81	101	lot 127	92	28 petits tess	non	20/30	qu-mic-oxfer	lis	7 à 10	fin ox 2	Br moyen		
11	F 83	107	lot 3	5	1 tesson	non	20/30	qu-oxfer	lis ?	7	fin ox 2	Br moyen		
11	F 87	110	lot 134	12	2 tessons	non		20	qu-oxfer	lis	8	fin ox 2	Br moyen	
11	F 87	115	lot 135	8	1 tesson	non		20	qu-mic-oxfer	lis	6 à 7	fin ox 2-enf	Br moyen	
12		2	lot 8	23	9 tessons	non		20	qu-oxfer-cha	lis ?	7 à 8	fin ox 2	Br moyen	
12		2	lot 8	1	1 décor	cordons digité	20	qu-oxfer	lis	8	fin ox 2-enf	Br moyen	cf v 3 fig 3	cf lot 111 tr 12
15	iso 68	2	lot 111	21	1 tesson	cordons digité	20	qu-oxfer	lis	8	fin ox 2-enf	Br moyen		
19	F 121	205	lot 48	2	1 petit tesson	non		20	qu-oxfer	lis ?	7	fin ox 2	Br moyen	
21		1	lot 110	2	1 petit tesson	non		10	qu-végétal-cl	lis ?	6	réd	Br ?	
23	F 29	2	lot 104	14	2 tessons	non		10	qu-oxfer-ép	lis	5 à 6	fin ox 2	Br moyen	

tranchée	fait, iso	US	lot	pds gr	nombre	décor	dégraissant		trait surf	ép.	cuisson		datation	état
							%	composition	en mm		en mm			
28	F 178	251	lot 2	8	2 tessons	non		10	qu-chamot	pol mat	8	fin réd	NM2	
29	F 180	261	lot 130	830	1 vase entier	barrettes vert		5	qu	lis mm	7	fin ox 1	Chambon	fig 1, vase 2
30	F 179	268	lot 118	7	1 gobelet	mamelon		20	qu-mic-oxfer	lis	6	fin ox 2	Br moyen	Fig 3 v 2
32	F 189	254	lot 160	1140	1 bouteille	mamel/bord		10	cham-quartz	lis mm	5 à 7	fin ox 1 et enfum	Chambon	fig 1, v 1
32	F 188	815	lot 136	3	1 tesson	non		10	qu-chamot-cl	lis mm	5	fin lég ox	Chambon	
34	iso 82	2	lot 117	25	9 tes = 1 vase	non		20	qu-oxfer	lis	7	fin ox 2	Br moyen	
39		2	lot 4	2	1 tesson	bout. au repoussé		10	qu-chamot-o	lis	4 à 5	fin ox 1	Chambon	fig 1 v3
39	F 229	336	lot 154	11	2 tess + torchis	non		30	qu-oxfer	lis	9	réd	Br moyen	
39	F 229	336	lot 154	15	1 tesson	non	10à20	qu fin	lis soigné	5	fin ox	Néo moyen		
39	F 229	336	lot 154	6	1 bord	non	10à20	qu fin	pol mat	9	réd	Néo moyen	fig ?	
46	F 309	434	lot 153	3	1 fond plat	ligne incisée		20	qu fin	lis	5	fin ox 1 et enfum	Br moyen	fig 3, v 6
48	F 285	406	lot 151	4	3 petits tess	non		20	qu-chamot-o	lis	9	fin ox 2	Br moyen	
48	F 287	432	lot 121	54	3 torchis	non		20	qu-chamot-o	lis	20	ox totale	Br moyen	
48	F 299	445	lot 115	6	1 tesson	non		20	qu-oxfer	lis	8	fin ox 2	Br moyen	
49	F 292	511	lot 119	3	2 tessons	non		20	qu-mic-oxfer	lis	5	fin ox 1 et enfum	Br moyen	
49	F 292	515	lot 62	2	1 tesson fin	non		20	qu-mic-oxfer	lis	5	fin ox 1 et enfum	Br moyen	
50	F 413	552	lot 105	6	2 tessons	cér tournée							Hist	Bas-Emp ?
57	F 376	590	lot 141	1	1 petit tesson			20	qu-oxfer	?	5	fin ox 2	Br moyen	
59	iso 103	2	lot 315	45	1 bord,1 décr	hachures incis.	20/30	qu-oxfer	lis	7	fin ox 1 et enfum	Br moyen	fig 3 v 5	
59	iso 102	2	lot 125	18	10 tess = 1 vase	non		20	qu	lis	4	fin ox 1 et enfum	Br moyen	
60		2	lot 149	11	1 tesson	non	20/30	qu-oxfer	lis	9	fin ox 2	Br moyen		
64	iso 119	2	lot 142	1	1 tesson	non		20	qu	lis	5	fin ox	Br moyen	
68	450	655	lot 152	10	1 tesson	non		10	qu-chamot-cl	pol mat	5,5	fin ox 1	NM2	
68	450	655	lot 152	182	40 tess	non		20	qu fin	pol mat ext	8	fin ox	NM2	
70	457	818	lot 114	9	6 petits tess.	non		20	qu	lis	7	fin ox 1	Br moyen	fig 3, v 4
85		1	lot 106	12	1 tesson	mamelon	20/30	qu-chamot-cl	lis	6	fin ox	Br moyen		

if des caractères typo-technologiques de la Céramique de Bléré

Figure 1 : Tableau récapitulatif des caractères typo-technologiques de la céramique de Bléré

Les vases de taille moyenne du Bronze moyen dont les caractères sont :

- la finesse des parois (environ 6 à 7 mm)
- un pourcentage peu élevé de dégraissant (autour de 10 %)

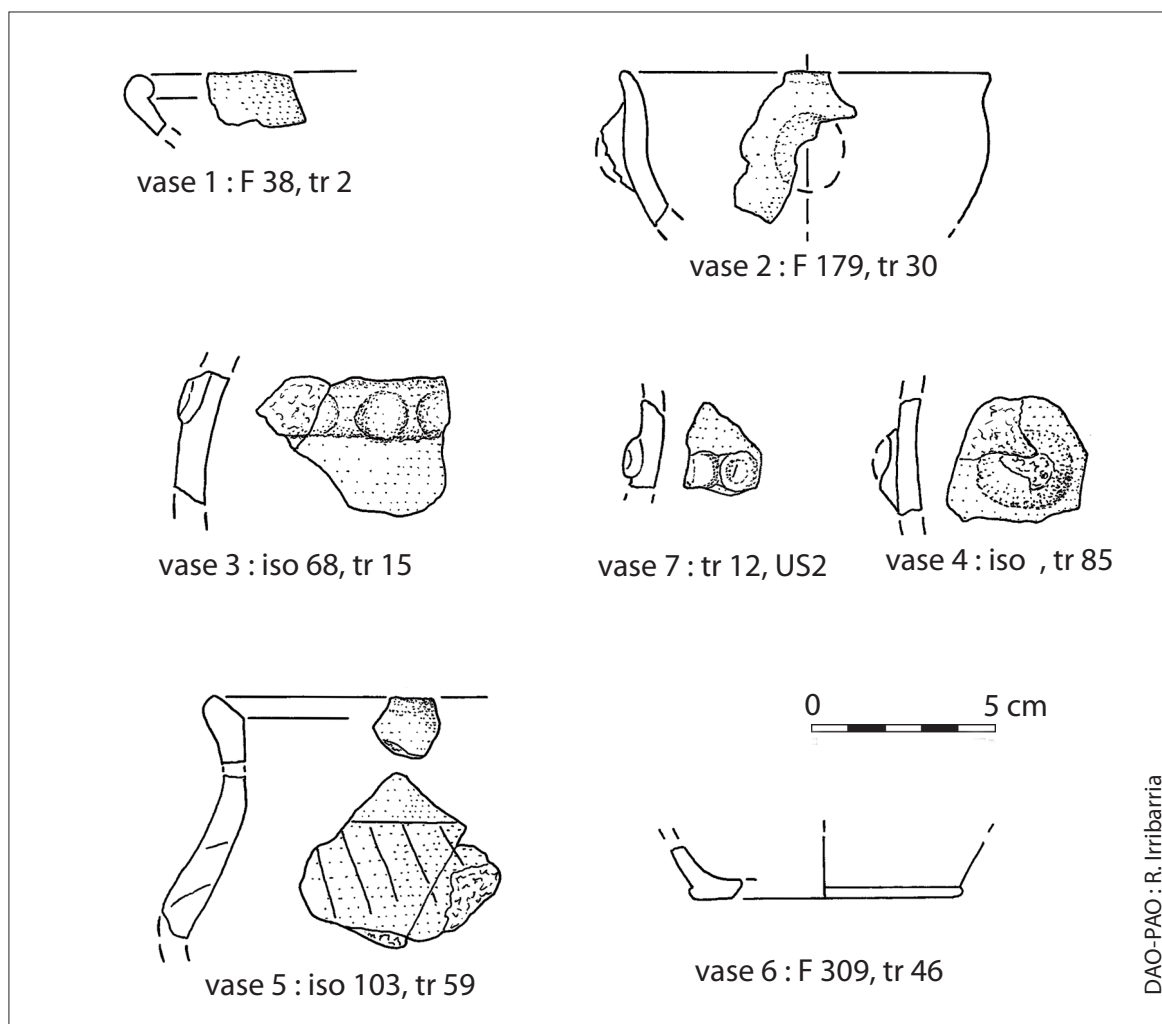


Figure 3 : Bléré, «ZAC de Bois Gaulpied» - Phase 1 : mobilier du Bronze moyen

- une composition alliant un simple ajout de chamotte à une pâte argileuse qui semble contenir naturellement du quartz roulé, du mica et des nodules d'oxyde de fer.

- un lissage simple des surfaces
- une cuisson à fin oxydante longue affectant une certaine épaisseur de la paroi (fin ox 2).

On retrouve ces caractères sur des formes ouvertes, sans doute hémisphériques (environ 22 cm de diamètre), dont le meilleur exemple est constitué par un vase au profil général non restituable, mais dont un tessou comporte plusieurs lignes incisées horizontales (vase 3, fig. 2) auxquels se rattachent par leur technologie les isos 37, 38 et 62 de la tr. 9, mais aussi le vase représenté en F 81 (tr. 11) non dessinaable.

Ils existent également sur de simples tessons (F 29, tr. 23), mais aussi celui de F 292, tr. 49.

Les vases de plus grande contenance du Bronze moyen se caractérisent par :

- des parois qui sont plus épaisses (environ 9 mm), mais variable (6 à 10 mm)
- un pourcentage toujours élevé de dégraissant (autour de 20 %)
- une composition complexe avec ajout de chamotte dans une pâte argileuse qui semble contenir naturellement du quartz roulé, du mica et des nodules d'oxyde de fer, ce qui révèle une extraction dans un milieu humide.
- un lissage simple des surfaces
- une cuisson à fin oxydante dont les effets (plus d'1 mm d'épaisseur dans la paroi) montrent un refroidissement lent sur les foyers

On trouve ces caractères réunis sur le grand vase entier (vase 1, fig. 2), soit l'iso 34 de la tranchée 9. Ces caractères se trouvent également sur les tessons : Iso 14, tr. 5

Les fragments de torchis :

Ils contiennent une très forte proportion de dégraissant de quartz (roulé), soit près de 30 % dans la pâte.

La cuisson oxydante semble atteindre le cœur du matériau. Comme ils ne comportent pas de traces de clayonnage, ils dénotent de la présence de constructions : parois de four, soles.

D'autres fragments existent dans la structure F 287 de la tranchée 48, ne contenant eux aussi que du quartz comme dégraissant. Il s'agit ici de fragments de bord d'une sole de 20 mm d'épaisseur. D'autres fragments ont été trouvés en iso 15, tr. 5.

Décomptes :

Il existe donc sur le terrain 42 occurrences datées du Bronze moyen, dont 21 proviennent de structures en creux. Nous avons comptabilisé dans la tranchée 9, l'occurrence « argile brune » comme une structure et de même pour l'iso 34 qui est représentée par un vase entier. Celle-ci, de fait de l'état de conservation, et des recollages effectués, représente très certainement une structure même si elle n'était pas visible dans le décapage.

Discussion :

Il semble donc évident que ce diagnostic a révélé un site structuré dont les deux derniers exemples indiquent clairement la difficulté de lecture des différentes structures en creux.

On note la présence de différentes catégories de vases : formes ouvertes de petite taille à décors de mamelons surdimensionnés, coupes à bords renflés arrondi, où à décors de lignes horizontales internes, urnes biconiques à décor de lignes incisées verticales rayonnantes, pots à décor de cordons plats digités, grande urne tronconique à col rentrant.

Cette variété indique par elle-même la vocation de vaisselle d'habitat, également suggérée par

la présence de fragments de torchis provenant très certainement de parois de fours.

Ce constat est d'autant plus important que les périodes du Bronze ancien et moyen n'ont livré jusqu'à présent dans la région que très peu d'indices d'habitats, ce qui est le cas également pour toute l'Île-de-France. Pour celle-ci cependant, une première tentative de sériation des formes et des décors a été tentée (Brunet et al. 2011) pour toute cette période (fig. 5), à partir des matériaux épars, en tenant compte des associations de caractères provenant des mêmes structures. Cette tentative s'est heurtée à des difficultés liées au caractère restreint de la série. La principale qui nous concerne directement ici, tient à la place chronologique des urnes biconiques à décor de lignes incisées verticales. Il n'existe qu'un unique cas d'association avec une urne à décor de cordon arciforme décoré d'ongulations dans la structure 27-01 du site de Villeneuve-le-Roi « Plateforme aéroportuaire d'Orly, Zone sud » (94). Un autre vase biconique avec le même décor existe bien dans la fouille de Moissy-Cramayel « Parc de Chanteloup -Zone A (77) dont l'association avec des urnes à décor de cordons lisses n'est pas totalement assurée, car ce site n'est pas structuré (matériel issu du décapage).

Lors de la rédaction de cet article, nous en déduisons que ce type de céramique fine incisée pouvait représenter la vaisselle fine appartenant soit au groupe des cordons arciformes, soit au groupe décoré à la grosse cordelette. Ce dernier est représenté par 6 sites, mais dont aucun ne dispose d'associations strictes. De plus la position chronologique entre les deux groupes n'est assurée que par deux dates C14, mais qui se recoupent.

La sériation proposée, qui n'avait pour seule ambition que de faire un état de la recherche présentait donc de sérieuses lacunes.

Par ailleurs, il nous a été donné d'étudier le mobilier issu de la nécropole de Cesson « La plaine du Moulin à Vent » datée du Bronze moyen (Legriél et al. 2009 et 2011). Sur les huit urnes funéraires présentes (fig. 4), plusieurs d'entre elles ont des formes extrêmement proches de notre vase de l'iso 34 de la tranchée 9 (Vase 1, fig. 2).

L'intérêt de ce rapprochement est double. D'une part chacune des huit urnes cinéraires correspond à une datation C14 qui s'inscrivent toutes dans le Bronze moyen. La date de la dernière déborde sur le début du Bronze final et possède une forme plus galbée.

Les trois datations des vases les plus proches typologiquement de celui de Bléré sont :

- Vase 205 : 1606-1314 avant J.-C.
- Vase 113-12 : 1530-1380 avant J.-C.
- Vase 381 : 1527-1305 avant J.-C.

Le second intérêt est de montrer que ce type de vase qui ne possède ni cordon, ni décor a –au moins comme vocation ultime- une fonction funéraire. A Cesson il s'agit de tumulus limités par un entourage de pierres plates avec un coffre central également constitué de pierres posées de chant. Ce coffre contient le vase cinéraire. Cette disposition n'est pas sans rappeler les nécropoles de Courcelles en Loiret « Le Haut-de l'Aunette-à-Guignard » et « La Pièce-du-Mail » (Frocquet-Uzel 2015) dont les dates s'étalent de la fin du Bronze moyen au début du Bronze final.

Nous insisterons donc dans le cadre de ce rapport sur ces rapprochements avec le monde funéraire d'autant que l'urne de Bléré, retrouvée entière (au sens archéologique) dépareille totalement dans un contexte d'habitat où tout le reste de la production céramique est très fragmenté. La poursuite des opérations de diagnostics (et peut-être de fouille) devra tenir compte de ce paramètre.

Comparaisons régionales :

Comme les comparaisons avec la sphère francilienne sont relativement inopérants pour donner un cadre chronologique strict à notre série, on peut tenter d'opérer les comparaisons avec les sites de la période du Bronze ancien et moyen connus dans notre région.

Il existe en effet plusieurs sites correspondant à cet intervalle chronologique en Indre-et-Loire.

Le site de Saint-Pierre-des-Corps « les Dix-neuf » (Verjux 1989) issu d'un paléo-chenal fossile contenant des bois conservés constitue d'une part la série la plus anciennement connue pour le Bronze ancien, et celle qui constitue encore un unicum, par son originalité.

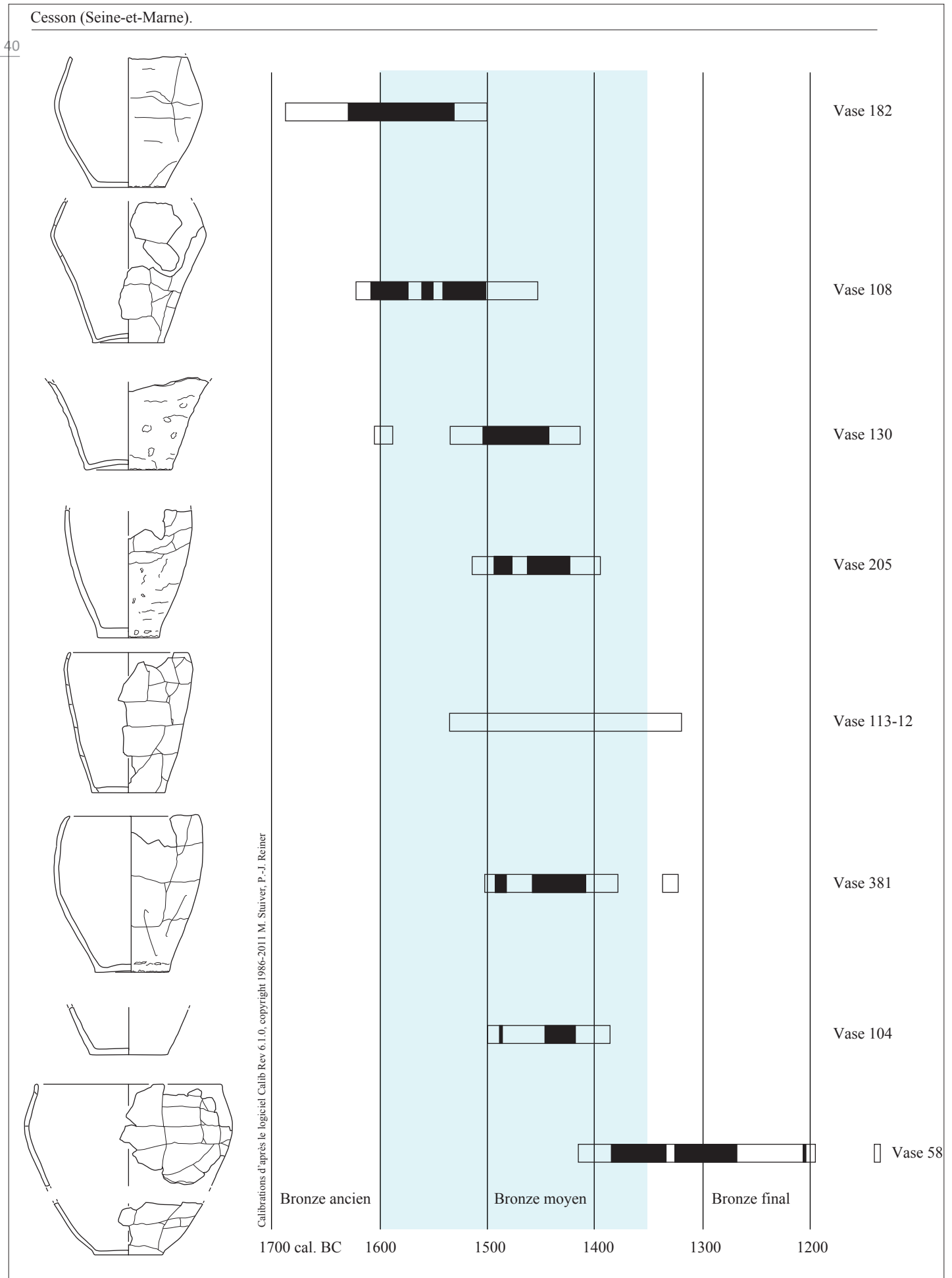


Figure 4 : Datations radiocarbones des céramiques de la nécropole

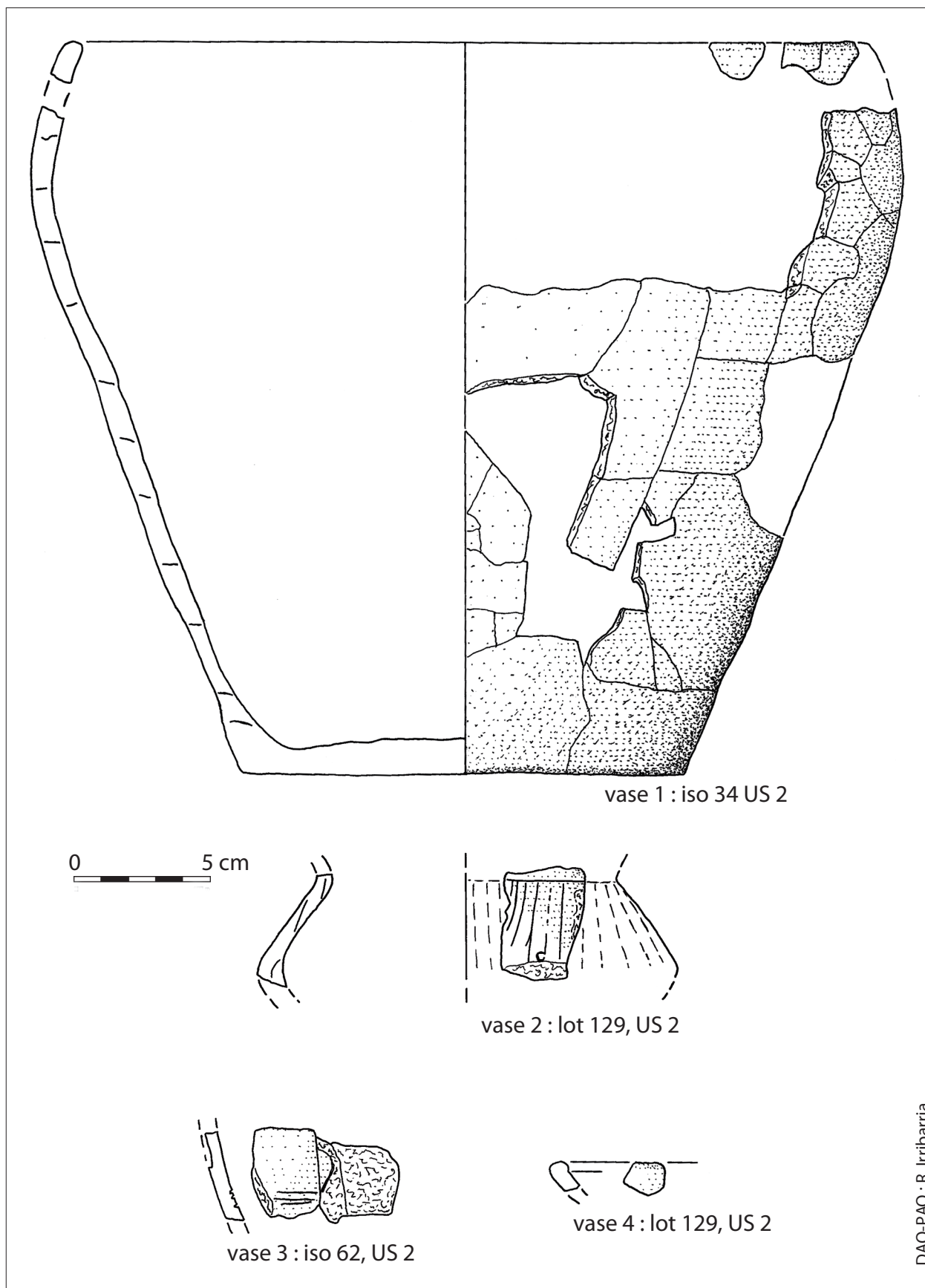


Figure 2 : Bléré, «ZAC de Bois Gaulpied» - Phase 1 : mobilier du Bronze moyen de la Tranchée 9

On retient toutefois la présence de nombreux décors de lignes incisées organisée en biais autour de barrettes verticales, mais aussi en position des lignes parallèles verticales associées à une carène. On retient aussi la présence de nombreux cordons pincés dans la pâte qui laissent subsister les ongulations du pincement. Il existe également des bords renflés arrondis.

L'un des plus proches géographiquement se situe à la Celle-Saint-Avant « Les Belounes » (Landreau 2012) et a été daté du Bronze ancien. Il a révélé la présence d'un enclos sub-circulaire ouvert proche d'un alignement de poteaux, interprété comme les restes d'une palissade. La céramique livre trois éléments de comparaison, à travers la présence de cordons entièrement digités, notamment sur une urne de grande taille, la présence d'une petite urne biconique, mais qui n'est pas décorée, et la présence de mamelons ovalaires. Un des vases comportant un décor de pastillage a été rapproché des productions du Bronze ancien du Centre-Ouest. Cependant on notera qu'aucun C14 ne vient conforter cette attribution, ni l'homogénéité globale de cette série dont certains éléments ne dépareilleraient pas dans du Chambon (mamelon disposé de part et d'autre d'une anse, nervures curvilignes) et d'autres dans des productions arténaciennes (décor incisé en dents de loup).

Mais le site le plus proche de Bléré est celui de Sublaines « le Grand Ormeau », où du mobilier cette fois daté du Bronze moyen est issu d'une poche limoneuse et d'une structure en creux (F 5006) qui a été datée par C14 (LY 3916, 3185 + ou - 30, soit 1501-1412 av J.-C.). En dehors des tessons de céramique à décor excisé qui s'apparentent à la culture des Duffaits, il existe dans le lot de nombreux cordons à décors de digitations, et au moins un décor de lignes incisées parallèles associé à un décor excisé.

Le tour d'horizon ne serait pas complet si l'on ne mentionnait pas le site du Thoureil en Maine-et-Loire « Les Varennes de Cumeray » (Cordier 2009) qui a livré un tumulus plat à couverture des dalles posées à plat, et a été daté du début du Bronze moyen. Parmi le mobilier on note la présence d'une petite urne biconique à décor de 3 lignes incisées parallèles formant un décor de chevrons emboîtés sur la partie supérieure de la panse. Des cordons lisses mais aussi digités existent également.

Datation de l'ensemble céramique du site de Bléré :

Annoncée imprudemment en début de chapitre la datation des éléments céramiques au Bronze moyen doit être ici modulée par l'ensemble des comparaisons.

On note en effet que les décors de lignes incisées sur les urnes biconiques sont tantôt rattachées au Bronze ancien, tantôt au début du Bronze moyen et qu'elles sont accompagnées sur tous les sites de cordons digités. La présence à Saint-Pierre-des-Corps de bords renflés arrondis vient renforcer une attribution plutôt tardive dans le Bronze ancien, alors que le site de Thoureil est considéré comme relevant du début du Bronze moyen.

Sans pouvoir être plus précis étant donné le peu de connaissances sur la période, - aucun site bien structuré et disposant de datations C 14 -, on peut donc penser que la série de Bléré s'inscrit dans la transition Bronze ancien/Bronze moyen.

L'urne décorée (vase 5, fig. 3) possède néanmoins un bord à pan interne qui pourrait indiquer une datation plus récente dans le Bronze moyen, mais son caractère isolé dans la tranchée 59 pourrait être simplement un indicateur d'une occupation de longue durée dans la période, et de déplacement progressif de l'habitat vers le sud.

Seule l'urne de la tranchée 9, qui ne trouve de comparaison satisfaisante qu'avec trois vases de la nécropole de Cesson, pourrait être datée du plein Bronze moyen.

Par ailleurs, la présence à Sublaines d'éléments caractéristiques de céramique excisée ne cadre pas pour le moment avec les éléments trouvés à Bléré, alors que la datation C 14 correspond assez bien avec celles des trois vases de la nécropole de Cesson, et conséquemment avec le vase de l'iso 34 de la tranchée 9.

A partir de ce constat, seul un décapage de grande ampleur et la découverte de nouveaux vestiges plus conséquents seraient à même de confirmer la présence de deux occupations successives s'étageant du tout début du Bronze moyen au plein Bronze moyen, périodes tout aussi mal connues l'une que l'autre notamment en contexte d'habitat.

B – La production céramique du Néolithique moyen

Celle-ci se distingue nettement de la production du Bronze ancien, par son aspect, par le pourcentage de dégraissant dans les pâtes et par le traitement des surfaces. Là encore, on peut se baser sur les caractères des deux vases entiers exhumés dans les tranchées 29 et 32, pour caractériser cette production.

Par ailleurs quelques éléments dénotent dans cette production du Néolithique moyen, notamment les produits des structures et des isolations qui montrent un traitement spécifique des parois par polissage, traitement totalement étranger au Chambon. On peut donc déduire qu'il existe à la fois des produits qui relèvent du Chambon, et d'autres qui relèvent d'une période plus récente, le Néolithique moyen 2. On verra au fil de la démonstration si l'on peut préciser cette attribution à l'une ou l'autre des séquences connues régionalement et plus précisément à travers celles qui sont connues dans l'environnement proche.

Les productions propres au Néolithique moyen 1 (Chambon) :

Il existe au moins deux structures : F 180, tr. 29 et F 189, tr. 32 qui ont livré chacune un vase archéologiquement complet. Un C14 a livré la date de 4584-4458 BC.

Le vase de F 180 (fig. 1, vase 2) : il s'agit d'une marmite à col éversé décorées de barrettes verticales disposées par paires. Au moins trois paires sont connues. Il existe également une préhension en boudin en disposition horizontale accolée au sommet de la panse, juste sous la jonction avec le col. La position verticale de l'anse permet de rattacher sans discussion ce vase au Chambon. Le décor quant à lui, est connu sur d'autres vases du Chambon, si ce n'est qu'ici les trois paires de barrettes et l'anse unique semblent indiquer une organisation non binaire du décor par rapport à l'anse. Enfin ce type de décor déjà est connu sur des bouteilles, notamment à Corbeilles dans le Loiret (Irribarria 2010) sur un exemplaire trouvé isolément sur les diagnostics de l'A 19. Plus récemment un vase ouvert a été trouvé à Voves « Le Bois Paillet » (Creusillet et al. à paraître), dans une structure complexe (fosse 273, de l'UA 3), dont il est difficile de déterminer si les deux parties de la fosse se recoupent ou s'ils forment une seule et même fosse latérale de maison du B-VSG ancien. Le doute est aujourd'hui permis, dans le sens où ce type de décor n'existe pas par ailleurs dans le B-VSG. Il se pourrait donc que le vase 3-46 à double barrette puisse appartenir à un creusement postérieur, car il existe par ailleurs une occupation Chambon sur ce site. Une autre interprétation (communication personnelle C. Constantin) serait de les faire dériver du Rubané où ce décor existe déjà, bien que très minoritairement.

Le second vase issu de la structure 189 est une bouteille aux parois fines et à ouverture déformée (fig. 1, vase 1). On notera que l'ouverture ovalaire propre à ce type de vase (conformation de l'embouchure) a ensuite été comprimée par deux pressions opposées sur pâte fraîche (déformation), signalées sur le dessin par des flèches. On notera en outre que l'anse mamelonnée a été placée près du diamètre maximum, en position de biais. Ces deux caractères renvoient aux contextes funéraires où ils représentent une singularisation des vases destinés à accompagner les défunts (Irribarria, travaux en cours). Ils représentent deux des types de singularisation (parmi d'autres) mais sont présents dans les deux grandes nécropoles connues en région Centre : celle de Chambon « Les Chevrettes » (Cordier 2015) et celle de Pussigny « Le Vigneau » (Coutelas, Hauzeur 2015).

Un nouvel ensemble funéraire du NM1 à Bléré ?

Le premier élément surprenant consistait en la découverte de vases entiers dans des structures en creux, alors que le reste des vestiges céramiques est très morcelé.

On peut dès lors se poser le problème de l'existence, au travers de ce diagnostic, de la présence d'une nouvelle nécropole Chambon dans ce secteur. En effet, la fosse 180 recèle des ossements humains appartenant à un individu gracile ce qui corrobore bien cette hypothèse, bien que cette fosse ait été largement perturbée par des fouisseurs. Une attention particulière devrait aussi être portée, lors des prochains diagnostics prévus autour de cette zone, sur la présence éventuelle d'autres structures funéraires (tombes en coffres de pierre ou de bois) telles qu'elles sont connues sur les autres nécropoles Chambon.

Le second élément intéressant est la présence à moins d'un kilomètre d'une autre nécropole du Néolithique moyen sur la commune de Sublaines (Frénée, Irribarria 2011), au « Grand Ormeau ». Il sera donc important de pouvoir déterminer les distances, et le statut entre deux groupes de tombes supposées contemporaines ou partiellement contemporaines : celle de Sublaines « déborde » sur le Néolithique moyen 2.

Les autres vestiges du Chambon :

Il existe au moins une autre occurrence attribuable à cette période. Dans la tr 39, le lot 4 de l'US 2, un bord de vase comporte un décor composé d'une ligne pré-orale de boutons au repoussé (fig. 1, vase 3). Or il existe plusieurs centaines de mètres séparant l'ensemble funéraire, examinée précédemment, de ce tesson. Dans le cadre de la prescription il faudra tenir en compte cette présence, qui bien que discrète dans le cadre du diagnostic est un indicateur formel de la présence de céramique d'habitat, dont on sait par ailleurs qu'ils sont relativement éloignés des nécropoles, contrairement aux périodes précédentes du Néolithique ancien où l'on trouve facilement des inhumations proches des maisons.

Quelques produits du NM 2 :

C'est dans la tranchée 68, F 450 que l'on trouve deux lots de tessons dont l'un a fait l'objet de nombreux recollages. Ce vase donc n'est malheureusement pas reproductible graphiquement. On note cependant que sa surface externe a subi un polissage mat, dont il reste quelques plages résiduelles grises foncé formant une pellicule externe qui desquame. Cette pellicule présentait au premier abord (à l'œil nu), les caractéristiques d'un engobe, mais l'examen à la binoculaire a rendu justice à un traitement plus caractéristique du NM 2.

Le second tesson (fig. 1, vase 4), appartenant sans doute à une forme ouverte a subi un polissage intense de sa surface interne assurant une légère brillance. Les colorations des surfaces rouges ou noires ne se retrouvent pas en outre dans aucune des deux productions précédemment décrites.

Ces caractères se retrouvent par ailleurs dans la structure F 178 de la tranchée 28, et également dans la céramique néolithique résiduelle de F 229, de la tranchée 39. Il existe donc un petit ensemble qui se rapproche des productions du Chasséen ou du pré-Chasséen, distinct par ses caractères des productions Chambon du site.

Il existe bien une occupation de cette période à proximité sur le site de Sublaines « Le Grand Ormeau » (Frénée, Irribarria 2011) d'une part dans une fosse riche (F 4563) attribuée au pré-Chasséen, ainsi que plusieurs fosses sépulcrales dont les dates coïncident avec la période Chasséenne. On notera également que le seul trou de poteau de la palissade monumentale ayant livré des vestiges céramiques (F 6031) sous la forme d'un grand vase dont une anse en position haute sur le profil est connue, constitue le seul élément, jusqu'à présent, permettant de rattacher cette enceinte au NM2. Toutes les C 14 des charbons des TP de cette enceinte livrent de façon obstinée, des datations se rapportant au Néolithique ancien contre toute logique architecturale pour la période. On note aujourd'hui que la fosse 450 (tr 68) livre une documentation en tous points semblables aux caractères de ce vase de l'enceinte.

Il s'agit donc, pour la première fois de la découverte de vestiges d'habitats pouvant être corrélés avec la construction de l'enceinte monumentale, ce qui représente un grand pas en avant dans la compréhension globale de l'organisation générale du site de Sublaines-Bléré pour le Néolithique moyen 2.

En conclusion :

On signalera ici l'étrange paradoxe existant entre un petit lot de tessons qui tient largement dans une demi-caisse, et l'intérêt scientifique qu'il suscite. On en vient à se demander ce qu'il en serait advenu si cette série était tombée entre d'autres mains : sans doute une attribution vague au Néolithique ancien-moyen et la Protohistoire indéterminée.....

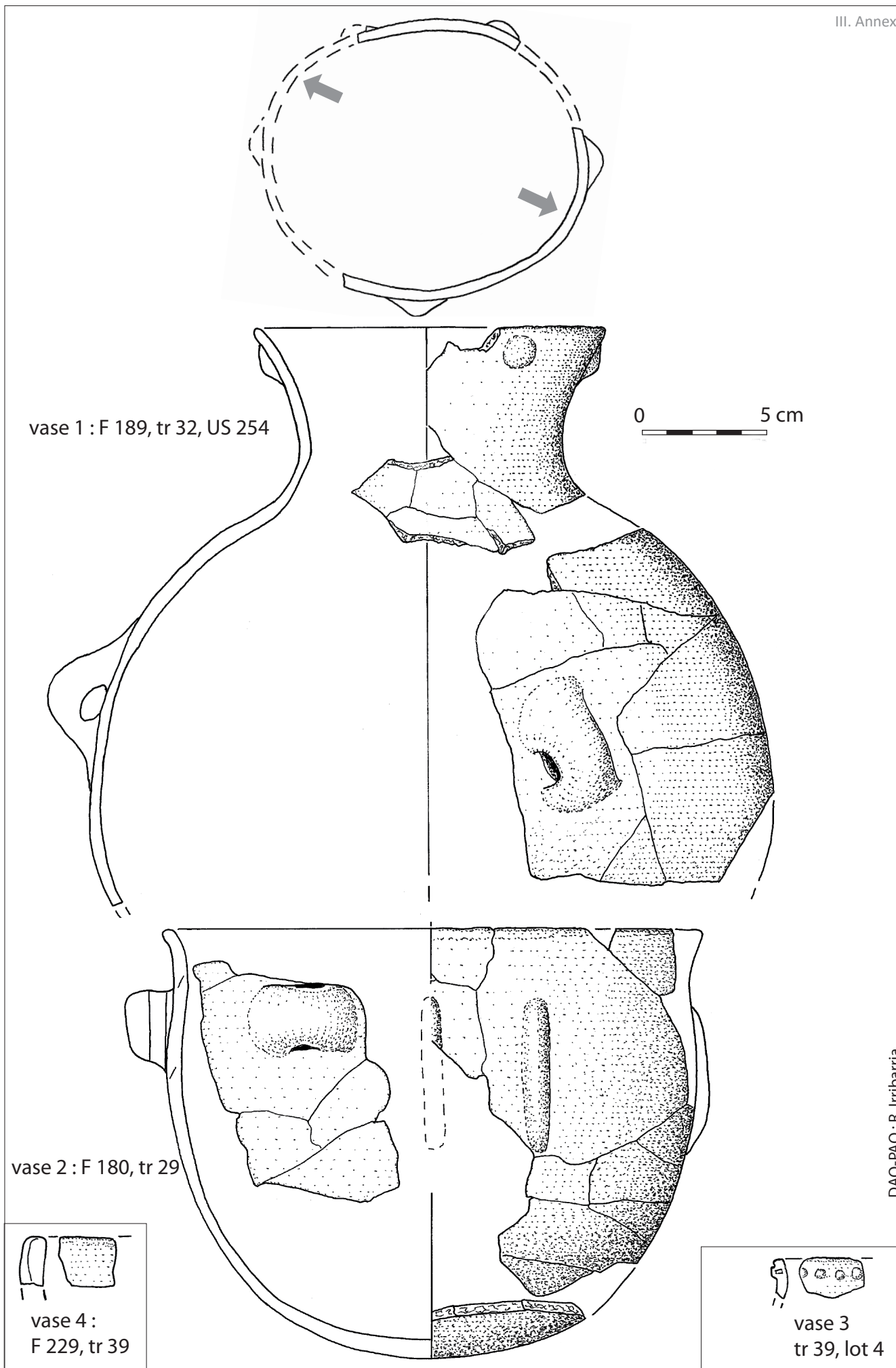


Figure 1 : Bléré, «ZAC de Bois Gaulpied» - Phase 1 : mobilier du Néolithique moyen

DAO-PAO : R. Iribarria

Le suivi scientifique que nous avons réalisé sur l'ensemble des opérations de Sublaines, y compris celles réalisées par la concurrence privée, nous amène ici à restituer chacune des occupations présentes dans un cadre plus large, à l'échelle de la totalité du site de Sublaines-Bléré, mais aussi à une échelle régionale, et pour la Protohistoire dans un cadre inter-régional.

Pour commencer par les périodes les plus anciennes, l'occupation du Néolithique moyen 1, se rapportant à la culture de Chambon, ne peut être comprise que si l'on établit les comparaisons avec la vaisselle funéraire des deux grandes nécropoles aujourd'hui connues : celle du site éponyme de Chambon et de celle de Pussigny. S'agissant de données récentes permettant de mettre en lumière la singularisation des vases funéraires, seuls certains caractères discrets sont perceptibles, à condition ne pas se contenter de photographier les vases et de les reproduire graphiquement, notamment en vue zénithale.

Cette information capitale vient à point nommé, suite au diagnostic de la phase 1, suggérer une attention particulière à la poursuite des investigations de la phase 2 qui se déroulera en 2019, tout autour la zone en excroissance (tranchées 28 à 32), qui a livré les vestiges de cette occupation.

S'il s'agit bien d'une nécropole, d'autres tombes plus groupées et notamment en coffres pourraient être attendues.

Pour ce qui concerne les vestiges présents du Néolithique moyen 2 (NM2), l'analyse de la céramique montre une concordance avec celle (unique) qui était présente dans un trou de poteau de l'enceinte monumentale exhumée lors des opérations préventives de la A 85 à Sublaines. Si le diagnostic de la phase 1 de Bléré n'a pas révélé la présence de nouveaux poteaux de cette enceinte, ces nouveaux vestiges céramiques du NM2 se situeraient logiquement en dehors de la surface enclose, mais en périphérie de celle-ci. Mais il s'agit des premiers éléments tangibles et contemporains du vase de l'enceinte, alors même qu'aucune comparaison n'avait jusqu'ici, pu être réalisée avec aucun des ensembles néolithiques présents dans les zones décapées.

Cette avancée encourageante prélude sans doute à de nouvelles avancées sur cette question que nous avons tenté de résoudre à travers une série de datations qui se sont révélées non satisfaisantes.

Enfin, une grande moitié nord de la surface diagnostiquée a révélé l'existence d'une occupation structurée d'un habitat daté de la transition Bronze ancien/Bronze moyen, qui précède sans doute une occupation du plein Bronze moyen, bien que ce phasage reste encore à préciser. Il n'en reste pas moins que les habitats structurés de cette période globale sont totalement inconnus en région Centre, et qu'il existe une réelle opportunité de faire progresser la recherche au travers du site de Bléré.

Enfin un grand vase complet qui ne trouve d'équivalent jusqu'à aujourd'hui que dans des contextes funéraires du Bronze moyen devrait inciter l'investigation future dans ce secteur à ne pas négliger cette piste, d'autant que le lieu de découverte de ce vase n'est finalement pas très éloigné de celui des découvertes funéraires du Chambon. L'hypothèse d'une vaste nécropole diachronique comme à Pussigny, s'étendant sur le nord-est de la zone inscrite de la phase 2 du prochain diagnostic est posée.

Références bibliographiques

- Brunet et al. 2011** : BRUNET (P.), HAMON (T.), IRRIBARRIA (R.) dir., avec la coll. de CAPARROS (T.), DESRAYAUD (G.), MALLETT (F.), MARTI (F.), MUSCH (J.), PRIE(A.), ROCHARD (X.), SAMUELIAN (N.), SOUFFI (B.), VIAND (A.) – Nouvelle approche de la céramique post-Campaniforme et du Bronze ancien en Ile-de-France. RAIF n° 4-2011, p. 109-136.
- Cordier 2009** : CORDIER (G.) – L'Age du Bronze dans les Pays de la Loire moyenne. Editions La Simarre. Joué-lès-Tours ; 702 p., 22 planches.
- Cordier 2015** : CORDIER (G.) – Le cimetière des Chevrettes à Chambon (Indre-et-Loire) et le groupe de Chambon, Chauvigny, éd. Association des publications Chauvinoises, dossier 15, 2015, 118 p. 56 fig., 20 pl.
- Coutelas, Hauzeur 2015** : COUTELAS (A.), HAUZEUR (A.)(dir.) COURBOIN-GRESILLAUD (E.), TERROM (J.) avec coll. CHESNAUX (L.), CHJOL (E.), CHRZAVZED (J.) FERNANDES (P.) GOMEZ DE SOTO (J.), GOUDE (G.) LOUYOT (D.),

MENS (E.), ROUX (L.), RUE (M.), VARENNES (G.) – Pussigny (37) Le Vigneau 2. Nécropoles néolithiques et protohistoriques. Rapport final d'opération, septembre 2015, Arkemine, Paléotime. 3 volumes

Creusillet et al. à paraître : CREUSILLET (M.-F.), IRRIBARRIA (R.), COUBVRAY (S.), COUSSOT (C.), DIETSCH-SELLAMI (M.-F.), HAMON (C.), PAILLER (Y.) WATTEZ (J.) – Une nouvelle implantation de la fin du Rubané à l'Ouest du Bassin parisien : Voves « Le Bois Paillet » (Eure-et-Loir). 32^e colloque Interrégional sur le Néolithique, Le Mans, 24 et 25 novembre 2017.

Frénée, Iribarria 2011 : FRENEE (E.), IRRIBARRIA (R.). - Aperçu des occupations domestiques et funéraires de Sublaines Le Grand Ormeau (Indre-et-Loire). Bulletin des amis du Musée de Préhistoire du Grand-Pressigny, n°62, 2011, p. 51-62.

Frocquet-Uzel 2015 : FROCQUET-UZEL (H.) dir. – Les nécropoles de l'âge du Bronze de Courcelles (Loiret). Archéologie de l'autoroute A 19, 56e supplément à la revue Archéologique du Centre, 320 p.

Iribarria 2010 : IRRIBARRIA (R.) – Le Chambon, culture du Centre et vecteur d'influences, à partir des données céramiques du site du Bas des Flénats à Muides-sur-Loire (41). In Actes des 8^e Rencontres Méridionales de Préhistoire Récente, Marseille, 7 & 8 novembre 2008. p. 11-24.

Landreau 2012 : LANDREAU (C.) – Une occupation du Bronze ancien dans la vallée de la Creuse : La Celle-Saint-Avant, Indre-et-Loire, « Les Belounes », Parc de Rhonne : rapport de fouilles, Pantin : Inrap-CIF, 93 p.

Legriél et al. 2009 : LEGRIEL (J.), GRANCHON (P.), LE GOFF (I.), DE KEPPEL (A.-G.), La nécropole à incinérations de l'âge du Bronze moyen de Cesson « Plaine du Moulin à Vent » (Seine-et-Marne) : premiers résultats. Actes de la journée « Bronze » de l'A.P.R.A.B., Musée de l'Archéologie nationale de Saint-Germain-en-Laye, 7 mars 2009, Bulletin de l'A.P.R.A.B., 7, 2010, p.14-18.

Legriél et al. 2011 : LEGRIEL (J.), GRANCHON (P.), DE KEPPEL (A.-G.) – La nécropole à incinérations de l'âge du Bronze moyen de Cesson « Plaine du Moulin à Vent » (Seine-et-Marne) : derniers résultats. Bulletin de l'Association pour la Promotion des Recherches sur l'Age du Bronze, n°8, mars 2011, p. 5 – 8.

Verjux 1989 : VERJUX (C.) – Découverte de vestiges du Bronze ancien dans les berges du Cher sur le site des « Dix-Neuf » à Saint-Pierre-des-Corps (Indre-et-Loire). Bulletin de la Société Archéologique de Touraine, 62, p. 35-48.

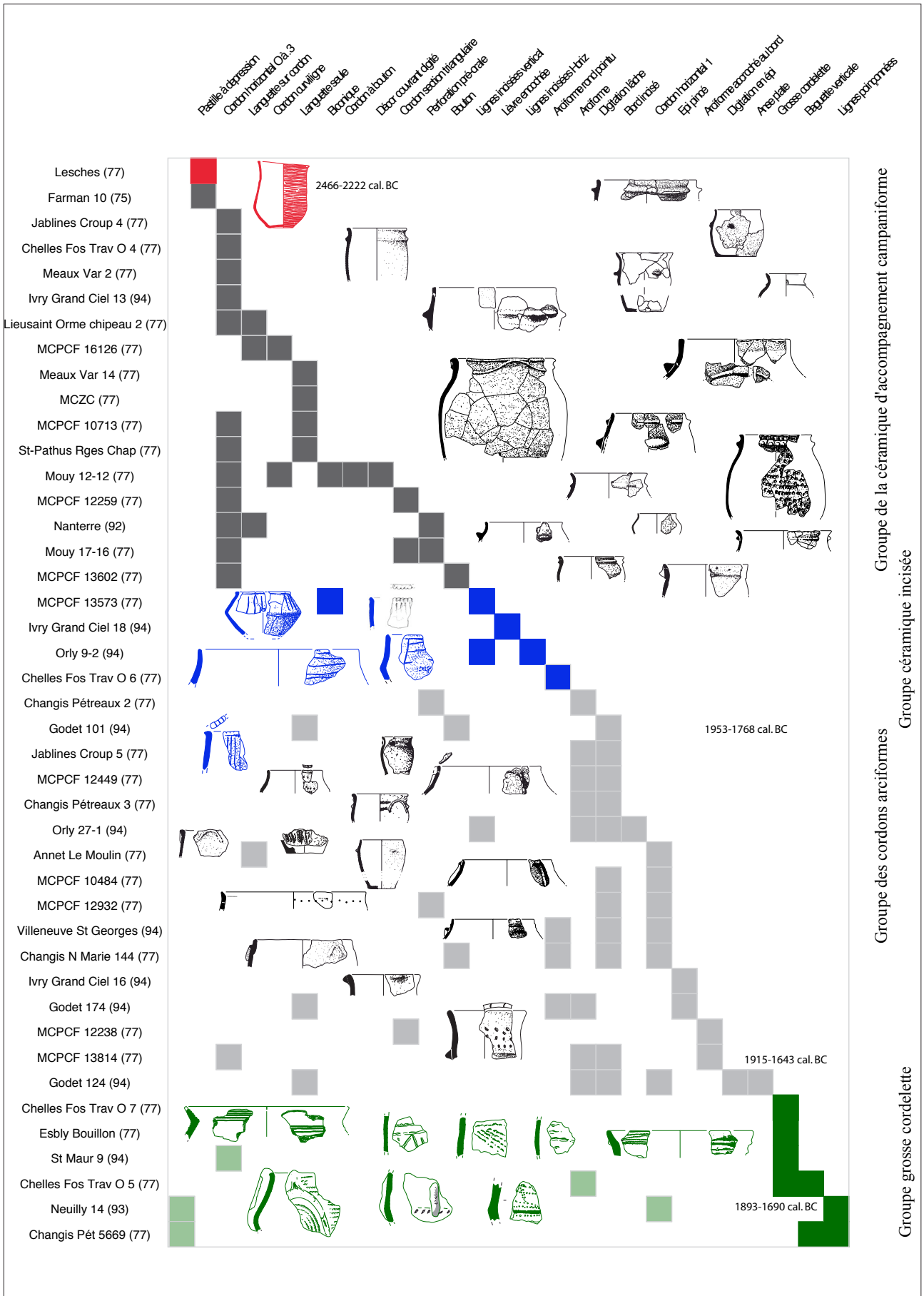


Figure 5 : Sériation des formes et des décors du Post-Campaniforme au Bronze ancien en Ile-de-France (d'après Brunet, Hamon, Irrabarria 2011)

num_lot	tranchée	fait	US	num_iso	pds gr	nombre	décor	% dégraissant	composition	trait surf.	ép. en mm	cuisson	datation	état
2	28	178	251		8	2 tessons	non	10	qu-chamot	pol mat	8	fin réd	NM2	
3	11	83	107		5	1 tesson	non	20/30	qu-oxfer	lis ?	7	fin ox 2	Br moyen	
4	39		2		2	1 tesson	bout, au repoussé	10	qu-chamot-oxfer	lis	4 à 5	fin ox 1	Chambon	fig 1 v3
5	5		2	15	1	1 tesson	non	20	qu-mic-oxfer	lis	6	fin ox 2	Br moyen	
712	5		2	15	29	5 fragm torchis	non	30	qu-oxfer	?		ox	Br moyen ?	
8	12		2		23	9 tessons	non	20	qu-oxfer-cham	lis ?	7 à 8	fin ox 2	Br moyen	
8	12		2		1	1 décor	cordon digité	20	qu-oxfer	lis	8	fin ox 2-enf	Br moyen	cf v 3 fig 3
25	11		1		11	1 tesson	non	20/30	qu-oxfer	lis ?	8	fin ox 2- enf ?	Br moyen	
48	19		121	205	2	1 petit tesson	non	20	qu-oxfer	lis ?	7	fin ox 2	Br moyen	
62	49		292	515	2	1 tesson fin	non	20	qu-mic-oxfer	lis	5	fin ox 1 et enfum	Br moyen	
100	4		42	45	6	1 tesson	non	20	ch-qu-mic-oxfer	lis	7	fin ox 2	Br moyen	
101	11		2		15	1 tesson	non	20	qu-oxfer-cham	lis	7	fin ox 2-enf	Br moyen	
101	11		2		14	1 tesson	non	20	qu-oxfer-cham	lis	9	fin ox 2-enf	Br moyen	
103	5		2	11	13	1 tesson	non	10	qu-mic-oxfer	desq	6 à 7	réd	Néo moyen	desqu.
104	23		29		14	2 tessons	non	10	qu-oxfer-ép ours	lis	5 à 6	fin ox 2	Br moyen	
105	50		413	552	6	1 tesson	cér tournée						Hist	MED
106	85		1		12	1 tesson	mamelon	20/30	qu-chamot-calc	lis	6	fin ox	Br moyen	fig 3, v 4
110	21		1		2	1 petit tesson	non	10	qu-végétal-chamot	lis ?	6	réd	Br ?	
111	15		2	68	21	1 tesson	cordon digité	20	qu-oxfer	lis	8	fin ox 2-enf	Br moyen	cf lot 111 tr 12
114	70		457	818	9	6 petits tess.	non	20	qu	lis	7	fin ox 1	Br moyen	
115	48		299	445	6	1 tesson	non	20	qu-oxfer	lis	8	fin ox 2	Br moyen	
117	34		2	82	25	9 tes = 1 vase	non	20	qu-oxfer	lis	7	fin ox 2	Br moyen	
118	30		179	268	7	1 gobelet	mamelon	20	qu-mic-oxfer	lis	6	fin ox 2	Br moyen	Fig 3 v 2
119	49		292	511	3	2 tessons	non	20	qu-mic-oxfer	lis	5	fin ox 1 et enfum	Br moyen	
121	48		287	432	54	3 torchis	non	20	qu-chamot-oxfer	lis	20	ox totale	Br moyen	
122	5		2	14	13	2 tessons	non	20	ch-qu-mic-oxfer	lis	9	fin ox 2	Br moyen	
123	5		62	69	24	1 tesson	non	20	qu-oxfer	?	8	réd	Néo moyen ?	desqu.
125	59		2	102	18	10 tess = 1 vase	non	20	qu	lis	4	fin ox 1 et enfum	Br moyen	
126	9		2	38	54	7 tess = 1 vase	non	10	qu-oxfer-cham	lis	6 à 7	fin ox 2	Br moyen	cf is 37
127	11		81	101	92	28 petits tess	non	20/30	qu-mic-oxfer	lis	7 à 10	fin ox 2	Br moyen	
128	5		2		26	11 tess	non	20/30	qu-oxfer	lis	7	fin ox 2	Br moyen	
129	9		2		39	10 tess	hachures incis.	20/30	qu-oxfer-cham	lis soigné	7	fin ox 2-enf	Br moyen	fig 2 v 2
129	9		2		1	1 bord	bord souliné	20/30	qu-oxfer-cham	lis soigné	7	fin ox 2-enf	Br moyen	fig 2 V 4
130	29		180	261	830	1 vase entier	barrettes vert	5	qu	lis mm	7	fin ox 1	Chambon	fig 1, vase 2
132	2		28	811	4	1 bord		20	ch-qu-mic-oxfer	lis soigné	5	fin ox 2-enf	Br moyen	fig 3 v 1

130	29	180	261	830	1 vase entier	barrettes vert	5	qu	lis mm	7	fin ox 1	Chambon	fig 1, vase 2
132	2	28	811	4	1 bord		20	ch-qu-mic-oxfer	lis soigné	5	fin ox 2-enf	Br moyen	fig 3 v 1
134	11	87	110	12	2 tessons	non	20	qu-oxfer	lis	8	fin ox 2	Br moyen	
135	11	87	115	8	1 tesson	non	20	qu-mic-oxfer	lis	6 à 7	fin ox 2-enf	Br moyen	
136	32	188	815	3	1 tesson	non	10	qu-chamot-calc	lis mm	5	fin lég ox	Chambon	
137	11		2	50	2 tessons	non	20	qu-oxfer	lis	5	fin ox 2	Br moyen	
138	9		2	62	1 tesson	ligne double incisée	10	qu-oxfer-cham	lis	6 à 7	fin ox 2	Br moyen	cf iso 37-38
140	5	50	58	1	1 petit tesson	non	?					proto	concrétions
141	57	376	590	1	1 petit tesson	non	20	qu-oxfer	?	5	fin ox 2	Br moyen	
142	64		2	1	1 tesson	non	20	qu	lis	5	fin ox	Br moyen	
149	60		2	11	1 tesson	non	20/30	qu-oxfer	lis	9	fin ox 2	Br moyen	
150	9		2	37	1 tesson	non	10	qu-oxfer	?	7	fin ox 2	Br moyen ?	concrétions
151	48	285	406	4	3 petits tess	non	20	qu-chamot-oxfer	lis	9	fin ox 2	Br moyen	
152	68	450	655	10	1 tesson	non	10	qu-chamot-calc	pol mat	5,5	fin ox 1	NM2	
152	68	450	655	182	35 tess	non	20	qu fin	pol mat exte	8	fin ox	NM2	
153	46	309	434	3	1 fond plat	ligne incisée	20	qu fin	lis	5	fin ox 1 et enfum	Br moyen	fig 3, v 6
154	39	229	336	11	2 tess + torchis	non	30	qu-oxfer	lis	9	fin ox	Br moyen	
154	39	229	336	15	1 tesson	non	10à20	qu fin	lis soigné	5	fin ox	Néo moyen	
154	39	229	336	6	1 bord	non	10à20	qu fin	pol mat	9	réd	Néo moyen	fig ?
156	9		2	34	1 vase entier	non	20	qu-oxfer-cham	lis soigné	6 à 10	fin ox 2	Br moyen	fig 2 v1
160	32	189	254	1140	1 bouteille	mamel/bord	10	cham-quartz	lis mm	5 à 7	fin ox 1 et enfum	Chambon	fig 1, v 1
224	3		2	4	3 tess	non	20/30	qu-mic-oxfer	lis	6	fin ox 2	Br moyen	
315	59		2	103	1 bord, 1 décr	hachures incis.	20/30	qu-oxfer	lis	7	fin ox 1 et enfum	Br moyen	fig 3 v 5

Figure 6 : Décompte de la céramique de Bléré

RAPPORT DE SPÉCIALISTE : BLERE «ZAC BOIS GAULPIED» - PHASE 1

LE MOBILIER CÉRAMIQUE DE L'ÂGE DU FER

FRANCESCA DI NAPOLI (INRAP)

Un total de 77 tessons pouvant être attribués à la période protohistorique sont issu du diagnostic. Ils proviennent de différents faits ainsi que des couches de décapage (figure 1).

Dans au moins deux cas, il s'agit de mobilier protohistorique résiduel (F437 et F280).

Tranchée	ISO	Fait	US	TYPE	NR	NMI	datation_céram	datation_ensemble
65		437	697	fossé	1	0	Néo/proto_ind	GR
39		258	384	TP	4	1	LT ancienne/ moyenne	LT ancienne/moyenne
48		280	422	fosse ou tp	29	2	LT ancienne/ moyenne	Méd./GR ?
39		257	373	TP	16	1	LT moyenne	LT moyenne
85	133		2	décapage	17	1	LT moyenne/finale	décapage
9	33		2	décapage	1	1	LT moyenne/finale	décapage
48		287	429	silo	2	1	Proto_ind	proto_ind
48		277	427	marnière	4	1	LT/GR	LT/GR
5	16		2	décapage	3	1	LT ind	décapage

Figure 1 : Récapitulatif des céramiques protohistoriques issues du diagnostic.

Si le mobilier céramique est très fragmenté et parfois son état de conservation mauvais, il est toutefois possible, pour au moins quatre formes (planche 1), de proposer une datation cohérente.

Deux vases proviennent de couches hors structure (planche 1, iso 133 et 33), mais deux autres sont issus des négatifs de deux trous de poteau situés en tranchée 39, F257 et 258 (planche 1, 257.01 et 258.01), dessinant un même bâtiment. Pour tous, il s'agit de vases façonnés par modelage, éventuellement finalisés au tour (iso 133 et 33), avec une argile homogène, plutôt sableuse de probable origine locale.

Bien qu'incomplets, leurs profils, une écuelle à profil en S (planche 1, iso 133), un haut de pot culinaire à lèvres en bourrelet (planche 1, iso 33), deux vases à carène haute plus ou moins marquée (planche 1 : 257.01 et 258.01), suggèrent une datation de La Tène moyenne, soit entre 350 et 150 avant notre ère. Cette dernière trouve écho dans les datations proposées par les analyses 14C des charbons de bois issus des trous de poteau F257 et F262 faisant partie du même ensemble architectural (cf. rapport 14C). L'absence de plus de formes et des décors oblige à être prudent quant à une datation plus précise.

Ce petit ensemble pourrait se rattacher à la phase 3 de l'ensemble céramique de Sublaines 'Le Grand Ormeau' datée entre 350 et 200 avant notre ère où les pots à carène haute non décorés et les écuelles/coupe à profil en S sont légions (DI NAPOLI 2017 : 243-245, fig. 4).

Les comparaisons pour la céramique de La Tène moyenne au sein du territoire turon sont rares, le

seul site ayant livré un corpus satisfaisant pour cette période reste, jusqu'à aujourd'hui, celui de Sublaines 'Le Grand Ormeau' (FRENEE 2008).

Bibliographie

DI NAPOLI 2017

Di Napoli F. - Evolution de la céramique et faciès de consommation en Touraine à La Tène ancienne/moyenne d'après le mobilier céramique du site de Sublaines « Le Grand Ormeau » in Marion, Deffressigne, Kaurin, Bataille dir. Production et proto-industrialisation aux âges du Fer. Actes du 39e colloque international de l'Association Française de l'âge du Fer. Nancy 2015 : 239 246.

FRENEE 2008

Frenée E., Baguenier J.-P., David F., Di Napoli F., Fourré A., Liard M., Lusson D., Mercey F., Poupon F., Saget E., Thiery G., 2008. A85 Sublaines «Le Grand Ormeau» (Indre-et-Loire). Rapport de fouille archéologique, Inrap centre-Ile-de-France.

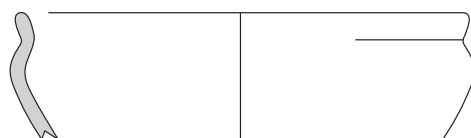
LEGENDE



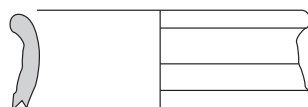
Vase modelé



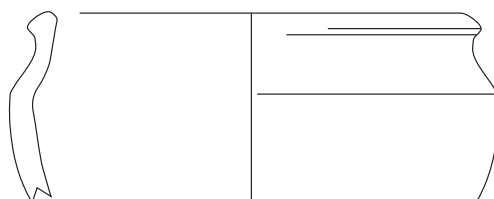
Vase modelé et fini au tour



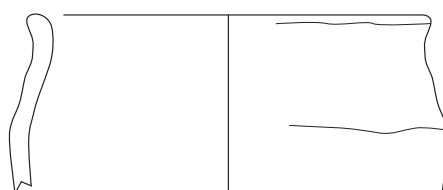
iso 133



iso 33



257.01



258.01



Bléré ZAC Bois Gaulpied phase 1 : mobilier céramique de La Tène moyenne.

RAPPORT DE SPÉCIALISTE : BLERE «ZAC BOIS GAULPIED» - PHASE 1

54

ÉTUDE ANTHOLOGIQUE

SAMUEL BEDECARRATS (UMR 7324 - CITERES LAT)

Le diagnostic a livré 25 fragments osseux humains (cf tableau). Ces derniers présentent d'importantes altérations taphonomiques limitant leur identification anatomique et biologique. Les pièces osseuses appartiennent toutes à des diaphyses d'os longs. Une d'entre elles a été identifiée comme provenant d'un tibia, quatre fragments proviennent de diaphyses fémorales et cinq fragments ont été rattachés aux membres inférieurs sans identification plus précise. Des diaphyses humérales et d'ulna sont représentées par quatre fragments (respectivement deux restes par type d'os). Enfin, onze fragments de diaphyse n'ont pas pu être rattachés à un os ou une portion anatomique. Leur format évoque cependant des os longs des membres, excluant les petits os longs des mains et pieds (fig.1).

RÉGION ANATOMIQUE	IDENTIFICATION OS	PARTIE OS	NOMBRE DE RESTES	MASSE (G)
MEMBRE INFÉRIEUR	TIBIA	DIAPHYSE	1	15
MEMBRE INFÉRIEUR	FÉMUR	DIAPHYSE	4	35
MEMBRE INFÉRIEUR	INDÉTERMINÉ	DIAPHYSE	5	19
MEMBRE SUPÉRIEUR	HUMÉRUS	DIAPHYSE	2	16
MEMBRE SUPÉRIEUR	ULNA	DIAPHYSE	2	3
INDÉTERMINÉ	INDÉTERMINÉ	DIAPHYSE	11	13

Tableau : inventaire et identification des pièces osseuses

Ces identifications osseuses suggèrent un caractère secondaire du dépôt, les os longs des membres et les crânes étant les plus fréquemment rencontrés dans la constitution d'un ossuaire en raison de la facilité de les identifier et de les transporter par l'opérant et de leur caractère évocateur de l'ensemble du squelette (Duday, 2009 : p. 89). L'absence de dents, éléments du squelette les plus résistants physico-chimiquement, et de petits os facilement laissés sur le lieu d'inhumation primaire, supportent l'hypothèse d'un caractère secondaire du dépôt qui n'aurait concerné que les os longs des membres.

La conservation et la représentation osseuse n'autorisent pas d'identification biologique précise. En effet, l'absence d'extrémités proximales ou distales et d'éléments dentaires limitent l'estimation d'un âge au décès et la détermination d'un sexe n'est fiable que par l'étude d'os coxaux. Malgré ces contraintes, l'aspect gracile des diaphyses permet d'avancer deux hypothèses : un âge au décès avant la fin des processus de croissance osseuse et/ou l'existence d'un dimorphisme sexuel extra-pelvien marqué.

En effet, les os longs identifiés ont des diaphyses plutôt fines, un os cortical peu épais et une absence de déformations liées à des insertions musculaires. Leur constitution évoque une maturation entamée, excluant l'hypothèse d'ossements d'enfants. Compte tenu des référentiels sur la croissance osseuse (Cunningham et al., 2016 : pp. 288, 297, 306, 393, 414, 425), l'observation d'un aspect gracile pourrait indiquer un âge au décès durant l'adolescence. Un caractère gracile peut également renvoyer à un dimorphisme sexuel prononcé pouvant résulter de paramètres génétiques, alimentaires et de modes de vie différents entre les hommes et les femmes (Holden & Mace, 1999). Aucune prise de décision ne peut être faite entre ces deux hypothèses car l'estimation d'un âge au décès par la croissance nécessite la mesure de la longueur maximale de l'os (Cleuvenot & Houët, 1993) et l'utilisation de caractères extra-pelviens pour déterminer un sexe repose sur une comparaison par rapport à la population de provenance de l'individu (Murail et al., 1999). Ces deux approches ne peuvent être menées en raison de la représentation osseuse et de la taille du corpus.

L'établissement d'un nombre minimal d'individus (NMI) a été fait en suivant les préconisations de (Poplin, 1976) en prenant en compte à la fois l'identification osseuse, les données biologiques, la latéralité et les marqueurs anatomiques identifiables. Il résulte de cette approche un NMI de un.

Les déformations taphonomiques observées, marquées par une desquamation des parties corticales sur leur totalité, évoque un effet météorologique (dit weathering, Corron et al., 2017). Son identification, par la comparaison à un référentiel, permettrait de déterminer la nature, le temps d'exposition et l'intensité de ce phénomène. Ces éléments amèneraient une meilleure compréhension des pratiques funéraires ayant procédé à la constitution de l'ensemble observé ; notamment en permettant de discuter du caractère ouvert ou fermé du milieu de décomposition précédant la constitution du dépôt secondaire.

La pratique de l'inhumation secondaire est documentée pour les cultures néolithiques de l'est de la France, de Belgique et d'Allemagne. Ces dernières se font dans des fosses circulaires (Lefranc et al., 2010; Nickel, 1997) ou des fossés (Behrends, 1998; Charpentier, 1989). La découverte d'une structure évoquant ce type de pratiques funéraires dans le centre de la France, malgré les limites de l'étude biologique, encourage à porter une attention particulière aux structures circulaires dans la suite de l'exploration archéologique de ce site. De plus, les observations taphonomiques préliminaires méritent d'être complétées par une étude poussée afin de rattacher les événements météorologiques ayant pu provoquer ces altérations aux pratiques funéraires.

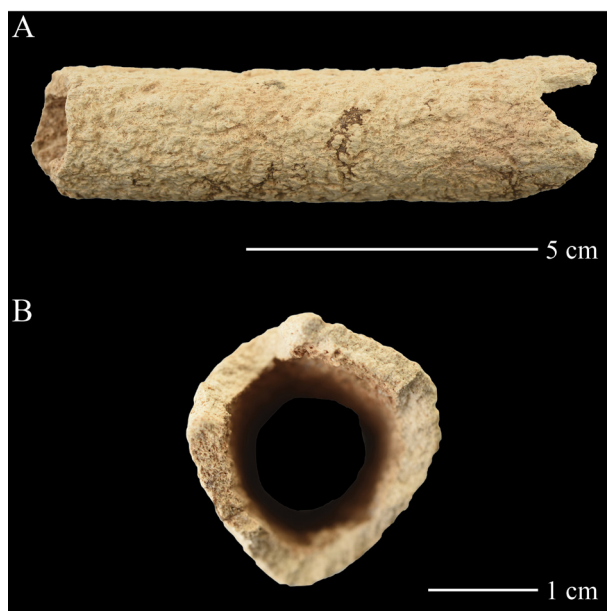


Figure 1 : vues antérieure (A) et à la section (B) du fragment de fémur identifié dans le corpus.

Bibliographie

Behrends R-H. 1998. Neue Forschungen zur Michelsberger Kultur im Kraichgau. Materialhefte zur Archäologie in Baden-Württemberg 43: 115–119.

Charpentier M. 1989. Etude anthropologique des restes humains. Fouilles des fossés néolithiques à Maisy (Aisne). Revue archéologique de Picardie 1: 109–110. DOI: 10.3406/pica.1989.1542

Cleuvenot E, Houët F. 1993. Proposition de nouvelles équations d'estimation de stature applicables pour un sexe indéterminé, et basées sur les échantillons de Trotter et Gleser. Bulletins et Mémoires de la Société d'anthropologie de Paris 5: 245–255. DOI: 10.3406/bmsap.1993.2354

Corron L, Huchet J-B, Santos F, Dutour O. 2017. Using classifications to identify pathological and taphonomic modifications on ancient bones: Do "taphognomonic" criteria exist? BMSAP DOI: 10.1007/s13219-016-0176-3

Cunningham C, Scheuer L, Black S. 2016. Developmental juvenile osteology. Academic Press.

Duday H. 2009. The Archaeology of the Dead: Lectures in Archaeoethanatology. Oxbow Books: Totton.

Holden C, Mace R. 1999. Sexual dimorphism in stature and women's work: A phylogenetic cross-cultural analysis. American Journal of Physical Anthropology 110: 27–45. DOI: 10.1002/(SICI)1096-8644(199909)110:1<27::AID-AJPA3>3.0.CO;2-G

Lefranc P, Denaire A, Chenal F, Arbogast R-M. 2010. Les inhumations et les dépôts d'animaux en fosses circulaires du Néolithique récent du sud de la plaine du Rhin supérieur. Gallia Préhistoire 52: 61–116. DOI: 10.3406/galip.2010.2471

Murail P, Bruzek J, Braga J. 1999. A new approach to sexual diagnosis in past populations. Practical adjustments from Van Vark's procedure. International Journal of Osteoarchaeology 9: 39–53. DOI: 10.1002/(SICI)1099-1212(199901/02)9:1<39::AID-OA458>3.0.CO;2-V

Nickel C. 1997. Menschliche Skelettreste aus Michelsberger Fundzusammenhängen: zur Interpretation einer Fundgattung. Bericht der Römisch-Germanischen Kommission 78: 29–195.

Poplin F. 1976. A propos du nombre de restes et du nombre d'individus dans les échantillons d'ossements. Cahiers du centre de recherches préhistoriques 5: e75.

RAPPORT DE SPÉCIALISTE : BLERE «ZAC BOIS GAULPIED» - PHASE 1



ÉTUDE DU MOBILIER LITHIQUE

JÉRÉMIE LIAGRE (SADIL)

57

1. Présentation générale de la série lithique

1.1. Décompte et identification :

L'ensemble du mobilier lithique récolté lors de ce diagnostic est composé de 371 pièces silex et autres matériaux au total. Ce mobilier est très dispersé et inégalement réparti : seuls 54 artefacts ont été relevés dans des faits et 91 en isolats (N = 145). Le reste du matériel, la majorité des pièces (N= 226) est issue des décapages, soit de la terre végétale (US 1), soit des niveaux sous-jacents (US 2), différenciés en post-fouille selon les zones avec de types de dépôts naturels variables (colluvions, éolo-colluvions ou argile de décalcification sur calcaire dégradé : cf. *infra* étude géomorphologique), mais nommés indifféremment US 2 = US artificielle, pour l'usage, lors du terrain. Notons que parmi ces derniers, récoltés spatialement juste par US et tranchées, plus de la moitié (N=127 silex), a été récolté dans les niveaux supérieurs, et sont donc directement soumis aux travaux de labours.

Fréquence (Nr)	Faits	Décapage US 2			Décapage US 1			total	poids (g)
		iso	US 2	US 184	iso	US 1	HS		
Silex taillés	51	90	52	2	1	127	39	362	10536
Quartz taillés			1			4		5	490
Quartzite (percuter)						1		1	82
Macrolithique (grès et calcaire)	3							3	1295
	54		145			172		371	12403g

Tableau récapitulatif / comptage total des pièces lithiques

Du mobilier lithique est présent dans toutes les zones, du nord au sud, et de manière très dispersée, à l'exception de quelques tranchées 8, 19, 25, 39, 43, 44, 46, 52, 54, 55, 56, 58, 62, 67, 73, 75, 76, 78, 79, 81, 82, 83, 84, 85, 86 et 88 ([plan masse](#)).

1.2. Etat de conservation et degrés de patine :

D'un point de vue taphonomique, quelques silex ont subi une dégradation par le feu (26 pièces thermofractées), quelques pièces possèdent des arêtes et des tranchants légèrement émoussés (N=11), et très peu fortement émoussés (N=2) mais, en revanche, on note une très forte proportion d'altérations de surface de type patine.

Plus des pièces sont patinées, à différents degrés : outre une description détaillée pour chaque pièce étudiée, de couleur ou d'épaisseur a parfois été réalisée, mais seuls trois états ont été retenus : 1. Absente, silex frais ; 2. Léger voile souvent non uniforme ou « graphique » faisant ressortir certains grains ou couleur de silex (d'après Primault 2003) et 3. Forte patine blanche ou bleu ou jaunâtre uniforme pénétrant souvent en épaisseur la surface du silex.

Lors d'une étude physico-chimique réalisée sur différents silex dont du Turonien, en 1928, les auteurs mentionnent que : « les silex se patinent : a, à la surface des terrains et non en profondeur ; b, sur les terrains perméables ou humides sans distinction ; c, en beau blanc porcelaine lorsque le sol contient du carbonate ; d, en rouge vif ou ocreux, lorsque le sol contient de l'oxyde de fer; e, en jaune quand le sol contient de l'oxyde de fer et du carbonate de chaux; en patine marbrée et tachetée de couleurs diverses lorsque le sol est composé de carbonate de chaux, d'oxyde de fer et de manganèse probablement; g, les silex ne se patinent pas lorsque le sol ne contient pas de carbonate de chaux ni d'oxyde de fer en quantité suffisante pour être absorbée » (Hue 1929).

Les degrés de patine semblent très aléatoires sur ce site de Bléré, dont la géomorphologie est pourtant globalement homogène, calcaire et argilo-calcaire avec la présence de limons superficiels supérieurs. La difficulté est que les degrés de patine ne sont absolument pas des indices discriminants pour dater des pièces, en effet une scie à encoche datable du Néolithique final peut présenter une épaisseur de patine blanche, totale, identique à celle d'un biface ou un éclat Levallois dans la tranchée suivante. Aucune différence d'effet-patine n'est visible par zones sur la répartition des parcelles non plus. Il resterait donc à caractériser, si cela est toutefois possible, le processus de dégradation de ces surfaces de silex sur ce terrain en particulier, afin d'identifier les possibles phénomènes chimiques d'accélération de ces processus et de comprendre, sans doute, les phénomènes post-dé positionnels liés aux remaniements des occupations ?

Enfin, on retrouve quelques pièces thermofractées dispersées sur tout le site, qui ont aussi subi une patine postérieure, et parfois encore, des pièces portant des patines différenciées ou double-patine (N=10), supposant des réemplois de silex taillés plus anciens avec un certain opportunisme des supports trouvés sur place.

Enfin de nombreuses pièces portent des traces d'oxydations liées à leur position longue à l'air libre, subissant le gel/dégel (avec des cupules visibles) ou encore des stries rougies, dommages collatéraux d'engins de labours.

1.3. Matières premières :

Sur la base de la lecture des analyses macroscopiques effectuées par M.-F. Creusillet (Lardé et al. 2013) et H. Lethrosne (Moreau et al. 2015) sur la Zone 5 de la fouille du Bois Gaulpied/Grand Ormeau et la Thèse effectuée par J. Primault sur la diffusion des silex de la région du Grand Pressigny – inventaire des ressources lithiques de la Touraine et du Poitou (Primault 2003), nous avons pu trier les silex, la variété des matières premières présentes dans ce diagnostic, à grands traits, pour voir apparaître les grandes tendances, sur un échantillon représentatif de 175 pièces seulement, soit environ la moitié de la série (46 %).

Matières premières	total	taux
Turonien supérieur dit du Grand-Pressigny	10	6%
Turonien moyen	2	
Turonien inférieur	66	39%
Sénonien/ Crétacé sup.	4	2%
opalite (Muides s/Loire?)	1	
Type «J2-4» d'Aubry - silex oolithique de la Benaize	2	

Type «C3c-3» d'Aubry - Larcy/Neuilly le Brignon	2	
silex gris zoné bajocien de Civaux?	1	
mat. 13 : gris-vert opaque avec de grandes plages beiges, grain fin, cortex épais blanc, origine?	4	2%
silex blond avec nombreux spicules noirs et lamellibranches, origine ?	1	
gris bleu à grain fin hétéogène avec nombreuses bioclastes et des inclusions de plages noires	5	3%
gris-brun marbré	1	
jaspe ou silex jaspéroïde ?	3	
silex indéterminé (patiné ou thermofract)	60	35%
grès	2	
calcaire	1	
quartz	5	3%
quartzite	1	
total	171	100%

Tableau récapitulatif / matières premières exploitées

En ce qui concerne l'approvisionnement global des matières premières dans cette série, pour plus de 39% des pièces lithiques, il s'agit de silex gris à brun-beige, à grain fin, homogène, à un grain très fin, parfois translucide, au néocortex de type alluvial ou de pente, récoltés en position secondaire (d'après Primault 2003). Cette majorité de silex proviendrait des formations locales du Turonien inférieur. Des affleurements sont connus dans la vallée du Cher en amont de Saint-Aignan, à une 30 de kms à l'ouest de Sublaines et une seconde zone d'affleurement est localisée dans la vallée de l'Indrois, à une dizaine de kms au sud-ouest de l'occupation. La présence de plages néo-corticales alluviales pourraient indiquer une sélection directement dans le lit du Cher, ce qui réduit la distance à 5 kms au nord du site de Sublaines (Lethrosne in Moreau et al. 2015).

D'autres matières locale comme du calcaire ou des roches cristallines, des quartz-quartzites, peuvent également être d'origine locale, et provenir soit de l'alluvion la plus proche, le ruisseau actuel du Vaugerin, soit des terrasses alluviales du Cher, à moins de 5 kms au nord du site.

Ensuite, 6% semblent des silex du Turonien supérieur du Grand-Pressigny, caractérisés par une matrice de couleur brun miel à grain moyen et glauconneux. La zone d'approvisionnement, une vaste répartition géographique entre la Touraine et le Poitou est localisée au plus proche dans le département d'Indre-et-Loire, à une cinquantaine de kms environ au sud-est du site de Sublaines (Creusillet in Lardé 2013), dont un silex versicolore zoné jaune-cire, veiné rose à cortex blanc érodé alvéolé que l'on peut retrouver dans les vallées de la Claise (plus de 70 kms au sud-est) ou de la Creuse (Primault 2013). Notons la présence également de 2 pièces possiblement du Turonien moyen, moins connu pour ce type d'exploitation (L.-A. Millet-Richard, comm. orale).

Enfin une liste possible très variée et hétéroclite de matières premières exogènes peuvent provenir de gîtes primaires ou secondaires disparates plus régionales comme le silex noir de Larcy, ou extra-régionales, ou e les opalites du Loir-et-Cher par ex. situés à plus de 80 kms au nord-est, ou le silex oolithique de la vallée de la Benaize/vallée de l'Anglin dans la Vienne, relevés à plus de 80 kms au sud, ou encore le possible silex gris zoné de Civaux (Vienne) situé à plus de 140 kms au sud-ouest ¹.

¹ Toutes ces identifications ont été réalisées à l'œil nu, de manière macroscopique, le plus souvent sur une seule pièce ou deux, donc soumises à des vérifications ou des réajustements futurs nécessaires (si fouilles). Etant lithicienne, mais pas encore tout à fait habituée aux faciès de silex locaux typiquement tourangeaux ou de la région Centre, l'étude globale des matières premières reste très succincte, pour cette première étude de diagnostic.

2. Problématiques et méthodologies

Etant donné la surface diagnostiquée (30 ha) et le nombre de pièces lithiques multipériodes retrouvées dans les tranchées (N= 372), les problématiques principales étaient de caractériser tout d'abord le mobilier lithique issu des faits et des ISO spatialement retraçables, et leurs liens éventuels, afin de déterminer de possibles habitats ou des concentrations de mobilier. Des structures latentes peuvent ainsi émerger en post-fouille, en stratigraphie ou en plan. La problématique secondaire de cette étude était de proposer des ensembles culturellement homogènes pour l'ensemble des pièces, notamment pour le lot majoritaire de silex récoltés dans les US1 et US 2, pendant le décapage à la pelle mécanique dans chaque tranchée, et visualiser ainsi les grandes tendances présentes sur le site.

C'est ainsi que des plans de répartition du mobilier lithique par phase chronologique ont été réalisés par SIG pour chaque lot de mobilier, avec des étiquettes de datation à l'attribution précise fiable, mais aussi des pièces appartenant à des fourchettes chronologiques larges et pouvant potentiellement appartenir à cette même phase. Parallèlement, des répartitions par tranchées et par densités de mobilier ont aussi été réalisées, infirmant ou confirmant les indices d'occupation ou de conservation de niveaux anciens dans certaines zones (pour les pièces Paléolithique moyen par ex.).

Des comparaisons avec les analyses des industries lithiques des opérations de Sublaines - Le Bois Gaulpied et le Grand ormeau ont été bien entendu effectuées, et d'autres analogies, dans un contexte plus large à l'échelle de la Touraine et du Val de cher, ou encore plus large, régional, ont permis d'affiner l'attribution chrono-culturelle des autres cultures en présence, paléolithiques notamment.

L'ensemble du mobilier lithique a été inventorié sous format Excel, inséré ensuite dans une base de données élaborée sous SIG (ArcMap), et illustré par 10 planches dessins (reprises en DAO sous Photoshop et Illustrator) et de planches photographiques².

3. Le mobilier lithique inclus dans les faits archéologiques

L'ensemble du mobilier lithique retrouvé dans des faits archéologiques provient de comblement de structures en creux : fosses diverses, silos, trous de poteaux, fossés ou drain. Ce mobilier a pu parfois être piégé dans des structures naturels ou indéterminées, ou encore retrouvées en position résiduelle dans des structures plus récentes, notamment dans les grandes marnières *a priori* historiques, par datation en TPQ (*Terminus post quem*).

La densité totale de ces pièces liées aux structures, et les structures elles-mêmes sur ce diagnostic sont faibles, compte tenu de la surface.

Seules 54 pièces lithiques ont été répertoriées, 51 silex et 3 pièces macrolithiques en grès et calcaire . Parmi ces artefacts, 18 outils seulement permettent une attribution typo-chronologique, et, le plus souvent, ces fragments d'outils domestiques sont ubiquistes, ils peuvent provenir de plusieurs cultures pré-protohistoriques, et donc d'une fourchette chronologique très large.

2 Nous tenons à remercier Michaël Beigneux (Photographe- Archives Départementales) pour sa disponibilité.

Industrie lithique/ Faits	nucléus/bloc	éclat	lame	lamelle	casson	total	dont outillage
F.3 - fosse	1					1	1
F.25 - fosse			1			1	1
F.66 - fossé ou drain		1				1	1
F.69 - fosse			1			1	1
F.74 – fosse ou TP		1				1	
F.81 – fosse		1		1		2	
F.87 – fosse d'extraction		1	1			2	2
F.101 - fosse d'extraction		1				1	
F.179 - fosse		1				1	
F.180 - silo		1				1	
F.188 - fossé				1		1	
F.189 - fosse	1	8	4	4	4	21	4
F.220 - fossé		2				2	1
F.221 - fosse d'extraction		1				1	1
F.223 - fossé		1				1	
F.237 - fosse d'extraction		1				1	1
F.277 - fosse d'extraction		1				1	1
F.325 - silo		1				1	
F.414 - fosse			1			1	
F.443 - fossé			1			1	
F.450 - fosse	3	3	1	1		8	4
F.452 - fossé		1				1	
F.457 - fosse		2				2	

54

Tableau récapitulatif / comptage total des pièces lithiques dans les Faits

3.1. Des vestiges du Néolithique ancien-moyen I – une zone funéraire :

3.1.1. La fosse F.189 (Tr. 32, US 254)

Une vingtaine de silex (N=21 : lots 620 à 653) pour environ 120 g. au total. En ce qui concerne l'approvisionnement en matière première, 13 silex semblent issus du Turonien inférieur local, beige ou gris, 1 possible silex du Turonien supérieur du Grand-Pressigny avec de nombreux bioclastes, 1 opalite (lot 626 : peut-être d'origine du Loiret, Muides-sur-Loire ³?), 2 silex gris bleu à grain fin hétérogène avec de nombreuses bioclastes et des inclusions de plages noires, d'origine indéterminée (exogène ?) et 4 silex non déterminables pour cause de forte dégradation texturale, thermofraction ou patine. A niveau taphonomique, sur l'ensemble de cette petite série close, 8 silex sont en excellent état de conservation et 7 silex ne présentent qu'un léger voile de patine « graphique », alors que 3 pièces seulement présentent une forte patine blanche et 2 pièces ont fortement subies une action du feu. Le taux de fragmentation est de 15 sur 21, soit 70%.

³ La présence de cette opalite exogène, reconnue de manière certaine postérieurement à l'étude par Fiona Kildéa me fait émettre des doutes sur l'attribution des autres silex issus de cette même fosse, qui ont été de prime abord, associés à du Turonien inférieur local. La différence de matrice entre ces matières premières n'est pas si évidente au niveau macroscopique, quand on n'est pas encore bien familier. Une ré-étude pétrographique plus approfondie serait sans doute à envisager si besoin, avec d'autres critères plus fiables et l'élaboration d'une lithothèque locale afin d'accéder à un référentiel de comparaisons.

Industrie lithique F.189	nucléus	éclats	lames	lamelles	cassons
sous-produits de débitage :		6	3	4	4
retouchés / outils :					
percuteur	1				
burin double			1		
pièce esquillée		2			
total	1	8	4	4	4

21

Tableau : Composition de la série lithique de F.189

D'un point de vue technologique, un seul nucléus semi-cortical (**lot 620, Fig. 5**), à plan de frappe lisse, arrivé à exhaustion car multifracturé, avec des tables et corniches inutilisables, de nombreuses diaclases et fissures internes présentant un débitage semi-tournant, possiblement laminaire avec une seule crête latérale et ouverture d'un PF opposé secondaire, puis réemploi du nucléus en percuteur. On compte 4 fragments distaux et 1 mésial de lamelles fines (2 mm), assez régulières, rectilignes et à section triangulaire pour la majorité, et 3 lames plus larges et 1 éclat laminaire irrégulier, d'entretien, toutes présentant sur leur face supérieure un débitage unipolaire semi-tournant.

Au niveau typologique, outre le nucléus repris en percuteur, seulement 3 outils, un burin double sur lame entière (**lot 622, Fig. 5**) et deux fragments de pièces esquillées sur éclats irréguliers d'entretien du débitage (**lot 623, Fig. 5** et **lot 625**).

Enfin, le reste du mobilier lithique déterminable est constitué de 6 petits éclats semi-corticaux légèrement courbes ou réfléchis, issus soit de phases d'entretien de débitage, de maintien des convexités latérales par éclats transverses, ou de plans de frappe (**lot 626, Fig. 5**), voir même issu d'un possible façonnage (hache ?).

La diversité des silex présents, le peu d'outillage, une forte proportion de déchets de taille bruts, et enfin le taux de fragmentation nous font émettre l'hypothèse d'une probable fosse de rejets domestiques.

Datation : Paléolithique supérieur à Néolithique final, avec une présomption, à partir de l'ensemble des caractères morpho techniques de cette petite série lithique, au Néolithique dans ses phases précoce et moyenne et qui coïncide avec l'attribution chrono-culturelle des vases à la culture Chambon (cf. *infra* étude céramique R. Irribarria).

3.1.2. Le fossé F.188 (Tr.32, US 256)

Un silex beige du Turonien inférieur, légèrement voilé (**lot 523**) : un fragment distal de lamelle (12x3 mm) régulière fine, à section triangulaire.

Datation : Paléolithique supérieur à Néolithique final.

3.1.3. Le silo F.180 (Tr. 31, US 261)

Un petit silex d'origine indéterminée (bleuté mate, avec des sphéroïdes) (**lot 529**) : un petit éclat fin irrégulier de maintien d'une convexité latérale ou de maintien d'un plan de frappe, à talon punctiforme et abrasion de la corniche, et des traces d'enlèvement supérieurs centripètes.

Datation : Paléolithique moyen à Néolithique final.

En synthèse, le mobilier lithique issu de ces trois structures : fosse de déchets (F.189), fossé (F.188) et fosse-silo (F.180) peut être envisager dans une phase chronologique et culturelle du Néolithique ancien-moyen. La fonction domestique de ces trois structures est évidente, et, à travers le faible outillage présent composé seulement de 3 pièces (2 fragments de pièces esquillées et un burin-double), on peut tout de même envisager un possible travail sur des matériaux organiques (os/bois animal ou végétal), les pièces esquillées pouvant servir de coin ou de ciseau pour fragmenter ces matériaux (Le Brun-Ricalens 2006).

L'aspect funéraire stricte des dépôts céramiques de ces deux fosses (*cf. infra* étude céramique) tranche avec la fonction première domestique de ces structures (silo, fosse) et l'aspect plutôt « rejet » du mobilier lithique. Pourtant des recherches récentes montrent la présence de découverte de plus en plus récurrente de restes humains hors contexte sépulcral dès le Néolithique ancien (VSG), notamment dans les fosses latérales d'habitat, phénomène qui représenterait une alternative à l'inhumation en tombe (Pariat et Thévenet 2006). On retrouve ensuite également des reste humains isolés au Néolithique moyen II (Chasséen, groupe de Noyen, Michelsbergh), dans le Bassin Parisien, de manière éparse dans toutes sortes de structures domestiques (fossé d'enceinte, une tranchée de palissade, un fossé d'habitat, un puits, une fosse-silo...). Cette fréquence est peut-être « consécutive à une modification des conceptions relatives à la mort. (...) De nouveaux lieux de dépôt apparaissent, qui ne semblent investis d'aucune valeur symbolique si l'on en juge par l'état fragmentaire des restes et surtout l'absence quasi-systématique d'architecture. » (Pariat 2006), mais, il faut toutefois rester très prudent selon l'auteur quant à l'interprétation de ces gestes, et la généralisation de cette pratique funéraire comme possible marqueur d'identité d'un groupe en particulier, car la diversité des dépôts n'est pas en contradiction avec les pratiques d'un seul groupe.

Par ailleurs, dans la zone nord de l'emprise, parmi les pièces isolées retrouvées lors du décapage en tranchée 13, une très grande lame de hache polie en silex de 17,2 cm de long (**ISO 57, lot 324, Fig. 1**), parfaitement conservée et intacte a été retrouvée horizontalement dans l'US 2, directement sous la végétale (95,8 m NGF). De forme triangulaire et de section ovalaire (pour le talon), elle présente un tranchant arrondi et élargi (largeur maximale de 58 mm, et largeur du talon : 18 mm). Les surfaces latérales du tranchant semblent présenter des plages surpolies? Plusieurs exemplaires de haches en silex surpolies ont déjà été recensés, concernant surtout le tranchant, mais parfois aussi la pièce entière.

Une hache au tranchant non utilisée a également été retrouvée dans une sépulture, durant la fouille de l'A85 Le Grand Ormeau (Frénée 2008). Elle serait datée Chambon ou post-Chambon (proto-chasséen? / Néolithique moyen I ?) Mais le profil typologique de cette dernière est plus proche de l'herminette, possédant de plus, un profil plat et des plus petites dimensions.

Typologiquement et chronologiquement, la hache du diagnostic de Bléré pourrait aussi être attribuable au Néolithique moyen II, et serait plus à rapprocher des haches en jadéites alpines de « types méridionaux » comme celle de Pauilhac, l'on retrouve de manière occasionnelle dans le Bassin Parisien. « Une mise en perspective de nos données avec la sériation typo-chronologique proposée dans le programme JADE, les grandes haches en jades alpins trouvées dans le Bassin parisien couvrent toute la chronologie, c'est-à-dire d'environ 4800 à 3600 av. J.-C. » (Giligny, Bostyn et Le Maux 2012, chap. 22 Pauilhac - fig. 7, pp. 1141-1142⁴).

4 L'ensemble des corpus des lames de haches en silex répertoriés pour le Bassin Parisien et limitrophes dans le projet collectif JADE reste très réduit et n'inclut la région d'Indre-et-Loire. La provenance du silex utilisée pour le façonnage de cette hache reste donc, pour le moment, indéterminée, et les analogies typologiques restent hypothétiques.

Le tranchant de cette hache ne semble pas avoir été utilisé, ce qui évoquerait un faciès possible de mobilier de prestige associé à un possible dépôt funéraire ?

A proximité de cette hache, à exactement 4 m au sud de celle-ci, une possible fosse irrégulière indéterminée **F.90** (tr.13 :), vue en berme ouest, d'une longueur minimum de 1,72 m pour 1,03 m de large, a été testée partiellement mais n'a donné aucun autre mobilier ou ossement. A ce stade de diagnostic et des données archéologiques, on ne peut qu'évoquer une simple présence potentielle de structures fossoyées (funéraires ?) autour de la hache (**plan masse**).

3.2. La fosse F.450 (Tr.68, US 654) attribuée au Néolithique moyen II

Cette fosse longiligne arasée, fouillée à 50% sur toute sa longueur, a livré, entre autres mobiliers, de la céramique datante attribuable au Néolithique moyen II. Au niveau du mobilier lithique, 5 silex (**lots 481 à 485**) fortement patinés et un thermofracté. Les matières premières sont plus ou moins indéterminables. On observe sur une seule pièce, un silex gris bleu opaque avec de nombreuses bioclastes, à grain fin et au cortex épais blanchâtre à jaune. Au niveau d'intégrité, 2 silex sont entiers pour 3 fragmentés. Technologiquement, il s'agit principalement de déchets de taille, de petits éclats d'entretien pour deux d'entre eux, présentant un débitage semi-tournant à dos cortical possiblement percussion indirecte ?, et un entretien « bipolarisant », avec ouverture d'un plan de frappe secondaire opposé (**lot 481, Fig.8**), puis un fragment proximal de petite lamelle irrégulière à section triangulaire et enfin une lame partielle régulière supposée de plein débitage, légèrement courbe, à section trapézoïdale et à corniche abrasée, où la technique de percussion dure à la pierre tendre est peut-être envisageable. Cette dernière (**lot 482, Fig.8**), un fragment presque entier proximal et mésial de lame (fracture fraîche due à la pelle mécanique sur le bord latéral droit) a été utilisée telle quelle, formant la création de deux coches latérales, c'est un outil dit *a posteriori*.

Trois pièces macrolithiques ont été aussi prélevées dans le comblement unique de cette fosse (**lot 261, Fig.7**), **261-1 et 261-2** : le remontage de 2 fragments d'une meule double en « va-et-vient », fortement utilisée sur les deux faces. De forme générale ogivale arrondie latéralement, fracturée et non entière. La mise en forme semble avoir été faite par enlèvements réguliers latéraux régularisés et par piquetage régulier, les surfaces actives sont planes. L'objet a subi un phénomène de thermofraction légère en face supérieure, et forte en face inférieure (coloration de rosé à rouge-noir).

L'objet **261-3** : un galet ovoïde de calcaire gris rosé probablement travaillé, présentant deux enlèvements anciens sur la face supérieure bombée, et une surface lisse plate en face inférieure : elle peut avoir été utilisée en molette de friction, avec des traces linéaires profondes latérales sur les tranches ou en polissoir ? Ou encore comme un outil pluri-fonctionnel ? (Jacotey et Hamon 2014).

Les provenances possibles des matières premières sont relativement locales: du grès brun, un possible grès beige du Sud-Berry, de Saint-Christophe-le-Chaudry (Cher) ? ou encore du grès provenant d'une meulière de St Mars-la-Pile ? (B. Robin, comm. orale).

Datation : Néolithique ancien à final.

Les caractères typo-technologiques de ce petit lot lithique aux caractères très ubiquistes ne permettent pas d'attribuer une datation fiable, mais plutôt une fourchette chronologique large de la fin du Paléolithique à la fin du Néolithique, avec toutefois une suspicion d'attribution plus précise au Néolithique ancien-moyen 1, en ce qui concerne les techniques de taille et le mode expédient de l'outillage, mais finalement postérieure selon la datation de la céramique associée. Par ailleurs, de la malacofaune (moules d'eau douce et autre bivalve) ainsi que de nombreux tessons sont associés

à ces fragments en silex et ces outils fracturés en pierre. D'un point de vue fonctionnel, il pourrait bien s'agir ici plutôt d'une fosse de rejets.

A contrario, en comparaison directe avec le mobilier issu des structures du site de Sublaines « Le Grand Ormeau » (Frénée 2008, pp. 114-123), notons qu'une fosse de plan plutôt circulaire F.1012 présentait dans son comblement deux céramiques de type Chambon posées retournées en fond de fosse, sur une valve de moule d'eau douce (identique à la F.450), et une lame de silex. Aucun vestige osseux n'a été signalé dans l'ensemble du comblement⁵. L'étude globale de cet ensemble funéraire néolithique reconnu sur le site suggère néanmoins la présence d'aménagements organisés qui permettent l'hypothèse de dépôts rituels ou pour le moins d'accompagnement, qui seraient inclus dans une zone plus large funéraire (Sagetat, Texier et Chambon in Frénée 2008, p.89).

La possibilité éventuelle que la fosse F.450 ait une autre fonction que celle de fosse de déchets n'est pas exclue. De toute manière, une vigilance accrue sera de mise lors du décapage de la tranche 2 du diagnostic, dans cette zone limitrophe.

3.3. Des vestiges attribués au Bronze moyen

3.4.

3.4.1. La fosse F.81 (Tr.11, US 101)

Associés à 28 tessons attribués au Bronze moyen, deux silex sont issus de cette fosse isolée. Le silex exploité provient certainement du Turonien inférieur local, gris et brun, frais ou légèrement voilé par une légère patine. L'une des pièces est entière (**lot 470**), c'est un petit éclat légèrement courbe et réfléchi, à section irrégulière, à talon punctiforme, et correspondant à une tablette de réavivage d'un plan de frappe montrant un débitage indirect, avec des enlèvements fracturés lamellaires, et présentant aussi une corniche en éperon (percussion indirecte ?). Et l'autre fragmenté (**lot 471**), une partie mésiale de lamelle rectiligne fine, à section trapézoïdale et présentant un débitage unipolaire.

Datation : Néolithique ancien à Néolithique final.

S'agit-il de mobilier lithique résiduel dans cette fosse ? La présence d'un débitage laminaire peut étonner pour cette période. En effet, les fouilles d'habitat du Bronze sont encore mal représentées dans le Grand-Ouest, mais l'étude d'une série homogène du Bronze ancien sur le site de Tatihou à Saint-Vaast-la-Hougue (Manche) a permis de mettre en évidence parmi l'outillage plus diversifié que l'on ne le pense, des lames et des lamelles retouchées. Cependant « cette technique de débitage semble disparaître totalement durant le Bronze moyen ou le Bronze final... » (Ghesquière et al. 1997). On ne peut pas exclure la contemporanéité des mobiliers de cette fosse d'âge du Bronze par le simple fait de la méconnaissance actuelle des industries lithiques protohistoriques, mais il est évident que l'on ne peut pas totalement exclure non plus la possibilité d'éléments antérieurs remaniés provenant de l'encaissant de la fosse.

3.4.2. La fosse F.179 (Tr.30, US 268)

Un éclat de silex fortement patiné (**lot 539**) : un large éclat partiellement cortical, à talon large lisse oblique, soit issu d'un aménagement de plan de frappe, soit d'une préparation des convexités latérales d'un nucléus ?

Datation : Préhistoire-Protohistoire indéterminée.

5 la conservation des restes osseux peut être très différencié d'un secteur du site à un autre, selon l'auteur.

1.1.1. La fosse F.457 (Tr.70, US 818)

Deux silex : un éclat court large et épais, semi-cortical, sans doute réfléchi et de mise en forme d'un nucléus en silex du Turonien inférieur, légèrement patiné, (**lot 654**), et un petit fragment d'éclat épais fortement thermofracté au silex indéterminé, présentant des fractures et enlèvements sur la face inférieure, mais peu lisible.

Datation : Préhistoire-Protohistoire indéterminée.

1.1. Des structures en creux isolées non datées :

1.2.

1.2.1. La fosse F.3 (Tr. 1, US 16)

Un percuteur (**lot 328**) : gros fragment de bloc du Turonien inférieur épais irrégulier semi-cortical (62x53x33), non sphérique, un peu émoussé et présentant de nombreuses traces de percussion sur les deux faces, thermofracté puis fortement patiné. 141g.

Datation : Préhistoire-Protohistoire indéterminée.

1.2.2. La fosse F.25 (Tr.2, US 27)

Le fragment proximal d'un outil a posteriori/burin (**lot 332**) sur lame épaisse irrégulière, à section trapézoïdale, fracturé en face ventrale puis retouché par des retouche inverses, un coup de burin direct, et présentant quelques traces d'utilisation latérales, dans un silex blanc mate du Sénonien frais.

Datation : Préhistoire-Protohistoire indéterminée.

1.2.3. Le fossé-drain F.66 (Tr.6, US 77)

Un fragment mésial d'une possible armature en cours de fabrication (**lot 390**) sur lame (21x4x2 mm) présentant des enlèvements laminaires unipolaires sur la face supérieure, la tronçature est réalisée par la technique du microburin, sur un silex blond frais dont l'origine peut être recherchée dans les formations du Bathonien de l'Anglin ? ou du Turonien inférieurs du Cher ? Turonien inf. (Primault 2003).

Datation : Epipaléolithique au Néolithique ancien.

1.2.4. L'anomalie géologique F.69 (Tr.6, US 81)

Un outil a posteriori/ burin sur éclat laminaire entier (**lot 387**), à section triangulaire et portant de légères traces d'usures latérales gauche, un enlèvement plus profonde en partie distale (geste burinant ?), en silex frais du Turonien inférieur. Il présente aussi un possible débitage bipolaire sur la face supérieure.

Datation : Paléolithique supérieur à Néolithique final.

1.2.5. Le TP ou la fosse F.74 (Tr.9, US 93)

Un petit éclat laminaire de flanc irrégulier épais (**lot 473**), thermofracté, possiblement du silex du Turonien inférieur.

Datation : Préhistoire-Protohistoire indéterminée.

1.2.6. Le fossé F.220 (Tr.36, US 320)

Un remontage de 2 fragments de grands éclats larges et irréguliers en silex du Turonien inférieur (**lot 459 Fig. 9**), débités à la percussion à la pierre dure, dont un réfléchi et fracturé, illustrant une mise en forme des convexités lors d'un débitage laminaire unipolaire. Le 2^e éclat large est fracturé latéral gauche mais porte quelques traces d'utilisation, et surtout des retouches directes profondes marginales latérales gauche, correspondant au façonnage d'un outil de type denticulé, qui finalement a été jeté car il s'est fracturé lors de l'opération. Cette courte séquence évoquerait un possible débitage *in situ* et, au moins, un façonnage d'un outil à usage immédiat à proximité de ce possible fossé très arasé.

Datation : Paléolithique moyen à Néolithique final, avec présomption de Néolithique ancien-moyen de par son côté expédient, avec une utilisation immédiate d'éclats secondaires en outils a posteriori, fréquente dans les cultures rubanées et VSG d'Europe occidentale mais aussi sans doute dans les cultures néolithiques/ protohistoriques plus récentes.

1.2.7. Le fossé F.223 (Tr.38, US 968)

Un fragment de silex très émoussé avec une double patine de teinte jaunâtre (**lot 388**) : un éclat épais irrégulier fracturé latéralement et en partie distale, un éclat d'entretien d'un débitage laminaire, avec plusieurs enlèvements antérieurs sur la face supérieure, et un possible détachement de l'éclat postérieur.

Datation : Paléolithique supérieur à Néolithique final.

1.2.8. La fosse F.414 (Tr.60, US 888)

Un fragment proximal de lame en très bon état de conservation (**lot 393**) : une lame de flanc latérale semi-corticale et néocorticale large et épaisse, à section triangulaire, de mise en place d'un débitage laminaire, à talon large lisse oblique.

Datation : Paléolithique supérieur à Néolithique final.

1.2.9. Le fossé F.452 (Tr.69, US 713)

Un fragment de silex thermofracté et patiné gris (**lot 586**) : un fragment proximal d'éclat laminaire ou de lame large à section trapézoïdale, et à talon large lisse.

Datation : Préhistoire-Protohistoire indéterminée.

1.3. Le mobilier lithique en position résiduelle dans des structures plus récentes :

1.3.1. La fosse d'extraction/marnière F.87 (Tr.11, US 110)

Outre 3 tessons attribués au Bronze moyen, 2 silex ont été retrouvés en position résiduelle dans cette large structure plus récente. Les silex semblent d'origine locale, issus du Turonien inférieur gris et brun, avec un léger voile de patine, et légèrement thermofracté pour l'un d'eux. Une pièce esquillée/outil a posteriori (**lot 423**), sur un fragment proximal de lame régulière à section triangulaire, de flanc, sur un débitage unipolaire, avec un talon fracturé portant de nombreux enlèvements larges unifaciaux sur la face inférieure, et des retouches d'utilisation latérales. Et un second outil à « usage direct » (**lot 501**), un petit éclat épais rectiligne et irrégulier, d'entretien des convexités (dans un débitage multipolaire), à talon large lisse et une face supérieure présentant des enlèvements réfléchis et multiples fracturations, avec un possible dégagement d'une encoche latérale gauche.

Datation : Préhistoire-Protohistoire indéterminée, mais la stratégie à la fois économique et opportuniste de la matière première, et la présence de ces deux outils a posteriori peuvent évoquer aussi bien des cultures rubanées du Néolithique ancien d'Europe nord-occidentale (Le Brun-Ricalens 2006), que des outils lithiques plus tardifs, expédients et opportunistes de l'âge du bronze.

1.3.2. La fosse d'extraction/marnière F.101 (Tr.16, US 820)

Outre 28 petits tessons attribués au Bronze moyen dans l'un de ses comblements, un silex fortement patiné (**lot 422**) a été prélevé à moins d'1,50 m de profondeur, en position résiduelle : il s'agit d'un fragment partiel d'éclat irrégulier court et réfléchi, d'entretien d'une table laminaire, à talon dièdre déjeté, et légèrement thermofracté sur le bord latéral droit.

Datation : Préhistoire-Protohistoire indéterminée.

1.3.3. La fosse d'extraction/marnière F.221 (Tr.87, US 967)

Un fragment de grattoir fortement thermofracté (**lot 556**), sur un grand éclat épais partiellement cortical présentant des enlèvements multipolaires sur la face sup., difficilement lisible car fortement chauffé et fracturé sur les bords et en partie distale. Il semble montrer quelques retouches profondes régulières formant un front de type grattoir caréné, mais il y a trop de fractures pour en être certaine.

Datation : Préhistoire-Protohistoire indéterminée.

1.3.4. La fosse d'extraction/marnière F.237 (Tr.45, US 826)

Un fragment partiel d'une armature fortement thermofractée, puis fortement patinée (**lot 378, Fig. 4**) : fragment proximal d'un éclat laminaire au talon retouché, présentant des retouches continues semi-abruptes et envahissantes sur deux bords formant une pointe, avec 3e bord est fracturé, formant peut être un segment ou une armature tranchante dissymétrique?

Datation : Néolithique.

Par analogie, on peut retrouver cette même morphologie dans une armature de la sépulture 3 du site de Balloy, datée du Néolithique moyen I, de culture Cerny (Chambon 1997).

1.3.5. La fosse d'extraction F.277 (Tr.48, US 427)

Un perçoir fortement patiné (**lot 379, Fig. 10**) : sur un éclat latéral de flanc ou de maintien d'une convexité latéral, un perçoir de forme triangulaire déjeté et à section irrégulière, avec un talon punctiforme, et une présentant des retouches directes profondes en partie distale formant une pointe robuste et fortement émoussée, et des éclats d'amincissement ou des esquilles liées à l'emmanchement sur la partie proximale. D'un point de vue fonctionnel, et de manière hypothétique (sans analyse tracéologique préalable), étant donné l'usure extrême, il s'agit d'un outil possiblement lié au travail ou à la perforation de roches dures, comme par exemple des bracelets en schiste? (F. Kildéa, comm. orale)

Datation : Néolithique ancien-moyen ?

1.3.6. Le silo F.325 (Tr.50, US 564)

Au fond du silo coupé mécaniquement, et à la limite de l'encaissant, fragment proximal de silex thermofracté et patiné jaunâtre (**lot 594**) : un éclat laminaire épais à section trapézoïdale présentant, sur sa face supérieure, des enlèvements unipolaires convergents.

Datation : Paléolithique moyen ?

1.3.7. Le fossé F.443 (Tr.80, US 669)

Dans le comblement supérieur du fossé, le fragment proximal d'un éclat laminaire ou lame irrégulière fortement patiné (**lot 538, Fig. 4**) à section trapézoïdale et talon large lisse concave. Sa fracturation est due à la matière première et à la formation d'une géode cristalline interne.

Datation : Préhistoire-Protohistoire indéterminée.

1. Les pièces lithiques relevées en isolats et/ou dans les décapages des tranchées

1.1. Une concentration d'industries du Paléolithique moyen

28 silex patinés (blanche intégrale) à fortement patinés (jaunâtre, arêtes émoussés) ont été attribués de manière formelle à une culture du Paléolithique moyen. A l'exception d'un silex blanc opaque, sans doute du Cénonien (**lot 357**), la majorité des matières premières reste indéterminable ou potentiellement issu du Turonien inférieur local.

Industries du Paléolithique moyen	nucléus	éclats	produits laminaires
sous-produits :	2	2	1
racloir		6	1
denticulé		2	
coche		2	1
outils a posteriori / éclats utilisés bruts		3	1
pointe		3	1
perçoir		1	
biface		2	
outils :	2	21	5

total**28****Tableau : répartition des silex du Paléolithique moyen par tranchées, dans la zone nord (N total = 63)**

Technologiquement, deux nucléus montrent un débitage de type Levallois unipolaire récurrent à « éclat débordant » (**lot 590 et 599**), tandis les produits présentent le plus souvent des éclats triangulaires, des talons dièdres et sont issus d'une percussion directe à la pierre dure. La présence d'enlèvements unipolaires convergents (Boëda 1993) aussi bien que centripètes sur leur face supérieure est attestée. Peu d'éclats semblent toutefois issus d'un débitage discoïde.

Quelques éclats allongés ou laminaires peuvent évoquer un faciès plus récent comme l'ISO 46 en tranchée 10 (**lot 467**) correspondant au fragment proximal d'un large éclat laminaire épais de section rectiligne, aux bords irrégulier, partiellement cortical, présentant un talon large dièdre, et des enlèvements d'éclats allongés bipolaires sur la face supérieure, démontrant un possible débitage sur tranche de nucléus (ou surface étroite) dans une gestion tournante alternée?

Sur le site proche d'Angé (Loir-et-Cher), « une production de lames a été mise en évidence pour la première fois dans un gisement du Paléolithique moyen situé au sud de la Loire. Les supports recherchés étaient des lames aux bords rectilignes. Ce type de débitage est similaire à celui identifié dans de nombreux ensembles lithiques du Nord- Ouest européen, contemporains du Début Glaciaire weichselien (sous-stades isotopiques 5d à 5a) » (Locht et Depaepe 2015).

Typologiquement, notons la présence de 2 pointes pseudo-levalloises, d'une limace moustérienne (Bordes 1954) et de plusieurs pointes possédant des analogies avec les pointes moustériennes avec celles retrouvées sur le site d'Angé " le Petit Jardin " (Loir-et-Cher), situé à moins d'une vingtaine de kms à l'ouest du site également sur le plateau au sud du Cher (Locht et al. 2009 ; Soressi et Loch 2010) dans cette série, une seule pointe retouchée a été relevée en tranchée 6, fracturée latéralement, elle présente des enlèvements bipolaires sur la face supérieure et des retouches régulières directes et abruptes latérales droit et sur la pointe. Sa base a été amincie avec des retouches allongées sur le talon en face inférieure.

Il s'agirait d'une petite pointe moustérienne fracturée puis retouchée et réutilisée telle quelle semble-t-il? Par économie du silex ? Elle aussi correspondrait plutôt à un moustérien possiblement de type Ferrassie ? (**lot 464, Fig.1**).

Les racloirs, au nombre de 7 sont principalement à talons épais, désaxé ou déjetés, présentant des retouches profondes et scalariformes directes bilatérales de type Quina, le plus souvent convergents (**lot 356, Tr. 6 Fig.1**) et parfois au talon aminci (**lot 353, Tr. 9**) (Bernard-Guelle et Porraz 2001).

Deux bifaces ont été retrouvés en ISO en dehors de la concentration - partie nord des pièces Paléolithique moyen, il s'agit d'un biface cordiforme assez grossier, à section quadrangulaire, fragmenté (**lot 342, tr. 15, Fig.2**) sur éclat large et épais partiellement cortical, au talon déjeté par rapport à l'axe morphologique de l'outil, avec un amincissement du bulbe, des bords convexes et des arêtes sinueuses. Il présente des retouches profondes rasantes scalariformes bifaciales, convergentes et asymétriques. La face supérieure est convexe avec la présence d'une diaclase naturelle et des contre-bulbes discrets, et la face inférieure plane avec des contre-bulbes marqués, ce fragment basal de biface a sans doute été retouché postérieurement en encoche sur la base avec des retouches irrégulières directes.

La seconde pièce façonnée est un biface ovalaire (**lot 374, Tr. 37, Fig.2**) sur éclat large et épais, partiellement néocortical, au talon déjeté par rapport à l'axe morphologique de l'outil, la base demeurant néocorticale. Les arêtes sont plus régulières et présentent des retouches profondes rasantes et envahissantes régulières bifaciales, convergentes symétriques, issues d'une percussion directe tendre organique. L'extrémité distale est arrondie et déjetée. La face inférieure est convexe avec la présence de fissures naturelles et des contre-bulbes très discrets, tandis que la face supérieure est plane avec des contre-bulbes un peu marqués. Cette pièce entière (106 x 74 x 28 cm) pourrait correspondre à un Moustérien de tradition acheuléenne (Desruisseaux 1986).

Une troisième pièce épaisse et façonnée correspond soit à un grand racloir convergent soit à une ébauche de biface ? (**lot 419, Tr. 11**) Elle a été réalisée sur un éclat très épais, largement cortical, au talon large lisse-oblique déjeté par rapport à l'axe de la pièce. Cet éclat montre des retouches irrégulières directes, profondes à envahissantes, quelques retouches inverses notamment sur la pointe dégagée et des détachements latéraux perpendiculaires évoquant la possibilité d'une ébauche de biface non aboutie à cause de l'épaisseur de la pièce? La datation est Paléolithique moyen (Locht et Depaepe 2015).

En synthèse, la série lithique du Paléolithique moyen trouvée lors de ce diagnostic pourrait être attribuée au Weichselien ancien (OIS 5d-OIS 5a : entre - 109 000 et - 82 000 ans environ) et comparables au site d'Angé « le Petit Jardin » (Locht et al. 2009). « Les ensembles lithiques de cette période sont caractérisés par une grande variabilité dans les systèmes de production (production d'éclats, de pointes, de lames et de bifaces). Cette variabilité technologique a été mise en évidence à de nombreuses reprises (...) et si le bruit de fond commun au Paléolithique moyen du Nord de la France est le débitage Levallois présent sous toutes ses modalités (linéale, récurrente unipolaire, bipolaire et centripète), la production de pointes et de lames est l'une des caractéristiques de ces ensembles lithiques » (Locht *et al.* 2010). Mais méfiance toutefois au niveau attribution, car « Cet ensemble lithique résulte sans doute de la superposition possible de plusieurs occupations. Les datations par thermoluminescence de nombreux silex chauffés ont livré plusieurs rangs d'âge, dont le plus significatif se trouve aux alentours de 84.5 ± 3.8 ka BP » (Locht et Depaepe 2015).

Par ailleurs, d'autres indices de la présence du Paléolithique moyen avaient déjà été repérés lors des opérations les plus proches au sud de l'opération, dans la zone 1 et 2 de la fouille de Sublaines « Le Bois Gaulpied » et « Le Grand Ormeau », 5 pièces présentant une patine jaunâtre prononcée, avec ou sans émoussée des nervures. Parmi celles-ci, 1 éclat Levallois et 1 nucléus Levallois.

Lors du diagnostic, 2 autres pièces lithiques avaient aussi été retrouvées 1 du Paléolithique moyen et 1 autre retouchée. Pas de concentrations significatives n'avaient été relevées, mais leur présence témoigne d'une « occupation du Paléolithique moyen assez proche dont la localisation précise,

l'étendue et l'état de conservation restent à préciser » (M.F. Creusillet In Frénée et al. 2014).

D'un point de vue spatiale, sur l'ensemble de pièces relevées sur ce diagnostic de Bléré-phase 1, 28 pièces ont donc été attribuées avec certitude au Paléolithique moyen, mais 41 autres pièces sont aussi possiblement datables du Paléolithique Moyen au Néolithique. Parmi ces pièces, un petit ensemble (N= 63) forment une concentration dans la partie nord de l'emprise, entre la tranchée 6 à l'est et la tranchée 13 à l'ouest. Dans cette large zone, 21 silex sont attribués de manière certaine à une culture du Paléolithique moyen et 42 dans la fourchette du possible Paléolithique moyen.

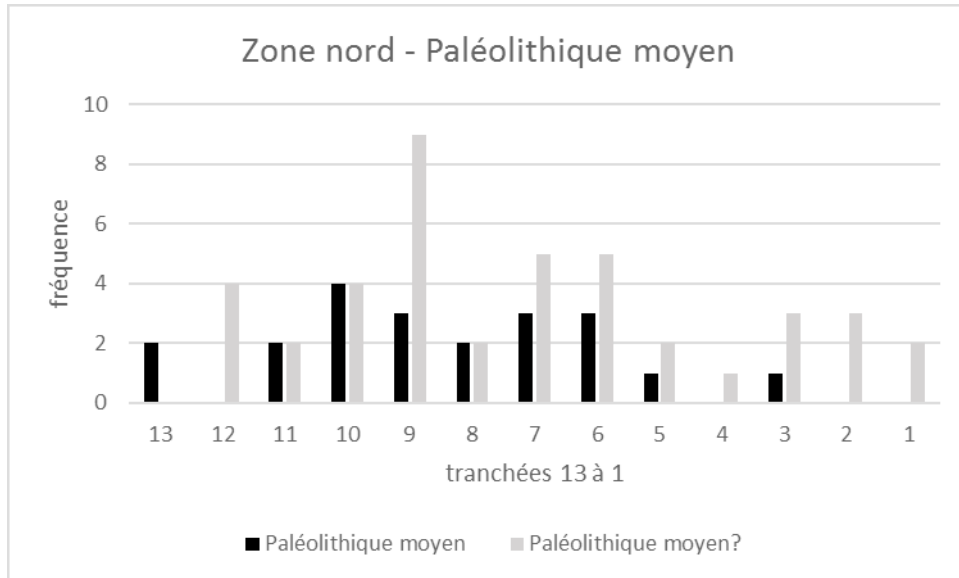


Diagramme : répartition des silex du Paléolithique moyen par tranchées, dans la zone nord (N total = 63)

Au niveau stratigraphique, ces silex ont été prélevés soit dans l'US 1 arable, soit au sein de l'US 2 sous l'US 1 dans la partie sommitale ou parfois, posés à l'interface et sur le terrain naturel correspondant, dans toute la zone nord. Le terrain naturel stérile correspond dans cette zone à une argile très graveleuse d'altération du substrat calcaire. L'US 2 a été identifiée dans plusieurs logs de cette zone comme étant un possible niveau de limons argileux brun-orangé à petite composante sableuse colluvionnés (cf. *infra* étude géomorphologie : niveau E).

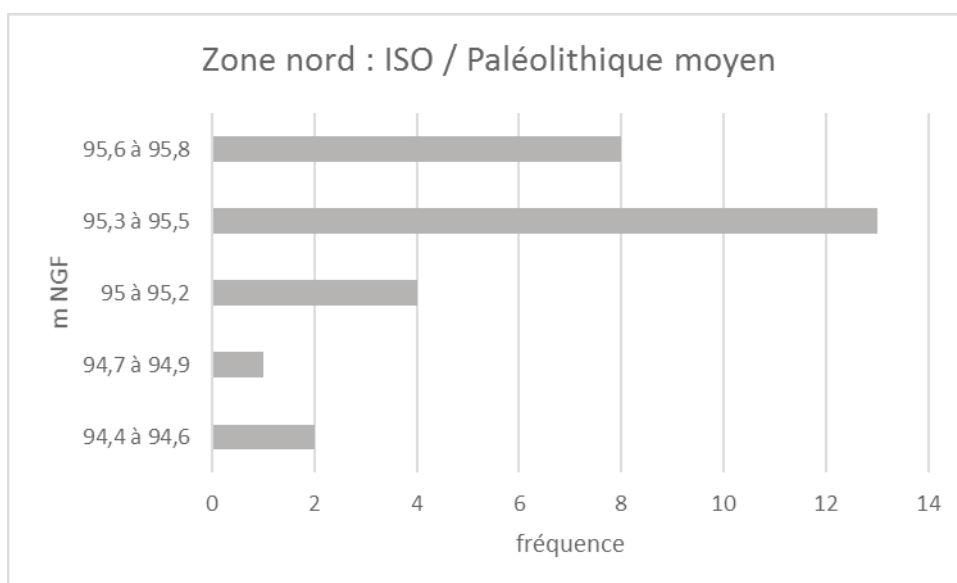


Diagramme : altitudes moyennes des pièces relevées en isolats du Paléolithique moyen dans la zone nord (N = 28)

La stratigraphie est peu épaisse dans cette zone qui présente un pendage global nord-ouest/sud-est, cependant, d'un point de vue altimétrique, si l'on effectue la distribution des pièces selon des classes de 20 cm, la présence des pièces cotées et attribuées de manière possible au Paléolithique moyen semble assez récurrente entre 95,3 et 95,5 m NGF (13 artefacts sur 28), la moitié des pièces se trouvant dans une épaisseur maximum de 50 cm (entre 95 et 95,5 m NGF).

Enfin, plus précisément dans la partie nord de la tranchée 10, une fenêtre a été ouverte autour d'une concentration de 6 silex fortement patinés (iso 43 à 49 : **lots 330,335 fig. 2**, et lots 360,412,467,592 et 595). Parmi ces silex, 3 sont attribués avec certitude au Paléolithique moyen et comparable aux particularités des industries du site d'Angé (Loire-et-Cher; Lochet et al. 2009).

Très rapprochés et distants au maximum de 4 m pour une pièce, ils ont été prélevés, en outre dans une fourchette de 5 de cm d'épaisseur : les altitudes relevées tournent toutes autour de 95,38 ou 95,39 et au maximum 95,43 m NGF pour la pièce la plus éloignée.

Donc, s'agit-il d'un possible paléosol conservé du Paléolithique moyen, scellé par des colluvions (US 2) par endroits et émergeant au niveau de la terre végétale ailleurs sur l'emprise ? ou alors une concentration d'artefacts liée à une véritable occupation circonscrite de type campement ? La prudence est de mise, n'oublions pas que l'ensemble de la série même présente plusieurs faciès du Paléolithique moyen, depuis ce qui semble être du Moustérien de type acheuléen (Turq 2000) jusqu'au laminaire plus tardif sur l'ensemble de l'emprise.

Cette grande zone nord, avec sa concentration de pièces mériterait sans doute qu'on s'y attarde plus, avec une vigilance accrue lors du décapage à l'ouest de cette zone pour la phase 2 du diagnostic. Quelle que soit l'une ou l'autre hypothèse, cela n'enlève en rien l'intérêt d'un tel ensemble, notamment dans la région Centre où, dans l'état actuel des recherches, peu de sites de plein air du Paléolithique moyen sur plateau ont été diagnostiqués et étudiés.

1.2. Quelques pièces du Paléolithique supérieur et de l'Épipaléolithique/Mésolithique épars

Après, semble-t-il, un hiatus d'occupation de plusieurs millénaires sur le site, un petit lot de 14 silex fortement à légèrement patiné semble appartenir à des cultures de chasseurs-cueilleurs de la fin du Tardiglaciaire/transition avec la période Holocène. Ces artefacts ont été retrouvés de manière disparate et isolée sur l'ensemble de l'emprise (Tr. 1,3,5,6,7,14,15,16,26,31,59,63) sans liens directs avec des structures en creux, ni dans des concentrations significatives. Aucune occupation en place ne peut donc être émise à partir des données de ce diagnostic, juste un bruit de fond.

Parmi les artefacts épipaléolithiques, notons 2 nucléus prismatiques à lamelles ou micro lamelles semi-tournant (**lot 492, Fig.10**), 1 nucléus pyramidal (**lot 432, Fig.10**) et un nucléus sur tranche débité sur la face ventrale d'un éclat. La technique employée est la percussion à la pierre dure et l'abandon de ces derniers semblent liés plutôt liés à une phase finale induisant de nombreux réfléchissements et fractures sur la table, ou à une exploitation maximaliste des convexités jusqu'à exhaustion du bloc.

Deux grattoirs courts onguiformes (**lots 430 et 663**) sur éclats retrouvés en tranchée 59 et hors stratigraphie, et une pointe de flèche appartiennent à cet ensemble. Il s'agit d'une armature percante à dos courbe (**lot 371, Fig. 10**), constituée d'un fragment distal de lamelle de section trapézoïdale, légèrement thermofractée, présentant des enlèvements unipolaires sur la face supérieure. Ce support microlithique standard (32x13x5 cm) a été largement transformé par des retouches

abruptes et semi-abruptes continues latéral gauche formant un dos courbe, et des retouches irrégulières latéral droit avec une coche opposée afin de créer une pointe de flèche «azilienne» de type Grundy ? (Marchand et al. à paraître ; Naudinot 2009 p. 254). Cet ensemble pourrait être caractéristique de l'Azilien récent ⁶. L'occupation du territoire par des groupes aziliens durant la phase finale tempérée de l'Alleröd (environ -13 900 à -12 900 ans BP) est désormais largement bien attestée dans l'Ouest de la France, notamment en Bretagne et Pays de Loire. « Le gisement le mieux documenté reste sans conteste le site des Chalognes (Mozet-sur-Louet, 49) fouillé sur une surface de 9200m² par G. Marchand en 1999 avant la construction de l'autoroute A 87 (Angers / La Roche-sur-Yon) » (Naudinot 2009).

Enfin, parmi cette petite série lithique anecdotique, deux pièces (**lot 426**, tr.15 et **lot 341**, tr.31) retrouvées dans la partie nord-ouest du site semblent antérieures à cette fréquentation et pourraient appartenir aux techno-complexe du Paléolithique supérieur. La deuxième est grande lame irrégulière épaisse de forme générale ogivale et fracturée en partie distale (**lot 341**, **Fig. 8**). De section irrégulière, à talon large lisse avec une corniche abrasée, cette lame robuste présente des retouches scalariformes et des coches bilatérales formant, par le maintien de bords convexes, un large couteau qui ne dépareillerait pas dans une culture solutréenne⁷ (de - 22 000 ans à - 17 000 ans environ).

1.3. Un horizon Néolithique ancien-moyen résiduel ?

La présence d'une occupation potentiellement funéraire Chambon dans la zone ouest de l'emprise a déjà évoqué par l'étude de la zone A, des fosses F189 et F180 et du fossé F188 (*cf. infra* : une zone funéraire) et dans la partie nord de l'emprise, par la découverte d'une hache polie non utilisée, datant potentiellement de cette culture, ou post-chambon. Dans une zone plus centrale, la fosse F.450 (tr. 68) a quant à elle, livrée du mobilier d'une autre culture du Néolithique moyen II.

D'autres pièces lithiques d'obédience néolithique mais plutôt de type outillage agricole ou domestique ont également été reconnues sur le reste de l'emprise, dans des faits isolés très dispersés, et à une distance très importante les uns des autres : F69 (tr. 7), F110 (tr.11), F220 (tr. 36), F237 (tr.45) et F.277 (Tr.48).

Le côté dispersé de ces horizons néolithiques, durant des phases plutôt ancienne ou moyenne, a également été observé, par la présence d'une trentaine d'artefacts relevés lors des décapages successifs des tranchées et faisant potentiellement parties de cet horizon. Parmi ces derniers, 25 pièces sont sûres. Taphonomiquement, ces pièces présentent le plus souvent un léger voile graphique, voir un état de conservation très frais.

Au niveau technologique, quelques rares fragments de lames sont rectilignes (**lot 325 et lot 349**, **Fig. 6**) ou légèrement courbes (**lot 650 et lot 335**, **Fig.6**) indiquent un débitage laminaire unipolaire et bipolaire, tandis qu'un nucléus de petites dimensions sur galet, retrouvé en tranchée 12 (**lot 397**, **Fig. 6**) présente un débitage lamino-lamellaire semi-tournant bipolaire sur enclume.

Typologiquement, il s'agit le plus souvent d'un outillage opportuniste sur supports plus anciens patinés (à double patine), ou encore d'une réutilisation d'éclats épais paléolithiques moyens en nucléus. Le débitage d'éclats courts est réalisé en mode direct, expédient, par percussion directe dure, soit sur la face ventrale de l'éclat (**lot 395**, **Fig.5**) soit directement sur la tranche, avec des séquences courtes à but immédiat. L'outillage également est expédient, de type domestique (encoches, pièces

6 Attribution culturelle confortée et précisée par F. Kildéa (comm. orale/Inrap).

7 Attribution culturelle émise par F. Kildéa (comm. orale/Inrap), que nous tenons à remercier vivement ici.

esquillées, grattoirs) sur des supports divers, ainsi « piochés » et peu transformés, souvent utilisés tels quels, en outils dits *a posteriori* (**lot 335 et 358, Fig.6 ; lot 421, Fig.8**). On sait bien que ce type de comportement « économe » vis-à-vis de la matière première est particulièrement perceptible au Néolithique ancien (cultures du Rubané) en Europe nord-occidentale dans les régions pauvres en ressources siliceuses où les pièces esquillées par exemple, sont obtenues essentiellement en fin de chaîne opératoire à partir du recyclage d'outils usés, cassés et autres produits de second choix » (Le Brun-Ricalens 2006). »

A cela s'ajoutent 4 éléments lithiques reconnus généralement comme des outils agricoles commun, des couteaux sur lames courtes (issus d'une production ?) (**lot 577, Fig.4**), ou de véritable armatures de faucilles sur grandes lames tronquées et base amincie (**lot 575, Fig.4 ou lot 333, Fig.6**), certaines présentant de légers polis d'utilisation latéraux. Deux armatures tranchantes ont été répertoriées, toutes deux en tranchée 6 (**lot 465**), un trapèze sur éclat irrégulier épais à encoches bilatérales peut avoir servi de préforme de d'armature sur un éclat, et un trapèze asymétrique à troncature oblique (**lot 347**) pourrait représenter une « flèche asymétrique de type danubien » ? (Thévenin 1995). Notons la présence, en tranchée 60, d'un pic ou tranchet patiné de 7,7 cm de long pour 3,5 cm de large (**lot 589, Fig.4**). Et enfin, d'un petit perçoir robuste très émoussé (lot 379, F.277, US 427) de 6,6 cm de long pour 3,3 cm de large, retrouvé en position résiduelle dans une fosse d'extraction de calcaire, et dont la fonction est possiblement liée au percement de bracelets en schistes ?

L'attribution de cette petite série peu homogène à une culture particulière du Néolithique reste très malaisée. Une tendance générale de ces industries peut être toutefois mise en parallèle avec des stratégies « économiques » des matières premières et opportunistes fréquente au début du Néolithique dans le Bassin Parisien. En effet on rencontre ce type de stratégies dans plusieurs cultures ou périodes, mais tous ces éléments mis ensemble, et rattachés au contexte archéologique du site, à savoir la présence d'un habitat B-VSG très proche, localisé directement au sud de l'emprise du diagnostic, peut servir de marqueur. Lors des études de mobilier lithiques issus des fouilles du Grand Ormeau et du Bois Gaulpied sur Sublaines), la production d'éclats est aussi réalisée sur des nucléus polyédrique ou opportuniste, pour la retouche d'outils expédients. L'abondance relative de perçoirs et de pièces appointées pourrait témoigner du rejet lié à une activité artisanale spécifique (réparation de bracelets en schiste, ou travail du quartz ?), les armatures de flèches perçantes sont de type danubien, retouchées surpiquant trièdre et présentent une retouche inverse plate de la base, et enfin, l'outillage retouché sur lame est fortement marqué par la présence d'éléments de faucille avec lustre ou non (d'après Lardé et al. 2014).

Régionalement, l'absence totale ou presque de production laminaire, au profit d'une production d'éclats par percussion dure majoritaire peut correspondre à une série B-VSG qui préfigure les industries du Néolithique moyen 1 (Creusillet 1997), comme sur le site de Muides-sur-Loire « Le Bas des Flénats » (Loire-et-Cher), distant d'une soixantaine de kms au nord-ouest du site. Une production de « lames courtes et de mauvaise venue » dans une production lithique dominée par des éclats et attribuable au Néolithique ancien (Bailloud, Cordier 1987) est signalée sur les communes de Marcigny et de Villerable (Loir-et-Cher). « Quelques armatures asymétriques y ont également été signalées. D'après l'étude céramique, le mobilier de cette fosse appartiendrait à la phase moyenne du VSG. Pour le bassin versant ligérien moyen, peu d'autres séries lithiques peuvent être comparées à celles de Sublaines. Il faut donc élargir le champ des comparaisons à l'ensemble du Bassin Parisien et au-delà... » (Lethrosne in Moreau et al. 2015).

Dans la vallée de l'Eure, les deux sites de Chartes « Parc D'archevilliers-site 206 » et Chartes « La Petite Pointe » possèdent cette caractéristique de production laminaire soignée différenciée, à côté d'une production d'éclats majoritaire. Toujours en Eure-et-Loir, le site de « Sours les Ouches » (Dupont, Liagre et Irribarria 2010) comprend également une production de supports d'éclats. Au

sud-est du Bassin Parisien, l'évolution de lithique du B-VSG dans le secteur de la confluence Seine/Yonne montre une préférence pour les supports d'éclats plutôt vers la fin de la période (Augereau 2004 ; Allard, Bostyn 2006).

Il est alors possible de suggérer la fréquentation de type agricole par la présence de mobilier lithique du Néolithique ancien/ moyen local résiduel sur l'ensemble de l'emprise du diagnostic de Bléré, même si aucun tesson de ces périodes n'a été retrouvé par ailleurs dans les tranchées, hors des structures Chambons déjà précédemment décrites, et même détection d'autres vestiges de cette période sur l'emprise sondée.

1.4. Des artefacts Néolithique final dispersés

Réparties sur l'ensemble de l'emprise du diagnostic, on a relevé également un minimum de 3 artefacts attribuables à la phase finale du Néolithique. Parmi les matières premières exploitées, toutes semblent exogènes à la Vallée du Cher, et dont l'origine peut être recherchée possiblement au sud-ouest du site et au sud de la Touraine/Vienne : la première est du Turonien supérieur de la région Grand-Pressigny, une autre est sans doute issue de la formation moyenne du Turonien⁸, la troisième matière est un silex gris-noir plus ou moins opaque et mat à grain très fin présentant des plages grises bioclastiques centimétriques (= Mat. 6 de Lethrosne in Moreau et al. 2015) pouvant correspondre éventuellement au Type «C3c-3» d'Aubry - Larcy/Neuilly le Brignon ? (Primault 2003) et enfin, le dernier matériau, patiné intégralement, demeure indéterminé.

Il s'agit de fossiles directeurs typologiquement et chronologiquement fiables⁹ : tout d'abord un fragment distal de grande lame rectiligne régulière (**lot 323, Fig.1**), à section trapézoïdale, issu d'un débitage laminaire ordinaire, crête latérale, partiellement néocorticale, et retouchée en partie distale formant un grattoir frontal. Les retouches sont profondes en partie distale, elles sont directes régulières sur bord latérale gauche, et partielles inverses sur bord latéral droit pour une possible facilité d'emmanchement. Il s'agit classiquement d'une grande lame du Grand-Pressigny.

Un second grattoir (**lot 339, Fig.1**), sous la forme de fragment distal d'une grande lame large et épaisse rectiligne, à section trapézoïdale, soit de 1ère intention issu d'un débitage laminaire ordinaire, soit opportuniste, issu d'un «nucléus plat», et présentant des retouches directes régulières bilatérales et distale créant un front et la présence d'une coche latérale. Ces fragments réutilisés en outils, grattoirs, en racloirs ou en même en scies à encoches sont fréquents dans les habitats du Néolithique final régional (-2800/-2400 av.n.è.).

Puis une scie à encoche très fortement patinée (**lot 340, Fig.1**), est issue d'une grande lame large de réfection latérale (issue d'un débitage laminaire sur nucléus plat) épais à profil légèrement convexe, présentant une double-encoche symétriques, un bord non retouché et à l'opposé, un bord convexe denticulé par retouches directes profondes régulières. On retrouve ce type de scie également plutôt au Néolithique final (-2900/-2500 av.n.è.). On présume que ces pièces ont toutes été utilisées par des groupes du Néolithique final mais régionalement cependant, une perdurance et une réutilisation postérieure et protohistorique de ces outils peut être envisagée. Sur le site de Le site du Fort Harrouard à Sorel-Moussel (Eure-et-Loir) par exemple, « on note même une augmentation du nombre d'outils pressigniens à l'Age du Bronze par rapport au Néolithique final » (Ghesquière et al. 1997).

8 Hypothèse formulée par L.A. Millet-Richard, que nous souhaitons remercier grandement ici.

9 Attributions confortées et expertisées par A.L. Millet-Richard (Musée du Grand-Pressigny).

1.5. Un ensemble hétérogène Préhistoire-Protohistoire indéterminée

Le reste des silex issus du décapage des tranchées de l'emprise nord-est de Bléré-tranche 1, environ 241 artefacts, ne sont pas attribuables à une période ou à une culture en particulier car ce ne sont pas des fossiles directs techniques ou typologiques fiables. Ces fragments d'éclats de taille, cassons informes ou produits laminaires peuvent être assimilés à des industries lithiques aussi bien Paléolithiques (moyen, supérieur) que Néolithiques (ancien à final), qu'attribuable à des groupes du Bronze ancien/ moyen où perdure encore la fabrication d'outillages en silex, de manière opportuniste. Ces pièces ubiquistes apparaissent en données spatiales, dans les plans de répartition du mobilier lithique par phases, en pièces chronologiquement indéterminables et potentiellement associées.

En ce qui concerne le Centre de la France, la fin du Néolithique et la période de l'âge du Bronze souffre d'un grand manque d'assemblages lithiques homogènes et conséquents. La périodisation est donc encore limitée aux seuls documents céramiques (Salanova et al. 2011). On peut toutefois cerner les principales caractéristiques des industries issues de sites du Bronze ancien et moyen, notamment à travers les sites de Poses, Roeux, Fréthun et Etaples pour le nord-ouest.

Les grandes tendances mises en évidence par l'étude lithique spécifique réalisée sur le site de l'île Tatihou à Saint-Vaast-la-Hougue (Manche) sont résumables ainsi : l'opportunisme du débitage (unipolaires, discoïdes, prismatiques, bipolaires alternes ou globuleux), l'insuffisant savoir-faire technique des tailleurs, incapables de rattraper un accident de taille mineur par des processus d'évolution du débitage (changement d'axes de débitage, avivage...). « Cela est particulièrement sensible sur les nucléus unipolaires qui ont juste dépassé le stade de galets testés et qui comportent entre trois et cinq enlèvements » (Ghesquière et al. 1997).

Des modes de productions variés donc, puis des produits, des éclats sont souvent irréguliers et rebroussés, liés à la technique plus communément utilisée la percussion à la pierre dure, portée très nettement en profondeur du plan de frappe, d'où la présence de talons larges et lises. L'industrie laminaire vraie est rare, souvent fragmentaire, les produits sont irréguliers et assez larges, et se distinguent des éclats laminaires allongés par la seule présence d'une préparation du bord de frappe. L'ensemble de la production trahit un investissement technique et temporel réduit, sans souci d'économie de la matière première. Cette production a pour but quasi-exclusif l'obtention d'éclats peu réguliers, destinés à être transformés en supports d'outils simples : des éclats divers retouchés, des éclats tronqués utilisés comme couteaux ?, des racloirs à retouches semi-abruptes à abruptes, une majorité et une grande diversité de types de grattoirs épais, denticulés sur éclats épais ou minces considérés comme des macrodenticulés ou des outils a posteriori, des couteaux à dos sur lames, quelques lamelles retouchées, quelques armatures tranchantes de forme trapézoïdale, des armatures perçantes à base concave et à retouches plates de type foliacée, de possible microdenticulés retouchés par pression, puis enfin des outils prismatiques tels que des pics, becs, pseudo-tranchets. Selon les auteurs de cette étude, la recherche de comparaisons amène à élargir le territoire considéré au quart nord-ouest de la France et au sud de l'Angleterre. « Pour le Bronze moyen et final il semble que l'on voit la disparition presque totale de l'ensemble du corpus d'outils. Seuls subsistent les éclats retouchés et denticulés, accompagnés de quelques rares grattoirs » (Ghesquière et al. 1997).

Toutes ces particularités et ces grandes tendances ont été régulièrement perçues à travers l'observation pièce par pièce du mobilier lithique issu de ce diagnostic de Bléré, mais émettre des hypothèses d'assemblages homogènes avec des iso et des pièces relevées en décapages dans des tranchées, sans association avec des vases protohistoriques, hors structures et hors stratigraphie, sur un site multipériode, reste encore malaisée à démontrer.

2. Conclusions

La forte densité de mobilier lithique récoltée lors de cette phase de diagnostic sur le site de Bléré corrobore une fréquentation polyphasée et discontinue de ce territoire, depuis le Paléolithique moyen jusqu'au Bronze ancien-moyen. La chronologie est large, depuis -110 000 ans jusqu'à la moitié du IIe millénaire avant notre ère, avec la présence de nombreux hiatus chronologiques pouvant marquer de nombreux millénaires.

Pour les périodes les plus anciennes, on peut noter la présence assez significative de groupes de nomades néanderthaliens de culture Moustérienne (de tradition acheuléenne et/ou plus tardive), peut-être une petite incursion solutréenne, puis une présence plus discrète de chasseurs-cueilleurs aziliens à la toute fin du Tardiglaciaire, à la période Epipaléolithique.

Après un hiatus de quelques milles ans, la présence sur le site de Bléré semble plus pérenne pour la Préhistoire récente où, à partir du IVe millénaire avant notre ère environ, période de sédentarisation des hommes, on peut noter une activité agricole et/ou domestique, ainsi qu'une éventuelle zone funéraire attribuable à des groupes humains issus de la culture Chambon locale ou post-chambon, période charnière de transition du Néolithique ancien à moyen I. Puis, d'autres faibles indices évoquent le passage possible de groupes du Néolithique final issus de la grande sphère d'échanges pressignienne, à partir de la moitié du IIe millénaire avant notre ère. Enfin, on peut raisonnablement envisager, à travers les caractéristique de l'ensemble du mobilier lithique étudié, une persistance de la fréquentation de ce terroir par des groupes protohistoriques, jusqu'au Bronze ancien et moyen.

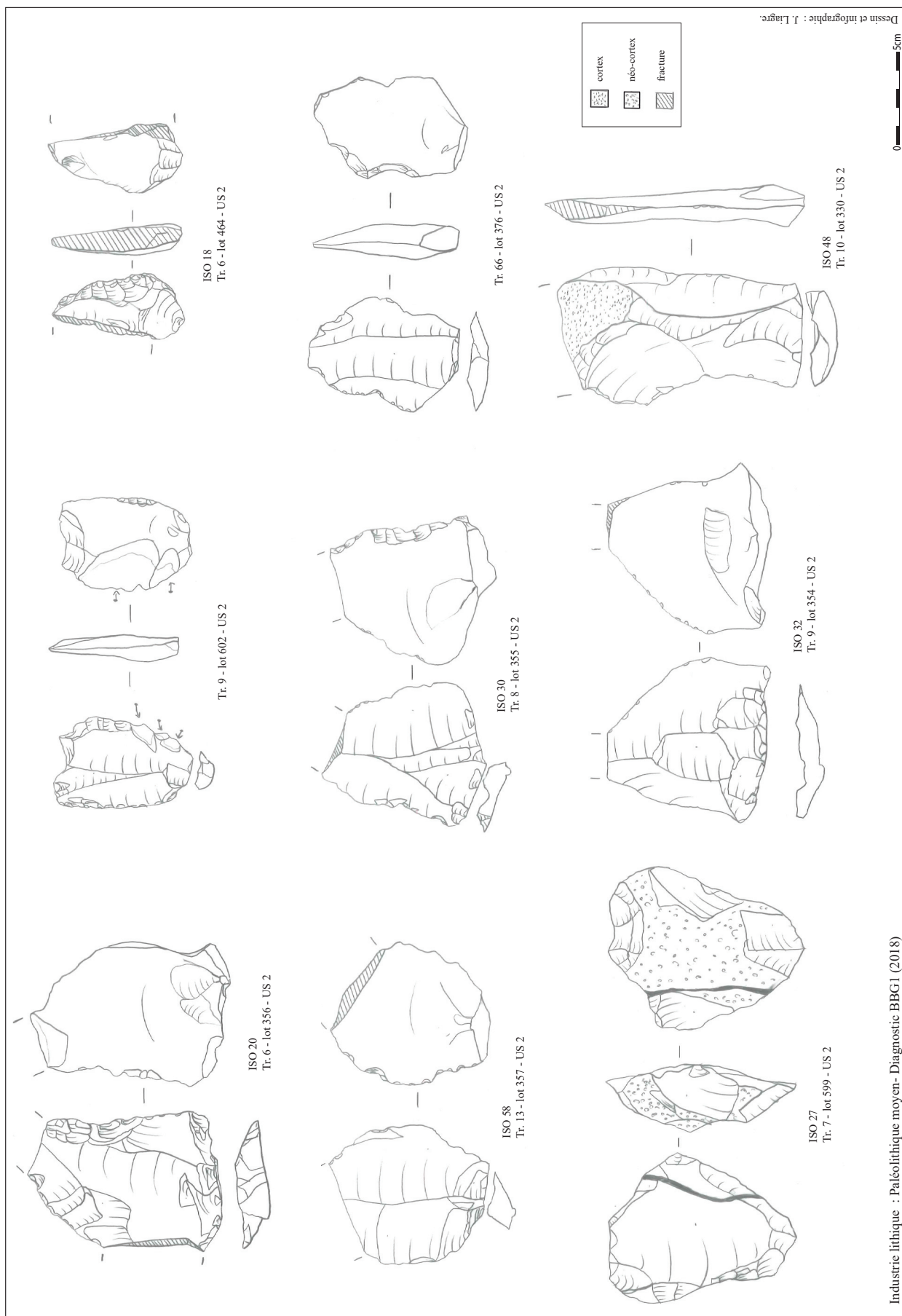


Figure 1 : Industrie lithique du Paléolithique moyen

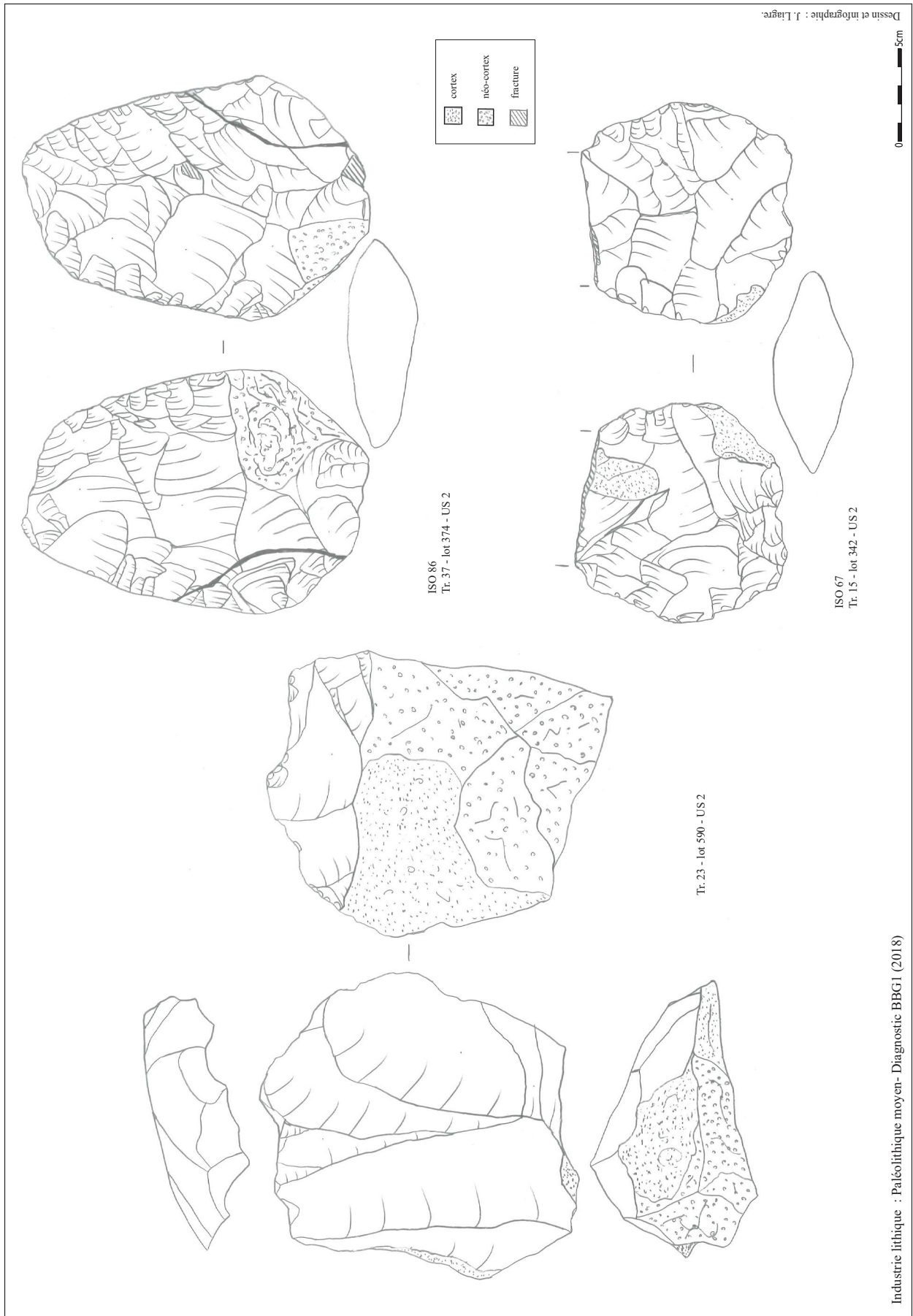
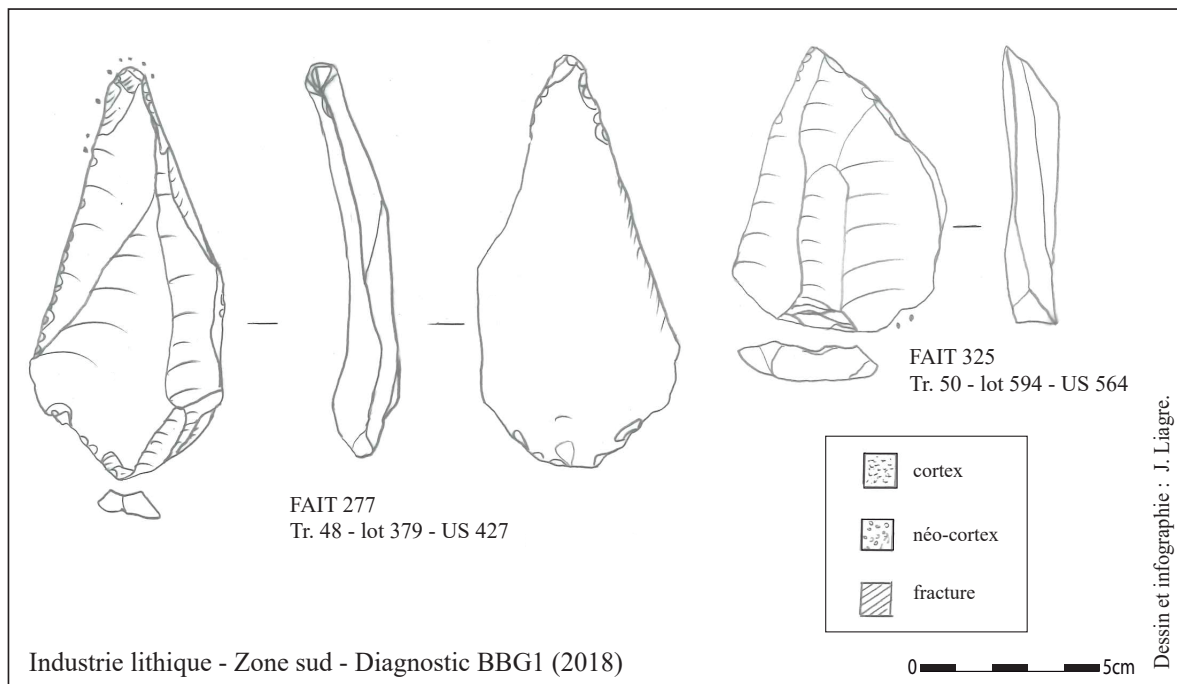
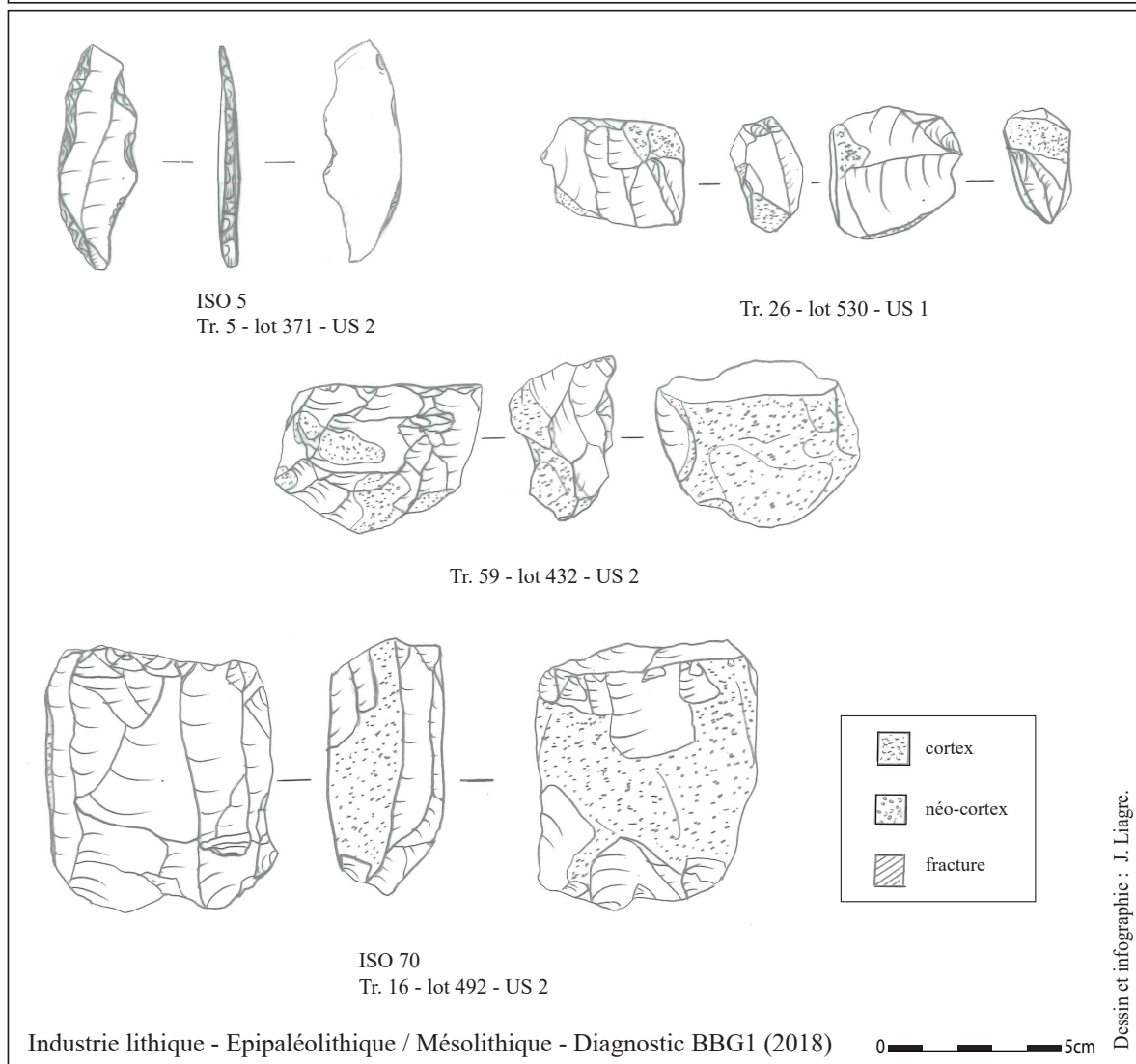


Figure 2 : Industrie lithique du Paléolithique moyen



Industrie lithique - Zone sud - Diagnostic BBG1 (2018)



Industrie lithique - Epipaléolithique / Mésolithique - Diagnostic BBG1 (2018)

Figure 3 : Industrie lithique Epipaléolithique/Mésolithique et pièces issues de F.277 et F.325

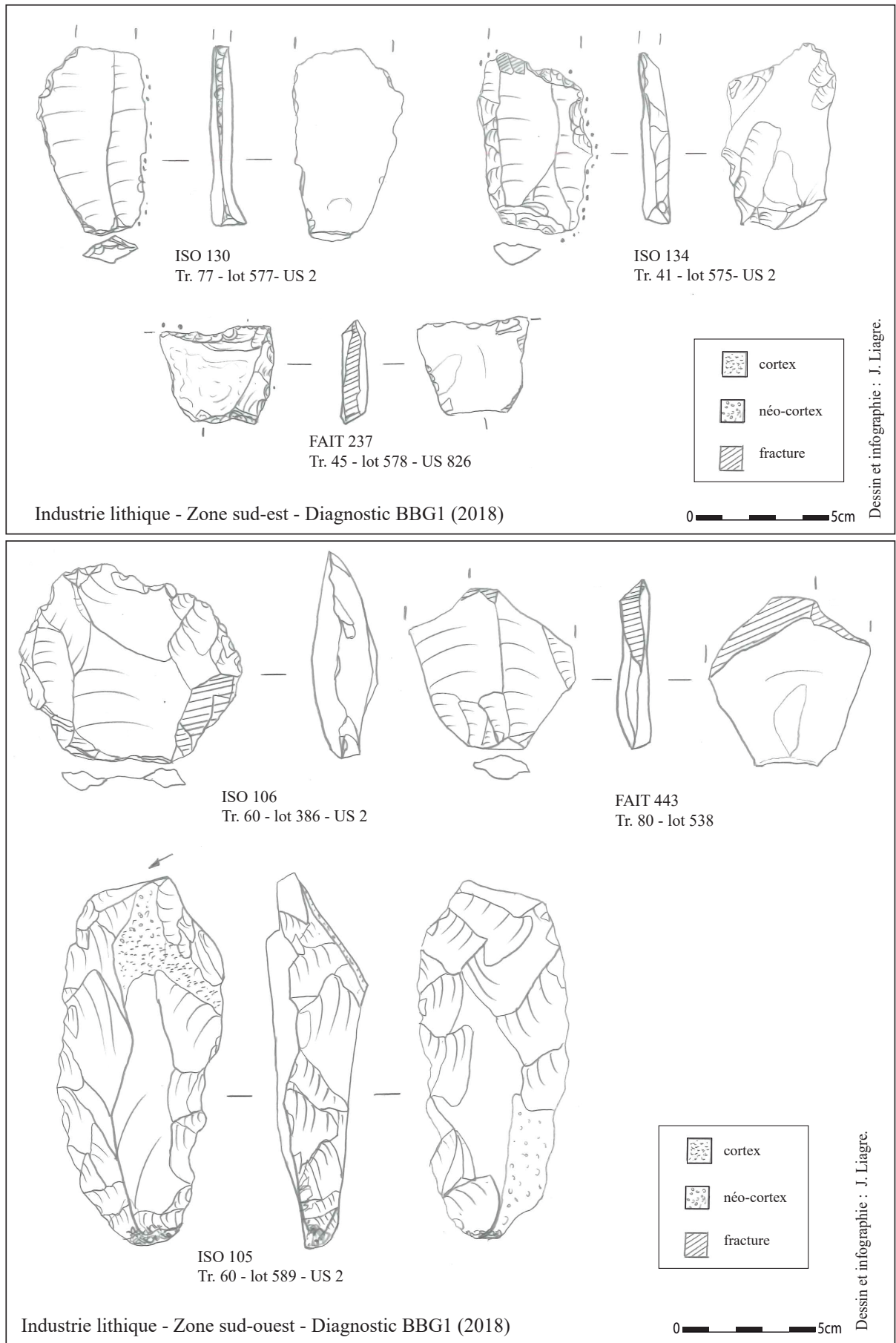


Figure 4 : Industrie lithique F.237 et tranchées 41,45,60,77 et 80

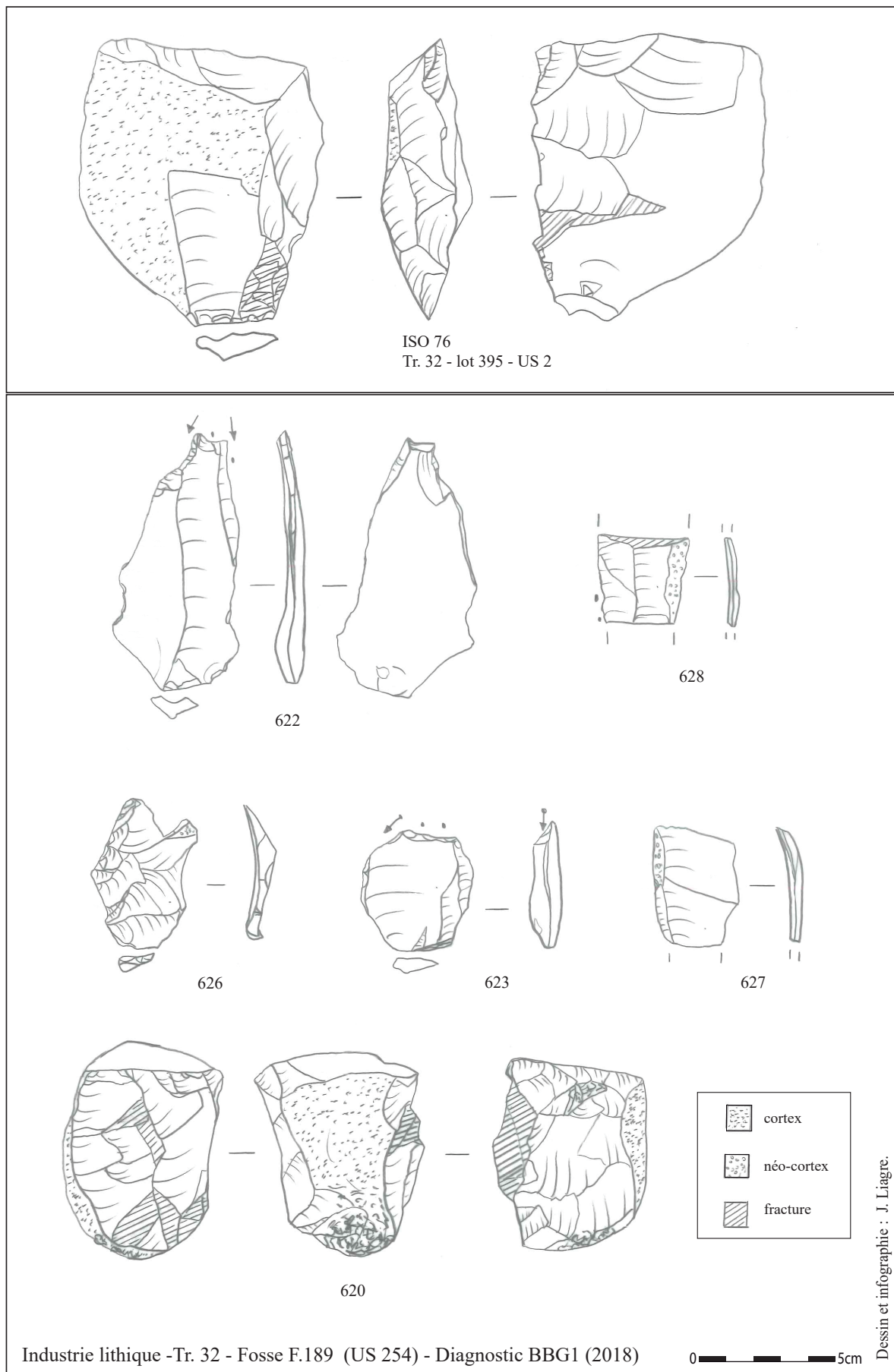


Figure 5 : Industrie lithique F.189 et tranchée 32

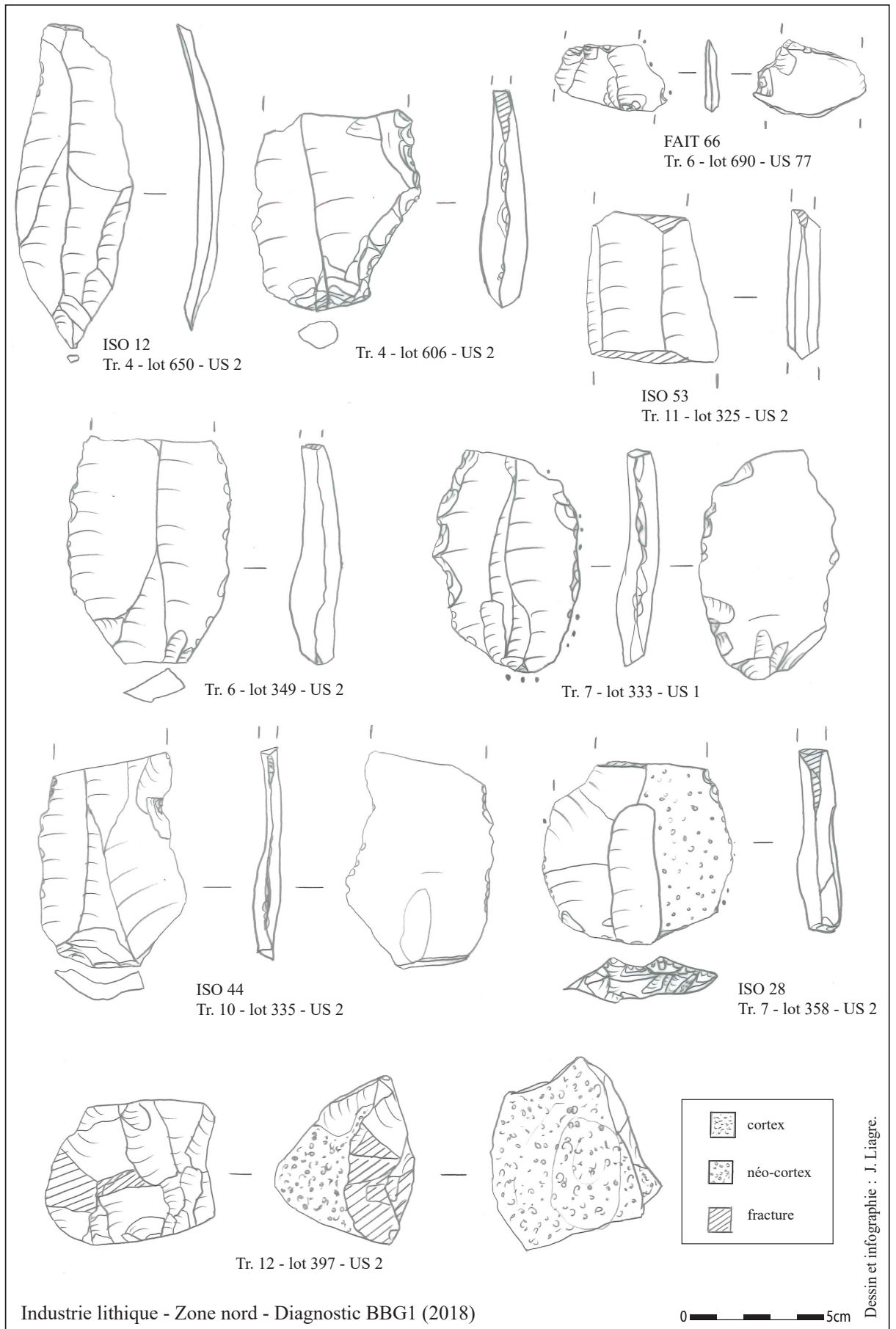


Figure 6 : Industrie lithique / Zone nord

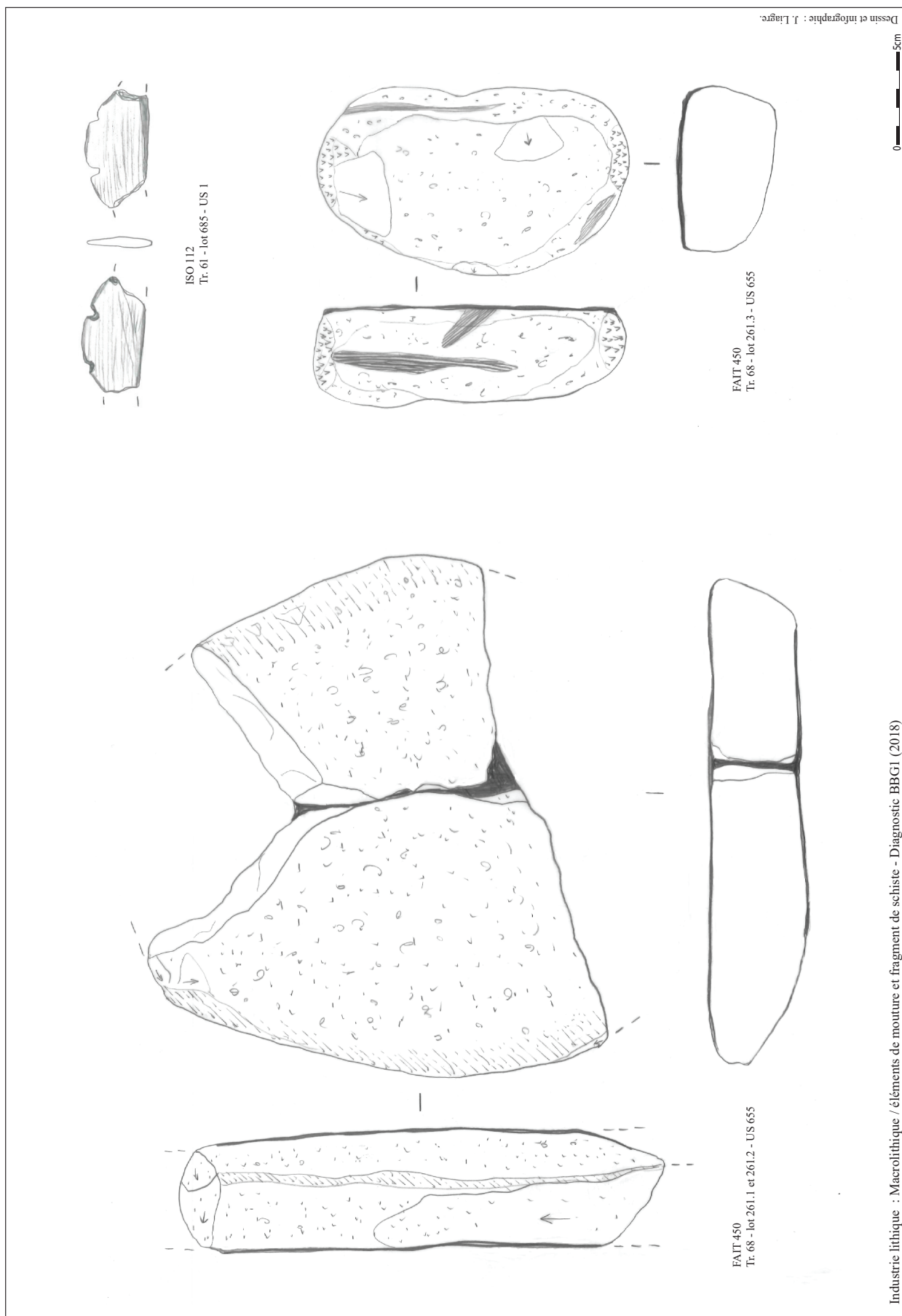


Figure 7 : Macrolithique issu de la fosse F.450

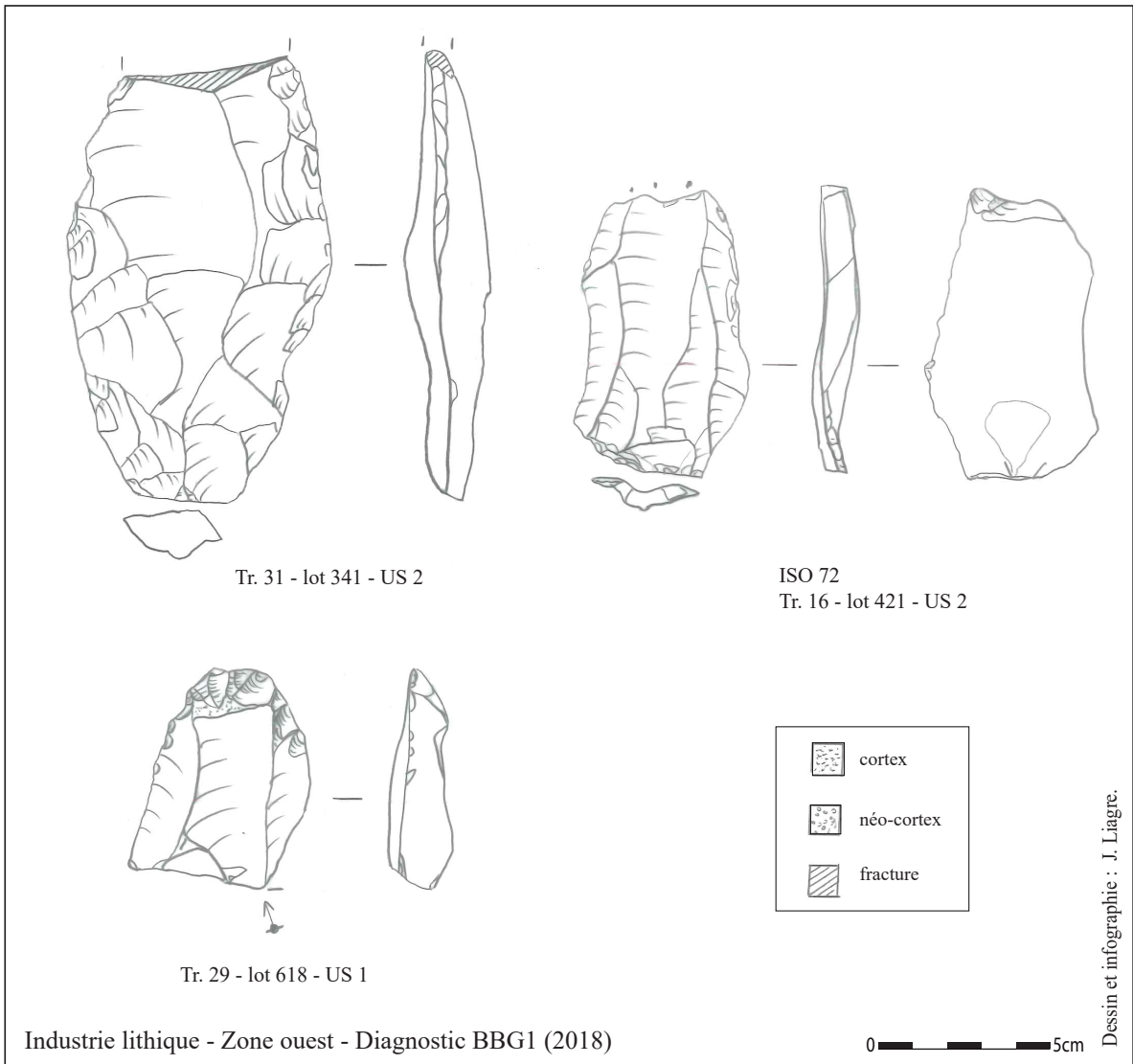
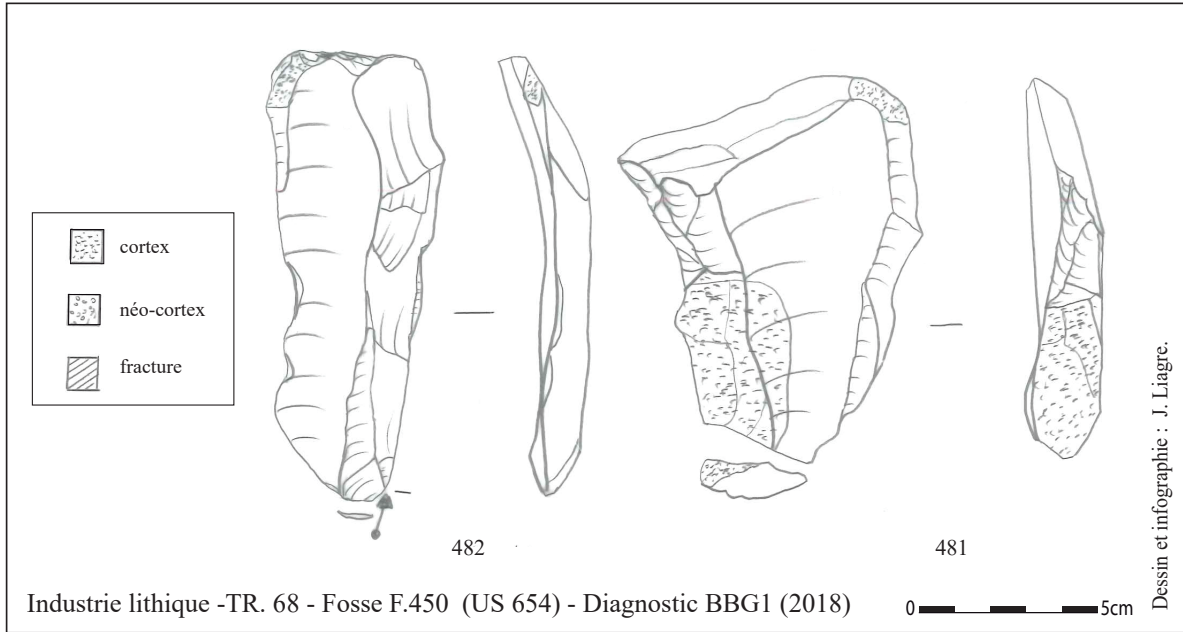


Figure 8 : Industrie lithique tranchées 31, 29 et fosse F.450

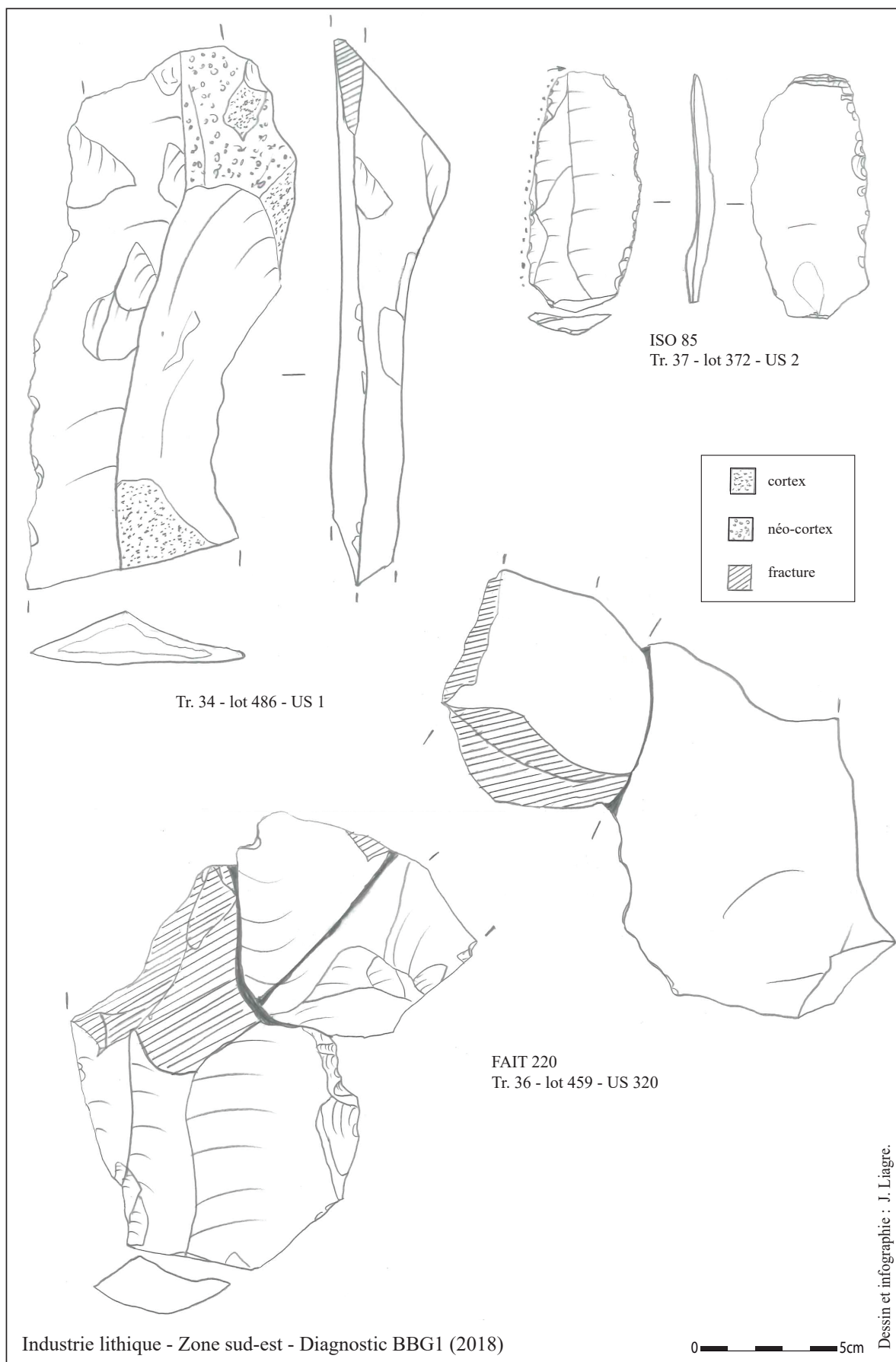


Figure 9 : Industrie lithique F.220 et tranchées 34 et 37

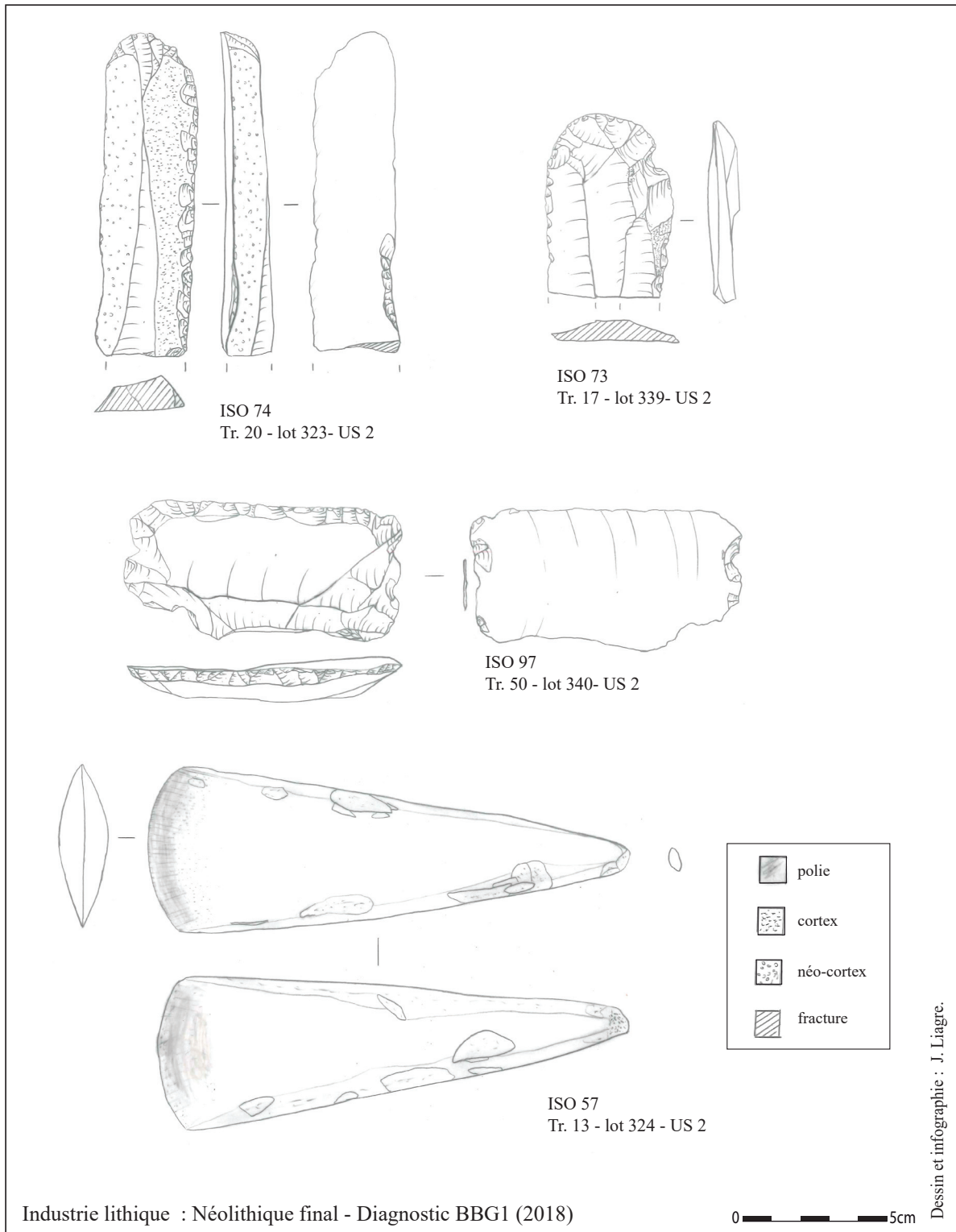


Figure 10 : Industrie lithique du Néolithique final et hache polie ISO 57

Dossier 1118-AR-408A

Bois Gaulpied
Bléré, Indre-et-Loire

DATATION RADIOCARBONE DE CHARBONS DE BOIS

sur demande de
Jérémy Liagre
Service de l'archéologie du département d'Indre-et-Loire
41, Rue Michaël-Faraday
37170 Chambray-lès-Tours

Dr Armel Bouvier pour CIRAM

le 21 janvier 2019 à Martillac

Vérifier l'authenticité
de ce rapport en scannant
ce QR code





DATATION DES PRELEVEMENTS PAR CARBONE 14 - AMS

Les échantillons ont été traité à l'acide chlorhydrique (HCl, 1M) à 80°C pendant 1 heure, afin d'éliminer toute contamination de surface.

Ils ont ensuite été lavés à l'eau déminéralisée sur un filtre en fibre de verre et séché à 60 °C pendant 24 heures. Les échantillons ont ensuite été traités à l'hydroxyde de sodium (0.1M) à température ambiante pendant 10 minutes, de manière à éliminer les acides humiques et fulviques résiduels.

Les échantillons sont une nouvelle fois traités à l'acide chlorhydrique à 80°C, pour éviter l'absorption du CO₂ atmosphérique dû au traitement basique précédent.

Les échantillons sont ensuite transformés en gaz et durant cette étape, une première vérification du rapport C/N est effectuée à l'aide d'un analyseur élémentaire (Elementar Vario ISOTOPE Select).

Le dioxyde de carbone (CO₂) résiduel a été séparé des autres résidus de combustion par purification cryogénique. Ce dioxyde de carbone a été transformé en graphite à l'aide d'un système automatisé (AGE 3, Ion Plus) par catalyse suivant la méthode décrite par Vogel *et al.* (1984, *Nuclear Instruments and Methods in Physics Research B5*, p. 289-293).

Mesure des teneurs en Carbone 14 résiduel et détermination de l'âge

Les différents isotopes de carbone ont été séparés par spectrométrie de masse, avec un accélérateur à 0,5 MeV. Puis, la concentration en ¹⁴C a été déterminée en comparant simultanément les mesures de ¹⁴C, ¹³C et ¹²C avec celles contenues dans des produits de référence (acide oxalique, CO₂ standard, charbon).

Le ratio ¹³C/¹²C (exprimé δ¹³C) a été mesuré séparément sur spectromètre de masse dédié à la mesure des rapports isotopiques stables, avec une erreur inférieure à 0,1‰ (IRMS, Elementar Isoprime precisION).

L'âge ¹⁴C conventionnel a été calculé selon la méthode décrite par Stuiver et Polach (*Radiocarbon* 19/3 (1977), 355). Il prend en compte la correction du fractionnement isotopique (δ¹³C), basée sur la comparaison des rapports de concentration ¹³C/¹²C et ¹⁴C/¹²C.

Ce facteur permet de contrôler les effets d'éventuelles pollutions et d'évaluer la fiabilité de la mesure : il s'agit d'un bon indicateur de la « qualité » de l'échantillon.

L'incertitude de mesure associée au résultat (σ) regroupe les incertitudes statistiques de comptage du ¹⁴C résiduel, la variabilité des mesures et les effets de la soustraction du « blanc ».

Enfin, les intervalles de dates calendaires sont calculés en utilisant la calibration suivante :

OxCal v4.3.2 (Bronk Ramsey, 2013, Radiocarbon 51, vol. 4 337 - 360).

IntCal13, northern hemisphere calibration (Reimer et al., 2013, Radiocarbon 55, vol.4, 1869 – 1887)





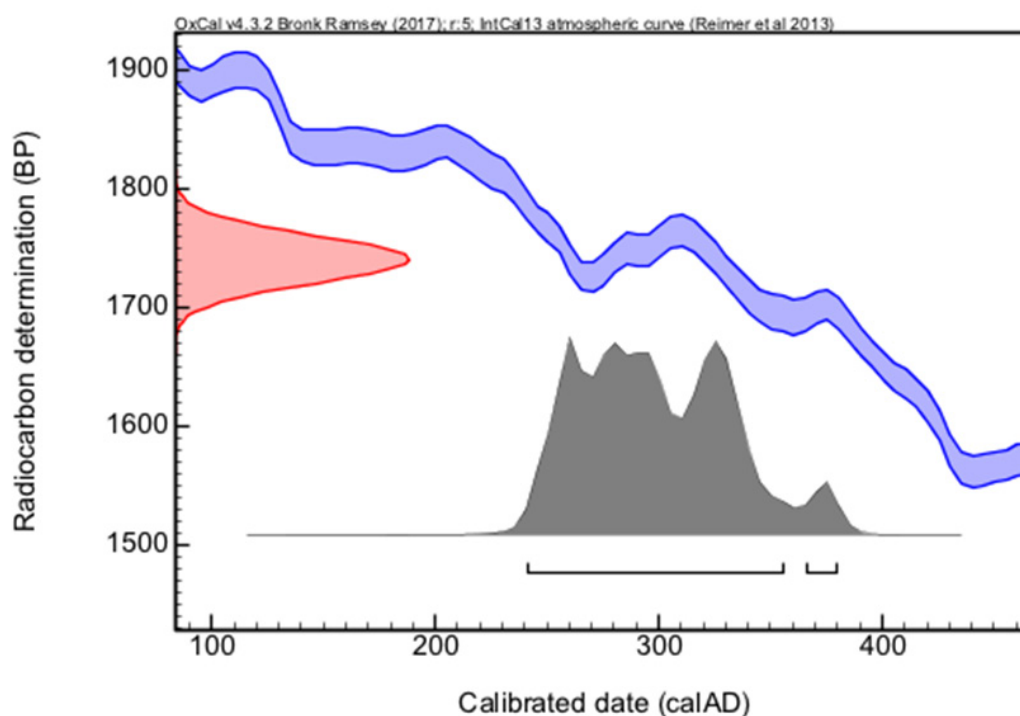
PRÉSENTATION DES RESULTATS

AJ91 : Fraction	pMC corrigé	Âge Conventionnel	$\delta^{13}\text{C}$ (‰)
Cellulose, résidus alcalins	80,48 ± 0.22	1740 ± 20 BP	- 27,68

La mesure effectuée est exprimée de deux différentes manières : *part of Modern Carbon* (ou pMC) et âge conventionnel. L'âge conventionnel est exprimé en années avant 1950 (BP signifiant before present ou avant 1950), qui est l'année de référence (cf. annexes). L'âge est exprimé à un écart-type.

Date calibrée à 2 σ : 241 – 356 (probabilité de 92,0%)
(95,4% de confiance) 366 – 380 (probabilité de 3,4%)

Les intervalles de datation reflètent une distribution à deux sigmas, c'est à dire 95,4% de l'ensemble des solutions. L'événement daté peut se retrouver dans n'importe quelle partie de ces intervalles, sans tenir compte de la distribution de probabilité, donnée à titre indicatif.



Procédure de calibration

La courbe rouge est une transcription des résultats de mesure des isotopes du carbone (l'âge conventionnel). Cette valeur a besoin d'être corrigé avant de fournir la moindre information chronologique, en raison de l'hétérogénéité de la concentration en ^{14}C dans l'atmosphère à travers le temps.

C'est pourquoi la mesure (en rouge), exprimée sous la forme d'une gaussienne, est interpolée avec la courbe de calibration bleue, dans le but de corriger l'âge conventionnel.

On obtient alors une distribution *a posteriori* des résultats (en gris), divisée en un ou plusieurs intervalles. Chacun d'entre eux représente une partie de la distribution à deux sigmas.

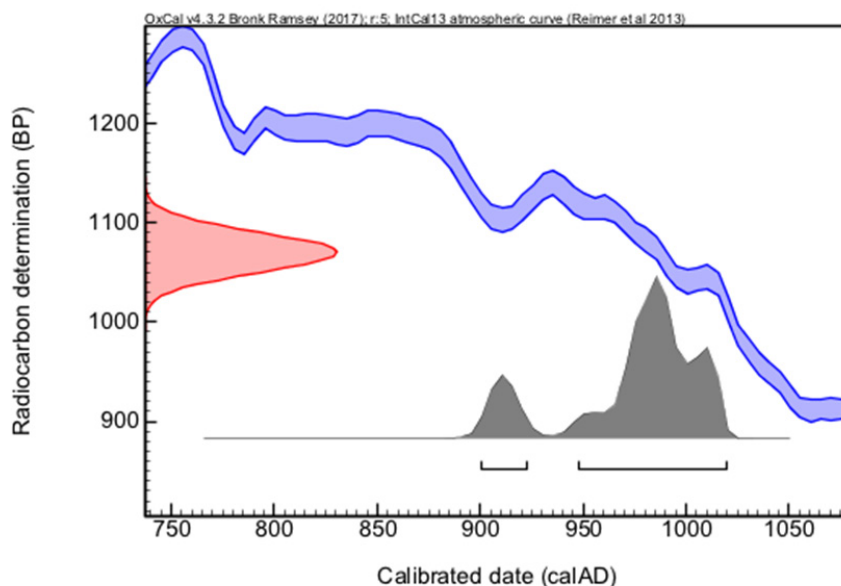
En l'absence d'informations historiques, textuelles ou autre, il n'est pas possible de privilégier un intervalle. En dépit des pourcentages de probabilité, aucun intervalle ne peut être écarté.





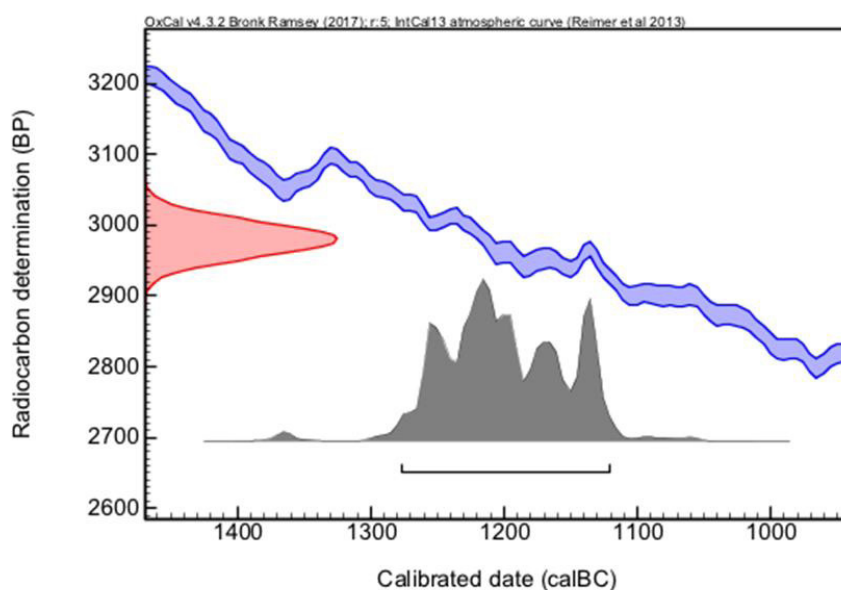
AJ92 : Fraction	pMC corrigé	Âge Conventiel	$\delta^{13}\text{C}$ (‰)
Cellulose, résidus alcalins	87,57 ± 0,24	1070 ± 20 BP	- 25,43

Date calibrée à 2 σ : 900 – 922 (probabilité de 14,3%)
(95,4% de confiance) 948 – 1019 (probabilité de 81,1%)



AJ93 : Fraction	pMC corrigé	Âge Conventiel	$\delta^{13}\text{C}$ (‰)
Cellulose, résidus alcalins	68,96 ± 0,20	2980 ± 25 BP	- 25,14

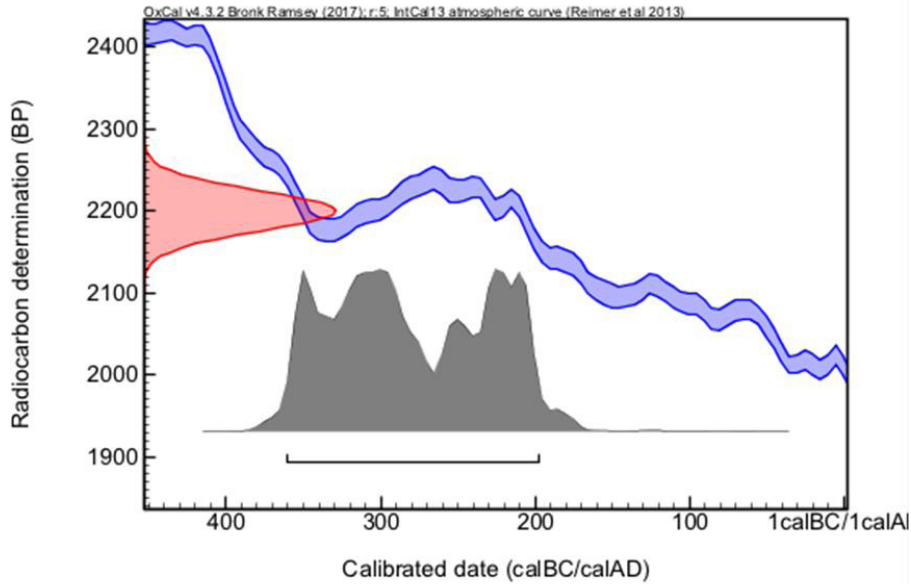
Dates calibrées à 2 σ : 1277 BC – 1121 BC (probabilité de 95,4%)





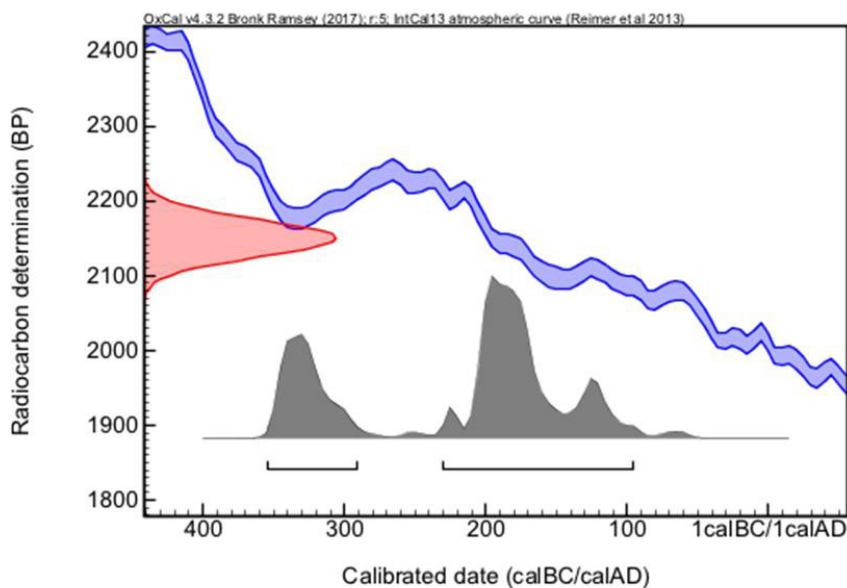
AJ94 : Fraction	pMC corrigé	Âge Conventiennel	$\delta^{13}\text{C}$ (‰)
Cellulose, résidus alcalins	76,08 ± 0,22	2200 ± 25 BP	- 25,67

Dates calibrées à 2 σ : 361 – 198 BC (probabilité de 95,4%)



AJ95 : Fraction	pMC corrigé	Âge Conventiennel	$\delta^{13}\text{C}$ (‰)
Cellulose, résidus alcalins	76,53 ± 0,22	2150 ± 25 BP	- 25,34

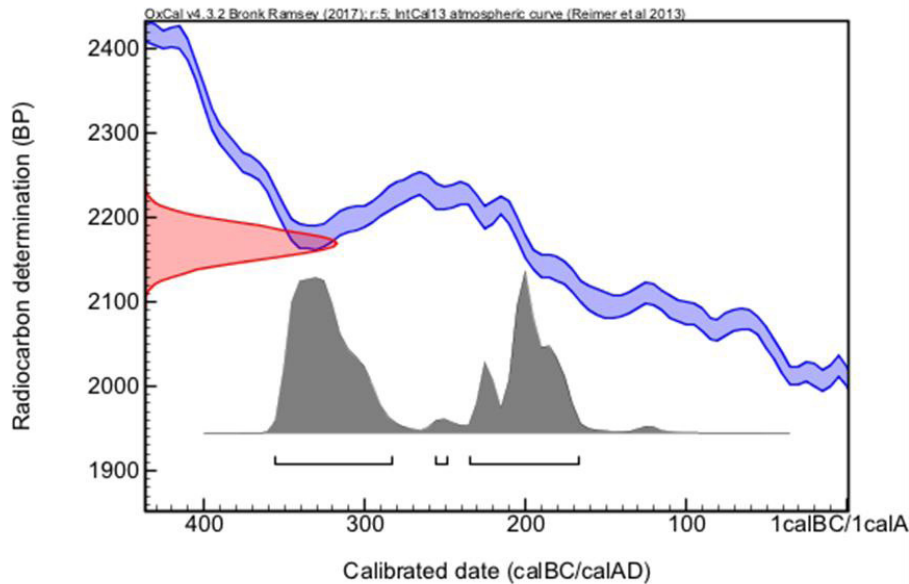
Dates calibrées à 2 σ :
354 – 292 BC (probabilité de 29,5%)
231 – 96 BC (probabilité de 65,9%)





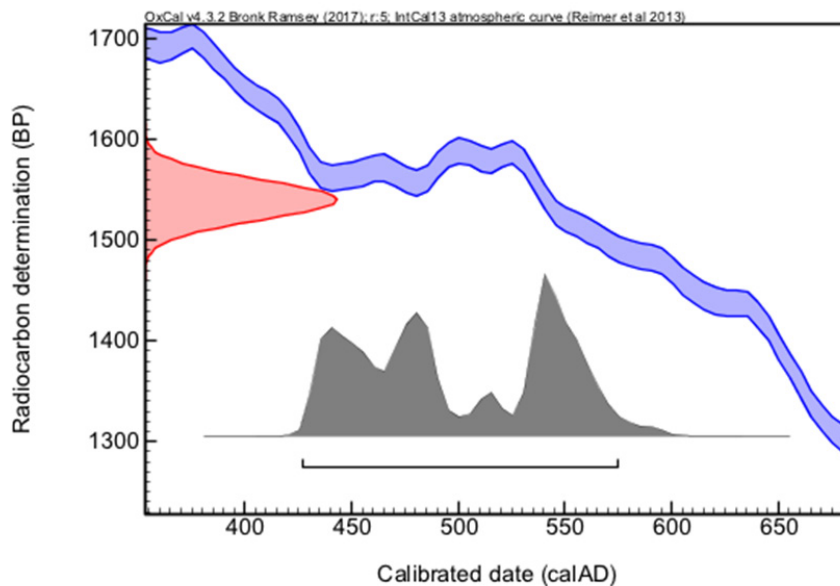
AJ96 : Fraction	pMC corrigé	Âge Conventionnel	$\delta^{13}\text{C}$ (‰)
Cellulose, résidus alcalins	76,30 ± 0,22	2170 ± 20 BP	- 25,38

Dates calibrées à 2 σ :
356 – 284 BC (probabilité de 55,1%)
256 – 250 BC (probabilité de 0,7%)
235 – 167 BC (probabilité de 39,6%)



AJ97 : Fraction	pMC corrigé	Âge Conventionnel	$\delta^{13}\text{C}$ (‰)
Cellulose, résidus alcalins	82,55 ± 0,23	1540 ± 20 BP	- 25,72

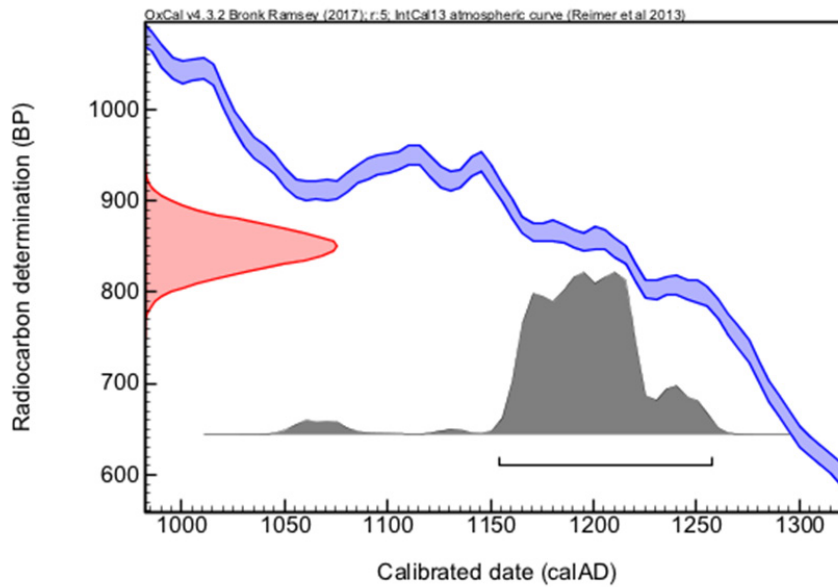
Dates calibrées à 2 σ : 427 – 574 (probabilité de 95,4%)





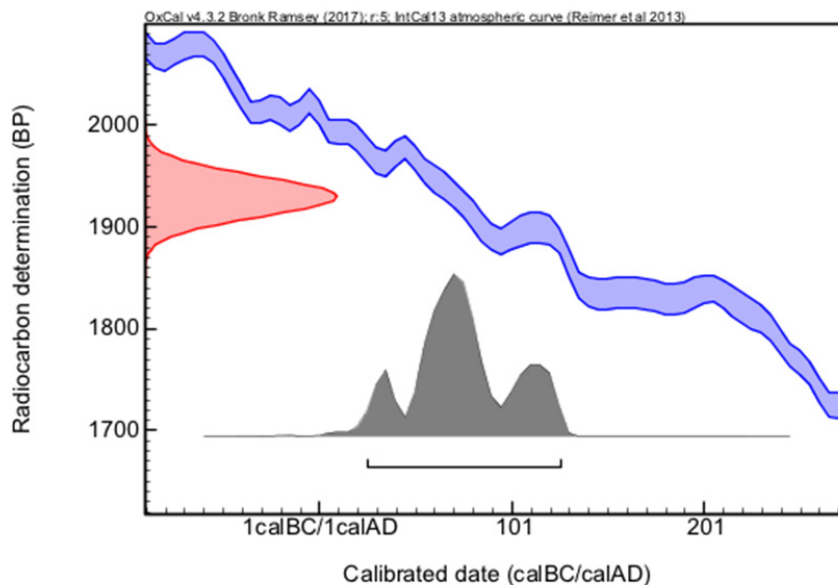
AJ98 : Fraction	pMC corrigé	Âge Conventionnel	$\delta^{13}\text{C}$ (‰)
Cellulose, résidus alcalins	89,93 ± 0,26	850 ± 25 BP	- 24,71

Dates calibrées à 2 σ : 1154 – 1258 (probabilité de 95,4%)



AJ99 : Fraction	pMC corrigé	Âge Conventionnel	$\delta^{13}\text{C}$ (‰)
Cellulose, résidus alcalins	78,63 ± 0,21	1930 ± 20 BP	- 25,42

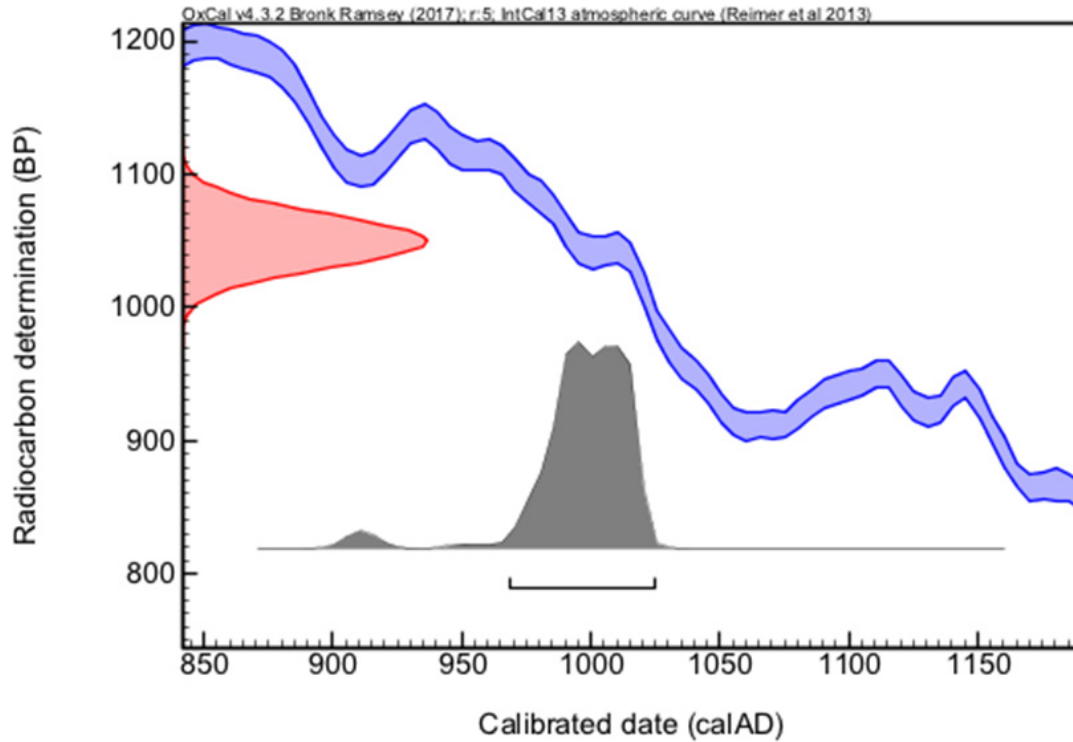
Dates calibrées à 2 σ : 26– 126 (probabilité de 95,4%)





AK01 : Fraction	pMC corrigé	Âge Conventionnel	$\delta^{13}\text{C}$ (‰)
Cellulose, résidus alcalins	87,74 ± 0,24	1050 ± 20 BP	- 24,96

Dates calibrées à 2 σ : 968 – 1024 (probabilité de 95,4%)



**RAPPEL DES RESULTATS PRECEDENTS**

Afin de répondre aux interrogations posées, treize prélèvements provenant de structures différentes avaient été choisis (tableau 1).

Ref. CIRAM	Structure	Nature
AJ42	TR11, F87, PR14	
AJ43	TR32, F189, PR15	
AJ44	TR51, F358, US537, PR17	
AJ45	TR57, F382, US627, PR19	
AJ46	TR63, F400, PR20	
AJ47	TR39, F262, Fosse négatif, US 379, PR29	
AJ48	TR42, F264, PR32	Charbon de bois
AJ49	TR17, F105, PR33	
AJ50	TR39, F257, PR35	
AJ51	TR57, F376, PR39	
AJ52	TR57, F382, PR41	
AJ53	TR36, F217, PR42	
AJ54	Entre TR5 et 6, sol profond, F221, PR43	

Tab. 2 : Référencement CIRAM, structure, et nature des prélèvements.



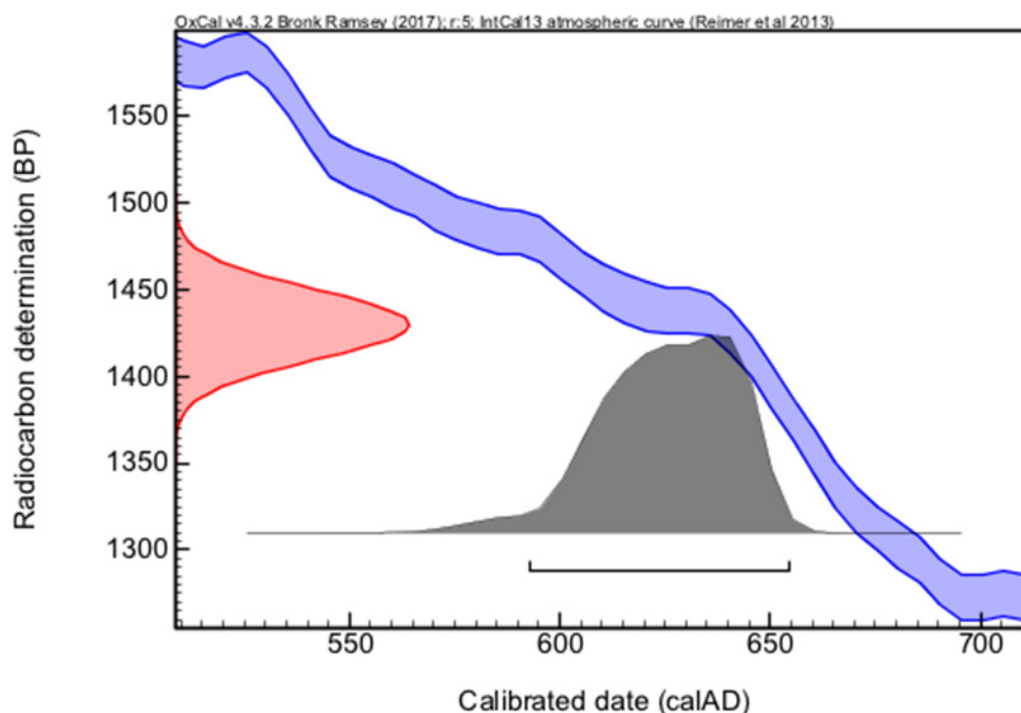


AJ42 : Fraction	pMC corrigé	Âge Conventionnel	$\delta^{13}\text{C}$ (‰)
Cellulose, résidus alcalins	83,71 ± 0.22	1430 ± 20 BP	- 26,54

La mesure effectuée est exprimée de deux différentes manières : *part of Modern Carbon* (ou pMC) et âge conventionnel. L'âge conventionnel est exprimé en années avant 1950 (BP signifiant before present ou avant 1950), qui est l'année de référence (cf. annexes). L'âge est exprimé à un écart-type.

Date calibrée à 2 σ : 592 – 654 (probabilité de 95,4%)

Les intervalles de datation reflètent une distribution à deux sigmas, c'est à dire 95,4% de l'ensemble des solutions. L'événement daté peut se retrouver dans n'importe quelle partie de ces intervalles, sans tenir compte de la distribution de probabilité, donnée à titre indicatif.



Procédure de calibration

La courbe rouge est une transcription des résultats de mesure des isotopes du carbone (l'âge conventionnel). Cette valeur a besoin d'être corrigé avant de fournir la moindre information chronologique, en raison de l'hétérogénéité de la concentration en ^{14}C dans l'atmosphère à travers le temps.

C'est pourquoi la mesure (en rouge), exprimée sous la forme d'une gaussienne, est interpolée avec la courbe de calibration bleue, dans le but de corriger l'âge conventionnel. On obtient alors une distribution *a posteriori* des résultats (en gris), divisée en un ou plusieurs intervalles. Chacun d'entre eux représente une partie de la distribution à deux sigmas.

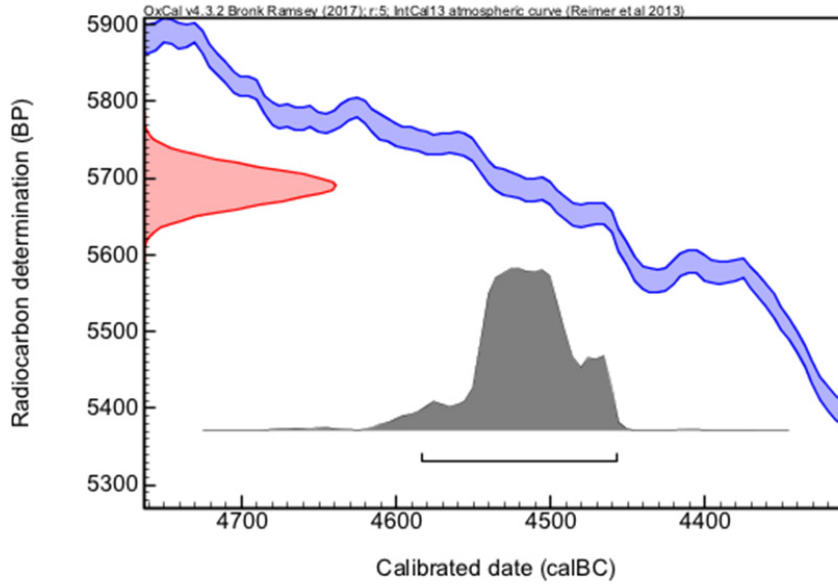
En l'absence d'informations historiques, textuelles ou autre, il n'est pas possible de privilégier un intervalle. En dépit des pourcentages de probabilité, aucun intervalle ne peut être écarté.





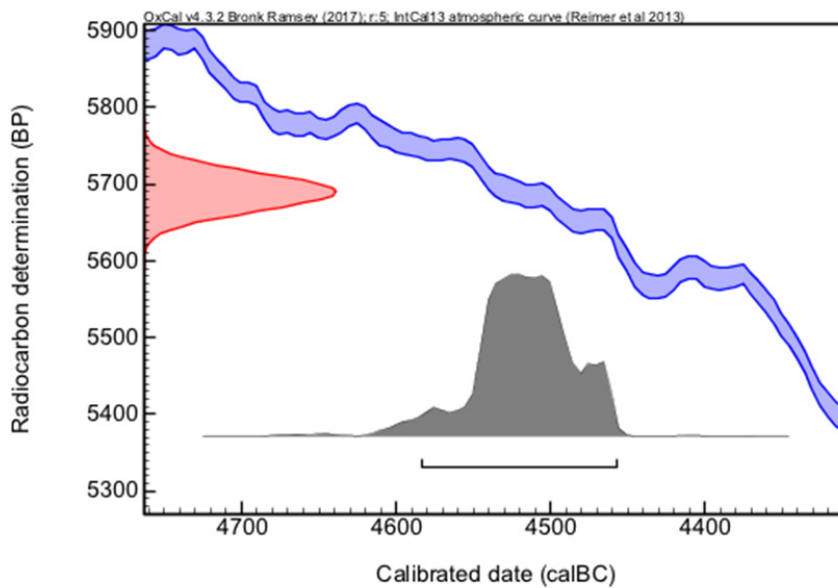
AJ43 : Fraction	pMC corrigé	Âge Conventionnel	$\delta^{13}\text{C}$ (‰)
Cellulose, résidus alcalins	49,23 ± 0,15	5690 ± 25 BP	- 24,98

Dates calibrées à 2 σ : 4584 BC – 4458 BC (probabilité de 95,4%)



AJ44 : Fraction	pMC corrigé	Âge Conventionnel	$\delta^{13}\text{C}$ (‰)
Cellulose, résidus alcalins	47,75 ± 0,15	5940 ± 25 BP	- 24,79

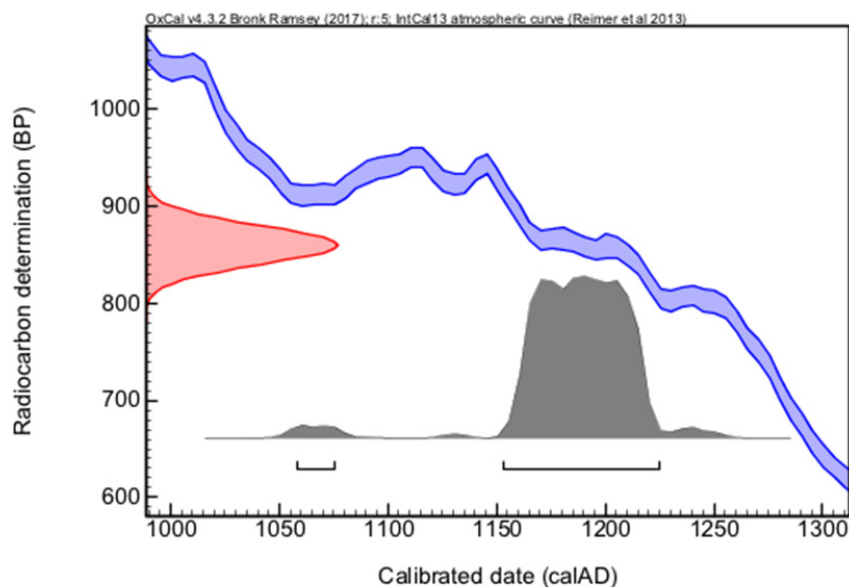
Dates calibrées à 2 σ : 4896 BC – 4866 BC (probabilité de 8,5%)
4851 BC – 4728 BC (probabilité de 86,9%)





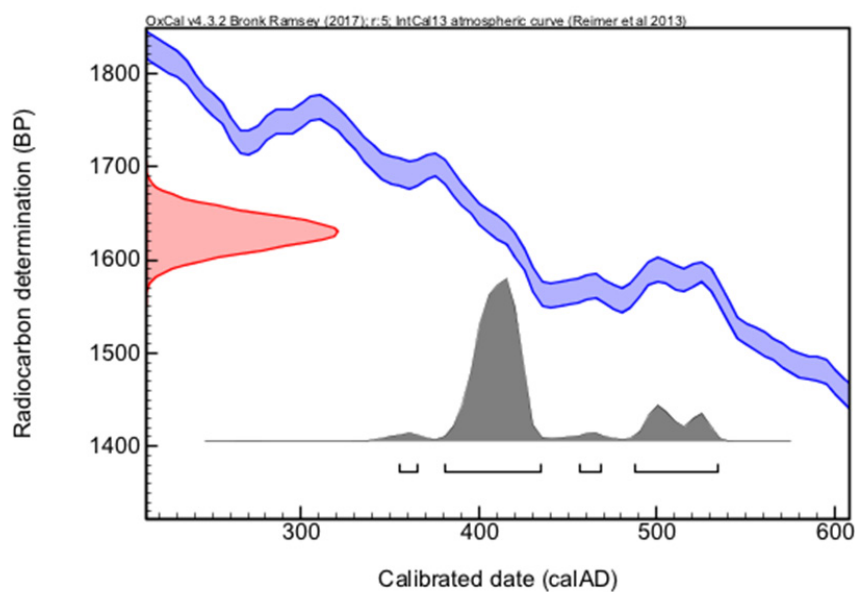
AJ45 : Fraction	pMC corrigé	Âge Conventionnel	$\delta^{13}\text{C}$ (‰)
Cellulose, résidus alcalins	89,85 \pm 0.24	860 \pm 20 BP	- 24,60

Dates calibrées à 2 σ : 1058 – 1075 (probabilité de 2,2%)
1153 – 1224 (probabilité de 93,2%)



AJ46 : Fraction	pMC corrigé	Âge Conventionnel	$\delta^{13}\text{C}$ (‰)
Cellulose, résidus alcalins	81,58 \pm 0,22	1630 \pm 20 BP	- 29,49

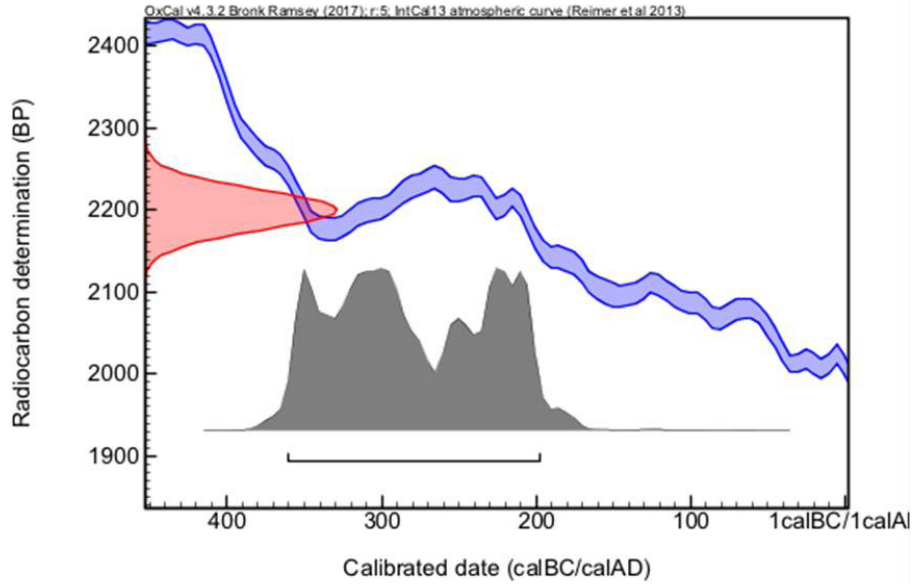
Dates calibrées à 2 σ : 354 – 365 (probabilité de 1,2%)
380 – 434 (probabilité de 76,5%)
456 – 468 (probabilité de 1,4%)
487 – 534 (probabilité de 16,4%)





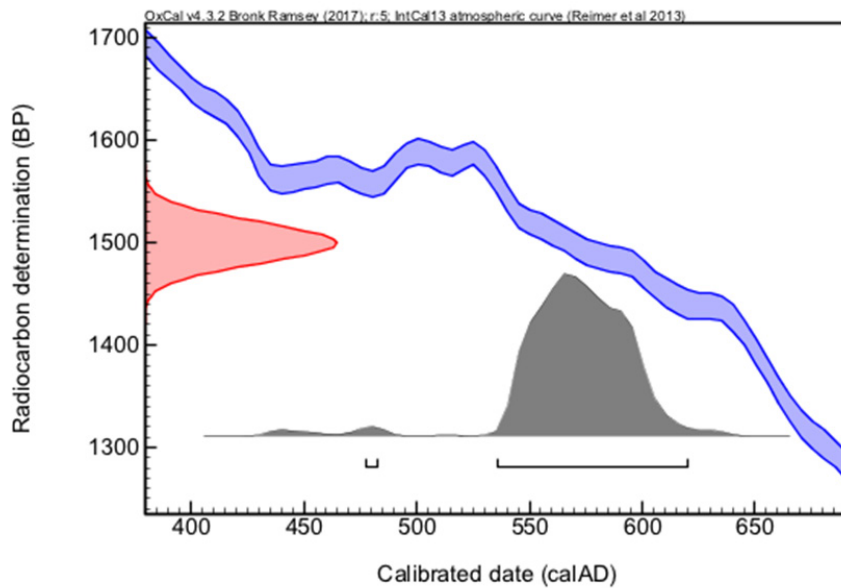
AJ47 : Fraction	pMC corrigé	Âge Conventionnel	$\delta^{13}\text{C}$ (‰)
Cellulose, résidus alcalins	76,08 ± 0,23	2200 ± 25 BP	- 24,51

Dates calibrées à 2 σ : 361 BC – 198 BC (probabilité de 95,4%)



AJ48 : Fraction	pMC corrigé	Âge Conventionnel	$\delta^{13}\text{C}$ (‰)
Cellulose, résidus alcalins	82,98 ± 0,22	1500 ± 20 BP	- 25,71

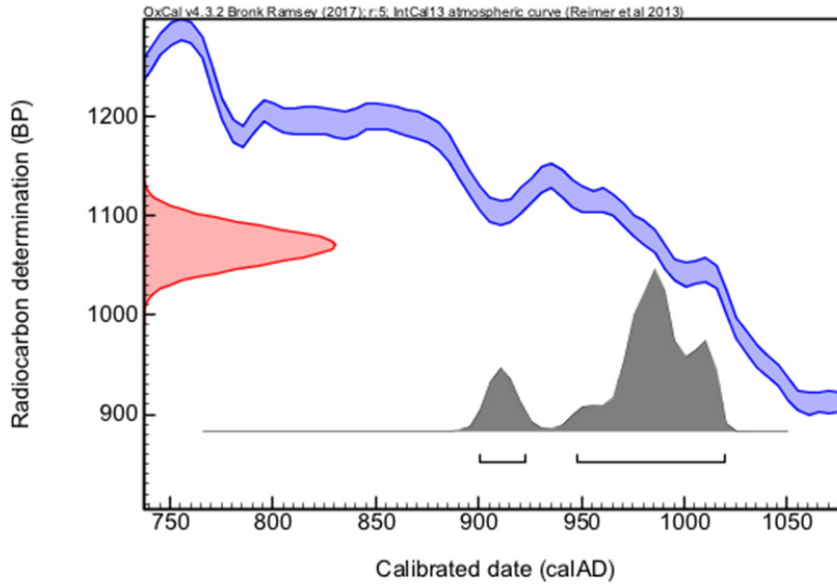
Dates calibrées à 2 σ :
478 – 482 (probabilité de 0,5%)
536 – 620 (probabilité de 94,9%)





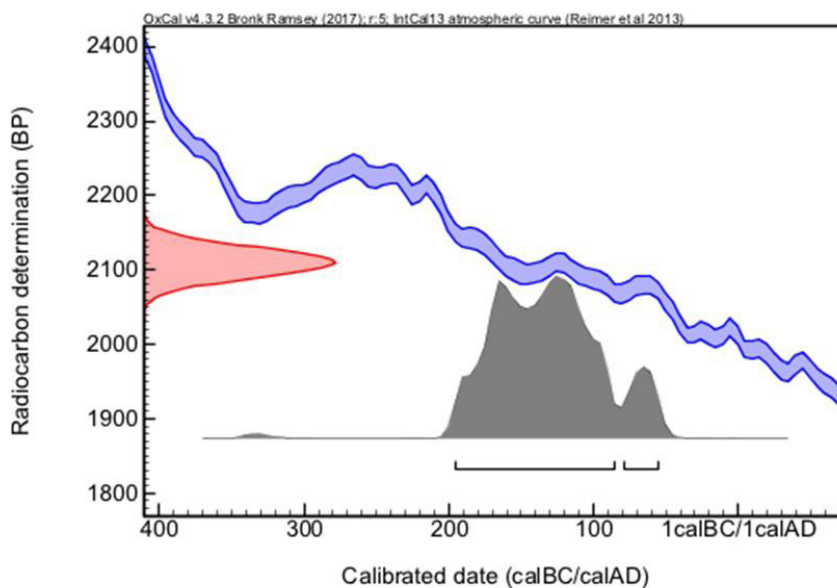
AJ49 : Fraction	pMC corrigé	Âge Conventionnel	$\delta^{13}\text{C}$ (‰)
Cellulose, résidus alcalins	87,51 ± 0,23	1070 ± 20 BP	- 27,05

Dates calibrées à 2 σ : 900 – 922 (probabilité de 14,3%)
 948 – 1019 (probabilité de 81,1%)



AJ50 : Fraction	pMC corrigé	Âge Conventionnel	$\delta^{13}\text{C}$ (‰)
Cellulose, résidus alcalins	76,94 ± 0,21	2110 ± 20 BP	- 25,14

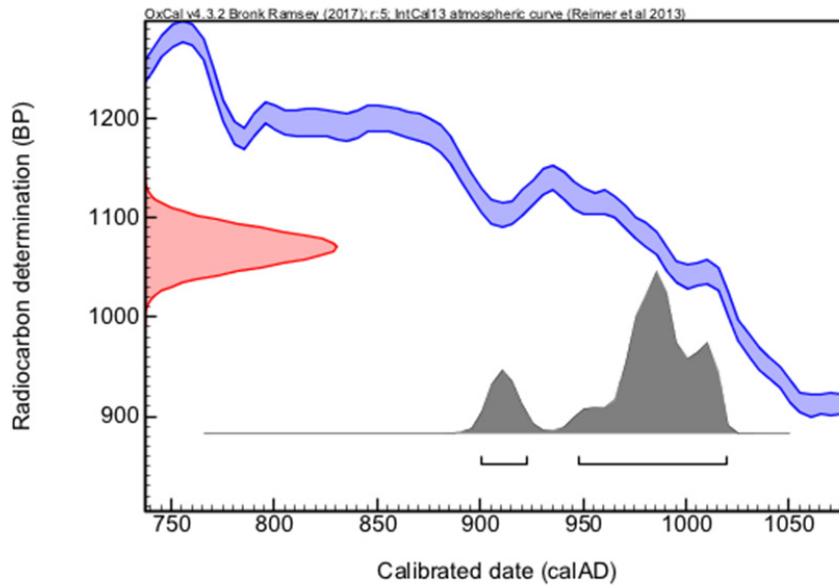
Dates calibrées à 2 σ : 196 BC – 86 BC (probabilité de 86,2%)
 79 BC – 56 BC (probabilité de 9,2%)





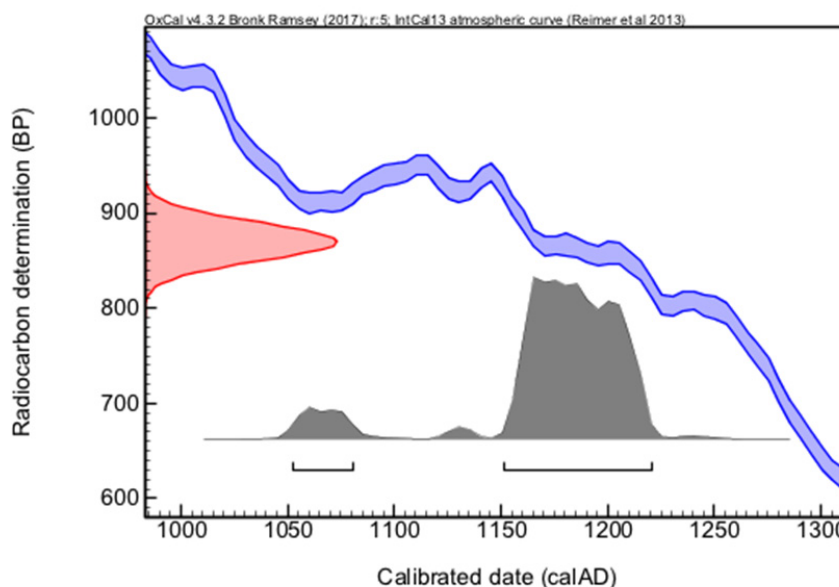
AJ51 : Fraction	pMC corrigé	Âge Conventionnel	$\delta^{13}\text{C}$ (‰)
Cellulose, résidus alcalins	87,52 ± 0,23	1070 ± 20 BP	- 25,50

Dates calibrées à 2 σ : 900 – 922 (probabilité de 14,3%)
 948 – 1019 (probabilité de 81,1%)



AJ52 : Fraction	pMC corrigé	Âge Conventionnel	$\delta^{13}\text{C}$ (‰)
Cellulose, résidus alcalins	89,76 ± 0,24	870 ± 20 BP	- 25,34

Dates calibrées à 2 σ : 1052 – 1080 (probabilité de 7,8%)
 1151 – 1220 (probabilité de 87,6%)

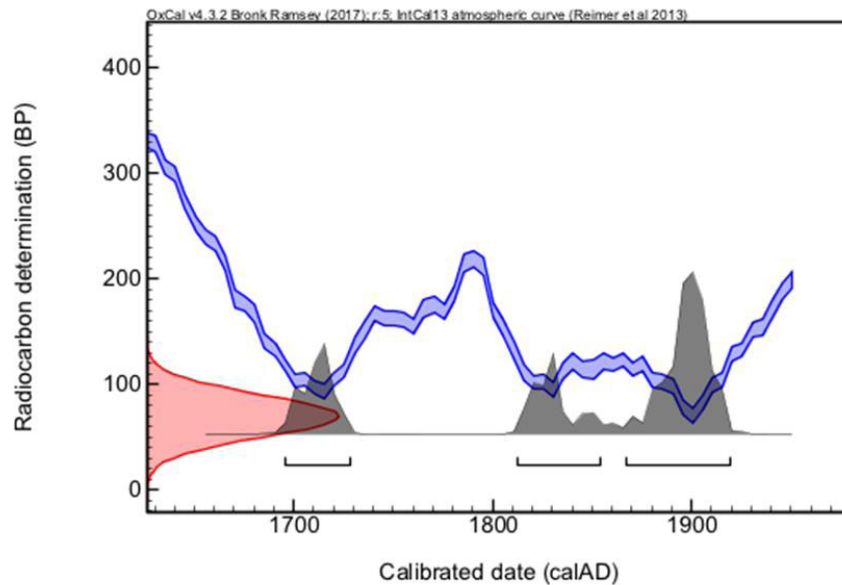




AJ53 : Fraction	pMC corrigé	Âge Conventionnel	$\delta^{13}\text{C}$ (‰)
Cellulose, résidus alcalins	99,08 ± 0,25	70 ± 20 BP	- 27,08

Dates calibrées à 2 σ :

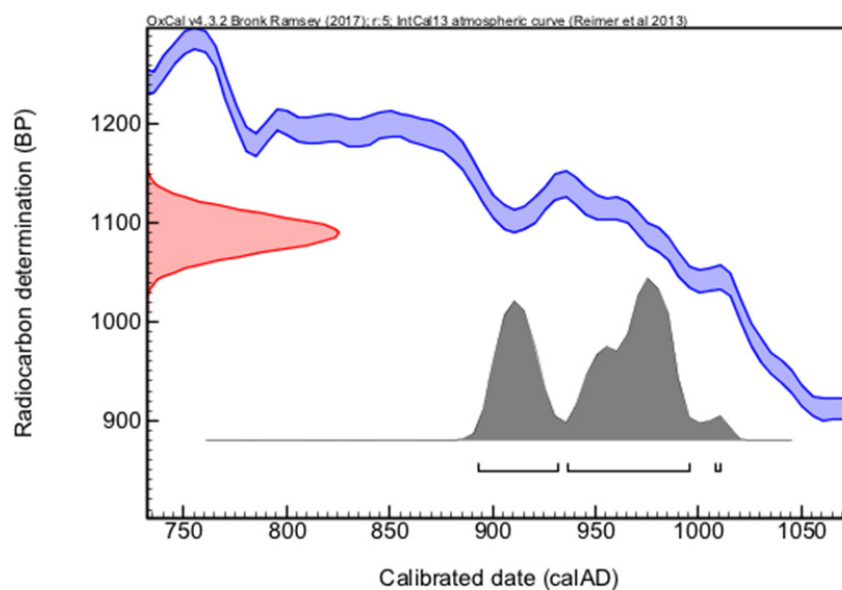
1695 – 1728	(probabilité de 22,3%)
1812 – 1854	(probabilité de 19,6%)
1867 – 1919	(probabilité de 53,5%)



AJ54 : Fraction	pMC corrigé	Âge Conventionnel	$\delta^{13}\text{C}$ (‰)
Cellulose, résidus alcalins	87,30 ± 0,23	1090 ± 20 BP	- 24,76

Dates calibrées à 2 σ :

893 – 931	(probabilité de 34,9%)
936 – 996	(probabilité de 59,9%)
1008 – 1010	(probabilité de 0,6%)





CONCLUSION

La deuxième série de datations entreprises sur le diagnostic effectué au lieu-dit « Bois Gaulpied » à Bléré (37) complète et confirme ce qui a été observé lors de la première campagne de datation.

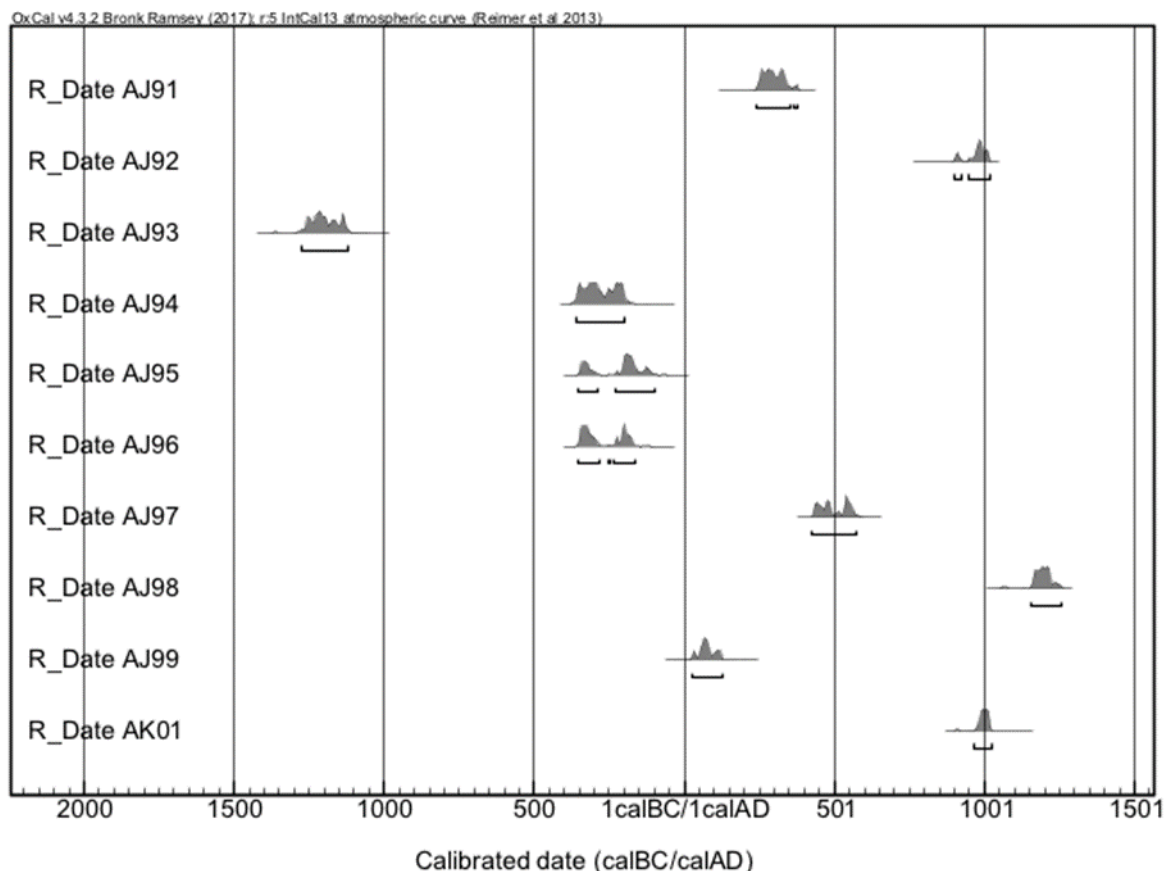


Fig. 1 : Représentation graphique de l'ensemble des distributions de probabilité de la deuxième série de datations obtenues sur les structures datées du Bois Gaulpied à Bléré.

Les résultats obtenus sont très dispersés, mais nettement moins que celles obtenues lors de la première série. On a cette fois une distribution des résultats qui s'étale de la Protohistoire au Moyen-Âge. La principale nouveauté réside dans l'apparition d'une trace d'occupation à l'Âge du Bronze (AJ93). Ceci montre qu'il n'y a peut-être pas eu de hiatus très important entre l'occupation néolithique et celle de l'Âge du Fer/Antiquité.

Les phases d'occupation pré et protohistoriques ne sont attestées dans notre séquence chronologique que par deux datations. L'une renvoyant au Néolithique (AJ43) et l'autre à l'Âge du Bronze (AJ93). Si ces deux dates permettent d'attester une anthropisation du site, on ne sait rien sur la durée de ces phases d'occupation, ni même s'il y a continuité entre les deux ou avec la phase suivante.

La fin de l'Âge du Fer et la période Gallo-romaine sont beaucoup mieux représentées. 4 voire 5 dates caractérisent cette période : AJ47, AJ50, AJ94, AJ95, AJ96 et éventuellement AJ99.



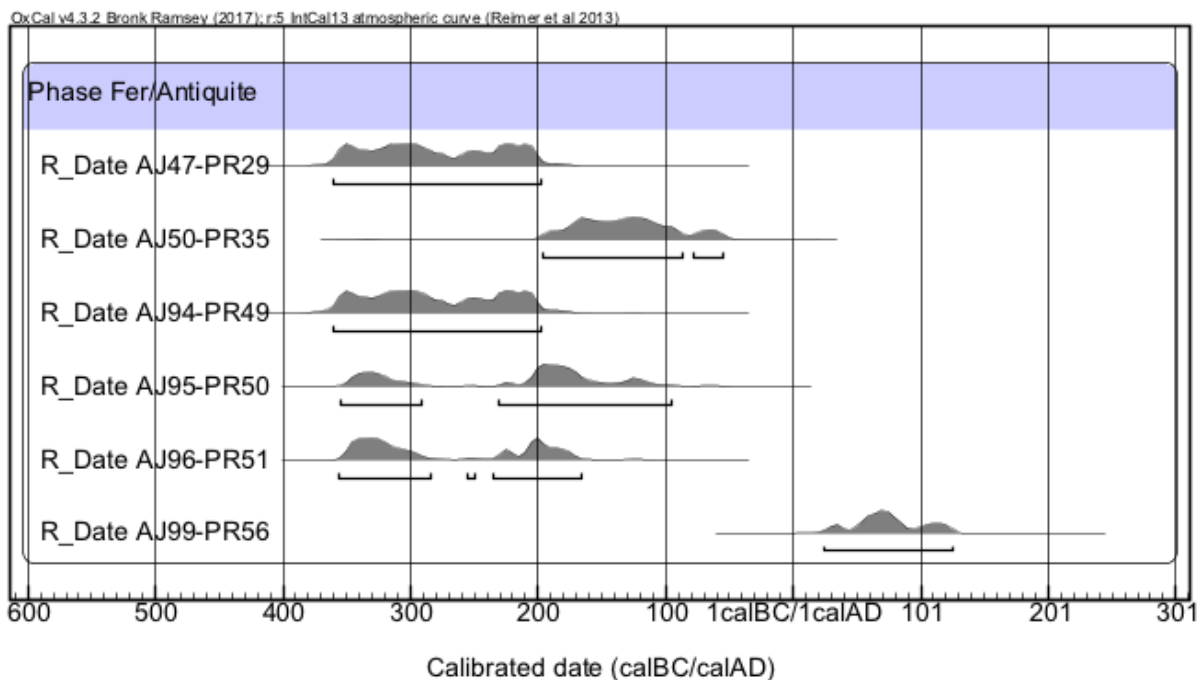


Fig. 2 : Représentation graphique des distributions de probabilité des datations entre Âge du Fer et période Gallo-romaine de Bois Gaulpied.

La datation AJ99 pourrait constituer un élément de transition vers une autre phase d'occupation bien représentée d'un point de vue datation : l'Antiquité tardive et le haut Moyen-Âge, elle aussi représentée par 5 dates.

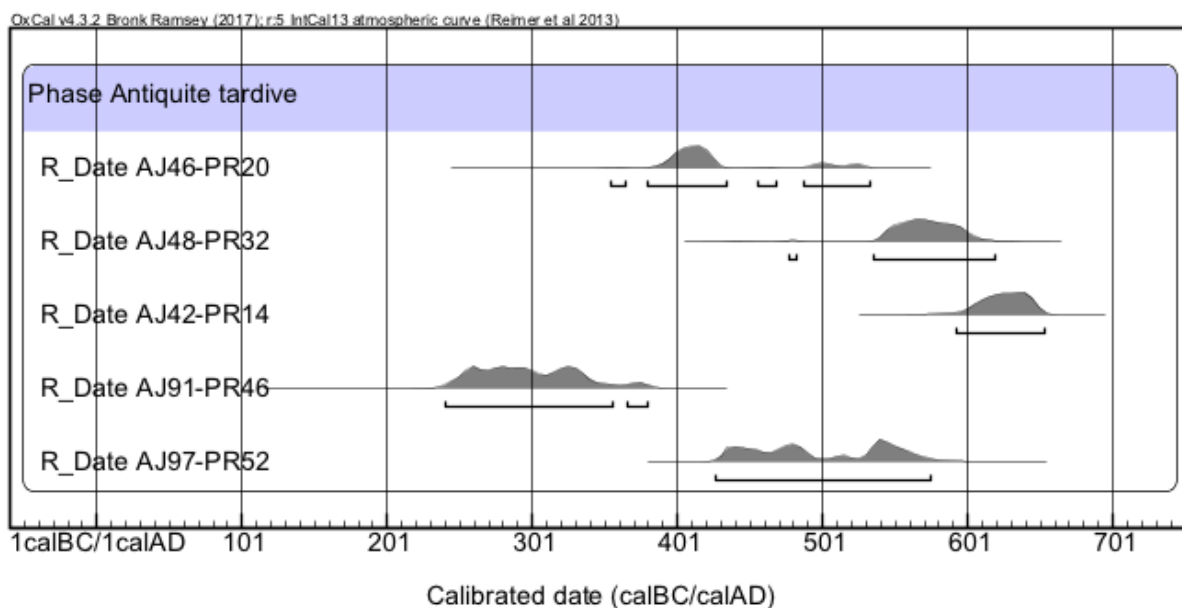


Fig. 3 : Représentation graphique des distributions de probabilité des datations couvrant la phase tard-antique de Bois Gaulpied.





La phase pleinement médiévale est représentée par 8 datations, couvrant un intervalle continu entre le 10^e et le 13^e siècle.

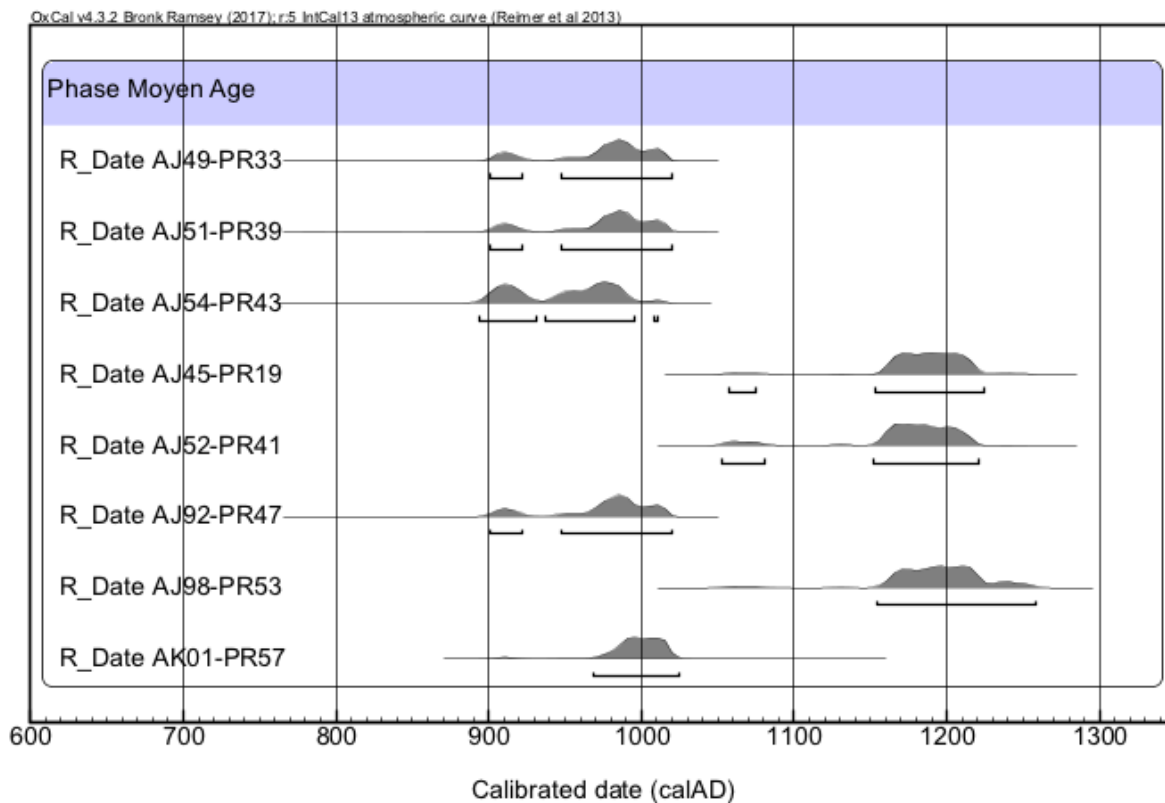


Fig. 4 : Représentation graphique des distributions de probabilité des datations médiévales de Bois Gaulpied.

Seule la datation AJ53 renvoie à une occupation plus récente, entre le 17^e et le début du 20^e siècle. Quoiqu'il en soit, les 23 datations entreprises sur cette parcelle indiquent une occupation sur une longue durée de cette parcelle avec quelques hiatus dont la durée n'est pas toujours simple à quantifier, du fait de possibles lacunes de prélèvements, mais qui couvre néanmoins six à sept millénaires.

Le présent rapport a été réalisé par le Dr Armel Bouvier.

Les analyses ont été effectuées au CIRAM et au CAIS (Athens, Georgia, United States).





Les principes de la datation par carbone 14

La datation au carbone 14 est basée sur la mesure de l'activité radiologique du carbone 14 contenu dans toute matière organique. Elle permet de déterminer l'intervalle de temps écoulé depuis la mort de l'organisme à dater (l'abattage de l'arbre par exemple).

Historique

Vers la fin des années 1940, des travaux réalisés aux États-Unis testèrent les potentialités d'utiliser les propriétés de la radioactivité naturelle du carbone 14 dans le cadre de la datation des matières organiques [1]. Puis, dans les années 1950, **Willard Frank Libby** a commencé à faire des expériences sur des échantillons égyptiens, qui furent couronnés de succès et lui valurent, en 1960, le prix Nobel de chimie pour le développement de cette méthode [2-3]. Depuis, avec l'évolution des techniques de mesure et l'accroissement de leur précision, il s'est avéré que le principe initial devait être ajusté, ce qui a conduit à l'élaboration d'une « calibration » des résultats, basée, en particulier, sur la comparaison avec des données obtenues par d'autres méthodes de datation (la dendrochronologie, par exemple) [4].

Principe de la méthode

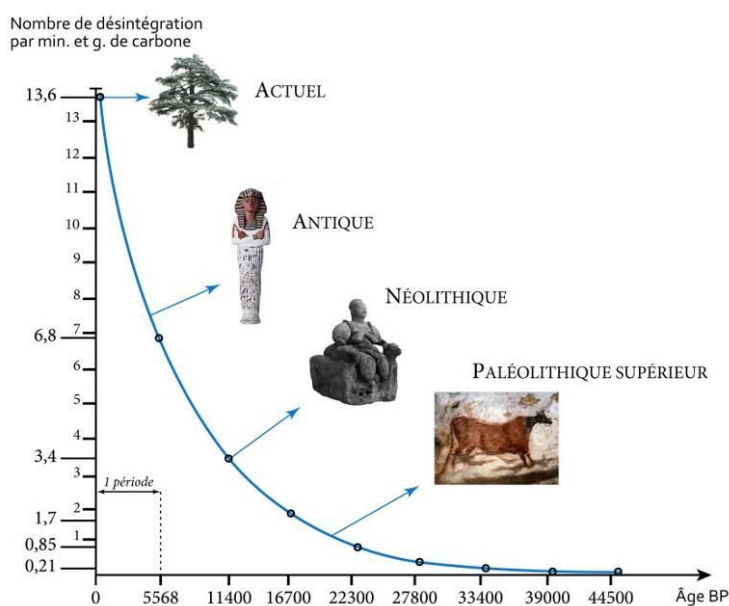
Le **carbone 14** (C^{14}) ou radiocarbone est un isotope radioactif du carbone dont la **période radioactive** (ou demi-vie) est égale à **5730 ans**.

Un organisme vivant assimile le carbone sans distinction isotopique, la proportion de C^{14} par rapport au carbone total (C^{12} , C^{13} et C^{14}) étant la même que celle existant dans l'atmosphère du moment.

La datation par carbone 14 se fonde ainsi sur la présence, dans tout organisme vivant, de radiocarbone en infime proportion (de l'ordre de 10^{-12} pour le rapport C^{14}/C total). A partir de l'instant où meurt un organisme, les échanges avec l'extérieur cessant, la quantité de radiocarbone qu'il contient décroît au cours du temps selon une loi exponentielle connue (désintégration naturelle des atomes de carbone 14).

Un échantillon de matière organique issu de cet organisme peut donc être daté en mesurant le rapport C^{14}/C total.

Courbe de décroissance exponentielle du ^{14}C





Evaluation de l'ancienneté

Dater un échantillon de matière organique consiste à mesurer le rapport C¹⁴/C total et à en déduire son âge.

Le rapport C¹⁴/C total est mesuré soit indirectement par la mesure de l'activité spécifique due au radiocarbone naturel qui est proportionnelle au rapport C¹⁴/C total, soit directement par spectrométrie de masse.

Aujourd'hui, la mesure directe du rapport C¹⁴/C total par la seconde méthode est privilégiée car elle permet de dater des **échantillons beaucoup plus petits** (moins d'un milligramme contre plusieurs grammes de carbone auparavant) et **en un minimum de temps** (en moins d'une heure contre plusieurs jours ou semaines). En pratique, le carbone extrait de l'échantillon est d'abord transformé en graphite, puis en ions qui sont accélérés par la tension générée par un spectromètre de masse couplé à un accélérateur de particules. Les différents isotopes du carbone sont alors séparés ce qui permet de compter les ions de carbone 14.

Signalons que les **échantillons vieux de plus de 50 000 ans ne peuvent être datés** au carbone 14 car le rapport C¹⁴/C total est alors trop faible pour être mesuré par les techniques actuelles.

Age conventionnel et date calibrée

L'âge carbone 14 conventionnel d'un échantillon de matière organique, exprimé en années « before present » (**BP**), est calculé en considérant les deux éléments suivants :

- la période de désintégration du carbone 14 a été mesurée vers 1950 par Libby à 5568 ans ; or, depuis, des expériences plus précises ont été réalisées et donnent une période de 5730 ans ;
- la date de référence à partir de laquelle est mesuré le temps écoulé depuis la mort de l'organisme a été fixée à 1950 par Libby.

Par ailleurs, dès le début des années 1960, certaines divergences systématiques ont été observées, sur les mêmes échantillons, entre l'âge issu de la datation au carbone 14 et celui estimé par l'archéologie ou la dendrochronologie.

En effet, il s'avère que suite aux variations du champ magnétique terrestre, le taux de production du radiocarbone naturel a varié au cours du temps. Les changements climatiques ainsi que le rejet massif de carbone fossile dans l'atmosphère par l'industrie et les transports ont également modifié la teneur totale de carbone, donc de carbone 14. De plus, durant les années 1950 et 1960, les essais nucléaires ont presque doublé la quantité de radiocarbone dans l'atmosphère.

Par conséquent, les conventions choisies par Libby n'étant pas satisfaisantes, et la quantité globale de carbone 14 total dans la biosphère n'étant pas constante dans le temps, il est devenu nécessaire de construire des **courbes de calibration** en confrontant les datations obtenues par carbone 14 et celles données par d'autres méthodes telles que la dendrochronologie.

Ainsi, on transforme via ces courbes, l'âge BP en **datation calibrée** exprimée sous forme d'intervalles chronologiques associés à un pourcentage de probabilité [5-6].

Bibliographie

- [1] **G. Marlowe**, 1999, « Year one: radiocarbon dating and American archaeology, 1947-1948 », *American Antiquity*, LXIV/1, p. 9-32.
- [2] **W.F. Libby**, 1955, *Radiocarbon dating*. 2nd Ed, University of Chicago Press, Chicago.
- [3] **G. Marlowe**, 1980, « W.F Libby and the Archaeologists: 1946-1948 », *Radiocarbon*, XXII/3, p.1005-1014.
- [4] **R.E. Taylor**, 1987, *Radiocarbon dating: an archaeological perspective*, Academic Press, London, chap. 6.
- [5] **M. Stuiver et al.**, 1998, « CALIB rev 4.3 (Data set 2) », *Radiocarbon*, vol. 40, p. 1041-1083.
- [6] **A.J.T. Jull**, 2003, *Radiocarbon*, vol. 46, 18th conference, Wellington.



INVENTAIRES

US	Fait	Tranchée	Cadastre	Type US	Type action	Description physique	Interprétation
0				Hors strati	Passé mécanique	Couche HS créée pour mobilier	Couche HS
1		1	YV0029	Couche d'occupation	Occupation	Terre végétale, brune noire avec nodules et galets de silex	Niveau d'occupation actuel
2		1	YV0029	Interface	Passé mécanique	Niveau beige à orangé, hétérogène en épaisseur et en composition selon la localisation	Niveau artificiel situé sous la végétal (US 1) et sur le substrat
3		1	YV0029	Terrain naturel	Géologique	Grave plus ou moins fine avec des poches irrégulières de limon orangé avec graviers siliceux et calcaires	Couche géologique
4		1	YV0029	Terrain naturel	Géologique	Argile à silex orangée	Couche géologique
5	1	1	YV0029	Remblai	Géologique	Limon argileux gris avec traces d'oxydation orangées, quelques cailloux siliceux et calcaires (4cm max), quelques inclusions de CB (centimétrique) Homogène, compact	Comblement indéterminé probablement lié à un phénomène naturel (bioturbation, chablis...)
6	227	38	YV0041	Terrain naturel	Géologique	Calcaire dur avec fracturation (= US333)	Terrain naturel
7	507	72	YV0035	Remblai		Comblement: limon brun et quelques inclusions calcaires	Une seule US créée pour l'ensemble de la structure
8	4	1	YV0030	Remblai	Géologique	Limon argileux orangé avec inclusions calcaires Homogène, compact	Comblement indéterminé probablement lié à un phénomène naturel (bioturbation, chablis...)
9		1	YV0031	Terrain naturel	Géologique	Limon argileux brun mêlé à de très nombreuses inclusions siliceuses	Terrain naturel
10	6	2	YV0031	Remblai	Abandon	Limon sableux brun orangé avec inclusions ferro-manganiques et quelques graviers siliceux en fond de couche	Comblement indéterminé, anthropique?
11	6	2	YV0031	Creusement	Construction	Creusement ovoïde, en cuvette à fond plat	Creusement d'une possible structure anthropique?
12	14	2	YV0030	Remblai	Abandon	Limon sableux gris orangé avec inclusions ferro-manganiques et quelques graviers siliceux Homogène, compact	Comblement indéterminé, anthropique?
13	14	2	YV0030	Creusement	Construction	Creusement ovoïde, en cuvette à parois évasées, légèrement asymétriques	Creusement d'une possible structure anthropique?
14	16	2	YV0030	Remblai	Abandon	Limon argileux brun gris avec des traces d'oxydation orangée, quelques cailloux siliceux épars (inférieur ou égal à 4cm). Localement, présence de nodules de manganèse (centimétrique) Homogène, compact	Comblement indéterminé, anthropique?
15	16	2	YV0030	Creusement	Construction	Creusement oblong, arasé, fond irrégulier	Creusement d'une possible structure anthropique?
16	3	1	YV0030	Remblai	Abandon	Limon légèrement sableux brun orangé contenant quelques inclusions ferro-manganiques et quelques graviers siliceux	Comblement terminal de la fosse/fossé
17	3	1	YV0030	Remblai	Abandon	Limon argileux orangé avec quelques inclusions ferro-manganiques et traces d'oxydation (couleur «rouille») Homogène, compact	Comblement primaire de la fosse/fossé

US	Fait	Tranchée	Cadastre	Type US	Type action	Description physique	Interprétation
18	3	1	YV0030	Creusement	Construction	Creusement irrégulier en cuvette, parois évasées asymétriques	Creusement d'une possible fosse/fossé
19	19	2	YV0029	Remblai	Abandon	Limons argileux brun orangé avec des inclusions de limon orange, de graviers siliceux et de traces d'oxydation ferromanganiques Plutôt homogène, compact Stérile	Comblement du trou de poteau
20	19	2	YV0029	Creusement	Construction	Creusement ovoïde arasé, fond irrégulier	Creusement du trou de poteau
21	20	2	YV0029	Remblai	Abandon	Limons légèrement sableux contenant quelques graviers millimétriques calcaires Homogène, assez compact	Comblement anthropique?
22	20	2	YV0029	Creusement	Construction	Creusement ovoïde (subcirculaire) en cuvette légèrement asymétrique	Creusement d'un possible trou de poteau, anthropique?
23	21	2	YV0029	Remblai	Abandon	Limons argileux brun avec des traces d'oxydation ferromanganiques, de nombreux gravillons siliceux et calcaires (millimétriques) inégalement répartis, de rares petits cailloux siliceux (inférieur ou égal à 5cm) A l'interface avec le fond, la couche est plus argileuse et grise (signe d'une stagnation d'eau?) Homogène, meuble Stérile	Comblement d'un possible trou de poteau
24	21	2	YV0029	Creusement	Construction	Creusement ovoïde, aux parois obliques et au fond régulier	Creusement d'un possible trou de poteau
25	24	2	YV0029	Remblai	Abandon	Limons argileux brun foncé avec traces d'oxydation ferromanganiques et quelques inclusions de limon argileux orangé, quelques gravillons siliceux (millimétriques) et quelques cailloux siliceux et calcaires (inférieur à 4cm) Homogène, compact Stérile	Comblement d'une possible structure anthropique (trou de poteau)?
26	24	2	YV0029	Creusement	Construction	Creusement ovoïde, fond en cuvette, parois asymétriques	Creusement d'une possible structure anthropique (trou de poteau)?
27	25	2	YV0029	Remblai	Abandon	Limons argileux brun orangé avec nombreuses inclusions calcaires (3mm à 3cm) Homogène, compact	Comblement terminal d'une fosse ou d'un trou de poteau
28	25	2	YV0029	Remblai	Abandon	Limons argileux brun gris avec oxydations ferromanganiques orangées et quelques inclusions calcaires (3mm à 3cm) Homogène, compact (voire plastique) Stérile	Comblement primaire d'une fosse ou d'un trou de poteau
29	25	2	YV0029	Creusement	Construction	Creusement circulaire, fond en cuvette et parois verticales (en U)	Creusement d'une fosse ou d'un trou de poteau

US	Fait	Tranchée	Cadastre	Type US	Type action	Description physique	Interprétation
30	26	2	YV0029	Remblai	Abandon	Limon argileux brun gris avec traces d'oxydations ferro-manganiques, quelques inclusions de limon argileux orangé, rares petites poches sableuses, nombreuses inclusions millimétriques de calcaire inégalement répartis, rare cailloux calcaires (inférieur à 5cm), rares inclusions millimétriques de CB. A l'interface avec le fond, la couche est plus argileuse et grise (signe d'une stagnation d'eau?) Plutôt homogène, compacte Stérile	Comblement d'une possible structure anthropique (fosse ou trou de poteau?)
31	26	2	YV0029	Creusement	Construction	Creusement ovoïde, fond plat, parois obliques	Creusement d'une possible structure anthropique (fosse ou trou de poteau?)
32	29	2	YV0029	Remblai	Abandon	Limon argileux brun gris avec quelques inclusions calcaires et siliceuses et inclusions ferro-manganiques en partie basse Homogène et compact	Comblement d'une possible structure anthropique de type trou de poteau ou de plantation (?)
33	29	2	YV0029	Creusement	Construction	Creusement circulaire, en cuvette	Creusement d'une possible structure anthropique de type trou de poteau ou de plantation (?)
34		2	YV0029	Terrain naturel	Géologique	Argile limoneuse brune orangée avec inclusions de quelques cailloux siliceux et calcaires dans une moindre mesure	Couche géologique
35		3	YV0029	Terrain naturel	Géologique	Argile légèrement limoneuse orangée avec rares inclusions millimétriques calcaires, siliceuses et ferro-manganiques Homogène et plastique	Couche géologique
36	33	3	YV0029	Remblai	Abandon	Limon argileux brun foncé gris avec traces d'oxydation jaunâtre, rares inclusions ferro-manganiques (millimétriques), quelques graviers et cailloux calcaires et siliceux (millimétriques à 4cm) Plutôt homogène, meuble Stérile	Comblement d'une possible structure anthropique de type trou de poteau ou de plantation (?)
37	33	3	YV0029	Creusement	Construction	Creusement circulaire asymétrique, fond avec pendage, très irrégulier	Creusement d'une possible structure anthropique de type trou de poteau ou de plantation (?)
38		4	YV0029	Terrain naturel	Géologique	Marne grise avec traces d'oxydation rougeâtre et très nombreux graviers et cailloux calcaires (inférieur ou égal à 15cm)	Couche géologique
39	51	5	YV0029	Remblai	Abandon	Limon argileux brun orange avec nombreuses inclusions de CB Homogène, compact	Comblement d'un possible trou de piquet
40	51	5	YV0029	Creusement	Construction	Creusement circulaire, fond en cuvette, parois verticales (en U)	Creusement d'un possible trou de piquet
41	45	4	YV0029	Remblai	Abandon	Limon argileux brun orange avec quelques inclusions ferro-manganiques et quelques inclusions millimétriques de calcaire Homogène, assez compact	Comblement d'un trou de poteau ou de plantation

US	Fait	Tranchée	Cadastre	Type US	Type action	Description physique	Interprétation
42	45	4	YV0029	Creusement	Construction	Creusement ovoïde avec un surcreusement circulaire, fond plat, profil en U légèrement asymétrique	Creusement d'un trou de poteau ou de plantation
43	54	2	YV0029	Remblai	Abandon	Limons argileux brun orange avec quelques inclusions de graviers siliceux et calcaires (0,5 à 1cm) Homogène, assez compact	Comblement d'un trou de poteau
44	54	2	YV0029	Creusement	Construction	Creusement circulaire, en cuvette à fond plat	Creusement d'un trou de poteau
45	42	4	YV0029	Remblai	Abandon	Limons sableux brun gris avec poches d'oxydation et poches de limon orangé inégalement réparties. Très nombreuses inclusions de graviers et gravillons calcaires, quelques cailloux calcaires notamment dans le fond (inférieur ou égale à 5cm). L'interface avec le fond est plus argileux et gris Hétérogène, meuble Un tessou de céramique trouvé mais venant probablement d'une racine venue perturbée la structure (que se voit dans la paroi)	Comblement d'une fosse indéterminée, anthropique?
46	42	4	YV0029	Creusement	Construction	Creusement en cuvette, parois asymétriques	Creusement d'une fosse indéterminée, anthropique? Recoupe un niveau de limon argileux brun orangé avec cailloux calcaire: est-ce de l'US2 ou US3?
47	52	2	YV0029	Remblai	Abandon	Limons argileux brun gris avec quelques graviers siliceux et quelques inclusions ferrugineuses orangées Homogène, assez compact	Comblement d'un trou de poteau
48	52	2	YV0029	Creusement	Construction	Creusement circulaire en auge (fond plat, parois verticales). La paroi Sud-Est est incertaine	Creusement d'un trou de poteau
49	53	2	YV0029	Remblai	Abandon	Argile limoneuse grise avec inclusions de quelques cailloux et graviers siliceux, inclusions d'oxydes ferrugineux orangés	Comblement d'une possible fosse indéterminée, anthropique
50	53	2	YV0029	Creusement	Construction	Creusement ovoïde allongé, en cuvette à fond relativement plat	Creusement d'une possible fosse indéterminée, anthropique
51		2	YV0029	Terrain naturel	Géologique	Argile marneuse grise avec nombreuses inclusions d'oxydation orangée Très homogène, compact Couche vue au niveau de F.52 et F.53	Couche géologique
52	47	5	YV0029	Remblai	Construction	Fragments de silex mêlés à des fragments de TC	Comblement effectué pour la mise en place d'un système de drainage
53	47	5	YV0029	Remblai	Construction	Argile limoneuse brune clair avec quelques nodules calcaires en fond de couche Homogène, compact	Comblement issu soit de l'installation du drain, soit de son fonctionnement au cours du temps
54	47	5	YV0029	Creusement	Construction	Creusement linéaire, profil en auge	Creusement d'un drain

US	Fait	Tranchée	Cadastre	Type US	Type action	Description physique	Interprétation
55		5	YV0030	Terrain naturel	Géologique	Grave plus ou moins fine prise dans une matrice argilo-limoneuse orange à rouge Homogène, très compact Équivalent à l'US 3 mais en rouge	Couche géologique
56		5	YV0030	Terrain naturel	Géologique	Argile à silex à passées grises et rouges Equivalent à l'US 4 mais en rouge	Couche géologique
57		5	YV0030	Terrain naturel	Géologique	Argile grise à passées rouges et oranges contenant du calcaire dégradé en poche ainsi que de gros cailloux siliceux et inclusions calcaires Plutôt hétérogène	Couche géologique
58	50	5	YV0029	Remblai	Abandon	Limon argileux brun avec quelques inclusions de calcaires (millimétriques) et rares inclusions de CB (millimétriques) Homogène, compact	Comblement d'un possible trou de poteau
59	50	5	YV0029	Creusement	Construction	Creusement ovoïde en cuvette, arasé	Creusement d'un possible trou de poteau
60		5	YV0031	Terrain naturel	Géologique	Limon brun avec inclusions de calcaire (millimétrique) et graviers à cailloux calcaires et siliceux (jusqu'à 4cm) Equivalent à l'US 9?	Couche géologique
61		5	YV0031	Terrain naturel	Géologique	Limon légèrement argileux brun à brun foncé avec quelques graviers et cailloux calcaire et siliceux (jusqu'à 5cm). Localement, quelques tâches grisâtres Lien strati avec US 3 inconnu, peut-être sur US 3	Couche géologique
62	56	5	YV0031	Remblai	Abandon	Limon brun clair avec quelques petits graviers siliceux Homogène, assez meuble	Comblement issu soit de l'abandon, soit de l'utilisation d'un système de drainage
63	56	5	YV0031	Remblai	Construction	Fragments de silex avec quelques petits fragments de TC dans une matrice limoneuse brune grise	Comblement issu probablement de la mise en place d'un système de drainage
64	56	5	YV0031	Creusement	Construction	Creusement linéaire, profil en U avec parois asymétriques	Creusement d'un drain
65	59	5	YV0031	Remblai	Abandon	Limon argileux brun à brun foncé avec quelques cailloux calcaires (jusqu'à 5cm) et nombreux graviers calcaires et siliceux (millimétriques), quelques inclusions de CB (centimétriques) et de nodules de manganèse noire (millimétriques) Plutôt homogène, compact	Comblement terminal d'un possible fossé (ou d'une fosse) L'US marque peut-être la trace d'un curage/recreusement
66	59	5	YV0031	Remblai	Abandon	Limon sableux brun avec inclusions de graviers siliceux et calcaires Homogène, compact	Comblement, peut-être naturel d'un fossé ou d'une fosse

US	Fait	Tranchée	Cadastre	Type US	Type action	Description physique	Interprétation
67	59	5	YV0031	Remblai	Abandon	Limons argileux brun avec très nombreux gravillons et cailloux calcaires et siliceux (jusqu'à 5cm) inégalement répartis Plutôt hétérogène, compact Même nature que l'US 3	Comblement, peut-être naturel d'un fossé ou d'une fosse
68	59	5	YV0031	Creusement	Construction	Creusement linéaire en cuvette, parois obliques et légèrement asymétriques	Creusement d'un fossé ou d'une fosse
69	62	5	YV0031	Remblai	Abandon	Limons fins gris avec quelques inclusions ferro-manganiques et très rares inclusions calcaires (millimétriques) Très homogène, compact	Comblement d'une fosse
70	62	5	YV0031	Creusement	Construction	Creusement ovoïde irrégulier, en cuvette, parois très évasées rétroversées	Creusement d'une fosse
71			YV0031	Terrain naturel	Géologique	Calcaire pulvérulent avec passées argileuses jaunes rouges dégradées et silex. Vu dans ex F57	Couche géologique
72	63	5	YV0031	Remblai	Abandon	Limons brun foncé avec quelques cailloux siliceux (jusqu'à 10cm) et graviers calcaires et siliceux Homogène, compact	Comblement terminal issu de l'abandon ou de l'utilisation d'un système de drainage
73	63	5	YV0031	Remblai	Construction	Cailloux calcaires et siliceux de dimensions variables (jusqu'à 10cm) mêlés à du limon brun foncé et graviers siliceux Homogène, compact	Comblement issu de l'installation d'un système de drainage
74	63	5	YV0031	Remblai	Construction	Creusement linéaire en cuvette, parois obliques	Creusement d'un système de drainage
75		6	YV0029	Terrain naturel	Géologique	Limons brun orangés	Couche géologique
76		6	YV0029	Terrain naturel	Géologique	Argile légèrement limoneuse orangée avec rares inclusions calcaires, siliceuses et ferro-manganiques	Couche géologique
77	66	6	YV0029	Remblai	Occupation	Limons gris très fins avec quelques inclusions de graviers millimétriques calcaires et siliceux	US issu de labour profond
78	66	6	YV0029	Creusement	Construction	Creusement linéaire, en cuvette, parois obliques	Creusement de labour
79	64	6	YV0031	Remblai	Abandon	Limons légèrement argileux brun foncé avec quelques petits cailloux calcaires brûlés (gris) et de fines inclusions calcaires (millimétriques), quelques graviers siliceux, quelques inclusions de CB Homogène, assez compact	Comblement d'un trou de poteau ou de plantation
80	64	6	YV0031	Creusement	Construction	Creusement circulaire, en cuvette	Creusement d'un trou de poteau ou de plantation
81	69	7	YV0031	Remblai	Géologique	Limons sableux gris jaunâtre avec inclusions ferro-manganiques et quelques graviers siliceux et calcaires	Comblement naturel
82	70	7	YV0031	Remblai	Abandon	Charbon de bois mélangé en partie supérieure à du limon sableux brun clair	Comblement indéterminé, restes d'un piquet?

US	Fait	Tranchée	Cadastre	Type US	Type action	Description physique	Interprétation
83	70	7	YV0031	Remblai	Abandon	Limon sableux brun clair Homogène et assez compact Très fines inclusions de CB et couleur plus à l'aplomb de la concentration de CB de l'US 82	Restes inférieurs d'un piquet? Percolation?
84	70	7	YV0031	Creusement	Construction	Creusement circulaire en cuvette	Creusement d'un trou piquet?
85	71	7	YV0031	Remblai	Abandon	Charbon de bois mélangé à du limon sableux brun clair. La partie inférieure de la couche contient beaucoup moins de charbon de bois	Comblement indéterminé, restes d'un piquet?
86	71	7	YV0031	Remblai	Abandon	Limon sableux brun clair Homogène et assez compact Très fines inclusions de CB et couleur plus à l'aplomb de la concentration de CB de l'US 85	Restes inférieurs d'un piquet? Percolation?
87	71	7	YV0031	Creusement	Construction	Creusement circulaire en cuvette	Creusement d'un trou de poteau ou piquet?
88	68	7	YV0029	Remblai	Abandon	Charbon de bois	Restes d'un piquet?
89	68	7	YV0029	Remblai	Abandon	Limon légèrement argileux brun clair avec petits CB	Fantôme inférieur d'un piquet?
90	67	7	YV0029	Remblai	Abandon	Limon gris jaune avec fines inclusions de TC orange et CB	Restes d'un piquet après pou- rissage?
91	68	7	YV0029	Creusement	Construction	Creusement circulaire, en U	Creusement d'un trou de piquet?
92	67	7	YV0029	Creusement	Construction	Creusement ovoïde, diffus, en U, parois obliques	Creusement d'un possible trou de piquet, par percussion?
93	74	9	YV0029	Remblai	Abandon	Limon plutôt sableux brun gris avec inclusions de manganèse par poches éparses et rares inclusions de gravillons cal- caires et siliceux Homogène, très compact	Comblement d'un trou de poteau
94	74	9	YV0029	Creusement	Construction	Creusement ovoïde, en cuvette, parois obliques	Creusement d'un trou de poteau
95	76	10	YV0030	Remblai	Abandon	Limon argileux brun orangé avec quelques graviers calcaires	Comblement d'un trou de poteau
96	76	10	YV0030	Creusement	Construction	Creusement ovoïde, en cuvette	Creusement d'un trou de poteau
97	77	10	YV0030	Remblai	Abandon	Limon argileux brun mêlé à du limon argileux gris avec quelques inclusions de limon argileux orangé et quelques inclusions de graviers siliceux et calcaires (centimétriques), rares cailloux calcaire (jusqu'à 4cm). Traces de percolation et/ou de racines Homogène, compact Stérile	Comblement d'un possible trou de poteau
98	77	10	YV0030	Creusement	Construction	Creusement circulaire, en cuvette, parois obliques	Creusement d'un possible trou de poteau
99	82	11	YV0029	Remblai	Abandon	Limon argileux gris noir avec énormément de CB ainsi que de nombreuses inclusions ferro-manganiques et très petits fragments de TC brûlés Homogène, assez compact	Comblement d'un trou de poteau
100	82	11	YV0029	Creusement	Construction	Creusement circulaire, en cuvette à fond plat	Creusement d'un trou d poteau

US	Fait	Tranchée	Cadastre	Type US	Type action	Description physique	Interprétation
101	81	11	YV0029	Remblai	Abandon	Limons sableux gris brun mêlé à du limon argileux orangé, avec nombreuses traces plus ou moins importantes et localisées de manganèse (millimétriques à centimétriques), quelques cailloux siliceux (jusqu'à 5cm), quelques inclusions localisées de CB (centimétriques) et inclusions éparées de TC Homogène, meuble Stagnation d'eau?	Comblement d'une fosse indéterminée
102	81	11	YV0029	Creusement	Construction	Creusement circulaires, fond plat, parois obliques	Creusement d'une fosse indéterminée
103	85	11	YV0029	Remblai	Abandon	Limons argileux brun gris avec nombreuses inclusions ferromanganiques (centimétriques) noires et «rouilles», quelques inclusions de graviers siliceux Homogène, assez meuble	Comblement d'un trou de poteau
104	85	11	YV0029	Creusement	Construction	Creusement circulaire, en cuvette, parois obliques	Creusement d'un trou de poteau
105	84	11	YV0029	Remblai	Abandon	Limons argileux brun gris avec nombreuses inclusions ferromanganiques (centimétriques) noires et «rouilles», quelques inclusions de graviers siliceux Homogène, assez meuble	Comblement d'un possible trou de poteau
106	84	11	YV0029	Creusement	Construction	Creusement circulaire très fortement arasé	Creusement d'un possible trou de poteau
107	83	11	YV0029	Remblai	Abandon	Limons sableux gris brun avec tâches «rouilles» et beaucoup d'inclusions ferromanganiques. La partie haute de l'US ne comporte que peu d'éléments ferromanganiques et est plus jaune. Plutôt hétérogène, assez compact	Comblement d'une possible fosse ou extrémité fossée?
108	83	11	YV0029	Remblai	Abandon	Limons argileux brun orangé avec quelques inclusions ferromanganiques et quelques rares inclusions millimétriques de calcaire Homogène, compact	Comblement d'une possible fosse ou extrémité fossée?
109	83	11	YV0029	Creusement	Construction	Creusement incomplet, profil en auge, parois obliques	Creusement d'une possible fosse ou extrémité fossée?
110	87	11	YV0031	Remblai	Abandon	Limons argileux brun orange avec quelques graviers et pierres siliceuses Homogène, compact	Comblement supérieur de la fosse d'extraction (observé dans la coupe effectuée dans la partie nord de F87).
111	87	11	YV0031	Remblai	Abandon	Argile limoneuse brune avec inclusions ferromanganiques en petite quantité, rares graviers et cailloux siliceux	Comblement indéterminé (observé dans la coupe effectuée dans la partie nord de F87).
112	87	11	YV0031	Remblai	Abandon	Argile limoneuse brune foncée avec énormément de graviers et cailloux siliceux et calcaires Homogène, compact Semblable à US 115 mais en brun foncé	Comblement indéterminé (observé dans la coupe effectuée dans la partie nord de F87).
113	87	11	YV0031	Remblai	Abandon	Argile limoneuse brune avec inclusions de graviers et cailloux siliceux et calcaires. Homogène, assez compact	Comblement indéterminé (observé dans la coupe effectuée dans la partie nord de F87).

US	Fait	Tranchée	Cadastre	Type US	Type action	Description physique	Interprétation
114	87	11	YV0031	Remblai	Abandon	Limon argileux brun orange avec peu d'inclusions de graviers siliceux et calcaires. Homogène, assez meuble	Comblement indéterminé (observé dans la coupe effectuée dans la partie nord de F87).
115	87	11	YV0031	Remblai	Abandon	Argile limoneuse brune grise avec énormément de graviers et cailloux siliceux et calcaires Homogène, compact Semblable à US 112 mais en brun gris	Comblement indéterminé (observé dans la coupe effectuée dans la partie nord de F87).
116	87	11	YV0031	Remblai	Abandon	Litage de couches de poches de graviers calcaires prises dans une matrice argilo-limoneuse brune à brune orangée Compact	Comblement indéterminé, peut-être effondrement de parois? (observé dans la coupe effectuée dans la partie nord de F87).
117	87	11	YV0031	Remblai	Abandon	Argile limoneuse brune jaune avec très rares inclusions calcaires et siliceuses Homogène, assez meuble	Comblement indéterminé (observé dans la coupe effectuée dans la partie nord de F87).
118	87	11	YV0031	Creusement	Construction	Creusement asymétrique, fond plat	Creusement (observé dans la coupe effectuée dans la partie nord de F87).
119		12	YV0029	Terrain naturel	Géologique	Litage de couches de graves et d'argile orange avec des inclusions rougeâtres	Couche géologique
120		12	YV0029	Terrain naturel	Géologique	Grave moyenne prise dans une matrice argileuse brune	Couche géologique
121		12	YV0029	Terrain naturel	Géologique	Calcaire pulvérulent plus ou moins altéré parfois en plaque, blanc et jaune	Couche géologique
122		6	YV0029	Terrain naturel	Géologique	Marne grise avec inclusions calcaires et ferro-manganiques oranges et rouges	Couche géologique Peut-être équivalent à l'US 57
123		6	YV0029	Terrain naturel	Géologique	Marne grise avec très nombreuses inclusions calcaires et quelques inclusions ferro-manganiques oranges	Couche géologique
124	92	13	YV0031	Remblai	Abandon	Limon argileux brun gris avec quelques nodules de calcaire Homogène, compact	Comblement d'un possible trou de poteau
125	92	13	YV0031	Creusement	Construction	Creusement circulaire, en cuvette, parois obliques	Creusement d'un possible trou de poteau
126	93	13	YV0031	Remblai	Abandon	Limon argileux brun gris avec quelques nodules de calcaire Homogène, compact	Comblement d'un possible trou de poteau
127	93	13	YV0031	Creusement	Construction	Creusement circulaire, en cuvette, parois obliques	Creusement d'un possible trou de poteau
128	90	13	YV0029	Remblai	Abandon	Limon peu argileux brun avec quelques graviers siliceux et rares cailloux siliceux et/ou calcaires Homogène, compact	Comblement d'une fosse indéterminée, observé seulement dans la coupe de la berme Ouest de la tranchée 13 (cf. photo)
129	90	13	YV0029	Remblai	Abandon	Couche hétérogène, constituée de poches et zones limoneuses plus ou moins argileuses grise brune avec des inclusions d'argile orangée, de poches limoneuses grises à grises claires et de poches d'argile orangée rougeâtre. Également inclusions ferro-manganiques éparses (millimétriques) et de graviers siliceux et calcaires (millimétriques) Hétérogène, compact	Comblement d'une fosse indéterminée Cette couche contient peut-être plusieurs niveaux mais la nature du comblement (semble assez naturel) et l'absence de dynamique générale déterminée n'a pas permis d'aller plus avant dans leur observation

US	Fait	Tranchée	Cadastre	Type US	Type action	Description physique	Interprétation
130	90	13	YV0029	Creusement	Construction	Creusement non entièrement observé, en cuvette irrégulière, parois observées obliques	Creusement d'une fosse indéterminée
131	94	13	YV0031	Remblai	Abandon	Argile limoneuse grise avec quelques inclusions ferro-manganiques Homogène, assez compact	Comblement d'une fosse indéterminée (peut-être trou de poteau?)
132	94	13	YV0031	Creusement	Construction	Creusement ovoïde, parois asymétriques	Creusement d'une fosse indéterminée (peut-être trou de poteau?)
133	86	11	YV0031	Remblai	Abandon	Concentration irrégulière de CB dans une matrice de limon, aux limites diffuses	Restes d'un piquet?
134	95		YV0029	Remblai	Occupation	Mélange de silex et de marne grise jaune mêlé à des poches de limon brun Hétérogène, assez compact	Remblai
135	2	1	YV0029	Terrain naturel	Géologique	Argile grisâtre	Résurgence TN
136	5	2	YV0031	Remblai	Géologique	Limon et grave	Comblement naturel
137	7	2	YV0031	Remblai	Géologique	US 3 mêlé à un limon brun Compact, stérile	Comblement naturel
138	8	2	YV0031	Remblai	Géologique	Limon argileux gris brun avec nombreux cailloux siliceux Très compact, stérile	Comblement naturel
139	9	2	YV0031	Remblai	Géologique	Limon brun gris et grave	Comblement naturel 1 fragment d'ardoise trouvé
140	10	2	YV0031	Remblai		Limon brun gris et grave	Comblement naturel
141	11	2	YV0031	Remblai			Comblement
142	12	2	YV0030			Limon brun gris et grave	US non fouillée
143	13	2	YV0030	Remblai	Géologique	Limon brun gris et grave	Comblement naturel
144	15	2	YV0030	Remblai	Géologique	Limon brun gris et quelques graviers	Comblement naturel
145	17	2	YV0029	Remblai	Géologique	Limon argileux gris avec inclusions ferro-manganiques et traces d'oxydation	Comblement naturel
146	18	2	YV0029	Remblai	Géologique	Limon argileux gris avec nombreuses inclusions ferro-manganiques et traces d'oxydation	Comblement naturel
147	22	2	YV0029			Poche marneuse grise avec nombreux graviers siliceux et calcaires et traces d'oxydation orangée	US non fouillée
148	23	2	YV0029			Limon argileux gris avec inclusions ferro-manganiques et traces d'oxydation	US non fouillée
149	27	2	YV0029			Limon argileux gris jaune et traces d'oxydation jaunâtre	US non fouillée
150	28	2	YV0029			Limon sableux brun foncé avec quelques cailloux calcaires et traces d'oxydation	US non fouillée
151	30	2	YV0029			Limon argileux gris jaune et traces d'oxydation jaunâtre	US non fouillée
152	31	3	YV0029	Remblai	Géologique	Limon argileux gris jaune avec nombreuses inclusions ferro-manganiques	Comblement naturel
153	32	3	YV0029			Limon argileux gris jaune avec nombreuses inclusions ferro-manganiques	US non fouillée
154	34	3	YV0029	Remblai			Comblement
155	35	3	YV0029				US non fouillée

US	Fait	Tranchée	Cadastre	Type US	Type action	Description physique	Interprétation
156	36	3	YV0029			Limon argileux gris jaune avec inclusions ferro-manganiques et inclusions indéterminées orangées	US non fouillée
157	37	3	YV0029			Limon sableux brun gris avec inclusions calcaires (millimétriques) et ferro-manganiques	US non fouillée
158	38	3	YV0029			Limon sableux brun gris avec inclusions calcaires (millimétriques) et ferro-manganiques	US non fouillée
159	39	3	YV0029			Limon argileux brun orangé avec traces d'oxydation et d'inclusions ferro-manganiques	US non fouillée
160	40	4	YV0031	Remblai	Géologique		Comblement naturel
161	41	4	YV0030	Remblai	Géologique	Limon argileux brun orangé	Comblement naturel
162	43	4	YV0029	Remblai	Géologique		Comblement naturel
163	44	4	YV0029	Remblai	Géologique	Limon orangé	Comblement naturel
164	46	4	YV0029	Remblai	Géologique	Limon argileux gris orangé, oxydé avec quelques graviers siliceux et calcaires	Comblement naturel
165	48	5	YV0029	Remblai			Comblement
166	49	5	YV0029	Décapage	Passé mécanique		Pierre calcaire
167	55	5	YV0030	Terrain naturel	Géologique	Calcaire pulvérulent	Résurgence TN
168	57	5	YV0031	Terrain naturel	Géologique	Calcaire pulvérulent	Résurgence TN
169	58	5	YV0031	Remblai	Géologique	Limon argileux brun orange avec quelques graviers siliceux et petites inclusions calcaires (ressemble à l'us 2)	Comblement naturel
170	60	5	YV0031	Remblai	Géologique	Argile limoneuse brune orange avec inclusions de quelques graviers siliceux	Comblement naturel
171	61	5	YV0031	Remblai			Comblement
172	65	6	YV0029	Remblai	Géologique	Argile rougeâtre	Comblement naturel
173	72	9	YV0029				US non fouillée
174	73	9	YV0029	Remblai	Occupation	Limites très diffuses, juste marqué par une matrice contenant un peu plus d'inclusions millimétriques de calcaire que le TN, ainsi que quelques inclusions millimétriques éparses de CB	Comblement d'un drain ou labour
175	75	10	YV0031	Remblai	Géologique	Limon sableux gris jaune avec des poches de graviers siliceux	Comblement naturel
176	78	10	YV0030	Remblai	Géologique	Argile limoneuse	Comblement naturel
177	79	10	YV0029				US non fouillée
178	80	10	YV0029	Remblai	Géologique	Limon sableux gris clair avec inclusions limoneuses oranges et inclusions ferromanganiques	Comblement naturel
179	88	12	YV0029			Limon argileux	US non fouillée
180	89	12	YV0029	Remblai	Géologique	Limon argileux	Comblement naturel
181	91	13	YV0028	Remblai	Géologique	Limon argileux grisâtre	Comblement naturel
182	96	14	YV0031	Remblai	Abandon	Limon brun avec quelques inclusions de calcaire blanc millimétriques Homogène, meuble	Comblement d'un possible trou de piquet

US	Fait	Tranchée	Cadastre	Type US	Type action	Description physique	Interprétation
183	96	14	YV0031	Creusement	Construction	Interface en cuvette, bords obliques Pas d'avant trou observé	Niveau d'interface lié à la plantation d'un piquet Probable piquet «planté» et non «creusé»
184		15	YV0031	Colluvion	Géologique	Argile légèrement limoneuse brune orangée, homogène, compact	Couche géologique
185		15	YV0031	Terrain naturel	Géologique	Limon argileux brun orangé avec inclusions calcaires Ressemble à l'US 2	Couche géologique
186		16	YV0031	Terrain naturel	Géologique	Mélange de calcaire pulvérulent et de limon beige gris Ressemble à l'US 121, en encore plus dégradé	Couche géologique
187	98	16	YV0031	Remblai	Abandon	Limon sableux brun orangé avec inclusions calcaires de millimétriques à cailloux (< 5cm max) Homogène, meuble	Comblement terminal du fossé
188	98	16	YV0031	Remblai	Abandon	Sable limoneux beige mêlé à du calcaire pulvérulent avec quelques cailloux calcaires Homogène, meuble	Comblement primaire du fossé
189	98	16	YV0031	Creusement	Construction	Creusement en V à fond plat	Creusement du fossé
190	104	16	YV0031	Remblai	Abandon	Limon argileux brun orangé avec fines inclusions calcaires Homogène, assez compact	Comblement du fossé
191	104	16	YV0031	Creusement	Construction	Creusement linéaire en cuvette à bords évasés	Creusement du fossé
192	99	16	YV0031	Remblai	Abandon	Limon brun gris avec nombreuses inclusions de petits charbons de bois et quelques inclusions millimétriques calcaires	Comblement du trou de piquet
193	99	16	YV0031	Creusement	Construction	Creusement ovoïde en U	Creusement du trou de piquet
194	110	18	YV0031	Remblai	Abandon	Limon argileux brun orangé contenant de fines inclusions calcaires et ferromanganiques Homogène, compact	Comblement du fossé
195	110	18	YV0031	Remblai	Abandon	Argile brune contenant énormément de grosses inclusions et cailloux calcaires Hétérogène, très compact	Comblement fossé
196	110	18	YV0031	Creusement	Construction	Creusement linéaire en cuvette asymétrique	Creusement du fossé
197		18	YV0031	Terrain naturel	Géologique	Limon sableux brun avec nombreuses inclusions calcaires (millimétriques à centimétriques)	Couche géologique
198		18	YV0031	Terrain naturel	Géologique	Argile compact brun rouge homogène mêlé à du calcaire très fortement altéré de jaune à rouge, de texture sableuse	Couche géologique
199	130	19	YV0031	Remblai	Abandon	Limon sableux brun clair avec inclusions centimétriques de graviers siliceux, quelques inclusions millimétriques de calcaire et rares inclusions millimétriques de charbon de bois Homogène, compact	Comblement de la fosse
200	130	19	YV0031	Creusement	Construction	Creusement vu partiellement (ovoïde?), en cuvette à bords obliques	Creusement de la fosse

US	Fait	Tranchée	Cadastre	Type US	Type action	Description physique	Interprétation
201	112	19	YV0031	Remblai	Abandon	Fin limon sableux brun clair avec quelques fines inclusions calcaires	Comblement d'une plantation
202	112	19	YV0031	Creusement	Construction	Creusement ovoïde, en cuvette asymétrique	Creusement plantation
203	141	19	YV0031	Remblai	Abandon	Limon sableux brun avec graviers siliceux centimétriques Homogène, compact	Comblement plantation
204	141	19	YV0031	Creusement	Construction	Creusement ovoïde, arasé	Creusement plantation
205	121	19	YV0031	Remblai	Abandon	Limon sableux brun avec quelques inclusions de graviers siliceux centimétriques (2cm max), quelques inclusions de charbon de bois (millimétriques) et quelques gravillons siliceux (millimétriques) Homogène, compact	Comblement plantation, lié peut-être à son arrachement?
206	121	19	YV0031	Creusement	Construction	Creusement ovoïde en cuvette, arasé	Creusement plantation
207	146	19	YV0031	Remblai	Abandon	Fin limon sableux brun clair avec quelques fines inclusions calcaires Homogène, meuble	Comblement plantation
208	146	19	YV0031	Creusement	Construction	Creusement ovoïde, en cuvette asymétrique	Creusement plantation
209	107	18	YV0031	Remblai	Abandon	Limon sableux brun avec quelques graviers siliceux (2cm max) Homogène, très compact	Comblement d'un possible trou de piquet
210	107	18	YV0031	Creusement	Construction	Creusement circulaire en cuvette à bords asymétriques	Creusement d'un possible trou de piquet
211		21	YV0031	Terrain naturel	Géologique	Argile limoneuse brune avec très nombreuses inclusions calcaires (millimétriques) et très nombreuses inclusions ferromanganiques millimétriques, homogène, compact	Couche géologique
212	157	21	YV0031	Remblai	Abandon	Limon argileux brun gris avec énormément de charbon de bois et quelques très fines inclusions calcaires Homogène, très compact	Comblement du trou de poteau
213	157	21	YV0031	Creusement	Construction	Creusement circulaire, en cuvette à fond plat	Creusement du trou de poteau
214	158	21	YV0031	Remblai	Abandon	Limon sableux brun orangé avec quelques inclusions millimétriques de calcaire Homogène, compact	Comblement du fossé
215	158	21	YV0031	Creusement	Construction	Creusement linéaire en cuvette, bords évasés légèrement asymétriques	Creusement du fossé
216	159	22	YV0031	Remblai	Abandon	Limon sableux brun avec quelques inclusions de graviers et petits cailloux siliceux Homogène, compact	Comblement du fossé
217	159	22	YV0031	Creusement	Construction	Creusement linéaire, en cuvette, légèrement asymétrique	Creusement du fossé
218	162	23	YV0031	Remblai	Abandon	Niveau mêlant quelques cailloux calcaires (5cm max) à du limon brun et de la cendre grise à grise claire Homogène, meuble	Comblement du fossé

US	Fait	Tranchée	Cadastre	Type US	Type action	Description physique	Interprétation
219	162	23	YV0031	Creusement	Construction	Creusement linéaire en cuvette, bords obliques avec un léger ressaut du bord Sud-Est	Creusement du fossé
220	163	23	YV0031	Remblai	Abandon	Limons sableux brun mêlés à de nombreux graviers et cailloux siliceux Un fragment de tuile moderne Homogène, compact	Comblement du fossé
221	163	23	YV0031	Creusement	Construction	Creusement linéaire, en cuvette asymétrique	Creusement du fossé
222	161	23	YV0031	Remblai	Abandon	Limons sableux brun foncé à noir avec nombreuses inclusions de graviers siliceux et rares cailloux calcaires (environ 10cm max) Homogène, compact	Comblement du fossé
223	161	23	YV0031	Creusement	Construction	Creusement linéaire en cuvette, bords obliques	Creusement du fossé
224	164	23	YV0031	Remblai	Abandon	Limons légèrement argileux brun avec inclusions de graviers siliceux (2cm max) et quelques très fines inclusions millimétriques calcaires Homogène, compact	Comblement du fossé
225	164	23	YV0031	Creusement	Construction	Creusement linéaire, en cuvette à bords obliques	Creusement du fossé
226	170	24	YV0031	Remblai	Abandon	Limons sableux brun avec inclusions millimétriques calcaires et quelques graviers siliceux centimétriques Homogène, compact	Comblement du fossé
227	170	24	YV0031	Creusement	Construction	Creusement linéaire, en cuvette à fond plat, bords obliques avec ressauts	Creusement du fossé
228	173	24	YV0031	Remblai	Abandon	Limons sableux brun clair avec petites inclusions millimétriques de TC et de calcaire, graviers siliceux Homogène, compact	Comblement du fossé
229	173	24	YV0031	Creusement	Construction	Creusement linéaire, en cuvette, bords obliques	Creusement du fossé
230	174	24	YV0031	Remblai	Abandon	Limons argileux brun avec inclusions centimétriques de calcaires, inclusions ferromanganiques Homogène, compact	Comblement du fossé
231	174	24	YV0031	Creusement	Construction	Creusement linéaire, en cuvette, bords obliques	Creusement du fossé
232		24	YV0031	Terrain naturel	Géologique	Argile grise très plastique avec nombreuses inclusions ferromanganiques millimétriques	Couche géologique
233	169	25	YV0031	Remblai	Abandon	Sable limoneux beige à brun contenant quelques inclusions ferromanganiques et quelques inclusions calcaires et siliceuses millimétriques Homogène, meuble	Comblement du fossé
234	169	25	YV0031	Creusement	Construction	Creusement linéaire en cuvette	Creusement du fossé
235	168	25	YV0031	Remblai	Abandon	Sable limoneux brun clair avec quelques fines inclusions calcaires et siliceuses, graviers calcaires en fond Homogène et compact	Comblement du fossé
236	168	25	YV0031	Creusement	Construction	Creusement linéaire, en cuvette asymétrique	Creusement du fossé

US	Fait	Tranchée	Cadastre	Type US	Type action	Description physique	Interprétation
237	175	26	YV0031	Remblai	Abandon	Cailloux siliceux avec du calcaire très dégradé jaunes par poches Hétérogène et meuble	Comblement du fossé dû à son abandon ou à son utilisation si c'est un drain
238	175	26	YV0031	Remblai	Abandon	Limon sableux brun à brun foncé mêlé à de très nombreux gravillons siliceux et quelques cailloux calcaires (moins de 5cm) Au Sud-Ouest, poches de cailloutis siliceux plus nombreux Homogène, légèrement compact	Comblement du fossé dû à son abandon ou son utilisation si c'est un drain
239	175	26	YV0031	Creusement	Construction	Creusement linéaire, en cuvette, bords évasés	Creusement du fossé
240	171	26	YV0031	Remblai	Abandon	Limon brun mêlé à des cailloux siliceux Homogène, compact	Comblement du fossé
241	171	26	YV0031	Creusement	Construction	Creusement linéaire, en cuvette	Creusement du fossé
242	176	26	YV0031	Remblai	Abandon	Limon sableux brun foncé avec nombreuses inclusions millimétriques calcaires, gravillons siliceux, quelques cailloux calcaires (10cm max) Homogène, meuble	Comblement de la fosse
243	176	26	YV0031	Remblai	Abandon	Niveau hétérogène composé de poches importantes d'argile brune à grise avec quelques poches limoneuses brunes, le tout mêlé à des cailloux calcaires et siliceux lités en cuvette (20cm max) Hétérogène, compact	Comblement de la fosse
244	176	26	YV0031	Remblai	Abandon	Idem US 243 (poches d'argile brune à grise et poches limoneuses brunes) mais un peu plus chargé en inclusions et cailloux calcaires et siliceux Hétérogène, compact	Comblement de la fosse
245	176	26	YV0031	Remblai	Abandon	Fin niveau de limon sableux brun foncé avec nombreux graviers et petits cailloux calcaires et siliceux (3cm max) Homogène, meuble	Comblement de la fosse peut-être issu d'un léger effondrement de paroi
246	176	26	YV0031	Remblai	Abandon	Idem US 243 et 244 (poches d'argile brune à grise et poches limoneuses brunes) mais avec plus de gros cailloux calcaires et siliceux Hétérogène, compact	Comblement de la fosse
247	176	26	YV0031	Remblai	Abandon	Argile très plastique brune foncée avec très rares inclusions ferromanganiques Homogène, compact	Comblement de la fosse, peut-être formé naturellement par stagnation d'eau ou ouverture à l'air libre pendant un certain temps
248	176	26	YV0031	Creusement	Construction	Creusement oblong, en cuvette, bords obliques	Creusement de la fosse
249	177	28	YV0031	Remblai	Abandon	Limon sableux brun foncé avec nombreuses inclusions de graviers siliceux et calcaires (2cm max) Homogène, meuble	Comblement du fossé
250	177	28	YV0031	Creusement	Construction	Creusement linéaire, en cuvette irrégulière, bords évasés	Creusement du fossé

US	Fait	Tranchée	Cadastre	Type US	Type action	Description physique	Interprétation
251	178	28	YV0027	Remblai	Abandon	Limon argileux brun avec de très nombreuses inclusions centimétriques calcaires et siliceuses Homogène, plutôt meuble	Comblement du fossé
252	178	28	YV0027	Remblai	Abandon	Limon brun gris avec inclusions de graviers et cailloux calcaires (5cm max) Homogène, meuble	Comblement du fossé
253	178	28	YV0027	Creusement	Construction	Creusement linéaire, en cuvette, bords asymétriques plus ou moins obliques	Creusement du fossé
254	189	32	YV0031	Remblai	Abandon	Limon argileux brun avec rares inclusions calcaires Homogène, compact	Comblement de la fosse
255	189	32	YV0031	Creusement	Construction	Creusement circulaire, fond plat, bords asymétriques	Creusement de la fosse
256	188	32	YV0031	Remblai	Abandon	Limon argileux brun foncé avec très fines inclusions de charbon de bois et rares inclusions calcaires millimétriques Homogène, compact	Comblement du fossé
257	188	32	YV0031	Creusement	Construction	Creusement linéaire, en cuvette, bords évasés légèrement asymétriques	Creusement du fossé
258	186	32	YV0027	Remblai	Abandon	Limon sableux brun avec inclusions de charbon de bois et quelques fines inclusions calcaires Homogène, compact	Comblement plantation
259	186	32	YV0027	Creusement	Construction	Creusement ovoïde en cuvette, bords asymétriques	Creusement plantation
260	185	32	YV0027	Remblai	Géologique	Limon sableux brun avec très nombreux cailloux calcaires La partie Nord est plus argileuse et comporte moins d'inclusions calcaires Hétérogène, meuble	Comblement naturel
261	180	29	YV0031	Remblai	Abandon	Limon sableux brun clair mêlé à de très nombreuses inclusions calcaires (millimétriques et centimétriques) et plus rares graviers siliceux, très rares charbon de bois, quelques poches de limon brun foncé Hétérogène, compact Fortement perturbé par un gros terrier	Comblement de la fosse
262	180	29	YV0031	Remblai	Abandon	Idem US 261 avec des poches argileuses orangées jaunes Très hétérogène, compact	Comblement de la fosse
263	180	29	YV0031	Remblai	Abandon	Idem US 261 mais plus gris en partie haute et plus chargé en calcaire dans le fond Hétérogène, compact	Comblement de la fosse
264	180	29	YV0031	Remblai	Abandon	Litages de couches alternant du limon brun chargé en calcaire et calcaire remanié Hétérogène, compact	Comblement de la fosse
265	180	29	YV0031	Creusement	Construction	Creusement en auge, bords très légèrement évasés	Creusement de la fosse

US	Fait	Tranchée	Cadastre	Type US	Type action	Description physique	Interprétation
266	184	31	YV0027	Remblai	Abandon	Limon brun sableux avec très nombreuses inclusions de graviers et cailloux calcaires, graviers siliceux et rares poches de calcaire dégradé Plutôt hétérogène, compact Comblement similaire à celui de F.183 (US 960)	Comblement de la fosse
267	184	31	YV0027	Creusement	Construction	Creusement ovoïde, en auge mais avec fond très irrégulier	Creusement de la fosse
268	179	30	YV0027	Remblai	Abandon	Limon sableux brun foncé avec nombreuses inclusions de graviers calcaires et siliceux et des cailloux calcaires (moins de 6cm) Homogène, compact	Comblement de la fosse
269	179	30	YV0027	Creusement	Construction	Creusement linéaire, en cuvette irrégulière, bords obliques, peu évasés	Creusement de la fosse
270	167	24	YV0031	Remblai	Abandon	En partie supérieure: Limon sableux brun clair avec nombreuses inclusions de TC ou torchis chauffés En partie inférieure: Limon sableux brun clair sans TC/torchis mais avec de nombreuses inclusions millimétriques de charbon de bois Homogène, compact	Comblement de la fosse Peut-être le rejet d'un foyer ou structure de combustion
271	167	24	YV0031	Remblai	Abandon	Limon sableux gris jaune avec nombreuses inclusions ferromanganiques, quelques graviers siliceux et calcaires Homogène, assez compact	Comblement de la fosse
272	167	24	YV0031	Remblai	Abandon	Limon sableux beige à gris avec inclusions de cailloux siliceux et des inclusions ferromanganiques millimétriques à centimétriques Présence de quelques poches importantes argileuses orangées Hétérogène, compact	Comblement de la fosse
273	167	24	YV0031	Remblai	Abandon	Argile limoneuse orange avec de nombreuses inclusions millimétriques ferromanganiques et calcaires Homogène, très compact	Comblement de la fosse
274	167	24	YV0031	Remblai	Abandon	Idem US 272: Limon sableux beige à gris avec inclusions de cailloux siliceux et des inclusions ferromanganiques millimétriques à centimétriques Présence de quelques poches importantes argileuses orangées Hétérogène, compact	Comblement de la fosse
275	167	24	YV0031	Remblai	Abandon	Argile limoneuse grise orangée avec inclusions millimétriques ferromanganiques et quelques petits cailloux siliceux Homogène, compact	Comblement de la fosse

US	Fait	Tranchée	Cadastre	Type US	Type action	Description physique	Interprétation
276	167	24	YV0031	Remblai	Abandon	Idem US 274: Limon sableux beige à gris avec inclusions de cailloux siliceux et des inclusions ferromanganiques millimétriques à centimétriques Présence de quelques poches importantes argileuses orangées Hétérogène, compact	Comblement de la fosse
277	167	24	YV0031	Remblai	Abandon	Argile très légèrement limoneuse avec inclusions nombreuses de graviers siliceux et inclusions millimétriques ferromanganiques Homogène, compact	Comblement de la fosse
278	167	24	YV0031	Remblai	Abandon	Argile limoneuse jaune grise avec très nombreuses inclusions millimétriques ferromanganiques et quelques inclusions millimétriques calcaires, poches limoneuses Plutôt hétérogène, compact	Comblement de la fosse
279	167	24	YV0031	Remblai	Abandon	Limon argileux gris avec inclusions ferromanganiques et petits graviers siliceux Homogène, compact	Comblement de la fosse
280	167	24	YV0031	Creusement	Construction	Creusement ovoïde en cuvette à fond plat, bords obliques, un ressaut en partie sud, peut-être signe d'un recreusement (?)	Creusement de la fosse
281	214	23	YV0031	Remblai	Abandon	Argile peu limoneuse grise Homogène, compact	Comblement de la structure de combustion
282	214	23	YV0031	Remblai	Occupation	Argile grise mêlée à des restes importants de charbon de bois (notamment sous forme de «branchettes») et de TC rosâtre sous forme de «billes» irrégulières centimétriques Homogène, compact	Comblement formé par les restes des éléments de combustion?
283	214	23	YV0031	Interface	Occupation	Légère rubéfaction du niveau supérieur de l'US 284	Interface
284	165	23	YV0031	Remblai	Abandon	Argile peu limoneuse brune grise Homogène, très compact	Comblement de la fosse
285	165	23	YV0031	Creusement	Construction	Creusement ovoïde, en cuvette irrégulière, bords évasés	Creusement de la fosse
286	190	33	YV0039	Remblai	Abandon	Limon sableux brun beige avec nombreuses inclusions centimétriques siliceuses et calcaires et quelques traces ferromanganiques Homogène, assez compact	Comblement du fossé
287	190	33	YV0039	Remblai	Abandon	Très nombreux cailloux calcaires dans une matrice de limon sableux brun clair Homogène et meuble	Comblement du fossé Dans l'hypothèse d'un drain, US issu de l'utilisation, le lit de cailloux installés assurant le drainage
288	190	33	YV0039	Remblai	Abandon	Limon sableux brun beige avec nombreuses inclusions centimétriques siliceuses et calcaires et quelques traces ferromanganiques Homogène, meuble Plus sableux que l'US 286	Comblement du fossé Us formée peut-être par dépôt dû au passage de l'eau (?)

US	Fait	Tranchée	Cadastre	Type US	Type action	Description physique	Interprétation
289	190	33	YV0039	Creusement	Construction	Creusement linéaire, en cuvette, bords obliques avec un léger ressaut	Creusement du fossé
290	191	33	YV0039	Remblai	Abandon	Limon légèrement argileux brun beige avec inclusions calcaires et siliceuses centimétriques Homogène et assez meuble	Comblement du fossé
291	191	33	YV0039	Remblai	Abandon	Limon brun gris avec inclusions de quelques graviers calcaires et siliceux Homogène, assez meuble	Comblement du fossé
292	191	33	YV0039	Creusement	Construction	Creusement linéaire, en cuvette	Creusement du fossé
293	193	33	YV0039	Remblai	Abandon	Nombreux cailloux siliceux dans une matrice de limon sableux beige Homogène, meuble	Comblement du fossé
294	193	33	YV0039	Creusement	Construction	Creusement linéaire, en cuvette, bords évasés	Creusement du fossé
295	217	36	YV0039	Remblai	Abandon	Limon plutôt sableux brun gris avec inclusions de petits cailloux siliceux et calcaires, quelques traces millimétriques d'oxydation rougeâtre Homogène, compact	Comblement plantation
296	217	36	YV0039	Creusement	Construction	Creusement ovoïde, en cuvette, bords obliques	Creusement plantation
297		33	YV0041	Terrain naturel	Géologique	Argile à silex grise contenant de très nombreux graviers calcaires et siliceux Homogène et plastique	Couche géologique
298	219	36	YV0039	Remblai	Abandon	Limon plutôt sableux brun foncé avec quelques inclusions millimétriques calcaires et rares gravillons millimétriques siliceux Homogène, compact	Comblement plantation
299	219	36	YV0039	Creusement	Construction	Creusement ovoïde irrégulier, en cuvette, fond plat, bords obliques légèrement asymétriques	Creusement plantation
300	218	36	YV0039	Remblai	Abandon	Limon argileux brun avec quelques inclusions éparses de calcaire	Comblement plantation
301	218	36	YV0039	Creusement	Construction	Creusement ovoïde, irrégulier, en cuvette irrégulière, arasé	Creusement plantation
302	212	34	YV0039	Remblai	Abandon	Limon sableux brun gris avec des inclusions éparses de graviers siliceux et un caillou siliceux présent (10cm), quelques traces d'oxydation orangée Homogène, meuble	Comblement du fossé
303	212	34	YV0039	Creusement	Construction	Creusement linéaire, en cuvette, bords évasés, fond légèrement irrégulier	Creusement du fossé
304	210	34	YV0039	Remblai	Abandon	Limon sableux brun avec inclusions de graviers et petits cailloux calcaires et siliceux (5cm max) Homogène, meuble	Comblement du fossé
305	210	34	YV0039	Creusement	Construction	Creusement linéaire, en cuvette, légèrement asymétrique	Creusement du fossé

US	Fait	Tranchée	Cadastre	Type US	Type action	Description physique	Interprétation
306	208	34	YV0039	Remblai	Abandon	Limon sableux brun gris avec inclusions millimétriques de limon sableux orangé, quelques inclusions de gravillons et petits cailloux siliceux (5cm max), inclusions ferromanganiques noires	Comblement de la fosse
307	208	34	YV0039	Creusement	Construction	Creusement ovoïde, arasé	Creusement de la fosse
308	209	34	YV0039	Remblai	Abandon	Limon sableux brun avec quelques inclusions millimétriques siliceuses et calcaires, rares cailloux siliceux et calcaires (10cm max) Homogène, meuble	Comblement du fossé
309	209	34	YV0039	Creusement	Construction	Creusement linéaire, en cuvette légèrement irrégulière, bords évasés	Creusement du fossé
310	205	34	YV0039	Remblai	Abandon	Limon plutôt sableux brun foncé gris avec rares inclusions calcaires millimétriques et rares inclusions argileuses brunes claires Fond avec peut-être traces d'oxydation dû à une stagnation d'eau Homogène, meuble	Comblement plantation
311	205	34	YV0039	Creusement	Construction	Creusement circulaire, arasé, fond plutôt irrégulier	Creusement plantation
312	200	34	YV0039	Remblai	Abandon	Limon plutôt sableux brun foncé gris avec quelques inclusions millimétriques calcaires et siliceuses et quelques petits cailloux siliceux (5cm max) Homogène, meuble	Comblement plantation
313	200	34	YV0039	Creusement	Construction	Creusement ovoïde irrégulier, arasé, à priori en cuvette	Creusement plantation
314	197	34	YV0039	Remblai	Abandon	Limon plutôt sableux brun foncé gris avec inclusions millimétriques calcaires et siliceuses, quelques cailloux siliceux (moins de 5cm en général avec rares éléments de 15 cm max) et très rares cailloux calcaires «roulés» (5cm max) Homogène, meuble	Comblement plantation
315	197	34	YV0039	Creusement	Construction	Creusement circulaire, arasé (cuvette irrégulière)	Creusement plantation
316	196	34	YV0039	Remblai	Abandon	Limon plutôt sableux brun foncé gris avec quelques inclusions calcaires (dont certaines «roulées») et siliceuses, très rares inclusions ferromanganiques rougeâtres Homogène, meuble	Comblement plantation
317	196	34	YV0039	Creusement	Construction	Creusement ovoïde, arasé (en cuvette, bords obliques?)	Creusement plantation
318	195	34	YV0041	Remblai	Abandon	Limon sableux brun foncé avec inclusions de gravillons à petits cailloux siliceux et quelques uns calcaires (5cm max), rares inclusions millimétriques ferromanganiques dans le fond	Comblement du fossé
319	195	34	YV0041	Creusement	Construction	Creusement linéaire, en cuvette, fond plat, bords obliques	Creusement du fossé

US	Fait	Tranchée	Cadastre	Type US	Type action	Description physique	Interprétation
320	220	34	YV0039	Remblai	Abandon	Limon sableux brun à brun foncé avec, notamment en partie basse, nombreux graviers et cailloux	Comblement du fossé
321	220	34	YV0039	Creusement	Construction	Creusement linéaire, en cuvette, bords obliques	Creusement du fossé
322	215	36	YV0039	Remblai	Abandon	Limon sableux brun foncé avec nombreuses inclusions de graviers et petits cailloux siliceux (inférieur à 5cm) et parfois calcaires Homogène, compact	Comblement du fossé
323	215	36	YV0039	Creusement	Construction	Creusement linéaire, en cuvette, bords évasés	Creusement du fossé
324	222	37	YV0039	Remblai	Abandon	Limon sableux brun foncé, presque noir, avec quelques inclusions de gravillons siliceux et calcaires Homogène, plutôt meuble	Comblement plantation
325	222	37	YV0039	Creusement	Construction	Creusement ovoïde, en cuvette irrégulière, bords obliques légèrement asymétriques	Creusement plantation
326	226	39	YV0039	Remblai	Abandon	Limon brun jaune avec de rares inclusions calcaires Homogène, compact	Comblement du fossé
327	226	39	YV0039	Remblai	Abandon	Limon brun jaune mêlé à des poches calcaires plus ou moins pulvérulents Homogène, compact	Comblement du fossé, probable effondrement de paroi
328	226	39	YV0039	Remblai	Abandon	Limon brun jaune avec de nombreuses inclusions de calcaires Homogène, compact	Comblement du fossé
329	226	39	YV0039	Creusement	Construction	Creusement linéaire, en cuvette, bords obliques	Creusement du fossé
330	225	39	YV0039	Remblai	Abandon	Limon plutôt sableux brun foncé gris avec nombreuses inclusions éparées de graviers et petits cailloux siliceux et calcaires (5cm max) Plutôt homogène, compact	Comblement du fossé
331	225	39	YV0039	Remblai	Abandon	Argile limoneuse brune foncée grise avec de très nombreuses inclusions de graviers calcaires et siliceux, notamment en partie basse Homogène, compact	Comblement du fossé
332	225	39	YV0039	Creusement	Construction	Creusement linéaire, en cuvette, bords obliques	Creusement du fossé
333		39	YV0041	Terrain naturel	Géologique	Calcaire dur en bloc avec fracturation linéaire et débitage en feuillet et/ou plaques et blocs	Couche géologique
334	230	39	YV0041	Remblai	Abandon	Limon sableux brun gris mêlé à des graviers et cailloux calcaires ainsi que du calcaire pulvérulent et délité, quelques rares poches limoneuses brunes Homogène, compact	Comblement de la fosse
335	230	39	YV0041	Creusement	Construction	Creusement ovoïde, irrégulier, en cuvette, fond très irrégulier, bords évasés, globalement arasé	Creusement de la fosse

US	Fait	Tranchée	Cadastre	Type US	Type action	Description physique	Interprétation
336	229	39	YV0041	Négatif	Abandon	Limon argileux brun avec quelques inclusions de gravillons calcaires Homogène, compact	Comblement du négatif du poteau
337	233	39	YV0041	Remblai	Abandon	Limon sableux brun avec quelques inclusions centimétriques calcaires Homogène, compact	Comblement de la fosse
338	233	39	YV0041	Remblai	Abandon	Limon sableux brun gris mêlé à des graviers et cailloux calcaires (inférieur à 5cm), calcaire pulvérulent et délité Homogène, compact	Comblement de la fosse
339	233	39	YV0041	Creusement	Construction	Creusement ovoïde, irrégulier, en cuvette, fond très irrégulier, bords évasés, globalement arasé	Creusement de la fosse
340	229	39	YV0041	Remblai	Construction	Limon argileux brun avec quelques inclusions calcaires, plus «aéré» que l'US 336 Homogène, compact	Comblement de «l'avant trou» du poteau
341	229	39	YV0041	Creusement	Construction	Creusement circulaire en auge irrégulière (présence d'un léger creusement en sape au Sud-Est)	Creusement du trou de poteau
342	228	39	YV0041	Négatif	Abandon	Limon argileux brun mêlé à une quantité importante de TC/torchis Homogène, compact	Comblement du négatif du poteau
343	228	39	YV0041	Remblai	Construction	Limon argileux gris avec de très nombreuses inclusions de calcaire marneux Homogène, compact	Comblement de «l'avant trou» du poteau
344	228	39	YV0041	Creusement	Construction	Creusement circulaire en auge	Creusement du poteau
345	234	38	YV0039	Remblai	Abandon	Limon sableux brun foncé avec nombreuses inclusions de graviers siliceux (inférieur à 2cm) et rares inclusions ferromanganiques rougeâtres Homogène, compact	Comblement du fossé
346	234	38	YV0039	Remblai	Abandon	Limon argileux brun foncé chargé en graviers siliceux (4cm max) Homogène, compact	Comblement du fossé
347	234	38	YV0039	Creusement	Construction	Creusement linéaire, en cuvette, bords obliques, légèrement asymétriques	Creusement du fossé
348	224	38	YV0039	Remblai	Abandon	Limon plutôt sableux brun avec peu d'inclusions de graviers calcaires et siliceux (2cm max) Homogène, compact	Comblement de la fosse
349	224	38	YV0039	Creusement	Construction	Creusement ovoïde, arasé, fond irrégulier	Creusement de la fosse
350	238	40	YV0040	Remblai	Abandon	Limon argileux brun avec quelques petits cailloux calcaires, très ressemblante à la couche directement sous la végétale (US1) Homogène, compact	Comblement de la fosse
351	238	40	YV0040	Remblai	Abandon	Argile brune avec quelques petits cailloux calcaires, peu différenciée de US350 mais plus compacte Homogène, compact	Comblement de la fosse

US	Fait	Tranchée	Cadastre	Type US	Type action	Description physique	Interprétation
352	238	40	YV0040	Remblai	Abandon	Dépôt progressif de limon gris brun plus foncé que les US 350 et 351, avec litage de calcaire blanc pulvérulent	Comblement de la fosse
353	238	40	YV0040	Remblai	Abandon	Limon gris clair rosâtre mêlé à du TN calcaire rouge	Comblement de la fosse
354	255	27	YV0031	Remblai	Abandon	Limon argileux brun avec nombreux cailloux calcaires et siliceux Homogène, compact	Comblement du drain issu de son abandon ou de son utilisation
355	255	27	YV0031	Creusement	Construction	Creusement linéaire, arasé, fond plat	Creusement du drain
356	176	27	YV0031	Remblai	Abandon	Calcaire dégradé avec des cailloux siliceux (silex) Homogène, meuble	Comblement de la fosse
357	176	27	YV0031	Remblai	Abandon	Cailloutis calcaire dans une matrice d'argile orange grise Homogène, très compact	Comblement de la fosse
358	176	27	YV0031	Remblai	Abandon	Argile «tigrée» orange et grise avec des nodules calcaires (millimétriques et centimétriques) Homogène, compact	Comblement de la fosse
359	176	27	YV0031	Remblai	Abandon	Argile très plastique brune foncée avec très rares inclusions ferromanganiques Homogène, compact	Comblement de la fosse
360	238	40	YV0040	Creusement	Construction	Creusement irrégulier, en cuvette très asymétrique	Creusement de la fosse
361	236	40	YV0041	Remblai	Abandon	Limon brun avec fines inclusions calcaires millimétriques Homogène, assez compact	Comblement du fossé
362	236	40	YV0041	Remblai	Abandon	Argile limoneuse brun gris contenant énormément d'inclusions et poches calcaires Assez hétérogène, compact	Comblement du fossé
363	236	40	YV0041	Remblai	Abandon	Argile beige à grise contenant de fines inclusions calcaires et quelques inclusions ferromanganiques Homogène, compact	Comblement du fossé
364	236	40	YV0041	Creusement	Construction	Creusement linéaire, en cuvette, fond plat, bords obliques	Creusement du fossé
365	256	39	YV0041	Négatif	Abandon	Limon sableux brun foncé avec quelques inclusions de calcaire pulvérulent, rares graviers siliceux (millimétriques), quelques inclusions centimétriques de charbon de bois et quelques importants fragments de TC brûlé (TC?, torchis?) Homogène, compact Négatif: 15cm de large	Comblement du négatif du poteau
366	256	39	YV0041	Remblai	Construction	Limon sableux brun gris avec nombreuses inclusions millimétriques de calcaire pulvérulent et quelques gravillons calcaires et siliceux Homogène, compact	Comblement de «l'avant trou» du poteau
367	256	39	YV0041	Creusement	Construction	Creusement à priori ovoïde, en auge, fond en légère pente	Creusement du trou de poteau

US	Fait	Tranchée	Cadastre	Type US	Type action	Description physique	Interprétation
368	267	39	YV0041	Remblai	Abandon	Limons argileux brun avec nombreuses inclusions millimétriques calcaires Homogène, assez compact	Comblement du trou de poteau
369	267	39	YV0041	Creusement	Construction	Creusement circulaire, arasé, fond relativement plat	Creusement du trou de poteau
370	266	39	YV0041	Remblai	Abandon	Limons argileux brun avec fines inclusions calcaires millimétriques Homogène, compact	Comblement du trou de poteau
371	266	39	YV0041	Remblai	Abandon	Argile grise mêlée à de très nombreuses fines inclusions calcaires	Comblement du trou de poteau
372	266	39	YV0041	Creusement	Construction	Creusement circulaire, en auge, fond plat	Creusement du trou de poteau
373	257	39	YV0041	Négatif	Abandon	Limons argileux brun clair comportant énormément de torchis brûlé et de fragments de charbon de bois (millimétriques à centimétriques) Homogène, compact	Comblement du négatif du trou de poteau
374	257	39	YV0041	Remblai	Construction	Limons argileux brun avec énormément d'inclusions calcaires millimétriques Homogène, compact	Comblement de «l'avant trou» du poteau
375	257	39	YV0041	Creusement	Construction	Creusement circulaire, en auge, fond plat	Creusement du trou de poteau
376	270	39	YV0041	Négatif	Abandon	Limons sableux brun avec quelques inclusions millimétriques calcaires et quelques poches d'argile brune Plutôt homogène, compact Négatif: 12cm de large en restitué	Comblement du négatif du poteau
377	270	39	YV0041	Remblai	Construction	Limons sableux brun mêlé à des poches plus ou moins importantes de calcaire pulvérulent et d'éléments siliceux millimétriques Plutôt hétérogène, compact	Comblement de «l'avant trou» du poteau
378	270	39	YV0041	Creusement	Construction	Creusement ovoïde, en cuvette, très irrégulier et/ou fortement perturbé par un phénomène indéterminé Le creusement semble partir en sape Est-il réellement anthropique? Selon le contexte, a priori oui (forme un plan cohérent avec les autres poteaux)	Creusement du trou de poteau
379	262	39	YV0041	Négatif	Abandon	Limons sableux brun avec rares inclusions millimétriques de calcaire pulvérulent, rares inclusions siliceuses (millimétriques) Localement, traces d'argile brûlée (ou torchis) et rares inclusions ferromanganiques. Peut-être quelques traces cendreuses localement (sable très très fin blanc «laiteux») Le négatif s'empâte vers le fond peut-être dû à un phénomène taphonomique du poteau avec des poches latérales plus chargées en calcaire Plutôt homogène, compact Négatif: 30cm de large	Comblement du négatif du poteau

US	Fait	Tranchée	Cadastre	Type US	Type action	Description physique	Interprétation
380	262	39	YV0041	Remblai	Construction	Calcaire pulvérulent mêlé à des inclusions de limon sableux brun Homogène, meuble	Comblement de «l'avant trou» du poteau
381	262	39	YV0041	Creusement	Construction	Creusement circulaire, en auge, fond plat	Creusement du trou de poteau
382	261	39	YV0041	Remblai	Abandon	Limon argileux brun foncé avec nombreuses fines inclusions éparses de charbon de bois et très petits fragments de torchis brûlés. La partie inférieure de la couche comporte moins de torchis et de fines inclusions calcaires	Comblement du trou de piquet
383	261	39	YV0041	Creusement	Construction	Creusement circulaire, en cuvette avec un surcreusement en partie centrale, bords droits	Creusement du trou de piquet
384	258	39	YV0041	Négatif	Abandon	Limon sableux brun foncé à noir avec quelques inclusions millimétriques de calcaire pulvérulent mêlé à de très nombreux fragments (10cm max) de torchis plus ou moins brûlé et portant pour certains des traces de clayonnage Homogène, compact Négatif: 36cm de large	Comblement du négatif du trou de poteau
385	258	39	YV0041	Remblai	Construction	Limon sableux brun mêlé à du calcaire pulvérulent et rares cailloux calcaires (15cm max) Homogène, compact	Comblement de «l'avant trou» du poteau
386	258	39	YV0041	Creusement	Construction	Creusement circulaire, en auge, fond plat	Creusement du trou de poteau
387	260	39	YV0041	Négatif	Abandon	Limon argileux brun avec nombreuses inclusions de torchis brûlé, charbon de bois et quelques fines inclusions calcaires Homogène, compact	Comblement du négatif du poteau
388	260	39	YV0041	Remblai	Construction	Limon argileux brun gris avec énormément de fines inclusions calcaires Homogène, compact	Comblement de «l'avant trou» du poteau
389	260	39	YV0041	Creusement	Construction	Creusement circulaire, en cuvette, bords droits	Creusement du trou de poteau
390	275	41	YV0041	Négatif	Abandon	Sable limoneux lié à un calcaire pulvérulent brun beige Homogène, meuble	Comblement du négatif du poteau
391	275	41	YV0041	Creusement	Construction	Creusement circulaire, en auge, fond plat	Creusement du trou de poteau
392	249	41	YV0041	Négatif	Abandon	Sable limoneux brun gris mêlé à des poches de calcaire pulvérulent et quelques cailloux calcaires (inférieur à 3cm) Plutôt homogène, meuble	Comblement du négatif du poteau
393	249	41	YV0041	Creusement	Construction	Creusement circulaire, en cuvette, bords droits	Creusement du trou de poteau
394	247	41	YV0039	Remblai	Abandon	Argile légèrement limoneuse brune avec fines inclusions calcaires et peut-être de grès Homogène, compact	Comblement du fossé

US	Fait	Tranchée	Cadastre	Type US	Type action	Description physique	Interprétation
395	247	41	YV0039	Remblai	Abandon	Argile grise brune avec nombreuses inclusions millimétriques calcaires Homogène, compact Ressemble à l'US 9	Comblement du fossé
396	247	41	YV0039	Creusement	Construction	Creusement linéaire, en cuvette asymétrique	Creusement du fossé
397	246	41	YV0039	Remblai	Abandon	Argile limoneuse brune avec rares fines inclusions siliceuses Homogène, compact	Comblement du trou de poteau
398	246	41	YV0039	Creusement	Construction	Creusement ovoïde, arasé, à priori en cuvette	Creusement du trou de poteau
399	245	41	YV0039	Remblai	Abandon	Argile limoneuse brune avec quelques très fines inclusions siliceuses et calcaires Homogène, compact	Comblement du trou de poteau
400	245	41	YV0039	Creusement	Construction	Creusement circulaire, arasé, à priori en cuvette, bords évasés	Creusement du trou de poteau
401	244	41	YV0039	Remblai	Abandon	Argile peu limoneuse brune foncée avec inclusions millimétriques siliceuses, quelques petits cailloux siliceux et calcaires, rares traces ferromagnétiques Plutôt homogène, très compact	Comblement de la fosse
402	244	41	YV0039	Creusement	Construction	Creusement ovoïde, en cuvette irrégulière, légèrement asymétrique	Creusement de la fosse
403	243	41	YV0039	Remblai	Abandon	Limon argileux brun foncé avec quelques fines inclusions calcaires et quelques inclusions siliceuses Homogène, compact	Comblement du fossé
404	243	41	YV0039	Remblai	Abandon	Argile légèrement limoneuse avec nombreuses inclusions de graviers siliceux et inclusions calcaires (0,5 à 1cm max) Homogène, très compact	Comblement du fossé
405	243	41	YV0039	Creusement	Construction	Creusement linéaire, en cuvette, fond plat, bords obliques	Creusement du fossé
406	285	48	YV0042	Remblai	Abandon	Limon argileux brun avec inclusions centimétriques calcaires (jusqu'à 10cm) Homogène, compact	Comblement du fossé
407	285	48	YV0042	Remblai	Abandon	Limon brun gris avec énormément d'inclusions millimétriques à centimétriques calcaires, groupées en poches Hétérogène, assez compact	Comblement du fossé
408	285	48	YV0042	Remblai	Abandon	Idem US406: Limon argileux brun avec inclusions centimétriques calcaires (jusqu'à 10cm) Homogène, compact	Comblement du fossé
409	285	48	YV0042	Remblai	Abandon	Idem US407 (Limon brun gris avec énormément d'inclusions millimétriques à centimétriques calcaires, groupées en poches) mais en plus argileux et gris Hétérogène, assez compact	Comblement du fossé
410	285	48	YV0042	Creusement	Construction	Creusement linéaire, en cuvette, bords évasés	Creusement du fossé

US	Fait	Tranchée	Cadastre	Type US	Type action	Description physique	Interprétation
411	254	42	YV0041	Remblai	Abandon	Limon sableux brun avec nombreuses inclusions millimétriques de gravillons calcaires et quelques petits cailloux centimétriques calcaires, quelques poches éparses de calcaire pulvérulent et de limon plus grisâtre, notamment dans le fond Plutôt hétérogène, compact	Comblement de la fosse
412	254	42	YV0041	Creusement	Construction	Creusement irrégulier, en cuvette asymétrique, fond irrégulier	Creusement de la fosse
413	253	42	YV0041	Remblai	Abandon	Argile limoneuse avec très nombreuses inclusions de gravillons calcaires et quelques charbon de bois Homogène, compact	Comblement du trou de poteau
414	253	42	YV0041	Creusement	Construction	Creusement circulaire, d'apparence irrégulière très certainement à cause de la nature compacte et s'enlevant en plaque du substrat	Creusement du trou de poteau
415		42	YV0041	Terrain naturel	Géologique	Niveau de calcaire pulvérulent mêlé à du limon sableux brun gris	Couche géologique peut-être lié à des phénomènes de gélifraction
416	263	42	YV0041	Remblai	Abandon	Limon argileux brun foncé avec des inclusions millimétriques de gravillons siliceux, de charbon de bois et de TC pulvérulente Plutôt, meuble Niveau assez «organique»	Comblement du fossé
417	263	42	YV0041	Remblai	Abandon	Limon argileux brun gris mêlé à des inclusions de gravillons calcaires (millimétriques à centimétriques), gravillons siliceux, quelques coquilles d'escargots Homogène, compact	Comblement du fossé
418	263	42	YV0041	Remblai	Abandon	Idem US417 (Limon argileux brun gris mêlé à des inclusions de gravillons calcaires) avec moins de calcaire et plus de gravillons siliceux Homogène, compact	Comblement du fossé
419	263	42	YV0041	Remblai	Abandon	Idem US417 (Limon argileux brun gris mêlé à des inclusions de gravillons calcaires) mais très fortement chargé en éléments calcaires (jusqu'à 5cm max) Plutôt hétérogène (brassé), compact	Comblement du fossé
420	263	42	YV0041	Remblai	Abandon	Niveau hétérogène de poches limoneuses brunes grises et de calcaire pulvérulent à petits cailloux calcaires Niveau «lité» par effet de gravité	Comblement du fossé
421	263	42	YV0041	Creusement	Construction	Creusement linéaire, en cuvette, bords obliques avec un léger ressaut en partie haute où le bords sévasent	Creusement du fossé

US	Fait	Tranchée	Cadastre	Type US	Type action	Description physique	Interprétation
422	280	48	YV0042	Remblai	Abandon	Limon argileux brun avec fragments de TCA, céramique et torchis brûlé Homogène, compact Avec l'US423 vient scellé F.280 dans sa totalité	Comblement de la fosse
423	280	48	YV0042	Remblai	Abandon	Fin niveau calcaire pulvérulent avec des inclusions de limon argileux brun Homogène Avec l'US422 vient scellé F.280 dans sa totalité	Comblement de la fosse
424	280	48	YV0042	Remblai	Abandon	Limon argileux brun foncé avec quelques inclusions fines de calcaire Homogène, compact	Comblement de la fosse
425	280	48	YV0042	Remblai	Abandon	Limon argileux beige gris avec énormément d'inclusions calcaires et quelques cailloux calcaires Homogène, compact	Comblement de la fosse
426	280	48	YV0042	Creusement	Construction	Creusement ovoïde, en cuvette asymétrique, fond irrégulier	Creusement de la fosse
427	277	48	YV0042	Remblai	Abandon	Argile limoneuse brune avec des inclusions millimétriques à centimétriques de calcaires Ressemble au comblement des autres grandes marnières observées	Comblement de la marnière
428	277	48	YV0042	Creusement	Construction	Creusement non entièrement observé	Creusement de la marnière
429	287	48	YV0042	Remblai	Abandon	Limon brun avec nombreuses inclusions calcaires	Comblement terminal du silo
430	287	48	YV0042	Remblai	Abandon	Limon brun avec rares inclusions calcaires	Comblement du silo
431	287	48	YV0042	Remblai	Abandon	Couches superposées de TN plus ou moins remanié et presque pur à la base	Comblement du silo, dû à l'effondrement des parois
432	287	48	YV0042	Remblai	Abandon	Petit dôme de limon argileux au centre et une petite dizaine de blocs décimétriques, rares charbons de bois (?)	Comblement du silo
433	287	48	YV0042	Creusement	Construction	Creusement circulaire, tronconique, bords rentrants, fond plat	Creusement du silo
434	309	46	YV0041	Remblai	Abandon	Argile limoneuse grise contenant des gravillons calcaires. Homogène et compact.	Comblement unique
435	309	46	YV0041	Creusement	Construction	Creusement circulaire au profil en cuvette aux bords assez évasés et à fond plat	Creusement
436		46	YV0041	Terrain naturel	Géologique	Calcaire pulvérulent mêlé à du limon brun	Couche géologique
437	264	46	YV0041	Remblai	Abandon	Idem US416: Limon argileux brun foncé avec des inclusions millimétriques de gravillons siliceux, de charbon de bois et de TC pulvérulente Plutôt, meuble Niveau assez «organique»	Comblement du fossé

US	Fait	Tranchée	Cadastre	Type US	Type action	Description physique	Interprétation
438	264	46	YV0041	Remblai	Abandon	Idem US417: Limon argileux brun gris mêlé à des inclusions de gravillons calcaires (millimétriques à centimétriques), gravillons siliceux, quelques coquilles d'escargots Homogène, compact	Comblement du fossé
439	264	46	YV0041	Remblai	Abandon	Idem US418: Limon argileux brun gris mêlé à des inclusions de gravillons calcaires, avec moins de calcaire et plus de gravillons siliceux Homogène, compact	Comblement du fossé
440	264	46	YV0041	Remblai	Abandon	Idem US419: Limon argileux brun gris mêlé à des inclusions de gravillons calcaires, mais très fortement chargé en éléments calcaires (jusqu'à 5cm max) Plutôt hétérogène (brassé), compact	Comblement du fossé
441	264	46	YV0041	Remblai	Abandon	Argile grise avec calcaire marneux	Comblement du fossé
442	264	46	YV0041	Creusement	Construction	Creusement linéaire, en cuvette, bords obliques avec un ressaut en partie médiane les bords sévasant	Creusement du fossé
443	271	47	YV0041	Remblai	Abandon	Limon brun orangé avec quelques nodules calcaires Homogène	Comblement du fossé
444	271	47	YV0041	Creusement	Construction	Creusement linéaire, en cuvette légèrement asymétrique	Creusement du fossé
445	299	48	YV0042	Remblai	Abandon	Limon argileux brun avec inclusions calcaires Compact	Comblement du trou de poteau
446	299	48	YV0042	Creusement	Construction	Creusement circulaire, en auge, fond plat, arasé	Creusement du trou de poteau
447	283	48	YV0042	Remblai	Abandon	Limon sableux brun avec nombreuses fines inclusions calcaires Hétérogène, assez meuble	Comblement du silo, dû à un effondrement des parois
448	283	48	YV0042	Remblai	Abandon	Limon sableux brun avec quelques très fines inclusions calcaires Homogène, assez compact	Comblement du silo
449	283	48	YV0042	Remblai	Abandon	Calcaire pulvérulent Homogène	Comblement du silo, dû à un effondrement des parois
450	283	48	YV0042	Remblai	Abandon	Idem US449 (calcaire pulvérulent) avec niveau de grosses pierres calcaires en périphérie de creusement	Comblement du silo
451	283	48	YV0042	Remblai	Abandon	Limon argileux brun gris avec fines inclusions calcaires Homogène, compact	Comblement du silo, peut-être naturel avec la structure, laissée à l'air libre
452	283	48	YV0042	Remblai	Abandon	Limon argileux brun avec quelques fines inclusions millimétriques calcaires Très homogène, assez compact	Comblement terminal du silo Pourrait marquer le comblement d'un recreusement postérieur au comblement du silo
453	283	48	YV0042	Creusement	Construction	Creusement circulaire, en auge, fond plat, bords considérés comme droits (mais légèrement incurvés et asymétriques)	Creusement du silo

US	Fait	Tranchée	Cadastre	Type US	Type action	Description physique	Interprétation
454	296	48	YV0042	Remblai	Abandon	Limons argileux brun avec une forte proportion de cailloux calcaires (de 0,5 à 10cm) Compact Négatif: 54cm de large	Comblement du négatif du poteau
455	296	48	YV0042	Remblai	Construction	Limons brun clair avec forte proportion de marne calcaire issu du substrat (TN remanié) Compact	Comblement de «l'avant trou» du poteau
456	296	48	YV0042	Creusement	Construction	Creusement circulaire, en auge, fond régulier, bords irréguliers à cause de la compacité du TN calcaire, mais plutôt droits	Creusement du trou de poteau
457		47	YV0041	Terrain naturel	Géologique	Limons argileux brun foncé grisâtre avec inclusions éparées siliceuses et/ou calcaires	Couche géologique Équivalent à US711
458	274	47	YV0041	Remblai	Abandon	Limons argileux brun avec inclusions éparées millimétriques siliceuses et/ou calcaires Homogène, compact	Comblement du trou de poteau
459	274	47	YV0041	Creusement	Construction	Creusement circulaire, en cuvette, bords droits	Creusement du trou de poteau
460	295	48	YV0042	Remblai	Abandon	Limons argileux brun avec fortes proportions de cailloux calcaires et marne issus du substrat	Comblement du trou de poteau
461	295	48	YV0042	Creusement	Construction	Creusement circulaire, en cuvette, irrégulière, bords sensiblement obliques	Creusement du trou de poteau
462	282	48	YV0042	Remblai	Abandon	Limons argileux brun avec nombreuses inclusions de cailloux calcaires et calcaire pulvérulent, issu du substrat Compact	Comblement du trou de poteau
463	282	48	YV0042	Creusement	Construction	Creusement circulaire, arasé, en cuvette, fond plat, bords obliques (?)	Creusement du trou de poteau
464	321	50	YV0041	Remblai	Abandon	Limons argileux brun foncé contenant quelques rares inclusions calcaires et de fins CDB. Homogène et compact. Comble l'intérieur de la céramique écrasée en place.	Comblement terminal.
465	321	50	YV0041	Remblai	Abandon	Limons argileux brun foncé sans CDB et contenant de nombreuses ravicelles blanches (végétaux en voie de fossilisation?). Homogène et compact.	Comblement primaire de la fosse (potentiellement lié à un «matelas végétal» sous la céramique ?)
466	321	50	YV0041	Creusement	Construction	Creusement circulaire au profil en cuvette à bords évasés.	Creusement.
467	362	48	YV0042	Remblai	Abandon	Limons argileux brun foncé contenant de fines inclusions calcaires millimétriques. Homogène et compact.	Éventuel comblement d'abandon de poteau.
468	362	48	YV0042	Remblai	Construction	Limons argileux brun-orange foncé contenant de fines inclusions calcaires millimétriques. Homogène et compact.	Éventuel comblement de l'avant trou de part et d'autre de l'US 467.
469	362	48	YV0042	Creusement	Construction	Creusement ovoïde et assez irrégulier au profil en cuvette asymétrique.	Creusement

US	Fait	Tranchée	Cadastre	Type US	Type action	Description physique	Interprétation
470	302	48	YV0042	Remblai	Abandon	Limon sableux brun à brun clair contenant une poche argileuse et de nombreuses inclusions de calcaire pulvérulent (millimétriques et centimétriques). Plutôt hétérogène et meuble. A noter que ce comblement est perturbé par plusieurs terriers.	Comblement du TP (pas de négatif observé).
471	302	48	YV0042	Creusement	Construction	Creusement subcirculaire au profil en auge et perturbé par le creusement de terriers (notamment sur son côté sud).	Creusement du TP.
472	290	48	YV0042	Négatif	Abandon	Limon légèrement argileux brun foncé avec nombreuses inclusions calcaires et quelques fines inclusions de charbon de bois et petits cailloux siliceux Négatif: 52cm de large	Comblement du négatif du poteau
473	290	48	YV0042	Creusement	Construction	Creusement circulaire, en auge, fond plat, bords légèrement convexes	Creusement du trou de poteau
474	366	48	YV0042	Remblai	Abandon	Limon sableux brun à brun foncé contenant de très nombreuses inclusions calcaires millimétriques et centimétriques et quelques cailloux calcaires (< 8cm). Homogène et compact.	Comblement.
475	366	48	YV0042	Creusement	Construction	Creusement en auge aux bords très légèrement obliques et asymétriques.	Creusement.
476	293	49	YV0042	Remblai	Abandon	Limon sableux brun avec nombreuses inclusions de millimétriques à centimétriques de calcaire pulvérulent, des petits cailloux à gros blocs calcaires, notamment en fond de structure (30cm max) Homogène, meuble	Comblement marnière
477	290	48	YV0042	Remblai	Construction	Poches de limon brun et de calcaire dégradé avec quelques graviers siliceux et calcaires Hétérogène, assez meuble	Comblement de «l'avant trou» du poteau
478	370	48	YV0042	Remblai	Abandon	Cailloux calcaires et siliceux (10 à 15 cm) pris dans une matrice limono-argileuse brune. Compact et homogène.	Comblement terminal.
479	370	48	YV0042	Remblai	Abandon	Limon brun contenant des inclusions calcaires fines et de rares petits cailloux calcaires. Homogène et assez compact.	Comblement intermédiaire.
480	370	48	YV0042	Remblai	Abandon	Limon noir-gris cendreau contenant énormément de CDB et quelques nodules calcaires. Homogène et meuble.	Comblement primaire, certainement lié à un rejet de foyer.
481	370	48	YV0042	Creusement	Construction	Creusement seulement observé en coupe ouest de la tranchée 48, au profil en cuvette à fond plat et aux bords évasés.	Creusement.
482	341	51	YV0042	Négatif	Abandon	Limon brun contenant de rares inclusions calcaires. Homogène et assez compact.	Comblement du négatif de poteau.
483	341	51	YV0042	Remblai	Construction	Limon brun avec nombre d'inclusions et petits cailloux calcaires.	Comblement de l'avant-trou.

US	Fait	Tranchée	Cadastre	Type US	Type action	Description physique	Interprétation
484	341	51	YV0042	Creusement	Construction	Creusement subquadrangulaire au profil à bords droits et fond relativement plat.	Creusement.
485	343	51	YV0042	Remblai	Abandon	Limon brun-gris contenant de rares inclusions calcaires. Homogène et assez compact.	Comblement unique du trou de poteau (pas de négatif observé à la fouille).
486	343	51	YV0042	Creusement	Construction	Creusement subquadrangulaire au profil à bords droits et fond relativement plat.	Creusement
487	294	49	YV0042	Remblai	Abandon	Limon brun avec nombreuses inclusions millimétriques et centimétriques de calcaire Homogène, assez compact	Comblement du fossé
488	294	49	YV0042	Remblai	Abandon	Idem US487 (Limon brun avec nombreuses inclusions millimétriques et centimétriques de calcaire) mais plus gris Homogène, assez meuble	Comblement du fossé
489	294	49	YV0042	Remblai	Abandon	Limon sableux très fin gris avec des inclusions millimétriques à centimétriques de calcaire Homogène, meuble	Comblement du fossé
490	294	49	YV0042	Creusement	Construction	Creusement linéaire, en cuvette, fond plat, bords obliques avec un ressaut, s'évasant alors en partie haute	Creusement du fossé
491	349	51	YV0042	Remblai	Géologique	Limon brun-gris contenant quelques rares inclusions calcaires.	Remblai.
492	350	51	YV0042	Remblai	Abandon	Limon brun-gris contenant quelques inclusions calcaires et un gros bloc calcaire.	Comblement unique.
493	350	51	YV0042	Creusement	Construction	Creusement circulaire au profil en auge à bords légèrement asymétriques.	Creusement.
494	354	51	YV0042	Remblai	Abandon	Limon brun-gris contenant des inclusions calcaires. Homogène et plutôt meuble.	Comblement unique.
495	354	51	YV0042	Creusement	Construction	Creusement circulaire au profil en auge à fond incliné.	Creusement.
496		51	YV0042	Couche d'occupation	Démolition	Limon argileux brun à fragments de TCA et éléments calcaires en plaquette	Probable couche d'abandon ou démolition d'occupation gallo-romaine
497	380	51	YV0042	Remblai	Abandon	Pas de description	Comblement du trou de poteau
498	380	51	YV0042	Creusement	Construction	Creusement ovoïde, en cuvette, bords très peu évasés	Creusement du trou de poteau
499	357	51	YV0042	Remblai	Abandon	Limon brun avec inclusions calcaires	Comblement du trou de poteau
500	357	51	YV0042	Creusement	Construction	Creusement ovoïde, en auge avec fond en pente	Creusement du trou de poteau
501	306	49	YV0042	Remblai	Abandon	Limon argileux brun contenant des inclusions calcaires millimétriques et centimétriques ainsi que des cailloux calcaires. Homogène et compact.	Comblement terminal
502	306	49	YV0042	Remblai	Abandon	Limon brun légèrement sableux contenant de fines inclusions calcaires et quelques fragments de plaquette calcaires (partie inférieure légèrement plus sombre). Homogène et compact.	comblement intermédiaire

US	Fait	Tranchée	Cadastre	Type US	Type action	Description physique	Interprétation
503	306	49	YV0042	Remblai	Abandon	Limon argileux brun contenant des inclusions calcaires (millimétriques et rares centimétriques). Homogène et compact.	comblement intermédiaire
504	306	49	YV0042	Remblai	Abandon	Limon sableux gris contenant de grosses inclusions calcaires. Homogène et meuble.	comblement primaire
505	306	49	YV0042	Creusement	Construction	Creusement oblongue, pris dans la coupe, au profil en «V» à fond plat avec bords supérieurs asymétriques et évasés.	Creusement
506		49	YV0042	Terrain naturel	Géologique	Sable limoneux beige avec fines inclusions calcaires Homogène, meuble De 5 à 20cm d'épaisseur	Couche géologique
507	307	49	YV0041	Remblai	Abandon	Limon sableux brun contenant de nombreuses inclusions de calcaire pulvérulent et de cailloux calcaires (> à 3 cm). Meuble et homogène.	Comblement terminal
508	307	49	YV0041	Remblai	Abandon	Limon sableux brun contenant quelques inclusions de calcaire pulvérulent. Compact et homogène.	Comblement intermédiaire
509	307	49	YV0041	Remblai	Abandon	Limon sableux brun-gris contenant de très nombreuses inclusions de calcaire pulvérulent. Meuble et homogène.	Comblement primaire
510	307	49	YV0041	Creusement	Construction	Creusement rectangulaire, au profil en «V» à fond plat et bords obliques légèrement asymétriques.	Creusement
511	292	49	YV0042	Remblai	Abandon	Argile limoneuse brune avec de fines inclusions calcaires, traces de racines carbonatés Homogène, compact	Comblement du silo
512	292	49	YV0042	Remblai	Abandon	Calcaire sableux pulvérulent gris beige avec des inclusions centimétriques de calcaire et poches de limon brun Hétérogène, très meuble	Comblement du silo
513	292	49	YV0042	Remblai	Abandon	Limon sableux brun gris avec de fines inclusions calcaires centimétriques Homogène, meuble	Comblement du silo
514	292	49	YV0042	Remblai	Abandon	Limon brun mêlé à des poches et nodules centimétriques calcaires Hétérogène, meuble	Comblement du silo
515	292	49	YV0042	Remblai	Abandon	Idem US511 (Argile limoneuse brune avec de fines inclusions calcaires) avec quelques rares cailloux siliceux et calcaires (inférieur à 5cm)	Comblement du silo
516	292	49	YV0042	Remblai	Abandon	Limon de texture cendreuse brun noir avec nombreuses inclusions de charbon de bois Homogène, assez compact	Comblement du silo
517	292	49	YV0042	Creusement	Construction	Creusement circulaire, piri-forme, fond plat	Creusement du silo
518			YV0042	Terrain naturel	Géologique	Calcaire altéré à passées brunes grises, compact (121 en plus compacté)	Couche géologique

US	Fait	Tranchée	Cadastre	Type US	Type action	Description physique	Interprétation
519		49	YV0041	Terrain naturel	Géologique	Argile limoneuse brune à brune claire avec quelques inclusions siliceuses millimétriques	Couche géologique
520	308	49	YV0041	Remblai	Abandon	Limon brun foncé contenant de éléments sableux millimétriques, quelques inclusions siliceuses millimétriques (jusque 2 cm d'épaisseur) et Fe-Mg millimétriques. De rares petits cailloux calcaires sont présents. Homogène et meuble.	Comblement unique.
521	308	49	YV0041	Creusement	Construction	Creusement linéaire d'orientation S-O/N-E profil en cuvette à bords légèrement évasés.	Creusement.
522	312	50	YV0041	Remblai	Abandon	Limon argileux brun contenant quelques inclusions millimétriques calcaires. Homogène et meuble.	Comblement terminal.
523	312	50	YV0041	Remblai	Abandon	Limon sableux brun avec quelques fines inclusions calcaires. Homogène et très meuble.	Comblement intermédiaire.
524	312	50	YV0041	Remblai	Abandon	Mélange de limon sableux et de calcaire pulvérulent en poches plus ou moins diffuses et éparses. Hétérogène et meuble.	Comblement intermédiaire.
525	312	50	YV0041	Remblai	Abandon	Calcaire très fortement dégradé contenant une poche limoneuse brune.	Potentiel effondrement de paroi venant combler une partie de la fosse.
526	312	50	YV0041	Creusement	Construction	Creusement subcirculaire au profil en auge.	Creusement .
527	358	51	YV0042	Remblai	Abandon	Limon argileux brun contenant de fines inclusions calcaires et des poches de limon beige avec grosses inclusions calcaires. A noter la présence d'un terrier. Hétérogène et compact.	Comblement terminal, assez massif, situé au dessus de l'US 530.
528	358	51	YV0042	Remblai	Abandon	Limon sableux brun-gris contenant de très nombreuses et grosses inclusions calcaires en poches. Hétérogène et compact.	Comblement intermédiaire situé au dessus de l'US 530.
529	358	51	YV0042	Remblai	Abandon	Limon sableux gris-beige contenant des inclusions calcaires centimétriques. Homogène et plutôt meuble.	Comblement intermédiaire, potentiellement lié à un effondrement de paroi partiel, situé au dessus de l'US 530.
530	358	51	YV0042	Interface	Occupation	Fin niveau argilo-limoneux brun-gris contenant de fines inclusions calcaires centimétriques ainsi que de petits cailloux calcaires à plat en fond de couche. Assez homogène et très induré.	Potentiel niveau de circulation venant sceller les couches inférieures.
531	358	51	YV0042	Remblai	Abandon	Argile limoneuse brun-noir contenant des inclusions calcaires millimétriques et centimétriques. Plutôt homogène et très compact.	Comblement intermédiaire.
532	358	51	YV0042	Remblai	Abandon	Gros morceaux calcaire pris dans une matrice argilo-limoneuse brun foncé. Assez hétérogène et compact	Comblement intermédiaire potentiellement lié à un effondrement de paroi.

US	Fait	Tranchée	Cadastre	Type US	Type action	Description physique	Interprétation
533	358	51	YV0042	Remblai	Abandon	Argile limoneuse beige contenant de fines inclusions calcaires millimétriques et quelques inclusions de CDB millimétriques. Homogène et compact.	Comblement intermédiaire.
534	358	51	YV0042	Remblai	Abandon	Argile limoneuse beige contenant beaucoup d' inclusions calcaires millimétriques et centimétriques ainsi que quelques inclusions de CDB millimétriques. Homogène et compact.	Comblement intermédiaire.
535	358	51	YV0042	Remblai	Abandon	Cailloux calcaires de 5 à 8 cm de longueur pris dans une matrice argilo-limoneuse grise. Homogène et compact.	Comblement intermédiaire.
536	358	51	YV0042	Remblai	Abandon	Calcaire assez induré contenant de fines poches limoneuses interstitielles grises. Homogène et très compact.	Comblement intermédiaire potentiellement lié à un effondrement de paroi.
537	358	51	YV0042	Remblai	Abandon	Argile limoneuse gris-noir contenant des inclusions calcaires millimétriques et centimétriques et quelques petits cailloux calcaires. Homogène et compact.	Comblement primaire de la fosse dans sa partie sud-est.
538	358	51	YV0042	Remblai	Abandon	Limon sableux brun-gris contenant de très nombreuses et grosses inclusions calcaires en poches. Hétérogène et compact.	Comblement intermédiaire.
539	358	51	YV0042	Creusement	Construction	Large creusement suivant une orientation générale N-O/S-E avec rétrécissement des parois au 1/3 nord et présentant un profil est/ouest en «Y» et un profil nord/sud en cuvette à fond plat avec ressaut dans la partie sud-est. De nombreux petits trous circulaires et semi verticalisés sont surtout visibles sur la partie basse de la paroi nord-ouest. De même, un fin creusement horizontal continu en haut de la paroi nord est à noter.	Creusement de la fosse avec possibles aménagements liés d'une part à la mise en place de piquets semi verticalisés en partie basse, puis d'un éventuel système de fermeture à glissière en partie haute de la paroi nord. Ces aménagements pourraient conforter l'hypothèse d'une utilisation différentielle de cette fosse au cours du temps.
540	316	50	YV0041	Remblai	Abandon	Limon sableux brun contenant des inclusions calcaires millimétriques. Homogène et compact.	Négatif de poteau.
541	316	50	YV0041	Remblai	Construction	Limon sableux beige contenant de nombreux nodules calcaires. Homogène et meuble.	Comblement de l'avant-trou.
542	316	50	YV0041	Remblai	Abandon	Limon brun-clair sableux contenant quelques nodules calcaires centimétriques. Hétérogène et meuble.	Effondrement de la paroi est avant la mise en place du poteau?
543	316	50	YV0041	Creusement	Construction	Creusement circulaire au profil en «U» à fond plat avec bords légèrement asymétriques.	Creusement
544	358	51	YV0042	Remblai	Abandon	Calcaire assez induré contenant de fines poches limoneuses interstitielles grises. Homogène et très compact.	Comblement intermédiaire potentiellement lié à un effondrement de paroi.

US	Fait	Tranchée	Cadastre	Type US	Type action	Description physique	Interprétation
545	358	51	YV0042	Remblai	Abandon	Argile limoneuse gris-noir contenant des inclusions calcaires millimétriques et centimétriques et quelques petits cailloux calcaires. Homogène et compact.	Comblement en tous points identiques à l'US 537. Toutefois, sous cette US 545, visible dans la partie nord-ouest, apparaît les US 555 et 556. Cette US 545 n'est donc pas directement en contact avec le fond de fosse, comme c'est le cas pour l'US 537 dans la partie nord. Ceci est dû à un surcreusement de la partie nord-ouest.
546	320	50	YV0041	Remblai	Abandon	Limons sableux brun contenant des inclusions calcaires et siliceuses millimétriques, et de rares cailloux calcaires (< à 5 cm). Homogène et meuble. Ressemble beaucoup à l'US 2 qui scelle le fossé (légèrement moins sableux).	Comblement terminal.
547	320	50	YV0041	Remblai	Abandon	Limons sableux brun contenant de nombreuses inclusions calcaires millimétriques et de rares petits cailloux calcaires. Homogène et meuble (toutefois, légèrement plus compact que l'US 546).	Comblement intermédiaire.
548	320	50	YV0041	Remblai	Abandon	Mélange de calcaire pulvérulent et de limon sableux brun à brun-gris. Hétérogène et compact.	Comblement intermédiaire potentiellement lié à une dynamique d'effondrement des parois.
549	320	50	YV0041	Creusement	Construction	Creusement linéaire d'orientation N-E/S-O, et de profil en cuvette à fond plat aux bords obliques. Le creusement est très diffus en partie haute, au niveau de l'US 546.	Creusement
550	322	50	YV0042	Remblai	Abandon	Nombreux cailloux calcaires (15 cm de largeur maximum) sans organisation particulière, pris dans une matrice limono-sableuse brune contenant des inclusions millimétriques de calcaire pulvérulent. Homogène et compact.	Comblement unique.
551	322	50	YV0042	Creusement	Construction	Creusement linéaire d'orientation N-O/S-E au profil en cuvette à bords obliques (légèrement asymétriques).	Creusement
552	413	50	YV0042	Remblai	Abandon	Limons sableux brun contenant des inclusions de calcaire pulvérulent millimétriques et un caillou calcaire.	Comblement unique.
553	413	50	YV0042	Creusement	Construction	Creusement en cuvette à bords légèrement obliques. Les limites sont assez diffuses.	Creusement.
554	358	51	YV0042	Remblai	Abandon	Argile limoneuse gris contenant des inclusions calcaires millimétriques et centimétriques et quelques petits cailloux calcaires. Homogène et compact.	Comblement intermédiaire.
555	358	51	YV0042	Remblai	Abandon	Limons sableux gris clair contenant des inclusions calcaires centimétriques. Homogène et meuble.	Comblement intermédiaire.

US	Fait	Tranchée	Cadastre	Type US	Type action	Description physique	Interprétation
556	358	51	YV0042	Remblai	Abandon	Limon gris clair contenant de nombreuses inclusions calcaires millimétriques et centimétriques. Homogène et très induré.	Comblement primaire de la fosse. Le fait que ce comblement soit très compacté pourrait aussi être le signifiant d'un piétinement particulièrement intense, mais l'absence d'un éventuelle encrassage de surface semble invalider en partie cette hypothèse.
557	325	50	YV0042	Remblai	Abandon	Mélange de limon sableux brun et de calcaire pulvérulent. Hétérogène et meuble.	Effondrement de paroi.
558	325	50	YV0042	Remblai	Abandon	Mélange de limon sableux brun et de calcaire pulvérulent. Hétérogène et meuble.	Effondrement de paroi.
559	325	50	YV0042	Remblai	Abandon	Limon sableux brun contenant de nombreuses inclusions de gravillons et graviers siliceux et calcaires, avec rares cailloux calcaires et traces de racines carbonatées. Homogène et compact.	Comblement terminal et massif.
560	325	50	YV0042	Remblai	Abandon	Poche de limon brun très argileux, contenant de fines inclusions calcaires. Homogène et assez compact.	Comblement intermédiaire.
561	325	50	YV0042	Remblai	Abandon	Fin niveau horizontalisé de calcaire très fortement altéré (allant d'un aspect pulvérulent à de petits cailloux < à 2 cm) blanc à rosé, mêlé à du limon brun contenant de fines inclusions calcaires. Très hétérogène et compact. A noter que les extrémités est et ouest de la couche sont plus fortement chargées en calcaire.	Fin niveau lité avant comblement massif (US 560).
562	325	50	YV0042	Remblai	Abandon	Fin niveau de calcaire très fortement altéré (allant d'un aspect pulvérulent à de petits cailloux < à 2 cm) blanc à rosé, mêlé à un peu de limon brun contenant de fines inclusions calcaires. Très hétérogène et compact.	Comblement intermédiaire.
563	325	50	YV0042	Remblai	Abandon	Limon sableux brun à brun foncé contenant de nombreuses inclusions de calcaire pulvérulent (millimétriques à centimétriques), et quelques graviers siliceux et calcaires. Homogène et compact.	Comblement intermédiaire.
564	325	50	YV0042	Remblai	Abandon	Limon sableux brun contenant quelques fines inclusions calcaires et siliceuses. Homogène et meuble.	Comblement intermédiaire.
565	325	50	YV0042	Remblai	Abandon	Poche de limon brun très argileux, contenant de fines inclusions calcaires. Homogène et assez compact.	Comblement intermédiaire.
566	325	50	YV0042	Remblai	Abandon	Limon sableux brun mêlé à de nombreuses inclusions calcaires et poches de calcaire pulvérulent blanc à rosé. Hétérogène et meuble.	Comblement intermédiaire.

US	Fait	Tranchée	Cadastre	Type US	Type action	Description physique	Interprétation
567	325	50	YV0042	Remblai	Abandon	Limons sableux brun à brun roux contenant quelques fines inclusions calcaires. Homogène et plutôt meuble.	Comblement intermédiaire.
568	325	50	YV0042	Remblai	Abandon	Limons légèrement sableux brun contenant des inclusions calcaires blanc rosé. Hétérogène et meuble.	Comblement intermédiaire.
569	325	50	YV0042	Remblai	Abandon	Limons sableux brun à brun roux contenant quelques fines inclusions calcaires en partie centrale et plus chargé en inclusions calcaires aux extrémités est et ouest. Hétérogène et compact.	Comblement intermédiaire.
570	325	50	YV0042	Remblai	Abandon	Limons sableux brun à brun foncé contenant de fines inclusions calcaires ainsi que de rares poches de calcaire blanc à blanc-rosé et poche un peu plus argileuse. Hétérogène et compact.	Comblement primaire.
571		50	YV0042	Terrain naturel	Géologique	Calcaire blanc à nuance jaunâtre pulvérulent.	Semble être une simple altération du TN à l'ouest immédiat du creusement du silo F325 (US 571).
572	325	50	YV0042	Creusement	Construction	Creusement ovoïde, de profil tronconique, fond incliné	Creusement du silo
573	338	51	YV0042	Remblai	Abandon	Limons sableux brun contenant des inclusions éparses de calcaires pulvérulent et de nombreuses ravicelles. Homogène et meuble.	Comblement d'un hypothétique trou de poteau
574	338	51	YV0042	Creusement	Construction	Creusement subcirculaire au profil en cuvette à fond régulier et bords obliques.	Creusement d'un hypothétique trou de poteau.
575		51	YV0041	Colluvion	Géologique	Limons argileux brun-orange contenant de rares fines inclusions calcaires ainsi que quelques cailloux calcaires. Homogène et assez compact.	Probable niveau de colluvion
576	359	51	YV0041	Remblai	Abandon	Limons argileux brun-orange contenant de fines inclusions calcaires. Homogène et assez compact.	Comblement unique.
577		51	YV0041	Terrain naturel	Géologique	Limons peu argileux contenant de très nombreuses inclusions calcaires, présentant des mouvements d'infiltrations dans l'US 121.	Phénomène géologique situé sous F359 et F360 certainement lié à un phénomène de percolation. Identique à l'US 579 qui se trouve entre les deux fossés.
578	359	51	YV0041	Creusement	Construction	Creusement linéaire d'orientation N-E/S-O au profil en cuvette aux bords évasés. La partie supérieure du creusement est peu perceptible. Vu le profil général, il est probable que le creusement remonte jusqu'au bas de la terre végétale.	Creusement.
579		51	YV0041	Colluvion	Géologique	Limons peu argileux contenant de très nombreuses inclusions calcaires, présentant des mouvements d'infiltrations dans l'US 121.	Phénomène géologique situé au sud de F 576, certainement lié à un phénomène de percolation. Identique à l'US 577 qui se trouve sous F359 et 360.

US	Fait	Tranchée	Cadastre	Type US	Type action	Description physique	Interprétation
580	360	51	YV0041	Remblai	Abandon	Limon argileux brun-orange contenant de fines inclusions de calcaire (dégradé et non dégradé) et de petits nodules de TC. Homogène et assez compact.	Comblement unique.
581	360	51	YV0041	Creusement	Construction	Creusement observé dans la berme est d'un sondage sis en Tr.51, au profil en cuvette et aux bords évasés. La partie supérieure du creusement et peu perceptible. Vu le profil général, il est probable que le creusement remonte jusqu'au bas de la terre végétale côté sud et sous l'US 582, côté nord..	Creusement.
582		51	YV0041	Remblai	Abandon	Limon argileux brun-orange contenant énormément d'inclusions calcaires (0,5 à 2 cm). Homogène et assez compact.	Remblai, ou interface situé entre la terre végétale et l'US 575.
583	368	53	YV0041	Remblai	Abandon	Limon argileux brun-orangé contenant des inclusions calcaires et quelques cailloux calcaires. Homogène et assez compact.	Comblement unique.
584	368	53	YV0041	Creusement	Construction	Creusement linéaire d'orientation S-E/N-O et de profil en cuvette à bords légèrement évasés.	Creusement.
585	372	57	YV0037	Remblai	Abandon	Comblement limoneux brun contenant des inclusions calcaires millimétriques et centimétriques. Homogène et assez compact.	Comblement terminal.
586	372	57	YV0037	Remblai	Abandon	Limon brun-clair mêlé à du calcaire altéré et contenant de nombreuses inclusions calcaires centimétriques.	Comblement primaire.
587	372	57	YV0037	Creusement	Construction	Creusement d'orientation E/O et présentant un profil en «V» aux bords évasés.	Creusement.
588	373	57	YV0037	Remblai	Abandon	Limon sableux brun jaune avec quelques très rares et fines inclusions ferromanganiques Homogène, assez compact	Comblement du fossé
589	373	57	YV0037	Creusement	Construction	Creusement linéaire, en cuvette	Creusement du fossé
590	376	57	YV0037	Remblai	Abandon	Limon légèrement sableux brun avec rares et fines inclusions de charbon de bois et fines inclusions de TC et inclusions ferromanganiques Homogène, compact	Comblement de la fosse
591	376	57	YV0037	Creusement	Construction	Creusement ovoïde, en cuvette légèrement asymétrique, bords obliques	Creusement de la fosse
592	375	57	YV0037	Remblai	Abandon	Limon brun-gris très fin contenant de très rares nodules de TC. Homogène et compact.	Comblement terminal.
593	375	57	YV0037	Remblai	Abandon	Limon brun-gris compact et homogène.	Comblement intermédiaire.
594	375	57	YV0037	Remblai	Abandon	Limon argileux brun contenant de rares petits nodules de TC. Homogène et compact.	Comblement primaire, symétrique avec US 595 (effondrement ?).

US	Fait	Tranchée	Cadastre	Type US	Type action	Description physique	Interprétation
595	375	57	YV0037	Remblai	Abandon	Argile limoneuse brune homogène et compact.	Comblement primaire, symétrique avec US 595 (effondrement ?).
596	375	57	YV0037	Creusement	Construction	Creusement circulaire au profil piriforme.	Creusement.
597	381	57	YV0037	Remblai	Abandon	Limons argileux gris-noir contenant de très nombreuses inclusions de CDB et quelques nodules de TC. Homogène et assez compact.	Comblement terminal (rejet de foyer ?).
598	381	57	YV0037	Remblai	Abandon	Limons brun-orange homogène et assez meuble en partie haute.	Comblement primaire.
599	381	57	YV0037	Creusement	Construction	Creusement en cuvette à fond plat et bords évasés (assez peu discernable en partie basse).	Creusement
600	385	57	YV0037	Remblai	Abandon	Argile limoneuse brune contenant quelques cailloux calcaires. Homogène et assez compact.	Comblement terminal.
601	385	57	YV0037	Remblai	Abandon	Argile limoneuse brune contenant de nombreux cailloux calcaires. Homogène et assez compact.	Comblement primaire.
602	385	57	YV0037	Creusement	Construction	Creusement linéaire d'orientation N-E/S-O au profil en cuvette à bords droits et évasés	Creusement.
603	387	57	YV0037	Remblai	Abandon	Limons sableux brun à brun foncé contenant de nombreuses inclusions millimétriques de calcaire pulvérulent (blanc à rosé) et de rares inclusions Fe-Mg. Homogène et compact.	Comblement .
604	387	57	YV0037	Creusement	Construction	Creusement circulaire présentant un profil en cuvette à bords légèrement obliques.	Creusement.
605	389	57	YV0037	Remblai	Abandon	Limons argileux brun-gris contenant beaucoup de fines inclusions calcaires millimétriques et centimétriques et quelques inclusions Fe-Mg. Homogène et assez compact.	Comblement.
606	389	57	YV0037	Creusement	Construction	Creusement circulaire présentant un profil en auge à bords relativement verticaux	Creusement.
607	433	57	YV0037	Remblai	Abandon	Limons argileux gris avec inclusions de calcaire pulvérulent	Comblement du trou de poteau
608	433	57	YV0037	Creusement	Construction	Creusement circulaire, en auge	Creusement du trou de poteau
609	390	57	YV0037	Remblai	Abandon	Cailloux calcaires (10 à 20 cm de longueur) pris dans une matrice limoneuse brune. Homogène et meuble.	Comblement unique.
610	390	57	YV0037	Creusement	Construction	Creusement circulaire présentant un profil en cuvette à fond plat et à bords évasés.	Creusement.
611	435	63	YV0037	Remblai	Abandon	Limons argileux brun avec quelques cailloux calcaires, quelques fragments de TC pulvérulents Homogène, compact	Comblement de la fosse

US	Fait	Tranchée	Cadastre	Type US	Type action	Description physique	Interprétation
612	394	57	YV0037	Remblai	Abandon	Limon gris avec poches d'argile brune contenant de nombreux graviers et cailloux siliceux. Hétérogène et compact.	Comblement terminal.
613	394	57	YV0037	Remblai	Abandon	Calcaire dégradé pris dans une matrice argileuse brun-gris. Homogène et compact.	Potentiel comblement primaire (lié à un effondrement de paroi ?).
614	394	57	YV0037	Creusement	Construction	Creusement linéaire S-E/N-O présentant un profil en «V» légèrement évasé.	Creusement.
615	396	57	YV0037	Remblai	Abandon	Limon très argileux marron contenant beaucoup de cailloux calcaires d'environ 10 cm de longueur. Homogène et assez compact.	Comblement.
616	396	57	YV0037	Creusement	Construction	Creusement linéaire d'orientation E-SE/O-NO présentant un profil en auge à bords évasés.	Creusement.
617		58	YV0037	Terrain naturel	Géologique	Fine grave calcaire et siliceuse prise dans une matrice argilo-limoneuse brune claire et contenant énormément d'inclusions ferromanganiques (millimétriques et centimétriques)	Couche géologique
618	399	59	YV0037	Remblai	Abandon	Argile limoneuse jaune-orange contenant des cailloux calcaires et siliceux. Homogène et compact.	Comblement terminal.
619	399	59	YV0037	Remblai	Abandon	Limon argileux brun contenant des graviers calcaires et siliceux. Homogène et compact.	Comblement primaire.
620	399	59	YV0037	Creusement	Construction	Creusement linéaire d'orientation N/S présentant un profil en cuvette à bords asymétriques et évasés.	Creusement.
621	427	61	YV0037	Remblai	Abandon	Limon argileux brun avec quelques inclusions de graviers calcaires Homogène, assez compact	Comblement du fossé
622	427	61	YV0037	Remblai	Abandon	Idem US621 (Limon argileux brun) mais avec plus de graviers calcaires Homogène, assez compact	Comblement du fossé
623	427	61	YV0037	Remblai	Abandon	Limon mélangé à de la marne avec beaucoup d'inclusions calcaires	Comblement du fossé
624	427	61	YV0037	Remblai	Abandon	Limon argileux avec peu d'inclusions Plus compact que US623	Comblement du fossé
625	427	61	YV0037	Creusement	Construction	Creusement linéaire, en U	Creusement du fossé
626	382	57	YV0037	Remblai	Abandon	Limon argileux gris contenant quelques inclusions de CDB et plusieurs tessons de céramique. Homogène et compact.	Comblement terminal.
627	382	57	YV0037	Remblai	Abandon	Limon argileux gris contenant beaucoup d'inclusions ce CDB, de cailloux calcaires et des fragments de calcaire brûlé. Homogène et compact.	Comblement intermédiaire.
628	382	57	YV0037	Creusement	Construction	Creusement de plan ovoïde et au profil en cuvette à fond plat et aux bords supérieurs asymétriques	Creusement

US	Fait	Tranchée	Cadastre	Type US	Type action	Description physique	Interprétation
629	436	63	YV0037	Remblai	Abandon	Limon argileux brun avec quelques graviers calcaires et quelques inclusions de TC Homogène, assez compact	Comblement de la fosse
630	436	63	YV0037	Remblai	Abandon	Limon marneux gris avec nombreuses inclusions de cailloux calcaires et de poches de marne Hétérogène, assez meuble	Comblement de la fosse
631	436	63	YV0037	Remblai	Abandon	Idem US629 (Limon argileux brun avec quelques graviers calcaires et quelques inclusions de TC) avec un peu plus de graviers calcaires Homogène, assez compact	Comblement de la fosse
632	436	63	YV0037	Remblai	Abandon	Idem US630 (Limon marneux gris avec nombreuses inclusions de cailloux calcaires et de poches de marne) mais contenant plus de cailloux calcaires	Comblement de la fosse
633	436	63	YV0037	Remblai	Abandon	Idem US629 (Limon argileux brun avec quelques graviers calcaires et quelques inclusions de TC) mais avec plus de fragments de TC pulvérulente Homogène, assez compact	Comblement de la fosse
634	436	63	YV0037	Creusement	Construction	Creusement ovoïde, en cuvette, bords obliques, fond irrégulier	Creusement de la fosse
635	441	63	YV0037	Remblai	Abandon	Idem US630: Limon marneux gris avec nombreuses inclusions de cailloux calcaires et de poches de marne Hétérogène, assez meuble	Comblement de la fosse
636	441	63	YV0037	Remblai	Abandon	Idem US633: Limon argileux brun avec quelques graviers calcaires et quelques inclusions de TC pulvérulente Homogène, assez compact	Comblement de la fosse
637	441	63	YV0037	Remblai	Abandon	Mélange de limon et de marne avec quelques poches de limon brun Homogène	Comblement de la fosse
638	441	63	YV0037	Remblai	Abandon	Idem US632: Limon marneux gris avec nombreuses inclusions de cailloux calcaires et de poches de marne	Comblement de la fosse
639	441	63	YV0037	Creusement	Construction	Creusement ovoïde, bords obliques, fond régulier	Creusement de la fosse
640	442	63	YV0037	Remblai	Abandon	Idem US629: Limon argileux brun avec quelques graviers calcaires et quelques inclusions de TC Homogène, assez compact	Comblement de la fosse
641	442	63	YV0037	Remblai	Abandon	Idem US640 (Limon argileux brun avec quelques graviers calcaires et quelques inclusions de TC) avec un peu plus de cailloux calcaires	Comblement de la fosse
642	442	63	YV0037	Remblai	Abandon	Idem US641 (Limon argileux brun avec quelques graviers calcaires et quelques inclusions de TC) en plus argileux	Comblement de la fosse

US	Fait	Tranchée	Cadastre	Type US	Type action	Description physique	Interprétation
643	442	63	YV0037	Remblai	Abandon	Idem US637: Mélange de limon et de marne avec quelques poches de limon brun Homogène	Comblement de la fosse
644	442	63	YV0037	Remblai	Abandon	Idem US638: Limon marneux gris avec nombreuses inclusions de cailloux calcaires et de poches de marne	Comblement de la fosse
645	442	63	YV0037	Creusement	Construction	Creusement ovoïde, bords obliques, fond irrégulier	Creusement de la fosse
646		67	YV0036	Terrain naturel	Géologique	Argile limoneuse brune à rougeâtre par endroit Plus argileuse et foncée que l'US 519	Couche géologique
647	451	68	YV0035	Remblai	Abandon	Limon sableux brun foncé avec quelques poches plus claires, quelques inclusions de graviers siliceux et calcaires, quelques inclusions ferromanganiques noires et parfois rougeâtres, rares charbons de bois (millimétriques) Plutôt homogène, compact	Comblement du fossé
648	451	68	YV0035	Remblai	Abandon	Idem US647 (Limon sableux brun foncé avec quelques poches plus claires) mais sans charbon de bois et de très nombreux graviers à cailloux siliceux et calcaires (10cm max) Homogène, compact	Comblement du fossé
649	451	68	YV0035	Remblai	Abandon	Couche d'interface avec le TN, mêlant du calcaire rougeâtre/rosé et blanc pulvérulent et du limon sableux brun Hétérogène, compact	Comblement du fossé
650	451	68	YV0035	Creusement	Construction	Creusement linéaire, en V avec ressaut des bords en partie médiane	Creusement du fossé
651	447	68	YV0036	Remblai	Abandon	Limon sableux brun avec quelques inclusions millimétriques de calcaire pulvérulent, rares petits cailloux siliceux et calcaires (4cm max), quelques inclusions millimétriques ferromanganiques noires éparses Homogène, compact	Comblement du fossé
652	447	68	YV0036	Remblai	Abandon	Limon sableux brun mêlé à des poches et des inclusions millimétriques de calcaire pulvérulent	Comblement du fossé
653	447	68	YV0036	Creusement	Construction	Creusement linéaire, en cuvette, bords obliques, fond plat	Creusement du fossé
654	450	68	YV0036	Creusement	Construction	Creusement ovoïde, irrégulier, arasé, bords discontinus perturbés par des terriers	Creusement de la fosse
655	450	68	YV0036	Remblai	Abandon	Limon gris noir très «aéré» avec des inclusions calcaires (gravillons à petits blocs arrondis) Homogène, meuble	Comblement de la fosse
656	439	64	YV0037	Creusement	Construction	Creusement circulaire, en auge, présence d'une sorte de décrochement en partie haute sur la paroi Sud (indéterminé)	Creusement du trou de poteau

US	Fait	Tranchée	Cadastre	Type US	Type action	Description physique	Interprétation
657	439	64	YV0037	Remblai	Abandon	Limon beige avec inclusions millimétriques éparses de calcaire	Comblement du trou de poteau
658	411	60	YV0037	Remblai	Abandon	Argile limoneuse brun-gris contenant des inclusions nombreuses de CDB et quelques fragments de TC et/ou torchis. Assez hétérogène et compact.	Comblement unique.
659	411	60	YV0037	Creusement	Construction	Creusement de plan subcirculaire au profil assez irrégulier. A noter que le bord oriental est difficilement lisible.	Creusement
660	416	60	YV0037	Remblai	Abandon	Limon légèrement argileux brun-foncé contenant des inclusions de graviers siliceux. Homogène et assez compact.	Comblement terminal.
661	416	60	YV0037	Remblai	Abandon	Limon légèrement argileux brun-foncé contenant de rares graviers siliceux. Homogène et assez compact.	Comblement primaire.
662	416	60	YV0037	Creusement	Construction	Creusement linéaire N-O/S-E présentant un profil en cuvette à bords évasés.	Creusement.
663	418	60	YV0037	Remblai	Abandon	Limon argileux brun-gris contenant de nombreux graviers siliceux et quelques TC. Homogène et assez compact.	Comblement unique.
664	418	60	YV0037	Creusement	Construction	Creusement linéaire d'orientation N/S présentant un profil en cuvette aux bords évasés et asymétriques.	Creusement.
665	419	60	YV0037	Remblai	Abandon	Argile limoneuse brune contenant de nombreuses inclusions siliceuses (graviers notamment) et des poches argileuses grises. Hétérogène et assez compact.	Comblement terminal.
666	419	60	YV0037	Remblai	Abandon	Argile grise contenant quelques inclusions Fe-Mg. Homogène et assez meuble.	Comblement primaire.
667	419	60	YV0037	Creusement	Construction	Creusement linéaire d'orientation N/S présentant un profil en cuvette aux bords évasés et asymétriques.	Creusement.
668			YV0037	Remblai	Abandon	Argile limoneuse brune claire fortement perturbée par plusieurs labour. Différente physiquement de l'US 617 pourtant altimétriquement équivalente	US indéterminée à l'emplacement du chemin apparaissant sur le cadastre napoléonien. Peut-être un éventuel comblement du chemin creux?
669	443	65	YV0037	Remblai	Abandon	Limon sableux brun foncé avec une importante poche de charbon de bois et de TC brûlé au Sud-Ouest qui se diffuse plus légèrement vers le Nord-Est Homogène, compact	Comblement du fossé
670	443	65	YV0037	Remblai	Abandon	Limon plutôt argileux brun avec quelques inclusions calcaires et quelques cailloux calcaires (5cm max), rares traces ferromanganiques noires, présence de quelques coquilles descargots Homogène, compact	Comblement du fossé

US	Fait	Tranchée	Cadastre	Type US	Type action	Description physique	Interprétation
671	443	65	YV0037	Remblai	Abandon	Idem US670 (Limon plutôt argileux brun avec quelques inclusions calcaires et quelques cailloux calcaires (5cm max), rares traces ferromanganiques noires) et mêlé à des cailloux et blocs calcaires Homogène, très compact	Comblement du fossé
672	443	65	YV0037	Remblai	Abandon	Niveau d'épaisseur variable mais «tapissant» le fond de la structure et composé de cailloux et blocs calcaires (10cm max) plutôt plats et de limon sableux brun à brun clair avec du calcaire pulvérulent Homogène, très fortement induré	Comblement du fossé
673	443	65	YV0037	Creusement	Construction	Creusement linéaire en légère cuvette, bords obliques	Creusement du fossé
674	420	60	YV0037	Remblai	Abandon	Limon argileux brun-foncé mêlé à des poches importantes de silex (2 à 10 cm de longueur). Homogène et assez meuble.	Éventuel comblement d'ornière, semblable à l'US 677.
675	420	60	YV0037	Remblai	Occupation	Limon sableux brun-jaune. Homogène et assez compact.	Niveau d'épaisseur irrégulière potentiellement lié à une recharge de la partie supérieure est du chemin.
676	420	60	YV0037	Remblai	Occupation	Limon brun-gris avec inclusions Fe-Mg. Homogène et assez meuble.	Comblement intermédiaire du chemin creux lié à son utilisation.
677	420	60	YV0037	Remblai	Abandon	Limon argileux brun-foncé mêlé à des poches importantes de silex (2 à 10 cm de longueur). Homogène et assez meuble.	Éventuel comblement d'ornière, semblable à l'US 674.
678	420	60	YV0037	Creusement	Construction	Large creusement linéaire d'orientation N/S présentant un profil en cuvette à fond assez plat et légèrement irrégulier.	Creusement du chemin.
679	420	60	YV0037	Remblai	Occupation	Argile jaune-orange, mêlée à de très nombreux cailloux siliceux. Homogène et assez plastique.	Éventuelle recharge du chemin s'établissant sur le comblement terminal du fossé F421.
680	421	60	YV0037	Remblai	Abandon	Limon brun «roux» avec quelques inclusions de gravillons et petits cailloux siliceux Homogène, meuble	Comblement du fossé Peut-être sous recharge voie, alors que les fossés bordiers sont abandonnés
681	421	60	YV0037	Remblai	Abandon	Idem US 680 (Limon brun «roux» avec quelques inclusions de gravillons et petits cailloux siliceux) mais mêlé à des poches d'argile marneuse grise jaune Hétérogène, plutôt meuble	Comblement fossé
682	421	60	YV0037	Remblai	Abandon	Limon brun chargé en sable avec des inclusions de gravier et des cailloux siliceux (jusqu'à 10cm) Homogène, meuble	Comblement du fossé
683	421	60	YV0037	Creusement	Construction	Creusement linéaire, en cuvette, bords plutôt évasés et asymétriques avec léger ressaut	Creusement du fossé
684	422	60	YV0037	Remblai	Occupation	Limon sableux brun avec graviers siliceux Homogène, meuble	Comblement du labour

US	Fait	Tranchée	Cadastre	Type US	Type action	Description physique	Interprétation
685	426	61	YV0037	Remblai	Abandon	Limons sableux brun à brun clair mêlé à du calcaire pulvérulent (millimétriques à centimétriques), rares inclusions millimétriques ferromanganiques noires Homogène, meuble	Comblement du trou de poteau
686	426	61	YV0037	Creusement	Construction	Creusement circulaire, en cuvette, bords très légèrement obliques, fond régulier	Creusement du trou de poteau
687	425	61	YV0037	Remblai	Abandon	Limons argileux brun, nombreuses inclusions millimétriques de calcaire pulvérulent (notamment dans le centre de la structure), très rares traces ferromanganiques rougeâtres et noires, très rares inclusions de TC Homogène, meuble	Comblement du trou de poteau
688	425	61	YV0037	Creusement	Construction	Creusement ovoïde, en cuvette, bords obliques, fond plat	Creusement du trou de poteau
689	240	41	YV0039	Remblai	Abandon	Limons brun gris avec quelques fines inclusions calcaires Homogène, assez compact	Comblement du fossé
690	240	41	YV0039	Remblai	Abandon	Limons gris foncé avec charbon de bois et graviers siliceux Homogène et compact	Comblement du fossé
691	240	41	YV0039	Remblai	Abandon	Semblable à l'US690 mais avec du limon brun rouge avec gravier siliceux Homogène et compact	Comblement du fossé
692	240	41	YV0039	Creusement	Construction	Creusement linéaire, en cuvette, fond plat, bords obliques assez évasés	Creusement du fossé
693	434	57	YV0037	Remblai	Occupation	Limons argileux avec inclusions de cailloux et TCA	Comblement de plusieurs traces de labour Un seul n° d'US pour l'ensemble
694	444	65	YV0037	Remblai	Abandon	Limons brun avec quelques poches argileuses et plastiques, quelques inclusions millimétriques siliceuses et de calcaire pulvérulent Homogène, meuble	Comblement du fossé
695	444	65	YV0037	Remblai	Abandon	Limons brun avec quelques poches argileuses et plastiques, très chargé en calcaire pulvérulent Interface avec le fond	Comblement du fossé
696	444	65	YV0037	Creusement	Construction	Creusement linéaire, en cuvette, bords obliques avec un léger ressaut du bord Sud-Est	Creusement du fossé
697	437	65	YV0037	Remblai	Abandon	Limons argileux brun avec quelques inclusions de gravillons calcaires et siliceux et inclusions ferromanganiques Homogène, compact	Comblement du fossé
698	437	65	YV0037	Creusement	Construction	Creusement en cuvette, bords obliques légèrement asymétriques	Creusement du fossé
699	501	65	YV0037	Remblai	Abandon	Limons brun avec quelques rares inclusions millimétriques siliceuses Homogène, meuble	Comblement du trou de poteau

US	Fait	Tranchée	Cadastre	Type US	Type action	Description physique	Interprétation
700	501	65	YV0037	Creusement	Construction	Creusement circulaire, en cuvette, bords obliques Limites très diffuses	Creusement du trou de poteau
701	483	72	YV0035	Remblai	Abandon	Calcaire dégradé blanc beige remanié contenant quelques fines inclusions d'argile brun clair Homogène, assez meuble	Comblement du silo
702	483	72	YV0035	Remblai	Abandon	Calcaire dégradé beige mêlé à des poches d'argiles brun clair Hétérogène, assez meuble	Comblement du silo
703	483	72	YV0035	Remblai	Abandon	Argile limoneuse brun clair avec énormément d'inclusions calcaires millimétriques Homogène, compact	Comblement du silo
704	483	72	YV0035	Remblai	Abandon	Argile contenant des inclusions calcaires millimétriques en moins grande quantité que dans l'US703 et des inclusions ferromanganiques Homogène, très compact	Comblement du silo
705	483	72	YV0035	Creusement	Construction	Creusement circulaire, en auge	Creusement du silo
706	502	72	YV0035	Remblai	Abandon	Limon brun avec quelques fines inclusions calcaires et siliceuses Homogène, meuble	Comblement de la fosse
707	502	72	YV0035	Creusement	Construction	Creusement ovoïde, irrégulier, en cuvette, fond plat, arasé (bords obliques?)	Creusement de la fosse
708	451	72	YV0035	Remblai	Abandon	Argile limoneuse brune foncée avec inclusions à cailloux calcaires et siliceuses, nombreuses coquilles d'escargots Homogène, assez compact	Comblement du fossé
709	451	72	YV0035	Remblai	Abandon	Limon sableux beige avec inclusions fines calcaires Homogène, meuble	Comblement du fossé
710	451	72	YV0035	Creusement	Construction	Creusement linéaire, fond incliné, bords obliques asymétriques	Creusement du fossé
711			YV0041	Terrain naturel	Géologique	Limon de plateau, argileux rougeâtre	Couche géologique
712		73	YV0035	Terrain naturel	Géologique	Argile limoneuse brune avec nombreuses inclusions siliceuses (millimétriques et centimétriques), rares petits cailloux siliceux, nombreuses traces carbonatés (racines?)	Couche géologique
713	452	69	YV0035	Remblai	Abandon	Limon argileux brun avec énormément d'inclusions de graviers et cailloux siliceux Homogène, meuble	Comblement du fossé
714	452	69	YV0035	Remblai	Abandon	Argile limoneuse brune claire avec poches de calcaire et silex, inclusions ferromanganiques rouges Hétérogène, assez compact	Comblement du fossé
715	452	69	YV0035	Creusement	Construction	Creusement linéaire, en cuvette, bords obliques asymétriques avec un ressaut sur l'un des bords Ce ressaut et l'US713 peuvent faire penser à un recreusement ou un second état d'un fossé antérieur	Creusement du fossé

US	Fait	Tranchée	Cadastre	Type US	Type action	Description physique	Interprétation
716	449	70	YV0036	Remblai	Abandon	Limon plutôt sableux brun foncé avec quelques inclusions de gravillons et graviers siliceux et calcaires En partie centrale, concentration en plus de nombreuses petites coquilles d'escargots allongées Homogène, compact	Comblement du fossé
717	449	70	YV0036	Remblai	Abandon	Limon plutôt sableux brun à beige mêlé à de très nombreuses inclusions à petits cailloux de calcaire pulvérulent Homogène, compact	Comblement du fossé
718	449	70	YV0036	Creusement	Construction	Creusement linéaire, en V irrégulier, bords obliques avec de légers ressauts, fond en légère pente	Creusement du fossé
719	517	70	YV0036	Remblai	Abandon	Limon plus ou moins argileux selon les zones, brun foncé avec inclusions millimétriques à centimétriques de calcaire pulvérulent, rares inclusions de graviers siliceux Homogène, compact	Comblement du fossé
720	517	70	YV0036	Creusement	Construction	Creusement linéaire, en cuvette	Creusement du fossé
721		70	YV0036	Terrain naturel	Géologique	Argile peu limoneuse brune jaunâtre avec inclusions ferromanganiques noires Très très compact	Couche géologique
722	472	75	YV0035	Remblai	Abandon	Limon brun clair contenant des inclusions millimétriques de calcaire Homogène, assez meuble	Comblement du trou de poteau
723	472	75	YV0035	Creusement	Construction	Creusement circulaire, arasé, fond plat	Creusement du trou de poteau
724	459	71	YV0035	Creusement	Construction	Creusement circulaire, tronconique, fond plat	Creusement du silo
725	459	71	YV0035	Remblai	Abandon	Comblement central, plus noir, avec argile Homogène	Comblement du silo
726	459	71	YV0035	Remblai	Abandon	Limon avec inclusions calcaires latérales	Effondrement de parois
727	459	71	YV0035	Remblai	Abandon	Très argileux, contenant quelques nodules de calcaires, charbons de bois	Comblement du silo
728	466	74	YV0035	Remblai	Abandon	Limon brun avec quelques rares petites inclusions calcaires Homogène, meuble	Comblement du silo
729	466	74	YV0035	Remblai	Abandon	Limon sableux brun gris avec inclusions calcaires (ressemble à l'US506 en plus brun) Homogène, meuble	Comblement du silo
730	466	74	YV0035	Remblai	Abandon	Limon sableux gris avec de très nombreuses inclusions millimétriques à centimétriques calcaires Homogène, meuble	Comblement du silo
731	466	74	YV0035	Remblai	Abandon	Idem US728 (Limon brun) avec plus de petites inclusions calcaires	Comblement du silo

US	Fait	Tranchée	Cadastre	Type US	Type action	Description physique	Interprétation
732	466	74	YV0035	Remblai	Abandon	Limon brun avec beaucoup d'inclusions calcaires centimétriques Homogène, assez compact	Comblement du silo
733	466	74	YV0035	Remblai	Abandon	Idem US731 (Limon brun avec petites inclusions calcaires) et quelques charbons de bois	Comblement du silo
734	466	74	YV0035	Remblai	Abandon	Idem US730: Limon sableux gris avec de très nombreuses inclusions millimétriques à centimétriques calcaires Homogène, meuble	Comblement du silo
735	466	74	YV0035	Remblai	Abandon	Idem US732 (Limon brun avec beaucoup d'inclusions calcaires centimétriques) en plus sableux	Comblement du silo
736	466	74	YV0035	Remblai	Abandon	Idem US732: Limon brun avec beaucoup d'inclusions calcaires centimétriques Homogène, assez compact	Comblement du silo
737	466	74	YV0035	Remblai	Abandon	Idem US733: Limon brun avec petites inclusions calcaires et quelques charbons de bois	Comblement du silo
738	466	74	YV0035	Remblai	Abandon	Argile limoneuse grise avec fines inclusions calcaires et quelques charbons de bois Homogène, assez compact	Comblement du silo
739	466	74	YV0035	Remblai	Abandon	Calcaire dégradé gris, marneux Homogène, assez compact	Comblement du silo
740	466	74	YV0035	Creusement	Construction	Creusement circulaire, piri-forme, fond légèrement incliné	Creusement du silo
741	475	76	YV0035	Remblai	Abandon	Comblement brun noir avec inclusions millimétriques calcaires, perturbé par des racines Très meuble	Comblement du trou de poteau
742	475	76	YV0035	Creusement	Construction	Creusement ovoïde, très diffus, arasé, irrégulier	Creusement du trou de poteau
743	468	75	YV0035	Remblai	Abandon	Limon sableux brun clair mêlé à de très nombreuses inclusions et graviers millimétriques et centimétriques calcaires Homogène, meuble	Comblement de la fosse
744	468	75	YV0035	Remblai	Abandon	Limon sableux beige contenant quelques inclusions millimétriques calcaires Homogène, meuble	Comblement de la fosse
745	468	75	YV0035	Remblai	Abandon	Limon argileux beige clair avec quelques inclusions millimétriques calcaires Homogène, assez compact et plastique	Comblement de la fosse
746	468	75	YV0035	Creusement	Construction	Creusement circulaire, en cuvette, bords obliques peu évasés	Creusement de la fosse
747	473	76	YV0035	Remblai	Abandon	Limon plutôt sableux brun avec quelques inclusions de calcaire pulvérulent, graviers calcaires et siliceux, mêlé à des poches argileuses brunes Homogène, compact	Comblement du silo

US	Fait	Tranchée	Cadastre	Type US	Type action	Description physique	Interprétation
748	473	76	YV0035	Remblai	Abandon	Limon plutôt argileux brun avec quelques inclusions de calcaire pulvérulent et rares graviers et petits cailloux calcaires (inférieur à 3cm), quelques graviers siliceux, mêlé à de petites poches sableuses brunes Homogène, compact	Comblement du silo
749	473	76	YV0035	Remblai	Abandon	Idem US747: Limon plutôt sableux brun avec quelques inclusions de calcaire pulvérulent, graviers calcaires et siliceux, mêlé à des poches argileuses brunes Homogène, compact	Comblement du silo
750	473	76	YV0035	Remblai	Abandon	Idem US748: Limon plutôt argileux brun avec quelques inclusions de calcaire pulvérulent et rares graviers et petits cailloux calcaires (inférieur à 3cm), quelques graviers siliceux, petites poches sableuses brunes moins nombreuses que dans l'US748 Homogène, compact	Comblement du silo
751	473	76	YV0035	Creusement	Construction	Creusement ovoïde, piriforme, légèrement asymétrique	Creusement du silo
752	474	76	YV0035	Remblai	Abandon	Calcaire fortement dégradé de texture sableuse fine, beige mêlé à un peu de limon brun clair et du calcaire pulvérulent blanc Plutôt meuble	Comblement de la fosse
753	474	76	YV0035	Remblai	Abandon	Calcaire pulvérulent blanc avec poches et inclusions calcaires beige de texture sableuse Plutôt meuble	Comblement de la fosse
754	474	76	YV0035	Remblai	Abandon	Idem US752: Calcaire fortement dégradé de texture sableuse fine, beige mêlé à un peu de limon brun clair et du calcaire pulvérulent blanc Plutôt meuble	Comblement de la fosse
755	474	76	YV0035	Remblai	Abandon	Idem US753: Calcaire pulvérulent blanc avec poches et inclusions calcaires beige de texture sableuse Plutôt meuble	Comblement de la fosse
756	474	76	YV0035	Remblai	Abandon	Calcaire pulvérulent blanc et calcaire beige, plus hétérogène que les US752 à 755 Plutôt meuble	Comblement de la fosse
757	474	76	YV0035	Remblai	Abandon	Calcaire pulvérulent avec des «veines» de limon beige Plutôt compact/induré	Comblement de la fosse
758	474	76	YV0035	Remblai	Abandon	Calcaire beige fortement dégradé, de texture très fine sableuse avec des inclusions de calcaire pulvérulent blanc	Comblement de la fosse
759	474	76	YV0035	Creusement	Construction	Creusement ovoïde, en auge asymétrique avec un bord oblique irrégulier et l'autre bord vertical, fond plat légèrement irrégulier	Creusement de la fosse

US	Fait	Tranchée	Cadastre	Type US	Type action	Description physique	Interprétation
760	470	75	YV0035	Remblai	Abandon	Limon noir avec cailloux et charbons de bois, nombreuses racines Hétérogène, meuble	Comblement de la fosse
761	470	75	YV0035	Remblai	Abandon	Comblement argileux noir à brun avec charbons de bois et petites inclusions de calcaire et de TC Poches de calcaire blanc délité	Comblement de la fosse
762	470	75	YV0035	Creusement	Construction	Creusement vu seulement partiellement, à priori ovoïde, en cuvette, bords quasi verticaux au fond puis ressauts et deviennent évasés	Creusement de la fosse
763	485	66	YV0037	Remblai	Abandon	Limon argileux brun orangé avec quelques fins nodules calcaires, notamment en partie basse) Homogène, meuble	Comblement de la fosse
764	485	66	YV0037	Creusement	Construction	Creusement circulaire, fond régulier, bords asymétriques	Creusement de la fosse
765	424	61	YV0037	Remblai	Abandon	Limon argileux brun gris avec rares inclusions ferromanganiques et rares cailloux siliceux Homogène, meuble	Comblement de la fosse
766	424	61	YV0037	Remblai	Abandon	Idem US765 (Limon argileux brun gris) mais avec plus d'inclusions ferromanganiques noires et tâches «léopards» d'oxydation et de plus rares cailloux siliceux Homogène, meuble	Comblement de la fosse
767	424	61	YV0037	Creusement	Construction	Creusement ovoïde irrégulier, en cuvette, bords plus ou moins obliques selon le côté	Creusement de la fosse
768	511	82	YV0037	Remblai	Abandon	Limon brun foncé avec nombreuses inclusions millimétriques calcaires et siliceuses, quelques traces ferromanganiques, quelques fragments centimétriques de charbon de bois et peut-être concentration en partie ouest de TC pulvérulente Homogène, meuble	Comblement de la fosse
769	511	82	YV0037	Remblai	Abandon	Idem US768 (Limon brun foncé) mais sans charbon, ni TC et avec moins d'inclusions calcaires et siliceuses Homogène, meuble	Comblement de la fosse
770	511	82	YV0037	Remblai	Abandon	Mélange de l'US769 (Limon brun foncé avec quelques inclusions calcaires et siliceuses) et de l'US771 (calcaire dégradé et pulvérulent mêlé à du limon brun) Homogène, meuble	Comblement de la fosse
771	511	82	YV0037	Remblai	Abandon	Niveau irrégulier de calcaire dégradé et pulvérulent mêlé à du limon brun Plutôt homogène, compact	Comblement de la fosse, niveau d'interface avec le fond, induré, peut-être d'origine naturel, mais dégradé
772	511	82	YV0037	Remblai	Abandon	Idem US768 (Limon brun foncé) mais sans charbon, ni TC et avec moins d'inclusions calcaires et siliceuses Homogène, meuble	Comblement de la fosse

US	Fait	Tranchée	Cadastre	Type US	Type action	Description physique	Interprétation
773	511	82	YV0037	Creusement	Construction	Creusement partiellement observée, en cuvette, fond irrégulier Le bord Est est diffus, le bord Nord plus franc	Creusement de la fosse
774	537	39	YV0040	Remblai	Abandon	Limon brun orangé avec inclusions centimétriques ferromanganiques et fines inclusions millimétriques calcaires et siliceuses Plutôt homogène, meuble	Comblement de la fosse d'extraction
775	537	39	YV0040	Remblai	Abandon	Limon brun clair avec quelques fines inclusions millimétriques ferromanganiques rouges et fines inclusions calcaires Homogène, meuble	Comblement de la fosse d'extraction
776	537	39	YV0040	Remblai	Abandon	Limon argileux brun à rouge avec nombreuses inclusions centimétriques ferreuses et quelques inclusions calcaires (millimétriques) et siliceuses (centimétriques) Homogène, meuble	Comblement de la fosse d'extraction
777	537	39	YV0040	Remblai	Abandon	Idem US 775 (Limon brun clair avec fines inclusions ferromanganiques rouges et inclusions calcaires) avec beaucoup plus d'inclusions calcaires et ferromanganiques rouges Homogène, meuble	Comblement de la fosse d'extraction
778	537	39	YV0040	Creusement	Construction	Creusement ovoïde, en cuvette, bords obliques, fond régulier	Creusement de la fosse d'extraction
779	496	57	YV0037	Remblai	Abandon	Limon brun Homogène	Comblement du trou de poteau
780	496	57	YV0037	Remblai	Abandon	Limon beige avec inclusions plus ou moins fines de calcaire, gravillons et petits galets, inclusions millimétriques de charbons de bois Plus hétérogène que l'US779	Comblement du trou de poteau
781	496	57	YV0037	Creusement	Construction	Creusement circulaire, en auge, bords très légèrement évasés	Creusement du trou de poteau
782	516	42	YV0041	Remblai	Abandon	Limon brun beige avec nombreuses inclusions de micro calcaires Au fond, fragments de calcaire plus importants Peut-être, empreinte d'un négatif à l'Est? (vide de calcaire) Hétérogène, meuble	Comblement du trou de poteau
783	516	42	YV0041	Creusement	Construction	Creusement circulaire, en auge, bords légèrement obliques	Creusement du trou de poteau
784	521	41	YV0041	Remblai	Abandon	Limon brun foncé avec nombreuses inclusions de gros grains sableux/siliceux épars et quelques inclusions de calcaire pulvérulent Homogène, meuble	Comblement d'un trou de poteau
785	521	41	YV0041	Creusement	Construction	Creusement ovoïde, en cuvette, bords asymétriques	Creusement du trou de poteau

US	Fait	Tranchée	Cadastre	Type US	Type action	Description physique	Interprétation
786	530	41	YV0041	Remblai	Abandon	Limon argileux brun gris avec nombreuses inclusions calcaires millimétriques et centimétriques, quelques nodules ferromanganiques Hétérogène, assez compact Très semble à l'US790 de F.524	Comblement du trou de poteau
787	530	41	YV0041	Creusement	Construction	Creusement circulaire, en cuvette, bords asymétriques	Creusement du trou de poteau
788	518	41	YV0041	Remblai	Abandon	Limon sableux à importante granulométrie, brun à brun foncé avec quelques inclusions de petits cailloux calcaire (5cm max) et siliceux (2cm max) Plutôt homogène, meuble	Comblement du trou de poteau
789	518	41	YV0041	Creusement	Construction	Creusement circulaire, arasé, à priori en cuvette, fond régulier	Creusement du trou de poteau
790	524	41	YV0041	Remblai	Abandon	Limon argileux brun gris avec nombreuses inclusions calcaires millimétriques et centimétriques, quelques nodules ferromanganiques Hétérogène, assez compact Très semblable à l'US786 de F.530	Comblement du trou de poteau
791	524	41	YV0041	Creusement	Construction	Creusement ovoïde, en auge	Creusement du trou de poteau
792	263	41	YV0041	Remblai	Abandon	Limon brun beige avec nombreux blocs calcaires et gravillons Hétérogène	Comblement du fossé
793	263	41	YV0041	Creusement	Construction	Creusement linéaire, fond régulier, bords plutôt évasés	Creusement du fossé
794		84	YV0041	Remblai	Abandon	Limon brun avec inclusions de gravillons siliceux et calcaires, avec rares inclusions de charbons	Niveau venant recouvrir plusieurs fossés Il marque peut-être également leur réutilisation simultanée dans un nouveau réseau plus tardivement
795	236	41	YV0041	Remblai	Abandon	Limon brun avec inclusions et cailloux calcaires, moins limoneux que l'US794	Comblement du fossé
796	236	41	YV0041	Creusement	Construction	Creusement linéaire, en cuvette, fond plat	Creusement du fossé
797	538	84	YV0041	Remblai	Abandon	Limon brun avec quelques galets calcaires et quelques gravillons	Comblement du fossé
798	538	84	YV0041	Creusement	Construction	Creusement linéaire, en cuvette, arasé	Creusement du fossé
799	513	41	YV0041	Remblai	Abandon	Limon sableux brun gris avec nombreuses inclusions de calcaire pulvérulent, rares petits cailloux calcaires Homogène, meuble	Comblement du trou de poteau
800	513	41	YV0041	Creusement	Construction	Creusement circulaire, en auge, bords légèrement obliques	Creusement du trou de poteau
801	534	37	YV0039	Remblai	Abandon	Limon brun gris avec quelques galets Très plastique	Comblement du fossé
802	534	37	YV0039	Creusement	Construction	Creusement linéaire, en cuvette, bords évasés	Creusement du fossé
803	211	34	YV0039				US non fouillée
804	97	14	YV0031	Remblai	Géologique	Limon brun gris avec nombreuses inclusions calcaires Homogène, assez compact	Comblement naturel

US	Fait	Tranchée	Cadastre	Type US	Type action	Description physique	Interprétation
805	160	22	YV0031				US non fouillée
806	108	18	YV0031	Remblai	Géologique	Limons argileux brun orangé avec inclusions centimétriques de calcaire et cailloux siliceux (10cm max)	Comblement naturel
807	447	72	YV0036				US non fouillée, ramassage de surface
808	132	20	YV0031	Remblai			Comblement
809	352	51	YV0042				US non fouillée
810	147	20	YV0031	Remblai		Limons beige brun	Comblement
811	28	2	YV009			US artificiel	US créé pour le matériel trouvé
812	148	20	YV0031	Remblai			Comblement
813	276	49	YV0041	Remblai	Abandon	US de surface	US non fouillée
814	149	20	YV0031	Remblai		Limons brun	Comblement indéterminée (reste TV?, terrier...)
815	188	32	YV0031	Remblai	Abandon	US = à US 256	US de ramassage de surface du matériel archéologique
816	150	20	YV0031	Remblai		Limons brun	Comblement indéterminée (reste TV?, terrier...)
817		71	YV0035	Interface			Interface US1/2 localisée dans le Sud de la tranchée
818	457	70	YV0036	Colluvion	Géologique	Limons brun avec inclusions ferromanganiques et charbons de bois Homogène, meuble	Niveau naturel
819	344	51	YV0041				US non fouillée
820	101	16	YV0031				US non fouillée
821	160	22	YV0031				US non fouillée
822	400	60	YV0037				US non fouillée
823	465	74	YV0035				US non fouillée
824	268	46	YV0041			Nombreux fragments de TCA en surface	US non fouillée
825	166	23	YV0031	Remblai	Abandon	L'US principale est constituée d'un limon sableux gris avec des inclusions de calcaire et graviers siliceux et de très nombreuses inclusions ferromanganiques, homogène, compact Sur cette matrice viennent s'insérer des zones/poches très irrégulières et de tailles variables d'argile orange à passées rouges avec énormément de graviers siliceux et quelques inclusions millimétriques et centimétriques ferromanganiques	US artificielle créée pour l'ensemble des comblements de la structure
826	237	40	YV0040	Remblai	Abandon	Limons très argileux brun avec inclusions de cailloux calcaires Une zone localisée au Nord pourrait faire penser à un rejet de foyer (zone diffuse de charbon de bois avec rares inclusions argileuses orangées rosées mais sans rubéfaction) Traces également d'argile limoneuse et de probable zone de stagnation d'eau	US de surface, non fouillée
827	211	34	YV0039				US non fouillée
828	391	57	YV0037				US non fouillée

US	Fait	Tranchée	Cadastre	Type US	Type action	Description physique	Interprétation
829	392	57	YV0037				US testée mécaniquement sur sa surface. Se situe directement sous la TV.
830	373	57	YV0037			Us de surface, pour mobilier	US non fouillée
831	386	57	YV0037				US non fouillée
832	318	50	YV0041	Remblai	Abandon	Limon légèrement argileux brun contenant de nombreuses inclusions calcaires et siliceuses millimétriques et quelques poches de calcaire pulvérulent. Homogène et meuble.	Comblement unique.
833	103	16	YV0031				US non fouillée
834	417	60	YV0037				US non fouillée
835	395	57	YV0037				US non fouillée
836	151	20	YV0031	Remblai			Comblement indéterminée (reste TV?, terrier...)
837	152	20	YV0031	Remblai		Limon beige à brun	Comblement indéterminée (reste TV?, terrier...)
838	153	20	YV0031	Remblai	Géologique	Limon sableux brun clair à beige avec nombreuses inclusions calcaires	Comblement naturel
839	154	20	YV0031	Remblai	Géologique	Limon brun orange	Comblement naturel
840	155	20	YV0031	Remblai	Géologique	Limon sableux brun avec fines inclusions calcaires	Comblement naturel
841	156	20	YV0031	Remblai			Comblement
842	181	31	YV0031	Remblai		Limon brun avec quelques inclusions calcaires millimétriques	Comblement
843	182	31	YV0031	Remblai		Limon brun avec quelques inclusions calcaires millimétriques	Comblement
844	187	32	YV0027	Remblai			Comblement
845	192	33	YV0039	Remblai	Occupation	Limon sableux gris jaune très fin avec rares fines inclusions calcaires et ferromanganiques Homogène, compact	US issu de labour profond
846	203	34	YV0039	Remblai	Abandon	Limon peu sableux brun foncé noir	Comblement plantation
847	216	36	YV0039	Remblai		Limon argileux brun gris avec nombreuses inclusions de charbon de bois	Comblement
848	235	40	YV0041	Remblai	Géologique	Limon sableux brun clair en partie supérieure, un niveau sableux avec des cailloux siliceux en partie centrale et un limon sableux grisâtre mêlé à du calcaire en partie basse	Comblement naturel
849	243	41	YV0039	Remblai	Abandon	Niveau plus ou moins épais de limon argileux brun foncé avec inclusions millimétriques et centimétriques siliceuses et calcaires mêlé à du TN (US121 très dégradé de blanc à rouge) Homogène, très très compact	Comblement du fossé
850	248	41	YV0039	Remblai	Géologique	Limon argileux gris brun avec fines inclusions calcaires en partie basse Argile limoneuse orange avec inclusions calcaires en partie haute	Comblement naturel

US	Fait	Tranchée	Cadastre	Type US	Type action	Description physique	Interprétation
851	250	41	YV0041	Remblai		Limon sableux gris avec inclusions calcaire Homogène, meuble	Comblement
852	259	39	YV0041	Remblai		Limon sableux brun gris avec cailloux calcaires (10cm max) et calcaire pulvérulent Hétérogène, meuble	Comblement
853	265	46	YV0041	Remblai		Us de surface	Us non fouillée Comblement naturel
854	272	47	YV0041	Remblai			Comblement
855	273	47	YV0041	Remblai		Limon argileux brun à brun clair avec inclusions millimétriques siliceuses, éparses Homogène, compact	Comblement
856	278	48	YV0042	Remblai	Géologique	Limon sableux brun gris avec inclusions millimétriques de calcaire	Comblement naturel
857	291	48	YV0042	Remblai			Comblement
858	304	48	YV0042	Remblai		Limon sableux brun contenant des inclusions calcaires centimétriques et millimétriques. Assez hétérogène et meuble.	Comblement
859	311	50	YV0041	Remblai	Géologique	Poche de limon argileux brun contenant des inclusions calcaires et/ou siliceuses (millimétriques et centimétriques). Très homogène, compacte et stérile. Est entourée d'une auréole irrégulière de limon légèrement argileux brun-gris mêlé de calcaire pulvérulent.	Phénomène géologique
860	313	50	YV0041	Remblai	Géologique	Poche de limon argileux brun contenant des inclusions calcaires. Très homogène et compacte. Est entourée d'une auréole irrégulière de limon argileux brun-gris mêlé de calcaire pulvérulent et de fragments de calcaire en plaques.	Phénomène géologique
861	315	50	YV0041	Remblai		Poche de limon brun très irrégulière venant s'infiltrer dans les irrégularités du terrain naturel (US121).	Reste d'éléments racinaires anciens
862	317	50	YV0041	Remblai	Abandon	Limon légèrement argileux brun contenant de nombreuses inclusions calcaires et siliceuses millimétriques et quelques poches de calcaire pulvérulent. Homogène et meuble.	Comblement unique.
863	324	50	YV0042	Remblai		Limon brun contenant des traces éparses de CDB, de Fe-Mg noir, très compacté.	Comblement indéterminée (reste TV?, terrier...)
864	326	32	YV0042	Remblai		Limon brun contenant des inclusions et des graviers calcaires s'infiltrant dans anfractuosités calcaires.	Comblement d'un trou racinaire.
865	329	51	YV0042	Remblai		Limon brun contenant des inclusions et des graviers calcaires s'infiltrant dans anfractuosités calcaires.	Comblement d'un trou racinaire couplé.

US	Fait	Tranchée	Cadastre	Type US	Type action	Description physique	Interprétation
866	330	51	YV0042	Remblai		Limons brun mêlé à des inclusions centimétriques calcaires. La partie sud du fait est plutôt remplie d'un limon brun plus foncé, épousant le contour et présentant une forme caractéristique de croissant.	Comblement.
867	332	51	YV0042	Remblai		Limons brun contenant des inclusions et des graviers calcaires s'infiltrant dans anfractuosités calcaires.	Comblement d'un trou racinaire.
868	334	51	YV0042	Remblai		Limons brun contenant des inclusions et des graviers calcaires s'infiltrant dans anfractuosités calcaires.	Comblement d'un trou racinaire.
869	336	51	YV0042	Remblai		Limons brun contenant des inclusions et des graviers calcaires s'infiltrant dans anfractuosités calcaires.	Comblement d'un trou racinaire couplé.
870	345	51	YV0042	Remblai		Limons brun contenant quelques inclusions calcaires.	Comblement de terrier.
871	347	51	YV0042	Remblai		Limons brun contenant quelques inclusions calcaires.	Comblement de terrier.
872	348	51	YV0042	Remblai		Limons brun contenant quelques inclusions calcaires.	Comblement .
873	356	51	YV0042	Remblai		Limons brun contenant quelques inclusions calcaires.	Comblement.
874	361	51	YV0041	Remblai	Abandon	Limons sableux brun à brun clair avec nombreuses inclusions millimétriques calcaires et siliceuses Homogène, compact	Comblement du fossé.
875	361	51	YV0041	Creusement	Construction	Creusement linéaire d'orientation N-O/S-E au profil en cuvette arasée.	Creusement du fossé.
876	363	52	YV0042	Remblai		Limons brun-gris contenant de nombreuses inclusions calcaires centimétriques. Homogène et assez compact.	Comblement.
877	364	53	YV0042	Remblai		Limons sableux brun contenant des ravigelles plus ou moins éparpillées, de petites poches d'argile en surface.	Comblement.
878	367	53	YV0042	Remblai		Limons sableux brun-clair contenant de fines inclusions calcaires et de nombreuses radicelles sur le fond.	Comblement.
879	369	54	YV0042	Remblai		Limons brun-gris contenant de nombreuses inclusions calcaires centimétriques avec une poche médiale calcaire. Homogène et assez compact.	Comblement.
880	374	57	YV0037	Remblai		Argile limoneuse légèrement plus claire que le limon argileux environnant (US2?) très diffuse, contenant des traces de racines en décomposition.	Comblement.
881	401	59	YV0037	Remblai	Géologique	Sédiment brun piégé dans dépression géologique.	Non fouillée.
882	402	59	YV0037	Remblai		Limons brun avec poches calcaires. Hétérogène et meuble.	
883	404	59	YV0037	Remblai		Limons argileux brun contenant des inclusions calcaires.	Placage remblai dans dépression naturelle.

US	Fait	Tranchée	Cadastre	Type US	Type action	Description physique	Interprétation
884	405	59	YV0037	Remblai		Limons bruns avec poches calcaires. Hétérogène et meuble. Fouillé manuellement.	Trou racinaire.
885	408	59	YV0037	Terrain naturel	Géologique	Tache de calcaire blanc sur argile jaune-orangé.	Émergence calcaire.
886	409	59	YV0037	Terrain naturel	Géologique	Tache de calcaire blanc sur argile jaune-orangé.	Émergence calcaire.
887	410	59	YV0037	Remblai		Limons argileux bruns avec restes racinaires (CDB) venant s'infiltrer dans les irrégularités du terrain naturel.	Trou racinaire.
888	414	60	YV0037	Remblai	Géologique	Limons bruns-gris, assez argileux, contenant quelques graviers siliceux. Homogène et compact. Testé mécaniquement.	Comblement naturel
889	415	60	YV0037	Remblai	Géologique	Limons bruns-gris, assez argileux, contenant quelques graviers siliceux. Homogène et compact. Testé mécaniquement.	Comblement naturel
890	428	61	YV0037	Remblai			Comblement
891	429	62	YV0037	Terrain naturel	Géologique	Calcaire	Résurgence TN
892	430	62	YV0037	Terrain naturel	Géologique	Calcaire	Résurgence TN
893	358	51	YV0042	Remblai	Abandon	Calcaire induré contenant de fines poches de limon gris en interstice.	Comblement intermédiaire lié à un éventuel effondrement de paroi.
894	438	64	YV0037	Remblai		Limons argileux bruns avec charbon de bois	
895	440	65	YV0037	Remblai	Géologique	Alternance de limons argileux bruns avec de fines inclusions millimétriques calcaires et des poches limono-sableuses grises avec des inclusions calcaires. Très hétérogène, assez compact.	Comblement naturel
896	448	66	YV0037			Traces éparpillées de charbon de bois	US annulée
897	453	60	YV0037	Terrain naturel	Géologique	Zone plus brune avec micro charbon de bois et calcaire et peut-être calcaire brûlé	US naturelle
898	454	66	YV0037	Terrain naturel	Géologique	Calcaire dégradé	Résurgence TN
899	455	67	YV0036	Remblai	Géologique	Limons très sableux gris orangés avec fines inclusions ferromagnétiques. Homogène, assez meuble, sauf en partie basse (très compact alors).	Comblement naturel
900	456	67	YV0036	Remblai			Comblement
901	458	71	YV0035	Remblai		Limons sableux bruns-beiges avec inclusions centimétriques de calcaire. Plutôt hétérogène, meuble.	Comblement
902	461	72	YV0035	Remblai	Abandon	Limons bruns avec quelques fines inclusions calcaires millimétriques. Homogène, meuble.	Comblement d'une plantation
903	463	72	YV0035	Remblai			Comblement
904	469	75	YV0035	Remblai		Limons beiges mêlés à des inclusions calcaires. Traces de racines.	Comblement naturel

US	Fait	Tranchée	Cadastre	Type US	Type action	Description physique	Interprétation
905	471	75	YV0035	Remblai			Comblement
906	476	72	YV0035	Remblai			Comblement
907	477	72	YV0035	Remblai			Comblement
908	478	72	YV0035	Remblai	Abandon	Limon brun avec fines inclusions calcaires millimétriques	Comblement d'une plantation
909	479	72	YV0035	Remblai	Géologique		Comblement naturel
910	481	72	YV0035	Remblai		Limon sableux brun	Comblement
911	484	72	YV0035	Remblai	Abandon	Limon sableux brun avec nombreuses inclusions de calcaire pulvérulent, notamment au fond de la structure	Comblement d'un trou de plantation
912	498	77	YV0039	Remblai			Comblement naturel
913	499	80	YV0037	Remblai		Limon brun plus ou moins chargé en calcaire pulvérulent	Comblement
914	500	40	YV0039				US non fouillée
915	504	41	YV0039			Limon un peu plus foncé que le TN alentour, très diffus	Terrain naturel
916	510	82	YV0037	Remblai			Comblement
917	533	33	YV0041	Remblai	Abandon	Limon brun à brun clair avec légères traces d'oxydation ferromanganique Induré	Comblement d'une fosse indéterminée
918	535	41	YV0041	Remblai			Comblement
919	100	16	YV0031				US non fouillée
920	198	34	YV0039				US non fouillée
921	102	17	YV0031				US non fouillée
922	199	34	YV0039				US non fouillée
923	105	17	YV0031				ANNULE (= US110)
924	106	17	YV0031				US non fouillée (probablement = US110 de la marnière F.87)
925	109	18	YV0031				US non fouillée
926	435	63	YV0037	Remblai	Abandon	Limon marneux, notamment composé d'un litage de limon brun assez homogène et de mélange de limon et de marne, avec une quantité importante de cailloux Hétérogène, assez meuble	Comblement de la fosse
927	111	19	YV0031				US non fouillée
928	113	19	YV0031				US non fouillée
929	114	19	YV0031				US non fouillée
930	115	19	YV0031				US non fouillée
931	116	19	YV0031				US non fouillée
932	117	19	YV0031				US non fouillée
933	118	19	YV0031				US non fouillée
934	119	19	YV0031				US non fouillée
935	120	19	YV0031				US non fouillée
936	122	19	YV0031				US non fouillée
937	123	19	YV0031				US non fouillée
938	124	19	YV0031				US non fouillée
939	125	19	YV0031				US non fouillée
940	126	19	YV0031				US non fouillée
941	127	19	YV0031				US non fouillée
942	128	19	YV0031				US non fouillée
943	129	19	YV0031				US non fouillée

US	Fait	Tranchée	Cadastre	Type US	Type action	Description physique	Interprétation
944	131	20	YV0031			Comblement limoneux avec charbons de bois en surface	US non fouillée
945	133	19	YV0031				US non fouillée
946	134	19	YV0031				US non fouillée
947	135	19	YV0031				US non fouillée
948	136	19	YV0031				US non fouillée
949	137	19	YV0031				US non fouillée
950	138	19	YV0031				US non fouillée
951	139	19	YV0031				US non fouillée
952	140	19	YV0031				US non fouillée
953	142	19	YV0031				US non fouillée
954	143	19	YV0031				US non fouillée
955	144	19	YV0031				US non fouillée
956	145	19	YV0031				US non fouillée
957	172	26	YV0031	Remblai	Abandon	Limons sableux brun foncé avec quelques petits cailloux siliceux et rares inclusions de TC millimétriques Homogène et meuble	Comblement du fossé
958	201	34	YV0039				US non fouillée
959	202	34	YV0039				US non fouillée
960	183	31	YV0027			Limons bruns avec graviers calcaires	US non fouillée
961	194	33	YV0039			Limons argileux graveleux	US non fouillée
962	204	34	YV0039				US non fouillée
963	206	34	YV0039				US non fouillée
964	207	34	YV0039				US non fouillée
965	213	35	YV0039				US non fouillée
966	358	51	YV0042	Remblai	Abandon	Limons argileux brun orangé contenant de fines inclusions calcaires. Homogène et assez compact.	Comblement intermédiaire, situé au dessus de l'US 530.
967	221	6	YV0039				US non fouillée
968	223	36	YV0039			Limons bruns	US non fouillée
969	231	39	YV0041				US non fouillée
970	232	39	YV0041				US non fouillée
971	239	40	YV0039				US non fouillée
972	241	41	YV0039	Remblai	Abandon	Us de surface	US non fouillée
973	242	41	YV0039	Remblai	Abandon	Idem US 403: Limons argileux brun foncé avec quelques fines inclusions calcaires et quelques inclusions siliceuses Homogène, compact	Comblement du fossé
974	251	42	YV0042				US non fouillée
975	252	42	YV0042				US non fouillée
976	269	46	YV0041				US non fouillée
977	279	48	YV0042			Limons bruns, fragments de TCA en surface	US non fouillé
978	281	48	YV0042				US non fouillée
979	284	48	YV0042				US non fouillée
980	286	48	YV0042				US non fouillée
981	288	48	YV0042				US non fouillée
982	289	48	YV0042				US non fouillée
983	297	48	YV0042				US non fouillée

US	Fait	Tranchée	Cadastre	Type US	Type action	Description physique	Interprétation
984	298	48	YV0042				US non fouillée
985	300	48	YV0042				US non fouillée
986	301	48	YV0042				US non fouillée
987	303	48	YV0042				US non fouillée
988	305	48	YV0041				US non fouillée
989	310	50	YV0041				US non fouillée
990	314	50	YV0041				US non fouillée
991	319	50	YV0041				US non fouillée
992	323	50	YV0042				US non fouillée
993	327	51	YV0042				US non fouillée
994	328	51	YV0042				US non fouillée
995	331	51	YV0042				US non fouillée
996	333	51	YV0042				US non fouillée
997	335	51	YV0042				US non fouillée
998	337	51	YV0042				US non fouillée
999	339	51	YV0042				US non fouillée
1000	340	51	YV0042				US non fouillée
1001	342	51	YV0042				US non fouillée
1002	346	51	YV0042				US non fouillée
1003	351	51	YV0042				US non fouillée
1004	353	51	YV0042				US non fouillée
1005	355	51	YV0042				US non fouillée
1006	242	41	YV0039	Remblai	Abandon	Idem US 404: Argile légèrement limoneuse avec nombreuses inclusions de graviers siliceux et inclusions calcaires (0,5 à 1cm max) Homogène, très compact	Comblement du fossé
1007	365	48	YV0042				US non fouillée
1008	371	49	YV0042	Remblai		Limon brun	Comblement d'une structure indéterminée
1009	242	41	YV0039	Remblai	Abandon	Idem US 849: Niveau plus ou moins épais de limon argileux brun foncé avec inclusions millimétriques et centimétriques siliceuses et calcaires mêlé à du TN (US121 très dégradé de blanc à rouge) Homogène, très très compact	Comblement du fossé
1010	377	57	YV0037				US non fouillée
1011	378	57	YV0037				US non fouillée
1012	379	57	YV0037				US non fouillée
1013	242	41	YV0039	Creusement	Construction	Idem US 405: Creusement linéaire, en cuvette, fond plat, bords obliques	Creusement du fossé
1014	383	57	YV0037	Remblai		Argile limoneuse brune contenant de nombreux cailloux calcaires. Homogène et assez compact.	Certainement un écorché en plan de la partie inférieure de F385 (correspondant à son US 601 dans sa partie est).
1015	384	57	YV0037	Remblai		Argile limoneuse brune contenant quelques cailloux calcaires. Homogène et assez compact.	Certainement un écorché en plan de la partie supérieure de F385 (correspondant à son US 600 dans sa partie est).
1016	388	57	YV0037				US non fouillée.
1017	393	57	YV0037				US non fouillée
1018	397	57	YV0037				US non fouillée

US	Fait	Tranchée	Cadastre	Type US	Type action	Description physique	Interprétation
1019	398	57	YV0037				US non fouillée
1020	403	59	YV0037				US non fouillée
1021	406	59	YV0037				US non fouillée
1022	407	59	YV0037				US non fouillée
1023	412	60	YV0037				US non fouillée
1024	423	61	YV0037				US non fouillée
1025	431	62	YV0037				US non fouillée
1026	432	57	YV0037				US non fouillée.
1027	445	65	YV0037				US non fouillée
1028	446	66	YV0036	Remblai	Abandon	Limon sableux brun avec nombreuses inclusions millimétriques de calcaire pulvérulent et quelques inclusions millimétriques ferromanganiques Homogène, compact	Comblement du fossé
1029	446	66	YV0036	Remblai	Abandon	Idem US1029 (Limon sableux brun avec inclusions de calcaire pulvérulent et inclusions ferromanganiques) mais en plus foncé, chargé en calcaire et avec quelques inclusions millimétriques de charbon de bois	Comblement du fossé
1030	446	66	YV0036	Remblai	Abandon	Limon sableux brun gris mêlé à du calcaire pulvérulent en poche Homogène, compact	Comblement du fossé
1031	446	66	YV0036	Creusement	Construction	Creusement linéaire, fond en cuvette irrégulière, bords obliques	Creusement du fossé
1032	460	72	YV0035				US non fouillée
1033	462	72	YV0035				US non fouillée
1034	464	72	YV0035				US non fouillée
1035	467	74	YV0035				US non fouillée
1036	480	72	YV0035				US non fouillée
1037	482	72	YV0035				US non fouillée
1038	486	66	YV0037				US non fouillée
1039	487	75	YV0035				US non fouillée
1040	488	57	YV0037				US non fouillée.
1041	489	57	YV0037				US non fouillée.
1042	490	57	YV0037				US non fouillée.
1043	491	57	YV0037				US non fouillée.
1044	492	57	YV0037				US non fouillée.
1045	493	57	YV0037				US non fouillée.
1046	494	57	YV0037				US non fouillée.
1047	495	57	YV0037				US non fouillée.
1048	497	57	YV0037				US non fouillée.
1049	503	41	YV0041				US non fouillée
1050	505	72	YV0035				US non fouillée
1051	506	72	YV0035				US non fouillée
1052	508	72	YV0035				US non fouillée
1053	509	72	YV0035				US non fouillée
1054	512	84	YV0041				US non fouillée
1055	514	41	YV0041				US non fouillée
1056	515	41	YV0041				US non fouillée
1057	519	41	YV0041				US non fouillée

US	Fait	Tranchée	Cadastre	Type US	Type action	Description physique	Interprétation
1058	520	41	YV0041				US non fouillée
1059	522	41	YV0041				US non fouillée
1060	523	41	YV0041				US non fouillée
1061	525	41	YV0041				US non fouillée
1062	526	41	YV0041				US non fouillée
1063	527	41	YV0041				US non fouillée
1064	528	41	YV0041				US non fouillée
1065	529	41	YV0041				US non fouillée
1066	531	41	YV0041				US non fouillée
1067	532	41	YV0041				US non fouillée
1068	536	41	YV0041				US non fouillée
1069	539	41	YV0041				US non fouillée
1070	540	41	YV0041				US non fouillée
1071	541	84	YV0041				US non fouillée
1072	542	84	YV0041				US non fouillée
1073	172	26	YV0031	Creusement	Construction	Creusement linéaire, en cuvette, bords évasés	Creusement du fossé
1074	317	50	YV0041	Creusement	Construction	Large creusement au profil en cuvette à bords très évasé et très arasé.	Creusement.
1075	318	50	YV0041	Creusement	Construction	Large creusement au profil en cuvette à bords très évasé et très arasé.	Creusement.
1076	249	41	YV0041	Remblai	Construction	Calcaire pulvérulent mêlé à du sable limoneux brun gris (soit comme l'US 392 mais avec nettement plus de calcaire)	Comblement de «l'avant trou» du poteau
1077	275	41	YV0041	Remblai	Construction	Idem US390 (sable limoneux avec calcaire pulvérulent brun beige) mais avec une présence encore plus importante de calcaire	Comblement de «l'avant trou» du poteau
1078	276	48	YV0041	Remblai	Abandon	Limon sableux brun à brun clair avec nombreuses inclusions millimétriques calcaires et siliceuses Homogène, compact	Comblement du fossé
1079	276	48	YV0041	Creusement	Construction	Creusement linéaire, en cuvette, bords obliques	Creusement du fossé
1080	293	49	YV0042	Creusement	Construction	Creusement ovoïde irrégulier, observé partiellement, en cuvette	Creusement de la marnière
1081	435	63	YV0037	Remblai	Abandon	Calcaire pulvérulent	Probable effondrements de paroi
1082	435	63	YV0037	Remblai	Abandon	Idem US 611 (Limon argileux brun) mais avec plus de cailloux calcaire	Comblement de la fosse
1083	435	63	YV0037	Remblai	Abandon	Idem US 926: Limon marneux, notamment composé d'un litage de limon brun assez homogène et de mélange de limon et de marne, avec une quantité importante de cailloux Hétérogène, assez meuble	Comblement de la fosse
1084	435	63	YV0037	Creusement	Construction	Creusement ovoïde, en cuvette, bords asymétriques peu évasés	Creusement de la fosse

US	Fait	Tranchée	Cadastre	Type US	Type action	Description physique	Interprétation
1085	444	65	YV0037	Remblai	Abandon	<p>Limon sableux brun avec nombreuses inclusions siliceuses et calcaires (millimétriques) et quelques cailloux épars (3cm max), nombreuses inclusions ferromanganiques noires à «rouille» (millimétriques) Homogène, compact</p> <p>Équivalent à US694?</p>	Comblement du fossé
1086	444	65	YV0037	Remblai	Abandon	<p>Argile limoneuse grise verdâtre (hydromorphe) contenant quelques poches de calcaire pulvérulent Traces d'oxydations ferromanganiques noires Homogène, compact</p> <p>Équivalent à US695?</p>	Comblement du fossé
1087	87	11	YV0037	Remblai	Abandon	<p>Limon sableux brun-orange contenant quelques fines inclusions calcaires et siliceuses. Homogène et compact.</p>	Comblement supérieur de la fosse d'extraction (observé dans la coupe E/O de F87).
1088	87	11	YV0037	Remblai	Abandon	<p>Limon sableux brun-orange contenant des graviers calcaires. Homogène et meuble.</p>	Comblement intermédiaire de la fosse d'extraction (observé dans la coupe E/O de F87).
1089	87	11	YV0037	Remblai	Abandon	<p>Limon sableux brun-orange foncé contenant beaucoup de graviers calcaires. Homogène et meuble.</p>	Comblement intermédiaire de la fosse d'extraction (observé dans la coupe E/O de F87).
1090	87	11	YV0037	Remblai	Abandon	<p>Limon sableux brun-orange contenant des graviers calcaires. Homogène et meuble.</p>	Comblement intermédiaire de la fosse d'extraction (observé dans la coupe E/O de F87).
1091	87	11	YV0037	Remblai	Abandon	<p>Sable limoneux beige contenant des inclusions de calcaire pulvérulent. Homogène et meuble.</p>	Un des comblements primaires de la fosse d'extraction (observé dans la coupe E/O de F87).
1092	87	11	YV0037	Creusement	Construction	<p>Creusement asymétrique, fond plat.</p>	Creusement (observé dans la coupe E/O de F87).
1093	87	11	YV0037	Remblai	Abandon	<p>Limon sableux brun-orange contenant quelques fines inclusions calcaires et siliceuses. Homogène et compact.</p>	Comblement supérieur de la fosse d'extraction (observé dans la partie médiane de F87).
1094	87	11	YV0037	Remblai	Abandon	<p>Limon sableux brun-orange contenant des graviers et cailloux calcaires et siliceux (inférieurs à 10 cm), mêlé à des poches de limon sableux orangé avec quelques CDB. Homogène et compact.</p>	Comblement intermédiaire de la fosse d'extraction (observé dans la partie médiane de F87).
1095	87	11	YV0037	Remblai	Abandon	<p>Limon sableux brun-orange foncé contenant quelques fines inclusions calcaires et siliceuses. Homogène et compact.</p>	Comblement intermédiaire de la fosse d'extraction (observé dans la partie médiane de F87).
1096	87	11	YV0037	Remblai	Abandon	<p>Limon sableux brun-orange foncé contenant quelques fines inclusions calcaires et siliceuses. Homogène et compact.</p>	Comblement intermédiaire de la fosse d'extraction (observé dans la partie médiane de F87).
1097	87	11	YV0037	Remblai	Abandon	<p>Limon sableux brun-orange contenant quelques fines inclusions calcaires et siliceuses. Homogène et compact. (même composition que 1093).</p>	Comblement intermédiaire de la fosse d'extraction (observé dans la partie médiane de F87).

US	Fait	Tranchée	Cadastre	Type US	Type action	Description physique	Interprétation
1098	87	11	YV0037	Remblai	Abandon	Limon sableux mêlé à de très nombreuses inclusions de graviers et de petits cailloux calcaires (1 à 5 cm). Homogène et très compact.	Comblement intermédiaire de la fosse d'extraction (observé dans la partie médiane de F87).
1099	87	11	YV0037	Remblai	Abandon	Argile sableuse brun foncé contenant de nombreux silex épars. Homogène et compact.	Comblement intermédiaire de la fosse d'extraction (observé dans la partie médiane de F87).
1100	87	11	YV0037	Remblai	Abandon	Limon sableux brun contenant de très nombreux nombreux cailloux et graviers calcaires. Homogène et très compact.	Comblement intermédiaire de la fosse d'extraction (observé dans la partie médiane de F87).
1101	87	11	YV0037	Remblai	Abandon	Limon sableux brun-orange foncé contenant de petites inclusions calcaires, mêlé à des poches de limon sableux orangé avec quelques CDB. Homogène et assez compact.	Comblement intermédiaire de la fosse d'extraction (observé dans la partie médiane de F87).
1102	87	11	YV0037	Remblai	Abandon	Limon sableux brun-orange foncé contenant beaucoup de fines inclusions calcaires et siliceuses. Homogène et compact.	Comblement intermédiaire de la fosse d'extraction (observé dans la partie médiane de F87).
1103	87	11	YV0037	Remblai	Abandon	Limon sableux brun-clair contenant énormément d'inclusions calcaires moyennes par poches plus ou moins diffuses. Assez hétérogène et compact.	Un des comblements primaires de la fosse d'extraction (observé dans la partie médiane de F87).
1104	87	11	YV0037	Remblai	Abandon	Sable limoneux brun-orange contenant quelques inclusions calcaires et de petits graviers siliceux. Assez hétérogène et compact.	Un des comblements primaires de la fosse d'extraction (observé dans la partie médiane de F87).
1105	87	11	YV0037	Remblai	Abandon	Limon sableux brun-orange contenant quelques fines inclusions calcaires et siliceuses. Homogène et compact.	Comblement supérieur de la fosse d'extraction (observé dans la partie sud de F87).
1106	87	11	YV0037	Remblai	Abandon	Limon sableux brun foncé contenant de très nombreuses inclusions calcaires millimétriques et cailloux calcaires (allant jusque 10 cm de longueur). Homogène et très compact.	Comblement intermédiaire de la fosse d'extraction (observé dans la partie sud de F87).
1107	87	11	YV0037	Remblai	Abandon	Limon argileux brun contenant des inclusions calcaires millimétriques et cailloux calcaires inégalement répartis. Homogène et assez meuble.	Comblement intermédiaire de la fosse d'extraction (observé dans la partie sud de F87).
1108	87	11	YV0037	Remblai	Abandon	Limon argileux brun mêlé à des poches de calcaire et à des cailloux de calcaire jaune dégradé ainsi que quelques graviers siliceux. Hétérogène et meuble.	Comblement intermédiaire de la fosse d'extraction (observé dans la partie sud de F87).
1109	87	11	YV0037	Remblai	Abandon	Couche litée de niveaux de calcaire pulvérulent jaune et de niveau limono-argileux brun. Meuble et hétérogène.	Un des comblements primaires de la fosse d'extraction (observé dans la partie sud de F87).
1110	87	11	YV0037	Remblai	Abandon	Sable limoneux brun-jaune contenant des inclusions de calcaire jaune et blanc et de petits graviers siliceux. Assez hétérogène et compact.	Un des comblements primaires de la fosse d'extraction (observé dans la partie médiane de F87).

US	Fait	Tranchée	Cadastre	Type US	Type action	Description physique	Interprétation
1111	437	65	YV0041	Remblai	Abandon	Limon argileux (plus argileux que US 697), nombreuses inclusions de calcaire dégradé blanc à rouge et quelques inclusions ferromanganiques Plus hétérogène que US697, compact	Comblement primaire du fossé dans sa coupe médiane
1112	166	23		Creusement	Construction	Creusement irrégulier en plan et en coupe	Creusement de la fosse
1113	427	61		Remblai	Abandon	Limon mélangé à de la marne avec beaucoup d'inclusions calcaires	Comblement du fossé

Fait	Cadastre	Tranchée	Catégorie	Dimensions	Description	US	Dessins	Datation
1	YV0029	1	Anomalie naturelle	larg. : 80 prof. : 86	Structure indéterminée, probablement naturelle, de plan et profil irrégulier Longueur minimum: 160cm Testé mécaniquement	5		ind
2	YV0029	1	ANNULÉ		Résurgence de grave dans de l'argile orangée	135		ind
3	YV0030	1	Fosse	long. : 260 larg. : 120 prof. : 46	Structure indéterminée linéaire/oblongue d'orientation Est/Ouest, vue partiellement Fosse ou fossé? Testé mécaniquement	16 / 17 / 18	pl.1 ds.5 / pl.1 ds.6	prehist ind proto ind
4	YV0030	1	Anomalie naturelle	long. : 230 larg. : 114 prof. : 105	Structure de plan et de profil irrégulier Peut-être un chablis? Testé mécaniquement	8		ind
5	YV0031	2	Anomalie naturelle		Testé mécaniquement	136		ind
6	YV0031	2	Fosse	long. : 126 prof. : 54	Fosse ovoïde indéterminée, en partie dans la berme Est de la tranchée 2 Anthropique? Largeur minimum: 58cm	10 / 11	pl.1 ds.1 / pl.1 ds.2	ind
7	YV0031	2	Anomalie naturelle	long. : 90 larg. : 75 prof. : 13	Structure ovoïde irrégulière, pas de creusement observé, profil irrégulier. Le comblement est de l'US 3 mêlé à du limon brun Stérile Très probablement naturel	137		ind
8	YV0031	2	Anomalie naturelle	long. : 96 prof. : 15	Structure en partie observée car prise dans berme Ouest de la tranchée 2 Pas de creusement observé, profil très irrégulier, comblement limoneux gris brun, stérile Très probablement naturel, peut-être chablis? Largeur minimum: 40cm	138		ind
9	YV0031	2	Anomalie naturelle		Peut-être un chablis Testé mécaniquement	139		ind
10	YV0031	2	Chablis		Testé mécaniquement	140		ind
11	YV0031	2	Racine			141		ind
12	YV0030	2	Anomalie naturelle		Peut-être un chablis Non testé	142		ind
13	YV0030	2	Anomalie naturelle		Peut-être un chablis Testé mécaniquement	143		ind
14	YV0030	2	Trou de poteau	long. : 68 larg. : 54 prof. : 24	Hypothétique trou de poteau de plan ovoïde, peut-être anomalie naturelle	12 / 13	pl.1 ds.3 / pl.1 ds.4	ind
15	YV0030	2	Anomalie naturelle		Testé mécaniquement	144		ind
16	YV0030	2	Fosse	larg. : 69 prof. : 8	Structure oblongue irrégulière, prise en partie dans la berme Ouest de la tranchée 2 Anthropique? Peut-être anomalie naturelle ou chablis Longueur minimum: 94cm	14 / 15	pl.2 ds.7 / pl.2 ds.8	ind
17	YV0029	2	Anomalie naturelle		Testé mécaniquement	145		ind
18	YV0029	2	Anomalie naturelle		Testé mécaniquement	146		ind
19	YV0029	2	Trou de poteau	long. : 44 larg. : 39 prof. : 9	Possible trou de poteau, de plan ovoïde, fonctionnant peut-être avec F.20, F.21, F.52 et F.54 (bâtiment?, zone plantation?..)	19 / 20	pl.2 ds.11 / pl.2 ds.12	prehist ind proto ind
20	YV0029	2	Trou de poteau	long. : 50 larg. : 42 prof. : 13	Possible trou de poteau, de plan ovoïde, fonctionnant peut-être avec F.19, F.21, F.52 et F.54 (bâtiment?, zone plantation?..)	21 / 22	pl.3 ds.19 / pl.3 ds.20	prehist ind proto ind
21	YV0029	2	Trou de poteau	long. : 55 larg. : 45 prof. : 16	Possible trou de poteau, de plan ovoïde, fonctionnant peut-être avec F.20, F.19, F.52 et F.54 (bâtiment?, zone plantation?..)	23 / 24	pl.2 ds.15 / pl.2 ds.16	prehist ind proto ind

Fait	Cadastre	Tranchée	Catégorie	Dimensions	Description	US	Dessins	Datation
22	YV0029	2	Anomalie naturelle		Autre hypothèse: fosse d'extraction Non testé	147		prehist ind proto ind
23	YV0029	2	Anomalie naturelle		Autre hypothèse: fosse d'extraction Non testé	148		prehist ind proto ind
24	YV0029	2	Trou de poteau	long. : 40 larg. : 35 prof. : 14	Hypothétique trou de poteau, de plan ovoïde ou anomalie naturelle à la vue du contexte (isolé, complètement stérile, creusement irrégulier)	25 / 26	pl.2 ds.17 / pl.2 ds.18	prehist ind proto ind
25	YV0029	2	Fosse	diam. : 60 prof. : 34	Peut-être trou de poteau, de plan circulaire	27 / 28 / 29	pl.3 ds.21 / pl.3 ds.22	prehist ind proto ind
26	YV0029	2	Fosse	long. : 61 larg. : 53 prof. : 16	Structure indéterminée de plan ovoïde, peut-être un trou de poteau?	30 / 31	pl.2 ds.10 / pl.2 ds.9	prehist ind proto ind
27	YV0029	2	Anomalie naturelle		Non testé	149		ind
28	YV0029	2	Terrier		Plan irrégulier avec départ de galerie Non testé	150 / 811		ind
29	YV0029	2	Trou de poteau	diam. : 35 prof. : 16	Hypothétique trou de poteau ou de plantation, de plan circulaire	32 / 33	pl.3 ds.23 / pl.3 ds.24	Bronze moyen
30	YV0029	2	Anomalie naturelle		Non testé	151		ind
31	YV0029	3	Anomalie naturelle		Plan irrégulier. Testé mécaniquement	152		ind
32	YV0029	3	Anomalie naturelle		Non testé	153		ind
33	YV0029	3	Trou de poteau	long. : 37 larg. : 36	Hypothétique trou de poteau ou de plantation, fortement arasé, de plan circulaire Possibilité d'une anomalie naturelle	36 / 37	pl.2 ds.13 / pl.2 ds.14	ind
34	YV0029	3	Terrier			154		ind
35	YV0029	3	Anomalie naturelle		Non testé	155		ind
36	YV0029	3	Anomalie naturelle		Non testé	156		ind
37	YV0029	3	Anomalie naturelle		Non testé	157		ind
38	YV0029	3	Anomalie naturelle		Non testé	158		ind
39	YV0029	3	Anomalie naturelle		Non testé	159		ind
40	YV0031	4	Anomalie naturelle		Dépression ayant piégé une couche limoneuse orangé contenait l'ISO 17 - silex, mais annulé car naturel	160		ind
41	YV0030	4	Anomalie naturelle		Structure irrégulière en plan et en coupe Testé mécaniquement	161		ind
42	YV0029	4	Fosse	long. : 100 larg. : 82 prof. : 34	Structure indéterminée, anthropique? Peut-être anomalie naturelle Un tesson de céramique a été trouvé mais venant très probablement d'une racine venu perturbée la structure, que l'on observe sur le bord de la structure	45 / 46	pl.5 ds.34 / pl.5 ds.35	Bronze moyen
43	YV0029	4	Anomalie naturelle		Niveau de limon piégé dans une dépression naturelle	162		ind
44	YV0029	4	Anomalie naturelle		Poche de limon piégé dans une dépression naturelle	163		ind

Fait	Cadastre	Tranchée	Catégorie	Dimensions	Description	US	Dessins	Datation
45	YV0029	4	Trou de poteau	long. : 43 larg. : 32 prof. : 19	Hypothétique trou de poteau ou de plantation, de plan ovoïde	41 / 42	pl.4 ds.27 / pl.4 ds.28	ind
46	YV0029	4	Anomalie naturelle		Structure irrégulière en coupe Testé mécaniquement	164		ind
47	YV0029	5	Drain	larg. : 36 prof. : 41	Drain orienté Nord-Sud Moderne? Testé mécaniquement	52 / 53 / 54	pl.4 ds.32	Moderne
48	YV0029	5	Racine			165		ind
49	YV0029	5	Support de vigne		Pierre calcaire à l'interface entre US 1 et US 2, pas de creusement observé	166		ind
50	YV0029	5	support de vigne	long. : 48 larg. : 32 prof. : 8	Possible trou de poteau, de plan ovoïde, fonctionnant avec l'iso 7 (pierre calcaire) sur le même modèle que F.51 et l'iso 8: piquet/poteau tendu pour plantation (palissage)	58 / 59	pl.5 ds.36 / pl.5 ds.37	ind
51	YV0029	5	Support de vigne	diam. : 18 prof. : 14	Possible trou de piquet, de plan circulaire, fonctionnant avec l'iso 8 (pierre calcaire) sur le même modèle que F.50 et l'iso 7: piquet/poteau tendu pour plantation (palissage)	39 / 40	pl.3 ds.25 / pl.3 ds.26	ind
52	YV0029	2	Trou de poteau	diam. : 46 prof. : 18	Possible trou de poteau, de plan circulaire, fonctionnant peut-être avec F.19, F.20, F.21 et F.54 (bâtiment?, zone plantation?...) Semble recouper F.53 Testé mécaniquement	47 / 48	pl.4 ds.31	prehist ind proto ind
53	YV0029	2	Fosse	long. : 430 larg. : 130 prof. : 38	Fosse indéterminée, de plan ovoïde irrégulier, peut-être anomalie naturelle? Semble être recoupé par F.52 Testé mécaniquement	49 / 50	pl.4 ds.31	prehist ind proto ind
54	YV0029	2	Trou de poteau	diam. : 50 prof. : 17	Possible trou de poteau, de plan ovoïde, fonctionnant peut-être avec F.19, F.21, F.20 et F.52 (bâtiment?, zone plantation?...)	43 / 44	pl.4 ds.29 / pl.4 ds.30	prehist ind proto ind
55	YV0030	5	ANNULÉ		Remontée de calcaire	167		ind
56	YV0031	5	Drain	long. : 200 larg. : 40 prof. : 41	Drain orienté Est-Ouest, peut-être perçu en tranchée 4 mais pas en tranchée 6	62 / 63 / 64	pl.4 ds.33	ind
57	YV0031	5	ANNULÉ		Remontée de calcaire	168	pl.6 ds.44	ind
58	YV0031	5	Anomalie naturelle		Probable poche limoneuse piégée dans une dépression naturelle	169		ind
59	YV0031	5	Fosse	larg. : 110 prof. : 34	Structure indéterminée, fosse ou fossé orienté Est-Ouest (mais non perçu en tranchée 4 et en tranchée 6) L'interface entre l'US 65 et les US 66 et 67 peut potentiellement marqué la trace d'un curage/recreusement	65 / 66 / 67 / 68	pl.5 ds.38	ind
60	YV0031	5	Anomalie naturelle		Structure complètement irrégulière en plan comme en coupe	170		ind
61	YV0031	5	Racine			171		ind
62	YV0031	5	Fosse	long. : 93 larg. : 86 prof. : 23	Fosse indéterminée	69 / 70	pl.5 ds.40 / pl.5 ds.41	Néolithique moyen ?
63	YV0031	5	Drain	larg. : 44 prof. : 29	Drain orienté Sud Ouest-Nord Est	72 / 73 / 74	pl.5 ds.39	ind
64	YV0031	6	Trou de poteau	diam. : 36 prof. : 14	Possible trou de poteau ou de plantation, de plan circulaire	79 / 80	pl.7 ds.45 / pl.7 ds.46	ind
65	YV0029	6	Anomalie naturelle		Testé mécaniquement	172		ind

Fait	Cadastre	Tranchée	Catégorie	Dimensions	Description	US	Dessins	Datation
66	YV0029	6	Labour	larg. : 47 prof. : 26	Trace de labours, enregistré pour signaler l'orientation de ces derniers 5 sillons observés côte à côte Non testé Pas de relevé	77 / 78		ind
67	YV0029	7	Trou de piquet	diam. : 14 prof. : 13	Hypothétique trou de piquet, de plan circulaire, planté obliquement?	90 / 92		ind
68	YV0029	7	Trou de piquet	diam. : 10 prof. : 12	Hypothétique trou de piquet, de plan circulaire	88 / 89 / 91	pl.7 ds.47 / pl.7 ds.48	ind
69	YV0031	7	Anomalie naturelle		Anomalie géologique irrégulière liée certainement à un phénomène de glaciation (gélifraction?) Testé mécaniquement	81		ind
70	YV0031	7	Trou de piquet	diam. : 24 prof. : 10	Trou de piquet ou poteau, de plan circulaire	82 / 83 / 84	pl.7 ds.51 / pl.7 ds.52	ind
71	YV0031	7	Trou de piquet	diam. : 30 prof. : 12	Trou de piquet ou poteau, de plan circulaire	85 / 86 / 87	pl.7 ds.51 / pl.7 ds.52	ind
72	YV0029	9	Fosse		Fosse indéterminée, peut-être drain, moderne avec plot de béton et plastique Orientation Sud-Nord Non testé	173		Contemporain
73	YV0029	9	Drain?		Labour ou peut-être drain, très arasé, orienté Nord-Sud, avec iso 33	174		ind
74	YV0029	9	Trou de poteau	long. : 46 larg. : 40 prof. : 12	Trou de poteau isolé	93 / 94	pl.7 ds.49 / pl.7 ds.50	Bronze moyen ?
75	YV0031	10	Anomalie naturelle	long. : 380 larg. : 100 prof. : 40	Structure de plan et profil irrégulier Lié à un phénomène géomorphologique? (gélifraction?) Testé mécaniquement	175		ind
76	YV0030	10	Trou de poteau	long. : 40 larg. : 30 prof. : 14	Possible trou de poteau, de plan ovoïde Fouillé au 2 tiers, profil relevé à la moitié Fonctionne peut-être avec F.77	95 / 96	pl.7 ds.53 / pl.7 ds.54	ind
77	YV0030	10	Trou de poteau	diam. : 36 prof. : 18	Hypothétique trou de poteau Fonctionne peut-être avec F.76	97 / 98	pl.8 ds.55 / pl.8 ds.56	ind
78	YV0030	10	Anomalie naturelle		Structure de plan et profil irrégulier, pas de creusement observé, probable anomalie naturelle	176		ind
79	YV0029	10	Indéterminé		Structure oblongue décrivant une courbe, axée Est-Ouest, observée en tranchée 10 mais ni en tranchée 9, ni en tranchée 11 Reste d'un fossé? Gros terrier? Non testé	177		ind
80	YV0029	10	Anomalie naturelle		Structure arasée, irrégulière en coupe Anomalie naturelle, peut-être un chablis?	178		ind
81	YV0029	11	Fosse	diam. : 90 prof. : 20	Fosse indéterminée	101 / 102	pl.5 ds.42 / pl.5 ds.43	Bronze moyen
82	YV0029	11	Trou de poteau	diam. : 44 prof. : 10	Trou de poteau de plan circulaire, ayant subi l'action l'action du feu (?) Fonctionne peut-être avec F.84 et F.85	99 / 100	pl.9 ds.59 / pl.9 ds.60	Bronze moyen ?

Fait	Cadastre	Tranchée	Catégorie	Dimensions	Description	US	Dessins	Datation
83	YV0029	11	Fosse	long. : 180 prof. : 82	Fosse ou extrémité de fossé (mais non observé en tranchée 12) Largeur minimum: 80cm	107 / 108 / 109	pl.9 ds.69 / pl.9 ds.70	Bronze moyen
84	YV0029	11	Trou de poteau	diam. : 42 prof. : 6	Possible trou de poteau de plan circulaire, très arasé Fonctionne peut-être avec F.82 et F.85	105 / 106	pl.9 ds.63 / pl.9 ds.64	Bronze moyen ?
85	YV0029	11	Trou de poteau	diam. : 55 prof. : 12	Possible trou de poteau, de plan circulaire Fonctionne peut-être avec F.82 et F.84	103 / 104	pl.9 ds.63 / pl.9 ds.64	Bronze moyen ?
86	YV0031	11	Trou de piquet	diam. : 10 prof. : 5	Très hypothétique trou de piquet, pas de creusement observé (installation par percussion?) Très arasé Pris en photo, pas de dessin Plus probablement anomalie naturelle (racine...)	133		ind
87	YV0031	11	fosse d'extraction	long. : 6611 larg. : 3477 prof. : 210	Probable marnière à ciel ouvert dont le front de taille semble se situer sur la partie Nord Testé mécaniquement	110 / 111 / 112 / 113 / 114 / 115 / 116 / 117 / 118 / 1087 / 1088 / 1089 / 1090 / 1091 / 1092 / 1093 / 1094 / 1095 / 1096 / 1097 / 1098 / 1099 / 1100 / 1101 / 1102 / 1103 / 1104 / 1105 / 1106 / 1107 / 1108 / 1109 / 1110	pl.10 ds.71 / pl.11 ds.74 / pl.12 ds.82 / pl.12 ds.83	Moyen- âge central
88	YV0029	12	Anomalie naturelle		Forme de lune en plan, peut-être un chablis? Non testé	179		ind
89	YV0029	12	Anomalie naturelle		Testé mécaniquement	180		ind
90	YV0029	13	Fosse	larg. : 103 prof. : 44	Fosse ou fossé pris dans la berme Ouest de la tranchée 13 Longueur minimum: 172cm	128 / 129 / 130	pl.8 ds.57 / pl.8 ds.58	Néoli- thique moyen I ou II ?
91	YV0028	13	Anomalie naturelle	long. : 72 larg. : 50 prof. : 8	Dépression naturelle ayant piégée du limon	181		ind
92	YV0031	13	Trou de poteau	diam. : 22 prof. : 7	Possible trou de poteau de plan circulaire Peut-être en lien avec F.93	124 / 125	pl.9 ds.61 / pl.9 ds.62	ind
93	YV0031	13	Trou de poteau	diam. : 22 prof. : 8	Possible trou de poteau de plan circulaire Peut-être en lien avec F.92	126 / 127	pl.9 ds.65 / pl.9 ds.66	ind

Fait	Cadastre	Tranchée	Catégorie	Dimensions	Description	US	Dessins	Datation
94	YV0031	13	Fosse	long. : 50 larg. : 37 prof. : 9	Peut-être un trou de poteau ?	131 / 132	pl.9 ds.67 / pl.9 ds.68	ind
95	YV0029	9	Fosse	long. : 200 prof. : 14	Fosse d'épandage agricole ou épandage de surface dans une dépression naturelle, très probablement contemporain Largeur minimum: 90cm Testé mécaniquement	134		ind
96	YV0031	14	Trou de piquet	diam. : 18 prof. : 21	Possible trou de piquet «planté» (absence d'avant trou, étroitesse du profil...), structure isolée	182 / 183	pl.11 ds.72 / pl.11 ds.73	ind
97	YV0031	14	Anomalie naturelle	long. : 242 larg. : 95 prof. : 11	Anomalie oblongue, irrégulière et arasée Testé mécaniquement	804		ind
98	YV0031	16	Fossé	larg. : 113 prof. : 55	Fossé orienté Nord-Ouest / Sud-Est Testé mécaniquement	187 / 188 / 189	pl.11 ds.75	ind
99	YV0031	16	Trou de piquet	long. : 27 larg. : 20 prof. : 13		192 / 193	pl.13 ds.84 / pl.13 ds.85	ind
100	YV0031	16	Rejet de foyer		Zone avec TCA et charbon de bois en surface: rejet de foyer? Non testé	919		ind
101	YV0031	16	fosse d'extraction	long. : 1874 larg. : 1292	Probable marnière, plan irrégulier, creusé dans calcaire (US121), comblement de même type que pour F.87 Non testé	820		Antiquité, Haut Empire
102	YV0031	17	Anomalie naturelle		Structure ovoïde irrégulière, fosse ou plus probablement anomalie naturelle Non testé	921		ind
103	YV0031	16	fosse d'extraction	long. : 4043 larg. : 3180	Probable marnière, plan irrégulier, même type que F.87, creusé dans le calcaire Non testé	833		ind
104	YV0031	16	Fossé	larg. : 53 prof. : 24	Fossé orienté Sud-Ouest / Nord-Est Testé mécaniquement	190 / 191	pl.11 ds.76	ind
105	YV0031	17	ANNULÉ		= marnière F.87 testé mécaniquement	923		Moyen-âge central
106	YV0031	17	fosse d'extraction		Fait parti très probablement de la grande marnière F.87 (même type de comblement) Vu très partiellement, non testé	924		Moyen-âge central
107	YV0031	18	Trou de piquet	diam. : 24 prof. : 8	Très hypothétique trou de piquet, très arasé, peut-être bioturbation	209 / 210	pl.14 ds.95 / pl.14 ds.96	ind
108	YV0031	18	Anomalie naturelle	larg. : 60	Poche oblongue irrégulière 60cm de large pour au moins 30cm de profondeur Comblement d'une dépression naturelle de nature indéterminée (gélifraction?) Testé mécaniquement	806		ind
109	YV0031	18	Fossé		Non testé Ne se retrouve pas en tranchée 19, et en tranchée 18 se trouve une marnière	925		ind
110	YV0031	18	Fossé	larg. : 144 prof. : 46	Fossé orienté Est / Ouest	194 / 195 / 196	pl.13 ds.86	ind
111	YV0031	19	Fossé		Très hypothétique fossé, orienté Est/Ouest Non observé en tranchée 18 et 20 Non testé	927		ind
112	YV0031	19	Plantation	long. : 44 larg. : 36 prof. : 8	Structure faisant partie d'une zone de plantation constituée de 3 alignements observés de fosses ovoïdes (plus ou moins en olive), régulièrement espacées (en moyenne autour de 40 à 50cm), orientée Nord-Ouest / Sud-Est et très arasée	201 / 202	pl.13 ds.87 / pl.13 ds.88	ind

Fait	Cadastre	Tranchée	Catégorie	Dimensions	Description	US	Dessins	Datation
113	YV0031	19	Plantation		Structure faisant partie d'une zone de plantation constituée de 3 alignements observés de fosses ovoïdes (plus ou moins en olive), régulièrement espacées (en moyenne autour de 40 à 50cm), orientée Nord-Ouest / Sud-Est et très arasée Non testé	928		ind
114	YV0031	19	Plantation		Structure faisant partie d'une zone de plantation constituée de 3 alignements observés de fosses ovoïdes (plus ou moins en olive), régulièrement espacées (en moyenne autour de 40 à 50cm), orientée Nord-Ouest / Sud-Est et très arasée Non testé	929		ind
115	YV0031	19	Plantation		Structure faisant partie d'une zone de plantation constituée de 3 alignements observés de fosses ovoïdes (plus ou moins en olive), régulièrement espacées (en moyenne autour de 40 à 50cm), orientée Nord-Ouest / Sud-Est et très arasée Non testé	930		ind
116	YV0031	19	Plantation		Structure faisant partie d'une zone de plantation constituée de 3 alignements observés de fosses ovoïdes (plus ou moins en olive), régulièrement espacées (en moyenne autour de 40 à 50cm), orientée Nord-Ouest / Sud-Est et très arasée Non testé	931		ind
117	YV0031	19	Plantation		Structure faisant partie d'une zone de plantation constituée de 3 alignements observés de fosses ovoïdes (plus ou moins en olive), régulièrement espacées (en moyenne autour de 40 à 50cm), orientée Nord-Ouest / Sud-Est et très arasée Non testé	932		ind
118	YV0031	19	Plantation		Structure faisant partie d'une zone de plantation constituée de 3 alignements observés de fosses ovoïdes (plus ou moins en olive), régulièrement espacées (en moyenne autour de 40 à 50cm), orientée Nord-Ouest / Sud-Est et très arasée Non testé	933		ind
119	YV0031	19	Plantation		Structure faisant partie d'une zone de plantation constituée de 3 alignements observés de fosses ovoïdes (plus ou moins en olive), régulièrement espacées (en moyenne autour de 40 à 50cm), orientée Nord-Ouest / Sud-Est et très arasée Non testé	934		ind
120	YV0031	19	Plantation		Structure faisant partie d'une zone de plantation constituée de 3 alignements observés de fosses ovoïdes (plus ou moins en olive), régulièrement espacées (en moyenne autour de 40 à 50cm), orientée Nord-Ouest / Sud-Est et très arasée Non testé	935		ind
121	YV0031	19	Plantation	long. : 44 larg. : 32 prof. : 8	Structure faisant partie d'une zone de plantation constituée de 3 alignements observés de fosses ovoïdes (plus ou moins en olive), régulièrement espacées (en moyenne autour de 40 à 50cm), orientée Nord-Ouest / Sud-Est et très arasée	205 / 206	pl.11 ds.80 / pl.11 ds.81	ind
122	YV0031	19	Plantation		Structure faisant partie d'une zone de plantation constituée de 3 alignements observés de fosses ovoïdes (plus ou moins en olive), régulièrement espacées (en moyenne autour de 40 à 50cm), orientée Nord-Ouest / Sud-Est et très arasée Non testé	936		ind
123	YV0031	19	Plantation		Structure faisant partie d'une zone de plantation constituée de 3 alignements observés de fosses ovoïdes (plus ou moins en olive), régulièrement espacées (en moyenne autour de 40 à 50cm), orientée Nord-Ouest / Sud-Est et très arasée Non testé	937		ind

Fait	Cadastre	Tranchée	Catégorie	Dimensions	Description	US	Dessins	Datation
124	YV0031	19	Plantation		Structure faisant partie d'une zone de plantation constituée de 3 alignements observés de fosses ovoïdes (plus ou moins en olive), régulièrement espacées (en moyenne autour de 40 à 50cm), orientée Nord-Ouest / Sud-Est et très arasée Non testé	938		ind
125	YV0031	19	Plantation		Structure faisant partie d'une zone de plantation constituée de 3 alignements observés de fosses ovoïdes (plus ou moins en olive), régulièrement espacées (en moyenne autour de 40 à 50cm), orientée Nord-Ouest / Sud-Est et très arasée Non testé	939		ind
126	YV0031	19	Plantation		Structure faisant partie d'une zone de plantation constituée de 3 alignements observés de fosses ovoïdes (plus ou moins en olive), régulièrement espacées (en moyenne autour de 40 à 50cm), orientée Nord-Ouest / Sud-Est et très arasée Non testé	940		ind
127	YV0031	19	Plantation		Structure faisant partie d'une zone de plantation constituée de 3 alignements observés de fosses ovoïdes (plus ou moins en olive), régulièrement espacées (en moyenne autour de 40 à 50cm), orientée Nord-Ouest / Sud-Est et très arasée Non testé	941		ind
128	YV0031	19	Plantation		Structure faisant partie d'une zone de plantation constituée de 3 alignements observés de fosses ovoïdes (plus ou moins en olive), régulièrement espacées (en moyenne autour de 40 à 50cm), orientée Nord-Ouest / Sud-Est et très arasée Non testé	942		ind
129	YV0031	19	Plantation		Structure faisant partie d'une zone de plantation constituée de 3 alignements observés de fosses ovoïdes (plus ou moins en olive), régulièrement espacées (en moyenne autour de 40 à 50cm), orientée Nord-Ouest / Sud-Est et très arasée Non testé	943		ind
130	YV0031	19	Fosse	larg. : 74 prof. : 41	Fosse indéterminée, vue partiellement, aux limites diffuses et irrégulières Anthropique? Peut-être anomalie naturelle 116cm de long minimum Testé mécaniquement	199 / 200	pl.11 ds.77	ind
131	YV0031	20	Trou de poteau		Hypothétique trou de poteau ou piquet Non testé	944		ind
132	YV0031	20	Racine		Reste racinaire informe	808		ind
133	YV0031	19	Plantation		Structure formant un alignement avec F134 et 135 Probable plantation, la forme et l'espacement différent d'avec l'ensemble des plantations de la zone située juste au Nord. Fait partie du même ensemble? Non testé	945		ind
134	YV0031	19	Plantation		Structure formant un alignement avec F133 et 135 Probable plantation, la forme et l'espacement différent d'avec l'ensemble des plantations de la zone située juste au Nord. Fait partie du même ensemble? Non testé	946		ind
135	YV0031	19	Plantation		Structure formant un alignement avec F133 et 134 Probable plantation, la forme et l'espacement différent d'avec l'ensemble des plantations de la zone située juste au Nord. Fait partie du même ensemble? Non testé	947		ind

Fait	Cadastre	Tranchée	Catégorie	Dimensions	Description	US	Dessins	Datation
136	YV0031	19	Plantation		Structure faisant partie d'une zone de plantation constituée de 3 alignements observés de fosses ovoïdes (plus ou moins en olive), régulièrement espacées (en moyenne autour de 40 à 50cm), orientée Nord-Ouest / Sud-Est et très arasée Non testé	948		ind
137	YV0031	19	Plantation		Structure faisant partie d'une zone de plantation constituée de 3 alignements observés de fosses ovoïdes (plus ou moins en olive), régulièrement espacées (en moyenne autour de 40 à 50cm), orientée Nord-Ouest / Sud-Est et très arasée Non testé	949		ind
138	YV0031	19	Plantation		Structure faisant partie d'une zone de plantation constituée de 3 alignements observés de fosses ovoïdes (plus ou moins en olive), régulièrement espacées (en moyenne autour de 40 à 50cm), orientée Nord-Ouest / Sud-Est et très arasée Non testé	950		ind
139	YV0031	19	Plantation		Structure faisant partie d'une zone de plantation constituée de 3 alignements observés de fosses ovoïdes (plus ou moins en olive), régulièrement espacées (en moyenne autour de 40 à 50cm), orientée Nord-Ouest / Sud-Est et très arasée Non testé	951		ind
140	YV0031	19	Plantation		Structure faisant partie d'une zone de plantation constituée de 3 alignements observés de fosses ovoïdes (plus ou moins en olive), régulièrement espacées (en moyenne autour de 40 à 50cm), orientée Nord-Ouest / Sud-Est et très arasée Non testé	952		ind
141	YV0031	19	Plantation	long. : 56 larg. : 40 prof. : 7	Structure faisant partie d'une zone de plantation constituée de 3 alignements observés de fosses ovoïdes (plus ou moins en olive), régulièrement espacées (en moyenne autour de 40 à 50cm), orientée Nord-Ouest / Sud-Est et très arasée	203 / 204	pl.11 ds.78 / pl.11 ds.79	ind
142	YV0031	19	Plantation		Structure faisant partie d'une zone de plantation constituée de 3 alignements observés de fosses ovoïdes (plus ou moins en olive), régulièrement espacées (en moyenne autour de 40 à 50cm), orientée Nord-Ouest / Sud-Est et très arasée Non testé	953		ind
143	YV0031	19	Plantation		Structure faisant partie d'une zone de plantation constituée de 3 alignements observés de fosses ovoïdes (plus ou moins en olive), régulièrement espacées (en moyenne autour de 40 à 50cm), orientée Nord-Ouest / Sud-Est et très arasée Non testé	954		ind
144	YV0031	19	Plantation		Structure faisant partie d'une zone de plantation constituée de 3 alignements observés de fosses ovoïdes (plus ou moins en olive), régulièrement espacées (en moyenne autour de 40 à 50cm), orientée Nord-Ouest / Sud-Est et très arasée Non testé	955		ind
145	YV0031	19	Plantation		Structure faisant partie d'une zone de plantation constituée de 3 alignements observés de fosses ovoïdes (plus ou moins en olive), régulièrement espacées (en moyenne autour de 40 à 50cm), orientée Nord-Ouest / Sud-Est et très arasée Non testé	956		ind
146	YV0031	19	Plantation	long. : 46 larg. : 34 prof. : 7	Structure faisant partie d'une zone de plantation constituée de 3 alignements observés de fosses ovoïdes (plus ou moins en olive), régulièrement espacées (en moyenne autour de 40 à 50cm), orientée Nord-Ouest / Sud-Est et très arasée	207 / 208	pl.13 ds.89 / pl.13 ds.90	ind
147	YV0031	20	Racine		Structure irrégulière en plan comme en coupe	810		ind
148	YV0031	20	Racine		Structure irrégulière en plan comme en coupe, 15cm de profondeur environ	812		ind

Fait	Cadastre	Tranchée	Catégorie	Dimensions	Description	US	Dessins	Datation
149	YV0031	20	ANNULÉ		Anomalie indéterminée très irrégulière en plan comme en coupe, très fortement arasée (2/3cm d'épaisseur)	814		ind
150	YV0031	20	ANNULÉ		Anomalie indéterminée très irrégulière en plan comme en coupe, très fortement arasée (2/3cm d'épaisseur)	816		ind
151	YV0031	20	ANNULÉ		Anomalie indéterminée très irrégulière en plan et coupe et fortement arasée (2cm d'épaisseur)	836		ind
152	YV0031	20	ANNULÉ		Anomalie indéterminée très irrégulière en plan comme en coupe, très fortement arasée (2/3cm d'épaisseur)	837		ind
153	YV0031	20	Anomalie naturelle		Fosse irrégulière en plan comme en coupe Testé mécaniquement	838		ind
154	YV0031	20	Anomalie naturelle		Fosse irrégulière en plan comme en coupe	839		ind
155	YV0031	20	Anomalie naturelle		Fosse irrégulière en plan comme en coupe	840		ind
156	YV0031	20	Racine			841		ind
157	YV0031	21	Trou de poteau	diam. : 30 prof. : 10	Structure isolée	212 / 213	pl.13 ds.91 / pl.13 ds.92	ind
158	YV0031	21	Fossé	larg. : 52 prof. : 24	Fossé orienté Sud-Est / Nord-Ouest Testé mécaniquement	214 / 215	pl.14 ds.97	ind
159	YV0031	22	Fossé	larg. : 64 prof. : 19	Hypothétique fossé, orienté Nord-Ouest / Sud-Est, parallèle à F.158 Ne se retrouve ni en tranchée 21, ni en 23 Testé mécaniquement	216 / 217	pl.14 ds.98	ind
160	YV0031	22	fosse d'extraction	long. : 2630 larg. : 1421	Probable marnière de plan irrégulier Non testé	805 / 821		Antiquité, Haut Empire
161	YV0031	23	Fossé	larg. : 42 prof. : 15	Fossé orienté Sud-Ouest / Nord-Est Un morceau de plastique trouvé au décapage (vient de la TV?) Fait probablement partie du Chemin F.420 Testé mécaniquement	222 / 223	pl.14 ds.101	Moderne
162	YV0031	23	Fossé	larg. : 66 prof. : 29	Fossé orienté Sud-Ouest / Nord-Est, parallèle à F.163 et 164 Contemporain (fragment de fibrociment trouvé) En lien avec F.174? Fait probablement partie du Chemin F.420 Testé mécaniquement	218 / 219	pl.14 ds.99	Moderne
163	YV0031	23	Fossé	larg. : 76 prof. : 16	Fossé orienté Sud-Ouest / Nord-Est, parallèle à F.162 et 164 Peut-être moderne ou contemporain Fait probablement partie du Chemin F.420 En lien avec F.173? Testé mécaniquement	220 / 221	pl.14 ds.100	Moderne
164	YV0031	23	Fossé	larg. : 61 prof. : 42	Fossé orienté Nord-Est / Sud-Ouest, parallèle à F.162 et 163 En lien avec F.170? Fait probablement partie du Chemin F.420 Testé mécaniquement	224 / 225	pl.14 ds.102	Moderne
165	YV0031	23	Fosse	long. : 303 larg. : 115 prof. : 19	Fosse indéterminée, peut-être anomalie naturelle, sur laquelle s'installe un foyer ou dans laquelle il y a un rejet de foyer (cf. F.214) Testé mécaniquement	284 / 285	pl.17 ds.122	ind
166	YV0031	23	Fosse	long. : 613 larg. : 360 prof. : 60	Fosse indéterminée, très irrégulière en plan et en coupe, peut-être plusieurs creusements? Anthropique? Testé mécaniquement	825 / 1112	pl.18 ds.127	ind

Fait	Cadastre	Tranchée	Catégorie	Dimensions	Description	US	Dessins	Datation
167	YV0031	24	Fosse	larg. : 213 prof. : 100	Fosse indéterminée, peut-être liée à l'extraction de minerai de fer (?) 120cm de long minimum Possibilité d'un creusement, visible en partie haute de la structure, à partir de l'US 273 Les US 274 à 279 semblent correspondre à une alternance de comblements plutôt naturels, dans une structure ouverte laissée à l'air libre Testé mécaniquement	270 / 271 / 272 / 273 / 274 / 275 / 276 / 277 / 278 / 279 / 280	pl.18 ds.123 / pl.18 ds.124	ind
168	YV0031	25	Fossé	larg. : 75 prof. : 25	Orienté Sud-Ouest / Nord-Est Fait probablement partie du Chemin F.420 Testé mécaniquement	235 / 236	pl.13 ds.94	Moderne
169	YV0031	25	Fossé	larg. : 42 prof. : 14	Orienté Sud-Ouest / Nord-Est Fait peut-être partie du Chemin F.420 Testé mécaniquement	233 / 234	pl.13 ds.93	Moderne
170	YV0031	24	Fossé	larg. : 158 prof. : 60	Orienté Nord-Est / Sud-Ouest, parallèle à F.173 et 174 En lien avec F.164? Fait probablement partie du Chemin F.420 Testé mécaniquement	226 / 227	pl.14 ds.103 / pl.14 ds.104	Moderne
171	YV0031	26	Fossé	larg. : 76 prof. : 34	Fossé orienté Sud-Ouest / Nord-Est Fait probablement partie du Chemin F.420 Testé mécaniquement En plan, semble être recoupé par F.17	240 / 241	pl.15 ds.106	Moderne
172	YV0031	26	Fossé	larg. : 32 prof. : 8	Fossé orienté Nord-Est / Sud-Ouest Fait probablement partie du Chemin F.420 Testé mécaniquement En plan, semble recouper F.171	957 / 1073	pl.15 ds.107	Moderne
173	YV0031	24	Fossé	larg. : 52 prof. : 24	Orienté Nord-Est / Sud-Ouest, parallèle à F.170, 174 En lien avec F.163? Fait probablement partie du Chemin F.420 Testé mécaniquement	228 / 229	pl.14 ds.103 / pl.14 ds.104	Moderne
174	YV0031	24	Fossé	larg. : 48 prof. : 28	Orienté Nord-Est / Sud-Ouest, parallèle à F.170 et 173 En lien avec F.162? Fait probablement partie du Chemin F.420 Testé mécaniquement	230 / 231	pl.14 ds.103 / pl.14 ds.104	Moderne
175	YV0031	26	Fossé	larg. : 76 prof. : 26	Fossé orienté Sud-Ouest / Nord-Est Fait probablement partie du Chemin F.420 Testé mécaniquement	237 / 238 / 239	pl.15 ds.105	Moderne
176	YV0031	26	Fosse	long. : 3800 larg. : 304 prof. : 100	Fosse oblongue, contemporaine, faisant office de bassin de rétention des eaux pour éviter des inondations sur les communes en contrebas à l'Est (d'après témoin) L'ajout d'un drain F.255 après le comblement de la structure devait participer soit à son assèchement, soit de simple drain sans lien direct Testé mécaniquement	242 / 243 / 244 / 245 / 246 / 247 / 248 / 356 / 357 / 358 / 359	pl.16 ds.114 / pl.22 ds.162	Contemporain, XXe s.
177	YV0031	28	Fossé	larg. : 175 prof. : 21	Orienté Sud-Ouest / Nord-Est Testé mécaniquement	249 / 250	pl.16 ds.115	ind
178	YV0027	28	Fossé	larg. : 200 prof. : 38	Possible fossé, vue partiellement, orienté Nord-Ouest / Sud-Est Testé mécaniquement	251 / 252 / 253	pl.16 ds.116	Néolithique moyen II
179	YV0027	30	Fosse	larg. : 121 prof. : 20	Fosse indéterminée, anthropique? (fosse? fossé?), naturelle (terrier?...), légèrement courbe?, seulement observé dans cette tranchée. Ne semble pas fonctionner avec F.178 (ni même orientation, ni même gabarit, absence de continuité de F.179...) Testé mécaniquement	268 / 269	pl.16 ds.117	Bronze moyen
180	YV0031	29	Fosse	diam. : 128 prof. : 112	Fosse indéterminée: silo? Puisard? Fragment d'os humains trouvés, ainsi que céramique dans un contexte perturbé de terrier dans l'US terminal (US 261) Commencé manuellement, terminé mécaniquement	261 / 262 / 263 / 264 / 265	pl.17 ds.118 / pl.17 ds.119	Néolithique ancien- Moyen I Chambon

Fait	Cadastre	Tranchée	Catégorie	Dimensions	Description	US	Dessins	Datation
181	YV0031	31	Terrier		Structure très irrégulière	842		ind
182	YV0031	31	Terrier		Profil très irrégulier et présence de galeries	843		ind
183	YV0027	31	fosse d'extraction	larg. : 1661	Probable marnière, plan incomplet Non testé	960		ind
184	YV0027	31	Fosse	long. : 280 larg. : 160 prof. : 21	Fosse indéterminée Testé mécaniquement	266 / 267	pl.17 ds.120 / pl.17 ds.121	ind
185	YV0027	32	Anomalie naturelle	long. : 400 larg. : 170 prof. : 40	Dépression géologique peut-être lié à un phénomène de gélifraction Testé mécaniquement	260	pl.15 ds.113	ind
186	YV0027	32	Plantation	long. : 48 larg. : 40 prof. : 24	Probable plantation/trou de plantation avec restes racinaires et charbon de bois	258 / 259	pl.15 ds.111 / pl.15 ds.112	ind
187	YV0027	32	Racine		Diffus en plan, irrégulier en coupe	844		ind
188	YV0031	32	Fossé	larg. : 66 prof. : 16	Orienté Sud-Ouest / Nord-Est Testé mécaniquement (fin à la main)	256 / 257 / 815	pl.15 ds.110	Néolithique ancien-Moyen I Cham-bon
189	YV0031	32	Fosse	diam. : 77 prof. : 14	Fosse indéterminée Contient une céramique entière écrasée	254 / 255	pl.15 ds.108 / pl.15 ds.109	Néolithique ancien-Moyen I Cham-bon
190	YV0039	33	Drain	larg. : 154 prof. : 56	Fossé ou drain, orienté Est / Ouest Testé mécaniquement	286 / 287 / 288 / 289	pl.19 ds.132	ind
191	YV0039	33	Fossé	larg. : 138 prof. : 36	Orienté Sud-Est / Nord-Ouest Peut-être équivalent à F.212 malgré un léger décalage Testé mécaniquement	290 / 291 / 292	pl.19 ds.133	ind
192	YV0039	33	Labour	larg. : 18 prof. : 35	Orienté Nord-Sud, se sépare en 2 traces distinctes un peu plus loin au Nord Lien avec F.193 non observé	845		ind
193	YV0039	33	Fossé	larg. : 104 prof. : 26	Orienté Sud-Ouest / Nord-Est Lien avec F.192 non observé Probablement équivalent à F.211 et F.213 Testé mécaniquement	293 / 294	pl.19 ds.134	Moderne
194	YV0039	33	Fossé		Fossé ou drain, orienté Nord-Ouest / Sud-Est Probablement équivalent à F.209 bien que le fossé n'ait pas été perçu en Tr.34 Non testé	961		ind
195	YV0041	34	Fossé	larg. : 97 prof. : 38	Orienté Est / Ouest. Possible équivalence avec F.538? Testé mécaniquement	318 / 319	pl.20 ds.149	Antiquité (Ier-IIe s. ap.J-C) ?
196	YV0039	34	Plantation	long. : 50 larg. : 42 prof. : 7	Probable plantation, en lien avec d'autres structures de même type (cf. F.197 à F.207)	316 / 317	pl.20 ds.147 / pl.20 ds.148	fin XIXe-début XX e s. ?
197	YV0039	34	Plantation	diam. : 51 prof. : 8	Probable plantation, en lien avec d'autres structures de même type (cf. F.196 et F.198 à F.207)	314 / 315	pl.20 ds.145 / pl.20 ds.146	fin XIXe-début XX e s. ?
198	YV0039	34	Plantation		Probable plantation, en lien avec d'autres structures de même type (cf. F.196 à F.204 et F.206 à F.207) Non testé	920		fin XIXe-début XX e s. ?
199	YV0039	34	Plantation		Probable plantation, en lien avec d'autres structures de même type (cf. F.196 à F.204 et F.206 à F.207) Non testé	922		fin XIXe-début XX e s. ?

Fait	Cadastre	Tranchée	Catégorie	Dimensions	Description	US	Dessins	Datation
200	YV0039	34	Plantation	long. : 52 larg. : 42 prof. : 6	Probable plantation, en lien avec d'autres structures de même type (cf. F.196 à F.199 et F.201 à F.207)	312 / 313	pl.20 ds.143 / pl.20 ds.144	fin XIXe-début XX e s. ?
201	YV0039	34	Plantation		Probable plantation, en lien avec d'autres structures de même type (cf. F.196 à F.204 et F.206 à F.207) Non testé	958		fin XIXe-début XX e s. ?
202	YV0039	34	Plantation		Probable plantation, en lien avec d'autres structures de même type (cf. F.196 à F.204 et F.206 à F.207) Non testé	959		fin XIXe-début XX e s. ?
203	YV0039	34	Plantation	diam. : 50	Probable plantation, en lien avec d'autres structures de même type (cf. F.196 à F.202 et F.204 à F.207) Pas de relevé mais photo, moins de 5cm de profondeur Pas d'US de creusement créée	846		fin XIXe-début XX e s. ?
204	YV0039	34	Plantation		Probable plantation, en lien avec d'autres structures de même type (cf. F.196 à F.204 et F.206 à F.207) Non testé	962		fin XIXe-début XX e s. ?
205	YV0039	34	Plantation	long. : 45 larg. : 42 prof. : 7	Probable plantation, en lien avec d'autres structures de même type (cf. F.196 à F.204 et F.206 à F.207)	310 / 311	pl.20 ds.140 / pl.20 ds.141	fin XIXe-début XX e s. ?
206	YV0039	34	Plantation		Probable plantation, en lien avec d'autres structures de même type (cf. F.196 à F.204 et F.206 à F.207) Non testé	963		fin XIXe-début XX e s. ?
207	YV0039	34	Plantation		Probable plantation, en lien avec d'autres structures de même type (cf. F.196 à F.204 et F.206 à F.207) Non testé	964		fin XIXe-début XX e s. ?
208	YV0039	34	Fosse	larg. : 49 prof. : 10	Fosse indéterminée, observée partiellement, anthropique? (plantation?, bioturbation?) Testé mécaniquement	306 / 307	pl.20 ds.138 / pl.20 ds.139	ind
209	YV0039	34	Fossé	larg. : 128 prof. : 23	Orienté Sud-Est / Nord-Ouest Lien avec F.210 non observé Probablement équivalent à F.194 bien que le fossé n'ait pas été perçu en Tr.34 Testé mécaniquement	308 / 309	pl.20 ds.142	ind
210	YV0039	34	Labour	larg. : 41 prof. : 14	Petit fossé ou peut-être labour? Orienté Nord / Sud Liens avec F.209 et F.211 non observés Testé mécaniquement	304 / 305	pl.20 ds.137	ind
211	YV0039	34	Fossé		Orienté Sud-Ouest / Nord-Est Probablement équivalent à F.193 et F.213 Non testé	803 / 827		Moderne
212	YV0039	34	Fossé	larg. : 83 prof. : 19	Orienté Nord-Ouest / Sud-Est Peut-être équivalent à F.191 malgré un léger décalage Testé mécaniquement	302 / 303	pl.20 ds.136	ind
213	YV0039	35	Fossé		Orienté Sud-Ouest / Nord-Est Probablement équivalent à F.193 et F.211 Non testé	965		Moderne
214	YV0031	23	Structure de combustion	long. : 216 prof. : 12	Structure indéterminée, peut-être un reste de foyer ou de rejet de foyer (cf. plus bas) Elle s'installe dans une fosse ou une dépression naturelle (cf. F.165) Autre hypothèse: F.214 et F.165 ne forme qu'une seule et même structure (par exemple une fosse avec un rejet de foyer ou encore une anomalie naturelle ayant subie une action du feu indéterminée) Toutefois, la légère rubéfaction des «parois» laisse penser à une combustion sur place Testé mécaniquement	281 / 282 / 283		ind
215	YV0039	36	Fossé	larg. : 70 prof. : 18	Orienté Est / Ouest Testé mécaniquement	322 / 323	pl.21 ds.151	ind

Fait	Cadastre	Tranchée	Catégorie	Dimensions	Description	US	Dessins	Datation
216	YV0039	36	Racine	diam. : 23 prof. : 4	Limites diffuses et irrégulières Très arasé Pas de creusement observé	847		ind
217	YV0039	36	Plantation	long. : 54 larg. : 41 prof. : 9	Très probable plantation (cf. F.218 et F.219)	295 / 296	pl.18 ds.128 / pl.18 ds.129	fin XIXe- début XX e s.
218	YV0039	36	Plantation	long. : 54 larg. : 43 prof. : 6	Très probable plantation (cf. F.218 et F.219)	300 / 301	pl.18 ds.130 / pl.18 ds.131	fin XIXe- début XX e s.
219	YV0039	36	Plantation	diam. : 45	Très probable reste de plantation (cf. F.217 et F.218) Photo mais pas de relevé	298 / 299	pl.18 ds.125 / pl.18 ds.126	fin XIXe- début XX e s.
220	YV0039	34	Fossé	larg. : 58 prof. : 31	Fossé ou drain Orienté Nord-Est / Sud-Ouest Testé mécaniquement	320 / 321	pl.21 ds.150	ind
221	YV0039	6	fosse d'extrac- tion		Probable marnière, non observé en plan, juste un sondage profond au milieu du point le plus bas dans un dénivelé visible (cf.Mnt) Peut-être en lien ,mais non déterminé avec F.57 Observé avant décapage (aspect doline)	967		Haut Moyen- âge Moyen- âge central
222	YV0039	37	Plantation	long. : 39 larg. : 32 prof. : 11	Proche de 2 zones de plantation	324 / 325	pl.21 ds.152 / pl.21 ds.153	fin XIXe- début XX e s. ?
223	YV0039	38	Fossé		Orienté Sud-Ouest / Nord-Est, parallèle à F.234 Peut-être équivalent à F.226? Non testé	968		prehist ind proto ind?
224	YV0039	38	Fosse	long. : 62 larg. : 55 prof. : 8	Fosse indéterminée (trou de poteau, plantation?)	348 / 349	pl.21 ds.157 / pl.21 ds.158	ind
225	YV0039	39	Fossé	larg. : 49 prof. : 114	Orienté Sud-Est / Nord-Ouest Probablement équivalent à F.239, F.394 et F.400 et en lien avec F.451 (non perçu en Tr.66) Testé mécaniquement	330 / 331 / 332	pl.21 ds.154	Antiquité tardive (IV-Ve s.)
226	YV0039	39	Fossé	larg. : 110 prof. : 65	Orienté Nord-Est / Sud-Ouest Peut-être équivalent à F.223? Testé mécaniquement	326 / 327 / 328 / 329	pl.19 ds.135	indéter- miné
227	YV0041	38	ANNULÉ		Zone de calcaire dur avec lignes de fracturation (= US 333)	6		ind
228	YV0041	39	Trou de poteau	diam. : 49 prof. : 22	Fonctionne probablement avec F.257, 258 et 262 (même gabarit, le comblement des négatifs contient des éléments brûlés...)	342 / 343 / 344	pl.23 ds.171 / pl.23 ds.172	La Tène moyenne
229	YV0041	39	Trou de poteau	diam. : 47 prof. : 25	Fonctionne probablement avec F.260, 266 et 270	336 / 340 / 341	pl.23 ds.171 / pl.23 ds.172	La Tène ?
230	YV0041	39	fosse d'extrac- tion	long. : 198 larg. : 118 prof. : 16	Peut-être une fosse d'extraction pour le calcaire (cf. F.231, 232 et 233) Autre hypothèse: dépression naturelle. Dans cette optique, F.230, 231, 232 et 233 ne pourraient former qu'un seul et même phénomène d'anomalie naturelle ou d'irrégularité du TN comblé avec le temps	334 / 335	pl.21 ds.155 / pl.21 ds.156	Moyen- âge central ?
231	YV0041	39	fosse d'extrac- tion		Peut-être une fosse d'extraction pour le calcaire (cf. F.230, 232 et 233) Autre hypothèse: dépression naturelle. Dans cette optique, F.230, 231, 232 et 233 ne pourraient former qu'un seul et même phénomène d'anomalie naturelle ou d'irrégularité du TN comblé avec le temps	969		Moyen- âge central ?

Fait	Cadastre	Tranchée	Catégorie	Dimensions	Description	US	Dessins	Datation
232	YV0041	39	fosse d'extraction		Peut-être une fosse d'extraction pour le calcaire (cf. F.230, 231 et 233) Autre hypothèse: dépression naturelle. Dans cette optique, F.230, 231, 232 et 233 ne pourraient former qu'un seul et même phénomène d'anomalie naturelle ou d'irrégularité du TN comblé avec le temps	970		Moyen-âge central ?
233	YV0041	39	fosse d'extraction	long. : 183 larg. : 117 prof. : 14	Peut-être une fosse d'extraction pour le calcaire (cf. F.230, 231 et 232) Autre hypothèse: dépression naturelle. Dans cette optique, F.230, 231, 232 et 233 ne pourraient former qu'un seul et même phénomène d'anomalie naturelle ou d'irrégularité du TN comblé avec le temps	337 / 338 / 339	pl.22 ds.160 / pl.22 ds.161	Moyen-âge central
234	YV0039	38	Fossé	larg. : 115 prof. : 42	Orienté Nord-Est / Sud-Ouest, parallèle à F.223 Testé mécaniquement	345 / 346 / 347	pl.21 ds.159	ind
235	YV0041	40	Anomalie naturelle	long. : 112 larg. : 78 prof. : 31	Structure irrégulière en plan et en coupe Photo, pas de relevé	848		ind
236	YV0041	40	Fossé		Orienté Sud-Ouest / Nord-Est Un sondage effectué en tranchée 40 (134cm de large sur 52 de profondeur) et un sondage en tranchée 41 (120cm de large pour 43 de profondeur) à l'intersection avec F.263 et 358 A peut-être été réutilisé plus tardivement et lié à d'autres fossés pour former un seul et même réseau Testé mécaniquement	361 / 362 / 363 / 364 / 795 / 796	pl.23 ds.173 / pl.49 ds.318	Antiquité tardive (II-IIIe s.ap-JC)
237	YV0040	40	fosse d'extraction	long. : 3068 larg. : 1680	Probable marnière, de plan irrégulier Le comblement semble massif, sur le même modèle que F.87 par exemple Non testé	826		ind
238	YV0040	40	fosse d'extraction	long. : 790 larg. : 340 prof. : 115	Probable marnière Présente un surcreusement dans sa partie centrale, au niveau d'une couche argileuse rouge/lie de vin au sein du substrat calcaire blanc Testé mécaniquement	350 / 351 / 352 / 353 / 360	pl.23 ds.174	Moyen-âge central
239	YV0039	40	Fossé		Orienté Nord-Ouest / Sud-Est Probablement équivalent à F.225, F.394 et F.400 et en lien avec F.451 (non perçu en Tr.66) Non testé	971		Antiquité tardive (IV-Ve s.)
240	YV0039	41	Fossé	larg. : 89 prof. : 32	Fonctionne avec les fossés F.241, 242 et 243 pour former un petit enclos carré	689 / 690 / 691 / 692	pl.45 ds.296 / pl.45 ds.341	La Tène moyenne
241	YV0039	41	Fossé	larg. : 70	Fonctionne avec les fossés F.240, 242 et 243 pour former un petit enclos carré Non testé	972		La Tène moyenne
242	YV0039	41	Fossé	larg. : 90 prof. : 40	Fonctionne avec les fossés F.240, 241 et 243 pour former un petit enclos carré	973 / 1006 / 1009 / 1013	pl.46 ds.340	La Tène moyenne
243	YV0039	41	Fossé	larg. : 91 prof. : 35	Fonctionne avec les fossés F.240, 241 et 242 pour former un petit enclos carré	403 / 404 / 405 / 849	pl.24 ds.191 / pl.46 ds.302	La Tène moyenne
244	YV0039	41	Fosse	long. : 104 larg. : 63 prof. : 18	Fosse indéterminée, anthropique? anomalie naturelle?	401 / 402	pl.25 ds.192 / pl.25 ds.193	ind
245	YV0039	41	Trou de poteau	diam. : 32 prof. : 8	Hypothétique trou de poteau ou plantation, structure très arasée	399 / 400	pl.24 ds.189 / pl.24 ds.190	ind
246	YV0039	41	Trou de poteau	long. : 45 larg. : 39 prof. : 6	Hypothétique trou de poteau ou plantation, structure arasée	397 / 398	pl.24 ds.187 / pl.24 ds.188	ind

Fait	Cadastre	Tranchée	Catégorie	Dimensions	Description	US	Dessins	Datation
247	YV0039	41	Fossé	larg. : 50 prof. : 18	Orienté Est / Ouest Testé mécaniquement	394 / 395 / 396	pl.24 ds.186	ind
248	YV0039	41	Anomalie naturelle	long. : 33 larg. : 29 prof. : 18	Structure irrégulière en plan comme en coupe	850		ind
249	YV0041	41	Trou de poteau	long. : 28 larg. : 26 prof. : 29	Trou de poteau faisant partie d'un ensemble	392 / 393 / 1076	pl.22 ds.167 / pl.22 ds.168	ind
250	YV0041	41	Terrier	long. : 30 larg. : 24 prof. : 9	Très probable terrier avec départ de galerie en plan et en coupe	851		ind
251	YV0042	42	Fossé		Hypothétique fossé, orienté Est / Ouest Ne se retrouve ni en tranchée 41, ni en 46 Non testé	974		ind
252	YV0042	42	Fosse		Structure indéterminée, fosse ou fossé? Non testé	975		ind
253	YV0041	42	Trou de poteau	diam. : 40 prof. : 54	Hypothétique trou de poteau, profil très irrégulier mais peut-être dû à la nature du TN (compact, s'enlevant en plaques)	413 / 414	pl.27 ds.209 / pl.27 ds.210	ind
254	YV0041	42	Fosse	diam. : 80 prof. : 21	Fosse indéterminée, anthropique? Peut-être anomalie naturelle	411 / 412	pl.25 ds.194 / pl.25 ds.195	ind
255	YV0031	27	Drain	larg. : 110 prof. : 6	Drain, orienté Sud-Est / Nord-Ouest, venant s'installer sur le comblement terminal de la fosse de rétention d'eau F.176 probablement pour en assécher/draîner la zone Structure contemporaine Testé mécaniquement	354 / 355	pl.22 ds.162	Contemporain, XXe s.
256	YV0041	39	Trou de poteau	long. : 27 prof. : 16	Trou de poteau vu partiellement, proche des bâtiments formés par les faits F.228-258-262-257 et F.229-260-270-266, sans qu'il soit possible de spécifier les liens entre ces derniers et ce poteau, voire s'il appartient à un autre ensemble	365 / 366 / 367	pl.22 ds.165 / pl.22 ds.166	La Tène ?
257	YV0041	39	Trou de poteau	diam. : 62 prof. : 20	Fonctionne probablement avec F.228, 258 et 262 (même gabarit, le comblement des négatifs contient des éléments brûlés...)	373 / 374 / 375	pl.24 ds.178 / pl.24 ds.179	La Tène finale
258	YV0041	39	Trou de poteau	diam. : 58 prof. : 27	Fonctionne probablement avec F.228, 257 et 262 (même gabarit, le comblement des négatifs contient des éléments brûlés...) Toute la partie basse du poteau semble avoir été traversé par un terrier avec un comblement très hétérogène et plus ou moins meuble	384 / 385 / 386	pl.22 ds.169 / pl.22 ds.170	La Tène moyenne
259	YV0041	39	Terrier	long. : 54 larg. : 40 prof. : 18	Structure irrégulière en plan et en coupe, avec départ de galerie	852		ind
260	YV0041	39	Trou de poteau	diam. : 42 prof. : 28	Fonctionne probablement avec F.229, 266 et 270	387 / 388 / 389	pl.24 ds.184 / pl.24 ds.185	La Tène ?
261	YV0041	39	Trou de piquet	diam. : 26 prof. : 18	Trou de piquet (?) fonctionnant peut-être avec l'un des deux bâtiments de a zone Fouillé à 100%	382 / 383	pl.24 ds.180 / pl.24 ds.181	ind
262	YV0041	39	Trou de poteau	long. : 50 larg. : 47 prof. : 20	Fonctionne probablement avec F.228, 257 et 258 (même gabarit, le comblement des négatifs contient des éléments brûlés...)	379 / 380 / 381	pl.22 ds.163 / pl.22 ds.164	La Tène moyenne

Fait	Cadastre	Tranchée	Catégorie	Dimensions	Description	US	Dessins	Datation
263	YV0041	41	Fossé		Orienté Est-Ouest Un sondage effectué en tranché 41 à l'intersection avec F.236 et 358 (100cm de large pour 18 de profondeur) et un sondage effectué en tranchée 42 (184cm de large pour 66 de profondeur) A peut-être été réutilisé plus tardivement et lié à d'autres fossés pour former un seul et même réseau Fait parti du long réseau de fossés «serpentiformes» Testé mécaniquement	416 / 417 / 418 / 419 / 420 / 421 / 792 / 793	pl.25 ds.199 / pl.49 ds.318	Haut Moyen- âge
264	YV0041	46	Fossé	larg. : 206 prof. : 84	Orienté Sud-Ouest / Nord-Est Fait parti du long réseau de fossés «serpentiformes» Testé mécaniquement	437 / 438 / 439 / 440 / 441 / 442	pl.27 ds.211	Haut Moyen- âge
265	YV0041	46	Chablis	long. : 200 larg. : 187	Structure ovoïde irrégulière en plan avec un certain nombre d'excroissances Le comblement de surface est en croissant de lune, caractéristique des chablis Le sens de chute serait alors vers le Nord Ouest Non testé	853		ind
266	YV0041	39	Trou de poteau	diam. : 43 prof. : 22	Fonctionne probablement avec F.229, 260 et 270 Un terrier traverse la structure en partie haute de part en part	370 / 371 / 372	pl.24 ds.176 / pl.24 ds.177	La Tène ?
267	YV0041	39	Trou de poteau	diam. : 40 prof. : 5	Hypothétique trou de poteau, très fortement arasé, proche de 2 bâtiments Anthropique?	368 / 369	pl.24 ds.175	La Tène ?
268	YV0041	46	fosse d'extraction	long. : 1542 larg. : 982	Peut-être une marnière, de plan irrégulier, d'aspect légèrement différente des autres, creusée dans le calcaire dur (US333) et suivant de probable ligne de fracturation naturelle Non testé	824		ind
269	YV0041	46	Rejet de foyer		Très hypothétique rejet de foyer Zone de charbons de bois avec peut-être de la cendre, en surface de F.268 Non testé	976		ind
270	YV0041	39	Trou de poteau	long. : 32 larg. : 28 prof. : 18	Fonctionne probablement avec F.229, 260 et 266 Le trou de poteau semble fortement perturbé par un élément indéterminé, rendant son profil très irrégulier et différent des autres trous de poteau associés.	376 / 377 / 378	pl.22 ds.163 / pl.22 ds.164	La Tène ?
271	YV0041	47	Fossé	larg. : 48 prof. : 14	Orienté Nord-Ouest / Sud-Est Équivalent à F.276 et F.361 Testé mécaniquement	443 / 444	pl.27 ds.212	Moyen- âge central
272	YV0041	47	Terrier	long. : 60 larg. : 50	Structure très irrégulière en plan et en coupe, avec départ de galerie	854		ind
273	YV0041	47	Racine	diam. : 20 prof. : 23	Structure ovoïde, très irrégulière en coupe, pas de creusement observé	855		ind
274	YV0041	47	Trou de poteau	diam. : 22 prof. : 17	Hypothétique trou de poteau, isolé	458 / 459	pl.25 ds.196 / pl.25 ds.197	ind
275	YV0041	41	Trou de poteau	diam. : 23 prof. : 22	Trou de poteau faisant partie d'un ensemble	390 / 391 / 1077	pl.24 ds.182 / pl.24 ds.183	ind
276	YV0041	48	Fossé	larg. : 39 prof. : 20	Orienté Nord-Ouest / Sud-Est Perturbé par un terrier Équivalent à F.271 et F.361 Testé mécaniquement	813 / 1078 / 1079	pl.25 ds.198	Moyen- âge central
277	YV0042	48	fosse d'extraction	long. : 1284 larg. : 646	Probable marnière, de plan irrégulier Les liens avec le silo F.287 n'ont pu être déterminés, mais il semble que F.287 recoupe F.277 F.277 recoupe la fosse F.280 F.277 semble recoupé le fossé F.285, du moins en plan Non testé	427 / 428	pl.26 ds.205 / pl.26 ds.206 / pl.28 ds.215	Médié- vale? Mo- derne?
278	YV0042	48	Anomalie naturelle	long. : 34 larg. : 26 prof. : 5	Poche irrégulière en plan comme en coupe de limon sableux	856		ind

Fait	Cadastre	Tranchée	Catégorie	Dimensions	Description	US	Dessins	Datation
279	YV0042	48	Trou de poteau		Trou de poteau pouvant fonctionner avec les TP F.302, F303, F282, F295 et F288, pour former un ensemble linéaire et orthogonal, délimitant le nord et l'ouest d'une zone de silos (F281, F287..) Non testé	977		ind
280	YV0042	48	Fosse	long. : 115 larg. : 84 prof. : 35	Fosse indéterminée, à la dynamique de comblement indéterminée. Peut-être un large trou de poteau avec un arrachement ou une fosse au creusement irrégulier, voire 2 fosses (?) Une perturbation vient gêner de plus la lecture Est recoupé par la marnière F.277	422 / 423 / 424 / 425 / 426	pl.26 ds.205 / pl.26 ds.206	Bas-empire / Haut Moyen- âge ?
281	YV0042	48	Trou de poteau	diam. : 60	Situé dans une zone dense avec trou de poteau et silo, il n'est donc pas exclu que ce soit un silo, d'autant plus que la structure ne peut être rattachée avec certitude à un ensemble Non testé	978		ind
282	YV0042	48	Trou de poteau	diam. : 82 prof. : 12	Trou de poteau pouvant fonctionner avec les TP F.279, F303, F302, F295 et F288, pour former un ensemble linéaire et orthogonal, délimitant le nord et l'ouest d'une zone de silos (F281, F287..)	462 / 463	pl.28 ds.218 / pl.28 ds.219	ind
283	YV0042	48	Silo	diam. : 100 prof. : 58	Hypothèse: à la vue de la dynamique de comblement, il serait peut-être possible de voir une réutilisation à posteriori du silo en trou de poteau (?) ou, du moins, un recusement post comblement de ce silo	447 / 448 / 449 / 450 / 451 / 452 / 453	pl.26 ds.203 / pl.26 ds.204	Moyen- âge central
284	YV0042	48	Trou de poteau	diam. : 64	Situé dans une zone dense avec trou de poteau et silo, fonctionne peut-être avec F.286 Non testé	979		ind
285	YV0042	48	Fossé	larg. : 92 prof. : 48	Orienté Nord-Est / Sud-Ouest Est recoupé par la marnière F.277 Le fossé semble délimité au Sud la zone de trous de poteau et de silos en tranchée 48 Testé mécaniquement	406 / 407 / 408 / 409 / 410	pl.26 ds.202	Bronze moyen
286	YV0042	48	Trou de poteau		Situé dans une zone dense avec trou de poteau et silo, fonctionne peut-être avec F.284 Non testé	980		ind
287	YV0042	48	Silo	diam. : 140 prof. : 90	Silo aux parois partiellement effondrées, après constitution d'un petit dôme d'argile lié à l'abandon de la structure Les liens avec la marnière F.277 n'ont pu être déterminés, mais il semble que F.287 soit recoupé par F.277	429 / 430 / 431 / 432 / 433	pl.28 ds.215	Haut empire
288	YV0042	48	Trou de poteau		Trou de poteau pouvant fonctionner avec les TP F.279, F303, F302, F295 et F282, pour former un ensemble linéaire et orthogonal, délimitant le nord et l'ouest d'une zone de silos (F281, F287..) Non testé	981		ind
289	YV0042	48	Trou de poteau	diam. : 60	Possible trou de poteau proche d'une zone dense de trous de poteau et de silo Fonctionne peut-être avec F.362 ou 290? Non testé	982		Moyen- âge central ?
290	YV0042	48	Trou de poteau	diam. : 103 prof. : 50	Fonctionne peut-être avec F.362, mais les gabarits ne sont pas les mêmes Recoupe F.370	472 / 473 / 477	pl.29 ds.226 / pl.29 ds.227	Moyen- âge central
291	YV0042	48	Terrier	long. : 12 prof. : 8	Structure irrégulière, avec départ de galerie	857		ind
292	YV0042	49	Silo	diam. : 124 prof. : 82	Creusement circulaire, piriforme, fond plat	511 / 512 / 513 / 514 / 515 / 516 / 517	pl.33 ds.252 / pl.33 ds.253	Bronze moyen

Fait	Cadastre	Tranchée	Catégorie	Dimensions	Description	US	Dessins	Datation
293	YV0042	49	fosse d'extraction	long. : 564 larg. : 389 prof. : 120	Probable marnière de plan ovoïde, testé mécaniquement Son comblement, massif, correspond à ceux observés dans les autres structures de même type mais ici avec des blocs calcaires en plus Recoupe le fossé F.294 (pas de relevé, mais visible sur photo de coupe) Testé mécaniquement	476 / 1080		Moyen-âge central
294	YV0042	49	Fossé	larg. : 127 prof. : 50	Orienté Sud-Est / Nord-Ouest Est recoupé par la marnière F.293 Aligné à F.344 mais non perçu dans la Tr.51 Testé mécaniquement	487 / 488 / 489 / 490	pl.29 ds.225	ind
295	YV0042	48	Trou de poteau	diam. : 75 prof. : 20	Trou de poteau pouvant fonctionner avec les TP F.279, F303, F302, F288 et F282, pour former un ensemble linéaire et orthogonal, délimitant le nord et l'ouest d'une zone de silos (F281, F287..)	460 / 461	pl.28 ds.216 / pl.28 ds.217	ind
296	YV0042	48	Trou de poteau	diam. : 82 prof. : 34	Trou de poteau fonctionnant peut-être avec F.298, 299 et 300 pour former un bâtiment à 4 poteaux près de la zone d'ensilage de la tranchée 48	454 / 455 / 456	pl.27 ds.213 / pl.27 ds.214	Moyen-âge central
297	YV0042	48	Trou de poteau		Possible mais très hypothétique trou de poteau proche d'une zone dense en trou de poteau Plan très irrégulier Non testé	983		ind
298	YV0042	48	Trou de poteau		Trou de poteau fonctionnant peut-être avec F.296, 299 et 300 pour former un bâtiment à 4 poteaux près de la zone d'ensilage de la tranchée 48 Non testé	984		Moyen-âge central ?
299	YV0042	48	Trou de poteau	diam. : 75 prof. : 14	Trou de poteau fonctionnant peut-être avec F.296, 298 et 300 pour former un bâtiment à 4 poteaux près de la zone d'ensilage de la tranchée 48	445 / 446	pl.26 ds.207 / pl.26 ds.208	Moyen-âge central ?
300	YV0042	48	Trou de poteau		Trou de poteau fonctionnant peut-être avec F.296, 298 et 299 pour former un bâtiment à 4 poteaux près de la zone d'ensilage de la tranchée 48 Non testé	985		Moyen-âge central ?
301	YV0042	48	Trou de piquet		Hypothétique trou de piquet, fonctionne peut-être avec l'ensemble formé par les TP F.296 et 298 à 300 dont il marque approximativement le centre Non testé	986		Moyen-âge central ?
302	YV0042	48	Trou de poteau	long. : 0,74 larg. : 0,68 prof. : 0,26	Trou de poteau circulaire (sans négatif) pouvant fonctionner avec les TP F279, F303, F282, F295 et F288, pour former un ensemble linéaire et orthogonal, délimitant le nord et l'ouest d'une zone de silos (F281, F287..)	470 / 471	pl.25 ds.200 / pl.25 ds.201	ind
303	YV0042	48	Trou de poteau		Trou de poteau circulaire pouvant fonctionner avec les TP F279, F302, F282, F295 et F288, pour former un ensemble linéaire et orthogonal, délimitant le nord et l'ouest d'une zone de silos (F281, F287..) Non testé	987		ind
304	YV0042	48	Terrier	long. : 240 larg. : 60 prof. : 9	Éventuel fond de terrier qui présente une forme en plan et en coupe très irrégulière. Aucun creusement observé.	858		ind
305	YV0041	48	Indéterminé		Fond de structure indéterminée, très arasée, anthropique? Non testé	988		ind
306	YV0042	49	Fosse	long. : ? larg. : 160 prof. : 66	Fait oblong au profil en «V» à fond plat et bords légèrement asymétriques, pris dans la coupe ouest de la tranchée 49. Le profil, ainsi que la forme en plan, ressemble à celui d'un fossé. Toutefois, aucun prolongement n'a été observé dans les tranchées contiguës.	501 / 502 / 503 / 504 / 505	pl.32 ds.246 / pl.32 ds.247 / pl.32 ds.250	ind

Fait	Cadastre	Tranchée	Catégorie	Dimensions	Description	US	Dessins	Datation
307	YV0041	49	Fosse	long. : ? larg. : 98 prof. : 64	Fait rectangulaire, au profil en «V» à fond plat et bords obliques légèrement asymétriques, pris dans la berme ouest de la tranchée 49. Le profil, ainsi que la forme en plan, ressemble à celui d'un fossé. Toutefois, aucun prolongement n'a été observé dans les tranchées contiguës. Ce fait présente des similitudes avec F306, lui aussi pris dans la berme ouest.	507 / 508 / 509 / 510	pl.32 ds.251	ind
308	YV0041	49	Fossé	long. : ? larg. : 64 prof. : 33	Fossé d'orientation S-O/N-E au creusement en cuvette à bords légèrement évasés. Testé mécaniquement	520 / 521	pl.30 ds.230	ind
309	YV0041	46	Fosse	diam. : 60 prof. : 24	Fosse prise dans la berme de la tranchée 46, et recouverte par le fossé F264. Vu seulement en coupe Testé mécaniquement	434 / 435	pl.27 ds.211	Bronze moyen
310	YV0041	50	Fosse		Structure indéterminée, comblement argileux, anthropique? Non testé	989		ind
311	YV0041	50	Anomalie naturelle	long. : 270 larg. : 80 prof. : 24	Zone de limon argileux brun stérile entourée d'une auréole d'altération de calcaire.	859		ind
312	YV0041	50	Fosse	long. : 40 larg. : 38 prof. : 27	Petite fosse circulaire ou TP isolé	522 / 523 / 524 / 525 / 526	pl.30 ds.233 / pl.30 ds.234	ind
313	YV0041	50	Anomalie naturelle	long. : 150 larg. : 100 prof. : 30	Zone de limon argileux brun entourée d'une auréole d'altération de calcaire.	860		ind
314	YV0041	50	Trou de poteau		Très hypothétique trou de poteau, probable racine Non testé	990		ind
315	YV0041	50	Racine	long. : 35 larg. : 20 prof. : 2	Anomalie très irrégulière comblée de limon brun venant s'infiltrer dans les irrégularités du terrain naturel (US121).	861		ind
316	YV0041	50	Trou de poteau	diam. : 38 prof. : 46	Trou de poteau fonctionnant potentiellement avec les autres TP F314 et 319. Il se peut que la suite éventuelle de cet ensemble ait été rendue illisible par l'installation des fosses F317 et 318.	540 / 541 / 542 / 543	pl.33 ds.254 / pl.33 ds.255	ind
317	YV0041	50	fosse d'extrac- tion	long. : 850 larg. : 230 prof. : 16	Large fosse de plan irrégulier et de profil en cuvette évasée, très arasée. Très probable fosse d'exploitation liée à l'extraction de calcaire pulvérulent (dans le cadre de fabrication de chaux?). Directement au Nord-Ouest, présence très diffuse d'une zone limoneuse brune de même type et de même alignement mais très superficielle. Peut-être un reste de troisième fosse d'extraction? Testé mécaniquement	862 / 1074		ind
318	YV0041	50	fosse d'extrac- tion	long. : 590 larg. : 240 prof. : 23	Large fosse de plan irrégulier et de profil en cuvette évasée, très arasée. Très probable fosse d'exploitation liée à l'extraction de calcaire pulvérulent (dans le cadre de fabrication de chaux?). Testé mécaniquement	832 / 1075		ind
319	YV0041	50	Trou de poteau		Très hypothétique trou de poteau, probablement naturel Non testé	991		ind
320	YV0041	50	Fossé	larg. : 142 prof. : 76	Fossé d'orientation N-E/S-O et au profil en cuvette à fond plat et à bords obliques. A noter qu'il n'a pas été observé de prolongement dans les tranchées contiguës. Testé mécaniquement	546 / 547 / 548 / 549	pl.30 ds.237	Haut Empire
321	YV0041	50	Fosse	diam. : 40 prof. : 16	Petite fosse dans laquelle a été déposé une céramique dont il ne reste que le fond et la partie basse.	464 / 465 / 466	pl.29 ds.221 / pl.29 ds.222	Haut Empire

Fait	Cadastre	Tranchée	Catégorie	Dimensions	Description	US	Dessins	Datation
322	YV0042	50	Fossé	larg. : 106 prof. : 26	Extrémité de fossé (?) d'orientation N-O/S-E, dont il n'a été retrouvé aucun autre indice dans les tranchées contiguës. A noter que le fossé F 320, sis dans la même tranchée au nord, lui est parfaitement perpendiculaire. Recoupe F.323	550 / 551	pl.30 ds.238	Haut Empire
323	YV0042	50	Fosse		Fosse ovoïde de fonction indéterminée Est recoupé par F.322 Non testé	992		Haut Empire ou antérieure?
324	YV0042	50	ANNULÉ	long. : 30 larg. : 15	Anomalie indéterminée très irrégulière en plan comme en coupe, très fortement arasée.	863		ind
325	YV0042	50	Silo	long. : 100 diam. : 136	Silo avec nombreuses traces d'effondrement.	557 / 558 / 559 / 560 / 561 / 562 / 563 / 564 / 565 / 566 / 567 / 568 / 569 / 570 / 572	pl.36 ds.264 / pl.36 ds.265	Bronze moyen ou Moyen- âge central ?
326	YV0042	51	Racine	long. : 29 larg. : 18 prof. : 3	Anomalie très irrégulière comblée de limon brun.	864		ind
327	YV0042	51	Trou de poteau		Très hypothétique trou de poteau, plus probablement naturel vu le contexte alentour (F.329 et 326 sont des racines, isolé, pas d'alignement) Non testé	993		ind
328	YV0042	51	Trou de poteau		Très hypothétique trou de poteau, plus probablement naturel vu le contexte alentour (F.329 et 326 sont des racines, isolé, pas d'alignement) Non testé	994		ind
329	YV0042	51	Racine	long. : 46 larg. : 42 prof. : 13	Anomalie très irrégulière comblée de limon brun.	865		ind
330	YV0042	51	chablis	diam. : 100	Fosse très irrégulière, plutôt subcirculaire.	866		ind
331	YV0042	51	Trou de poteau		Très hypothétique trou de poteau, plus probablement naturel vu le contexte alentour (F.332 et 334 sont des racines, isolé, pas d'alignement) Non testé	995		ind
332	YV0042	51	Racine	diam. : 25 prof. : 8	Anomalie très irrégulière comblée de limon brun.	867		ind
333	YV0042	51	Trou de poteau		Très hypothétique trou de poteau, plus probablement naturel vu le contexte alentour (F.332 et 334 sont des racines, isolé, pas d'alignement) Non testé	996		ind
334	YV0042	51	Racine	diam. : 20 prof. : 30	Anomalie très irrégulière au profil en entonnoir comblée de limon brun.	868		ind
335	YV0042	51	Trou de poteau		Très hypothétique trou de poteau, plus probablement naturel vu le contexte alentour (F.334 et 336 sont des racines, isolé, pas d'alignement) Non testé	997		ind
336	YV0042	51	Racine	diam. : 24 prof. : 10	Anomalie très irrégulière comblée de limon brun.	869		ind
337	YV0042	51	Trou de poteau		Hypothétique trou de poteau, isolé Non testé	998		ind
338	YV0042	51	Trou de poteau	diam. : 24 prof. : 12	Hypothétique trou de poteau ou de plantation, de plan subcirculaire au profil en cuvette à fond régulier et bords obliques.	573 / 574	pl.30 ds.231 / pl.30 ds.232	ind
339	YV0042	51	Trou de poteau		Hypothétique trou de poteau, isolé Non testé	999		ind
340	YV0042	51	Trou de poteau		Trou de poteau subquadrangulaire présentant des dimensions et caractéristiques similaires à F341, 342, 343. Non testé	1000		proto ind Bronze moyen?

Fait	Cadastre	Tranchée	Catégorie	Dimensions	Description	US	Dessins	Datation
341	YV0042	51	Trou de poteau	prof. : 30	Trou de poteau subquadrangulaire (en partie pris sous la berme ouest) présentant des dimensions et caractéristiques similaires à F340, 342, 343.	482 / 483 / 484	pl.31 ds.239	proto ind Bronze moyen?
342	YV0042	51	Trou de poteau		Trou de poteau subquadrangulaire présentant des dimensions et caractéristiques similaires à F340, 341, 343. Non testé	1001		proto ind Bronze moyen?
343	YV0042	51	Trou de poteau	long. : 85 larg. : 85 prof. : 20	Trou de poteau subquadrangulaire présentant des dimensions et caractéristiques similaires à F340, 342, 341.	485 / 486	pl.31 ds.240	proto ind Bronze moyen?
344	YV0041	51	Fossé		Fossé orienté Nord-Ouest / Sud-Est Non testé dans cette tranchée, peut-être équivalent à F.294, mais non observé dans l'extension de tranchée Non observé en tranchée 51	819		Moyen-âge central ?
345	YV0042	51	Terrier	long. : 54 larg. : 27	Terrier aux contours irréguliers se finissant par une galerie sur le côté sud-est.	870		ind
346	YV0042	51	Trou de poteau		Très hypothétique trou de poteau, proche du bâtiment avec les poteaux carrés et la grande fosse Au vu du contexte, probablement naturel (racine?) Non testé	1002		ind
347	YV0042	51	Terrier	long. : 32 larg. : 20	Terrier aux contours irréguliers se finissant par une galerie sur le côté sud.	871		ind
348	YV0042	51	Terrier		Terrier aux contours irréguliers (ou hypothétique ensemble racinaire)	872		ind
349	YV0042	51	Anomalie naturelle	diam. : 28 prof. : 4	Anomalie relativement circulaire et très peu profonde, recoupée par F350.	491	pl.31 ds.241	ind
350	YV0042	51	Trou de poteau	diam. : 38 prof. : 25	Hypothétique trou de poteau avec calage (caillou calcaire). A noter qu'il n'y a pas de TP présentant les mêmes caractéristiques identifiées autour de ce fait.	492 / 493	pl.31 ds.241	Haut Empire ?
351	YV0042	51	Trou de poteau		Hypothétique trou de poteau Non testé	1003		Haut Empire ?
352	YV0042	51	Trou de poteau		Peut-être un trou de poteau, matériel en surface Non testé	809		Haut Empire
353	YV0042	51	Trou de poteau		Hypothétique trou de poteau, fonctionne peut-être avec F.354 Non testé	1004		ind
354	YV0042	51	Trou de poteau	diam. : 24 prof. : 8	Hypothétique trou de poteau au profil en auge et au fond incliné. Fonctionne peut-être avec F.353	494 / 495	pl.31 ds.242	ind
355	YV0042	51	Trou de poteau		Très hypothétique trou de poteau, probablement naturel (racine?) Non testé	1005		ind
356	YV0042	51	Racine	diam. : 35 prof. : 3	Anomalie circulaire au fond très irrégulier comblée de limon brun.	873		ind
357	YV0042	51	Trou de poteau	long. : 44 prof. : 14	Creusement ovoïde, en auge avec fond en pente	499 / 500	pl.31 ds.243	ind
358	YV0042	51	Fosse	long. : 348 larg. : 225 prof. : 133	Fosse en «Y» qui, au regard de la dynamique de comblement, a pu revêtir 2 utilisations différentes (éventuelle fosse de chasse concernant les US 531, 532, 537, 545, 555 et 556 puis éventuelle fosse de stockage pour ce qui est des US 527 à 530, 533 à 536, 538 et 544.	527 / 528 / 529 / 530 / 531 / 532 / 533 / 534 / 535 / 536 / 537 / 538 / 539 / 544 / 545 / 554 / 555 / 556 / 893 / 966	pl.34 ds.257 / pl.35 ds.258 / pl.35 ds.259 / pl.49 ds.318	Néolithique ancien

Fait	Cadastre	Tranchée	Catégorie	Dimensions	Description	US	Dessins	Datation
359	YV0041	51	Fossé	larg. : 126 prof. : 74	Probable fossé d'orientation N-E/S-O, dont il n'a été retrouvé aucun autre indice dans les tranchées contiguës. Les limites supérieures sont peu visibles, ce qui ne permet pas réellement de savoir si le creusement remonte jusqu'à la TV. Testé mécaniquement	576 / 578	pl.37 ds.269	ind
360	YV0041	51	Fosse	larg. : 100 prof. : 50	Probable fosse seulement observée dans la coupe est de la tranchée 51. Les limites supérieures sont peu visibles. La partie supérieure du creusement est à cet endroit illisible, ce qui ne permet pas de savoir si ce creusement remonte réellement directement sous la TV. Testé mécaniquement	580 / 581	pl.37 ds.269	ind
361	YV0041	51	Fossé	larg. : 26	Fossé d'orientation N-O/S-E au profil en cuvette à bords supérieurs indéterminés. La partie supérieure du creusement est à cet endroit illisible, ce qui ne permet pas de savoir si ce creusement remonte réellement directement sous la TV. Équivalent à F.271 et F.276 Testé mécaniquement (fin à la main)	874 / 875		Moyen- âge central
362	YV0042	48	Trou de poteau	long. : 74 larg. : 94 prof. : 28	Trou de poteau (?) de forme ovoïde au profil en cuvette à bords asymétriques. Creusement «opportuniste» respectant tout un pan de grosses pierres calcaires émergentes pour éventuel calage. Est peut-être à mettre en relation avec F280, sis à 2m au nord-est.	467 / 468 / 469	pl.29 ds.223 / pl.29 ds.224	Moyen- âge central ?
363	YV0042	52	chablis	diam. : 110 prof. : 8	Chablis testé mécaniquement présentant un plan de forme irrégulière et un profil irrégulier et arasé. Testé mécaniquement	876		ind
364	YV0042	53	Racine	long. : 44 larg. : 30 prof. : 9	Anomalie subcirculaire arasée, au fond très irrégulier et comblée de limon sableux brun.	877		ind
365	YV0042	48	Trou de poteau		Hypothétique trou de poteau Non testé	1007		ind
366	YV0042	48	Trou de poteau	long. : 54 larg. : 41 prof. : 29	Trou de poteau légèrement ovoïde au profil en auge, situé en bord de décapage.	474 / 475	pl.30 ds.228 / pl.30 ds.229	Moyen- âge central
367	YV0042	53	Racine	long. : 64 larg. : 52 prof. : 3	Anomalie subcirculaire arasée, au fond très irrégulier et comblée de limon brun clair.	878		ind
368	YV0041	53	Fossé	larg. : 30 prof. : 22	Fossé d'orientation S-E/N-O au profil en cuvette. Parallèle à F.344 et F.361. A noter qu'il n'a pas été observé de prolongement dans les tranchées contiguës. Testé mécaniquement	583 / 584	pl.37 ds.271	Moyen- âge central ?
369	YV0042	54	chablis	diam. : 110 prof. : 20	Chablis testé mécaniquement présentant un plan de forme irrégulière et un profil irrégulier et arasé. Testé mécaniquement	879		ind
370	YV0042	48	Fosse	larg. : 73 prof. : 45	Fosse prise dans la coupe ouest de la tranchée 48 et recoupé par F290.	478 / 479 / 480 / 481	pl.29 ds.226 / pl.29 ds.227	ind
371	YV0042	49	ANNULÉ		Fosse ou anomalie naturelle	1008		ind
372	YV0037	57	Fossé	larg. : 90 prof. : 40	Fossé d'orientation E/O et présentant un profil en «V» aux bords légèrement évasés. Testé mécaniquement	585 / 586 / 587	pl.37 ds.270	ind
373	YV0037	57	Fossé	larg. : 42 prof. : 20	Fossé indéterminé Nord / Sud, peut-être bordier d'un ancien chemin, ou ornière? Testé mécaniquement	588 / 589 / 830	pl.31 ds.245	Moderne
374	YV0037	57	Racine	long. : 67 larg. : 58	Anomalie subcirculaire aux limites très diffuses.	880		ind
375	YV0037	57	Silo	larg. : 140 prof. : 82	Potentiel silo pris dans la coupe est de la tranchée 57.	592 / 593 / 594 / 595 / 596	pl.38 ds.272	Moyen- âge central

Fait	Cadastre	Tranchée	Catégorie	Dimensions	Description	US	Dessins	Datation
376	YV0037	57	Fosse	long. : 76 larg. : 60 prof. : 26		590 / 591	pl.32 ds.248 / pl.32 ds.249	Moyen-âge central
377	YV0037	57	Trou de poteau		Hypothétique trou de poteau Non testé	1010		ind
378	YV0037	57	Fosse		Structure indéterminée prise dans la coupe Ouest de la tranchée 57 Non testé	1011		ind
379	YV0037	57	Trou de poteau		Hypothétique trou de poteau, isolé Non testé	1012		ind
380	YV0042	51	Trou de poteau	long. : 31 prof. : 10		497 / 498	pl.31 ds.244	indéterminé
381	YV0037	57	Fosse	long. : 130 larg. : 90 prof. : 16	Fosse subrectangulaire très arasée au profil en cuvette à fond plat (recoupée par un sillon de charrue en partie supérieure).	597 / 598 / 599	pl.35 ds.260 / pl.35 ds.261	Haut Moyen-âge
382	YV0037	57	Fosse	long. : 150 larg. : 112 prof. : 56	Fosse de plan ovoïde et au profil en cuvette à fond plat et aux bords supérieurs asymétriques. Coupée mécaniquement.	626 / 627 / 628	pl.36 ds.266 / pl.36 ds.267	Moyen-âge central
383	YV0037	57	ANNULÉ			1014		ind
384	YV0037	57	ANNULÉ			1015		ind
385	YV0037	57	Fossé	larg. : 130 prof. : 60	Fossé d'orientation N-E/S-O au profil en cuvette à bords droits et évasés. Forme un angle avec le fossé F427 situé dans son prolongement ouest. Fait parti du long réseau de fossés «serpentiformes» Testé mécaniquement	600 / 601 / 602	pl.38 ds.274	Haut Moyen-âge ?
386	YV0037	57	Fosse	larg. : 3,54	Large fosse non testée.	831		ind
387	YV0037	57	Trou de poteau	long. : 36 larg. : 34 prof. : 26	Trou de poteau circulaire présentant un profil en cuvette à bords légèrement obliques. Fait partie d'un ensemble de 15 TP établis sur 3 alignements N-NE/S-SO équidistants.	603 / 604	pl.30 ds.235 / pl.30 ds.236	Haut Moyen-âge
388	YV0037	57	Trou de poteau	diam. : 32	Trou de poteau circulaire non fouillé. Fait partie d'un ensemble de 15 TP établis sur 3 alignements N-NE/S-SO équidistants. Non testé	1016		Haut Moyen-âge
389	YV0037	57	Trou de poteau	diam. : 30	Trou de poteau circulaire présentant un profil en auge à bords relativement verticaux. Fait partie d'un ensemble de 15 TP établis sur 3 alignements N-NE/S-SO équidistants.	605 / 606	pl.39 ds.275 / pl.39 ds.276	Haut Moyen-âge
390	YV0037	57	Fosse	diam. : 61 prof. : 30	Fosse circulaire sise sur le comblement supérieur de la marnière F391. Vue en coupe seulement Testé mécaniquement	609 / 610	pl.39 ds.277	ind
391	YV0037	57	fosse d'extraction	larg. : 2724	Grande fosse d'une largeur minimale de 27 m et d'une longueur minimale de 29m sise sur les tranchées 57 et 59, probable marnière Non testé	828		ind
392	YV0037	57	Canalisation	long. : 1050 larg. : 10	Canalisation traversant la tranchée 57 dans une orientation N-E/S-O.	829		Contemporain
393	YV0037	57	Fosse		Fosse indéterminée, prise en partie dans la coupe de la tranchée 57 Non testé	1017		ind
394	YV0037	57	Fossé	larg. : 110 prof. : 50	Fossé d'orientation N-O/S-E présentant un creusement au profil en «V» Probablement équivalent à F.239, F.225 et F.400 et en lien avec F.451 (non perçu en Tr.66) Testé mécaniquement	612 / 613 / 614	pl.38 ds.273	Antiquité tardive (IV-Ve s.)
395	YV0037	57	Fossé		Fossé Nord-Est / Sud-Ouest observé seulement en tranchée 57 Non testé	835		ind

Fait	Cadastre	Tranchée	Catégorie	Dimensions	Description	US	Dessins	Datation
396	YV0037	57	Fossé	larg. : 80 prof. : 32	Fossé (?) d'orientation E-SE/O-NO présentant un profil en auge à bords évasés. Est perpendiculaire et non relié physiquement à F395, sis à son Est. Testé mécaniquement	615 / 616	pl.28 ds.220	ind
397	YV0037	57	Trou de poteau		Très hypothétique trou de poteau, vu partiellement en tranchée 57 (argile avec inclusions charbonneuses) Non testé	1018		ind
398	YV0037	57	Fossé		Très hypothétique fossé orienté Sud-Ouest / Nord-Est, observé en plan seulement en tranchée 57. Testé mais illisible en coupe, peut-être naturel Testé mécaniquement	1019		ind
399	YV0037	59	Fossé	larg. : 114 prof. : 54	Fossé d'orientation N/S et présentant un profil en cuvette à bords asymétriques et évasés. Peut potentiellement correspondre au fossé F421, plus au nord, dans la tranchée 60. Fait probablement partie du Chemin F.420 Testé mécaniquement	618 / 619 / 620	pl.39 ds.279	Moderne
400	YV0037	59	Fossé	larg. : 118	Fossé d'orientation N-O/S-E présentant un creusement au profil en «V». Probablement équivalent à F.239, F.394 et F.225 et en lien avec F.451 (non perçu en Tr.66) Non testé sous ce numéro	822		Antiquité tardive (IV-Ve s.)
401	YV0037	59	Anomalie naturelle	long. : 80 larg. : 66	Anomalie irrégulière avec piégeage de sédiments bruns superficiel, formant une tâche. Non testé.	881		ind
402	YV0037	59	Racine	diam. : 54	Anomalie subcirculaire comblée de limon brun avec poches calcaires venant s'infiltrer dans les irrégularités du terrain naturel (US121).	882		ind
403	YV0037	59	Trou de poteau		Hypothétique trou de poteau Non testé	1020		ind
404	YV0037	59	ANNULÉ	long. : 168 larg. : 94	Placage irrégulier de limon brun sur US géologique. Testé mécaniquement	883		ind
405	YV0037	59	Racine	long. : 43 larg. : 29	Anomalie irrégulière comblée de limon brun avec poches calcaires venant s'infiltrer dans les irrégularités du terrain naturel (US121).	884		ind
406	YV0037	59	Trou de poteau		Hypothétique trou de poteau, observé partiellement en tranchée 59 Non testé	1021		ind
407	YV0037	59	Ornière		Probable ornière ou sillon agricole Non testé	1022		ind
408	YV0037	59	ANNULÉ	long. : 38 larg. : 35	Émergence de calcaire blanc sur argile jaune-orangé.	885		ind
409	YV0037	59	ANNULÉ	diam. : 20	Émergence circulaire de calcaire blanc sur argile jaune-orangé.	886		ind
410	YV0037	59	Racine	diam. : 25	Anomalie subcirculaire comblée de limon argileux brun avec restes racinaires (CDB) venant s'infiltrer dans les irrégularités du terrain naturel.	887		ind
411	YV0037	60	Fosse	long. : 47 larg. : 37	Fosse indéterminée présentant un plan subcirculaire et un creusement irrégulier.	658 / 659	pl.46 ds.300 / pl.46 ds.301	Moyen-âge central
412	YV0037	60	Trou de poteau		Hypothétique trou de poteau, isolé Non testé	1023		ind
413	YV0042	50	Fosse	larg. : 58 prof. : 32	Fosse (ou fossé) observé en coupe ouest de la tranchée 50. Présente un profil en cuvette à bords légèrement obliques. Testé mécaniquement	552 / 553	pl.30 ds.238	Bas-Empire ?
414	YV0037	60	Anomalie naturelle	long. : 200 larg. : 70 prof. : 17	Dépression naturelle oblongue dans laquelle s'est fixé un limon supérieur ou phénomène de gélifraction. Testé mécaniquement	888		ind
415	YV0037	60	Anomalie naturelle	long. : 210 larg. : 100 prof. : 19	Dépression naturelle oblongue dans laquelle s'est fixé un limon supérieur ou phénomène de gélifraction. Testé mécaniquement	889		ind

Fait	Cadastre	Tranchée	Catégorie	Dimensions	Description	US	Dessins	Datation
416	YV0037	60	Fossé	larg. : 92 prof. : 47	Fossé, d'orientation N/S, parallèle à un certain nombre de faits vus dans la même tranchée (F417 à 421). Pour tous ces faits observés dans la Tr.60, il n'a pas été perçu de prolongement dans les tranchées contiguës (hormis F399 qui pourrait correspondre à la partie sud de F421). Testé mécaniquement	660 / 661 / 662	pl.43 ds.291	Moderne
417	YV0037	60	Ornière	larg. : 40	Possible ornière orientée N/S. Fait peut-être partie du Chemin F.420 Non testé.	834		Moderne
418	YV0037	60	Fossé	larg. : 70 prof. : 36	Fossé, d'orientation N/S, parallèle à un certain nombre de faits vus dans la même tranchée (F416 et F 419 à 421). Pour tous ces faits observés dans la Tr.60, il n'a pas été perçu de prolongement dans les tranchées contiguës (hormis F399 qui pourrait correspondre à la partie sud de F421). Testé mécaniquement	663 / 664	pl.43 ds.293 / pl.44 ds.294	Moderne
419	YV0037	60	Fossé	larg. : 98 prof. : 48	Fossé (bordier ?), d'orientation N/S, parallèle à un certain nombre de faits vus dans la même tranchée (F416 à F 418 et F420 et 421). Pour tous ces faits observés dans la Tr.60, il n'a pas été perçu de prolongement dans les tranchées contiguës (hormis F399 qui pourrait correspondre à la partie sud de F421). Testé mécaniquement	665 / 666 / 667	pl.43 ds.293 / pl.44 ds.294	Moderne
420	YV0037	60	Chemin	larg. : 330 prof. : 32	Chemin creux d'orientation N/S autour duquel viennent se structurer parallèlement différents fossés. Testé mécaniquement	674 / 675 / 676 / 677 / 678 / 679	pl.44 ds.294	Moderne
421	YV0037	60	Fossé	larg. : 170 prof. : 53	Fossé (bordier ?), d'orientation N/S, parallèle à un certain nombre de faits vus dans la même tranchée (F416 à F 418 et F420 et 422). Pour tous ces faits observés dans la Tr.60, il n'a pas été perçu de prolongement dans les tranchées contiguës (hormis F399 qui pourrait correspondre à la partie sud de F421). Testé mécaniquement	680 / 681 / 682 / 683	pl.44 ds.295	Moderne
422	YV0037	60	Labour	larg. : 34 prof. : 7	Peut-être une trace de labour (ou ornière?) Éloigné mais parallèle à l'axe de la voie F.420 Une seule US créée Testé mécaniquement	684		ind
423	YV0037	61	Trou de poteau		Hypothétique trou de poteau, isolé Non testé	1024		ind
424	YV0037	61	Fosse	long. : 222 larg. : 120 prof. : 54	Fosse indéterminée, peut-être naturelle à la vue du type de comblement et du contexte alentour Testé mécaniquement	765 / 766 / 767	pl.50 ds.326	ind
425	YV0037	61	Trou de poteau	long. : 36 larg. : 32 prof. : 12	Très hypothétique trou de poteau, isolé, dans une zone de TN grisâtre perturbé	687 / 688	pl.41 ds.289 / pl.41 ds.290	ind
426	YV0037	61	Trou de poteau	diam. : 28 prof. : 28	Trou de poteau isolé	685 / 686	pl.41 ds.287 / pl.41 ds.288	ind
427	YV0037	61	Fossé	larg. : 168 prof. : 64	Fossé orienté Est / Ouest Fait parti du long réseau de fossés «serpentiformes» Testé mécaniquement En tranchée 61, peut-être indice de curage (cf. à partir de l'US622)	621 / 622 / 623 / 624 / 625 / 1113	pl.33 ds.256	Haut Moyen- âge ?
428	YV0037	61	Terrier			890		ind
429	YV0037	62	ANNULÉ		Résurgence calcaire dans l'argile orangée	891		ind
430	YV0037	62	ANNULÉ		Résurgence calcaire dans l'argile orangée	892		ind
431	YV0037	62	Labour		Structure indéterminée, peut-être un labour ou sillon Non testé	1025		ind

Fait	Cadastré	Tranchée	Catégorie	Dimensions	Description	US	Dessins	Datation
432	YV0037	57	Trou de poteau	diam. : 36	Trou de poteau circulaire. Fait partie d'un ensemble de 15 TP établis sur 3 alignements N-NE/S-SO équidistants. Non testé	1026		Haut Moyen-âge
433	YV0037	57	Trou de poteau	diam. : 39 prof. : 27	Trou de poteau circulaire. Fait partie d'un ensemble de 15 TP établis sur 3 alignements N-NE/S-SO équidistants.	607 / 608	pl.35 ds.262 / pl.35 ds.263	Haut Moyen-âge
434	YV0037	57	Ornière		Ensemble de plusieurs traces linéaires de labours ou d'ornières parallèles orientées Nord / Sud. Un seul n° de fait pour l'ensemble Fait partie du chemin napoléonien??	693	pl.45 ds.297	Haut Moyen-âge ?
435	YV0037	63	Fosse	long. : 310 larg. : 200 prof. : 80	Peut-être une fosse d'extraction Il semble qu'elle soit restée à l'air libre un certain temps occasionnant des effondrements de parois Pas de traces d'hydromorphie Testé mécaniquement	611 / 926 / 1081 / 1082 / 1083 / 1084	pl.36 ds.268	ind
436	YV0037	63	fosse d'extraction	long. : 300 prof. : 50	Recoupe la fosse F.441 Il semble que la fosse soit restée un certain temps à l'air libre, ayant entraîné des effondrements de parois Testé mécaniquement	629 / 630 / 631 / 632 / 633 / 634	pl.40 ds.282	ind
437	YV0037	65	Fossé	larg. : 78 prof. : 40	Fossé orienté Est / Ouest Lien avec le fossé F.444 non observé car illisible Est recoupé par le trou de poteau F.501 Aligné avec F.447 avec une interruption Testé mécaniquement	697 / 698 / 1111	pl.39 ds.278 / pl.47 ds.303	Haut Empire
438	YV0037	64	Racine	long. : 50 larg. : 22	Irrégulier en plan comme en coupe, part en sape	894		ind
439	YV0037	64	Trou de poteau	diam. : 28 prof. : 18	Trou de poteau isolé	656 / 657	pl.46 ds.299	ind
440	YV0037	65	Anomalie naturelle	diam. : 103 prof. : 16	Dépôt de remblai dans une dépression naturelle ou incision naturelle Testé mécaniquement	895		ind
441	YV0037	63	fosse d'extraction	long. : 290 larg. : 240 prof. : 72	Est recoupé par F.436 Il semble que la fosse soit restée un certain temps à l'air libre, ayant entraîné des effondrements de parois Testé mécaniquement	635 / 636 / 637 / 638 / 639	pl.40 ds.282 / pl.40 ds.283	ind
442	YV0037	63	fosse d'extraction	long. : 390 larg. : 240 prof. : 74	Est recoupé par F.441 Il semble que la fosse soit restée un certain temps à l'air libre, ayant entraîné des effondrements de parois Testé mécaniquement	640 / 641 / 642 / 643 / 644 / 645	pl.40 ds.283	ind
443	YV0037	65	Fossé	larg. : 137 prof. : 54	Fossé orienté Nord-Ouest / Sud-Est Fait parti du long réseau de fossés «serpentiformes»	669 / 670 / 671 / 672 / 673	pl.41 ds.286	Antiquité tardive (IV-Ve s.) / Haut Moyen-âge?
444	YV0037	65	Fossé	larg. : 110 prof. : 54	Fossé orienté Sud-Ouest / Nord-Est Lien avec le fossé F.437 non observé car illisible Testé mécaniquement	694 / 695 / 696 / 1085 / 1086	pl.39 ds.280 / pl.47 ds.303	Haut empire
445	YV0037	65	Fosse	long. : 340 larg. : 122	Fosse indéterminée, de plan irrégulier Lien avec le fossé F.400 non déterminé Testé mécaniquement	1027		ind
446	YV0036	66	Fossé	larg. : 100 prof. : 58	Fossé orienté Sud-Ouest / Nord-Est Testé mécaniquement	1028 / 1029 / 1030 / 1031	pl.39 ds.281	ind
447	YV0036	68	Fossé	larg. : 97 prof. : 46	Fossé orienté Est / Ouest Aligné avec F.437 avec une interruption Testé mécaniquement	651 / 652 / 653 / 807	pl.41 ds.285	Haut Moyen-âge ?
448	YV0037	66	ANNULÉ		Traces éparses de charbon de bois dans le limon de plateau	896		ind

Fait	Cadastre	Tranchée	Catégorie	Dimensions	Description	US	Dessins	Datation
449	YV0036	70	Fossé	prof. : 50	Fossé orienté Sud-Ouest / Nord-Est Est recoupé par le fossé F.517 Largeur minimum: 91cm Fait parti du long réseau de fossés «serpentiformes» Testé mécaniquement	716 / 717 / 718	pl.48 ds.307	Haut Moyen- âge ?
450	YV0036	68	Fosse	long. : 180 larg. : 100 prof. : 13	Fosse arasée	654 / 655	pl.46 ds.298	Néoli- thique moyen II
451	YV0035	68	Fossé	larg. : 128 prof. : 57	Fossé orienté Nord-Ouest / Sud-Est Un sondage effectué en tranchée 68 et un en tranchée 70 En lien très probable avec les fossés F.225, F.239, F.394 et F.400 mais non perçu en Tr.66 Testé mécaniquement	647 / 648 / 649 / 650 / 708 / 709 / 710	pl.41 ds.284 / pl.47 ds.305 / pl.47 ds.306	Antiquité tardive (IV-Ve s.)
452	YV0035	69	Fossé	larg. : 110 prof. : 55	Fossé orienté Nord-Est / Sud-Ouest Non observé en tranchée 68 Testé mécaniquement	713 / 714 / 715	pl.43 ds.292	ind
453	YV0037	60	ANNULÉ		Pas de contours visibles, juste une zone plus brune avec quelques micro charbons de bois et calcaire brûlé en surface	897		ind
454	YV0037	66	ANNULÉ		Résurgence de calcaire	898		ind
455	YV0036	67	Anomalie naturelle	long. : 124 larg. : 95	Probable anomalie naturelle, non perçue dans les tranchées voisines Profondeur: 30cm minimum	899		ind
456	YV0036	67	Racine		Zone diffuse avec du charbon de bois dans un limon argileux brun. Plan et profil irréguliers, pas de creuse- ment observé, isolé	900		ind
457	YV0036	70	Epanchage	long. : 250 larg. : 200	Probable percolation dans une dépression naturelle entre la TV et le limon de plateau dessous (US711) Testé mécaniquement	818		Bronze moyen
458	YV0035	71	Racine	diam. : 25 prof. : 14	Probable trou de racines, circulaire	901		ind
459	YV0035	71	Silo	diam. : 100 prof. : 50	Testé mécaniquement	724 / 725 / 726 / 727	pl.49 ds.314	Moyen- âge central
460	YV0035	72	Fossé		Extrémité de fossé orienté Sud-Ouest / Nord-Est Non testé	1032		ind
461	YV0035	72	Plantation	diam. : 35 prof. : 14	Structure faisant partie d'une zone de plantation constituée de plusieurs alignements de fosses ovoïdes plus ou moins bien conservés et profondes Circulaire en plan Une seule US créée	902		ind
462	YV0035	72	Plantation		Structure faisant partie d'une zone de plantation constituée de plusieurs alignements de fosses ovoïdes plus ou moins bien conservés et profondes Non testé	1033		ind
463	YV0035	72	Terrier			903		ind
464	YV0035	72	Plantation		Structure faisant partie d'une zone de plantation constituée de plusieurs alignements de fosses ovoïdes plus ou moins bien conservés et profondes Non testé	1034		ind
465	YV0035	74	fosse d'extrac- tion	long. : 2011 larg. : 1532	Marnière Non testé	823		ind
466	YV0035	74	Silo	long. : 84 larg. : 82 prof. : 102	Testé mécaniquement	728 / 729 / 730 / 731 / 732 / 733 / 734 / 735 / 736 / 737 / 738 / 739 / 740	pl.48 ds.310 / pl.48 ds.311	ind

Fait	Cadastre	Tranchée	Catégorie	Dimensions	Description	US	Dessins	Datation
467	YV0035	74	fosse d'extraction	long. : 1411	Marnière Largeur: au moins 937cm Non testé	1035		ind
468	YV0035	75	Fosse	diam. : 64 prof. : 32	Fosse indéterminée Testé mécaniquement	743 / 744 / 745 / 746	pl.48 ds.312 / pl.48 ds.313	ind
469	YV0035	75	chablis	diam. : 23 prof. : 10	Probable chablis	904		ind
470	YV0035	75	Fosse	larg. : 130 prof. : 55	Fosse indéterminée, observée partiellement dans la tranchée 75, perturbée par le contexte forestier	760 / 761 / 762	pl.49 ds.315	Moyen-âge central/Bas moyen-âge
471	YV0035	75	Terrier			905		ind
472	YV0035	75	Trou de poteau	diam. : 59 prof. : 6	Hypothétique trou de poteau, fortement arasé et isolé, en extrémité de tranchée	722 / 723	pl.48 ds.308 / pl.48 ds.309	ind
473	YV0035	76	Silo	larg. : 53 prof. : 96	Largeur: 23cm minimum Lecture perturbée par contexte forestier Testé mécaniquement	747 / 748 / 749 / 750 / 751	pl.50 ds.320 / pl.50 ds.321	ind
474	YV0035	76	Fosse	long. : 112 larg. : 85 prof. : 60	Fosse indéterminée (silo? fosse?), lecture fortement perturbée par des racines épaisses dans un contexte forestier. La dynamique de comblement, excepté pour l'US758, est composé d'un litage de couches calcaires plus ou moins dégradé et peu «anthropisé» Testé mécaniquement	752 / 753 / 754 / 755 / 756 / 757 / 758 / 759	pl.50 ds.322 / pl.50 ds.323	ind
475	YV0035	76	Trou de poteau	long. : 50 prof. : 5	Très hypothétique trou de poteau, fortement arasé, isolé Peut-être naturel (chablis?)	741 / 742		ind
476	YV0035	72	Terrier		Non testé	906		ind
477	YV0035	72	Terrier		Non testé	907		ind
478	YV0035	72	Plantation	diam. : 23 prof. : 18	Structure faisant partie d'une zone de plantation constituée de plusieurs alignements de fosses ovoïdes plus ou moins bien conservés et profondes Creusement circulaire au profil irrégulier Une seule US créée	908		ind
479	YV0035	72	Anomalie naturelle			909		ind
480	YV0035	72	Plantation		Structure faisant partie d'une zone de plantation constituée de plusieurs alignements de fosses ovoïdes plus ou moins bien conservés et profondes Non testé	1036		ind
481	YV0035	72	Racine		Fait peut-être partie de la zone de plantation mais non aligné Profil irrégulier, très arasé	910		ind
482	YV0035	72	Trou de poteau		Très hypothétique trou de poteau, proche d'une zone de plantation Non testé	1037		ind
483	YV0035	72	Silo	diam. : 107 prof. : 30	Testé mécaniquement	701 / 702 / 703 / 704 / 705	pl.47 ds.304	ind
484	YV0035	72	Plantation	long. : 36 larg. : 32 prof. : 7	Structure faisant partie d'une zone de plantation constituée de plusieurs alignements de fosses ovoïdes plus ou moins bien conservés et profondes Creusement ovoïde, profil irrégulier Une seule US créée	911		ind
485	YV0037	66	Fosse	diam. : 55 prof. : 14	Fosse ou peut-être un trou de poteau sur le côté Nord du fossé F.486: en lien?	763 / 764	pl.51 ds.329 / pl.51 ds.330	ind

Fait	Cadastre	Tranchée	Catégorie	Dimensions	Description	US	Dessins	Datation
486	YV0037	66	Fossé		Fossé orienté Sud-Ouest / Nord-Est Non testé sous ce n°, mais son équivalent a été ouvert (F.449) Lien avec la fosse/TP F.485? Fait parti du long réseau de fossés «serpentiformes»	1038		Haut Moyen- âge ?
487	YV0035	75	Fosse		Fosse indéterminée, par rapport au contexte, peut-être un silo ou un trou de poteau? Non testé	1039		ind
488	YV0037	57	Trou de poteau	long. : 38 larg. : 30	Trou de poteau subcirculaire. Fait partie d'un ensemble de 15 TP établis sur 3 alignements N-NE/S-SO équidistants. Non testé	1040		Haut Moyen- âge
489	YV0037	57	Trou de poteau	diam. : 30	Trou de poteau subcirculaire. Fait partie d'un ensemble de 15 TP établis sur 3 alignements N-NE/S-SO équidistants. Non testé	1041		Haut Moyen- âge
490	YV0037	57	Trou de poteau	diam. : 34	Trou de poteau subcirculaire. Fait partie d'un ensemble de 15 TP établis sur 3 alignements N-NE/S-SO équidistants. Non testé	1042		Haut Moyen- âge
491	YV0037	57	Trou de poteau	diam. : 37	Trou de poteau subcirculaire. Fait partie d'un ensemble de 15 TP établis sur 3 alignements N-NE/S-SO équidistants. Non testé	1043		Haut Moyen- âge
492	YV0037	57	Trou de poteau	diam. : 33	Trou de poteau subcirculaire. Fait partie d'un ensemble de 15 TP établis sur 3 alignements N-NE/S-SO équidistants. Non testé	1044		Haut Moyen- âge
493	YV0037	57	Trou de poteau	diam. : 32	Trou de poteau subcirculaire. Fait partie d'un ensemble de 15 TP établis sur 3 alignements N-NE/S-SO équidistants. Non testé	1045		Haut Moyen- âge
494	YV0037	57	Trou de poteau	diam. : 35	Trou de poteau subcirculaire. Fait partie d'un ensemble de 15 TP établis sur 3 alignements N-NE/S-SO équidistants. Non testé	1046		Haut Moyen- âge
495	YV0037	57	Trou de poteau	diam. : 33	Trou de poteau subcirculaire. Fait partie d'un ensemble de 15 TP établis sur 3 alignements N-NE/S-SO équidistants. Non testé	1047		Haut Moyen- âge
496	YV0037	57	Trou de poteau	diam. : 38 prof. : 18	Trou de poteau circulaire. Fait partie d'un ensemble de 15 TP établis sur 3 alignements N-NE/S-SO équidistants.	779 / 780 / 781	pl.49 ds.316	Haut Moyen- âge
497	YV0037	57	Trou de poteau	long. : 43 larg. : 33	Trou de poteau subcirculaire. Fait partie d'un ensemble de 15 TP établis sur 3 alignements N-NE/S-SO équidistants. Non testé	1048		Haut Moyen- âge
498	YV0039	77	chablis			912		ind
499	YV0037	80	Racine		Profil très irrégulier	913		ind
500	YV0039	40	chablis		Non testé	914		ind
501	YV0037	65	Trou de poteau	diam. : 46 prof. : 20	Trou de poteau situé à l'extrémité du fossé F.444 et le recoupant. Les limites entre F.444 et 501 sont très diffuses Testé mécaniquement	699 / 700	pl.47 ds.303	Haut empire ?
502	YV0035	72	Fosse	long. : 233 larg. : 63 prof. : 8	Fosse oblongue, indéterminée, très arasée Recoupe le fossé F.451 Testé mécaniquement	706 / 707	pl.47 ds.305	ind
503	YV0041	41	Trou de poteau		Trou de poteau faisant partie d'un ensemble Non testé	1049		ind
504	YV0039	41	ANNULÉ		Probable reste de limon piégé dans une micro dépression dû au décapage Testé mécaniquement	915		ind

Fait	Cadastre	Tranchée	Catégorie	Dimensions	Description	US	Dessins	Datation
505	YV0035	72	Plantation		Très probable plantation dans zone de plantation, avec des structures ovoïdes, très arasée, parfois irrégulière, d'espacement régulier Non testé	1050		ind
506	YV0035	72	Plantation		Très probable plantation dans zone de plantation, avec des structures ovoïdes, très arasée, parfois irrégulière, d'espacement régulier Non testé	1051		ind
507	YV0035	72	Plantation		Très probable plantation dans zone de plantation, avec des structures ovoïdes, très arasée, parfois irrégulière, d'espacement régulier	7		ind
508	YV0035	72	Plantation		Très probable plantation dans zone de plantation, avec des structures ovoïdes, très arasée, parfois irrégulière, d'espacement régulier Non testé	1052		ind
509	YV0035	72	Plantation		Très probable plantation dans zone de plantation, avec des structures ovoïdes, très arasée, parfois irrégulière, d'espacement régulier Non testé	1053		ind
510	YV0037	81	Terrier			916		ind
511	YV0037	82	Fosse	larg. : 60 prof. : 31	Fosse indéterminée, partiellement observée, anthropique? 70cm de long minimum Perturbée par un labour	768 / 769 / 770 / 771 / 772 / 773	pl.50 ds.327 / pl.50 ds.328	Bronze final
512	YV0041	84	Drain?		Hypothétique drain Orienté Est / Ouest, fonctionnant très probablement avec les plantations situées quelques mètres au Nord (orientation parallèle) Les liens avec le trou de poteau F.532 et le fossé F.236 n'ont pas été observés Non testé	1054		ind
513	YV0041	41	Trou de poteau	long. : 28 larg. : 27 prof. : 17	Trou de poteau faisant partie d'un ensemble	799 / 800	pl.51 ds.338 / pl.51 ds.339	ind
514	YV0041	41	Trou de poteau		Probable trou de poteau faisant partie d'un ensemble Non testé	1055		ind
515	YV0041	41	Trou de poteau		Probable trou de poteau faisant partie d'un ensemble Non testé	1056		ind
516	YV0041	42	Trou de poteau	diam. : 26	Trou de poteau isolé	782 / 783	pl.49 ds.317	ind
517	YV0036	70	Fossé	larg. : 59 prof. : 26	Fossé orienté Est/Ouest, observé seulement en coupe dans la tranchée 70, non observé en plan Recoupe le fossé F.449 et semble en suivre au moins une partie de son tracé (plus à l'Est, F.449 semble moins large, donc peut-être F.517 ne va pas jusque là) Étendu inconnue, peut-être recréusement de F.449? Portion de drainage? Fait parti du long réseau de fossés «serpentiformes» Testé mécaniquement	719 / 720	pl.48 ds.307	Haut Moyen- âge ?
518	YV0041	41	Trou de poteau	long. : 30 larg. : 29 prof. : 9	Trou de poteau faisant partie d'un ensemble	788 / 789	pl.51 ds.336 / pl.51 ds.337	ind
519	YV0041	41	Trou de poteau		Probable trou de poteau faisant partie d'un ensemble Non testé	1057		ind
520	YV0041	41	Trou de poteau		Trou de poteau faisant partie d'un ensemble Non testé	1058		ind
521	YV0041	41	Trou de poteau	long. : 29 larg. : 25 prof. : 8	Trou de poteau faisant partie d'un ensemble Perturbé par des racines	784 / 785	pl.50 ds.324 / pl.50 ds.325	ind
522	YV0041	41	Trou de poteau		Trou de poteau faisant partie d'un ensemble Non testé	1059		ind

Fait	Cadastre	Tranchée	Catégorie	Dimensions	Description	US	Dessins	Datation
523	YV0041	41	Trou de poteau		Trou de poteau faisant partie d'un ensemble Non testé	1060		ind
524	YV0041	41	Trou de poteau	long. : 29 larg. : 22 prof. : 26	Trou de poteau faisant partie d'un ensemble	790 / 791	pl.51 ds.334 / pl.51 ds.335	ind
525	YV0041	41	Trou de poteau		Trou de poteau faisant partie d'un ensemble Non testé	1061		ind
526	YV0041	41	Trou de poteau		Trou de poteau faisant partie d'un ensemble Non testé	1062		ind
527	YV0041	41	Trou de poteau		Trou de poteau faisant partie d'un ensemble Non testé	1063		ind
528	YV0041	41	Trou de poteau		Trou de poteau faisant partie d'un ensemble Non testé	1064		ind
529	YV0041	41	Trou de poteau		Trou de poteau faisant partie d'un ensemble Non testé	1065		ind
530	YV0041	41	Trou de poteau	diam. : 30 prof. : 22	Trou de poteau faisant partie d'un ensemble	786 / 787	pl.51 ds.332 / pl.51 ds.333	ind
531	YV0041	41	Trou de poteau		Trou de poteau faisant partie d'un ensemble Non testé	1066		ind
532	YV0041	41	Trou de poteau		Trou de poteau faisant partie d'un ensemble Non testé Les liens avec le drain F.512 n'ont pas été observés	1067		ind
533	YV0041	33	Fosse	larg. : 36 prof. : 20	Fosse indéterminée, peut-être un trou de poteau? Observé en coupe, non perçu en plan Un n° de comblement créé, pas de n° de creusement	917		ind
534	YV0039	37	Fossé	larg. : 100 prof. : 26	Fossé arasé orienté Sud-Ouest / Nord-Est, observé seulement dans la tranchée 37 Testé mécaniquement	801 / 802	pl.49 ds.319	ind
535	YV0041	41	Racine	long. : 26 larg. : 23	Structure au profil serpentiforme partant en sape	918		ind
536	YV0041	41	Trou de poteau		Trou de poteau faisant partie d'un ensemble Non testé	1068		ind
537	YV0040	39	fosse d'extraction	long. : 810 larg. : 357 prof. : 34	Possible fosse d'extraction de minerai de fer (d'après le TN et le type de comblement) Testé mécaniquement	774 / 775 / 776 / 777 / 778	pl.51 ds.331	ind
538	YV0041	84	Fossé		Fossé orienté Est / Ouest Observé seulement en tranchée 84 en intersection avec F.236 et F.263 A peut-être été réutilisé plus tardivement et lié à d'autres fossés pour former un seul et même réseau Testé mécaniquement	797 / 798		Antiquité (Ier-IIe s. ap.J-C)
539	YV0041	41	Trou de poteau		Trou de poteau faisant partie d'un ensemble Non testé	1069		ind
540	YV0041	41	Trou de poteau		Trou de poteau faisant partie d'un ensemble Non testé	1070		ind
541	YV0041	84	Trou de poteau		Trou de poteau faisant partie d'un ensemble Non testé	1071		ind
542	YV0041	84	Trou de poteau		Trou de poteau faisant partie d'un ensemble Non testé	1072		ind

US	Lot	Caisse	Fait	Isolat	Cadastre	Type	Sous type	Description	Datation	NR total	NMI
1	11	1			YV0029	Céramique				1	
1	13	1			YV0029	Céramique		sur F534	17e/18e s.	1	
1	14	1			YV0029	Céramique				5	
1	15	1			YV0029	Céramique		2 tessons d'époque différente		2	
1	17	1			YV0029	Céramique		1 tesson moderne et 1 tesson contemporain (assiette)		2	
1	18	1			YV0029	Céramique			19e/20e	1	
1	19	1			YV0029	Céramique				3	
1	22	1			YV0029	Céramique			19e/20e	2	
1	23	1			YV0029	Céramique			16e/17e	1	
1	24	1			YV0029	Céramique		Anse ovale soit gallo-romaine Soit du 13-14e s.?		1	
1	25	14			YV0029	Céramique			Bronze moyen	1	
1	26	1			YV0029	Céramique		Lot dépareillé		6	
1	28	1			YV0029	Céramique				1	
1	29	1			YV0029	Céramique				1	
1	30	1			YV0029	Céramique	Assiette		20è s.	1	
1	31	1			YV0029	Céramique		Lot dépareillé		8	
1	32	1			YV0029	Céramique		1 fgt non tourné avec bcp de chamotte et micas de La Tène final 1 fgt de fond non tourné protohistorique (?) 2 tessons modernes 1 indéterminé		5	
1	33	1			YV0029	Céramique		à proximité de F229	Tp q 17e jusqu'au 19e s.	2	
1	34	1			YV0029	Céramique			19e/20e s.	1	
1	36	1			YV0029	Céramique		Grès	18e/19e s.	1	
1	39	1			YV0029	Céramique		Lot dépareillé (grès, «cul noir»...)		5	
1	40	1			YV0029	Céramique		Plusieurs tessons modernes et contemporains, dont 1 fragment de carreau (carrelage)		7	
1	41	1			YV0029	Céramique			19e s.	3	
1	43	1			YV0029	Céramique		1 fond de céram claire du Haut Empire + 1 fgt moderne		2	
1	44	1			YV0029	Céramique			13e/14e	2	
1	45	1			YV0029	Céramique			19e	1	
1	46	1			YV0029	Céramique				1	
1	53	1			YV0029	Céramique			18/19è s.	1	
1	55	1			YV0029	Céramique		1 tesson en grès et 1 tesson «cul noir»		2	
1	58	1			YV0029	Céramique		1 panse et 1 fond		2	
1	59	1			YV0029	Céramique		Peut-être fragment de TCA	17e/18e	1	
1	61	1			YV0029	Céramique		Fragments dépareillés de médiéval à moderne		3	
1	63	1			YV0029	Céramique				1	
1	64	1			YV0029	Céramique		1 tesson vernissé vert/ jaune, 1 tesson «cul noir»		2	
1	65	1			YV0029	Céramique		Grès		1	

US	Lot	Caisse	Fait	Isolat	Cadastre	Type	Sous type	Description	Datation	NR total	NMI
1	66	1			YV0029	Céramique				3	
1	67	1			YV0029	Céramique			Tp q 17e jusqu'au 19e s.	2	
1	70	2			YV0029	Céramique		Lot dépareillé: fond de céram sigillée du sud de la Gaule de La Graufesenque (Ier/IIe s. ap .JC) et moderne , 1 fgt de céram commune claire Haut empire		4	
1	73	1			YV0029	Céramique		Assiette ou plat «cul noir»		1	
1	74	1			YV0029	Céramique			Tp q 17e, jusqu'au 19e s.	1	
1	77	1			YV0029	Céramique				1	
1	78	1			YV0029	Céramique				1	
1	79	1			YV0029	Céramique		TPQ XVIIe s. jusqu'au XIXe s.	Tp q 17e jusqu'au 19e s.	1	
1	82	2			YV0029	Céramique		céramique fine Centre Gaulle (70-150 ap JC) et 1 fgt de céram antique Haut Empire + 3 fgts de fonds de sigillées du sud de la Gaule (La Graufesenque)		5	
1	88	2			YV0029	Céramique		fgt de commune claire brun orangée de dolium à lèvres embourlées (Ier-IIe s. ap . JC)	1er/2e s. ap. JC.	6	1
1	93	2		124	YV0029	Céramique		commune sombre gallo- romaine, très roulé		1	
1	96	2		125	YV0029	Céramique		Décor moulé vernis, sigillée de Centre Gaule (150-230 ap. JC)	150-230 ap. JC.	1	
1	106	14			YV0029	Céramique			Bronze moyen	1	
1	110	14			YV0029	Céramique		céram non tournée	Age du bronze ?, hypothé- tique	1	
1	157	2			YV0029	Céramique				1	
2	4	14			YV0029	Céramique			Néolithique ancien-moyen (Chambon)	1	
2	5	14		15	YV0029	Céramique			Bronze moyen	1	
2	8	14			YV0029	Céramique			Bronze moyen	10	
2	20	1		2	YV0029	Céramique		TPQ XVIIe s. (gris de la Puisaye)	Tp q 17e s.	1	
2	35	2			YV0029	Céramique		fgt de céram commune claire Haut empire	Haut empire	1	
2	51	1			YV0029	Céramique		5 tessons peut-être proto? 2 tessons moderne dont un grès (XVIIe s.?)		7	
2	52	1			YV0029	Céramique			18/19è s.	1	
2	75	1			YV0029	Céramique		1 tesson vernissé	17e s.	1	
2	76	1		94	YV0029	Céramique		fond à cuisson oxydante, peut être peinte mais pas de traces, lères productions autour du VIIIe-IXe s.	8e/9e s. pour les premières productions	1	
2	89	1			YV0029	Céramique			9e/10e s.	2	1
2	92	1		95	YV0029	Céramique				4	1

US	Lot	Caisse	Fait	Isolat	Cadastre	Type	Sous type	Description	Datation	NR total	NMI
2	95	1		123	YV0029	Céramique			Tp q 17e jusqu'au 19e s.	1	
2	97	2		16	YV0029	Céramique		trois fragments en pâte fine, dont 1 fond plat, dont l'état de conservation est moyen	La Tène indéterminée	3	
2	99	2		133	YV0029	Céramique		Coupe à profil en «S»	La Tène moyenne-finale	17	
2	101	14			YV0029	Céramique			Bronze moyen	2	
2	103	14		11	YV0029	Céramique			Néolithique moyen	1	
2	111	14		68	YV0029	Céramique			Bronze moyen	1	
2	112	2		79	YV0029	Céramique		fond tourné, pâte brune du Haut empire ? Pas médiéval		1	
2	117	14		82	YV0029	Céramique		1 vase avec 9 tessons qui recollent	Bronze moyen	9	1
2	122	14		14	YV0029	Céramique		pâte grossière, céram non tournée	Bronze moyen	2	
2	125	14		102	YV0029	Céramique		pâte grossière, céram non tournée 1 vase avec 10 tessons qui recollent	Bronze moyen	10	1
2	126	14		38	YV0029	Céramique		1 vase avec 7 tessons qui recollent	Bronze moyen	7	1
2	128	14			YV0029	Céramique		pâte grossière, céram non tournée	Bronze moyen	11	
2	129	14			YV0029	Céramique		pâte grossière, céram non tournée	Bronze moyen	11	
2	137	14		50	YV0029	Céramique			Bronze moyen	2	
2	138	14		62	YV0029	Céramique			Bronze moyen	1	
2	139	2		33	YV0029	Céramique		pot à col tronconique et lèvre eversée	La Tène moyenne-finale	1	
2	142	14		119	YV0029	Céramique			Bronze moyen	1	
2	143	1			YV0029	Céramique		grès	17e s.	1	
2	147	2			YV0029	Céramique		Proche de F315 3 fgts de commune claire dont 1 bord de dolium à lèvre plate (à partir de 40-150 ap JC) et 1 fgt de commune sombre Haut Empire	Haut empire	4	
2	149	14			YV0029	Céramique		de Bronze à La Tène ancienne	Bronze moyen	1	
2	150	14		37	YV0029	Céramique		de Bronze à La Tène ancienne	Bronze moyen ?, hypothétique	4	
2	156	14		34	YV0029	Céramique		fond de céram. de Bronze à La Tène ancienne, vase entier probable	Bronze moyen		1
2	224	14			YV0029	Céramique		pâte grossière, céram non tournée	Bronze moyen	3	
2	315	14		103	YV0029	Céramique			Bronze moyen	14	
32	104	14	29		YV0029	Céramique			Bronze moyen	2	
45	100	14	42		YV0029	Céramique			Bronze moyen	1	
52	9	1	47		YV0029	Céramique			18e/19e	2	1
58	140	14	50		YV0029	Céramique				1	

US	Lot	Caisse	Fait	Isolat	Cadastre	Type	Sous type	Description	Datation	NR total	NMI
69	123	14	62		YV0031	Céramique			Néolithique moyen ?, hypothétique	1	
101	127	14	81		YV0029	Céramique		céram non tournée	Bronze moyen	28	
107	3	14	83		YV0029	Céramique			Bronze moyen	1	
110	49	1	87		YV0031	Céramique	Pichet	Anse de pichet	A partir des 13e/14e s.	1	
110	134	14	87		YV0031	Céramique			Bronze moyen	2	
115	135	14	87		YV0031	Céramique		de Bronze à La Tène finale	Bronze moyen	1	
184	42	1			YV0031	Céramique			16e/17e	1	
205	48	14	121		YV0031	Céramique			Bronze moyen	1	
251	2	14	178		YV0027	Céramique			Néolithique moyen 2	2	
254	160	14	189		YV0031	Céramique		1 sac moyen : 1 vase entier Chambon probable, associé à des silex	Néolithique ancien-moyen (Chambon)		1
261	130	14	180		YV0031	Céramique		1 vase entier	Néolithique ancien-moyen (Chambon)	1	1
268	118	14	179		YV0027	Céramique		céram non tournée, gobelet	Bronze moyen	3	
336	154	14	229		YV0041	Céramique		2 tessons + torchis, non décoré, 30% de dégraissant, composition: qu-oxfer, lissage de surface, cuisson en réduction, 11gr, 9mm ep.; bronze moyen 2 tessons dont 1 bord, 10 à 20% de dégraissant, composition: qu fin, lissage soigné et cuisson fin ox pour panse (15 gr., 5mm ep) et pol mat et cuisson réductrice pour bord, (6gr., 9mm ep): Néolithique moyen	Bronze moyen	7	
337	57	1	233		YV0041	Céramique		Bord lèvres en gouttière 2 G?	9e/10e s.	1	
351	81	1	238		YV0040	Céramique	Pichet	Fonds de pichets, récipients glaçurés en haut 1 du XIII-XIVe s. ou fin XII e s. qui perdure jusqu'au XIVe s.?	Fin 12e/14 e s.	1	
352	68	1	238		YV0040	Céramique		Micacée, Datation hypothétique: Bas Moyen-âge?	Hypothétique	2	
373	109	2	257		YV0041	Céramique		13 fgts de céram non tournée dont 1 vase à carène haute de La Tène moyenne et 3 fragments de protohistoire ind.	La Tène moyenne	16	2
384	7	2	258		YV0041	Céramique		céram non tournée, avec peut être une forme de La Tène ancienne ou moyenne. 1 NMI : vase à carène haute.	Tène ancienne-moyenne	4	
406	151	14	285		YV0042	Céramique			Bronze moyen	3	

US	Lot	Caisse	Fait	Isolat	Cadastre	Type	Sous type	Description	Datation	NR total	NMI
422	60	1	280		YV0042	Céramique		Pots à cuire très local, micasé, pas caro. Peut être Bas empire/Haut Moyen-âge (mérovingien)? Plutôt ancien, antérieur au IX-Xe s., pas postérieur au VIe s. mais pas certain. De nombreux fragments (23 NR) dont 1 NMI d'un vase tourné avec quelques traces rouges sur la surface externe (peinture ou altération de la couleur due à une exposition à une source de chaleur?) et 1 autre NMI (6 NR), constitué d'un même vase tourné en commune sombre enfumée en mauvais état de conservation et où on aperçoit un petit fragment d'épaulement mouluré. En résiduel, présence de tessons de La Tène ancienne-moyenne	Pas postérieur au 6 ^e s.	30	2
427	98	2	277		YV0042	Céramique		aucune forme, 4 fragments du même vase à pâte brune/orangée	La Tène ou Gallo-romain ?	4	
429	120	2	287		YV0042	Céramique		aucune forme, deux fragments légèrement calcinés	de La Tène finale à Haut Empire	2	
434	153	14	309		YV0041	Céramique		fond plat de céram. non tournée probablement proto. ancien	Bronze moyen	1	
443	87	1	271		YV0041	Céramique		Même pâte que le fond de pichet	Début 12e/13e s.	19	
445	115	14	299		YV0042	Céramique			Bronze moyen	1	
452	37	1	283		YV0042	Céramique			10e/12e	1	
454	38	1	296		YV0042	Céramique			9e-10e/début 11e s.	6	
464	50	2	321		YV0041	Céramique		1 fond gallo-romain et 15 fgts de céram claire d'un gros vase de stockage type dolium brun orangé du Haut Empire 1 fgt sûr et 2 autres éventuels de céram fine engobée du Centre de la France (70-150 ap. J.-C.), 2 fgts de céramique à engobe blanc du Haut Empire 5 fgts de commune sombre formant une marmite à bords rentrants (70-120 ap JC)		28	
467	56	1	362		YV0042	Céramique		tournée		2	
472	27	1	290		YV0042	Céramique			11e/12e s.	2	
474	54	1	366		YV0042	Céramique	Cruche	Plusieurs tessons dont 1 cruche 3a (54.a) et 3b (54.b) à bec ponté (?), peut aller jusqu'au Xe-début XIe s.	9e/10e, peut aller jusqu'au 11e s.	27	

US	Lot	Caisse	Fait	Isolat	Cadastre	Type	Sous type	Description	Datation	NR total	NMI
476	1	1	293		YV0042	Céramique		2 tessons médiévaux (autour de mi IXe-Xe-début XIe s). 1 tesson possiblement commune antique et 3 tessons commune claire Haut Empire	milieu 9e-10e/début 11e s.	6	
511	119	14	292		YV0042	Céramique		céram non tournée	Bronze moyen	2	
515	62	14	292		YV0042	Céramique		céram non tournée	Bronze moyen	1	
546	80	2	320		YV0041	Céramique			Haut empire	1	
550	148	2	322		YV0042	Céramique		céram commune claire Haut empire	Haut empire	1	
552	105	2	413		YV0042	Céramique			Bas-Empire?	1	
579	85	1	64		YV0041	Céramique		tournée		7	
590	141	14	376		YV0037	Céramique			Bronze moyen	1	
592	90	1	375		YV0037	Céramique		Indéterminé, probablement antérieur à la période moderne		1	
594	94	1	375		YV0037	Céramique		Au fond du silo, à l'interface avec le TN	11e/12e	2	1
597	12	1	381		YV0037	Céramique			8e/9e s.	1	
626	6	1	382		YV0037	Céramique			8e/9e s.	19	
627	91	1	382		YV0037	Céramique		Cruche à bec tubulaire 1/1a ? (XIe/XIIe s.)? (91.a) Et une lèvre en bandeau du XIe s. (91.b)	11e/12e	12	
647	16	2	451		YV0035	Céramique		céram commune antique?	Hypothétique	1	
655	152	14	450		YV0036	Céramique		41 fgts de céram non tournée, aucunes formes, pas de décors. Plutôt Proto ancienne jusqu'à La Tène ancienne?	Néolithique moyen 2	41	
658	83	1	411		YV0037	Céramique		Datation hypothétique	Entre le 9e et le 11-12e	1	
694	69	2	444		YV0037	Céramique		1 col de cruche à lèvre cannelé (?) en commune claire, (milieu 1er s ap. JC.)	milieu 1er s. ap. JC	1	
697	47	2	437		YV0037	Céramique		Lot dépareillé: 1 fgt proto ind. non tournée et 1 fgt de commune claire Haut Empire		2	2
726	71	2	459		YV0035	Céramique				1	
779	116	1	496		YV0037	Céramique		céram tournée très cuite, à forme réductrice, production locale ind. Haut Moyen-âge, peut être plus ancien mais sans convictions. Antérieur au VIIIe s., possible mérovingien ?		34	
803	86	1	211		YV0039	Céramique		Fragments d'une probable assiette et peut-être d'un plat		6	2
805	84	1	160		YV0031	Céramique		1 tesson micacé		1	
807	108	1	447		YV0036	Céramique		Haut Moyen-âge?		1	

US	Lot	Caisse	Fait	Isolat	Cadastre	Type	Sous type	Description	Datation	NR total	NMI
809	131	2	352		YV0042	Céramique		1 fgt de fond de commune sombre et 1 bord de couvercle? (Haut Empire)	Haut empire	2	
811	132	14	28		YV009	Céramique			Bronze moyen	1	
815	136	14	188		YV0031	Céramique			Néolithique ancien-moyen (Chambon)	1	
817	10	1			YV0035	Céramique		Lot dépareillé (dont grès)		4	3
818	114	14	457		YV0036	Céramique		céram non tournée	Bronze moyen	6	
819	144	2	344		YV0041	Céramique		2 fragments de céramique ou TCA en très mauvais état de conservation		2	
820	146	2	101		YV0031	Céramique		2 fgts de céram commune claire Haut empire	Haut empire	2	
821	158	2	160		YV0031	Céramique		céram commune claire Haut Empire	Haut empire	1	

US	Lot	Caisse	Fait	Isolat	Cadastre	Type	Sous type	Description	Datation	NR total
1	21	3			YV0029	TCA	Indéterminé			2
1	159	3			YV0029	TCA	Indéterminé			2
1	163	5			YV0029	TCA	indéterminé			2
1	167	5			YV0029	TCA	Indéterminé			3
1	168	5			YV0029	TCA	Indéterminé			2
1	169	5			YV0029	TCA	Indéterminé			3
1	170	5			YV0029	TCA	Indéterminé			1
1	172	5			YV0029	TCA	Indéterminé			2
1	174	5			YV0029	TCA	Indéterminé			6
1	175	5			YV0029	TCA	Indéterminé			2
1	178	5			YV0029	TCA	Indéterminé			4
1	183	5			YV0029	TCA	Indéterminé			3
1	184	5			YV0029	TCA	Indéterminé			9
1	187	4			YV0029	TCA	Indéterminé			2
1	189	4			YV0029	TCA	Indéterminé			3
1	195	3			YV0029	TCA	Tegula			3
1	196	4			YV0029	TCA	Indéterminé			4
1	203	4			YV0029	TCA	Indéterminé			1
1	205	4			YV0029	TCA	Indéterminé			2
1	207	4			YV0029	TCA	Indéterminé			2
1	209	4			YV0029	TCA	Indéterminé			2
1	210	4			YV0029	TCA	Indéterminé			4
1	211	4			YV0029	TCA	Indéterminé			4
1	212	4			YV0029	TCA	Indéterminé			1
1	213	4			YV0029	TCA	Indéterminé			1
1	214	4			YV0029	TCA	Indéterminé			1
1	215	4			YV0029	TCA	indéterminé			1
1	217	4			YV0029	TCA	Indéterminé			1
1	218	3		24	YV0029	TCA	Indéterminé			1
1	219	3			YV0029	TCA	Indéterminé			1
1	222	3			YV0029	TCA	Indéterminé			3
1	223	3			YV0029	TCA	Indéterminé			5
1	225	3			YV0029	TCA	Indéterminé			1
1	229	3			YV0029	TCA	Tegula	4 fragments dont une avec rebord		4
1	231	3			YV0029	TCA	Indéterminé			2
1	241	3			YV0029	TCA	Indéterminé			1
1	243	3			YV0029	TCA	Indéterminé			1
1	244	3			YV0029	TCA	Indéterminé			1
1	245	3			YV0029	TCA	Indéterminé			1
1	247	3			YV0029	TCA	Indéterminé			5
2	102	4			YV0029	Terre cuite	indéterminé	Fragments chauffés		2
2	124	4		41	YV0029	Terre cuite	Indéterminé			1
2	201	3			YV0029	TCA	Tegula	18 fragments dont 7 avec rebords		18
2	202	4			YV0029	Terre cuite	Torchis	Torchis ?		1
2	204	4			YV0029	TCA	Indéterminé			2
2	226	3			YV0029	TCA	Indéterminé			3
2	227	3			YV0029	TCA	Indéterminé			2
2	228	3			YV0029	TCA	Indéterminé			1
2	230	3			YV0029	TCA	Indéterminé			2
2	702	5			YV0029	Terre cuite	Brique	fragments de briques fin à dégraissant micro- quartz orangé et rouge		2

US	Lot	Caisse	Fait	Isolat	Cadastre	Type	Sous type	Description	Datation	NR total
2	712	5			YV0029	Terre cuite	Torchis	5 fragments de torchis, non décorés 30% dégraissant, composition: qu-ox-fer, cuisson oxydante	Bronze moyen ?	5
22	220	3	161		YV0029	TCA	Indéterminé			3
110	179	5	87		YV0031	TCA	Tegula	1 fragment de tegula avec rebord et 4 fragments indéterminés		5
242	113	3	176		YV0031	Terre cuite	Indéterminé			2
242	199	4	176		YV0031	TCA	Indéterminé			11
287	145	4	190		YV0039	Terre cuite	Indéterminé			2
287	206	4	190		YV0039	TCA	Indéterminé			1
342	161	5	229		YV0041	Terre cuite	Torchis	Potentiel trace de clayonnage ou de doigt sur le fragment le plus important		16
354	240	3	255		YV0031	TCA	Tegula	4 fragments dont un avec rebord		4
365	248	3	256		YV0041	Terre cuite	Torchis			3
373	162	5	257		YV0041	Terre cuite	Torchis			3
384	249	3	258		YV0041	Terre cuite	Torchis	Fragments de torchis avec traces de clayonnage Très fragmenté		108
422	171	5	280		YV0042	TCA	Indéterminé			1
422	182	5	280		YV0042	TCA	Tegula	1 fragment de tegula avec rebord		1
427	181	5	277		YV0042	TCA	Tegula	2 fragments de tegulae avec rebords et 4 indéterminés		6
427	186	4	277		YV0042	TCA	Indéterminé			5
429	235	3	287		YV0042	TCA	Indéterminé			1
432	121	5	287		YV0042	Terre cuite	Torchis	20% dégraissant, composition: qu-cha-mot-oxfer, cuisson: oxydante totale	Bronze moyen	3
437	185	5	264		YV0041	TCA	Tegula	1 fragment de tegula avec rebord		1
445	234	3	299		YV0042	TCA	Indéterminé			3
496	180	5			YV0042	TCA	Indéterminé			6
497	107	3	380		YV0042	Terre cuite	Plaque foyère	Probable fragment de plaque foyère		2
550	237	3	322		YV0042	TCA	Indéterminé			2
583	236	3	368		YV0041	TCA	Indéterminé			5
592	216	4	375		YV0037	Terre cuite	Indéterminé			1
609	221	3	390		YV0037	TCA	Indéterminé			1
627	155	4	382		YV0037	TCA	Indéterminé			2
629	198	4	436		YV0037	TCA	Indéterminé			5
640	208	4	442		YV0037	TCA	Indéterminé			1
658	193	4	411		YV0037	Terre cuite	Torchis			3
713	177	5	452		YV0035	TCA	Indéterminé			1
768	173	5	511		YV0037	Terre cuite	Torchis			1
794	176	5	236		YV0041	TCA	Indéterminé			3
799	165	5	513		YV0041	TCA	Tegula			1
809	238	3	352		YV0042	TCA	Indéterminé			1
813	133	4	276		YV0041	TCA	Indéterminé			3
820	239	3	101		YV0031	TCA	Indéterminé			5
821	72	3	160		YV0031	TCA	Indéterminé			2
822	164	5	400		YV0037	TCA	Indéterminé			1
823	166	5	465		YV0035	Terre cuite	Indéterminé			1
824	188	4	268		YV0041	TCA	Indéterminé			2
825	191	4	166		YV0031	TCA	Tegula	2 fragments dont 1 avec rebord		2
826	192	4	237		YV0040	TCA	Indéterminé			2
827	194	4	211		YV0039	TCA	Indéterminé			3
828	197	4	391		YV0037	TCA	Indéterminé			1

US	Lot	Caisse	Fait	Isolat	Cadastre	Type	Sous type	Description	Datation	NR total
829	200	4	392		YV0037	TCA	Canalisation	Canalisation contemporaine alignée sud-ouest/nord -est		8
830	232	3	373		YV0037	TCA	Indéterminé			3
831	233	3	386		YV0037	TCA	Indéterminé			1
832	242	3	318		YV0041	TCA	Indéterminé			2
833	246	3	103		YV0031	TCA	Indéterminé			4
	190	4	276		YV0041	TCA	Tegula	Fragment de tegula avec rebord		3

US	Lot	Caisse	Fait	Isolat	Cadastre	Description	NR total
1	254	12			YV0029		1
1	255	12			YV0029	Trouvé à proximité de F229	7
626	700	12	382		YV0037	petit fragment d'os brûlé	1
794	250	12	236		YV0041		1
794	260	12	236		YV0041		30

US	Lot	Caisse	Fait	Isolat	Cadastre	Matière	Description	NR total	Etat sanitaire
1	264	6		129	YV0029	fer	Fragment de fer à cheval antérieur (à un pinçon) et incomplet (manque la moitié gauche gauche). Aux vues de l'état de desquamation, les étampures ne sont pas visibles. Son éponge droite mesure 16 mm de large et 10 mm d'épaisseur, la couverture près du pinçon mesure 16 mm de largeur et 7 mm d'épaisseur en rive externe et 6 mm en rive interne. Son poids est de 384 gr.	1	dégradé
1	288	6			YV0029	fer	Penture de porte ? fragmentée (manque une partie)	1	corrodé
1	289	7			YV0029	fer	Fragment longiligne de section rectangulaire en partie proximale (12X10mm) se rétrécissant progressivement en épaisseur pour présenter une section rectangulaire en partie distale de 12mm de largeur sur 2 mm d'épaisseur seulement. Longueur de 95 mm. Ressemble potentiellement à un fragment de poignée de porte.	1	corrodé
1	290	7			YV0029	fer	Tige plate de 56 mm de longueur, 15 mm de largeur et 5 mm d'épaisseur	1	corrodé
1	291	8			YV0029	fer	Fragment de scorie coulée noir-gris. Présente des formes de coulures nettes.	1	bon
1	292	6			YV0029	fer	Fragment de fourchette dont il ne subsiste que la partie médiale (partie distale de la tige jusqu'à la naissance des 4 dents). Longueur de 93 mm	1	
1	293	6			YV0029	fer	Anneau coulissant dans une tige courbée en «S». Cette tige de section carrée aux abords de l'anneau sévide dans sa partie médiale. Peut-être anneau de fixation de mors? Anneau de 43 mm de diamètre intérieur et tige évidée de 73mm de longueur	1	corrodé
1	294	7			YV0029	fer	2 fines plaques (ou tôle) de 1,5 mm d'épaisseur. D'une même largeur de 27 mm, l'une fait 20 mm de longueur et l'autre 47 mm de longueur	2	dégradé
1	295	7			YV0029	fer	Tige très corrodée de 40 mm de longueur sur 8 mm de section	1	corrodé
1	296	6			YV0029	fer	Petit fragment de plaque longiligne et arrondie d'un côté, légèrement incurvée (peut être fragment de manche de couvert??). Elle présente une longueur de 53 mm sur 18 mm de largeur et 2,5 mm d'épaisseur	1	corrodé
1	297	7			YV0029	fer	Un clou et une tige évidée : Clou (ou vis) à tête ronde et plate dont les 2,5 cm supérieurs de la tige sont de section carrée (8mm de côté) puis de section ronde (6mm de diamètre de section). Une sorte d'écrou carré (très corrodé et concrétionné) est situé sur la partie inférieure de la tige ; ce clou mesure 98 mm (38 grs) Tige évidée de 12 mm de diamètre de section externe et de 8 mm de diamètre de section interne. Mesure 54 mm de longueur (12 grs)	2	corrodé
1	298	9			YV0029	alliage cuivreux	Partie supérieure de douille électrique en alliage cuivreux : 12 mm de hauteur et 18 mm de diamètre d'ouverture de pas de vis	1	bon
1	299	9			YV0029	alliage cuivreux	Objet de forme oblongue constitué d'une mince plaque en alliage cuivreux sur laquelle est riveté une plaque de fer de même dimensions de chaque côté (fer très dégradé). Mesure 90 mm de longueur sur 20 mm de largeur et 8 mm d'épaisseur	1	corrodé
1	300	7			YV0029	fer	1 fragment de clou à tête carrée d'une longueur de 85mm (53 gr). Sa tige est de section carrée (7x7mm). Une rondelle de 55 mm de diamètre extérieur et 25 mm de diamètre intérieur présentant une épaisseur de 1mm (23 gr)	3	corrodé
1	301	7			YV0029	fer	Tige de section carrée (8x8 mm) pliée à 90° et d'une longueur de 115 mm. Tige de clou (?)	1	corrodé
1	302	7			YV0029	fer	Clou à la tête circulaire et à la section carrée (6x6 mm), d'une longueur de 60 mm	1	corrodé
1	303	7			YV0029	fer	fragment d'une potentielle tête de clou??	1	corrodé

US	Lot	Caisse	Fait	Isolat	Cadastre	Matière	Description	NR total	Etat sanitaire
1	304	7			YV0029	fer	2 tiges recourbées de 15 gr chacune (l'une de section rectangulaire de 5X8mm et de 62 mm de longueur et l'autre de 6mm de diamètre de section et de 132 mm de longueur) et une plaque subrectangulaire de 145 mm de longueur et pesant 213 gr	3	corrodé
1	305	7			YV0029	fer	1 petit fragment de plaque de 25X13 mm et 1,5 mm d'épaisseur, et une tige légèrement aplatie de 95 mm de longueur	2	corrodé
1	306	7			YV0029	fer	5 fragments de plaque très fine (1mm) dont la plus grande mesure 173X71 mm	5	dégradé
1	307	7			YV0029	fer	2 gros fragments circulaire à bords recourbés en fer très dense.	2	corrodé
1	308	7			YV0029	fer	Un fragment de plaque fine replié sur lui-même (52 gr) et une bande de fer de 30 cm de longueur sur 2 cm de largeur et 4 mm d'épaisseur finissant en pointe (163 gr).	2	corrodé
1	313	9			YV0029	Alliage cuivreux	Fragment de tôle très fine (0,5 mm) de 32 mm de longueur et 23 mm de largeur	1	corrodé
1	317	8			YV0029	fer	Fragment de scorie coulée noir-gris vitrifié. Présente des formes de coulures nettes.	1	bon
1	703	7			YV0029	fer	Tige (de clou ?) de section carrée de 7 mm de côté et de 55 mm de longueur. Très corrodé	1	corrodé
1	708	8			YV0029	fer	Scorie	3	corrodé
2	263	7		131	YV0029	fer	Tige de clou recourbé de 85 mm de longueur et d'une section d'un diamètre de 8mm	1	corrodé
2	265	7		98	YV0029	fer	2 fragments de fine plaque (tôle) n'excédant pas 1,5 mm d'épaisseur	2	corrodé
2	266	7		109	YV0029	fer	Fragment de plaque épaisse (5mm) au profil arrondi et parfaitement oblongue d'une longueur de 115 mm et d'un diamètre de 30 mm	1	corrodé
2	267	7		100	YV0029	fer	Gros fragment de fer épais de 85X55 mm	1	corrodé
2	279	6			YV0029	fer	Fer à cheval antérieur (à un pinçon) et incomplet (manque environ 1/3 gauche). 3 clous sont présents dans les étampures droites. Son éponge droite mesure 20mm de large et 12mm d'épaisseur, la couverture près du pinçon mesure 27mm de largeur et 10mm d'épaisseur en rive externe et 7mm en rive interne. Son poids est de 384 gr.	1	corrodé
2	280	7			YV0029	fer	5 fragments de plaque dont une peut être une charnière plate (?)	5	corrodé
2	281	6			YV0029	fer	Faucille à soie d'une longueur totale de 30,5 cm. La soie mesure 12,5cm. La largeur médiane du croissant est de 3,5 cm, le rayon intérieur de la lame est 15 cm environ et le rayon extérieure d'environ 18,5 cm. La rive extérieure de la lame présente une épaisseur de 4 mm.	1	corrodé
2	282	7			YV0029	fer	Fine tige de fer de 2 mm de diamètre de section et 78 mm de longueur	1	corrodé
2	283	7			YV0029	fer	Reste d'un fragment de plaque (ou tôle) très dégradé semblant fixé à une rondelle métallique.	1	corrodé
2	284	7			YV0029	fer	Fragment de plaque d'une épaisseur de 2,5 mm (et de 5 mm au bord retroussé), d'une longueur de 65 mm et une largeur de 32 mm	1	corrodé
2	285	7			YV0029	fer	Tige de clou (?) d'une longueur de 35 mm et de section carrée de 3 mm de côté	1	corrodé
2	286	7			YV0029	fer	Petit fragment de 28 mm de longueur X 10 mm de largeur et X 3mm d'épaisseur	1	corrodé
2	287	7			YV0029	fer	Fragment de tige de clou (?) de 23 mm de longueur et de 7 mm de diamètre de section	1	corrodé
2	312	9		128	YV0029	Alliage cuivreux	Petit élément en tôle finement découpé de manière symétrique présentant 4 «branches» (une en partie détruite). Élément de parure (bijou)?, Petite applique décorative ?	1	corrodé

US	Lot	Caisse	Fait	Isolat	Cadastre	Matière	Description	NR total	Etat sanitaire
2	707	6			YV0029	fer	Fer à âne/mulet dont il ne reste que la moitié gauche. 2 étampures sont visibles (une moitié sur la partie médiane en haut de voûte). Son éponge gauche mesure 9mm de large et 5mm d'épaisseur, la couverture au niveau de la voûte mesure 25 mm de largeur et 3mm d'épaisseur sur les 2 rives. Son poids est de 42 gr.	1	corrodé
2	709	7			YV0029	fer	Clou de section carrée (4X4mm) et à la tête rectangulaire (13X9mm) mesurant 38mm de longueur et pesant 4 gr ainsi qu'une plaque mesurant 60X75 mm et épaisse de 3mm (72 gr)	2	corrodé
218	278	6	162		YV0031	fer	Une lame recourbée percée de 2 trous de 7 mm de diamètre (lame de scarificateur?) de 27 mm de largeur et 6 mm d'épaisseur et d'un poids de 316 gr (manque la fixation haute) ; un clou avec tige et tête circulaire respectivement de 8 mm et 23 mm de diamètre, d'un poids de 62 gr (longueur totale de 117 mm) ; Fourche à balle à 2 dents (à emmanchure) de 280 mm de longueur totale et dents de 200 mm de longueur et d'un poids de 478 gr (espacement entre les dents d'environ 80 mm)	3	corrodé
242	276	7	176		YV0031	fer	Une tige de fer de 14,5 cm de longueur et présentant une section de 6mm de diamètre (28g) ; un éventuel battant de sonnaile (très dense) brisé à son sommet d'une longueur de 75mm et d'un poids de 68 gr	2	corrodé
348	271	7	224		YV0039	fer	Tête de clou?	1	corrodé
445	273	7	299		YV0042	fer	Tige (potentiellement de clou?) de 20 mm de longueur et de 4 mm de diamètre de section	1	corrodé
464	309	6	321		YV0041	Fer	Jeton ou bouton très concrétionné de 20 mm de diamètre sur 2 mm d'épaisseur	1	
609	277	6	390		YV0037	fer	Une tige tordue de 14 cm et de 4mm de diamètre de section (18 gr) et une lamelle de fer constituée d'un bord en bourrelet et d'un autre bord irrégulier et plus fin (longueur de 14cm X 2,8 cm). Cette lamelle est courbé et semble présenter un trou d'environ 10 mm de diamètre sur le bord irrégulier (potentiel fragment de cerclage de seau ou autre?) et pèse 55gr..	2	corrodé
609	316	8	390		YV0037	fer	2 fragments de scorie vitrifiée noir-gris présentant de nombreuses petites bulles (néoformations)	2	bon
609	706	8	390		YV0037	fer	9 scories avec nombreuses néoformations bullaires.	9	corrodé
626	270	6	382		YV0037	fer	Un fragment proximal de lame de couteau d'une longueur de 84mm et d'une épaisseur de 2mm	1	corrodé
626	710	7	382		YV0037	fer	Clou de section carrée (5X5mm) de 37 mm de longueur.	1	corrodé
805	269	7	160		YV0031	fer	Clou de section rectangulaire (6X4mm) de 37 mm de longueur avec tête subrectangulaire écrasée (12X9mm).	1	corrodé
805	311	9	160		YV0031	Alliage cuivreux	Tige recourbée en alliage cuivreux s'affinant jusqu'à une extrémité très légèrement élargie de forme conique : potentielle fragment de boucle d'oreille?	1	corrodé
809	274	7	352		YV0042	fer	Clou courbé dont il manque la tête, de section carrée (5X5mm) , d'une longueur totale de 104 mm (potentiellement clou de charpente)	1	corrodé
824	262	7	268	93	YV0041	Fer	3 fragment de plaque de fer dont 2 présentent une épaisseur de 2 à 3mm et sont de forme rectangulaire (respectivement de 70X45mm (poids de 66gr) et 80X47mm (poids de 65 gr) et une autre plus épaisse (6mm d'épaisseur) assez dense et de forme subcirculaire (65X35mm) d'un poids de 102gr	3	corrodé
824	314	9	268		YV0041	Alliage cuivreux	2 petits fragments trouvés en surface de F268. Peuvent appartenir à une éventuelle fibule (bout d'épingle + base épingle) d'une longueur respective de 12 mm et de 6 mm	1	corrodé
828	272	7	391		YV0037	fer	Clou à l'extrémité brisée de section carrée (5X5mm) et à la tête fragmentée et allongée, d'une longueur totale de 30 mm	1	corrodé
834	268	7	417		YV0037	fer	Fragment de plaque de fer de 50X35mm et d'une épaisseur de 3 à 4mm	1	corrodé

US	Lot	Caisse	Fait	Isolat	Cadastre	Matière	Description	NR total	Etat sanitaire
835	275	6	395		YV0037	fer	Fer à âne/mulet dont il ne reste que les 2/3. Un clou est encore visible dans une étampure. Son éponge gauche mesure 12mm de large et 5mm d'épaisseur, la couverture au niveau de la voûte mesure 32mm de largeur et 10mm d'épaisseur en rive externe et 0,7 cm en rive interne. Son poids est de 147 gr..	1	corrodé

US	Lot	Caisse	Isolat	Cadastre	Matière	Description	Datation	NR total	Poids (gr)
2	310	10	12	YV0029	Cuivre	Sesterce type RIC 1127, atelier Rome D/[DIVA F]AUSTIN[E] Buste drapé de Faustine, Mère à droite, cheveux en chignon R/[AUG V]S[TA] Pietas drapée debout à gauche	147 ap. JC	1	21

US	Lot	Caisse	Cadastre	Type	Description	NR total	NMI
0	711	11		Fragment verre	2 fragments de couleur vert/bleu, d'un potentiel col de flacon (sans lèvre complète). Épaisseur de la lèvre (?) de 2 mm ; goulot (?) d'un diamètre intérieur de 10mm et de 3 mm d'épaisseur	2	1
1	318	11	YV0029	Fragment verre		1	1
1	319	11	YV0029	Fragment verre	brun/vert	1	1

US	Lot	Caisse	Fait	Isolat	num_ individu	Ca- dastre	Matière	Type	Description	Datation
0	398	16					silex		Pointe de flèche perçante émousée, retouches irrégulières marginales à encoches sur support irrégulier semi-cortical, armature triangulaire asymétrique, bords fracturés et émousés, typo. néo. final?	Hypothétique
0	399	16					silex			Préhistoire Protohistoire indéterminée
0	400	16					silex			Préhistoire Protohistoire indéterminée
0	401	16					silex			Préhistoire Protohistoire indéterminée
0	402	16					silex			Préhistoire Protohistoire indéterminée
0	403	16					silex			Préhistoire Protohistoire indéterminée
0	404	16					silex		Pièce esquillée sur éclat d'entretien	Paléolithique moyen à Néoli- thique
0	405	16					silex			Préhistoire Protohistoire indéterminée
0	406	16					silex			Préhistoire Protohistoire indéterminée
0	407	16					silex			Préhistoire Protohistoire indéterminée
0	408	16					silex			Préhistoire Protohistoire indéterminée
0	409	16					silex		Petit éclat retouché en grattoir court frontal et latéral et talon aminci	Paléolithique supérieur à Néolithique
0	410	16					silex			Indéterminée
0	469	16					silex		Racloir sur éclat fin (raclette?)	Paléolithique moyen à Néoli- thique
0	476	16					silex	bloc	Débitage opportuniste de petits éclats multidirectionnels	Paléolithique moyen à Néoli- thique
0	585	16					annulé		annulé	
0	646	16					silex			Préhistoire Protohistoire indéterminée
0	647	16					silex	bloc	nucléus à éclat semi-tournant, unipolaire sur petit galet	Paléolithique moyen à Néoli- thique
0	662	16					silex			Préhistoire Protohistoire indéterminée
0	663	16					silex		Grattoir court unghiforme sur talon et esquille- ments et amincissement en partie distale	Paléolithique supérieur
0	664	16					silex			Préhistoire Protohistoire indéterminée

US	Lot	Caisse	Fait	Isolat	num_ individu	Ca- dastre	Matière	Type	Description	Datation
0	665	16					silex			Préhistoire Protohistoire indéterminée
0	666	16					silex			Préhistoire Protohistoire indéterminée
0	667	16					silex			Préhistoire Protohistoire indéterminée
0	668	16					silex			Préhistoire Protohistoire indéterminée
0	669	16					silex			Préhistoire Protohistoire indéterminée
0	670	16					silex			Préhistoire Protohistoire indéterminée
0	671	16					silex			Préhistoire Protohistoire indéterminée
0	672	16					silex			Préhistoire Protohistoire indéterminée
0	673	16					silex			Préhistoire Protohistoire indéterminée
0	674	16					silex			Préhistoire Protohistoire indéterminée
0	675	16					silex		Petit nucléus multifacial, débitage opposé bipolaire ou alterné, changement de surface, arrivé à exhaustion, débitage de petits éclats réfléchis, cintrage, surfaces plates et fracturées	Paléolithique moyen à Néolithique
0	676	16					silex	lame	Lame courte faucille utilisée latéralement, talon aminci	Néolithique
0	677	16					silex			Préhistoire Protohistoire indéterminée
0	678	16					silex	éclat	Petit nucléus opportuniste, débitage de petits éclats sur face sup., débitage directe sur PF lisse (face inf.), angulation aigue, sur un gros éclat-déchet fin fracturé, sur éclat au talon façonné	Paléolithique supérieur à Néolithique
0	679	16					silex		Nucléus opportuniste, débitage de petits éclats sur face sup. semi-tournant, débitage directe sur PF lisse (face inf.), angulation aigue, sur un gros éclat-déchet fin fracturé	Paléolithique supérieur à Néolithique
0	680	16					silex	éclat	Nucléus opportuniste à petits éclat, débitage directe sur PF lisse et bonne angulation, sur un gros éclat-déchet	Paléolithique moyen à Néolithique
0	681	16					silex	bloc	Petit nucléus opportuniste, essai de débitage de petits éclats sur face inf., débitage directe sur PF lisse et bonne angulation, sur un petit éclat-déchet fracturé	Paléolithique supérieur à Néolithique
0	682	16					silex		Denticulé sur grand éclat laminaire épais d'entretien semi-cortical	Paléolithique moyen à Néolithique
0	683	16					silex			Préhistoire Protohistoire indéterminée

US	Lot	Caisse	Fait	Isolat	num_ individu	Ca- dastre	Matière	Type	Description	Datation
1	322	16				YV0029	silex	éclat	Nucléus sur éclat fracturé, fortement émoussé, nervures arrondies, enlèvements multi-directionnels sur face ventrale, surface très fracturée, et face dorsale avec un néocortex roulé. A subi des perturbations post-dépositionnelles de type fluviatile. Peu lisible. Nucléus à éclats.	Préhistoire Protohistoire indéterminée
1	333	15				YV0029	silex	éclat laminaire	Eclat laminaire court irrégulier, forme ogivale, à talon aminci, présentant des retouches scalariformes et de type coches sur 1 bord convexe et des traces d'utilisation ou d'emmanchement sur l'autre bord, et un enlèvement burinant en partie distale. Racloir-burin châtelperronien?	Paléolithique supérieur
1	334	15				YV0029	silex	éclat	Grand éclat déjeté de débitage épais irrégulier partiellement cortical, talon large facetté, on peut apercevoir des enlèvements antérieurs à la forte patine blanche et éventuellement des enlèvements lamellaires sur la tranche en partie distale, puis reprise, essai d'un PF et d'un enlèvement post-patine, nucléus repris et testé postérieurement. Nucléus à lamelles sur éclat + repris testé	Néolithique ancien-moyen
1	344	15				YV0029	silex	éclat	Petit éclat court de débitage type Levallois, talon dièdre présentant des micro-traces d'utilisation sur le tranchant et une coche inverse.	Paléolithique moyen
1	345	16				YV0029	silex	éclat	Petit éclat de débitage réfléchi sur face ventrale, type «kombewa», talon punctiforme.	Préhistoire Protohistoire indéterminée
1	365	16				YV0029	silex	casson	Fragment de casson épais, déchet de débitage ind.	Préhistoire Protohistoire indéterminée
1	366	16				YV0029	silex	casson	Fragment de casson épais, déchet de débitage ind.	Préhistoire Protohistoire indéterminée
1	367	16				YV0029	silex	éclat	Eclat court épais réfléchi semi-cortical, à talon large lisse oblique de préparation de plan de frappe.	Préhistoire Protohistoire indéterminée
1	368	16				YV0029	silex	éclat	Fragment partiel d'un éclat irrégulier semi-cortical et courbe, issu d'une mise en forme possible de bloc.	Préhistoire Protohistoire indéterminée
1	369	15				YV0029	silex	lame	Fragment distal d'une lame irrégulière rectiligne tronquée, à section trapézoïdale, montrant un débitage laminaire bipolaire en face supérieure, et présentant des retouches d'utilisation latérales et abruptes.	Paléolithique supérieur à Néolithique
1	373	15		1		YV0029	silex	éclat laminaire	Fragment distal d'une lame irrégulière épaisse montrant un débitage unipolaire et des retouches profondes bilatérales écailleuses formant des coches ou des bords concaves, parallèles sur les deux bords, puis repris en retouches profondes plus récentes irrégulières sur la fracture mésiale. Outil opportuniste type encoche sur possible lame plus ancienne.	Néolithique ancien-moyen
1	380	15				YV0029	silex		fragment proximal d'une lame avec retouches et burin double sur fracture	Paléolithique supérieur à Néolithique
1	381	15				YV0029	silex	lame	lame épaisse d'entretien débitage laminaire unipolaire, PF secondaire opposé	Paléolithique supérieur à Néolithique
1	382	15				YV0029	silex	éclat laminaire		Préhistoire Protohistoire indéterminée
1	383	16				YV0029	silex			Préhistoire Protohistoire indéterminée

US	Lot	Caisse	Fait	Isolat	num_ individu	Ca- dastre	Matière	Type	Description	Datation
1	384	16				YV0029	silex			Préhistoire Protohistoire indéterminée
1	385	16				YV0029	silex			Préhistoire Protohistoire indéterminée
1	417	16				YV0029	silex			Préhistoire Protohistoire indéterminée
1	424	15				YV0029	silex	lame	lame de faucille sur fragment mésial de lame épaisse irrégulière	Néolithique
1	425	15				YV0029	silex	éclat	denticulé-racloir sur petit éclat large	Paléolithique moyen à Néoli- thique
1	433	16				YV0029	silex			Préhistoire Protohistoire indéterminée
1	434	16				YV0029	silex			Préhistoire Protohistoire indéterminée
1	435	15				YV0029	silex	éclat	Petit nucléus débris avec enlèvements petits éclats directs sur tranche à parti du PF lisse face ventrale	Epipaléolithique à Mésolithique
1	436	15				YV0029	silex	lamelle	Petite lamelle irrégulière triangulaire, talon punctiforme.	Paléolithique supérieur à Néoli- thique ancien
1	437	16				YV0029	silex			Préhistoire Protohistoire indéterminée
1	438	16				YV0029	silex			Préhistoire Protohistoire indéterminée
1	439	15				YV0029	silex			Préhistoire Protohistoire indéterminée
1	440	16				YV0029	silex			Préhistoire Protohistoire indéterminée
1	441	15				YV0029	silex			Préhistoire Protohistoire indéterminée
1	442	15				YV0029	silex	lamelle	lamelle tronquée par technique microburin, talon façetté	Paléolithique supérieur à Néoli- thique ancien
1	443	16				YV0029	silex			Préhistoire Protohistoire indéterminée
1	444	16				YV0029	silex			Préhistoire Protohistoire indéterminée
1	445	15				YV0029	silex	éclat	Petit éclat fin utilisé, outil a posteriori	Paléolithique moyen à Néoli- thique
1	446	16				YV0029	silex			Préhistoire Protohistoire indéterminée
1	447	15				YV0029	silex	lame	Lame courte épaisse utilisée latéralement, régulière trapézoïdale, percussion indirecte?	Mésolithique à Néolithique
1	452	16				YV0029	silex			Préhistoire Protohistoire indéterminée

US	Lot	Caisse	Fait	Isolat	num_ individu	Ca- dastre	Matière	Type	Description	Datation
1	453	16				YV0029	silex			Préhistoire Protohistoire indéterminée
1	456	16				YV0029	silex			Préhistoire Protohistoire indéterminée
1	457	15				YV0029	silex	éclat	grattoir caréné fracturé sur éclat épais très patiné	Paléolithique moyen à Néoli- thique
1	458	15				YV0029	silex		éclat laminaire de flanc, talon large lisse déjeté	Paléolithique moyen à Néoli- thique
1	461	15				YV0029	silex			Préhistoire Protohistoire indéterminée
1	462	15				YV0029	silex			Préhistoire Protohistoire indéterminée
1	463	16				YV0029	silex			Préhistoire Protohistoire indéterminée
1	474	15				YV0029	silex	éclat lami- naire	Outils composite sur grand éclat laminaire déchet : perçoir et grattoir : opportunisme	Paléolithique moyen à Néoli- thique
1	478	16				YV0029	silex			Préhistoire Protohistoire indéterminée
1	479	15				YV0029	silex	éclat	Petit racloir latéral sur éclat fragmenté	Paléolithique moyen à Néoli- thique
1	480	16				YV0029	silex			Préhistoire Protohistoire indéterminée
1	486	15				YV0029	silex	lame	Grande lame large irrégulière denticulée	Paléolithique supérieur à Néolithique
1	487	16				YV0029	silex			Préhistoire Protohistoire indéterminée
1	488	16				YV0029	silex			Préhistoire Protohistoire indéterminée
1	489	15				YV0029	silex	casson	Ebauche d'un perçoir sur éclat irrégulier, épais déchet de taille	Paléolithique moyen à Néoli- thique
1	490	15				YV0029	silex		Nucléus à lamelles semi-tournant, PF large-lisse, avec crête latérale et PF secondaire opposé	Paléolithique supérieur à Néolithique
1	494	16				YV0029	silex			Préhistoire Protohistoire indéterminée
1	495	16				YV0029	silex			Préhistoire Protohistoire indéterminée
1	496	16				YV0029	silex		Gros nucléus silex noir testé plan de frappe + début de mise en forme, débitage de quelques gros éclats sur surface large, abandon?	Paléolithique supérieur à Néolithique
1	497	16				YV0029	silex			Préhistoire Protohistoire indéterminée
1	498	16				YV0029	silex			Préhistoire Protohistoire indéterminée

US	Lot	Caisse	Fait	Isolat	num_ individu	Ca- dastre	Matière	Type	Description	Datation
1	499	16				YV0029	silex			Préhistoire Protohistoire indéterminée
1	500	15				YV0029	silex	éclat	Petit éclat déjeté issu d'un débitage discoïde	Paléolithique moyen
1	502	15				YV0029	silex	éclat	Outil composite sur ancien éclat patiné, reprise et retouches : burin et perçoir	Paléolithique moyen à Néoli- thique
1	510	16				YV0029	silex			Préhistoire Protohistoire indéterminée
1	511	16				YV0029	silex			Préhistoire Protohistoire indéterminée
1	512	16				YV0029	silex			Préhistoire Protohistoire indéterminée
1	513	15				YV0029	silex	éclat	Débitage opportuniste direct expédient d'éclats semi-tournant à tournant sur éclat épais, PF lisse sur face inf.	Paléolithique supérieur à Néolithique
1	514	15				YV0029	silex	casson	Débitage opportuniste direct expédient d'éclats sur débris	Paléolithique moyen à Néoli- thique
1	515	16				YV0029	silex			Préhistoire Protohistoire indéterminée
1	516	16				YV0029	silex			Préhistoire Protohistoire indéterminée
1	517	15				YV0029	silex		Petit bloc nucléus à lamelles (?) prismatiques et multidirectionnels, exploité jusqu' à exhaustion	Epipaléolithique à Mésolithique
1	518	15				YV0029	silex		Ancien éclat débitage discoïde Paléo. moyen retouché ou essai de débitage direct sur face sup.?	Néolithique ancien-moyen
1	519	15				YV0029	silex		Tentative de nucléus sur éclat épais ancien- nement racloir, sur la face inf. de petits éclats mais silex diaclasé, débitage expédient direct, économie de MP	Néolithique ancien-moyen
1	520	15				YV0029	silex			Préhistoire Protohistoire indéterminée
1	521	16				YV0029	silex			Préhistoire Protohistoire indéterminée
1	522	16				YV0029	silex			Préhistoire Protohistoire indéterminée
1	524	15				YV0029	silex	éclat	Outil a postérieur expédient, utilisé comme un grand racloir double convergent large, talon déjeté	Paléolithique moyen à Néoli- thique
1	525	15				YV0029	silex		Nucléus à éclats sur la face inf. d'un éclat large et épais, PF sur face, débitage direct expédient sur face large	Néolithique ancien-moyen
1	527	15				YV0029	silex			Préhistoire Protohistoire indéterminée
1	530	15				YV0029	silex		nucléus à micro-lamelles semi-tournant sur éclat	Epipaléolithique à Mésolithique
1	531	15				YV0029	silex		nucléus sur bloc, subpyramidal prismatique de lames-lamelles, PF concave avec abrasion de la corniche, et PF opposé secondaire, gestion crêtes latérales, abandon car exhaustion	Paléolithique supérieur à Néoli- thique ancien

US	Lot	Caisse	Fait	Isolat	num_ individu	Ca- dastre	Matière	Type	Description	Datation
1	532	15				YV0029	silex		Prénucléus, sur bloc cortical noduleux allongé de forme naturelle pyramidale, ouverture d'un PF, essai d'un PF secondaire opposé latéral, quelques enlèvements, éclats puis abandon rapide plate et angulations ou silex trop diaclasé?	Paléolithique supérieur à Néolithique
1	533	16				YV0029	silex		nucléus sur fragment de bloc, sur tranche opportuniste	Paléolithique supérieur à Néolithique
1	534	15				YV0029	silex		Lamelle utilisée, outil a posteriori, voile de patine	Paléolithique supérieur à Néolithique
1	537	16				YV0029	silex			Préhistoire Protohistoire indéterminée
1	540	15				YV0029	quartz		Petit éclat épais issu d'un débitage récurrent convergent, talon déjeté et retouches irrégulières en partie distale formant une petite pointe ébréchée ou fracturée : perçoir	Hypothétique
1	541	15				YV0029	silex		Denticulé sur grand éclat large épais patiné ancien, retouches marginales	Paléolithique moyen à Néolithique
1	542	15				YV0029	silex		Nucléus sur bloc, prismatique, débitage unipolaire, PF concave, gestion en crête larérale, Abandon car exhaustion	Paléolithique supérieur à Néolithique
1	545	15				YV0029	silex	éclat laminaire	Eclat laminaire tronqué avec des retouches profondes latérales	Paléolithique moyen à Néolithique
1	546	16				YV0029	silex			Indéterminée
1	547	15				YV0029	silex		Nucléus sur éclat épais, de petits éclats, débitage multifacial à partir d'un PF lisse face inf, direct expédient	Paléolithique supérieur à Néolithique
1	548	15				YV0029	silex		Eclat large épais semi-cortical denticulé	Paléolithique moyen à Néolithique
1	549	16				YV0029	silex			Préhistoire Protohistoire indéterminée
1	550	15				YV0029	silex			Préhistoire Protohistoire indéterminée
1	551	16				YV0029	silex			Préhistoire Protohistoire indéterminée
1	552	16				YV0029	silex			Préhistoire Protohistoire indéterminée
1	553	15				YV0029	silex		Petit racloir déjeté sur éclat cortical très patiné	Paléolithique moyen
1	555	15				YV0029	silex			Préhistoire Protohistoire indéterminée
1	558	16				YV0029	quartz		Fragment d'un gros nucléus	Paléolithique moyen à Néolithique
1	559	16				YV0029	quartz	galet	Gros galet de quartz avec débitage direct d'éclats semi-tournant sur une surface large, le plan de frappe est lisse	Paléolithique moyen à Néolithique
1	560	16				YV0029	silex			Préhistoire Protohistoire indéterminée
1	563	16				YV0029	silex			Préhistoire Protohistoire indéterminée

US	Lot	Caisse	Fait	Isolat	num_ individu	Ca- dastre	Matière	Type	Description	Datation
1	564	16				YV0029	silex			Préhistoire Protohistoire indéterminée
1	565	15				YV0029	silex			Préhistoire Protohistoire indéterminée
1	566	16				YV0029	silex			Préhistoire Protohistoire indéterminée
1	567	15				YV0029	silex		Petite lame épaisse issue d'un débitage bipolaire semi-tournant, burin double à deux pans avec une encoche latérale	Paléolithique supérieur à Néolithique
1	568	16				YV0029	silex			Préhistoire Protohistoire indéterminée
1	569	15				YV0029	silex	éclat	Nucléus sur éclat, en face sup., semi-tournant, direct, opportuniste, petits éclats en phase finale	Paléolithique supérieur à Néolithique
1	570	15				YV0029	silex		Eclat laminaire avec des retouches profondes encoches doubles et retouches inverses régulières bilatérales (morpho-typo?)	Préhistoire Protohistoire indéterminée
1	571	15				YV0029	silex	éclat	Nucléus à petits éclats en face semi-tournant, direct, opportuniste	Paléolithique supérieur à Néolithique
1	572	15				YV0029	silex		Eclat laminaire épais, néocrête, pièce esquillée, outil a postérieur	Paléolithique supérieur à Néolithique
1	573	15				YV0029	silex		éclat déchet épais avec esquillements, outil a postérieur, silex frais	Paléolithique supérieur à Néolithique
1	574	16				YV0029	quartzite	galet	peu sûr	Préhistoire Protohistoire indéterminée
1	579	16				YV0029	silex			Préhistoire Protohistoire indéterminée
1	580	16				YV0029	silex			Préhistoire Protohistoire indéterminée
1	581	16				YV0029	silex			Préhistoire Protohistoire indéterminée
1	582	15				YV0029	silex	lame	lame courte régulière, percussion indirecte	Néolithique ancien-moyen
1	583	16				YV0029	quartz		annulé	
1	584	15				YV0029	silex			Préhistoire Protohistoire indéterminée
1	591	15				YV0029	silex			Préhistoire Protohistoire indéterminée
1	615	16				YV0029	silex			Préhistoire Protohistoire indéterminée
1	616	15				YV0029	silex	bloc	Prénucléus, ouverture d'un PF lisse oblique sur fragment de bloc, puis un seul enlèvement, un simple éclat puis abandon	Préhistoire Protohistoire indéterminée
1	617	15				YV0029	silex	éclat	Nucléus sur éclat épais, de petits éclats, débitage multifacial à partir d'un PF lisse face inf, direct expédient	Paléolithique supérieur à Néolithique

US	Lot	Caisse	Fait	Isolat	num_ individu	Ca- dastre	Matière	Type	Description	Datation
1	618	15				YV0029	silex	éclat	Grattoir unghiforme sur éclat épais	Paléolithique moyen à Néolithique
1	619	16				YV0029	silex			Préhistoire Protohistoire indéterminée
1	643	16				YV0029	silex			Préhistoire Protohistoire indéterminée
1	644	15				YV0029	silex		nucléus sur blocs, PF principale et PF secondaire opposé, semi-tournant, fracturé, derniers enlèvements éclats	Paléolithique supérieur à Néolithique
1	645	15				YV0029	silex		éclat laminaire large, couteau multifonction ou perçoir/racloir bilatéral sur éclat Levallois recurrent	Paléolithique moyen
1	648	15				YV0029	silex		nucléus prismatique laminaire semi-tournant, avec PF secondaire opposé, sur galet ou bloc percuteur?	Paléolithique supérieur à Néolithique
1	649	15				YV0029	silex		nucléus à éclats sur la face inf. d'un éclat large et épais, PF sur face ventrale, débitage direct expédient sur face large tournant multidirectionnel	Paléolithique supérieur à Néolithique
1	651	16				YV0029	silex			Préhistoire Protohistoire indéterminée
1	652	16				YV0029	silex			Préhistoire Protohistoire indéterminée
1	656	15				YV0029	silex		Nucléus sur éclat épais, de petits éclats, débitage multifacial à partir d'un PF lisse face inf, direct expédient	Paléolithique supérieur à Néolithique
1	657	16				YV0029	silex			Préhistoire Protohistoire indéterminée
1	658	16				YV0029	silex			Préhistoire Protohistoire indéterminée
1	684	15				YV0029	micaschiste	bloc	Bloc de micaschiste avec des pseudos traces d'enlèvements possibles latérales, un façonnage des bords qui transforme ce fragment en une forme générale losangique?	
1	685	17		112		YV0029	schiste		fragment de schiste irrégulier peu épais, section trapézoïdale arrondie ou émoussée, bord légèrement concave (sub-circulaire) avec une encoche et une pseudo-encoche et l'autre bord légèrement arrondi (poli?)	Néolithique ancien ?
1	687	17				YV0029	schiste		fragments de schiste irrégulier peu épais	
1	689	17				YV0029	schiste		fragment de schiste irrégulier peu épais	
1	691	17				YV0029	schiste		fragment de schiste irrégulier peu épais	
1	692	17				YV0029	schiste		fragments de schiste irrégulier peu épais	
1	694	17				YV0029	schiste		fragment de schiste irrégulier peu épais	
1	695	17				YV0029	schiste		fragment de schiste irrégulier peu épais	
1	696	17				YV0029	schiste		fragments de schiste irrégulier peu épais	
1	697	17				YV0029	schiste		fragments de schiste irrégulier peu épais	
1	698	17				YV0029	schiste		fragments de schiste irrégulier peu épais	
1	699	17				YV0029	schiste		fragments de schiste irrégulier peu épais	
2	321	16				YV0029	silex	éclat	Eclat d'entretien, réfléchi partiellement cortical avec plusieurs enlèvements sur la face sup., et à section irrégulière. Rectification du plan de frappe ou éclat latéral ?	Préhistoire Protohistoire indéterminée

US	Lot	Caisse	Fait	Isolat	num_ individu	Ca- dastre	Matière	Type	Description	Datation
2	323	15		74		YV0029	silex	lame	Fragment distal d'une grande lame rectiligne régulière, à section trapézoïdale, issu d'un débitage laminaire ordinaire, crête latérale, partiellement néocorticale, retouchée, en partie distale : retouches profondes en grattoir frontal, et latéralement : retouches directes régulières sur bord latérale gauche et partielles inverses sur bord latéral droit pour emmanchement possible. Grande lame du Grand-Pressigny ou "poignard".	Néolithique final
2	324	15		57		YV0029	silex	lame	Lame de hache polie de forme triangulaire et à section ovale (talon), avec un tranchant arrondi et élargi (largeur max. 58 mm). Largeur du talon : 18 mm. Les surfaces latérales du tranchant présentent possiblement des plages surpolies?	Néolithique moyen 1
2	325	15		53		YV0029	silex	lame	Fragment mésial de lame régulière large rectiligne à profil trapézoïdal.	Paléolithique supérieur à Néolithique
2	326	16		110		YV0029	silex	éclat	Eclat cortical légèrement réfléchi de préparation de bloc, déchet de débitage avec traces d'utilisations sur le bord latéral gauche post-patine : reprise d'un éclat plus ancien? Opportunisme.	Néolithique ancien-moyen
2	327	16		116		YV0029	silex	casson	Déchet de taille de grandes dimensions, fragment de bloc présentant des fractures et diaclases diverses.	Préhistoire Protohistoire indéterminée
2	329	16				YV0029	silex	éclat	Petit éclat épais à talon large dièdre néocortical, débitage centripète, à retouches directes irrégulières très profondes type scalariformes : pièce denticulée?	Paléolithique moyen
2	330	15		48		YV0029	silex	éclat laminaire	Fragment proximal d'un éclat laminaire large latéral de flanc, partiellement néocortical, et réfléchi, profil rectiligne et bords droits, à talon large et bulbe diffus et lèvre diffuse, présentant quelques d'utilisations latérales et une fracture médiane type burinante directe oblique en partie mésiale.	Paléolithique moyen
2	331	15		61		YV0029	silex	lame	Fragment distal d'un éclat laminaire large rectiligne à section triangulaire, montrant un débitage laminaire bipolaire en face sup., et présentant des retouches d'utilisation et inverses marginales peu profondes bilatérales et régulières semi-abruptes en partie distale. Lame utilisée ou pièce "appointée"?	Paléolithique supérieur à Néolithique
2	335	15		44		YV0029	silex	lame	Fragment proximal d'une lame irrégulière fine à profil rectiligne, section trapézoïdale, au talon façonné, lèvre proéminente et large esquille bulbaire, avec des enlèvements unipolaires antérieurs sur la face sup., présentant des traces d'utilisations bilatérales et une fracture oblique avec coche mésiale.	Néolithique ancien-moyen
2	336	15				YV0029	silex	éclat	Eclat court, large, épais et irrégulier, talon dièdre large (percussion pierre dure), présentant des retouches profondes irrégulières principalement directes bilatérales, parfois écailleuses, mais avec un tranchant fonctionnel qui semble déjeté latéral gauche. Racloir type Quina? racloir déjeté ou double convergent sur pointe pseudo-Levalloise	Paléolithique moyen
2	337	15		114		YV0029	silex	lame	Fragment distal, presque entier d'une lame à crête irrégulière, épaisse, courbe, à talon fracturé, présentant plusieurs retouches burinantes droites consécutives sur le talon et sur la face ventrale qui a entraîné des fractures de l'arête.	Paléolithique moyen à Néolithique

US	Lot	Caisse	Fait	Isolat	num_ individu	Ca- dastre	Matière	Type	Description	Datation
2	338	15				YV0029	silex	éclat	Eclat entier de débitage épais irrégulier partiellement cortical, talon fracturé, avec reprise en nucléus lamellaire opposé sur face sup., mais avec préparation de PF façonné et de crêtes latérales, et 2 enlèvements réfléchis, puis abandon.	Paléolithique supérieur à Néolithique
2	339	15		73		YV0029	silex	lame	Grande lame large et épaisse rectiligne, à section trapézoïdale, soit de 1ère intention issu d'un débitage laminaire ordinaire, soit opportuniste issu d'un "nucléus plat", présentant des retouches directes régulières bilatérales et distale frontale, avec présence d'une coche.	Néolithique final
2	340	15		97		YV0029	silex	lame	Grande lame large de réfection latérale (issue d'un débitage laminaire, nucléus plat) épais à profil légèrement convexe, présentant une double-encoche symétriques, un bord non retouché et à l'opposé, un bord convexe denticulé avec des retouches directes profondes régulières.	Néolithique final
2	341	15				YV0029	silex	éclat laminaire	Grande lame irrégulière épaisse de forme générale ogivale, légèrement réfléchi, à section irrégulière présentant une mise en forme centripète ou convergente sur la face sup? Talon large lisse avec une corniche abrasée, avec des retouches scalariformes et coches bilatérales sur des bords convexes, fracturée en partie distale. Couteau de Chatelperron ?	Paléolithique supérieur
2	342	15		67		YV0029	silex	éclat	Fragment proximal d'un éclat large et épais, partiellement cortical, talon déjeté par rapport à l'axe morphologique de l'outil, amincissement du bulbe, bords convexes, arêtes sinueuses, présente des retouches profondes rasantes scalariformes bifaciales, convergentes et asymétriques. La face sup est convexe avec présence diaclase naturelle et contre-bulbes discrets, et la face inf plane avec contre-bulbes marqués : fragment basal d'un biface cordiforme assez grossier, sans doute retouché postérieurement en encoche sur la base par retouches irrégulières directes. biface / outil réutilisé en coche?	Paléolithique moyen
2	343	16				YV0029	silex	éclat	Petit éclat large irrégulier de débitage centripète ou "éclat oblique" désaxé, réfléchi, à talon dièdre, présentant quelques retouches inverses sur un tranchant court et convexe. Raclor châtelperronien?	Paléolithique moyen à supérieur
2	346	15				YV0029	silex	éclat	Pointe pseudo-Levalloise (issue d'un débitage récurrent) et utilisée brute bilatérale	Paléolithique moyen
2	347	16				YV0029	silex	éclat laminaire	Fragment distal d'un petit éclat fracturé indéterminé irrégulier, microlithe obtenu par la technique du microburin et retouché par retouches abruptes latéralisées à droite : trapèze asymétrique à troncature oblique.	Mésolithique à Néolithique ancien
2	348	15				YV0029	quartz	galet	Petit galet de quartz gris avec tentatives de 3 enlèvements minimum, plan de frappe direct sur une face large, fracturation, puis abandon	Préhistoire Protohistoire indéterminée
2	349	15				YV0029	silex	lame	Fragment proximal de lame large épaisse rectiligne à section triangulaire tronquée en partie médiane, avec des traces d'utilisation bilatérales, talon large-lisse	Néolithique ancien-moyen
2	350	16				YV0029	silex	éclat	Eclat entier partiellement cortical réfléchi d'entretien latéral de débitage (maintien des convexités latérales) ou de PF, talon large lisse, avec des retouches abruptes inverses ou d'utilisation latérales.	Préhistoire Protohistoire indéterminée
2	351	16				YV0029	silex	éclat	Fragment partiel d'éclat réfléchi épais d'entretien.	Préhistoire Protohistoire indéterminée

US	Lot	Caisse	Fait	Isolat	num_ individu	Ca- dastre	Matière	Type	Description	Datation
2	352	15		52		YV0029	silex	éclat	Grand éclat large débordant, mince à talon dièdre présentant des enlèvements unipolaires convergents sur la face sup. avec une corniche fracturée, éclat de débitage, retouché en partie distale et latérale puis fracturée de manière discontinue formant des coches. Retouches directes et traces d'utilisation d'un racloir convexe simple.	Paléolithique moyen
2	353	15		40		YV0029	silex	éclat	Petit éclat kombewa triangulaire (pseudo Levallois) irrégulier aminci en partie proximal par des retouches inverses, puis des traces d'utilisation directes lat. gauche, possible petit racloir déjeté?	Paléolithique moyen
2	354	15		32		YV0029	silex	éclat	Eclat triangulaire large, à talon large lisse oblique, présentant des enlèvements unipolaires convergents sur la face sup. , "pointe pseudo-Levallois" caractéristique, fracturée en partie distale, mais avec de légères traces d'utilisation unilatérales obliques formant un tranchant long convexe fracturé obliquement en partie distale	Paléolithique moyen
2	355	15		30		YV0029	silex	éclat	Eclat laminaire, à talon large lisse oblique présentant des enlèvements unipolaires convergents sur la face sup. , fracturée en partie distale, mais avec de légères traces d'utilisation bilatérales, lat gauche déjeté, ayant esquiller les bords et entraîner une fracture oblique mésiale de cette pointe moustérienne allongée?	Paléolithique moyen
2	356	15		20		YV0029	silex	éclat	Eclat issu d'un débitage centripète, large et épais, à talon large lisse oblique, légèrement désaxé-déjeté, présentant des retouches profondes et scalariformes directes bilatérales type Quina , avec une fracture oblique distale, et une fracture lat. gauche, formant un tranchant double convergent. Racloir double convergent à retouches soignées.	Paléolithique moyen
2	357	15		58		YV0029	silex	éclat laminaire	Eclat laminaire irrégulier épais, de forme générale ogivale, à section triangulaire, à talon large lisse oblique, présentant des enlèvements convergents unipolaire sur la face supérieur, et retouches marginales inverses et une fracture oblique en partie mésiale : pointe sur éclat laminaire non retouchée, utilisée brute?	Paléolithique moyen
2	358	15		28		YV0029	silex	lame	Lame irrégulière épaisse de flanc, à talon large façetté légèrement déjeté, large esquille bulbaire, de section trapézoïdale, présentant des enlèvements latéraux orthogonaux et une surface néocorticale lisse, et des retouches partielles directes bilatérales et une coche pour troncature droite mais fracturé en partie mesiale.	Paléolithique moyen
2	359	16		25		YV0029	silex	casson	Petit fragment de casson épais, déchet de débitage ind.	Préhistoire Protohistoire indéterminée
2	360	16		43		YV0029	silex	casson	Petit fragment de casson, déchet de débitage ind.	Préhistoire Protohistoire indéterminée
2	361	16		26		YV0029	silex	casson	Petit fragment de casson, déchet de débitage ind.	Préhistoire Protohistoire indéterminée
2	362	16		91		YV0029	silex	éclat	Eclat entier épais irrégulier de flanc (maintien des convexités latérales) réfléchi, de mise en forme ou de débitage, partiellement cortical, talon large lisse concave.	Mésolithique à Néolithique
2	363	16				YV0029	silex	éclat	Eclat entier épais irrégulier de flanc semi cortical, réfléchi.	Préhistoire Protohistoire indéterminée

US	Lot	Caisse	Fait	Isolat	num_ individu	Ca- dastre	Matière	Type	Description	Datation
2	364	16				YV0029	silex		Eclat mince ind. forme ovulaire = cupule de gel probable. Naturel, non taillé.	Indéterminée
2	370	15		42		YV0029	silex	éclat	Déchet de taille de grandes dimensions, fragment d'éclat épais cortical présentant des retouches scalariformes et profondes bilatérales et en partie proximale (talon), de forme ogivale, typologiquement : type particulier de racloir convergent ou limace moustérienne?	Paléolithique moyen
2	371	15		5		YV0029	silex		Fragment distal de lamelle ou éclat laminaire à section trapézoïdale, présentant des enlèvements unipolaires sur la face sup. et grande transformation du support, avec des retouches abruptes et semi-abruptes continues lat. gauche formant un dos courbe et une retouche irrégulière ou fractures lat. droit : armature percante microlithe à dos courbe, dite pointe de flèche "azilienne"?	Epipaléolithique
2	372	15		85		YV0029	silex	lame	Petite lame régulière courte légèrement réfléchi, à section triangulaire, et talon façonné-punctiforme, présentant des retouches esquillées inverses lat. gauche (amincissement) et des retouches abruptes directes lat. droit ainsi qu'un léger "poli" sur l'arête latérale convexe.	Néolithique
2	374	15		86		YV0029	silex	éclat	Eclat large et épais, partiellement néocortical, talon déjeté par rapport à l'axe morphologique de l'outil, base néocorticale, bords droits, arêtes régulières, présente des retouches profondes rasantes et envahissantes régulières bifaciales, convergentes symétriques, extrémité distale arrondie déjetée. La face inf est convexe avec présence de fissures naturelles et contre-bulbes très discrets, et la face sup est plane avec contre-bulbes un peu marqués et diaclose conservée : biface ovulaire.	Paléolithique moyen
2	375	15		132		YV0029	silex	lame	Fragment proximal de lame régulière large à section trapézoïdale, talon large lisse oblique fracturé, bulbe proéminent, avec traces d'enlèvements allongés en face sup. et corniche "en éperon".	Paléolithique supérieur à Néolithique
2	376	15				YV0029	silex	éclat	encoche ou denticulé sur éclat Levallois	Paléolithique moyen
2	377	16				YV0029	silex	lame		Préhistoire Protohistoire indéterminée
2	386	15		106		YV0029	silex	éclat	Eclat large et épais partiellement néocortical à talon large lisse, présentant des enlèvements centripètes sur la face sup., des retouches profondes directes régulières formant, par une arête sinueuse, un grattoir frontal sur 3 bords, à front débordant ?	Paléolithique supérieur à Néolithique
2	389	16		77		YV0029	silex	éclat	Petit éclat réfléchi, de réactivation d'un PF, enlèvements sur la face sup et néocortex jaunâtre.	Néolithique ancien-moyen
2	391	16				YV0029	silex			Préhistoire Protohistoire indéterminée
2	392	15		107		YV0029	silex	éclat	Fragment proximal d'un éclat laminaire ou lamelle à section triangulaire, talon fracturé, bulbe proéminent, présentant deux encoches latérales et une fracture oblique en partie mésiale, obtenu par la technique du micro-burin.	Epipaléolithique à Néolithique ancien
2	394	15		115		YV0029	silex	casson	Déchet de taille épais, nucléus multidirectionnels pour obtention de petites modules, lamelles? Ou petits éclats vanat abandon, débitage directe expédient ur des surface lisse, beaucoup de fractures et d'accidents. nucléus à lamelle?/éclats.	Paléolithique supérieur à Néolithique

US	Lot	Caisse	Fait	Isolat	num_ individu	Ca- dastre	Matière	Type	Description	Datation
2	395	15		76		YV0029	silex	éclat	Eclat large et épais, semi-néocortical à talon large lisse réutilisé en face inférieure comme nucléus à éclats courts et fins, débitage expédient à séquence courte, alternée transverse, corniche en éperon et préparation de 2 PF lisses. Opportunisme. Nucléus à éclats.	Néolithique ancien-moyen
2	396	16				YV0029	silex	éclat	Fragment d'un petit éclat laminaire à section triangulaire, très thermofracté, peu lisible, à talon large lisse d'entretien d'une convexité latéral?	Paléolithique supérieur à Néolithique
2	397	15				YV0029	silex	galet	Petit nucléus sur galet débitage lamino-laminaire semi-tournant bipolaire, sur enclume.	Paléolithique supérieur à Néolithique
2	411	15		108		YV0029	silex	éclat	Fragment mésial d'un éclat fin irrégulier à section irrégulière, portant des enlèvements transverses sur la face sup : éclat de réavivage de PF?	Paléolithique supérieur à Néolithique
2	412	15		47		YV0029	silex	lame	Fragment proximal d'une petite lame de flanc, à section trapézoïdale, talon façonné, enlèvements antérieurs unipolaires et transversaux	Paléolithique supérieur à Néolithique
2	413	15		87		YV0029	silex	éclat	Eclat large et épais montrant un débitage laminaire semi-tournant sur nucléus pyramidal très émoussé et patiné, retourné puis repris en prénucléus pour un autre débitage, traces de quelques enlèvements d'éclats laminaires opposés à partir de la face inf. de l'éclat, fracturés, diaclases interne, d'où abandon. Second emploi du nucléus très expédient et opportuniste. Nucléus laminaire repris.	Néolithique ancien-moyen
2	414	16		96		YV0029	silex	éclat	Petit éclat de réavivage de PF, irrégulier, fin, partiellement cortical, légèrement courbe, talon punctiforme	Préhistoire Protohistoire indéterminée
2	415	15		60		YV0029	silex	lame	Fragment proximal d'une lame d'entretien irrégulière, profil courbe, présentant des enlèvements allongés bipolaires sur la face sup., une corniche fracturée, un talon linéaire oblique avec une lèvre proéminente et fracture-diaclase due à la matière, qui présente une retouche profonde inverse lat. gauche, des traces d'utilisation marginales bi-latérales et une fracture oblique sur coche en partie mésiale. Opportunisme.	Paléolithique supérieur à Néolithique
2	416	16		122		YV0029	silex	casson	Fragment épais irrégulier semi-cortical avec des traces d'enlèvements antérieurs.	Préhistoire Protohistoire indéterminée
2	418	16		54		YV0029	silex	bloc	Fragment d'un gros bloc nodulaire débité, avec débitage direct d'éclats multidirectionnels, de nombreux enlèvements d'éclats et de préparation de PF, et de nombreuses fractures et diaclases internes, notamment sur une surface large de débitage fracturée, ce qui a entraîné son abandon. Débitage expédient d'éclat ou laminaire? Prénucléus?	Paléolithique moyen à Néolithique
2	419	15		51		YV0029	silex	éclat	Grand racloir convergent sur éclat très épais, largement cortical, talon large lisse-oblique déjeté par rapport à l'axe de la pièce. Eclat façonné à retouches irrégulières envahissantes, ou éclat de mise en forme centripète d'un nucléus retouché en racloir à arête sinueuse? Les retouches sont régulières directes, profondes à envahissantes, quelques retouches inverses notamment sur la pointe dégagée et des détachements latéraux perpendiculaires évoquent la possibilité d'une ébauche de biface non aboutie à cause de l'épaisseur de la pièce? Racloir double convergent ou ébauche de biface?	Paléolithique moyen

US	Lot	Caisse	Fait	Isolat	num_ individu	Ca- dastre	Matière	Type	Description	Datation
2	420	15		92		YV0029	silex	lame	Fragment proximal d'une petite lame de flanc régulière, profil légèrement courbe, à talon large lisse oblique déjeté fracturé, présentant un débitage laminaire unipolaire semi-tournant.	Paléolithique supérieur à Néolithique
2	421	15		72		YV0029	silex	lame	Eclat laminaire irrégulier large, de flanc, débordant, à section trapézoïdale, talon large-lisse-oblique fracturé et large esquille bulbair, aux bords irréguliers, avec un débitage unipolaire tournant sur la face sup et présentant des retouches postérieures à la patine, directes régulières lat. gauche et un enlèvement large inverse en partie distale : pièce amincie. Opportunisme? Outil a posteriori en remploi.	Néolithique ancien-moyen
2	426	15		69		YV0029	silex	casson	Fragment épais large d'un possible éclat gélif fracturé, fortement patiné et présentant sur un de ses bords rectilignes, un tranchant réalisé par une retouche régulière directe unipolaire rasante à envahissante (plate ?) à la percussion tendre organique. Possible ébauche couteau ? opportunisme support.	Paléolithique supérieur
2	427	16		65		YV0029	silex	casson	Fragment d'un petit éclat très épais irrégulier partiellement cortical d'entretien retouché de manière marginale avec des retouches semi-abruptes directes sur la fractures mésiale ou en utilisation directe? Très opportuniste.	Néolithique ancien-moyen
2	430	15				YV0029	silex	éclat	Eclat cortical : grattoir à museau	Paléolithique supérieur
2	431	15				YV0029	silex		Prénucléus , tentative éclats courts, débitage direct semi-tournant à partir d'un PF lisse	Paléolithique supérieur à Néolithique
2	432	15				YV0029	silex		Nucléus pyramidal à lamelles	Epipaléolithique à Mésolithique
2	448	15		89		YV0029	silex	éclat	Fragment d'éclat ovalaire partiellement cortical (de flanc d'un débitage unipolaire?), à talon large-lisse et bulbe proéminent, présentant une fracture latérale gauche et des traces d'utilisation ou retouches semi-abruptes directes régulières sur la tranche lat. droit : raclette?	Préhistoire Protohistoire indéterminée
2	449	15		117		YV0029	silex	éclat	Eclat épais de rectification de table laminaire, possiblement bipolaire (?), PF lisse avec abrasion de la corniche pour l'obtention des produits laminaires sur la face sup., à talon large lisse, petite lèvre et esquille bulbair.	Paléolithique supérieur
2	450	16				YV0029	silex			Préhistoire Protohistoire indéterminée
2	451	16				YV0029	silex			Préhistoire Protohistoire indéterminée
2	454	16				YV0029	silex			Préhistoire Protohistoire indéterminée
2	455	16				YV0029	silex			Préhistoire Protohistoire indéterminée
2	460	15		113		YV0029	silex	bloc	3 fragments d'un possible unique bloc, débités de manière multidirectionnelle, enlèvements de grands éclats corticaux sur l'un, débitage d'éclats (allongés?) en débitage semi-tournant alterné sur la face sup. d'un gros éclat, présentant de nombreux réfléchissements, et un débris de taille. Débitage sur place? pas de produits, d'outils ou d'autres déchets. Nucléus à éclats	Paléolithique moyen à Néolithique

US	Lot	Caisse	Fait	Isolat	num_ individu	Ca- dastre	Matière	Type	Description	Datation
2	464	15		18		YV0029	silex	éclat	Petit éclat épais à talon retouché aminci, présentant des enlèvements bipolaires sur la face sup, et des retouches régulières directes et abruptes lat. droit et sur la pointe. Base amincie avec des retouches allongées sur le talon en face inf. Petite pointe moustérienne fracturée lat. gauche puis retouchée et réutilisée telle quelle semble-t-il? Economie du silex ?	Paléolithique moyen
2	465	15		21		YV0029	silex	éclat	Fragment mésial d'un éclat irrégulier épais, à section irrégulière formant un pseudo-trapèze non retouché, avec des pseudos-retouches et encoches bilatérales, dimensions larges et épaisses pour un microlithe. Préforme de trapèze avec la technique Sublaines ?	Hypothétique
2	466	16				YV0029	silex			Préhistoire Protohistoire indéterminée
2	467	15		46		YV0029	silex	éclat laminaire	Fragment proximal d'un large éclat laminaire épais de section rectiligne, bords irrégulier, d'entretien du débitage (surface de débitage convexe avec enlèvements réfléchis successifs et nombreux accidents de la table) partiellement cortical latéralement, présentant un talon large dièdre, une large esquille bulbaire en face inf., et des enlèvements d'éclats allongés bipolaires sur la face sup. Eclat de tranche de nucléus dans une gestion tournante alternée?	Paléolithique moyen
2	468	15		35		YV0029	silex	éclat laminaire	Grand éclat laminaire épais à tendance laminaire large, irrégulier, à talon large-lisse oblique, enlèvements précédents bipolaires en face sup., présentant des traces d'utilisation latérales, des micro-denticulations (semi-abruptes) et une fracture mésiale dûe à deux coches symétriques latérales, dont l'une semble avoir subi le feu.	Paléolithique moyen à Néolithique
2	472	15		78		YV0029	silex	bloc	Petit nucléus à éclats, débitage convergent unipolaire alterné d'éclats "débordants", sur une table plate, fracturée, et angulation trop pointue pour continuer sans remise en forme : méthode Levallois récurrente unipolaire? Puis reprise du nucléus sur la tranche latérale en mode direct à partir de la face sup, et sur l'ancien PF, d petits enlèvements courts en mode semi-tournant, essai d'enlèvements de petits éclats réfléchis successifs, fracturation mais aussi enlevant la forte patine blanche et laissant apparaître le silex gris pur du dessous. Opportunisme et expédient sur nucléus plus ancien, paléo moyen. Nucléus à éclats, repris.	Néolithique ancien-moyen
2	475	16		63		YV0029	silex	éclat	Fragment distal d'un gros éclat épais irrégulier de décorticage, portant sur sa face sup 1 ou 2 enlèvements antérieurs	Préhistoire Protohistoire indéterminée
2	477	16				YV0029	silex	lame	Lame large bipolaire	Paléolithique supérieur à Néolithique
2	491	15		66		YV0029	silex	éclat	Eclat large et épais réfléchi, talon large façonné oblique, présentant des sur la face sup. des enlèvements unipolaires centripètes type Levallois, et des traces d'utilisation sur les trois bords. Opportunisme	Paléolithique moyen
2	492	15		70		YV0029	silex		Nucléus débitage lamino-lamellaire semi-tournant régulier, avec création d'un PF secondaire opposé, abando dû à de nombreux réfléchissements et fractures sur la table.	Paléolithique supérieur
2	493	16				YV0029	silex			Préhistoire Protohistoire indéterminée

US	Lot	Caisse	Fait	Isolat	num_ individu	Ca- dastre	Matière	Type	Description	Datation
2	503	16		90		YV0029	silex	éclat	Fragment proximal d'éclat cortical épais et irrégulier, à talon naturel large.	Préhistoire Protohistoire indéterminée
2	504	16		71		YV0029	silex	casson	Petit fragment de casson épais, déchet de débitage ind.	Préhistoire Protohistoire indéterminée
2	505	16		118		YV0029	silex	éclat	Petit éclat épais réfléchi, partiellement néocortical, de préparation de plan de frappe, à talon large lisse-oblique.	Préhistoire Protohistoire indéterminée
2	506	16				YV0029	silex			Préhistoire Protohistoire indéterminée
2	507			75		YV0029	silex		à annuler!	Préhistoire Protohistoire indéterminée
2	508	16				YV0029	silex			Préhistoire Protohistoire indéterminée
2	509	15				YV0029	silex		grattoir caréné	Paléolithique supérieur à Néolithique
2	526	16		80		YV0029	silex	éclat	Gros éclat épais réfléchi semi-cortical d'entretien, à talon large lisse présentant des traces d'utilisation type denticulés directes en partie distale et des retouches marginales inverses et burinantes latéral gauche formant une pointe émoussé sur support court épais. Opportunisme.	Paléolithique moyen à Néolithique
2	528	16		84		YV0029	silex	casson	Gros casson épais partiellement cortical présentant des traces d'enlèvements, multifracturés.	Préhistoire Protohistoire indéterminée
2	535	15		121		YV0029	silex	éclat laminaire	Fragment mésial d'un éclat laminaire rectiligne aux bords convexes réguliers, de flanc avec présence d'enlèvements transversaux latéraux sur la face et qui présente des retouches directes semi-abruptes lat. droit, peut être bilatérales, fracturé en partie distale, proximale et latérale.	Néolithique
2	536	16	16			YV0029	silex			Préhistoire Protohistoire indéterminée
2	543	16				YV0029	silex			Préhistoire Protohistoire indéterminée
2	544	16				YV0029	silex			Préhistoire Protohistoire indéterminée
2	554					YV0029	silex			Préhistoire Protohistoire indéterminée
2	557	16		120		YV0029	silex	casson	Fragment de silex très émoussé, d'un ancien débitage, partiellement cortical et de forme générale épaisse allongée appointée, repris ensuite avec des retouches profondes directes bilatérales et inverse sur la pointe, puis arrêt. Ebauche? Opportunisme. Ebauche de pointe épaisse? Ou de perçoir?	Paléolithique moyen à Néolithique
2	561	15				YV0029	silex			Préhistoire Protohistoire indéterminée
2	562	15				YV0029	silex	éclat	nucléus à lamelles sur éclat épais expédient	Paléolithique supérieur à Néolithique

US	Lot	Caisse	Fait	Isolat	num_ individu	Ca- dastre	Matière	Type	Description	Datation
2	575	15		134		YV0029	silex	lame	Fragment proximal d'une lame épaisse irrégulière d'entretien du débitage, à section trapézoïdale et à talon large lisse oblique et au bulbe haut, conique, avec grande esquille bulbairé présentant des retouches directes et inverses bilatérales et frontal ur la fracture oblique mésiale, ainsi que des enlèvements d'amincissement face inf. sur la partie proximale. Lame faucille?	Néolithique ancien-moyen
2	576	16				YV0029	silex			Préhistoire Protohistoire indéterminée
2	577	15		130		YV0029	silex	lame	Fragment proximal d'une petite lame à section triangulaire, talon façetté en éperon, bulbe diffus, lèvres, issu d'un débitage unipolaire, et présentant des traces d'utilisation régulières et des micro-fractures burinants longitudinales lat. droit, et des retouches semi-abruptes à micro-denticulations lat. gauche sur un petit tranchant convexe, fracturée en partie distale : faucille droite avec talon ? Pas de trace de lustré macroscopiquement évident.	Néolithique ancien-moyen
2	578	15		127		YV0029	silex	éclat	Eclat plat fin rectiligne irrégulier, talon fracturé, partiellement diaclasé, montrant des enlèvements courts centripètes sur la face sup. et des esquillements sur le talon.	Paléolithique moyen à Néolithique
2	587	16				YV0029	silex			Préhistoire Protohistoire indéterminée
2	588	16				YV0029	silex			Préhistoire Protohistoire indéterminée
2	589	15		105		YV0029	silex	éclat	Eclat épais cortical avec des enlèvements larges aux contrebulbes marqués sur les deux faces, plus accentuée sur la face inférieure "aplaniée" par de grands enlèvements convergents alternés, et surface convexe en face sup., bords sinueux presque denticulés, poèce bifaciale : pointe émoussée et piquetée en partie distale avec nombreuses traces de percussion et patine jaunâtre, rectification du talon par "coup de tranchet" inverse	Néolithique
2	590	15				YV0029	silex		nucléus Levallois unipolaire récurrent "débordant"	Paléolithique moyen
2	592	15		45		YV0029	silex	éclat	Fragment proximal d'un éclat irrégulier transversal, partiellement néocortical, talon punctiforme déjeté, avec partie de PF lisse o-oblique, traces d'enlèvements d'éclats convergents ou débitage discoïde avec négatifs de bulbes prononcés.	Paléolithique moyen
2	593	16				YV0029	silex			Préhistoire Protohistoire indéterminée
2	595	16		49		YV0029	silex	éclat	Fragment distal d'un éclat irrégulier épais d'entretien, peu lisible.	Préhistoire Protohistoire indéterminée
2	596	15		56		YV0029	silex	éclat	Fragment proximal d'un éclat épais patiné plus ancien, à enlèvements convergents type Levallois en face sup, repris en nucléus en face inf., morphologie sub-pyramidal, débitage semi-tournant à tournant de lamelles ou éclats courts fins allongés, débitage expédient direct depuis la face sup concave, sans aménagement de PF. Réemploi, opportunisme MP. Séquence courte, abandon rapide, car fractures internes. Nucléus à lamelle?/éclats.	Paléolithique supérieur à Néolithique ancien-moyen

US	Lot	Caisse	Fait	Isolat	num_ individu	Ca- dastre	Matière	Type	Description	Datation
2	597	15		29		YV0029	silex	lame	Petite lame de flanc régulière partiellement corticale, section triangulaire et profil légèrement courbe, talon large lisse oblique avec bulbe diffus, présentant un débitage laminaire unipolaire et éclats convergents sur la face sup.	Paléolithique moyen à Néolithique
2	598	15		19		YV0029	silex	éclat laminaire	Fragment distal d'un éclat laminaire étroit à profil rectiligne aux bords irréguliers, à section triangulaire avec des retouches régulières directes écailleuses à lamellaires rasantes sur bord lat. droit formant un tranchant droit et laissé naturel avec quelques traces d'utilisation lat. gauche et fracture droite en partie mésiale.	Paléolithique supérieur
2	599	15		27		YV0029	silex	bloc	Nucléus à éclats sur petit bloc émoussé, avec une préparation de plan de frappe unipolaire, une préparation centripède bilatérale avec mise en forme d'une table plate de débitage, pour l'obtention d'un éclat Levallois allongé débordant. Débitage Levallois à éclat préférentiel. Nucléus à éclats.	Paléolithique moyen
2	600	16				YV0029	silex			Préhistoire Protohistoire indéterminée
2	601	16		55		YV0029	silex	casson	Gros fragment de bloc ou éclat épais irrégulier semi-cortical, présentant de larges enlèvements antérieurs sur la face sup., de décortilage. Fragment de nucléus avec une retouche profonde directe marginale en coche. Fracturé en partie distale, proximale, et latérale.	Paléolithique moyen à Néolithique
2	602	15				YV0029	silex	éclat laminaire	Eclat laminaire court à talon dièdre épaisse, à section trapézoïdale, racloir latéral et pièce esquillée en partie distale, reprise en face inf avec des enlèvements plus récents type amincissement : reprise plus récente?	Paléolithique moyen
2	603	15				YV0029	silex	éclat	outil a posteriori, racloir sur éclat large opportuniste	Paléolithique moyen à Néolithique
2	604	16				YV0029	silex			Préhistoire Protohistoire indéterminée
2	605	16				YV0029	silex			Préhistoire Protohistoire indéterminée
2	606	15				YV0029	silex	lame	pièce esquillée sur lame large robuste retouchée, à fracture oblique, talon chauffée.	Néolithique
2	607	16		3		YV0029	silex	éclat	Petit éclat cortical, légèrement courbe, à talon linéaire, fracturé en partie distale.	Préhistoire Protohistoire indéterminée
2	608	15		22		YV0029	silex	lame	Fragment proximal d'une lame large et épaisse à section triangulaire rectiligne, à talon large facetté, lèvre proéminente, large esquille bulbaire, lame de 1ère intention? Présentant un débitage unipolaire convergent sur la face sup., des traces d'utilisation bilatérales formant des micro-coches inverses marginales et une fracture oblique en partie mésiale.	Paléolithique moyen à Néolithique
2	609	16		135		YV0029	silex	éclat	Petit éclat d'entretien latéral, partiellement cortical, avec un talon punctiforme.	Préhistoire Protohistoire indéterminée
2	610	15		111		YV0029	silex	éclat	Petit éclat épais d'entretien latérale de flanc, à talon large-lisse oblique, réfléchi, ayant servi de nucléus à lamelles ? débitage d'éclats très courts fins semi-tournant sur tranche et face sup., les PF sont aménagés ou directs à partir de la face inf. Très petits modules. Débitage expédient et opportunisme direct à la pierre. Nucléus à lamelle?/éclats.	Paléolithique supérieur à Néolithique

US	Lot	Caisse	Fait	Isolat	num_ individu	Ca- dastre	Matière	Type	Description	Datation
2	611	15		88		YV0029	silex	casson	Fragment de bloc indéterminé présentant une double patine avec un débitage direct expédient de petits éclats fins à partir d'un PF lisse concave, sub-pyramidal, très opportuniste, sur déchet de taille. Nucléus à éclats.	Préhistoire Protohistoire indéterminée
2	612	15		59		YV0029	silex	éclat	Fragment proximal d'un éclat irrégulier, à talon large lisse, lèvre et esquille bulbaire prononcée, avec des enlèvements précédents sur la face et une corniche en éperon.	Néolithique ancien-moyen
2	613	16		64		YV0029	silex	éclat	Eclat large et épais réfléchi, de flanc, semi-cortical, à talon large-lisse-oblique présentant des denticulations irrégulières en partie distale, formant un tranchant convexe, dont une coche très marginale due à une certaine pression frontale. Opportunisme.	Paléolithique moyen à Néolithique
2	614	16		23		YV0029	silex	éclat	Eclat large et épais de flanc, semi-cortical, réfléchi, à talon large fracturé.	Préhistoire Protohistoire indéterminée
2	640	16				YV0029	silex			Indéterminée
2	641	16		36		YV0029	silex	éclat	Petit éclat irrégulier cortical, talon large lisse.	Préhistoire Protohistoire indéterminée
2	642	15		126		YV0029	silex	lame	Fragment proximal d'une lame régulière partiellement corticale, rectiligne, bords réguliers droits, talon esquillé avec présence d'enlèvements laminaires unipolaires sur la face sup., fracturée avec coche en partie mésiale.	Paléolithique supérieur à Néolithique
2	650	15				YV0029	silex	lame	Lame appointée, régulière, bords convexes, profil légèrement courbe, talon punctiforme, section triangulaire, montrant un débitage laminaire bipolaire alterné sur la face sup.	Néolithique ancien-moyen
2	659	16				YV0029	silex			Préhistoire Protohistoire indéterminée
2	660	16				YV0029	silex			Préhistoire Protohistoire indéterminée
2	661	16				YV0029	silex			Préhistoire Protohistoire indéterminée
2	688	17				YV0029	schiste		fragment de schiste irrégulier peu épais	
2	690	17				YV0029	schiste		fragments de schiste irrégulier peu épais	
2	693	17				YV0029	schiste		fragments de schiste irrégulier peu épais	
2	704	15		104		YV0029	silex	lame	Eclat laminaire irrégulier épais courbe (de flanc ?) dépassé, partiellement cortical (émoussé), à talon façonné fracturé, section irrégulière et montrant des retouches anciennes patinées directes formant des coches : denticulé. Opportunisme. Eclat ancien repris et retouché lat. droit en pseudo-denticulé?	Paléolithique supérieur à Néolithique
2	705	16				YV0029	silex	lame	lame néocrète	Paléolithique supérieur à Néolithique
16	328	16	3			YV0030	silex	bloc	Gros fragment de bloc ou éclat épais irrégulier semi-cortical, non sphérique, un peu émoussé et présentant de nombreuses traces de percussion sur 2 faces.	Préhistoire Protohistoire indéterminée
27	332	15	25			YV0029	silex	lame	Fragment proximal d'une lame épaisse irrégulière d'entretien du débitage, à section trapézoïdale et à talon large lisse oblique et au bulbe haut, conique, fracturé en face ventrale au niveau du talon, puis en retouche inverses, coup de burin direct et présentant quelques traces d'utilisation latérales.	Paléolithique moyen à Néolithique

US	Lot	Caisse	Fait	Isolat	num_ individu	Ca- dastre	Matière	Type	Description	Datation
77	390	15	66			YV0029	silex		Fragment mésial d'un petit éclat fin, présentant une troncature sur microburin et des enlèvements laminaires unipolaires sur la face supérieure.	Epipaléolithique à Néolithique ancien
81	387	16	69			YV0031	silex	éclat laminaire	Eclat d'entretien de débitage, talon cortical lisse-oblique, sans bulbe marqué, éclat laminaire réfléchi assez régulier, à section triangulaire portant de légères traces d'usures latérales gauche, et un enlèvement plus profonde en partie distale (geste burinant ?). Sur la face supérieure, 2 enlèvements montrant un débitage bipolaire.	Néolithique ancien-moyen
93	473	15	74			YV0029	silex	éclat laminaire	Petit éclat de flanc irrégulier épais fracturé au niveau du talon.	Paléolithique moyen à Néolithique
101	470	15	81			YV0029	silex	éclat	Petit éclat légèrement courbe et réfléchi, section irrégulière, talon punctiforme : tablette de réavivage d'un PF montrant un débitage indirect avec des enlèvements fracturés lamellaires formant une corniche en éperon sur la tranche latéral de l'éclat.	Paléolithique supérieur à Néolithique
101	471	15	81			YV0029	silex	lamelle	Fragment mésial de lamelle rectiligne fine à section trapézoïdale présentant un débitage unipolaire.	Paléolithique supérieur à Néolithique
110	423	15	87			YV0031	silex	lame	Fragment proximal de lame régulière à section triangulaire, de flanc, débitage unipolaire, avec un talon fracturé portant de nombreux enlèvements larges unifacial sur la face inférieure, et des retouches d'utilisation latérales, fracturée en partie mésiale.	Néolithique ancien-moyen
110	501	16	87			YV0031	silex	éclat	Petit éclat épais rectiligne et irrégulier, d'entretien des convexités et rectification tablette de ravivage de PF (dans un débitage multipolaire), au talon large lisse, punctiforme sans bulbe avec large esquille bulbaire. Face supérieure avec enlèvements réfléchis et multiples fracturations et avec une possible encoche latérale gauche.	Néolithique ancien-moyen
184	428	15				YV0031	silex	éclat	Petit éclat courbe de rectification latérale ou de réavivage de plan de frappe, talon punctiforme fracturé avec des traces d'utilisation et une possible coche latérale droit.	Paléolithique supérieur à Néolithique
184	429	16				YV0031	silex	éclat	Petit éclat fin irrégulier, légèrement courbe, présentant une patine antérieure et des enlèvements types burinants sur la face ventrale, dans la partie proximale, talon retouché. Outil fracturé ind.	Paléolithique moyen à Néolithique
254	620	15	189			YV0031	silex	galet	Nucléus semi-cortical, à plan de frappe lisse, nucléus arrivé à exhaustion car multifracturé, tables et corniches inutilisables, diaclases et fissures internes fracturé, débitage semi-tournant possiblement laminaire avec une seule crête latérale et ouverture d'un PF opposé secondaire, réemploi du nucléus en percuteur?	Néolithique ancien-moyen
254	621	15	189			YV0031	silex	casson	Petit fragment de casson thermofracté indéterminé.	Préhistoire Protohistoire indéterminée
254	622	15	189			YV0031	silex	lame	Lame irrégulière de flanc, légèrement courbe, talon large lisse-oblique avec bulbe proéminent micro-fissures, présentant un débitage laminaire semi-tournant et de très nombreux enlèvements directs burinants sur les deux bords opposés en partie distal, réavivé ? Burin double.	Néolithique ancien-moyen
254	623	15	189			YV0031	silex	éclat	Fragment d'un éclat irrégulier néocortical, talon large-lisse oblique avec grande esquille bulbaire et lèvre proéminente.	Néolithique ancien-moyen
254	624	15	189			YV0031	silex	casson	Fragment épais d'éclat ind.	Préhistoire Protohistoire indéterminée

US	Lot	Caisse	Fait	Isolat	num_ individu	Ca- dastre	Matière	Type	Description	Datation
254	625	15	189			YV0031	silex	éclat	Fragment proximal d'éclat réfléchi fracturé, irrégulier, d'entretien d'une corniche fracturée avec enlèvement sur la face inférieure à partir du talon, amincissement ?	Paléolithique moyen à Néolithique
254	626	15	189			YV0031	silex	éclat	Petit éclat de réavivage de PF légèrement courbe irrégulier à talon lisse-oblique ou dièdre déjeté, pas de bulbe, lèvre proéminente, corniche en éperon visible sur le bord.	Néolithique ancien-moyen
254	627	15	189			YV0031	silex	lame	Fragment distal d'une petite lame de flanc régulière, légèrement courbe, à section trapézoïdale présentant un débitage unipolaire sur la face sup.	Paléolithique supérieur à Néolithique
254	628	15	189			YV0031	silex	lame	Fragment mésial d'une lame régulière légèrement courbe latérale à section trapézoïdale, présentant un débitage unipolaire régulier semi-tournant sur la face sup.	Paléolithique supérieur à Néolithique
254	629	15	189			YV0031	silex	éclat	Petit éclat réfléchi, possiblement latéral de maintien d'une convexité sur petit module de nucléus lamellaire, avec un talon lisse oblique déjeté.	Mésolithique_ Néolithique
254	630	15	189			YV0031	silex	éclat	Fragment d'éclat courbe irrégulier fin, avec la corniche fracturée sur l'un des bords.	Préhistoire Protohistoire indéterminée
254	631	15	189			YV0031	silex	casson	Petit fragment indéterminé.	Préhistoire Protohistoire indéterminée
254	632	15	189			YV0031	silex	éclat laminaire	Fragment distal d'un éclat laminaire latéral semi-cortical, à section triangulaire.	Préhistoire Protohistoire indéterminée
254	633	15	189			YV0031	silex	éclat	Petit éclat semi-cortical de décorticage épais et irrégulier, à talon large lisse.	Préhistoire Protohistoire indéterminée
254	634	15	189			YV0031	silex	lamelle	Fragment distal d'une lamelle fine rectiligne irrégulière à section triangulaire, réfléchie.	Paléolithique supérieur à Néolithique
254	635	15	189			YV0031	silex	éclat	Petit éclat réfléchi, possiblement de mise en forme.	Préhistoire Protohistoire indéterminée
254	636	15	189			YV0031	silex	éclat	Petit éclat semi-cortical, possiblement de mise en place de PF, légèrement courbe, talon linéaire.	Préhistoire Protohistoire indéterminée
254	637	15	189			YV0031	silex	lamelle	Petit fragment mésial d'une lamelle fine irrégulière rectiligne.	Paléolithique supérieur à Néolithique
254	638	15	189			YV0031	silex	casson	Petit fragment indéterminé.	Préhistoire Protohistoire indéterminée
254	639	15	189			YV0031	silex	lamelle	Fragment distal de lamelle fine rectiligne à section triangulaire.	Paléolithique supérieur à Néolithique
254	653	15	189			YV0031	silex	lamelle	Petit fragment de lamelle régulière à section trapézoïdale, réfléchie.	Paléolithique supérieur à Néolithique
256	523	15	188			YV0031	silex	lamelle	Fragment distal d'une lamelle régulière fine d'entretien du débitage et à section triangulaire.	Paléolithique supérieur à Néolithique
261	529	16	180			YV0031	silex	éclat	Petit éclat fin irrégulier de maintien d'une convexité latérale ou de maintien d'un PF, talon punctiforme lisse oblique et abrasion corniche avec traces d'enlèvement supérieurs centripètes.	Paléolithique moyen à Néolithique
268	539	15	179			YV0027	silex	éclat	Large éclat partiellement cortical, soit aménagement d'un plan de frappe, soit préparation des convexités latérales d'un nucléus ? Talon large lisse oblique, bulbe marqué.	Paléolithique moyen à Néolithique

US	Lot	Caisse	Fait	Isolat	num_ individu	Ca- dastre	Matière	Type	Description	Datation
320	459	15	220			YV0039	silex	éclat	Remontage de 2 fragments de grands éclats large et irréguliers dont un réfléchi et fracturé, de mise en forme des convexités pour un débitage unipolaire? Talon large lisse oblique à la percussion dure. Ce 2e éclat large est fracturé latéral gauche mais porte quelques traces d'utilisation et des enlèvements directs profonds marginaux lat. gauche. Outil a posteriori opportuniste?	Néolithique ancien-moyen
427	379	15	277			YV0042	silex	éclat	Eclat latéral de flanc, de maintien d'une convexité latéral, de forme triangulaire déjeté et à section irrégulière, avec un talon punctiforme façonné, et une grande esquille bulbaire, présentant des retouches directes profondes en partie distale formant une pointe robuste et fortement émoussée, et peut être aussi des éclats d'amincissement ou des esquilles liées à l'emmanchement sur la partie proximale. Possible travail lié au perçement de bracelets?	Néolithique ancien-moyen
564	594	15	325			YV0042	silex	éclat	Eclat laminaire d'entretien thermofracté et patiné, avec un talon large lisse oblique, punctiforme sans bulbe mais large esquille bulbaire. Face supérieure présentant des enlèvements unipolaires avec fracture mésiale.	Paléolithique moyen
654	481	15	450			YV0036	silex	éclat	Eclat d'entretien de débitage, talon cortical lisse-oblique déjeté, sans bulbe marqué et large esquille, partiellement cortical sur petit nucléus car présentant un entretien bipolaire semi-tournant avec PF secondaire opposé pour maintenir la convexité et des accidents de détachements lamellaires dues à des fractures dans le silex a priori en percussion indirecte	Paléolithique supérieur à Néolithique
654	482	15	450			YV0036	silex	lame	Fragment presque entier proximal et mésial d'une lame régulière légèrement courbe à section trapézoïdale, talon fracturé mais possible-ment linéaire ou punctiforme, corniche abrasée, avec deux encoches latéral gauche, et fracturé par la pelle mécanique bord latéral droit.	Paléolithique supérieur à Néolithique
654	483	15	450			YV0036	silex	lame	Fragment proximal d'une lamelle régulière à section trapézoïdale, corniche abrasée et talon punctiforme, ayant subi un accident silet en partie distale et latérale.	Paléolithique supérieur à Néolithique
654	484	15	450			YV0036	silex	éclat lamellaire	Petite lamelle irrégulière de flanc, à section triangulaire, réfléchi, avec un talon punctiforme, montrant un débitage unipolaire de lamelle et un PF opposé latéral de maintien de convexité	Paléolithique supérieur à Néolithique
654	485	15	450			YV0036	silex	éclat	Fragment proximal d'un éclat large d'entretien de table, talon large lisse, bulbe peu prononcé, indique une gestion multipolaire d'entretien des convexités sur la face supérieure.	Préhistoire Protohistoire indéterminée

US	Lot	Caisse	Fait	Isolat	num_ individu	Ca- dastre	Matière	Type	Description	Datation
655	261	16	450		261-1 261-2 261-3	YV0036	Grès et calcaire	Meule (molette)	Remontage de 2 fragments d'une meule double 261-1 et 261-2 fortement utilisée en "va-et-vient" sur les deux faces. Forme générale ogivale arrondie latéralement. Fracturée, seulement deux fragments, non entière. La mise en forme a été faite par enlèvements réguliers latéraux régularisée par piquetage régulier, les surfaces actives sont planes. L'objet a subi un phénomène de thermofraction légère en face sup. et forte en face inf. (coloration de rosé à rouge-noir). 261-3 : 1 galet ovoïde de calcaire gris rosé probablement travaillé, présentant deux enlèvements anciens sur la face sup. bombée, et surface lisse plate en face inf. : utilisé aussi en molette de friction? avec des traces linéaires profondes sur les tranches : polissoir à rainure? Traitement de la peau? Objet pluri-fonctionnel? Provenances possibles des matières premières locale grès brun, ou possible grès beige du Sud-Berry, St Christophe le Chaudry? ou meulière de St Mars-la-Pile? (d'après comm. orale Boris Robin)	
669	538	15	443			YV0037	silex	éclat laminaire	Fragment proximal d'un éclat laminaire ou lame irrégulière de flanc à section trapézoïdale et talon large lisse concave avec large esquille bulbaire. Fracturation due à la matière car géode cristalline interne.	Paléolithique supérieur à Néolithique
713	586	15	452			YV0035	silex	éclat laminaire	Fragment proximal d'un éclat laminaire ou lame large à section trapézoïdale, talon lisse oblique avec une large esquille bulbaire.	Préhistoire Protohistoire indéterminée
818	654	16	457			YV0036	silex	éclat	Eclat court large réfléchi épais, semi-cortical de mise en forme d'un nucléus, à talon large-lisse.	Préhistoire Protohistoire indéterminée
818	655	16	457			YV0036	silex	éclat	Petit fragment d'éclat épais fortement thermofracté, avec talon large-lisse, fractures et enlèvements sur la face inférieure, peu lisible.	Préhistoire Protohistoire indéterminée
820	422	16	101			YV0031	silex	éclat	Fragment partiel d'un éclat irrégulier court, réfléchi, d'entretien d'une table laminaire, talon dièdre déjeté, fracturé et thermofracté sur le bord latéral droit.	Paléolithique supérieur à Néolithique
824	686	17	268			YV0041	schiste		fragment de schiste irrégulier peu épais	
826	378	15	237			YV0040	silex	éclat laminaire ?	Possible fragment proximal d'un éclat laminaire fortement thermofracté, au talon retouché, présentant des retouches continues semi-abruptes et envahissantes sur deux bords formant une pointe, puis le 3e bord est fracturé, formant peut être un segment ou tranchante dissymétrique?	Néolithique moyen
888	393	15	414			YV0037	silex	lame	Lame de flanc latérale semi-corticale et néo-corticale large et épaisse, à section triangulaire, de mise en place d'un débitage laminaire, talon large lisse oblique, bulbe proéminent.	Paléolithique supérieur à Néolithique
967	556	16	221	83		YV0039	silex	éclat	Grand éclat épais partiellement cortical d'entretien des convexités, enlèvements multipolaires sur la face sup., difficilement lisible car fortement chauffé et fracturé sur les bords et la partie distale. Talon large lisse, bulbe marqué. Peut être quelques retouches profondes régulières formant un front type grattoir mais trop de fractures.	Paléolithique moyen à Néolithique
968	388	16	223			YV0039	silex	éclat	Eclat épais irrégulier fracturé latéralement et en partie distale, talon large lisse oblique sans bulbe, plusieurs enlèvements antérieurs sur la face supérieur, éclat d'entretien. Reprise d'un éclat plus ancien?	Paléolithique supérieur à Néolithique

Fait	US	Individu	N° Os	Caisse	Région anatomique	Identification os	Partie os	Latéralisation os	Etat conservation	NR	Poids (gr.)	Age	Sexe
180	261	1	1	18	07-membre inférieur	03-tibia	07 - 03 - diaphyse indéterminée	Ind.	fragment	1	15	NA	NA
180	261	1	2	18	07-membre inférieur	01-fémur	07 - 01 - partie de la diaphyse entre les trochanters 07 - 01 - fragments	Ind.	fragment	4	35	NA	NA
180	261	1	3	18	04-membre supérieur	01-humérus	04 - 01 - fragment 04 - 01 - partie médiane de la diaphyse (moitié médiale)	Ind.	fragment	2	16	NA	NA
180	261	1	4	18	04-membre supérieur	02-ulna	04 - 02 - fragment 04 - 02 - moitié proximale de la diaphyse	Ind.	fragment	2	3	NA	NA
180	261	1	5	18	11-indéterminé	01-os long indéterminé	11 - 01 - fragment de diaphyse	Ind.	fragment	11	13	NA	NA
180	261	1	6	18	07-membre inférieur 11-indéterminé	01-os long indéterminé	11 - 01 - fragment de diaphyse	Ind.	fragment	5	19	NA	NA

US	Lot	Caisse	Fait	Cadastre	Type	Description	NR total
1	251	13		YV0029	Coquillage		1
1	256	13		YV0029	Coquille d'huitre		1
1	257	13		YV0029	Coquille d'huitre		1
1	320	13		YV0029	Coquille huitre?		2
437	252	13	264	YV0041	Coquillage		24
545	253	13	358	YV0042	Coquille escargot		2
655	258	13	450	YV0036	Coquilles diverses	1 coquille entière de moule d'eau douce ou «Unio» (« ou Unio crassus» . La présence de ce type d'Unionides dans la Loire et ses affluents fournissait une matière première d'unaccès aisé, en particulier à Sublaines située à moins de cinq kilomètres des rives du Cher.» identique à celles retrouvées dans la sep. F1012). Et un autre grand fragment de coquille indéterminée (huitre?), qui semble découpée ou incisée sur l'un des bords?	8
655	701	13	450	YV0036	Coquille huitre		1

Caisse	Type de caisse	Nature du mobilier	Commentaire	Nombre de lots
1	Bac Norme Eur. 20l	CER.	Poterie médiévale et moderne	76
2	Bac Norme Eur. 20l	CER.	Poterie essentiellement antique et/ou proto	28
3	Bac Norme Eur. 20l	T.C.A.	TC et TCA	38
4	Bac Norme Eur. 20l	T.C.A.	TC et TCA	35
5	Bac Norme Eur. 20l	T.C.A.	TC et TCA	28
6	Bac Norme Eur. 10l	MET.	MET fragile et/ou particulier	13
7	Bac Norme Eur. 10l	MET.	MET commun	36
8	Bac Norme Eur. 10l	MET.	Scorie	5
9	Boite Miflex 0,8L	MET.All.Cu.	MET- All. cuivreux	6
10	Boite Miflex 0,8L	MET.Mon.	MET-All. cuivreux - Monnaie	1
11	Bac Norme Eur. 10l	VER.	VER	3
12	Bac Norme Eur. 10l	FAU.	Faune	5
13	Bac Norme Eur. 10l	AUT.	Malaco	8
14	Bac Norme Eur. 20l	CER.	Poterie Néo/Bronze	47
15	Bac Norme Eur. 20l	LIT.	Lithique	190
16	Bac Norme Eur. 20l	LIT.	Lithique (dont petite meule va-et-vient)	175
17	Bac Norme Eur. 10l	LIT.	Lithique - Schiste	15
18	Bac Norme Eur. 10l	HUM.	Restes humains lot 259 - F180 - US 261	

US	Fait	N° prélèvement	Type de prélèvement	But du prélèvement	Résultat datation
2		27	charbon de bois	datation radiocarbone	
39	51	7	charbon de bois	datation radiocarbone	
49	33	26	charbon de bois	datation radiocarbone	
79	64	8	charbon de bois	datation radiocarbone	
82	70	10	charbon de bois	datation radiocarbone	
88	68	9	charbon de bois	datation radiocarbone	
99	82	12	charbon de bois	datation radiocarbone	
101	81	2	charbon de bois	datation radiocarbone	
117	87	14	charbon de bois	datation radiocarbone	592-654 (95,4%) Calibré à 2 sigma
133	86	13	charbon de bois	datation radiocarbone	
138	8	1	charbon de bois	datation radiocarbone	
162	43	6	charbon de bois	datation radiocarbone	
178	80	11	charbon de bois	datation radiocarbone	
254	189	15	charbon de bois	datation radiocarbone	4584 BC-4458 BC (95,4%) Calibré à 2 sigma
261	180	37	Sédiments		
284	165	16	charbon de bois	datation radiocarbone	
295	217	42	charbon de bois	datation radiocarbone	1867-1919 (53,5%) Calibré à 2 sigma
361	236	46	charbon de bois	datation radiocarbone	241-356 (92%) Calibré à 2 sigma
373	257	35	charbon de bois	datation radiocarbone	196 BC-86 BC (86,2%) Calibré à 2 sigma
379	262	29	charbon de bois	datation radiocarbone	361 BC-198 BC (95,4%) Calibré à 2 sigma
403	243	64	Sédiments		
403	242	66	Sédiments		
404	243	65	Sédiments		
404	242	67	Sédiments		
432	287	3			
437	264	32	charbon de bois	datation radiocarbone	536-620 (94,9%) Calibré à 2 sigma
464	321	36	Sédiments		
480	370	4			
516	292	5	Sédiments		
537	358	17	charbon de bois	datation radiocarbone	4851 BC-4728 BC (86,9%) Calibré à 2 sigma
559	325	30	Sédiments		
588	373	38	charbon de bois	datation radiocarbone	
590	376	39	charbon de bois	datation radiocarbone	948-1019 (81,1%) Calibré à 2 sigma
590	376	47	charbon de bois	datation radiocarbone	948-1019 (81,1%) Calibré à 2 sigma
597	381	18	charbon de bois	datation radiocarbone	
597	381	40	charbon de bois	datation radiocarbone	
627	382	19	charbon de bois	datation radiocarbone	1153-1224 (93,2%) Calibré à 2 sigma
627	382	41	charbon de bois	datation radiocarbone	1151-1220 (87,6%) Calibré à 2 sigma
658	411	21	charbon de bois	datation radiocarbone	
669	443	25	charbon de bois	datation radiocarbone	
669	443	52	charbon de bois	datation radiocarbone	427-574 (95,4%) Calibré à 2 sigma
689	240	63	Sédiments		

US	Fait	N° prélèvement	Type de prélèvement	But du prélèvement	Résultat datation
690	240	62	Sédiments		
691	240	49	charbon de bois	datation radiocarbone	361 BC-198 BC (95,4%) Calibré à 2 sigma
727	459	57	charbon de bois	datation radiocarbone	968-1024 (95,4%) Calibré à 2 sigma
727	459	60	Sédiments		
737	466	61	Sédiments		
750	473	58	Sédiments		
757	474	59	Sédiments		
761	470	53	charbon de bois	datation radiocarbone	1154-1258 (95,4%) Calibré à 2 sigma
765	424	23	charbon de bois	datation radiocarbone	
768	511	48	charbon de bois	datation radiocarbone	1277 BC-1121 BC (95,4%) Calibré à 2 sigma
768	511	55	charbon de bois	datation radiocarbone	
779	496	54	charbon de bois	datation radiocarbone	
797	538	56	charbon de bois	datation radiocarbone	26-126 (95,4%) Calibré à 2 sigma
818	457	45	charbon de bois	datation radiocarbone	
822	400	20	charbon de bois	datation radiocarbone	380-434 (76,5%) Calibré à 2 sigma
826	237	34	charbon de bois	datation radiocarbone	
838	153	31	charbon de bois	datation radiocarbone	
849	243	51	charbon de bois	datation radiocarbone	356 BC-284 BC (55,1%) Calibré à 2 sigma
849	242	68	Sédiments		
894	438	24	charbon de bois	datation radiocarbone	
912	498	44	charbon de bois	datation radiocarbone	
923	105	33	charbon de bois	datation radiocarbone	948-1019 (81,1%) Calibré à 2 sigma
967	221	43	charbon de bois	datation radiocarbone	936-996 (59,9%) Calibré à 2 sigma
973	242	50	charbon de bois	datation radiocarbone	231 BC-96 BC (65,9%) Calibré à 2 sigma
976	269	28	charbon de bois	datation radiocarbone	
1024	423	22	charbon de bois	datation radiocarbone	

Lot n°

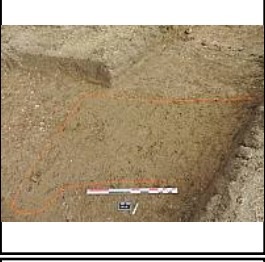


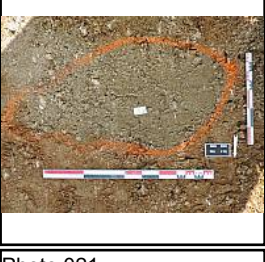
				
Photo 001 Vue du Log 1, Tr.1 - (Silberstein Grégory)	Photo 002 Coupe Sud de F.1 - (Lebrun Christophe)	Photo 003 Plan de F.1 - (Lebrun Christophe)	Photo 004 Coupe Nord de F.4 - (Lebrun Christophe)	Photo 005 Vue oblique de F.4 (Lebrun Christophe)
				
Photo 006 Plan de F.3 - (Lebrun Christophe)	Photo 007 Vue du log 2, Tr.1 - (Silberstein Grégory)	Photo 008 Plan de F.5 - (Lebrun Christophe)	Photo 009 Plan de F.6 et F.7 avant fouille - (Silberstein Grégory)	Photo 010 Plan de F.8 avant (Silberstein Grégory)
				
Photo 011 Coupe Sud de F.7 - (Silberstein Grégory)	Photo 012 Coupe Est de F.6 - (Lebrun Christophe)	Photo 013 Plan de F.6 après fouille - (Lebrun Christophe)	Photo 014 Coupe Sud de F.8 - (Silberstein Grégory)	Photo 015 Vue oblique de F.8 (Silberstein Grégory)
				
Photo 016 Coupe Sud F.9 - (Silberstein Grégory)	Photo 017 Coupe Sud de F.10 - (Lebrun Christophe)	Photo 018 Vue oblique de F.10 et F.11 - (Lebrun Christophe)	Photo 019 Plan de F.11 - (Silberstein Grégory)	Photo 020 Coupe Nord de F.11 (Silberstein Grégory)
				
Photo 021 Plan de F.12 - (Lebrun Christophe)	Photo 022 Vue oblique de F.13 - (Lebrun Christophe)	Photo 023 Plan de F.13 - (Lebrun Christophe)	Photo 024 Plan de F.15 - (Silberstein Grégory)	Photo 025 Coupe Sud de F.15 (Silberstein Grégory)

Photo 026 Plan de F.14 - (Lebrun Christophe)	Photo 027 Coupe Sud de F.14 - (Lebrun Christophe)	Photo 028 Coupe Ouest de F.16 - (Silberstein Grégory)	Photo 029 Coupe Sud de F.16 - (Silberstein Grégory)	Photo 030 Plan de F.16 - (Silberstein Grégory)
Photo 031 Coupe Est de F.3 - (Lebrun Christophe)	Photo 032 Plan de F.17 - (Silberstein Grégory)	Photo 033 Coupe Sud de F.17 - (Silberstein Grégory)	Photo 034 Plan de F18 - (Silberstein Grégory)	Photo 035 Coupe Sud de F.18 - (Silberstein Grégory)
Photo 036 Plan de F.21 avant fouille - (Silberstein Grégory)	Photo 037 Plan de F.19 - (Silberstein Grégory)	Photo 038 Coupe Ouest de F.19 - (Silberstein Grégory)	Photo 039 Plan de F.20 - (Lebrun Christophe)	Photo 040 Coupe Ouest de F.20 - (Lebrun Christophe)
Photo 041 Plan de F.22 - (Silberstein Grégory)	Photo 042 Plan de F.21 après fouille - (Silberstein Grégory)	Photo 043 Coupe Sud de F.21 - (Silberstein Grégory)	Photo 044 Coupe Est de F.21 - (Silberstein Grégory)	Photo 045 Plan de F.23 - (Lebrun Christophe)
Photo 046 Plan de F.24 - (Silberstein Grégory)	Photo 047 Coupe Sud de F.24 - (Silberstein Grégory)	Photo 048 Coupe Est de F.25 - (Lebrun Christophe)	Photo 049 Coupe de F.25 - (Lebrun Christophe)	Photo 050 Plan de F.25 - (Lebrun Christophe)
Photo 051 Plan de F.26 - (Silberstein Grégory)	Photo 052 Coupe Ouest de F.26 - (Silberstein Grégory)	Photo 053 Plan de F.27 - (Silberstein Grégory)	Photo 054 Plan de F.28 - (Silberstein Grégory)	Photo 055 Vue oblique de F.28 - (Silberstein Grégory)

Photo 056 Plan de F.29 - (Lebrun Christophe)	Photo 057 Coupe Sud de F.29 - (Lebrun Christophe)	Photo 058 Vue du log 3, Tr.2 - (Silberstein Grégory)	Photo 059 Vue du log 4, Tr.2 - (Lebrun Christophe)	Photo 060 Plan de F.30 - (Silberstein Grégory)
Photo 061 Vue Est du log 5, Tr.3 - (Silberstein Grégory)	Photo 062 Vue Ouest du log 5, Tr.3 - (Silberstein Grégory)	Photo 063 Vue Nord du log 5, Tr.3 - (Silberstein Grégory)	Photo 064 Plan de F.32 - (Lebrun Christophe)	Photo 065 Vue oblique de F.31 - (Lebrun Christophe)
Photo 066 Plan de F.31 - (Lebrun Christophe)	Photo 067 Plan F.33 - (Silberstein Grégory)	Photo 068 Coupe de F.33 - (Silberstein Grégory)	Photo 069 Plan F.35 - (Lebrun Christophe)	Photo 070 Vue oblique de F.35 - (Lebrun Christophe)
Photo 071 Vue du log 6, Tr.3 - (Lebrun Christophe)	Photo 072 Coupe Sud F.46 - (Lebrun Christophe)	Photo 073 Plan de F.46 - (Lebrun Christophe)	Photo 074 Vue du log 7, Tr.4 - (Silberstein Grégory)	Photo 075 Plan de F.43, F.44 et F.45 - (Lebrun Christophe)
Photo 076 Plan de F.43 après fouille - (Silberstein Grégory)	Photo 077 Coupe Nord-Est de F.43 - (Silberstein Grégory)	Photo 078 Plan de F.45 après fouille - (Lebrun Christophe)	Photo 079 Coupe Sud-Est de F.45 - (Lebrun Christophe)	Photo 080 Plan de F.51 - (Lebrun Christophe)
Photo 081 Coupe Sud de F.51 - (Lebrun Christophe)	Photo 082 Coupe Est de F.5 - (Lebrun Christophe)	Photo 083 Coupe Sud-Est de F.44 - (Lebrun Christophe)	Photo 084 Plan de F.52 et de la partie Nord de F.53 - (Lebrun Christophe)	Photo 085 Vue oblique de F.52 et F.53 - (Lebrun Christophe)

Photo 086 Coupe Nord de F.53 - (Lebrun Christophe)	Photo 087 Plan de F.21 - (Silberstein Grégory)	Photo 088 Coupe Sud de F.21 - (Silberstein Grégory)	Photo 089 Plan de F.54 - (Lebrun Christophe)	Photo 090 Coupe Est de F.54 - (Lebrun Christophe)
Photo 091 Coupe Est de F.41 - (Lebrun Christophe)	Photo 092 Plan de F.41 - (Lebrun Christophe)	Photo 093 Coupe Est de F.40 - (Lebrun Christophe)	Photo 094 Plan de F.42 - (Silberstein Grégory)	Photo 095 Coupe Est de F.42 - (Silberstein Grégory)
Photo 096 Coupe Nord de F.52 et F.53 - (Lebrun Christophe)	Photo 097 Détail coupe Est de F.52 et F.53 - (Lebrun Christophe)	Photo 098 Coupe Nord F.53 - (Lebrun Christophe)	Photo 099 Vue du log 8, Tr.4 - (Lebrun Christophe)	Photo 100 Coupe Sud de F.47 - (Lebrun Christophe)
Photo 101 Vue oblique de F.47 - (Lebrun Christophe)	Photo 102 Plan de F.48 avant fouille - (Silberstein Grégory)	Photo 103 Plan de F.49 - (Silberstein Grégory)	Photo 104 Coupe Nord de F.48 - (Silberstein Grégory)	Photo 105 Plan de F.50 - (Silberstein Grégory)
Photo 106 Coupe Est de F.50 - (Silberstein Grégory)	Photo 107 Vue du log 9, Tr.5 - (Silberstein Grégory)	Photo 108 Vue du log 10, Tr.5 - (Lebrun Christophe)	Photo 109 Coupe Ouest de F.56 - (Lebrun Christophe)	Photo 110 Plan partiel de F.56 - (Lebrun Christophe)
Photo 111 Plan de F.58 - (Lebrun Christophe)	Photo 112 Coupe Sud Ouest de F.58 - (Lebrun Christophe)	Photo 113 Plan de F.59 - (Silberstein Grégory)	Photo 114 Coupe Ouest de F.59 - (Silberstein Grégory)	Photo 115 Plan de F.60 - (Lebrun Christophe)

				
Photo 116 Coupe Sud Ouest de F.60 - (Lebrun Christophe)	Photo 117 Coupe Ouest de F.61 - (Silberstein Grégory)	Photo 118 Plan de F.61 - (Silberstein Grégory)	Photo 119 Plan de F.62 - (Lebrun Christophe)	Photo 120 Coupe Ouest de F.62 - (Lebrun Christophe)
				
Photo 121 Vue de l'iso 34 avant nettoyage - (Lebrun Christophe)	Photo 122 Vue de l'iso 34 après nettoyage - (Lebrun Christophe)	Photo 123 Coupe sondage, relation entre l'US 3 et l'US 71 - (Lebrun Christophe)	Photo 124 Coupe sondage, relation entre l'US 3 et l'US 71 - (Lebrun Christophe)	Photo 125 Coupe sondage, relation entre l'US 3 et l'US 71 - (Lebrun Christophe)
				
Photo 126 Coupe Ouest de F.63 - (Silberstein Grégory)	Photo 127 Vue du log 11, Tr.6 - (Lebrun Christophe)	Photo 128 Coupe Ouest de F.66 - (Lebrun Christophe)	Photo 129 Plan de F.66 - (Lebrun Christophe)	Photo 130 Vue oblique de F.65 - (Lebrun Christophe)
				
Photo 131 Coupe Nord de F.64 - (Lebrun Christophe)	Photo 132 Plan de F.64 - (Lebrun Christophe)	Photo 133 Vue du log 12, Tr.7 - (Silberstein Grégory)	Photo 134 Coupe Nord de F.70 et F.71 - (Lebrun Christophe)	Photo 135 Plan de F.70 et F.71 - (Lebrun Christophe)
				
Photo 136 Coupe de F.69 - (Lebrun Christophe)	Photo 137 Vue oblique de F.69 - (Lebrun Christophe)	Photo 138 Coupe Sud de F.68 - (Lebrun Christophe)	Photo 139 Plan de F.68 - (Lebrun Christophe)	Photo 140 Vue du log 13, Tr.8 - (Silberstein Grégory)
				
Photo 141 Coupe Sud de F.67 - (Lebrun Christophe)	Photo 142 Vue large du log 14, Tr.8 - (Silberstein Grégory)	Photo 143 Vue resserrée du log 14, Tr.8 - (Silberstein Grégory)	Photo 144 Vue du log 15, Tr.9 - (Silberstein Grégory)	Photo 145 Plan de F.74 - (Silberstein Grégory)

				
Photo 146 Coupe Sud de F.74 - (Silberstein Grégory)	Photo 147 Plan de F.76 - (Lebrun Christophe)	Photo 148 Coupe Nord de F.76 - (Lebrun Christophe)	Photo 149 Plan de F.77 - (Silberstein Grégory)	Photo 150 Coupe Nord Ouest de F.77 - (Silberstein Grégory)
				
Photo 151 Coupe Sud Est de F.75 - (Lebrun Christophe)	Photo 152 Vue du log 16, Tr.10 - (Lebrun Christophe)	Photo 153 Plan de F.78 - (Silberstein Grégory)	Photo 154 Coupe Sud de F.78 - (Silberstein Grégory)	Photo 155 Coupe Sud Ouest de F.80 - (Silberstein Grégory)
				
Photo 156 Plan de F.80 - (Silberstein Grégory)	Photo 157 Plan de F.82 - (Lebrun Christophe)	Photo 158 Coupe Sud de F.82 - (Lebrun Christophe)	Photo 159 Plan de F.81 - (Silberstein Grégory)	Photo 160 Coupe Nord de F.81 - (Silberstein Grégory)
				
Photo 161 Plan de F.84 et F.85 - (Lebrun Christophe)	Photo 162 Coupe Sud Ouest de F.84 et F.85 - (Lebrun Christophe)	Photo 163 Vue du log 17, Tr.11 - (Lebrun Christophe)	Photo 164 Plan de F.83 - (Lebrun Christophe)	Photo 165 Vue oblique de F.83 - (Lebrun Christophe)
				
Photo 166 Coupe Sud de F.83 - (Lebrun Christophe)	Photo 167 Coupe Ouest de F.83 - (Lebrun Christophe)	Photo 168 Plan de F.86 - (Silberstein Grégory)	Photo 169 Vue oblique de F.86 - (Silberstein Grégory)	Photo 170 Vue générale coupe Est F.87 - (Lebrun Christophe)
				
Photo 171 Vue générale coupe Est F.87 - (Lebrun Christophe)				

Photo 172 Extrémité Nord coupe Ouest de F.87 - (Lebrun Christophe)	Photo 173 Partie Nord coupe Ouest de F.87 - (Lebrun Christophe)	Photo 174 Partie médiane coupe Ouest de F.87 - (Lebrun Christophe)	Photo 175 Partie médiane avec remontée coupe Ouest de F.87 - (Lebrun Christophe)	Photo 176 Remontée Sud coupe Ouest de F.87 - (Lebrun Christophe)
Photo 177 Partie Sud coupe Ouest de F.87 - (Lebrun Christophe)	Photo 178 Extrémité Sud coupe Ouest de F.87 - (Lebrun Christophe)	Photo 179 Vue de l'iso 57 (hache polie) - (Lebrun Christophe)	Photo 180 Vue de l'iso 57 (hache polie) sans plaque ni mire - (Lebrun Christophe)	Photo 181 Vue de l'iso 57 (hache polie) avec mire - (Lebrun Christophe)
Photo 182 Vue du log 18, Tr.12 - (Silberstein Grégory)	Photo 183 Coupe Sud de F.89 - (Silberstein Grégory)	Photo 184 Vue oblique de F.89 et F.88 - (Silberstein Grégory)	Photo 185 Vue du log 19, Tr.12 - (Silberstein Grégory)	Photo 186 Vue du log 20, Tr.13 - (Silberstein Grégory)
Photo 187 Coupe Sud Ouest de F.91 - (Lebrun Christophe)	Photo 188 Plan de F.91 - (Lebrun Christophe)	Photo 189 Vue du log 22, Tr.6 - (Lebrun Christophe)	Photo 190 Vue du log 21, Tr.13 - (Silberstein Grégory)	Photo 191 Coupe Nord de F.90 - (Silberstein Grégory)
Photo 192 Coupe Ouest de F.90 - (Silberstein Grégory)	Photo 193 Plan de F.90 - (Silberstein Grégory)	Photo 194 Plan de F.92 - (Lebrun Christophe)	Photo 195 Coupe Est de F.92 - (Lebrun Christophe)	Photo 196 Coupe Ouest de F.90 cumulée avec berme tranchée - (Silberstein Grégory)



Photo 197
Plan de F.93 - (Lebrun Christophe)



Photo 198
Coupe Est de F.93 - (Lebrun Christophe)



Photo 199
Plan de F.94 - (Lebrun Christophe)



Photo 200
Coupe Est de F.94 - (Lebrun Christophe)



Photo 201
Coupe Est de F.95 - (Lebrun Christophe)

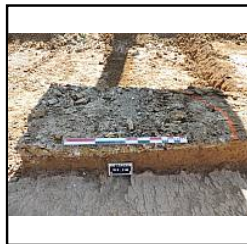


Photo 202
Vue oblique de F.95 - (Lebrun Christophe)



Photo 203
Coupe Nord-Ouest de F.435 - (Silberstein Grégory)



Photo 204
Vue oblique du bâtiment à poteaux carrés - (Lebrun Christophe)



Photo 205
Vue générale de F.435 - (Silberstein Grégory)



Photo 206
Vue générale de F.437, 444 et F.501 - (Silberstein Grégory)

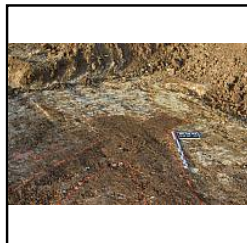


Photo 207
Vue générale de F.437, 444 et F.501 - (Silberstein Grégory)



Photo 208
Coupe Nord-Est de F.444 - (Silberstein Grégory)



Photo 209
Coupe Est de F.437 - (Silberstein Grégory)



Photo 210
Vue générale de F.400 et 445 - (Silberstein Grégory)



Photo 211
Coupe Est de F.446 - (Silberstein Grégory)



Photo 212
Plan de F.96 - (Silberstein Grégory)



Photo 213
Coupe Est de F.96 - (Silberstein Grégory)



Photo 214
Vue oblique de F.97 - (Lebrun Christophe)



Photo 215
Vue du log 24, Tr. 14 - (Silberstein Grégory)



Photo 216
Vue du log 23, Tr. 14 - (Silberstein Grégory)



Photo 217
Coupe partielle F.87, extrémité Nord Tr. 16 - (Lebrun Christophe)



Photo 218
Détail coupe partielle F.87, extrémité Nord Tr. 16 - (Lebrun Christophe)



Photo 219
Détail coupe partielle F.87, extrémité Nord Tr. 16 - (Lebrun Christophe)



Photo 220
Détail coupe partielle F.87, extrémité Nord Tr. 16 - (Lebrun Christophe)



Photo 221
Coupe du bord Sud de F.87 dans la Tr. 16 - (Lebrun Christophe)



Photo 222
Partie Est coupe bord Sud
F.87 dans la Tr.16 -
(Lebrun Christophe)



Photo 223
Partie Ouest coupe bord
Sud F.87 dans la Tr.16 -
(Lebrun Christophe)



Photo 224
Vue du log 25, Tr.15 -
(Silberstein Grégory)



Photo 225
Coupe Sud-Est de F.98 -
(Silberstein Grégory)



Photo 226
Coupe bord Sud de F.87,
Tr.16 - (Lebrun Christophe)



Photo 227
Vue générale F.101 -
(Silberstein Grégory)



Photo 228
Vue générale F.101 -
(Silberstein Grégory)



Photo 229
Vue générale F.101 -
(Silberstein Grégory)



Photo 230
Vue générale F.101 -
(Silberstein Grégory)



Photo 231
Vue générale F.101 -
(Silberstein Grégory)



Photo 232
Vue générale F.101 -
(Silberstein Grégory)



Photo 233
Vue générale F.101 -
(Silberstein Grégory)



Photo 234
Vue oblique de F.104 -
(Lebrun Christophe)



Photo 235
Coupe Nord-Est de F.104 -
(Lebrun Christophe)



Photo 236
Vue générale de F.105 (= F.87) - (Lebrun Christophe)



Photo 237
Coupe Nord-Est dans Sd
profond dans F.105 (=F.87) -
(Lebrun Christophe)



Photo 238
Vue générale de F.105 (= F.87) - (Lebrun Christophe)



Photo 239
Vue générale de F.105 (= F.87) - (Lebrun Christophe)



Photo 240
Vue générale de F.105 (= F.87) - (Lebrun Christophe)



Photo 241
Vue générale de F.105 (= F.87) - (Lebrun Christophe)



Photo 242
Bord Ouest de F.103 -
(Lebrun Christophe)



Photo 243
Coupe Sud-Est du bord
Ouest de F.103 - (Lebrun
Christophe)



Photo 244
Coupe Sud-Est de la partie
Ouest de F.103 - (Lebrun
Christophe)



Photo 245
Coupe Nord de F.99 -
(Lebrun Christophe)



Photo 246
Plan de F.99 - (Lebrun
Christophe)



Photo 247
Vue du log 26, Tr.18 -
(Silberstein Grégory)



Photo 248
Coupe Ouest de F.110 -
(Lebrun Christophe)



Photo 249
Vue du log 27, Tr.18 -
(Silberstein Grégory)



Photo 250
Vue du log 28, Tr.19 -
(Silberstein Grégory)



Photo 251
Coupe Est de F.130 -
(Silberstein Grégory)



Photo 252
Vue générale, zone de
plantation - (Silberstein
Grégory)



Photo 253
Vue générale, zone de
plantation - (Silberstein
Grégory)



Photo 254
Plan de F.112 - (Lebrun
Christophe)

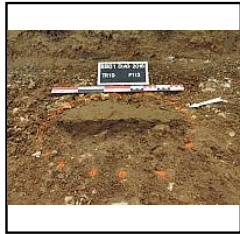


Photo 255
Coupe Est de F.112 -
(Lebrun Christophe)



Photo 256
Plan de F.141 - (Silberstein
Grégory)



Photo 257
Coupe Est de F.141 -
(Silberstein Grégory)



Photo 258
Plan de F.121 - (Silberstein
Grégory)



Photo 259
Coupe Est de F.121 -
(Silberstein Grégory)



Photo 260
Plan de F.146 - (Lebrun
Christophe)



Photo 261
Coupe Est de F.146 -
(Lebrun Christophe)



Photo 262
Plan de F.107 - (Silberstein
Grégory)



Photo 263
Coupe Est de F.107 -
(Silberstein Grégory)



Photo 264
Vue oblique de F.147 -
(Lebrun Christophe)



Photo 265
Vue oblique de F.148 -
(Silberstein Grégory)



Photo 266
Vue oblique de F.153 -
(Silberstein Grégory)



Photo 267
Vue oblique de F.153 -
(Silberstein Grégory)



Photo 268
Vue du log 29, Tr.21 -
(Silberstein Grégory)



Photo 269
Plan de F.157 - (Lebrun
Christophe)



Photo 270
Coupe Nord de F.157 -
(Lebrun Christophe)



Photo 271
Coupe Sud-Est de F.158 -
(Silberstein Grégory)



Photo 272
Vue oblique de F.158 -
(Silberstein Grégory)



Photo 273
Coupe Nord-Ouest de F.159 - (Silberstein Grégory)



Photo 274
Vue oblique de F.159 - (Silberstein Grégory)



Photo 275
Vue du log 30, Tr.22 - (Silberstein Grégory)



Photo 276
Coupe Sud-Ouest de F.161 - (Silberstein Grégory)



Photo 277
Vue oblique de F.161 - (Silberstein Grégory)



Photo 278
Coupe Sud-Ouest de F.163 - (Lebrun Christophe)



Photo 279
Vue générale F.162 et F.163 - (Lebrun Christophe)



Photo 280
Coupe Nord-Est de F.162 - (Lebrun Christophe)



Photo 281
Vue du log 31, Tr.23 - (Lebrun Christophe)



Photo 282
Vue oblique de F.164 - (Silberstein Grégory)



Photo 283
Coupe Nord-Est de F.164 - (Silberstein Grégory)



Photo 284
Vue oblique de F.165 - (Lebrun Christophe)



Photo 285
Coupe Nord de F.166 - (Lebrun Christophe)



Photo 286
Coupe Ouest de F.166 - (Lebrun Christophe)



Photo 287
Vue générale de F.166 - (Lebrun Christophe)



Photo 288
Coupe Sud-Ouest de F.170 - (Silberstein Grégory)



Photo 289
Coupe Nord-Est de F.170 - (Silberstein Grégory)



Photo 290
Partie NO coupe Nord-Est de F.170 - (Silberstein Grégory)



Photo 291
Partie centrale coupe Nord-Est de F.170 - (Silberstein Grégory)



Photo 292
Partie SE coupe Nord-Est de F.170 - (Silberstein Grégory)

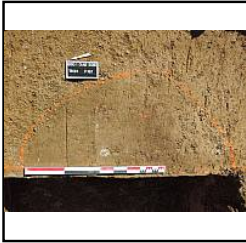


Photo 293
Plan de F.167 - (Silberstein Grégory)



Photo 294
Coupe Est de F.167 - (Silberstein Grégory)



Photo 295
Vue du log 32, Tr.25 - (Lebrun Christophe)



Photo 296
Coupe Nord-Est de F.169 - (Lebrun Christophe)



Photo 297
Coupe Nord-Est de F.168 - (Lebrun Christophe)



Photo 298
Coupe Nord-Est de F.175 -
(Lebrun Christophe)



Photo 299
Coupe Nord-Est de F.171 -
(Lebrun Christophe)



Photo 300
Coupe Nord-Est de F.172 -
(Lebrun Christophe)



Photo 301
Vue du log 33, Tr.26 -
(Silberstein Grégory)



Photo 302
Vue oblique F.171 et F.172
- (Silberstein Grégory)



Photo 303
Coupe Nord-Ouest de
F.176, Tr.26 - (Silberstein
Grégory)



Photo 304
Coupe Nord-Ouest de
F.176, Tr.26 - (Silberstein
Grégory)



Photo 305
Vue oblique de F.176,
partie médiane -
(Silberstein Grégory)



Photo 306
Vue oblique de F.176,
partie Nord-Ouest -
(Silberstein Grégory)



Photo 307
Vue oblique de F.176,
partie Sud-Est - (Silberstein
Grégory)



Photo 308
Coupe Sud-Ouest de F.177
- (Silberstein Grégory)



Photo 309
Coupe Sud-Est de F.178 -
(Lebrun Christophe)



Photo 310
Vue oblique de F.178 -
(Lebrun Christophe)



Photo 311
Vue du log 34, Tr.28 -
(Silberstein Grégory)



Photo 312
Coupe Nord-Ouest de
F.189, en cours - (Lebrun
Christophe)



Photo 313
Plan de F.189, en cours -
(Lebrun Christophe)



Photo 314
Coupe Nord-Ouest de
F.189 - (Lebrun
Christophe)



Photo 315
Plan de F.189 - (Lebrun
Christophe)



Photo 316
Détail céram dans F.189 -
(Lebrun Christophe)



Photo 317
Vue du log 35, Tr.31 -
(Lebrun Christophe)



Photo 318
Plan de F.181 - (Lebrun
Christophe)



Photo 319
Coupe Ouest de F.181 -
(Lebrun Christophe)



Photo 320
Plan de F.182 - (Lebrun
Christophe)



Photo 321
Coupe Ouest de F.182 -
(Lebrun Christophe)



Photo 322
Vue du log 37, Tr.32 -
(Lebrun Christophe)



Photo 323
Coupe Sud de F.188 -
(Lebrun Christophe)



Photo 324
Plan de F.186 - (Lebrun
Christophe)



Photo 325
Coupe Sud de F.186 -
(Lebrun Christophe)



Photo 326
Vue oblique de F.185 -
(Lebrun Christophe)



Photo 327
Coupe Sud-Ouest de F.185
- (Lebrun Christophe)



Photo 328
Coupe Nord-Ouest de
F.185 - (Lebrun
Christophe)



Photo 329
Vue oblique de F.187 -
(Silberstein Grégory)



Photo 330
Vue du log 36, Tr.32 -
(Silberstein Grégory)



Photo 331
Plan de F.180 - (Silberstein
Grégory)



Photo 332
Plan de F.180, en cours -
(Silberstein Grégory)



Photo 333
Coupe Sud de F.180 -
(Silberstein Grégory)



Photo 334
Coupe Sud de F.180 -
(Silberstein Grégory)



Photo 335
Plan de F.184 - (Lebrun
Christophe)



Photo 336
Coupe Sud de F.184 -
(Lebrun Christophe)



Photo 337
Vue du log 38, Tr.29 -
(Lebrun Christophe)



Photo 338
Coupe Nord-Ouest de
F.179 - (Lebrun
Christophe)



Photo 339
Vue oblique de F.165 -
(Lebrun Christophe)



Photo 340
Vue du log 39, Tr.33 -
(Silberstein Grégory)



Photo 341
Coupe Est de F.190 -
(Lebrun Christophe)



Photo 342
Coupe Nord-Ouest de
F.191 - (Lebrun
Christophe)



Photo 343
Coupe Nord de F.192 -
(Silberstein Grégory)



Photo 344
Vue oblique de F.192 -
(Silberstein Grégory)



Photo 345
Vue générale zone de
plantation - (Silberstein
Grégory)



Photo 346
Vue générale zone de
plantation - (Silberstein
Grégory)



Photo 347
Coupe Est de F.193 -
(Lebrun Christophe)

Photo 348 Plan de F.217 - (Silberstein Grégory)	Photo 349 Coupe Nord de F.217 - (Silberstein Grégory)	Photo 350 Vue du log 40, Tr.33 - (Lebrun Christophe)	Photo 351 Plan de F.218 - (Liagre Jérémie)	Photo 352 Coupe Nord-Est de F.218 - (Liagre Jérémie)
Photo 353 Plan de F.219 - (Silberstein Grégory)	Photo 354 Coupe Nord-Ouest de F.219 - (Silberstein Grégory)	Photo 355 Coupe Est de F.212 - (Silberstein Grégory)	Photo 356 Coupe Sud de F.210 - (Silberstein Grégory)	Photo 357 Vue du log 41, Tr.34 - (Silberstein Grégory)
Photo 358 Plan de F.205 - (Silberstein Grégory)	Photo 359 Coupe Nord de F.205 - (Silberstein Grégory)	Photo 360 Plan de F.200 - (Silberstein Grégory)	Photo 361 Coupe Est de F.200 - (Silberstein Grégory)	Photo 362 Plan de F.197 - (Silberstein Grégory)
Photo 363 Coupe Nord de F.197 - (Silberstein Grégory)	Photo 364 Plan de F.196 - (Silberstein Grégory)	Photo 365 Coupe Ouest de F.196 - (Silberstein Grégory)	Photo 366 Plan de F.203 - (Silberstein Grégory)	Photo 367 Vue oblique de F.203 - (Silberstein Grégory)
Photo 368 Coupe Sud-Est de F.209 - (Silberstein Grégory)	Photo 369 Plan de F.208 - (Silberstein Grégory)	Photo 370 Coupe Sud-Ouest de F.208 - (Silberstein Grégory)	Photo 371 Vue du log 42, Tr.34 - (Silberstein Grégory)	Photo 372 Coupe Est de F.195 - (Silberstein Grégory)
Photo 373 Coupe Est de F.215 - (Silberstein Grégory)	Photo 374 Plan de F.215 - (Silberstein Grégory)	Photo 375 Vue oblique de F.216 - (Silberstein Grégory)	Photo 376 Coupe Nord-Est de F.220 - (Silberstein Grégory)	Photo 377 Vue du log 43, Tr.35 - (Silberstein Grégory)


















				
Photo 378 Vue du log 44, Tr.36 - (Silberstein Grégory)	Photo 379 Vue du log 45, Tr.37 - (Silberstein Grégory)	Photo 380 Vue du log 46, Tr.37 - (Silberstein Grégory)	Photo 381 Plan de F.222 - (Silberstein Grégory)	Photo 382 Coupe Sud de F.222 - (Silberstein Grégory)
				
Photo 383 Affleurement de l'US333 (ancien F.227) - (Laruzaz Jean-Marie)	Photo 384 Affleurement de l'US333 (ancien F.227) - (Laruzaz Jean-Marie)	Photo 385 Affleurement de l'US333 (ancien F.227) - (Laruzaz Jean-Marie)	Photo 386 Coupe Nord de F.226 - (Laruzaz Jean-Marie)	Photo 387 Coupe Nord de F.226 - (Laruzaz Jean-Marie)
				
Photo 388 Coupe Nord-Ouest de F.225 - (Silberstein Grégory)	Photo 389 Vue du log 47, Tr.38 - (Silberstein Grégory)	Photo 390 Vue du log 48, Tr.38 - (Silberstein Grégory)	Photo 391 Plan de F.224 - (Silberstein Grégory)	Photo 392 Coupe Ouest de F.224 - (Silberstein Grégory)
				
Photo 393 Plan de F.228 et F.229 - (Hirn Vincent)	Photo 394 Plan de F.229 - (Hirn Vincent)	Photo 395 Coupe Nord-Est de F.229 - (Hirn Vincent)	Photo 396 Coupe Nord-Est de F.228 - (Hirn Vincent)	Photo 397 Coupe Nord-Est de F.228 - (Hirn Vincent)
				
Photo 398 Coupe Sud-Ouest de F.234 - (Silberstein Grégory)	Photo 399 Vue du log 49, Tr.39 - (Silberstein Grégory)	Photo 400 Coupe Ouest de F.238, partie Sud - (Hirn Vincent)	Photo 401 Coupe Ouest de F.238, partie médiane - (Hirn Vincent)	Photo 402 Coupe Ouest de F.238, partie médiane - (Hirn Vincent)



Photo 403
Coupe Ouest de F.238,
partie médiane - (Hirn
Vincent)



Photo 404
Coupe Ouest de F.238,
partie Nord - (Hirn Vincent)



Photo 405
Zone de terrier, Tr.31 -
(Lebrun Christophe)



Photo 406
Zone de terrier, Tr.43 -
(Lebrun Christophe)



Photo 407
Coupe Est de F.176, Tr.44
- (Lebrun Christophe)



Photo 408
Coupe Est de F.176, Tr.44
- (Lebrun Christophe)



Photo 409
Plan de F.176 et F.255,
Tr.44 - (Lebrun Christophe)



Photo 410
Coupe Nord de F.238 -
(Hirn Vincent)



Photo 411
Vue générale de F.237 -
(Silberstein Grégory)



Photo 412
Vue générale de F.237 -
(Silberstein Grégory)



Photo 413
Vue générale de F.237 -
(Silberstein Grégory)



Photo 414
Coupe Sud-Ouest de F.236
- (Lebrun Christophe)



Photo 415
Vue oblique de F.235 -
(Silberstein Grégory)



Photo 416
Vue oblique extrémité NO
de F.236 - (Silberstein
Grégory)



Photo 417
Vue oblique de F.230 -
(Silberstein Grégory)



Photo 418
Plan de F.230 - (Silberstein
Grégory)



Photo 419
Coupe Nord de F.256 -
(Silberstein Grégory)



Photo 420
Plan de F.257 - (Lebrun
Christophe)



Photo 421
Coupe Nord de F.257 -
(Lebrun Christophe)



Photo 422
Coupe Nord-Est de F.266 -
(Lebrun Christophe)



Photo 423
Plan de F.266 - (Lebrun
Christophe)



Photo 424
Plan de F.267 - (Lebrun
Christophe)



Photo 425
Coupe Nord-Ouest de
F.267 - (Lebrun
Christophe)



Photo 426
Plan de F.262 et F.270 -
(Silberstein Grégory)



Photo 427
Coupe Sud-Ouest de F.262
et F.270 - (Silberstein
Grégory)



Photo 428
Coupe Sud-Ouest de F.270 - (Silberstein Grégory)

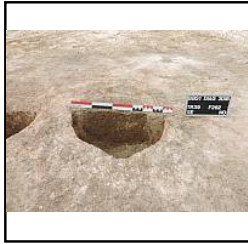


Photo 429
Coupe Sud-Ouest de F.262 - (Silberstein Grégory)



Photo 430
Plan de F.259 - (Silberstein Grégory)



Photo 431
Plan de F.261 - (Lebrun Christophe)



Photo 432
Coupe Nord de F.261 - (Lebrun Christophe)



Photo 433
Plan 100% de F.261 - (Lebrun Christophe)



Photo 434
Plan de F.258 - (Silberstein Grégory)



Photo 435
Coupe Ouest de F.258 - (Silberstein Grégory)



Photo 436
Plan de F.260 - (Lebrun Christophe)



Photo 437
Coupe Nord-Ouest de F.260 - (Lebrun Christophe)



Photo 438
Plan de F.250 - (Silberstein Grégory)



Photo 439
Coupe Nord de F.250 - (Silberstein Grégory)



Photo 440
Plan de F.275 - (Lebrun Christophe)



Photo 441
Coupe Sud de F.275 - (Lebrun Christophe)



Photo 442
Plan de F.249 - (Silberstein Grégory)



Photo 443
Coupe Nord de F.249 - (Silberstein Grégory)



Photo 444
Coupe Ouest de F.247 - (Lebrun Christophe)



Photo 445
Coupe Nord-Ouest de F.248 - (Lebrun Christophe)



Photo 446
Plan de F.248 - (Lebrun Christophe)



Photo 447
Plan de F.246 - (Lebrun Christophe)



Photo 448
Coupe Nord de F.246 - (Lebrun Christophe)



Photo 449
Coupe Nord de F.245 - (Lebrun Christophe)



Photo 450
Plan de F.245 - (Lebrun Christophe)



Photo 451
Plan de F.244 - (Silberstein Grégory)



Photo 452
Coupe Sud-Est de F.244 - (Silberstein Grégory)



Photo 453
Coupe Est de F.243 -
(Lebrun Christophe)



Photo 454
Vue du log 50, Tr.42 -
(Silberstein Grégory)



Photo 455
Plan de F.254 - (Silberstein
Grégory)



Photo 456
Coupe Sud de F.254 -
(Silberstein Grégory)



Photo 457
Plan de F.253 - (Hirn
Vincent)



Photo 458
Coupe Nord-Est de F.253 -
(Hirn Vincent)



Photo 459
Coupe Est de F.263 -
(Silberstein Grégory)



Photo 460
Coupe Est de F.287, en
cours - (Laruz Jean-
Marie)



Photo 461
Plan de F.287, en cours -
(Laruz Jean-Marie)



Photo 462
Plan de F.280 - (Laruz
Jean-Marie)

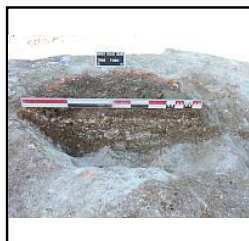


Photo 463
Coupe Ouest de F.280 -
(Laruz Jean-Marie)



Photo 464
Vue du log 51, Tr.42 -
(Silberstein Grégory)

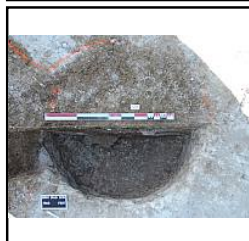


Photo 465
Plan de F.287 - (Laruz
Jean-Marie)



Photo 466
Coupe Est de F.287, en
cours - (Laruz Jean-
Marie)



Photo 467
Coupe Nord-Est de F.285 -
(Lebrun Christophe)



Photo 468
Vue oblique de F.265 -
(Silberstein Grégory)

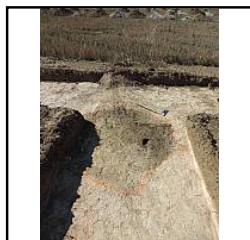


Photo 469
Vue oblique de F.265 -
(Silberstein Grégory)



Photo 470
Coupe SO de F.264 et
F.309 - (Hirn Vincent)



Photo 471
Détail coupe Sud-Ouest de
F.264, partie SE - (Hirn
Vincent)



Photo 472
Détail coupe Sud-Ouest de
F.264, partie médiane -
(Hirn Vincent)



Photo 473
Détail coupe Sud-Ouest de
F.264, partie médiane -
(Hirn Vincent)



Photo 474
Détail coupe Sud-Ouest de
F.264 et 309, partie NO -
(Hirn Vincent)



Photo 475
Vue générale F.268 et
F.269 - (Silberstein
Grégory)



Photo 476
Vue générale F.268 et
F.269 - (Silberstein
Grégory)



Photo 477
Vue générale F.268 et
F.269 - (Silberstein
Grégory)



Photo 478
Vue générale F.268 et F.269 - (Silberstein Grégory)



Photo 479
Détail lignes de fracturation - (Silberstein Grégory)



Photo 480
Détail lignes de fracturation - (Silberstein Grégory)



Photo 481
Coupe Nord-Ouest de F.271 - (Hirn Vincent)



Photo 482
Vue oblique de F.272 - (Silberstein Grégory)



Photo 483
Plan de F.282 - (Hirn Vincent)



Photo 484
Coupe Ouest de F.282 - (Hirn Vincent)



Photo 485
Plan de F.295 - (Hirn Vincent)



Photo 486
Coupe Nord-Est de F.295 - (Hirn Vincent)



Photo 487
Vue oblique de F.299 - (Hirn Vincent)



Photo 488
Coupe Est de F.299 - (Hirn Vincent)



Photo 489
Plan de F.299 - (Hirn Vincent)



Photo 490
Coupe Sud de F.283 - (Lebrun Christophe)



Photo 491
Coupe Sud de F.283 - (Lebrun Christophe)



Photo 492
Plan de F.283 - (Lebrun Christophe)



Photo 493
Plan de F.296 - (Lebrun Christophe)



Photo 494
Coupe Nord-Est de F.296 - (Lebrun Christophe)



Photo 495
Coupe Nord-Est de F.296 - (Lebrun Christophe)



Photo 496
Plan de F.273 - (Silberstein Grégory)



Photo 497
Coupe Nord de F.273 - (Silberstein Grégory)



Photo 498
Coupe Sud de F.274 - (Silberstein Grégory)



Photo 499
Plan de F.274 - (Silberstein Grégory)



Photo 500
Vue du log 52, Tr.47 - (Silberstein Grégory)



Photo 501
Céram en place dans F.321 - (Lebrun Christophe)



Photo 502
Céram en place dans F.321 - (Lebrun Christophe)



Photo 503
Coupe Nord-Ouest de F.276 - (Silberstein Grégory)



Photo 504
Coupe Sud de F.321 - (Silberstein Grégory)



Photo 505
Plan de F.321 - (Silberstein Grégory)



Photo 506
Vue oblique de F.304 - (Silberstein Grégory)



Photo 507
Vue oblique de F.278 - (Silberstein Grégory)



Photo 508
Plan de F.362 - (Lebrun Christophe)



Photo 509
Coupe Est de F.362 - (Lebrun Christophe)



Photo 510
Plan de F.302 - (Silberstein Grégory)



Photo 511
Coupe Ouest de F.302 - (Silberstein Grégory)



Photo 512
Vue générale du bâtiment Tr.41 - (Silberstein Grégory)



Photo 513
Vue générale du bâtiment Tr.41 - (Silberstein Grégory)



Photo 514
Plan de F.366 - (Silberstein Grégory)



Photo 515
Coupe Est de F.366 - (Silberstein Grégory)



Photo 516
Vue oblique de F.293 et F.294 - (Silberstein Grégory)



Photo 517
Coupe Nord-Ouest de F.293 et F.294 - (Silberstein Grégory)



Photo 518
Coupe Sud-Est de F.293 et F.294 - (Silberstein Grégory)



Photo 519
Vue oblique de F.293 et F.294 - (Silberstein Grégory)



Photo 520
Coupe Sud-Ouest de F.290 et F.370 - (Lebrun Christophe)



Photo 521
Plan de F. 290 et F.370 - (Lebrun Christophe)



Photo 522
Coupe Sud-Ouest de F.290 - (Lebrun Christophe)



Photo 523
Coupe Sud-Ouest de F.370 - (Lebrun Christophe)



Photo 524
Plan de F.343 - (Laruz Jean-Marie)



Photo 525
Coupe Nord de F.343 - (Laruz Jean-Marie)



Photo 526
Coupe Sud-Ouest de F.341 - (Laruz Jean-Marie)



Photo 527
Plan de F.341 - (Laruz Jean-Marie)



Photo 528
Plan de F.291 - (Lebrun Christophe)



Photo 529
Coupe Sud-Est de F.291 - (Lebrun Christophe)



Photo 530
Plan de F.371 - (Lebrun Christophe)



Photo 531
Vue oblique de F.371 - (Lebrun Christophe)



Photo 532
Coupe Sud-Est de F.294, Tr.49 - (Lebrun Christophe)



Photo 533
Plan de F.348 - (Laruz Jean-Marie)



Photo 534
Plan de F.349 et F.350 - (Laruz Jean-Marie)



Photo 535
Coupe Nord-Est de F.349 et F.350 - (Laruz Jean-Marie)



Photo 536
Plan de F.347 - (Laruz Jean-Marie)



Photo 537
Plan de F.356 - (Laruz Jean-Marie)



Photo 538
Plan de F.354 - (Laruz Jean-Marie)



Photo 539
Plan de F.357 - (Laruz Jean-Marie)



Photo 540
Coupe Est de F.357 - (Laruz Jean-Marie)



Photo 541
Plan de F.306 - (Lebrun Christophe)



Photo 542
Coupe Ouest de F.306 - (Lebrun Christophe)



Photo 543
Coupe Sud de F.306 - (Lebrun Christophe)



Photo 544
Plan de F.307 - (Silberstein Grégory)



Photo 545
Coupe Ouest de F.307 - (Silberstein Grégory)



Photo 546
Plan de F.292 - (Lebrun Christophe)



Photo 547
Vue oblique de F.292 - (Lebrun Christophe)

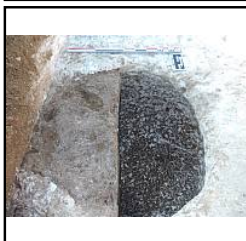


Photo 548
Vue oblique de F.292 - (Lebrun Christophe)



Photo 549
Coupe Est de F.292 - (Lebrun Christophe)



Photo 550
Coupe Est de F.292 - (Lebrun Christophe)



Photo 551
Vue du log 53, Tr.49 - (Silberstein Grégory)



Photo 552
Coupe Nord-Est de F.308 - (Silberstein Grégory)



Photo 553
Vue oblique de F.308 - (Silberstein Grégory)



Photo 554
Vue du log 54, Tr.50 - (Silberstein Grégory)



Photo 555
Plan de F.311 - (Silberstein Grégory)



Photo 556
Coupe Nord de F.311 - (Silberstein Grégory)



Photo 557
Plan de F.312 - (Silberstein Grégory)



Photo 558
Coupe Nord de F.312 -
(Silberstein Grégory)



Photo 559
Vue générale de F.317 et
F.318 - (Silberstein
Grégory)



Photo 560
Vue générale de F.317 et
F.318 - (Silberstein
Grégory)



Photo 561
Coupe Sud-Ouest de F.317
et F.318 - (Silberstein
Grégory)



Photo 562
Coupe Sud-Ouest de F.318
- (Silberstein Grégory)



Photo 563
Coupe Sud-Ouest de F.317
et F.318 - (Silberstein
Grégory)



Photo 564
Vue oblique de F.358, en
cours - (Lebrun Christophe)



Photo 565
Coupe Sud-Ouest quart SE
de F.358 - (Lebrun
Christophe)



Photo 566
Coupe Nord-Ouest quart
SE de F.358 - (Lebrun
Christophe)



Photo 567
Plan du quart SE de F.358
- (Lebrun Christophe)



Photo 568
Plan de F.313 - (Silberstein
Grégory)



Photo 569
Coupe Sud de F.313 -
(Silberstein Grégory)



Photo 570
Plan de F.316 - (Lebrun
Christophe)



Photo 571
Coupe Nord de F.316 -
(Lebrun Christophe)



Photo 572
Détail US545 de F.358 -
(Lebrun Christophe)



Photo 573
Vue oblique de F.315 -
(Silberstein Grégory)



Photo 574
Coupe Sud-Ouest de F.320
- (Silberstein Grégory)



Photo 575
Coupe Sud-Ouest, partie
SE - (Lebrun Christophe)



Photo 576
Coupe Sud-Ouest, partie
NO - (Lebrun Christophe)



Photo 577
Coupe Ouest de F.322 et
F.413 - (Silberstein
Grégory)



Photo 578
Coupe Ouest de F.413 -
(Silberstein Grégory)



Photo 579
Coupe Ouest de F.322 -
(Silberstein Grégory)



Photo 580
Plan de F.322 et F.323 -
(Silberstein Grégory)



Photo 581
Coupe Est de F.322 et
F.323 - (Silberstein
Grégory)



Photo 582
Plan de F.324 - (Silberstein
Grégory)



Photo 583
Vue oblique de F.325 -
(Silberstein Grégory)



Photo 584
Coupe Nord de F.325 -
(Silberstein Grégory)



Photo 585
Plan de F.325 - (Silberstein
Grégory)



Photo 586
Coupe Nord de F.326 -
(Lebrun Christophe)



Photo 587
Plan de F.329 - (Lebrun
Christophe)



Photo 588
Coupe Ouest de F.329 -
(Lebrun Christophe)



Photo 589
Vue oblique du quart SO
de F.358, en cours -
(Lebrun Christophe)



Photo 590
Plan de F.358, en cours -
(Lebrun Christophe)



Photo 591
Vue oblique de F.358, en
cours - (Lebrun Christophe)



Photo 592
Vue oblique de F.358, en
cours - (Lebrun Christophe)



Photo 593
Détail traces dans les
parois de F.358 - (Lebrun
Christophe)



Photo 594
Plan de F.330 - (Laruaz
Jean-Marie)



Photo 595
Coupe Sud-Est de F.330 -
(Laruaz Jean-Marie)



Photo 596
Coupe Nord-Ouest de
F.332 - (Laruaz Jean-
Marie)



Photo 597
Plan de F.332 - (Laruaz
Jean-Marie)



Photo 598
Plan de F.334 - (Laruaz
Jean-Marie)



Photo 599
Plan de F.336 - (Laruaz
Jean-Marie)



Photo 600
Plan de F.345 - (Laruaz
Jean-Marie)



Photo 601
Plan de F.338 - (Silberstein
Grégory)



Photo 602
Coupe Sud-Ouest de F.338
- (Silberstein Grégory)



Photo 603
Coupe Est de F.359 et
F.360 - (Laruaz Jean-
Marie)



Photo 604
Coupe Est de F.361 -
(Silberstein Grégory)



Photo 605
Plan de F.363 - (Laruaz
Jean-Marie)



Photo 606
Coupe Sud-Ouest de F.363
- (Laruaz Jean-Marie)



Photo 607
Plan de F.364 - (Silberstein
Grégory)

				
Photo 608 Coupe Nord de F.364 - (Silberstein Grégory)	Photo 609 Vue du log 55, Tr.52 - (Lebrun Christophe)	Photo 610 Coupe Ouest de F.368 - (Laruz Jean-Marie)	Photo 611 Vue du log 56, Tr.53 - (Lebrun Christophe)	Photo 612 Plan de F.367 - (Lebrun Christophe)
				
Photo 613 Coupe Est de F.367 - (Lebrun Christophe)	Photo 614 Vue oblique de F.369 - (Laruz Jean-Marie)	Photo 615 Coupe Sud-Est de F.369 - (Laruz Jean-Marie)	Photo 616 Vue du log 57, Tr.56 - (Silberstein Grégory)	Photo 617 Vue du log 58, Tr.57 - (Lebrun Christophe)
				
Photo 618 Coupe Ouest de F.372 - (Laruz Jean-Marie)	Photo 619 Coupe Nord de F.373 - (Laruz Jean-Marie)	Photo 620 Plan de F.374 - (Silberstein Grégory)	Photo 621 Coupe Sud-Est de F.374 - (Silberstein Grégory)	Photo 622 Plan de F.381 - (Silberstein Grégory)
				
Photo 623 Plan de F.376 - (Lebrun Christophe)	Photo 624 Coupe Sud de F.376 - (Lebrun Christophe)	Photo 625 Plan de F.375 - (Laruz Jean-Marie)	Photo 626 Coupe Sud de F.375 - (Laruz Jean-Marie)	Photo 627 Détail plan de F.375 - (Laruz Jean-Marie)
				
Photo 628 Plan de F.381 - (Hirn Vincent)	Photo 629 Coupe Sud-Est de F.381 - (Hirn Vincent)	Photo 630 Coupe Ouest de F.385 - (Laruz Jean-Marie)	Photo 631 Plan de F.387 - (Silberstein Grégory)	Photo 632 Coupe Nord de F.387 - (Silberstein Grégory)
				
Photo 633 Plan de F.389 - (Lebrun Christophe)	Photo 634 Coupe Nord de F.389 - (Lebrun Christophe)	Photo 635 Plan de F.382 - (Silberstein Grégory)	Photo 636 Coupe Est de F.390 - (Lebrun Christophe)	Photo 637 Vue oblique de F.392 - (Laruz Jean-Marie)












				
Photo 638 Vue oblique de F.392 - (Laruzat Jean-Marie)	Photo 639 Vue oblique de F.392 - (Laruzat Jean-Marie)	Photo 640 Plan de F.433 - (Hirn Vincent)	Photo 641 Coupe Sud de F.433 - (Hirn Vincent)	Photo 642 Vue du log 59, Tr.57 - (Lebrun Christophe)
				
Photo 643 Coupe Ouest de F.394 - (Laruzat Jean-Marie)	Photo 644 Coupe Ouest de F.396 - (Hirn Vincent)	Photo 645 Vue du log 60, Tr.58 - (Lebrun Christophe)	Photo 646 Vue du log 61, Tr.59 - (Lebrun Christophe)	Photo 647 Coupe Sud-Est de F.399 - (Lebrun Christophe)
				
Photo 648 Plan de F.402 - (Hirn Vincent)	Photo 649 Vue oblique de F.404 - (Hirn Vincent)	Photo 650 Vue oblique de F.405 - (Hirn Vincent)	Photo 651 Vue oblique de F.405 - (Hirn Vincent)	Photo 652 Coupe Sud de F.382 - (Hirn Vincent)
				
Photo 653 Coupe Sud de F.382, partie Est - (Hirn Vincent)	Photo 654 Coupe Sud de F.382, partie Ouest - (Hirn Vincent)	Photo 655 Vue générale de F.436, F.441 et F.442 - (Hirn Vincent)	Photo 656 Coupe Ouest de F.436, F.441 et F.442 - (Hirn Vincent)	Photo 657 Coupe Nord de F.436, F.441 et F.442 - (Hirn Vincent)
				
Photo 658 Détail coupe O de F.436, F.441 et F.442, Sud - (Hirn Vincent)	Photo 659 Détail coupe O de F.436, F.441 et F.442, milieu - (Hirn Vincent)	Photo 660 Détail coupe N de F.436, F.441 et F.442, Nord - (Hirn Vincent)	Photo 661 Détail coupe N de F.436, F.441 et F.442, Ouest - (Hirn Vincent)	Photo 662 Détail coupe N de F.436, F.441 et F.442, milieu - (Hirn Vincent)



Photo 663
Détail coupe N de F.436,
F.441 et F.442, Est - (Hirn
Vincent)



Photo 664
Vue du log 62, Tr.68 -
(Silberstein Grégory)



Photo 665
Coupe Nord-Ouest de
F.451 - (Silberstein
Grégory)



Photo 666
Coupe Est de F.447 -
(Silberstein Grégory)



Photo 667
Vue du log 63, Tr.68 -
(Silberstein Grégory)



Photo 668
Vue oblique de F.450 -
(Liagre Jérémie)



Photo 669
Coupe Ouest de F.450 -
(Liagre Jérémie)



Photo 670
Vue du log 64, Tr.65 -
(Lebrun Christophe)



Photo 671
Plan de F.439 - (Liagre
Jérémie)



Photo 672
Coupe Est de F.439 -
(Liagre Jérémie)



Photo 673
Coupe Sud de F.410 -
(Hirn Vincent)



Photo 674
Plan de F.410 - (Hirn
Vincent)



Photo 675
Coupe Ouest de F.453 -
(Liagre Jérémie)



Photo 676
Coupe Nord de F.411 -
(Hirn Vincent)



Photo 677
Plan de F.411 - (Hirn
Vincent)



Photo 678
Coupe Sud de F.418 et
F.419 - (Lebrun
Christophe)



Photo 679
Coupe Sud de F.418 -
(Lebrun Christophe)



Photo 680
Coupe Sud de F.419 -
(Lebrun Christophe)



Photo 681
Coupe Sud de F.416 -
(Lebrun Christophe)



Photo 682
Coupe Sud de F.420 -
(Lebrun Christophe)

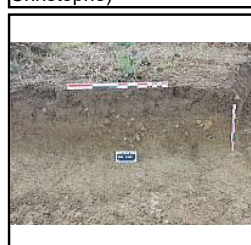


Photo 683
Coupe Sud de F.420, détail
partie Ouest - (Lebrun
Christophe)



Photo 684
Coupe Sud de F.420 et
F.421 - (Lebrun
Christophe)



Photo 685
Coupe Sud de F.420 et
F.421, détail partie Ouest -
(Lebrun Christophe)



Photo 686
Coupe Sud de F.422 -
(Lebrun Christophe)



Photo 687
Vue oblique de F.443 -
(Silberstein Grégory)



Photo 688
Vue oblique de F.443 -
(Silberstein Grégory)



Photo 689
Vue oblique de F.443 -
(Silberstein Grégory)



Photo 690
Coupe Nord-Ouest de
F.443 - (Silberstein
Grégory)



Photo 691
Coupe Sud-Est de F.443 -
(Silberstein Grégory)



Photo 692
Vue générale coupe Sud
de F.418 à 420 - (Lebrun
Christophe)



Photo 693
Coupe Sud de F.420 -
(Lebrun Christophe)



Photo 694
Coupe Sud de F.420 -
(Lebrun Christophe)



Photo 695
Détail coupe Sud de F.420
- (Lebrun Christophe)



Photo 696
Coupe Sud de F.418 et
F.419 - (Lebrun
Christophe)



Photo 697
Plan de F.426 - (Hirn
Vincent)



Photo 698
Coupe Sud-Ouest de F.426
- (Hirn Vincent)



Photo 699
Plan de F.428 - (Hirn
Vincent)



Photo 700
Plan de F.425 - (Silberstein
Grégory)



Photo 701
Coupe Nord-Est de F.425 -
(Silberstein Grégory)



Photo 702
Plan de F.358 - (Lebrun
Christophe)



Photo 703
Vue oblique de F.358 -
(Lebrun Christophe)



Photo 704
Vue oblique de F.358 -
(Lebrun Christophe)



Photo 705
Plan de F.358 - (Lebrun
Christophe)



Photo 706
Vue oblique de F.358 -
(Lebrun Christophe)



Photo 707
Détail paroi de F.358 -
(Lebrun Christophe)



Photo 708
Détail paroi de F.358 -
(Lebrun Christophe)



Photo 709
Détail paroi de F.358 -
(Lebrun Christophe)



Photo 710
Vue générale bâtiment à
poteaux carrés - (Lebrun
Christophe)



Photo 711
Vue générale bâtiment à
poteaux carrés - (Lebrun
Christophe)



Photo 712
Vue générale de l'enclos
carré - (Silberstein
Grégory)



Photo 713
Vue générale de l'enclos carré - (Silberstein Grégory)

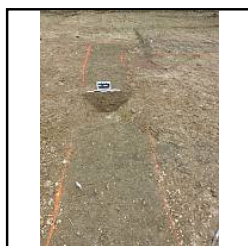


Photo 714
Coupe Est de F.240 - (Lebrun Christophe)



Photo 715
Coupe Est de F.240 - (Lebrun Christophe)



Photo 716
Plan du sondage de F.240 - (Lebrun Christophe)

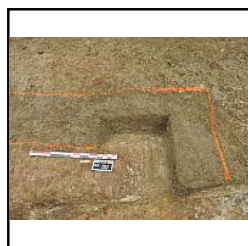


Photo 717
Vue oblique du sondage dans angle F.242 et F.243 - (Silberstein Grégory)



Photo 718
Coupe Est de F.242, angle - (Silberstein Grégory)



Photo 719
Coupe Sud de F.243, angle - (Silberstein Grégory)



Photo 720
Vue oblique du sondage dans angle F.242 et F.243 - (Silberstein Grégory)



Photo 721
Coupe Nord de F.242 - (Silberstein Grégory)



Photo 722
Vue oblique de F.498 - (Liagre Jérémie)



Photo 723
Coupe Sud de F.498 - (Liagre Jérémie)



Photo 724
Vue générale du bâtiment Tr.57 - (Silberstein Grégory)



Photo 725
Vue générale du bâtiment Tr.57 - (Silberstein Grégory)



Photo 726
Vue générale du bâtiment Tr.57 - (Silberstein Grégory)



Photo 727
Vue générale du bâtiment Tr.57 - (Silberstein Grégory)



Photo 728
Vue générale du bâtiment Tr.57 - (Silberstein Grégory)



Photo 729
Vue générale du bâtiment Tr.57 - (Silberstein Grégory)



Photo 730
Vue générale du bâtiment Tr.57 - (Silberstein Grégory)



Photo 731
Vue oblique de F.434 - (Silberstein Grégory)



Photo 732
Coupe Sud de F.434 - (Silberstein Grégory)



Photo 733
Plan extrémité Est de F.447 - (Silberstein Grégory)



Photo 734
Coupe Nord de F.444 - (Silberstein Grégory)



Photo 735
Coupe Est de F.437 et F.501 - (Silberstein Grégory)



Photo 736
Vue oblique du sondage dans F.437, F.444 et F.501 - (Silberstein Grégory)



Photo 737
Vue oblique du sondage dans F.437, F.444 et F.501 - (Silberstein Grégory)


























				
Photo 738 Plan de F.447, F.451 et F.502 - (Silberstein Grégory)	Photo 739 Plan de F.447, F.451 et F.502 - (Silberstein Grégory)	Photo 740 Plan de F.484 - (Silberstein Grégory)	Photo 741 Coupe Ouest de F.484 - (Silberstein Grégory)	Photo 742 Plan de F.461 - (Lebrun Christophe)
				
Photo 743 Coupe Nord de F.461 - (Lebrun Christophe)	Photo 744 Vue oblique de F.481 - (Silberstein Grégory)	Photo 745 Plan de F.479 - (Liagre Jérémie)	Photo 746 Coupe Nord de F.479 - (Liagre Jérémie)	Photo 747 Plan de F.478 - (Lebrun Christophe)
				
Photo 748 Coupe Est de F.478 - (Lebrun Christophe)	Photo 749 Coupe Est de F.507 - (Lebrun Christophe)	Photo 750 Plan de F.507 - (Lebrun Christophe)	Photo 751 Plan de F.483 - (Lebrun Christophe)	Photo 752 Coupe Est de F.483 - (Lebrun Christophe)
				
Photo 753 Coupe Sud-Est de F.451 et F.502, avant recul - (Lebrun Christophe)	Photo 754 Coupe Sud-Est de F.451 et F.502, avant recul - (Lebrun Christophe)	Photo 755 Coupe Sud-Est de F.451 et F.502, avant recul - (Lebrun Christophe)	Photo 756 Coupe Nord de F.502 - (Lebrun Christophe)	Photo 757 Coupe Sud-Est de F.451, après recul - (Silberstein Grégory)
				
Photo 758 Vue du log 65, Tr.62 - (Silberstein Grégory)	Photo 759 Vue du log 66, Tr.72 - (Silberstein Grégory)	Photo 760 Vue du log 67, Tr.73 - (Silberstein Grégory)	Photo 761 Coupe Est de F.452 - (Lebrun Christophe)	Photo 762 Coupe Est de F.452 - (Lebrun Christophe)

Photo 763 Coupe Ouest de F.456 - (Silberstein Grégory)	Photo 764 Plan de F.456 - (Silberstein Grégory)	Photo 765 Coupe Est de F.449 et F.517 - (Silberstein Grégory)	Photo 766 Plan de F.455 - (Lebrun Christophe)	Photo 767 Coupe Nord de F.455 - (Lebrun Christophe)
Photo 768 Coupe Ouest de F.455 - (Lebrun Christophe)	Photo 769 Vue du log 68, Tr.70 - (Silberstein Grégory)	Photo 770 Coupe Est de F.457 - (Silberstein Grégory)	Photo 771 Plan de F.458 - (Lebrun Christophe)	Photo 772 Coupe Nord de F.458 - (Lebrun Christophe)
Photo 773 Vue du log 69, Tr.71 - (Lebrun Christophe)	Photo 774 Vue du log 70, Tr.74 - (Lebrun Christophe)	Photo 775 Plan de F.472 - (Lebrun Christophe)	Photo 776 Coupe Nord de F.472 - (Lebrun Christophe)	Photo 777 Vue oblique de F.459 - (Liagre Jérémie)
Photo 778 Coupe Nord de F.459 - (Liagre Jérémie)	Photo 779 Coupe Sud de F.466 - (Lebrun Christophe)	Photo 780 Vue oblique de F.466 - (Lebrun Christophe)	Photo 781 Coupe Nord-Est de F.474 - (Silberstein Grégory)	Photo 782 Plan de F.474 - (Silberstein Grégory)
Photo 783 Plan de F.473, en cours - (Silberstein Grégory)	Photo 784 Coupe Nord-Est de F.475 - (Liagre Jérémie)	Photo 785 Plan de F.475 - (Liagre Jérémie)	Photo 786 Coupe Nord-Est de F.468 - (Silberstein Grégory)	Photo 787 Plan et F.468 - (Silberstein Grégory)
Photo 788 Vue oblique de F.469 - (Liagre Jérémie)	Photo 789 Coupe Sud-Ouest de F.473 - (Silberstein Grégory)	Photo 790 Vue oblique de F.473 - (Silberstein Grégory)	Photo 791 Plan de F.473 - (Silberstein Grégory)	Photo 792 Plan de F.470 - (Liagre Jérémie)



Photo 793
Coupe Est de F.470 -
(Liagre Jérémie)



Photo 794
Coupe Est de F.470 -
(Liagre Jérémie)



Photo 795
Plan de F.471 - (Liagre
Jérémie)



Photo 796
Plan de F.485 et F.486 -
(Lebrun Christophe)



Photo 797
Coupe Ouest de F.485 -
(Lebrun Christophe)



Photo 798
Plan de F.448 - (Liagre
Jérémie)



Photo 799
Plan de F.499 - (Silberstein
Grégory)



Photo 800
Coupe Nord de F.499 -
(Silberstein Grégory)



Photo 801
Plan de l'angle F.443 et
F.486 - (Silberstein
Grégory)



Photo 802
Vue oblique de F.443,
F.486 et F.499 -
(Silberstein Grégory)



Photo 803
Plan de F.440 - (Lebrun
Christophe)



Photo 804
Coupe Nord-Est de F.440 -
(Lebrun Christophe)



Photo 805
Plan de F.438 - (Silberstein
Grégory)



Photo 806
Vue oblique de F.438 -
(Silberstein Grégory)



Photo 807
Coupe Nord de F.414 -
(Lebrun Christophe)



Photo 808
Plan de F.414 - (Lebrun
Christophe)



Photo 809
Coupe Sud de F.424 -
(Silberstein Grégory)



Photo 810
Vue oblique de F.424 -
(Silberstein Grégory)



Photo 811
Coupe Est de F.424 -
(Silberstein Grégory)



Photo 812
Coupe Est de F.424 -
(Silberstein Grégory)



Photo 813
Vue oblique de F.424 -
(Silberstein Grégory)



Photo 814
Coupe Sud de F.415 -
(Silberstein Grégory)



Photo 815
Vue oblique de l'angle
F.385 - (Lebrun
Christophe)

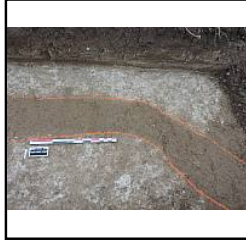


Photo 816
Plan de l'angle de F.385 -
(Lebrun Christophe)



Photo 817
Plan de F.511 - (Silberstein
Grégory)



Photo 818
Coupe Sud de F.511 -
(Silberstein Grégory)



Photo 819
Vue oblique de F.511 -
(Silberstein Grégory)



Photo 820
Vue oblique de F.511 -
(Silberstein Grégory)



Photo 821
Coupe Ouest de F.511 -
(Silberstein Grégory)



Photo 822
Vue oblique de l'angle de
F.385 et F.487 - (Lebrun
Christophe)



Photo 823
Coupe Est de F.504 -
(Silberstein Grégory)



Photo 824
Coupe Ouest de F.504 -
(Silberstein Grégory)



Photo 825
Vue oblique de F.357 -
(Silberstein Grégory)



Photo 826
Vue oblique de F.357 -
(Silberstein Grégory)



Photo 827
Vue oblique de F.357 -
(Silberstein Grégory)



Photo 828
Coupe Nord-Ouest de
F.357 - (Silberstein
Grégory)



Photo 829
Coupe Sud de F.496 (gros
plan) - (Silberstein
Grégory)



Photo 830
Vue oblique de F.496 -
(Silberstein Grégory)



Photo 831
Coupe Sud de F.496 -
(Silberstein Grégory)



Photo 832
Plan de F.510 - (Liagre
Jérémie)



Photo 833
Coupe Sud de F.510 -
(Liagre Jérémie)



Photo 834
Plan de F.516 - (Liagre
Jérémie)



Photo 835
Coupe Sud de F.516 -
(Liagre Jérémie)



Photo 836
Coupe Ouest de F.533 -
(Lebrun Christophe)



Photo 837
Plan de F.521 - (Silberstein
Grégory)

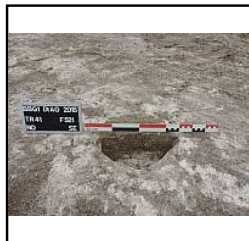


Photo 838
Coupe Nord-Est de F.521 -
(Silberstein Grégory)



Photo 839
Coupe Sud de F.530 -
(Lebrun Christophe)



Photo 840
Plan de F.530 - (Lebrun
Christophe)



Photo 841
Plan de F.518 - (Silberstein
Grégory)



Photo 842
Coupe Nord de F.518 -
(Silberstein Grégory)



Photo 843
Vue oblique de F.535 -
(Silberstein Grégory)



Photo 844
Coupe Nord-Est angle de
F.236 et F.538 - (Liagre
Jérémie)



Photo 845
Coupe Nord-Est angle de
F.236 et F.538 - (Liagre
Jérémie)



Photo 846
Coupe Nord-Est angle de
F.236 et F.538 - (Liagre
Jérémie)



Photo 847
Coupe Nord-Est angle de
F.236 et F.538 - (Liagre
Jérémie)



Photo 848
Coupe Ouest angle F.236
et F.263 - (Liagre Jérémie)



Photo 849
Vue oblique de l'angle
F.236 et F.263 - (Liagre
Jérémie)



Photo 850
Plan de F.524 - (Lebrun
Christophe)



Photo 851
Coupe Sud-Est de F.524 -
(Lebrun Christophe)



Photo 852
Coupe Sud de F.513 -
(Silberstein Grégory)



Photo 853
Plan de F.513 - (Silberstein
Grégory)



Photo 854
Coupe Nord de F.534 -
(Liagre Jérémie)



Photo 855
Vue générale du bâtiment
Tr.41 - (Silberstein
Grégory)



Photo 856
Photo oblique de F.233 et
F.232 - (Liagre Jérémie)



Photo 857
Ortho de F.358 dans son
contexte - (Liagre Jérémie)



Photo 858
Vue oblique d'une partie de
la Zone S - (Liagre
Jérémie)



Photo 859
Vue de l'iso 7: tirant de
vignes - (Liagre Jérémie)



Photo 860
Vue de F.512 &
plantations, zone S, Tr.41 -
(Liagre Jérémie)



Photo 861
Photo ambiance, brume -
(Liagre Jérémie)



Photo 862
Vue générale F.268 et
F.269 - (Liagre Jérémie)

N° dessin	Description	Type	Support	Echelle	Auteur
1	Coupe N/S de F6 (Tr.2)	coupe	papier millimétré	1/20	Lebrun Christophe
2	Plan de F6 (Tr.2)	plan	papier millimétré	1/20	Lebrun Christophe
3	Coupe E/O de F14 (Tr.2)	coupe	papier millimétré	1/20	Lebrun Christophe
4	Plan de F14 (Tr.2)	plan	papier millimétré	1/20	Lebrun Christophe
5	Coupe N/S de F3 (Tr.1)	coupe	papier millimétré	1/20	Lebrun Christophe
6	Plan de F3 (Tr.1)	plan	papier millimétré	1/20	Lebrun Christophe
7	Plan de F16 (Tr.2)	plan	papier millimétré	1/20	Silberstein Grégory
8	Coupe E/O de F16 (Tr.2)	coupe	papier millimétré	1/20	Silberstein Grégory
9	Plan de F26 (Tr.2)	plan	papier millimétré	1/20	Silberstein Grégory
10	Coupe S/N de F26 (Tr.2)	coupe	papier millimétré	1/20	Silberstein Grégory
11	Plan de F19 (Tr.2)	plan	papier millimétré	1/20	Silberstein Grégory
12	Coupe S/N de F19 (Tr.2)	coupe	papier millimétré	1/20	Silberstein Grégory
13	Plan de F33 (Tr.3)	plan	papier millimétré	1/20	Silberstein Grégory
14	Coupe SO/NE de F33 (Tr.3)	coupe	papier millimétré	1/20	Silberstein Grégory
15	Plan de F21 (Tr.2)	plan	papier millimétré	1/20	Silberstein Grégory
16	Coupe E/O de F21 (Tr.2)	coupe	papier millimétré	1/20	Silberstein Grégory
17	Plan de F24 (Tr.2)	plan	papier millimétré	1/20	Silberstein Grégory
18	Coupe E/O de F24 (Tr.2)	coupe	papier millimétré	1/20	Silberstein Grégory
19	Coupe S/N de F20 (Tr.2)	coupe	papier millimétré	1/20	Lebrun Christophe
20	Plan de F20 (Tr.2)	plan	papier millimétré	1/20	Lebrun Christophe
21	Coupe E/O de F25 (Tr.2)	coupe	papier millimétré	1/20	Lebrun Christophe
22	Plan de F25 (Tr.2)	plan	papier millimétré	1/20	Lebrun Christophe
23	Coupe E/O de F29 (Tr.2)	coupe	papier millimétré	1/20	Lebrun Christophe
24	Plan de F29 (Tr.2)	plan	papier millimétré	1/20	Lebrun Christophe
25	Coupe NE/SO de F51 (Tr.5)	coupe	papier millimétré	1/20	Lebrun Christophe
26	Plan de F51 (Tr.5)	plan	papier millimétré	1/20	Lebrun Christophe
27	Coupe NE/SO de F45 (Tr.4)	coupe	papier millimétré	1/20	Lebrun Christophe
28	Plan de F45 (Tr.4)	plan	papier millimétré	1/20	Lebrun Christophe
29	Coupe N/S de F54 (Tr.2)	coupe	papier millimétré	1/20	Lebrun Christophe
30	Plan de F54 (Tr.2)	plan	papier millimétré	1/20	Lebrun Christophe
31	Coupes NO/SE et O/E de F52 et F53 (Tr.2)	coupe	papier millimétré	1/20	Lebrun Christophe
32	Coupe E/O de F47 (Tr.5)	coupe	papier millimétré	1/20	Lebrun Christophe
33	Coupe S/N de F56 (Tr.5)	coupe	papier millimétré	1/20	Lebrun Christophe
34	Plan de F42 (Tr.4)	plan	papier millimétré	1/20	Silberstein Grégory
35	Coupe N/S de F42 (Tr.4)	coupe	papier millimétré	1/20	Silberstein Grégory
36	Plan de F50 (Tr.5)	plan	papier millimétré	1/20	Silberstein Grégory
37	Coupe N/S de F50 (Tr.5)	coupe	papier millimétré	1/20	Silberstein Grégory
38	Coupe S/N de F59 (Tr.5)	coupe	papier millimétré	1/20	Silberstein Grégory
39	Coupe S/N de F63 (Tr.5)	coupe	papier millimétré	1/20	Silberstein Grégory
40	Coupe S/N de F62 (Tr.5)	coupe	papier millimétré	1/20	Lebrun Christophe
41	Plan de F62 (Tr.5)	plan	papier millimétré	1/20	Lebrun Christophe
42	Plan de F81 (Tr.11)	plan	papier millimétré	1/20	Silberstein Grégory
43	Coupe O/E de F81 (Tr.11)	coupe	papier millimétré	1/20	Silberstein Grégory
44	Coupe géologique dans fait annulé F57 (Tr.5) : remontée calcaire	coupe	papier millimétré	1/20	Lebrun Christophe
45	Coupe O/E de F64 (Tr.6)	coupe	papier millimétré	1/20	Lebrun Christophe
46	Plan de F64 (Tr.6)	plan	papier millimétré	1/20	Lebrun Christophe
47	Coupe E/O de F68 (Tr.7)	coupe	papier millimétré	1/20	Lebrun Christophe
48	Plan de F68 (Tr.7)	plan	papier millimétré	1/20	Lebrun Christophe
49	Plan de F74 (Tr.9)	plan	papier millimétré	1/20	Silberstein Grégory
50	Coupe E/O de F74 (Tr.9)	coupe	papier millimétré	1/20	Silberstein Grégory

N° dessin	Description	Type	Support	Echelle	Auteur
51	Coupe NO/SE de F70 et 71 (Tr.7)	coupe	papier millimétré	1/20	Lebrun Christophe
52	Plan de F70 et 71 (Tr.7)	plan	papier millimétré	1/20	Lebrun Christophe
53	Coupe O/E de F76 (Tr.10)	coupe	papier millimétré	1/20	Lebrun Christophe
54	Plan de F76 (Tr.10)	plan	papier millimétré	1/20	Lebrun Christophe
55	Plan de F77 (Tr.10)	plan	papier millimétré	1/20	Silberstein Grégory
56	Coupe S/N de F77 (Tr.10)	coupe	papier millimétré	1/20	Silberstein Grégory
57	Plan de F90 (Tr.13)	plan	papier millimétré	1/20	Silberstein Grégory
58	Coupe O/E de F90 (Tr.13)	coupe	papier millimétré	1/20	Silberstein Grégory
59	Coupe E/O de F90 (Tr.11)	coupe	papier millimétré	1/20	Lebrun Christophe
60	Plan de F90 (Tr.11)	plan	papier millimétré	1/20	Lebrun Christophe
61	Coupe N/S de F92 (Tr.13)	coupe	papier millimétré	1/20	Lebrun Christophe
62	Plan de F92 (Tr.13)	plan	papier millimétré	1/20	Lebrun Christophe
63	Coupe SE/NO de F84 et F85 (Tr.11)	coupe	papier millimétré	1/20	Lebrun Christophe
64	Plan de F84 et F85 (Tr.11)	plan	papier millimétré	1/20	Lebrun Christophe
65	Coupe N/S de F93 (Tr.13)	coupe	papier millimétré	1/20	Lebrun Christophe
66	Plan de F93 (Tr.13)	plan	papier millimétré	1/20	Lebrun Christophe
67	Coupe N/S de F94 (Tr.13)	coupe	papier millimétré	1/20	Lebrun Christophe
68	Plan de F94 (Tr.13)	plan	papier millimétré	1/20	Lebrun Christophe
69	Coupes E/O et S/N de F83 (Tr.11)	coupe	papier millimétré	1/20	Lebrun Christophe
70	Plan de F83 (Tr.11)	plan	papier millimétré	1/20	Lebrun Christophe
71	Coupe N/S de F87 (partie nord) - (Tr.11)	coupe	papier millimétré	1/50	Lebrun Christophe
72	Plan de F96 (Tr.13)	plan	papier millimétré	1/20	Silberstein Grégory
73	Coupe N/S de F96 (Tr.13)	coupe	papier millimétré	1/20	Silberstein Grégory
74	Coupe E/O de F87 (Tr.11)	coupe	papier millimétré	1/50	Lebrun Christophe Silberstein Grégory
75	Coupe NE/SO de F98 (Tr.16)	coupe	papier millimétré	1/20	Silberstein Grégory
76	Coupe NO/SE de F104 (Tr.16)	coupe	papier millimétré	1/20	Lebrun Christophe
77	Coupe N/S de F130 (Tr.19)	coupe	papier millimétré	1/20	Silberstein Grégory
78	Plan de F141 (Tr.19)	plan	papier millimétré	1/20	Silberstein Grégory
79	Coupe N/S de F141 (Tr.19)	coupe	papier millimétré	1/20	Silberstein Grégory
80	Plan de F121 (Tr.19)	plan	papier millimétré	1/20	Silberstein Grégory
81	Coupe N/S de F121 (Tr.19)	coupe	papier millimétré	1/20	Silberstein Grégory
82	Coupe N/S de F87 (partie médiane) - (Tr.11)	coupe	papier millimétré	1/50	Lebrun Christophe Silberstein Grégory
83	Coupe N/S de F87 (partie sud) - (Tr.11)	coupe	papier millimétré	1/50	Lebrun Christophe Silberstein Grégory
84	Coupe O/E de F99 (Tr.11)	coupe	papier millimétré	1/20	Lebrun Christophe
85	Plan de F99 (Tr.11)	plan	papier millimétré	1/20	Lebrun Christophe
86	Coupe S/N de F110 (Tr.9)	coupe	papier millimétré	1/20	Lebrun Christophe
87	Coupe N/S de F112 (Tr.19)	coupe	papier millimétré	1/20	Lebrun Christophe
88	Plan de F112 (Tr.19)	plan	papier millimétré	1/20	Lebrun Christophe
89	Coupe N/S de F112 (Tr.19)	coupe	papier millimétré	1/20	Lebrun Christophe
90	Plan de F112 (Tr.19)	plan	papier millimétré	1/20	Lebrun Christophe
91	Coupe N/S de F157 (Tr.21)	coupe	papier millimétré	1/20	Lebrun Christophe
92	Plan de F157 (Tr.21)	plan	papier millimétré	1/20	Lebrun Christophe
93	Coupe NO/SE de F169 (Tr.25)	coupe	papier millimétré	1/20	Lebrun Christophe
94	Coupe NO/SE de F168 (Tr.25)	coupe	papier millimétré	1/20	Lebrun Christophe
95	Plan de F107 (Tr.18)	plan	papier millimétré	1/20	Silberstein Grégory
96	Coupe N/S de F107 (Tr.18)	coupe	papier millimétré	1/20	Silberstein Grégory
97	Coupe NE/SO de F158 (Tr.21)	coupe	papier millimétré	1/20	Silberstein Grégory
98	Coupe SO/NE de F159 (Tr.22)	coupe	papier millimétré	1/20	Silberstein Grégory

N° dessin	Description	Type	Support	Echelle	Auteur
99	Coupe NO/SE de F162 (Tr.23)	coupe	papier millimétré	1/20	Silberstein Grégory
100	Coupe SE/NO de F163 (Tr.23)	coupe	papier millimétré	1/20	Silberstein Grégory
101	Coupe SE/NO de F161 (Tr.23)	coupe	papier millimétré	1/20	Silberstein Grégory
102	Coupe NO/SE de F164 (Tr.23)	coupe	papier millimétré	1/20	Silberstein Grégory
103	Coupe SE/NO de F170, 173, 174 (Tr.24)	coupe	papier millimétré	1/20	Silberstein Grégory
104	Coupe NO/SE de F170, 173, 174 (Tr.24)	coupe	papier millimétré	1/20	Silberstein Grégory
105	Coupe NO/SE de F175 (Tr.26)	coupe	papier millimétré	1/20	Lebrun Christophe
106	Coupe NO/SE de F171 (Tr.26)	coupe	papier millimétré	1/20	Lebrun Christophe
107	Coupe NO/SE de F172 (Tr.26)	coupe	papier millimétré	1/20	Lebrun Christophe
108	Coupe SO/NE de F189 (Tr.32)	coupe	papier millimétré	1/20	Lebrun Christophe
109	Plan de F189 (Tr.32)	plan	papier millimétré	1/20	Lebrun Christophe
110	Coupe E/O de F188 (Tr.32)	coupe	papier millimétré	1/20	Lebrun Christophe
111	Coupe E/O de F186 (Tr.22)	coupe	papier millimétré	1/20	Lebrun Christophe
112	Plan de F186 (Tr.22)	plan	papier millimétré	1/20	Lebrun Christophe
113	Coupes SE/NO et SO/NE de F185 (Tr.22)	coupe	papier millimétré	1/20	Lebrun Christophe
114	Coupe SO/NE de F176 (Tr.26)	coupe	papier millimétré	1/20	Silberstein Grégory
115	Coupe SE/NO de F177 (Tr.28)	coupe	papier millimétré	1/20	Silberstein Grégory Lebrun Christophe
116	Coupe NE/SO de F178 (Tr.28)	coupe	papier millimétré	1/20	Silberstein Grégory Lebrun Christophe
117	Coupe SO/NE de F179 (Tr.30)	coupe	papier millimétré	1/20	Silberstein Grégory Lebrun Christophe
118	Plan de F180 (Tr.29)	plan	papier millimétré	1/20	Lebrun Christophe Silberstein Grégory
119	Coupe E/O de F180 (Tr.29)	coupe	papier millimétré	1/20	Lebrun Christophe Silberstein Grégory
120	Coupe E/O de F184 (Tr.31)	coupe	papier millimétré	1/20	Lebrun Christophe Silberstein Grégory
121	Plan de F184 (Tr.31)	plan	papier millimétré	1/20	Lebrun Christophe Silberstein Grégory
122	Coupe O/E de F165 (Tr.23)	coupe	papier millimétré	1/20	Lebrun Christophe Silberstein Grégory
123	Plan de F167 (Tr.24)	plan	papier millimétré	1/20	Lebrun Christophe Silberstein Grégory
124	Coupe N/S de F167 (Tr.24)	coupe	papier millimétré	1/20	Lebrun Christophe Silberstein Grégory
125	Plan de F219 (Tr.36)	plan	papier millimétré	1/20	Silberstein Grégory
126	Coupe SO/NE de F219 (Tr.36)	coupe	papier millimétré	1/20	Silberstein Grégory
127	Coupes S/N et O/E de F166 (Tr.23)	coupe	papier millimétré	1/20	Silberstein Grégory Lebrun Christophe
128	Plan de F217 (Tr.36)	plan	papier millimétré	1/20	Silberstein Grégory
129	Coupe NO/SE de F217 (Tr.36)	coupe	papier millimétré	1/20	Silberstein Grégory
130	Plan de F218 (Tr.36)	plan	papier millimétré	1/20	Silberstein Grégory
131	Coupe O/E de F218 (Tr.36)	coupe	papier millimétré	1/20	Silberstein Grégory
132	Coupe N/S de F190 (Tr.33)	coupe	papier millimétré	1/20	Lebrun Christophe
133	Coupe SO/NE de F191 (Tr.33)	coupe	papier millimétré	1/20	Lebrun Christophe
134	Coupe N/S de F193 (Tr.33)	coupe	papier millimétré	1/20	Lebrun Christophe
135	Coupe E/O de F226 (Tr.39)	coupe	papier millimétré	1/20	Laruaz Jean-Marie
136	Coupe N/S de F212 (Tr.34)	coupe	papier millimétré	1/20	Silberstein Grégory
137	Coupe E/O de F210 (Tr.34)	coupe	papier millimétré	1/20	Silberstein Grégory
138	Plan de F208 (Tr.34)	plan	papier millimétré	1/20	Silberstein Grégory
139	Coupe SE/NO de F208 (Tr.34)	coupe	papier millimétré	1/20	Silberstein Grégory
140	Plan de F205 (Tr.34)	plan	papier millimétré	1/20	Silberstein Grégory
141	Coupe O/E de F205 (Tr.34)	coupe	papier millimétré	1/20	Silberstein Grégory

N° dessin	Description	Type	Support	Echelle	Auteur
142	Coupe NE/SO de F209 (Tr.34)	coupe	papier millimétré	1/20	Silberstein Grégory
143	Plan de F200 (Tr.34)	plan	papier millimétré	1/20	Silberstein Grégory
144	Coupe N/S de F200 (Tr.34)	coupe	papier millimétré	1/20	Silberstein Grégory
145	Plan de F197 (Tr.34)	plan	papier millimétré	1/20	Silberstein Grégory
146	Coupe NO/SE de F197 (Tr.34)	coupe	papier millimétré	1/20	Silberstein Grégory
147	Plan de F196 (Tr.34)	plan	papier millimétré	1/20	Silberstein Grégory
148	Coupe S/N de F196 (Tr.34)	coupe	papier millimétré	1/20	Silberstein Grégory
149	Coupe N/S de F195 (Tr.34)	coupe	papier millimétré	1/20	Silberstein Grégory
150	Coupe NO/SE de F220 (Tr.36)	coupe	papier millimétré	1/20	Silberstein Grégory
151	Coupe N/S de F215 (Tr.36)	coupe	papier millimétré	1/20	Silberstein Grégory
152	Plan de F222 (Tr.37)	plan	papier millimétré	1/20	Silberstein Grégory
153	Coupe SE/NO de F222 (Tr.37)	coupe	papier millimétré	1/20	Silberstein Grégory
154	Coupe SO/NE de F225 (Tr.39)	coupe	papier millimétré	1/20	Silberstein Grégory
155	Plan de F230 (Tr.39)	plan	papier millimétré	1/20	Silberstein Grégory
156	Coupe O/E de F230 (Tr.39)	coupe	papier millimétré	1/20	Silberstein Grégory
157	Plan de F224 (Tr.38)	plan	papier millimétré	1/20	Silberstein Grégory
158	Coupe S/N de F224 (Tr.38)	coupe	papier millimétré	1/20	Silberstein Grégory
159	Coupe SE/NO de F234 (Tr.38)	coupe	papier millimétré	1/20	Silberstein Grégory
160	Plan de F233 (Tr.39)	plan	papier millimétré	1/20	Silberstein Grégory
161	Coupe S/N de F233 (Tr.39)	coupe	papier millimétré	1/20	Silberstein Grégory
162	Coupe N/S de F176 et F255 (Tr.27)	coupe	papier millimétré	1/20	Hirn Vincent Lebrun Christophe
163	Plan de F262 et 270 (Tr.39)	plan	papier millimétré	1/20	Silberstein Grégory
164	Coupe SE/NO de F262 et 270 (Tr.39)	coupe	papier millimétré	1/20	Silberstein Grégory
165	Plan de F256 (Tr.39)	plan	papier millimétré	1/20	Silberstein Grégory
166	Coupe O/E de F256 (Tr.39)	coupe	papier millimétré	1/20	Silberstein Grégory
167	Plan de F 249 (Tr.41)	plan	papier millimétré	1/20	Silberstein Grégory
168	Coupe O/E de F 249 (Tr.41)	coupe	papier millimétré	1/20	Silberstein Grégory
169	Plan de F258 (Tr.39)	plan	papier millimétré	1/20	Silberstein Grégory
170	Coupe O/E de F258 (Tr.39)	coupe	papier millimétré	1/20	Silberstein Grégory
171	Coupe NO/SE de F228 et 229 (Tr.39)	coupe	papier millimétré	1/20	Hirn Vincent
172	Plan de F228 et 229 (Tr.39)	plan	papier millimétré	1/20	Hirn Vincent
173	Coupe SE/NO de F236 (Tr.40)	coupe	papier millimétré	1/20	Lebrun Christophe
174	Coupes S/N et E/O de F238 (Tr.40)	coupe	papier millimétré	1/20	Hirn Vincent
175	Plan de F267 (Tr.39)	plan	papier millimétré	1/20	Lebrun Christophe
176	Coupe SO/NE de F266 (Tr.39)	coupe	papier millimétré	1/20	Lebrun Christophe
177	Plan de F266 (Tr.39)	plan	papier millimétré	1/20	Lebrun Christophe
178	Coupe O/E de F257 (Tr.39)	coupe	papier millimétré	1/20	Lebrun Christophe
179	Plan de F257 (Tr.39)	plan	papier millimétré	1/20	Lebrun Christophe
180	Coupe O/E de F261 (Tr.39)	coupe	papier millimétré	1/20	Lebrun Christophe
181	Plan de F261 (Tr.39)	plan	papier millimétré	1/20	Lebrun Christophe
182	Plan de F275 (Tr.41)	plan	papier millimétré	1/20	Lebrun Christophe
183	Coupe E/O de F275 (Tr.41)	coupe	papier millimétré	1/20	Lebrun Christophe
184	Plan de F260 (Tr.39)	plan	papier millimétré	1/20	Lebrun Christophe
185	Coupe SO/NE de F260 (Tr.39)	coupe	papier millimétré	1/20	Lebrun Christophe
186	Coupe S/N de F247 (Tr.41)	coupe	papier millimétré	1/20	Lebrun Christophe
187	Plan de F246 (Tr.41)	plan	papier millimétré	1/20	Lebrun Christophe
188	Coupe O/E de F246 (Tr.41)	coupe	papier millimétré	1/20	Lebrun Christophe
189	Plan de F245 (Tr.41)	plan	papier millimétré	1/20	Lebrun Christophe
190	Coupe O/E de F245 (Tr.41)	coupe	papier millimétré	1/20	Lebrun Christophe
191	Coupe N/S de F243 (Tr.42)	coupe	papier millimétré	1/20	Lebrun Christophe

N° dessin	Description	Type	Support	Echelle	Auteur
192	Plan de F244 (Tr.41)	plan	papier millimétré	1/20	Silberstein Grégory
193	Coupe NE/SO F244 (Tr.41)	coupe	papier millimétré	1/20	Silberstein Grégory
194	Plan de F254 (Tr.42)	plan	papier millimétré	1/20	Silberstein Grégory
195	Coupe E/O de F254 (Tr.42)	coupe	papier millimétré	1/20	Silberstein Grégory
196	Plan de F274 (Tr.47)	plan	papier millimétré	1/20	Silberstein Grégory
197	Coupe E/O de F274 (Tr.47)	coupe	papier millimétré	1/20	Silberstein Grégory
198	Coupe SO/NE de F276 (Tr.48)	coupe	papier millimétré	1/20	Silberstein Grégory
199	Coupe N/S de F263 (Tr.42)	coupe	papier millimétré	1/20	Silberstein Grégory
200	Plan de F302 (Tr.48)	plan	papier millimétré	1/20	Silberstein Grégory
201	Coupe S/N de F302 (Tr.48)	coupe	papier millimétré	1/20	Silberstein Grégory
202	Plan de F285 (Tr.48)	plan	papier millimétré	1/20	Lebrun Christophe
203	Coupe E/O de F283 (Tr.48)	coupe	papier millimétré	1/20	Lebrun Christophe
204	Plan de F283 (Tr.48)	plan	papier millimétré	1/20	Lebrun Christophe
205	Coupe S/N de F277 et 280 (Tr.48)	coupe	papier millimétré	1/20	Lebrun Christophe
206	Plan de F277 et 280 (Tr.48)	plan	papier millimétré	1/20	Lebrun Christophe
207	Coupe E/O de F299 (Tr.48)	coupe	papier millimétré	1/20	Hirn Vincent
208	Plan de F299 (Tr.48)	plan	papier millimétré	1/20	Hirn Vincent
209	Coupe N/S de F253 (Tr.42)	coupe	papier millimétré	1/20	Hirn Vincent
210	Plan de F253 (Tr.42)	plan	papier millimétré	1/20	Hirn Vincent
211	Coupe S/N de F 264 et 309 (Tr.46)	coupe	papier millimétré	1/20	Hirn Vincent
212	Coupe SE/NO de F271 (Tr.47)	coupe	papier millimétré	1/20	Hirn Vincent
213	Coupe N/S de F296 (Tr.48)	coupe	papier millimétré	1/20	Hirn Vincent
214	Plan de F296 (Tr.48)	plan	papier millimétré	1/20	Hirn Vincent
215	Coupe SE/NO de F287 et partiellement F277 (Tr.48)	coupe	papier millimétré	1/20	Laruaz Jean-Marie
216	Coupe NO/SE de F295 (Tr.48)	coupe	papier millimétré	1/20	Hirn Vincent
217	Plan de F295 (Tr.48)	plan	papier millimétré	1/20	Hirn Vincent
218	Coupe SE/NO de F282 (Tr.48)	coupe	papier millimétré	1/20	Hirn Vincent
219	Plan de F282 (Tr.48)	plan	papier millimétré	1/20	Hirn Vincent
220	Coupe S/N de F396 (Tr.57)	coupe	papier millimétré	1/20	Hirn Vincent
221	Coupe E/O de F321 (Tr.50)	coupe	papier millimétré	1/20	Lebrun Christophe
222	Plan de F321 (Tr.50)	plan	papier millimétré	1/20	Lebrun Christophe
223	Coupe N/S de F362 (Tr.48)	coupe	papier millimétré	1/20	Lebrun Christophe
224	Plan de F362 (Tr.48)	plan	papier millimétré	1/20	Lebrun Christophe
225	Coupe NE/SO de F294 (Tr.49)	coupe	papier millimétré	1/20	Lebrun Christophe
226	Coupe SE/NO de F290 et F370 (Tr.48)	coupe	papier millimétré	1/20	Lebrun Christophe
227	Plan de F290 et F370 (Tr.48)	plan	papier millimétré	1/20	Lebrun Christophe
228	Plan de F366 (Tr.48)	plan	papier millimétré	1/20	Silberstein Grégory
229	Coupe N/S de F366 (Tr.48)	coupe	papier millimétré	1/20	Silberstein Grégory
230	Coupe NO/SE de F308 (Tr.49)	coupe	papier millimétré	1/20	Silberstein Grégory
231	Plan de F338 (Tr.51)	plan	papier millimétré	1/20	Silberstein Grégory
232	Coupe SO/NE de F338 (Tr.51)	coupe	papier millimétré	1/20	Silberstein Grégory
233	Plan de F312 (Tr.50)	plan	papier millimétré	1/20	Silberstein Grégory
234	Coupe O/E de F312 (Tr.50)	coupe	papier millimétré	1/20	Silberstein Grégory
235	Plan de F387 (Tr.57)	plan	papier millimétré	1/20	Silberstein Grégory
236	Coupe SO/NE de F387 (Tr.57)	coupe	papier millimétré	1/20	Silberstein Grégory
237	Plan de F320 (Tr.50)	plan	papier millimétré	1/20	Silberstein Grégory
238	Coupe S/N de F322 et F413 (Tr.50)	coupe	papier millimétré	1/20	Silberstein Grégory
239	Coupe S/N de F341 (Tr.51)	coupe	papier millimétré	1/20	Laruaz Jean-Marie
240	Coupe SO/NE de F343 (Tr.51)	coupe	papier millimétré	1/20	Laruaz Jean-Marie
241	Coupe N/S de F349 et F350 (Tr.51)	coupe	papier millimétré	1/20	Laruaz Jean-Marie
242	Coupe N/S de F354 (Tr.51)	coupe	papier millimétré	1/20	Laruaz Jean-Marie

N° dessin	Description	Type	Support	Echelle	Auteur
243	Coupe N/S de F357 (Tr.51)	coupe	papier millimétré	1/20	Laruaz Jean-Marie
244	Coupe E/O de F380 (Tr.51)	coupe	papier millimétré	1/20	Laruaz Jean-Marie
245	Coupe O/E de F373 (Tr.57)	coupe	papier millimétré	1/20	Lebrun Christophe
246	Plan de F306 (Tr.49)	plan	papier millimétré	1/20	Lebrun Christophe
247	Coupe E/O de F306 (Tr.49)	coupe	papier millimétré	1/20	Lebrun Christophe
248	Plan de F376 (Tr.57)	plan	papier millimétré	1/20	Lebrun Christophe
249	Coupe E/O de F376 (Tr.57)	coupe	papier millimétré	1/20	Lebrun Christophe
250	Coupe S/N de F306 (Tr.49)	coupe	papier millimétré	1/20	Lebrun Christophe
251	Coupe S/N de F307 (Tr.49)	coupe	papier millimétré	1/20	Lebrun Christophe
252	Coupe N/S de F292 (Tr.49)	coupe	papier millimétré	1/20	Lebrun Christophe
253	Plan de F292 (Tr.49)	plan	papier millimétré	1/20	Lebrun Christophe
254	Plan de F316 (Tr.50)	plan	papier millimétré	1/20	Lebrun Christophe
255	Coupe O/E de F316 (Tr.50)	coupe	papier millimétré	1/20	Lebrun Christophe
256	Coupe S/N de F427 (Tr.61)	coupe	papier millimétré	1/20	Lebrun Christophe Hirn Vincent
257	Plan de F358 (Tr.51)	plan	papier millimétré	1/20	Lebrun Christophe Silberstein Grégory
258	Coupe SE/NO de F358 (Tr.51)	coupe	papier millimétré	1/20	Lebrun Christophe Silberstein Grégory
259	Coupe SO/NE de F358 (Tr.51)	coupe	papier millimétré	1/20	Lebrun Christophe Silberstein Grégory
260	Coupe E/O de F381 (Tr.57)	coupe	papier millimétré	1/20	Hirn Vincent
261	Plan de F381 (Tr.57)	plan	papier millimétré	1/20	Hirn Vincent
262	Plan de F433 (Tr.57)	plan	papier millimétré	1/20	Hirn Vincent
263	Coupe E/O de F433 (Tr.57)	coupe	papier millimétré	1/20	Hirn Vincent
264	Plan de F325 (Tr.50)	plan	papier millimétré	1/20	Silberstein Grégory
265	Coupe O/E de F325 (Tr.50)	coupe	papier millimétré	1/20	Silberstein Grégory
266	Plan de F382 (Tr.57)	plan	papier millimétré	1/20	Hirn Vincent
267	Coupe E/O de F382 (Tr.57)	coupe	papier millimétré	1/20	Hirn Vincent
268	Coupe S/N de F435 (Tr.63)	coupe	papier millimétré	1/20	Hirn Vincent
269	Coupe N/S de F359 et F360 (Tr.51)	coupe	papier millimétré	1/20	Laruaz Jean-Marie Lebrun Christophe
270	Coupe S/N de F372 (Tr.57)	coupe	papier millimétré	1/20	Laruaz Jean-Marie
271	Coupe SO/NE de F368 (Tr.53)	coupe	papier millimétré	1/20	Laruaz Jean-Marie
272	Coupe E/O de F375 (Tr.57)	coupe	papier millimétré	1/20	Laruaz Jean-Marie
273	Coupe S/N de F394 (Tr.57)	coupe	papier millimétré	1/20	Laruaz Jean-Marie
274	Coupe S/N de F385 (Tr.57)	coupe	papier millimétré	1/20	Laruaz Jean-Marie
275	Plan de F389 (Tr.57)	plan	papier millimétré	1/20	Lebrun Christophe
276	Coupe O/E de F389 (Tr.57)	coupe	papier millimétré	1/20	Lebrun Christophe
277	Coupe N/S de F390 (Tr.57)	coupe	papier millimétré	1/20	Lebrun Christophe
278	Coupe NO/SE de F437 (Tr.65)	coupe	papier millimétré	1/20	Hirn Vincent Silberstein Grégory
279	Coupe NE/SO de F399 (Tr.59)	coupe	papier millimétré	1/20	Hirn Vincent Silberstein Grégory
280	Coupe NO/SE de F444 (Tr.65)	coupe	papier millimétré	1/20	Hirn Vincent Silberstein Grégory
281	Coupe NO/SE de F446 (Tr.66)	coupe	papier millimétré	1/20	Hirn Vincent Silberstein Grégory
282	Coupe S/N de F436 et F441 (Tr.63)	coupe	papier millimétré	1/20	Hirn Vincent
283	Coupe O/E de F441 et F442 (Tr.63)	coupe	papier millimétré	1/20	Hirn Vincent
284	Coupe SO/NE de F451 (Tr.68)	coupe	papier millimétré	1/20	Silberstein Grégory
285	Coupe N/S de F447 (Tr.68)	coupe	papier millimétré	1/20	Silberstein Grégory
286	Coupe SO/NE de F443 (Tr.65)	coupe	papier millimétré	1/20	Silberstein Grégory

N° dessin	Description	Type	Support	Echelle	Auteur
287	Plan de F426 (Tr.61)	plan	papier millimétré	1/20	Silberstein Grégory
288	Coupe SE/NO de F426 (Tr.61)	coupe	papier millimétré	1/20	Silberstein Grégory
289	Plan de F425 (Tr.61)	plan	papier millimétré	1/20	Silberstein Grégory
290	Coupe NO/SE de F425 (Tr.61)	coupe	papier millimétré	1/20	Silberstein Grégory
291	Coupe E/O de F416 (Tr.60)	coupe	papier millimétré	1/20	Lebrun Christophe
292	Coupe N/S de F452 (Tr.69)	coupe	papier millimétré	1/20	Lebrun Christophe
293	Coupe E/O de F418 et F419 (Tr.60)	coupe	papier millimétré	1/20	Lebrun Christophe
294	Coupe E/O de F418, 419 et F420 (Tr.60)	coupe	papier millimétré	1/20	Lebrun Christophe Silberstein Grégory
295	Coupe E/O de F421 (Tr.60)	coupe	papier millimétré	1/20	Lebrun Christophe Silberstein Grégory
296	Plan du sondage manuel creusé dans F240 (Tr.41)	plan	papier millimétré	1/20	Lebrun Christophe
297	Coupe E/O de F434 (Tr.57)	coupe	papier millimétré	1/20	Liagre Jérémie
298	Coupe S/N de F450 (Tr.68)	coupe	papier millimétré	1/20	Liagre Jérémie
299	Coupe N/S de F439 (Tr.64)	coupe	papier millimétré	1/20	Liagre Jérémie
300	Coupe O/E de F411 (Tr.60)	coupe	papier millimétré	1/20	Hirn Vincent
301	Plan de F411 (Tr.60)	plan	papier millimétré	1/20	Hirn Vincent
302	Coupe N/S de F243 (Tr.41)	coupe	papier millimétré	1/20	Silberstein Grégory
303	Coupes O/E et N/S de F437, 44 et 501 (Tr.65)	coupe	papier millimétré	1/20	Silberstein Grégory Lebrun Christophe
304	Coupe N/S de F483 (Tr.72)	coupe	papier millimétré	1/20	Lebrun Christophe
305	Coupes O/E et N/S de F451 et 502 (Tr.72)	coupe	papier millimétré	1/20	Silberstein Grégory
306	Coupe NE/SO de F451 (Tr.72), après recul coupe vers lest	coupe	papier millimétré	1/20	Lebrun Christophe
307	Coupe N/S de F449 et 517 (Tr.70)	coupe	papier millimétré	1/20	Silberstein Grégory
308	Coupe E/O de F472 (Tr.75)	coupe	papier millimétré	1/20	Lebrun Christophe
309	Plan de F472 (Tr.75)	plan	papier millimétré	1/20	Lebrun Christophe
310	Coupe E/O de F466 (Tr.74)	coupe	papier millimétré	1/20	Lebrun Christophe
311	Plan de F466 (Tr.74)	plan	papier millimétré	1/20	Lebrun Christophe
312	Coupe O/E de F468 (Tr.75)	coupe	papier millimétré	1/20	Lebrun Christophe Silberstein Grégory
313	Plan de F468 (Tr.75)	plan	papier millimétré	1/20	Lebrun Christophe Silberstein Grégory
314	Coupe O/E de F459 (Tr.71)	coupe	papier millimétré	1/20	Liagre Jérémie
315	Coupe N/S de F470 (Tr.75)	coupe	papier millimétré	1/20	Liagre Jérémie
316	Coupe E/O de F496 (Tr.57)	coupe	papier millimétré	1/20	Liagre Jérémie
317	Coupe E/O de F516 (Tr.42)	coupe	papier millimétré	1/20	Liagre Jérémie
318	Coupes S/N, O/E et N/S de l'intersection entre F236, 263 et 358 (Tr.41)	coupe	papier millimétré	1/20	Liagre Jérémie
319	Coupe NO/SE de F534 (Tr.37)	coupe	papier millimétré	1/20	Liagre Jérémie
320	Plan de F473 (Tr.76)	plan	papier millimétré	1/20	Silberstein Grégory
321	Coupe SE/NO de F473 (Tr.76)	coupe	papier millimétré	1/20	Silberstein Grégory
322	Plan de F474 (Tr.76)	plan	papier millimétré	1/20	Silberstein Grégory
323	Coupe NO/SE de F474 (Tr.76)	coupe	papier millimétré	1/20	Silberstein Grégory
324	Plan de F521 (Tr.41)	plan	papier millimétré	1/20	Silberstein Grégory
325	Coupe NO/SE de F521 (Tr.41)	coupe	papier millimétré	1/20	Silberstein Grégory
326	Coupe N/S et E/O de F424 (Tr.61)	coupe	papier millimétré	1/20	Silberstein Grégory Lebrun Christophe
327	Plan de F511 (Tr.82)	plan	papier millimétré	1/20	Silberstein Grégory
328	Coupes SE/NO et SO/NE de F511 (Tr.82)	coupe	papier millimétré	1/20	Silberstein Grégory
329	Coupe S/N de F485 (Tr.66)	coupe	papier millimétré	1/20	Lebrun Christophe
330	Plan de F485 (Tr.66)	plan	papier millimétré	1/20	Lebrun Christophe

N° dessin	Description	Type	Support	Echelle	Auteur
331	Coupe SO/NE de F537 (Tr.39)	coupe	papier millimétré	1/20	Lebrun Christophe Silberstein Grégory
332	Coupe E/O de F530 (Tr.41)	coupe	papier millimétré	1/20	Lebrun Christophe
333	Plan de F530 (Tr.41)	plan	papier millimétré	1/20	Lebrun Christophe
334	Coupe NE/SO de F524 (Tr.41)	coupe	papier millimétré	1/20	Lebrun Christophe
335	Plan de F524 (Tr.41)	plan	papier millimétré	1/20	Lebrun Christophe
336	Plan de F518 (Tr.41)	plan	papier millimétré	1/20	Silberstein Grégory
337	Coupe O/E de F518 (Tr.41)	coupe	papier millimétré	1/20	Silberstein Grégory
338	Plan de F513 (Tr.43)	plan	papier millimétré	1/20	Silberstein Grégory
339	Coupe E/O de F513 (Tr.43)	coupe	papier millimétré	1/20	Silberstein Grégory
340	Coupe E/O de F242 (Tr.41)	coupe	papier millimétré	1/20	Silberstein Grégory
341	Coupe N/S de F240 (Tr.41)	coupe	papier millimétré	1/20	Lebrun Christophe



Cette opération correspond à la 1^{re} phase d'un diagnostic réalisé en deux temps, concernant un projet d'extension de la ZAC de « Sublaines - Bois Gaulpied » géré par la Communauté de Commune de Bléré –Val-de-Cher. Au total, 76 tranchées ont été décapées sur une superficie d'environ 30 ha et 542 faits ont été enregistrés.

La conservation des vestiges est variable, due à des activités agricoles intenses et multidirectionnelles selon les périodes, avec un parcellaire mouvant, particulièrement au nord de l'emprise. Aucune structure en élévation n'a été conservée et les creusements sont en majorité arasés dans leur partie supérieure, d'où une difficulté de lecture des différentes structures en creux. Les caractéristiques argileuses et calcaires du substrat et des différentes colluvions observées ont parfois érodé le mobilier recueilli sur le site (forte patine blanche des silex, métaux altérés, céramique émoussée...). Les vestiges archéologiques conservés se rapportent à 12 phases illustrant une occupation très longue du site, ponctuée par quelques hiatus, depuis une période préhistorique ancienne jusqu'à nos jours :

Pour les niveaux anciens, une concentration d'*artefacts* du Paléolithique moyen (Moustérien) a été identifiée dans la partie nord, et des indices de fréquentation du site par des groupes de chasseurs du Paléolithique supérieur et Epipaléolithique/Mésolithique (Solutréen et Azilien). Quelques indices seulement des premiers groupes agro-pastoraux du Néolithique ancien, puis une occupation attestée domestique et funéraire inédite au Néolithique moyen 1 (Chambon) s'installe dans la partie ouest de l'emprise. Trois faits avérés du Néolithique moyen 2 (post-Chambon/pré-Chasséen) en limite ouest de l'emprise- adjacente à la future phase 2 de diagnostic ont été observés, et enfin quelques isolats du Néolithique final sont présents sur l'emprise de manière anecdotique.

Pour la période protohistorique, la transition Bronze ancien-moyen est illustrée par une occupation structurée dispersée sur l'ensemble de l'emprise avec une petite concentration de faits et d'isolats repérés dans la partie nord, et un second petit groupement dans la partie sud-est de l'emprise. Le Bronze final est peu présent, voire absent. Une occupation et un enclos de La Tène ancienne-moyenne s'implantent dans la partie sud-est de l'emprise sous forme de deux petites unités d'habitats dispersées, relativement semblables à celles observées sur la fouille du «Grand Ormeau» (FRÉNÉE 2008).

Pour la période historique, une petite occupation antique (Haut Empire) indéterminée a été observée sous la forme de plusieurs structures en creux arasées et d'un niveau de démolition relevé juste en-dessous du niveau de terre arable actuel. L'occupation est toutefois observable dans la partie sud-est de l'emprise, formant ainsi un espace potentiellement conservé. En revanche, l'occupation présente vraisemblablement une large zone de vide dans la partie septentrionale, zone qui semble, à l'inverse, avoir été un lieu propice de fréquentation liée à une très forte activité d'extraction de matériaux. Une occupation à la transition entre le Bas -Empire et le très haut Moyen Âge (de fin 5^e au 8^e s.) a été mise au jour sur le site, avec deux grandes zones potentielles de bâtiments sur poteaux évoquant des structures de stockage situées au centre de l'emprise et cernées peut être par des éléments structurants visibles dans le terroir. L'occupation la plus dense et la plus structurée est celle du Moyen Âge (du 9^e au 12^e s.) localisée dans la partie sud-est, avec plusieurs bâtiments et des faits qui semblent s'étendre plus à l'ouest, jusqu'à l'orée du Bois Gaulpied. Une deuxième zone présentant des données plus lacunaires a été interprétée comme une possible petite zone d'ensilage au sud-ouest. Lors des opérations archéologiques réalisées précédemment sur la ZAC de Sublaines et Grand Ormeau, une large occupation du Moyen Âge central avait été mise au jour dans les zones 4 lot 1 et 5 et dans la zone 4 lot 2 (LARDÉ ET AL. 2013 ; CHAUDRILLER ET AL. 2013). Ce diagnostic semble avoir mis au jour un 4^e ensemble présentant les mêmes caractéristiques structurelles et spatiales.

Enfin, outre des labours et des vignes récents, on observe plusieurs zones de plantations denses, dont des possibles haies parcellaires et un ensemble de fossés et de drains continus ou interrompus complétant les exploitations agricoles du site.